GRAY'S

ATLAS DE ANATOMIA

Richard L. Drake

A. Wayne Vogl

Adam W. M. Mitchell

Richard M. Tibbitts

Paul E. Richardson

CHURCHILL LIVINGSTONE

ELSEVIER

Richard L. Drake, PhD
Director of Anatomy
Professor of Surgery
Cleveland Clinic Lerner College of Medicine
Cleveland, Ohio, USA

A. Wayne Vogl, PhD
Professor of Anatomy and Cell Biology
Director of Gross Anatomy
Department of Cellular and Physiological Sciences
Faculty of Medicine
University of British Columbia
Vancouver, British Columbia, Canada

Adam W. M. Mitchell, MBBS, FRCS, FRCR
Joint Head of Graduate Entry Anatomy
Imperial College
University of London
Consultant Radiologist
Department of Imaging
Charing Cross Hospital
London, UK

Ilustrações de

Richard M. Tibbitts
Saffron Walden, UK

Paul E. Richardson
Cambridge, UK

Fotografias de

Ansell Horn

GRAY'S

ATLAS
DE ANATOMIA

Richard L. Drake
A. Wayne Vogl
Adam W. M. Mitchell
Richard M. Tibbitts
Paul E. Richardson

CHURCHILL LIVINGSTONE
ELSEVIER
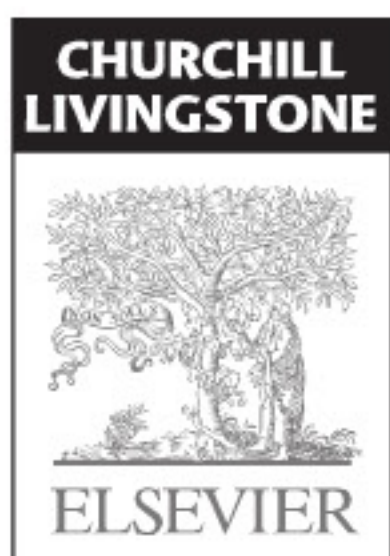
Do original:
Gray's Atlas of Anatomy

ISBN original: 978-04-430-6721-1
Tradução autorizada do idioma inglês da edição publicada por Churchill Livingstone – um selo editorial Elsevier

ISBN: 978-85-352-4974-3

Adaptação da capa original
Interface Designers

Editoração Eletrônica
Futura

Elsevier Editora Ltda.
Rua Sete de Setembro, 111 – 16º andar
20050-006 - Centro - Rio de Janeiro - RJ - Brasil
Telefone: (21) 3970-9300 - Fax: (21) 2507-1991
E-mail: info@elsevier.com.br

Escritório São Paulo
Rua Quintana, 753 – 8º andar
04569-011 - Brooklin - São Paulo - SP - Brasil
Telefone: (11) 5105-8555

NOTA

O conhecimento médico está em permanente mudança. Os cuidados normais de segurança devem ser seguidos, mas, como as novas pesquisas e a experiência clínica ampliam nosso conhecimento, alterações no tratamento e terapia à base de fármacos podem ser necessárias ou apropriadas. Os leitores são aconselhados a checar informações mais atuais dos produtos, fornecidas pelos fabricantes de cada fármaco a ser administrado, para verificar a dose recomendada, o método e a duração da administração e as contra-indicações. É responsabilidade do médico, com base na experiência e contando com o conhecimento do paciente, determinar as dosagens e o melhor tratamento para cada um individualmente. Nem o editor nem o autor assumem qualquer responsabilidade por eventual dano ou perda a pessoas ou a propriedade originada por esta publicação.

O Editor

CIP-BRASIL. CATALOGAÇÃO-NA-FONTE
SINDICATO NACIONAL DOS EDITORES DE LIVROS, RJ

G82
Gray's, atlas de anatomia [recurso eletrônico] / Richard L. Drake... [et al.] ; ilustrações por Richard M. Tibbitts, Paul E. Richardson ; fotografias por Ansell Horn ; [tradução de Carlos Romualdo Rueff Barroso... et al.]. - Rio de Janeiro : Elsevier, 2011.
557 p., recurso digital : il.

Tradução de: Gray's atlas of anatomy, 1st ed
Formato: Flash
Requisitos do sistema: Adobe Flash Player
Modo de acesso: World Wide Web
Inclui índice
ISBN 978-85-352-4974-3 (recurso eletrônico)

1. Anatomia humana - Atlas. 2. Anatomia - Atlas. 3. Livros eletrônicos. I. Gray, Henry, 1825-1861. II. Drake, Richard L. III. Título. IV. Título: Atlas de anatomia.

11-5883.

CDD: 611.00222
CDU: 611(084)

À minha esposa, que me dá apoio, e aos meus pais, que estão sempre comigo.
Richard L. Drake

À minha família, aos colegas de trabalho, aos modelos utilizados e aos meus alunos.
Wayne Vogl

Obrigado a Cathy, Max e Elsa
Adam W. M. Mitchell

À minha família – minha inspiração, Evi, Zoë e Nicholas
Richard M. Tibbitts

A Lesley e Maja, e em memória de AMR e JER
Paul Richardson

AGRADECIMENTOS

Os revisores a seguir ajudaram significativamente com suas críticas detalhadas e sugestões para cada capítulo. Sua contribuição foi inestimável.

Mark Hankin, PhD, University of Toledo College of Medicine, Toledo, Ohio

Marios Loukas, MD, PhD, St. George's University School of Medicine, Grenada

James J. Rechtien, DO, PhD, Michigan State University School of Medicine, East Lansing, Michigan

William A. Roy, PT, PhD, Touro University, Henderson, Nevada

Susan Standring, PhD, DSc, Professor of Experimental Neurobiology and Head, Division of Anatomy, Cell and Human Biology, Guy's, King's and St Thomas' School of Biomedical Sciences, King's College London, London

William Swartz, PhD, Louisiana State University Health Sciences Center, Baton Rouge, Louisiana

Mark F. Teaford, PhD, Johns Hopkins University School of Medicine, Baltimore, Maryland

Queremos agradecer Dr. Bruce Crawford pela radiografia da cabeça e pescoço; Dr. Murray Morrison pelas imagens de laringoscopia; Dr. Jerry Healy pelas três imagens seccionais do abdome: o tronco celíaco, a via biliar e uma vista tridimensional dos vasos abdominais; Siemens Medical Solutions USA, particularmente Mollie Beaver, Diretor, CT Clinical Solutions, e Dra. Louise McKenna, Global Clinica Marketing Manager, CT Oncology, pelo fornecimento de uma *syngo* Multi-modality Workplace usada para obter a maioria das imagens clínicas.

Stuart Morrison, MD, ajudou em todos os aspectos de coordenar a coleção do material radiográfico. Contribuíram na assistência radiológica e imagens em cada uma das seguintes áreas:

Dorso
Mark Kayanja, MD, PhD
Jeffrey S. Ross, MD

Tórax
Mario Garcia, MD
A. Michael Lincoff, MD

Abdome
Namita Gandhi, MD
Michelle Inkster, MD, PhD
Brian R. Lane, MD
Anand Rao, MD
James S. Wu, MD

Pelve
Matthew Barber, MD, MHS
Tommaso Falcone, MD
J. Stephen Jones, MD
Eunice Moon, MD
James S. Newman, MD, PhD

Membros
Hakan Ilaslan, MD
Bradford J. Richmond, MD
Joshua Polster, MD

Cabeça e pescoço
Todd W. Stultz, DDS, MD
J. Martin Paloma, DDS, MSD
Cindy McConnaughy
Ronald Lemmo, DDS

PREFÁCIO

Um conhecimento prático de anatomia não é um “opcional extra” para profissionais da área médica – é fundamental. Adquirir esse conhecimento sempre desafiou até mesmo os estudantes mais motivados. Por muitas gerações, aprender com materiais que ajudam efetivamente nesse processo tem sido benéfico aos estudantes e a seus professores (e aos pacientes, que são os últimos beneficiados deste conhecimento). Eu me lembro da resposta dos meus alunos quando incluí pela primeira vez ilustrações do *Gray’s Anatomia para Estudantes* em uma conferência – posteriormente, fui questionado diversas vezes para fornecer a fonte daquelas maravilhosas figuras. Olhando além do “emocionante” fator que saltou das páginas do livro, estava claro que uma enorme parcela de raciocínio e habilidade fora depositada para produzir o trabalho de arte.

Este atlas contém uma série de excelentes partes adicionais de arte anatômica do time ilustrativo de Richard Tibbitts e Paul Richardson que complementarão aqueles de *Gray’s Anatomia para Estudantes*, combinados com quadros clínicos relevantes, anatomia de superfície e imagens de uma gama de procedimentos modernos. Está claro que anatomia não pode ser aprendida somente em livros e DVDs interativos, não importa quão excelente eles possam ser. Anatomia é um assunto prático, com um melhor aprendizado por meio do estudo do corpo. Os estudantes deveriam passar mais tempo examinando dissecações de cadáveres (caso eles não tenham a oportunidade de dissecar) e sempre deveriam estudar com os ossos apropriados em frente a eles. Eles precisam combinar e correlacionar informações de uma grande variedade de fontes para adquirir o conhecimento mencionado.

Este atlas proverá um valioso companheiro ao seu estudo, e tenho confiança de que permanecerá em sua biblioteca depois que completar as fases iniciais de seu treinamento.

Susan Standring
Division of Anatomy, Cell and Human Biology
King’s College, London

NOTA DA REVISÃO CIENTÍFICA
Alguns termos utilizados neste livro foram mantidos entre aspas e/ou parênteses por dois motivos:
1 - São de uso comum entre os profissionais da área de saúde, porém não constam da Terminologia Anatômica (2001).
2 - São termos que só aparecem na terminologia original, em latim, mas não estão traduzidos na edição brasileira.

APRESENTAÇÃO

Começamos a trabalhar no *Gray's Atlas de Anatomia* em 2005 seguindo a publicação de nosso livro-texto, *Gray's Anatomia para Estudantes*. Nosso desejo era produzir um atlas baseado em temas e conceitos estabelecidos no livro-texto que associasse os desenhos artísticos da anatomia macroscópica interna à real anatomia no vivo, como a visualizada por meio de técnicas de imagens modernas e em anatomia de superfície. Acreditamos que a apresentação final do atlas proporciona uma abordagem inovadora e integrada da anatomia que é acessível tanto para estudantes iniciantes quanto para estudantes de níveis mais avançados.

Como um atlas é usado de um modo diferente de um livro-texto, não pudemos simplesmente recolocar as figuras usadas no *Gray's Anatomia para Estudantes*. Conseqüentemente, a maioria das figuras no atlas é nova e foi projetada para apresentar estruturas em um contexto mais completo que no livro-texto, embora o colorido e o olhar global das figuras no atlas e no livro-texto sejam semelhantes. Figuras no atlas também fornecem detalhes adicionais não incluídos no livro-texto, além de correlacionar diretamente representações artísticas de anatomia com tomografia computadorizada (TC) e imagem de ressonância magnética (RM). Onde apropriado, incluímos vistas de anatomia por endoscopia, laringoscopia e laparoscopia, além de imagens de ultra-som. Em várias regiões, reconstruímos a anatomia interna do paciente resumindo informações específicas de múltiplas imagens de RM e TC, e apresentamos essas reconstruções junto com o trabalho de arte da referida anatomia. Embora o trabalho de arte fosse independente das imagens reconstruídas, os dois tipos de representações são notavelmente semelhantes.

Cada página deste atlas foi planejada antes de se começar a trabalhar nas figuras, e todo o trabalho de arte foi gerado digitalmente. A maioria das figuras foi criada a partir de um extenso banco de dados digital criado para o livro-texto. Cada figura foi analisada quanto à sua precisão e alterada de maneira adequada.

Esperamos que o livro-texto e o atlas usados juntos possam fornecer novas e poderosas ferramentas de aprendizagem para estudantes de anatomia humana.

Os Autores

1 O CORPO

2 DORSO

3 TÓRAX

SUMÁRIO

4 ABDOME

5 PELVE E PERÍNEO

6 MEMBRO INFERIOR

7 MEMBRO SUPERIOR

8 CABEÇA E PESCOÇO

SUMÁRIO

COORDENAÇÃO GERAL E REVISÃO CIENTÍFICA

Eduardo Cotecchia Ribeiro
Professor Associado da Disciplina de Anatomia Descritiva e Topográfica do Departamento de Morfologia e Genética da Universidade Federal de São Paulo/Escola Paulista de Medicina (Unifesp/EPM)

REVISÃO CIENTÍFICA

Leandro Nobeschi
Professor da Disciplina de Anatomia Humana do Instituto Básico de Biociências da Universidade de Taubaté, SP

TRADUÇÃO

Carlos Romualdo Rueff Barroso (caps. 1 a 4, 6 e 7)
Especialista em Anatomia pela Universidade Estácio de Sá (Unesa), RJ
Professor Auxiliar do Departamento de Anatomia Humana da Unesa
Mestre em Morfologia pela Universidade do Estado do Rio de Janeiro (UERJ)
Doutorando em Biologia Humana e Experimental pela UERJ

Cristiane Regina Ruiz (caps. 5 e 8)
Professora de Anatomia Humana e Anatomia em Imagens do Centro Universitário São Camilo, RJ
Doutora em Ciências (Morfologia) pela Unifesp/EPM
Mestre em Ciências (Morfologia) pela Unifesp/EPM

Thiago da Silva Torres (índice)
Mestre em Morfologia pela UERJ
Doutorando em Biologia Humana e Experimental pela UERJ

1

O CORPO HUMANO

CONTEÚDO

Imagem de RM ponderada de T2, no plano sagital

Imagem de TC com contraste, no plano frontal (coronal)

Imagem de TC com contraste, no plano transversal (axial)

Músculo esternocleidomastóideo
Laringe
Clavícula
Acrômio
Incisura jugular
Músculo peitoral maior
Músculo deltóide
Margem costal
Processo xifóide
Fossa cubital
Umbigo
Espinha ilíaca ântero-superior
Sínfise púbica
Pênis
Escroto
Glande do pênis
Patela
Cabeça da fíbula
Tuberosidade da tíbia
Tíbia
Maléolo medial
Maléolo lateral

Clavícula
Incisura jugular
Músculo deltóide
Aréola da mama
Processo xifóide
Papila mamária
Mama
Fossa cubital
Umbigo
Sínfise púbica
Patela
Tíbia
Dorso do pé

Osso frontal
Órbita
Osso zigomático
Maxila
Vértebra CVII
Mandíbula
Costela I
Processo coracóide
Clavícula
Acrômio
Tubérculo menor
Manúbrio do esterno
Tubérculo maior
Escápula
Corpo do esterno
Úmero
Processo xifóide do esterno
Epicôndilo medial
Tróclea do úmero
Epicôndilo lateral
Capítulo do úmero
Ílio
Rádio
Articulação sacroilíaca
Ulna
Sacro
Cóccix
Púbis
Ossos carpais
Ossos metacarpais
Sínfise púbica
Trocanter maior
Ísquio
Falanges
Trocanter menor
Fêmur
Epicôndilo medial
Epicôndilo lateral
Patela
Tuberosidade da tíbia
Fíbula
Tíbia
Maléolo medial
Maléolo lateral
Tálus
Ossos tarsais
Ossos metatarsais
Falanges

Ossos palpáveis (vista anterior)

Osso parietal
Osso occipital
Processo mastóide
Vértebra CII (áxis)
Protuberância occipital externa
Vértebra CI (atlas)
Ângulo da mandíbula
Espinha da escápula
Acrômio
Ângulo superior da escápula
Clavícula
Tubérculo maior
Articulação do ombro
Escápula
Ângulo inferior da escápula
Úmero
Coluna vertebral
Epicôndilo medial
Epicôndilo lateral
Olécrano
Articulação do cotovelo
Cabeça do rádio
Crista ilíaca
Espinha ilíaca póstero-superior
Rádio
Ulna
Sacro
Articulação do quadril
Cóccix
Trocanter maior
Articulação radiocarpal
Túber isquiático
Trocanter menor
Espinha isquiática
Fêmur
Epicôndilo medial
Côndilo medial
Epicôndilo lateral
Côndilo lateral
Articulação do joelho
Ossos palpáveis (vista posterior)
Fíbula
Tíbia
Maléolo medial
Articulação tibiofibular
Maléolo lateral
Tuberosidade do quinto metatarsal (V)
Calcâneo

Músculo temporal
Músculo orbicular do olho
Músculo masseter
Músculo esternocleidomastóideo
Músculo trapézio
Músculo deltóide
Músculo peitoral maior
Músculo serrátil anterior
Músculo bíceps braquial
Músculo reto do abdome
Músculo pronador redondo
Músculo braquiorradial
Músculo oblíquo externo do abdome
Músculo flexor radial do carpo
Músculo palmar longo
Músculo flexor ulnar do carpo
Músculo tensor da fáscia lata
Músculos tenares
Músculos hipotenares
Músculo sartório
Músculo reto femoral
Trato iliotibial
Músculo vasto lateral
Músculo vasto medial
Músculo fibular longo
Músculo sóleo
Músculo tibial anterior
Músculo extensor longo do hálux
Músculo extensor longo dos dedos

Ventre frontal do músculo occipitofrontal
Músculo bucinador
Músculo orbicular da boca
Músculos escalenos
Cabeça longa do músculo bíceps braquial (seccionado)
Músculo peitoral menor
Cabeça curta do músculo bíceps braquial (seccionado)
Músculo coracobraquial
Músculo intercostal externo
Músculo intercostal interno
Músculo braquial
Lâmina posterior da bainha do músculo reto do abdome
Tendão do músculo bíceps braquial (seccionado)
Músculo supinador
Músculo oblíquo interno do abdome
Músculo transverso do abdome
Músculo flexor profundo dos dedos
Músculo flexor longo do polegar
Músculo iliopsoas
Músculo pronador quadrado
Músculo obturador externo
Músculo adutor curto
Músculo pectíneo
Músculo adutor magno
Músculo adutor longo
Músculo grácil
Músculo gastrocnêmio
Músculo extensor longo dos dedos
Músculo extensor longo do hálux

Ventre occipital do músculo occipitofrontal
Músculo esternocleidomastóideo
Músculo trapézio
Músculo deltóide
Músculo infra-espinal
Músculo latíssimo do dorso
Músculo tríceps braquial
Músculo oblíquo externo do abdome
Músculo extensor radial longo do carpo
Músculo flexor ulnar do carpo
Músculo extensor dos dedos
Músculo glúteo máximo
Trato iliotibial
Cabeça longa do músculo bíceps femoral
Músculo semitendíneo
Músculo semimembranáceo
Músculo grácil
Músculo plantar
Músculo gastrocnêmio
Músculo fibular longo
Músculo sóleo
Tendão do calcâneo
Tendão do músculo fibular curto

Músculo semiespinal da cabeça
Músculo esplênio da cabeça
Músculo esplênio do pescoço
Músculo rombóide menor
Músculo rombóide maior
Músculo levantador da escápula
Músculo supra-espinal
Músculo infra-espinal
Músculo redondo menor
Cabeça lateral do músculo tríceps braquial (seccionada)
Músculo redondo maior
Músculo latíssimo do dorso (seccionado)
Cabeça longa do músculo tríceps braquial
Músculo intercostal externo
Cabeça medial do músculo tríceps braquial
Músculo eretor da espinha
Músculo oblíquo interno do abdome
Músculo supinador
Músculo glúteo médio
Músculo abdutor longo do polegar
Músculo extensor longo do polegar
Músculo extensor curto do polegar
Músculo extensor do indicador
Músculo piriforme
Músculo gêmeo superior
Músculo obturador interno
Músculo gêmeo inferior
Músculo quadrado femoral
Músculo adutor magno
Cabeça curta do músculo bíceps femoral
Músculo semimembranáceo
Cabeça longa do músculo bíceps femoral (seccionada)
Músculo plantar (seccionado)
Músculo poplíteo
Músculo sóleo (seccionado)
Músculo flexor longo dos dedos
Músculo flexor longo do hálux

Artéria temporal superficial
Artéria facial
Artéria vertebral
Artéria subclávia direita
Tronco braquiocefálico
Artéria axilar
Artéria torácica interna
Parte ascendente da aorta
Artéria braquial profunda
Artéria hepática comum
Artéria braquial
Artéria radial
Artéria ulnar
Artéria testicular/ovárica
Arco palmar profundo
Arco palmar superficial
Ramo transverso da artéria circunflexa femoral lateral
Ramo descendente da artéria circunflexa femoral lateral
Artéria poplítea
Artéria tibial anterior
Artéria tibial posterior (por transparência)
Artéria fibular
Artéria dorsal do pé
Artéria carótida interna esquerda
Artéria carótida externa esquerda
Artéria carótida comum esquerda
Artéria subclávia esquerda
Arco da aorta
Artéria circunflexa anterior do úmero
Parte torácica da aorta
Tronco celíaco
Artéria esplênica (lienal)
Artéria renal esquerda
Artéria mesentérica superior
Artéria mesentérica inferior
Artéria ilíaca comum esquerda
Artéria ilíaca interna esquerda
Artéria ilíaca externa esquerda
Artéria femoral
Artéria femoral profunda

Veia temporal superficial
Veia facial
Veia jugular anterior
Veia subclávia direita
Veia braquiocefálica direita
Veia cefálica
Veia ázigo
Veia basílica
Veias braquiais
Veia hepática
Veia intermédia do cotovelo
Veia testicular/ovárica
Veia cefálica do antebraço
Veia basílica do antebraço
Veia radial
Veia ulnar
Veia femoral profunda
Veia safena magna
Veia poplítea
Veia tibial anterior
Veia tibial posterior (por transparência)
Veia fibular (por transparência)

Veia jugular externa esquerda
Veia jugular interna esquerda
Veia subclávia esquerda
Veia braquiocefálica esquerda
Veia cava superior
Veia cava inferior
Veia esplênica (lienal)
Veia porta do fígado
Veia mesentérica inferior
Veia mesentérica superior
Veia ilíaca comum esquerda
Veia ilíaca externa esquerda
Veia ilíaca interna esquerda
Veia femoral
Veia safena parva (por transparência)
Veia safena magna
Veia safena parva
Arco venoso dorsal do pé

Veias superficiais
Veias profundas

Nervo trigêmeo [V]
Plexo cervical
Plexo braquial
Nervo frênico
Nervo axilar
Nervo musculocutâneo
Nervo radial
Nervo mediano
Nervo ulnar
Nervos intercostais
Cone medular
Cauda eqüina
Ramo superficial do nervo radial
Plexo lombar
Ramo profundo do nervo radial
Nervo femoral
Plexo sacral
Nervo mediano
Nervo cutâneo femoral lateral
Nervo ulnar
Nervo isquiático
Nervo cutâneo femoral lateral
Nervo obturatório
Nervo cutâneo femoral posterior

Sistema nervoso periférico (SNP)*
Sistema nervoso central (SNC)*
Encéfalo
Nervos cranianos
Medula espinal
Nervos espinais

Nervo tibial
Nervo fibular comum
Nervo sural
Nervo safeno
Nervo fibular superficial
Nervo fibular profundo
Nervo tibial
Nervo sural

* Nota da Revisão Científica: A Terminologia Anatômica (2001) também denomina parte central e parte periférica do sistema nervoso.

Parte periférica

Órgãos

Fibras simpáticas pré-ganglionares acompanham os nervos somáticos até a periferia (glândulas, músculo liso)

T1

L2

Parte torácica do plexo visceral

Coração

Plexo pré-vertebral

Vísceras abdominais

Vísceras pélvicas

Gânglio simpático

Tronco simpático

Gânglio ímpar

Fibra simpática pré-ganglionar

Fibra simpática pós-ganglionar
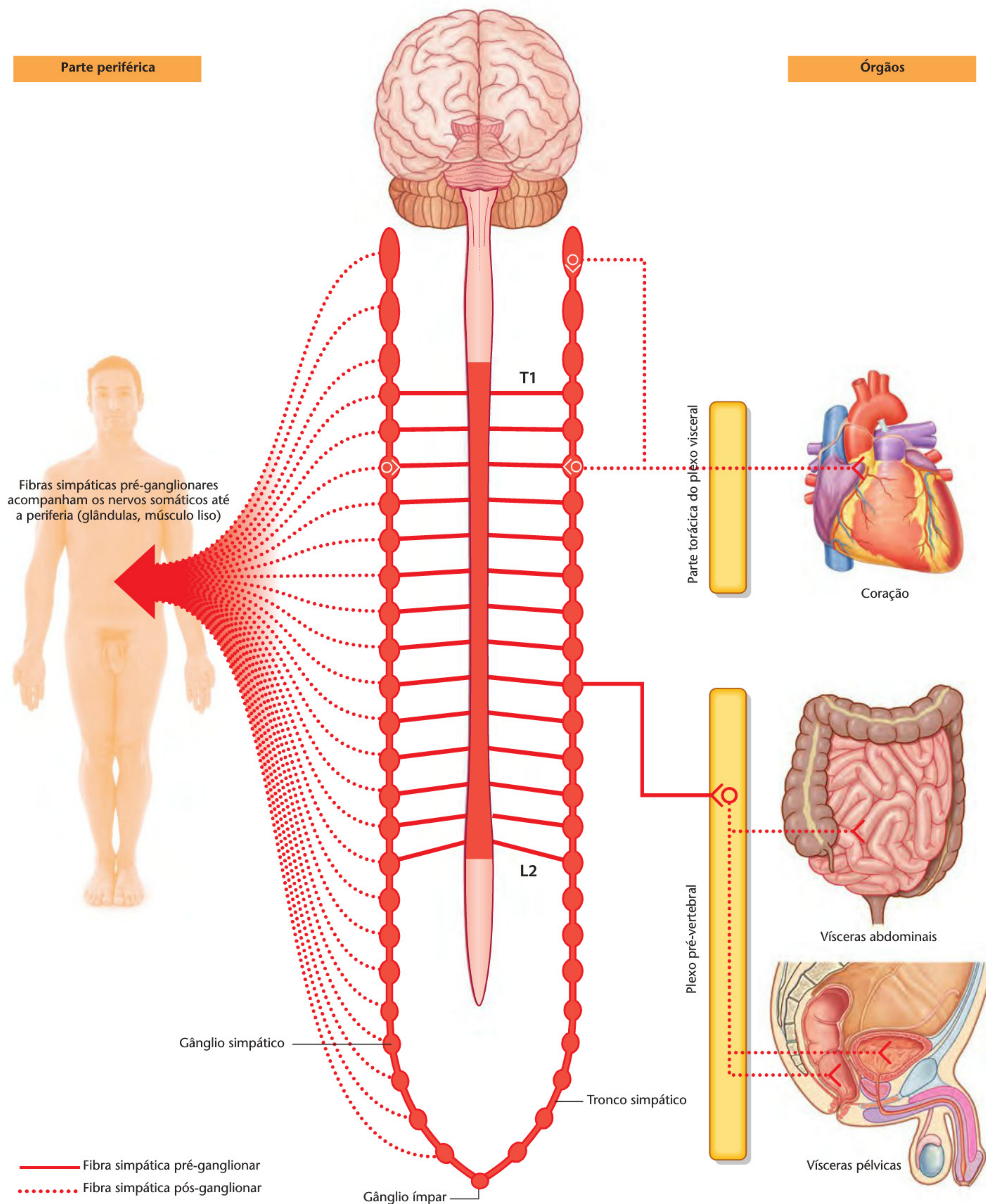
Todas as fibras simpáticas pré-ganglionares se originam nos segmentos medulares espinais T1 a L2 e fazem trajeto junto aos nervos espinais associados

[III]
Gânglio ciliar
Constrição da pupila
Gânglio pterigopalatino
Glândula lacrimal
Glândula parótida
[VII]
[IX]
Gânglio ótico
Glândula sublingual
[X]
Gânglio submandibular
Glândula submandibular
Trajeto das fibras parassimpáticas cranianas pelos nervos cranianos
Parte torácica do plexo visceral
Coração
Nível de transição da inervação pelo nervo vago [X] para os nervos esplâncnicos pélvicos
Trajeto das fibras parassimpáticas sacrais pelos nervos esplâncnicos pélvicos
Plexo pré-vertebral
Vísceras abdominais
Sinapse com os neurônios pós-ganglionares nos intestinos
S2–S4
Tecido erétil do pênis (ou clitóris na mulher)
Fibra parassimpática pré-ganglionar
Fibra parassimpática pós-ganglionar
Vísceras pélvicas

Todas as fibras parassimpáticas pré-ganglionares se originam no encéfalo, fazendo trajeto junto aos nervos cranianos III, VII, IX e X, e nos segmentos medulares espinais S2 a S4

Nervo trigêmeo (NCV)
[V1]
[V2]
[V3]

- Trigeminal
- Cervical
- Torácico
- Lombar
- Sacral
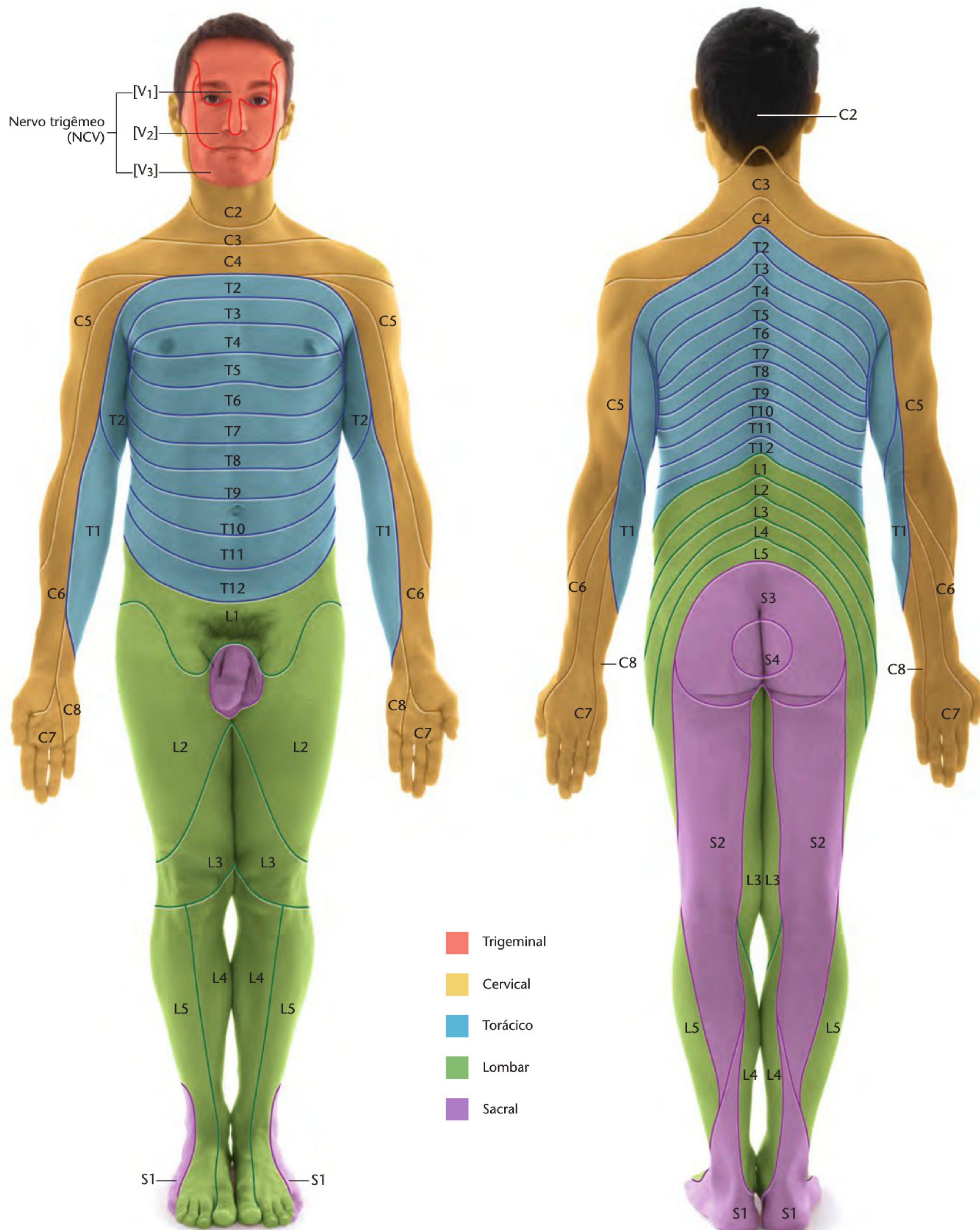
Mapa dos dermátomos
(distribuição cutânea dos nervos)

Nervo occipital maior (C2)
Nervo occipital terceiro (C3)
Ramos cutâneos posteriores (C4-T6)
Nervos supraclaviculares (do plexo cervical) (C3,4)
Ramos cutâneos peitorais laterais dos nervos intercostais (T3-T5)
Nervo cutâneo lateral superior do braço (C5,6)
Nervo cutâneo medial do braço (C8,T1)
Nervo intercostobraquial (T2)
Nervo cutâneo lateral inferior do braço (C5,6)
Nervo cutâneo medial do antebraço (C8,T1)
Ramos cutâneos abdominais laterais dos nervos intercostais (T6-T11)
Nervo cutâneo lateral do antebraço (C5,6)
Ramo cutâneo abdominal lateral do nervo subcostal (T12)
Nervo subcostal (T12)
Ramo palmar do nervo mediano
Ramo palmar do nervo ulnar
Ramo superficial do nervo radial (C7,8)
Nervo mediano (C6,7,8)
Nervo ulnar (C8, T1)
Ramos cutâneos anteriores do nervo femoral (L2,3)
Ramo infrapatelar do nervo safeno
Ramos do nervo cutâneo sural lateral (L5,S1,2)
Nervo safeno (L3,4)
Nervo fibular superficial (L4,5,S1)
Ramo do nervo fibular profundo
Ramo do nervo sural (S1,2)
Ramos cutâneos anteriores dos nervos intercostais (T2-T11)
Ramos cutâneos posteriores (T7-T12)
Nervos clúnios superiores (L1-L3)
Nervos clúnios médios (S1-S3)
Ramo cutâneo anterior do nervo subcostal (T12)
Nervo ilio-hipogástrico (L1)
Ramo femoral do nervo genitofemoral (L1,2)
Nervos clúnios inferiores (S1-S3)
Nervo "inguinal" (L1) (do nervo ilioinguinal)
Nervo cutâneo femoral lateral (L2,3)
Ramos do nervo obturatório (L2,3,4)
Ramo cutâneo anterior do nervo femoral (L2,3)
Nervo supraclavicular (do plexo cervical) (C3,4)
Nervo cutâneo lateral superior do braço (do nervo axilar) (C5,6)
Nervo cutâneo posterior do braço (C5,6,7,8)
Nervo cutâneo medial do braço (C8,T1)
Nervo intercostobraquial (T2)
Nervo cutâneo lateral inferior do braço (C5,6)
Nervo cutâneo posterior do antebraço (C5,6,7,8)
Nervo cutâneo medial do antebraço (C8,T1)
Nervo cutâneo lateral do antebraço (C5,6)
Nervo ilio-hipogástrico (L1)
Ramo superficial do nervo radial (C6,7,8)
Ramo dorsal do nervo ulnar (C8,T1)
Ramos do nervo mediano (C6,7,8)
Ramo do nervo cutâneo femoral lateral (L2,3)
Ramos do nervo cutâneo femoral posterior (L2,3)
Ramo do nervo safeno (L3,4)
Nervo cutâneo sural lateral (L5, S1,2)
Ramo fibular comunicante do nervo fibular comum
Nervo sural (L5, S1,2)

2
DORSO

CONTEÚDO

Processo articular superior
Forame vertebral
Processo espinhoso
Processo articular inferior
Corpo vertebral
Forame transversário
Processo transverso

Vértebra cervical [CV]

Processo articular superior
Processo transverso
Fóvea costal do processo transverso
Forame vertebral
Processo articular inferior
Processo espinhoso
Fóvea costal superior (para articulação com a cabeça da costela V)
Corpo vertebral
Fóvea costal inferior (para articulação com a cabeça da costela VI)

Vértebra torácica [TV]

Forame vertebral
Processo articular superior
Processo espinhoso
Pedículo do arco vertebral
Processo costiforme
Corpo vertebral
Processo articular inferior

Vértebra lombar [LIII]

7 vértebras cervicais [CI-CVII]
12 vértebras torácicas [TI-TXII]
5 vértebras lombares [LI-LV]
Sacro [5 vértebras sacrais fundidas I-V]
Cóccix [3-4 vértebras coccígeas fundidas I-IV]

Tubérculo anterior de CI (atlas)
CI (atlas)
Articulação atlantoaxial lateral
CII (áxis)
Disco intervertebral
CIII
CIV
Forame intervertebral
CV
Tubérculo anterior de CVI (tubérculo carótico)
CVI
Forame transversário
CVII
Tubérculo posterior de CI (atlas)
Articulação dos processos articulares (zigoapofisial)
"Coluna" dos processos articulares
Corpo vertebral de CVII
Processos espinhosos
Vértebra proeminente (processo espinhoso de CVII)

Vértebras cervicais, vista lateral

Tubérculo anterior de CI (atlas)
Dente do áxis [CII]
Corpo vertebral de CII (áxis)
Tubérculo posterior de CI (atlas)
Processo espinhoso de CII (áxis)
Medula espinal
Vértebra proeminente (processo espinhoso de CVII)

Região cervical da coluna vertebral.
Imagem de RM ponderada em T1, no plano sagital

Processo espinhoso de CIII
Vértebra proeminente (processo espinhoso de CVII)
Costela I

Região cervical da coluna vertebral.
Radiografia, vista em AP

Tubérculo anterior de CI (atlas)
Corpo vertebral de CII (áxis)
Espaço do disco intervertebral
Corpo vertebral de CVII
Tubérculo posterior de CI (atlas)
Processo espinhoso de CII (áxis)
Vértebra proeminente (processo espinhoso de CVII)

Região cervical da coluna vertebral.
Radiografia, vista lateral

Tubérculo anterior
Fóvea do dente
Arco anterior
Tubérculos para o ligamento transverso do atlas
Forame transversário
Massa lateral
Face articular superior
Sulco da artéria vertebral
Processo transverso
Forame vertebral
Arco posterior
Tubérculo posterior

Vértebra cervical [CI] (atlas), vista superior

Arco anterior
Face articular superior
Massa lateral
Tubérculo anterior

Vértebra cervical [CI] (atlas), vista anterior

Face articular anterior
Dente do áxis
Face articular superior
Processo transverso
Faces para a fixação dos ligamentos alares
Forame vertebral
Processo espinhoso

Vértebra cervical [CII] (áxis), vista superior

Dente do áxis
Sulco (por transparência) na face posterior do dente do áxis para o ligamento transverso do atlas
Face articular anterior
Face articular superior
Parte interarticular
Processo transverso
Face articular inferior
Corpo vertebral

Vértebra cervical [CII] (áxis), vista anterior

Corpo vertebral
Pedículo do arco vertebral
Forame transversário
Tubérculo anterior
Tubérculo posterior
Sulco do nervo espinal
Face articular superior
Processo articular inferior
Lâmina do arco vertebral
Forame vertebral
Processo espinhoso (bífido)

Vértebra cervical [CV], vista superior

Corpo vertebral
Unco do corpo (processo uncinado)
Face articular inferior
Processo espinhoso (bífido)

Vértebra cervical [CV], vista anterior

Unco do corpo (processo uncinado)
Articulação dos processos articulares (zigoapofisial)
CIV
Articulação "uncovertebral"
Disco intervertebral
CV
Face articular inferior

Vértebras cervicais [CIV/CV], vista anterior

Corpo vertebral
Cápsula articular
Unco do corpo (processo uncinado)

Articulação "uncovertebral"

Anterior

Tubérculo anterior de CI (atlas)
Processo transverso de CI (atlas)
Articulação atlantoaxial mediana
Dente do áxis [CII]
Forame transversário
Ligamento transverso do atlas
Arco posterior de CI (atlas)
Tubérculo posterior do atlas [CI]

Posterior

Primeira vértebra cervical (atlas).
Imagem de TC no plano transversal (axial)

Arco anterior de CI (atlas)
Dente do áxis [CII]
Arco posterior de CI (atlas)
Processo espinhoso de CII (áxis)
Corpo vertebral de CII (áxis)
Espaço do disco intervertebral

Vértebras cervicais [CI-CIII].
Radiografia, vista lateral

Anterior

Corpo vertebral
Tubérculo anterior
Forame transversário
Tubérculo posterior
Forame vertebral
Processo espinhoso
Lâmina do arco vertebral

Posterior

Vértebra cervical típica.
Imagem de TC no plano transversal (axial)

TI
TII
TIII
TIV
Disco intervertebral
TV
TVI
TVII
TVIII
TIX
TX
TXI
TXII
Articulação dos processos articulares (zigoapofisial)
Forame intervertebral
Processo espinhoso

Vértebras torácicas, vista lateral

Corpo vertebral de TI
Disco intervertebral
Corpo vertebral de TIX (com fratura por compressão)
Corpo vertebral de TXII
Líquido cerebrospinal (LCE) no espaço subaracnóideo
Medula espinal
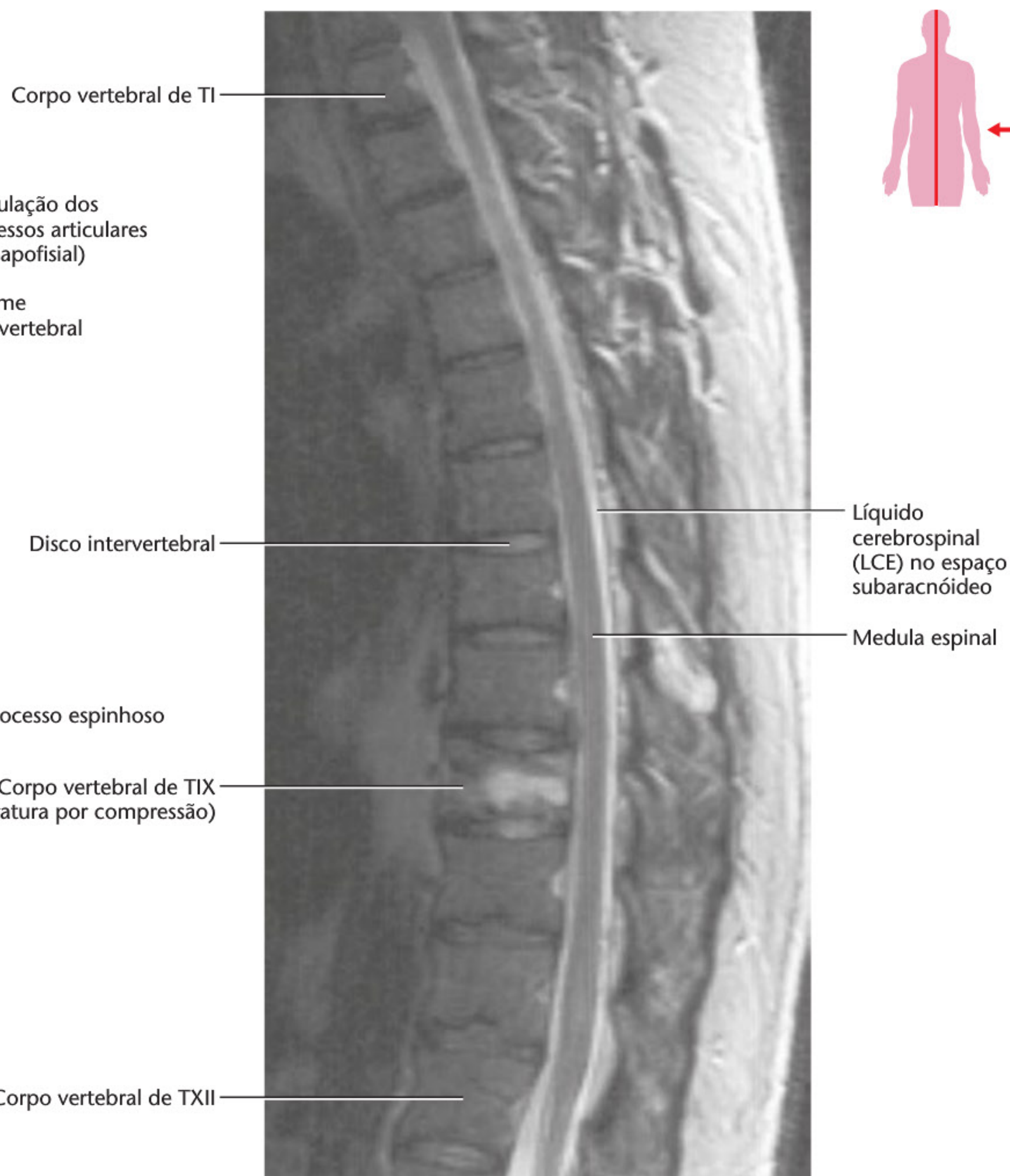
Região torácica da coluna vertebral.
Imagem de RM ponderada em T2, no plano sagital (fratura por compressão de TIX)

Corpo vertebral
Forame vertebral
Fóvea costal superior (para a cabeça da costela III)
Face articular superior
Pedículo do arco vertebral
Lâmina do arco vertebral
Processo transverso
Processo espinhoso
Fóvea costal do processo transverso (para articulação com o tubérculo da costela III)
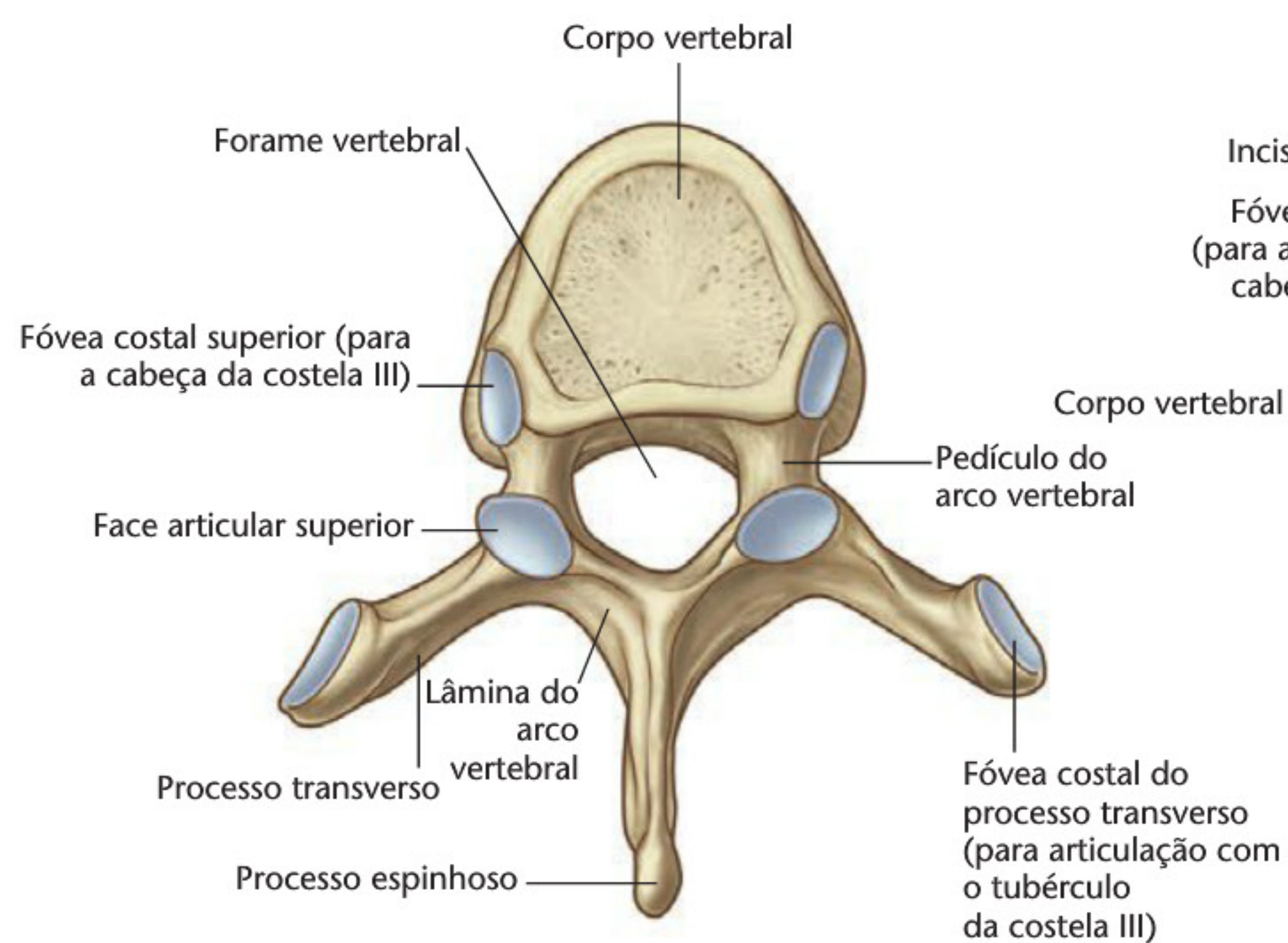
Vértebra torácica [TIII], vista superior

Processo articular superior
Incisura vertebral superior
Face articular superior
Fóvea costal superior (para articulação com a cabeça da costela III)
Corpo vertebral
Fóvea costal do processo transverso (para articulação com o tubérculo da costela III)
Processo espinhoso
Fóvea costal inferior (para articulação com a cabeça da costela IV)
Incisura vertebral inferior
Face articular inferior
Processo articular inferior

Vértebra torácica [TIII], vista lateral
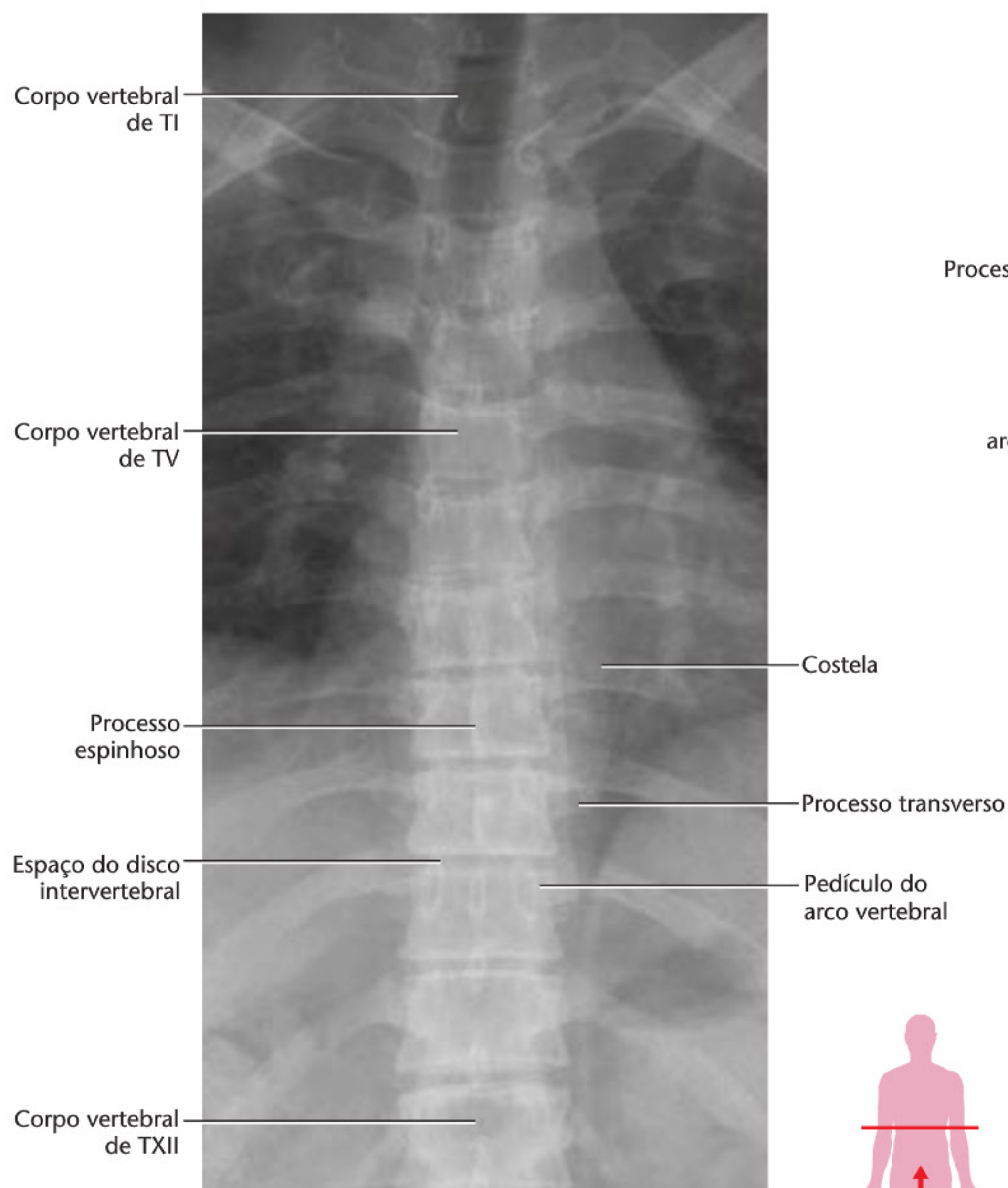
Corpo vertebral de TI
Corpo vertebral de TV
Costela
Processo espinhoso
Processo transverso
Espaço do disco intervertebral
Pedículo do arco vertebral
Corpo vertebral de TXII

Região torácica da coluna vertebral.
Radiografia, vista em AP

Face articular superior
Processo transverso
Lâmina do arco vertebral
Processo articular inferior
Processo espinhoso

Vértebra torácica [TIII], vista posterior

Parte torácica da aorta
Corpo vertebral
Cabeça da costela
Processo transverso
Tubérculo da costela
Processo espinhoso

Vértebra torácica com articulações costovertebrais.
Imagem de TC no plano transversal (axial)

Corpo vertebral
Forame vertebral
Pedículo do arco vertebral
Face articular superior
Processo transverso
Processo espinhoso

Vértebra torácica [TXII], vista superior

Processo articular superior
Incisura vertebral superior
Face articular superior
Fóvea costal
Processo transverso
Processo espinhoso
Corpo vertebral
Incisura vertebral inferior
Face articular inferior
Processo articular inferior

Vértebra torácica [TXII], vista lateral

Corpo vertebral
LI
LII
LIII
LIV
LV
Processo espinhoso
Processo costiforme
Forame intervertebral
Articulação dos processos articulares (zigoapofisial)
Disco intervertebral

Vértebras lombares, vista lateral
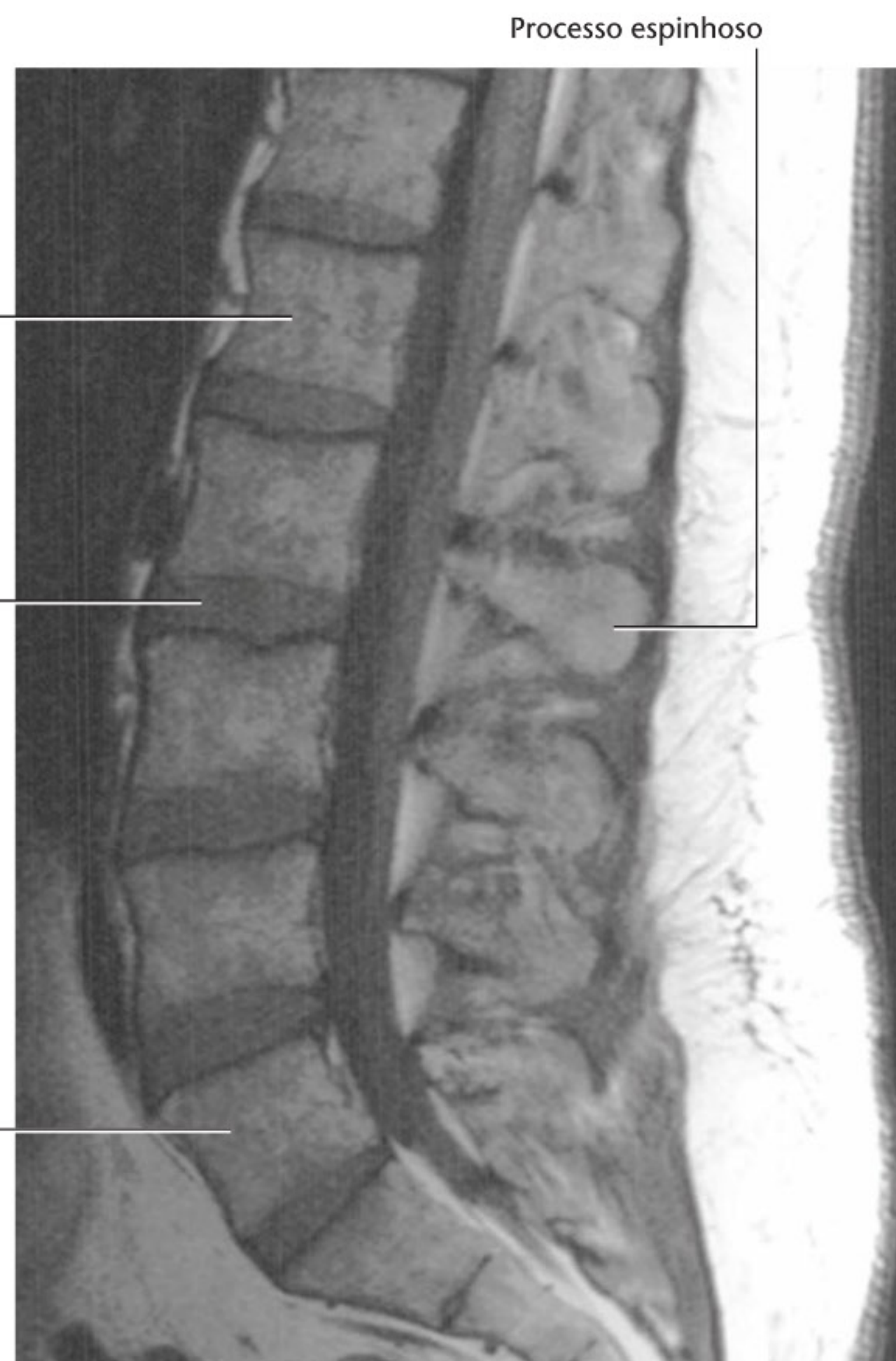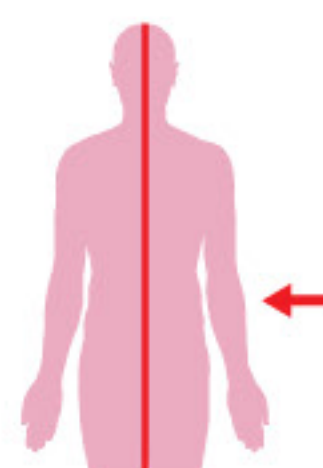
Processo espinhoso
Corpo vertebral de LI
Disco intervertebral
Corpo vertebral de LV

Região lombar da coluna vertebral.
Imagem de RM ponderada em T1, no plano sagital

Corpo vertebral de LI
Nervo espinal
Pedículo do arco vertebral
Forame intervertebral
Disco intervertebral
Corpo vertebral de LV
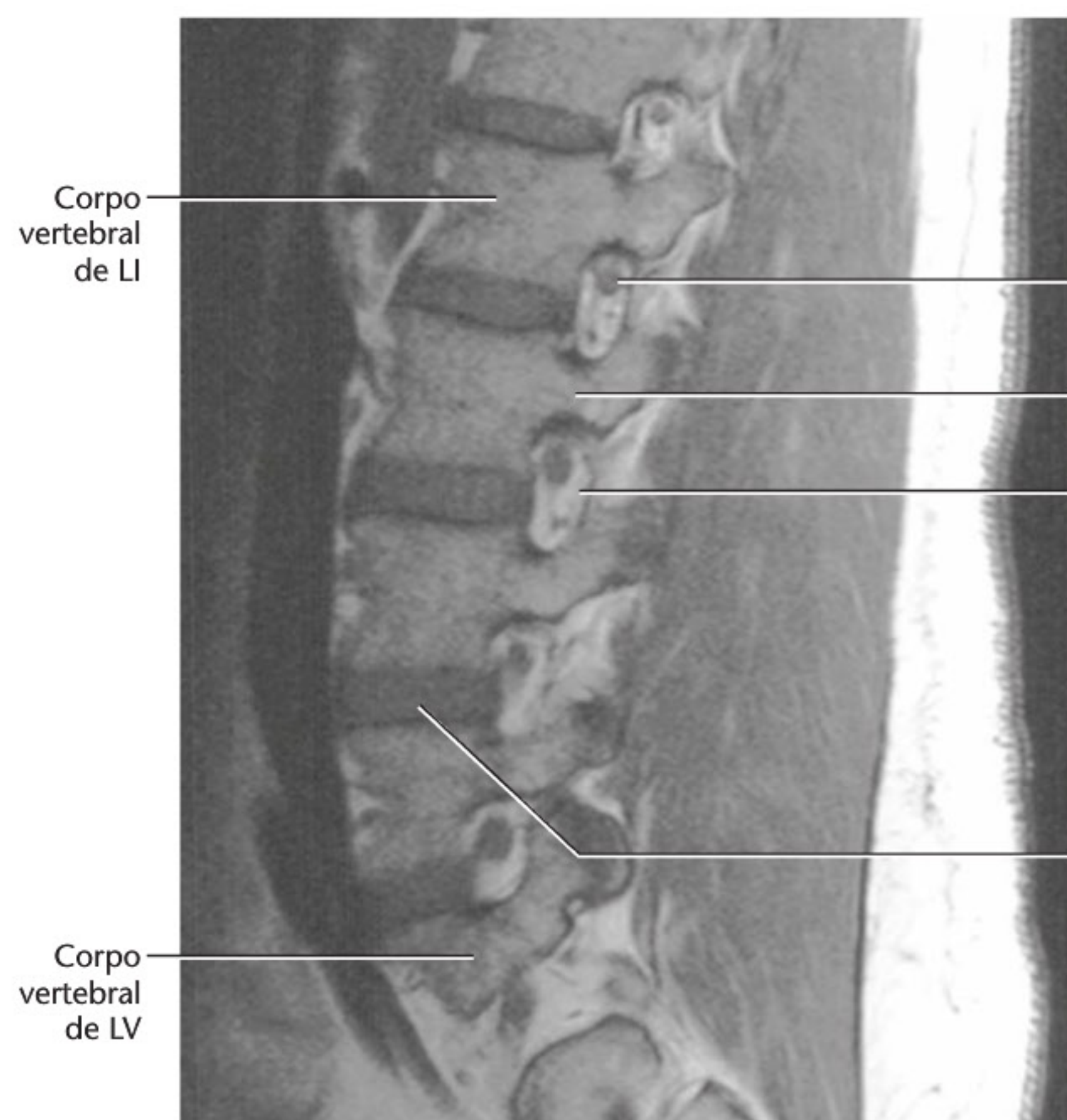
Forames intervertebrais da região lombar da coluna vertebral.
Imagem de RM ponderada em T1, no plano sagital

Corpo vertebral de LI
Espaço do disco intervertebral
Forame intervertebral
Processo articular inferior
Processo articular superior
Corpo vertebral de LV

Região lombar da coluna vertebral.
Radiografia, vista lateral

Forame vertebral
Corpo vertebral
Pedículo do arco vertebral
Processo mamilar
Lâmina do arco vertebral
Face articular superior
Processo costiforme
Processo espinhoso
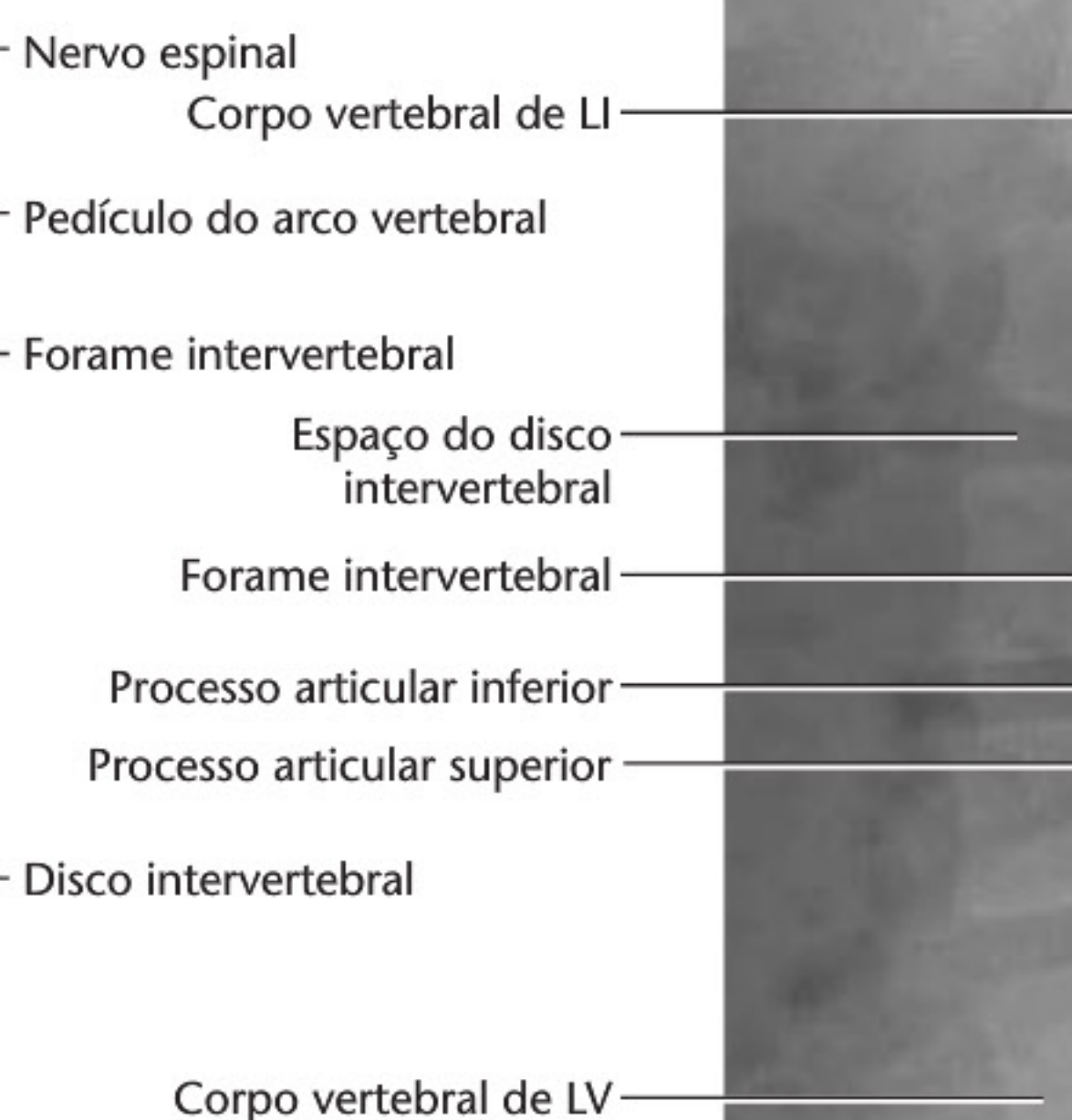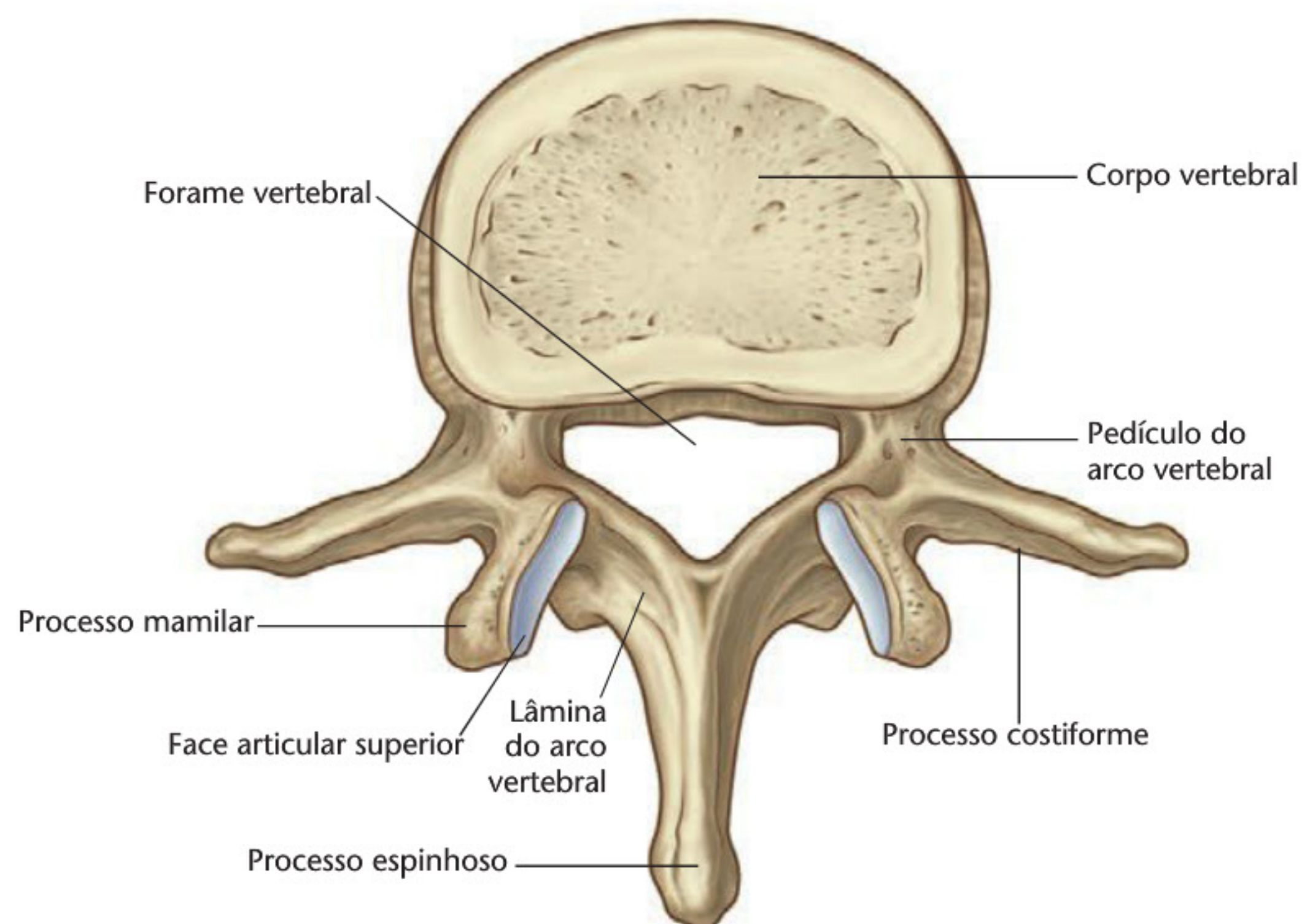
Vértebra lombar [LIV], vista superior

Processo articular superior
Face articular superior
Processo mamilar
Processo costiforme
Processo articular inferior
Processo espinhoso
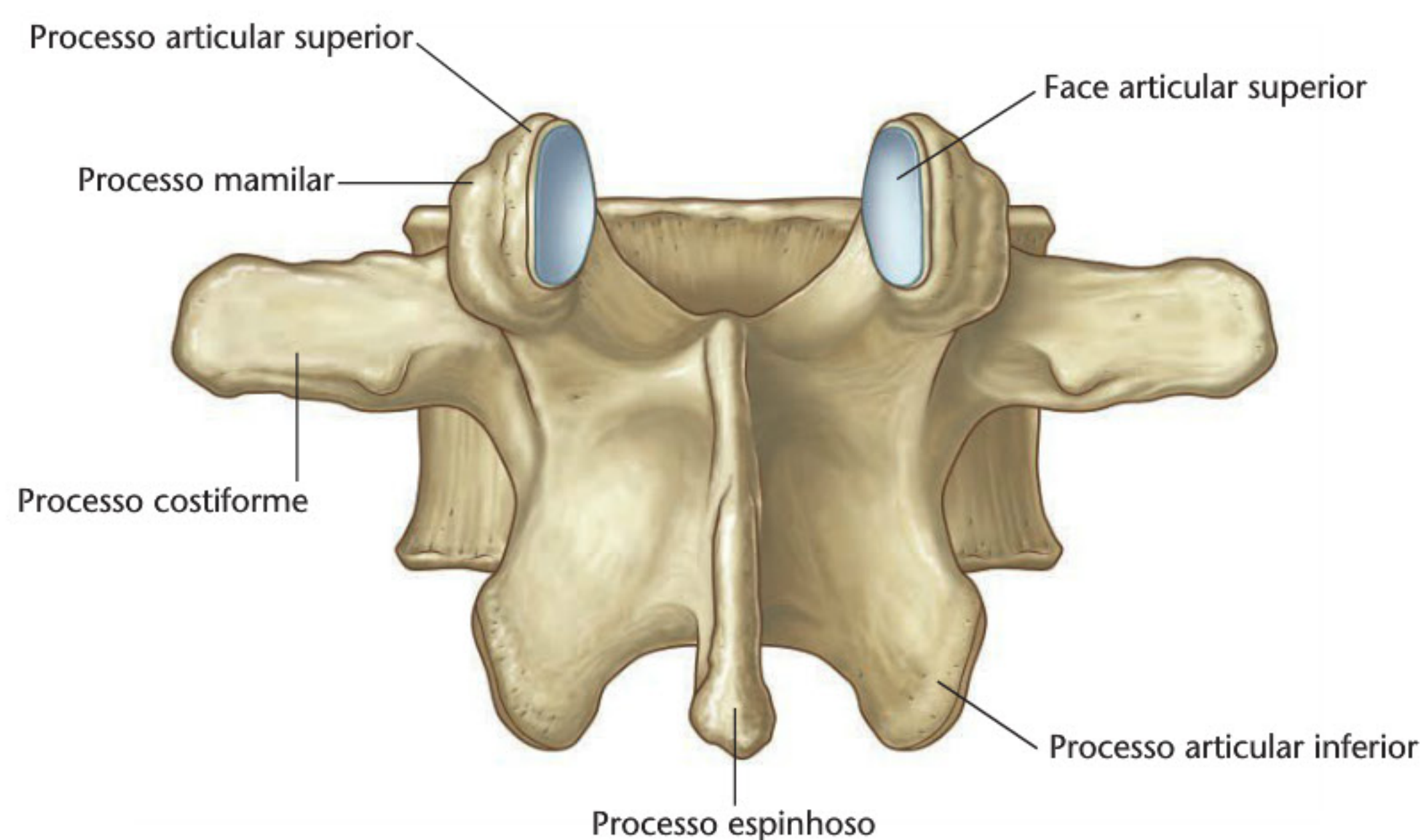
Vértebra lombar [LIV], vista posterior

Corpo vertebral
Músculo psoas maior
Processo articular superior
Processo articular inferior
Articulação dos processos articulares (zigoapofisial)
Lâmina do arco vertebral
Processo espinhoso
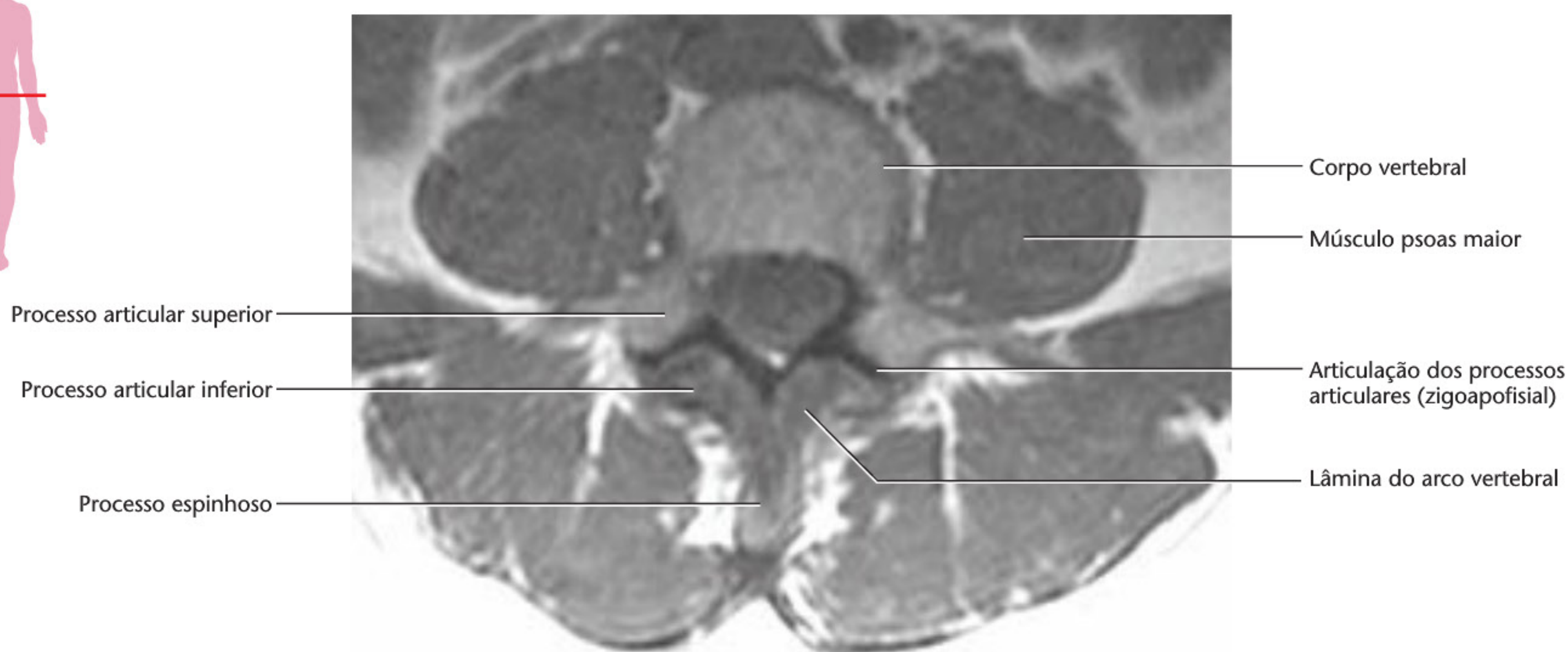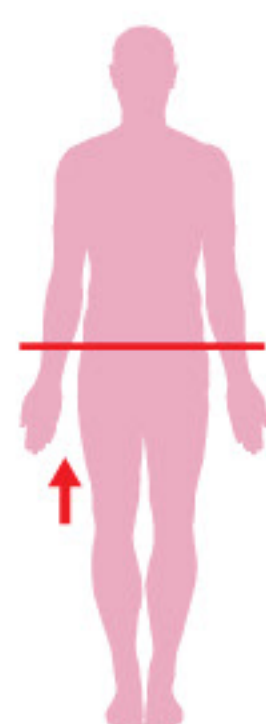
Articulação das vértebras lombares.
Imagem de RM ponderada em T1, no plano sagital

Incisura vertebral superior
Processo articular superior
Pedículo do arco vertebral
Processo mamilar
Processo costiforme
Corpo vertebral
Processo espinhoso
Incisura vertebral inferior
Face articular inferior
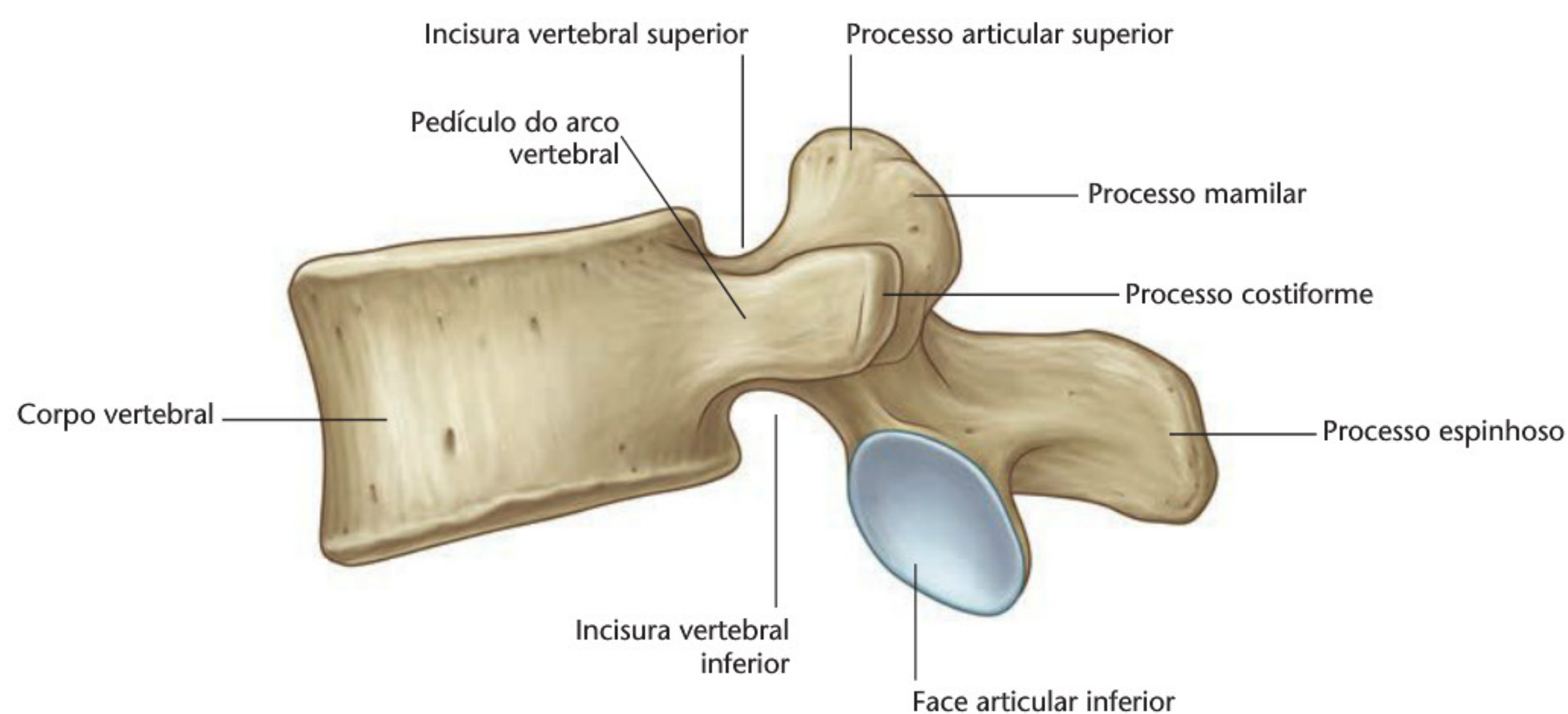
Vértebra lombar [LIV], vista lateral

Processo articular superior
Face articular superior
Processo mamilar
Processo costiforme
Corpo vertebral
Lâmina do arco vertebral
Processo acessório
Parte interarticular
Processo articular inferior
Processo espinhoso

Vértebra lombar [LIV], vista oblíqua
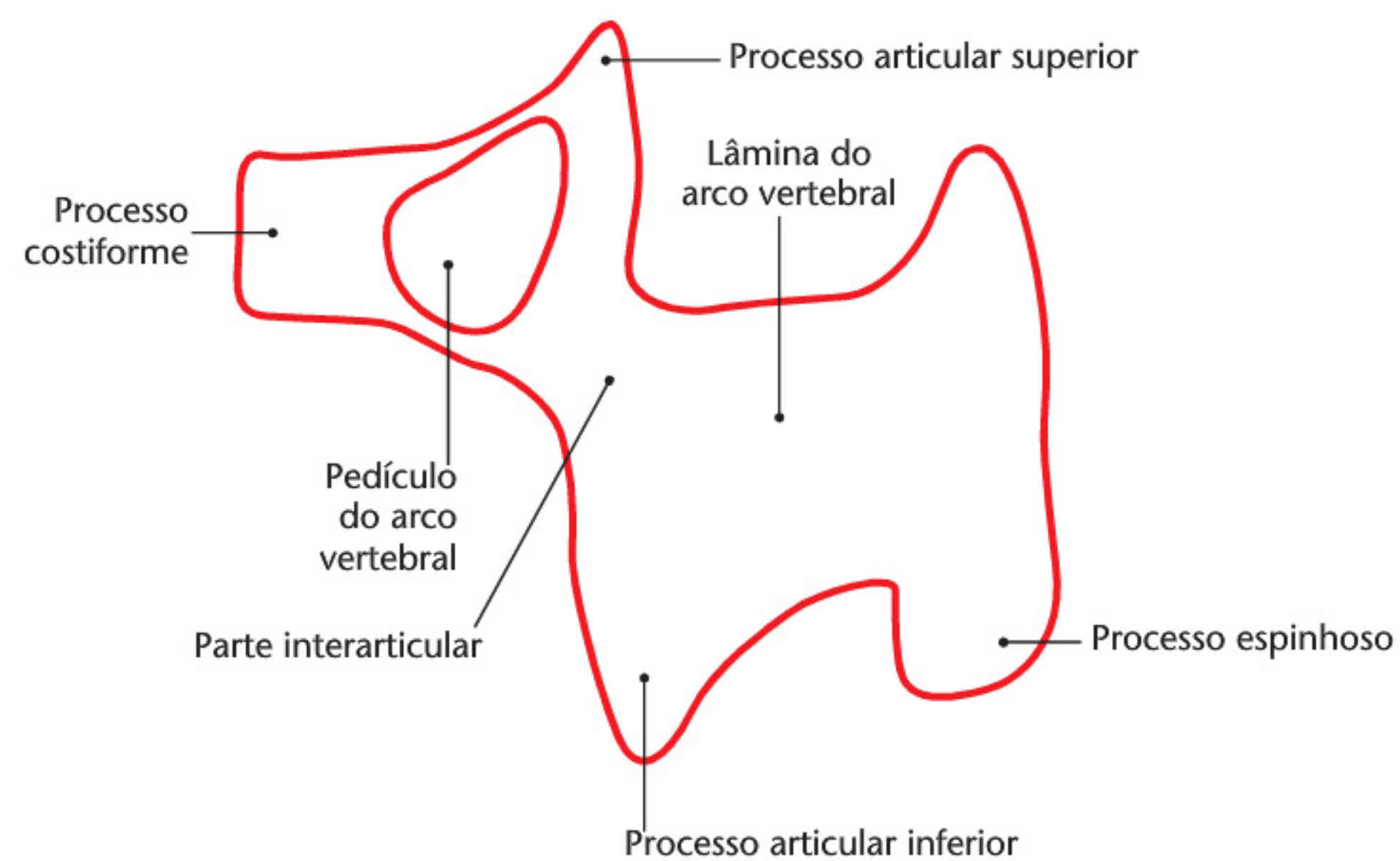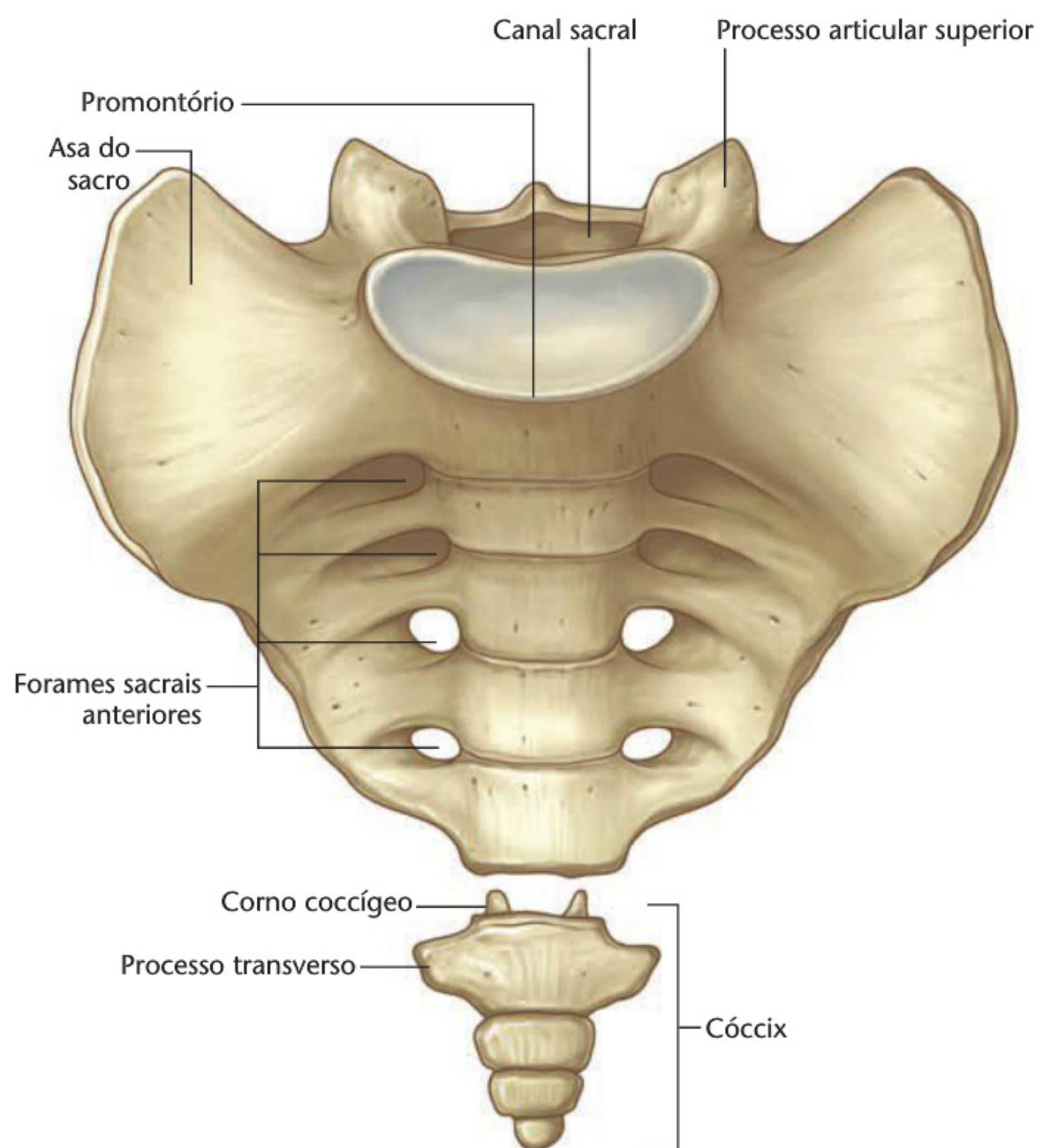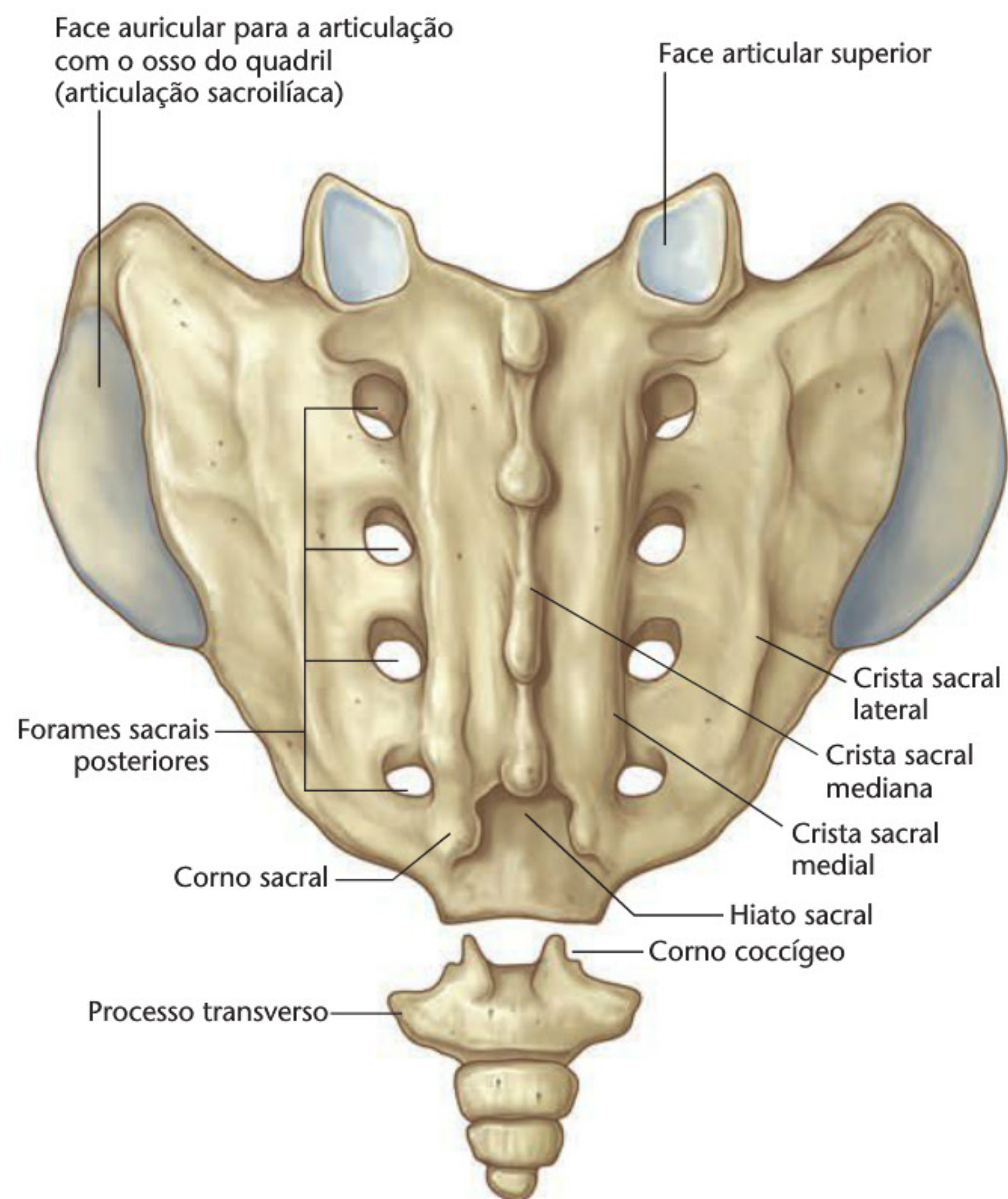
Processo articular superior
Lâmina do arco vertebral
Processo costiforme
Pedículo do arco vertebral
Parte interarticular
Processo espinhoso
Processo articular inferior

Região lombar da coluna vertebral ("figura de cão escocês").
Radiografia, vista oblíqua

Disco intervertebral
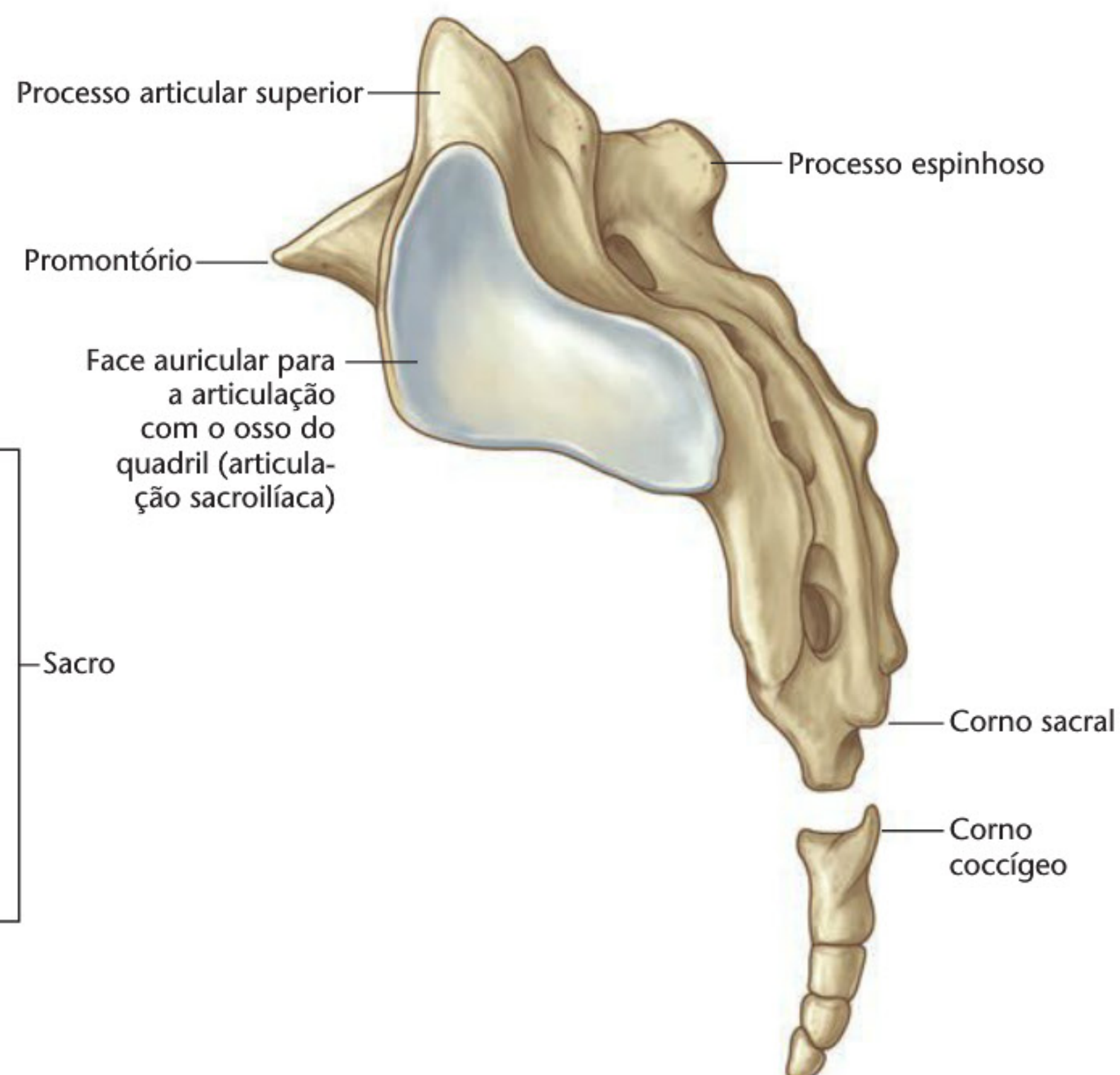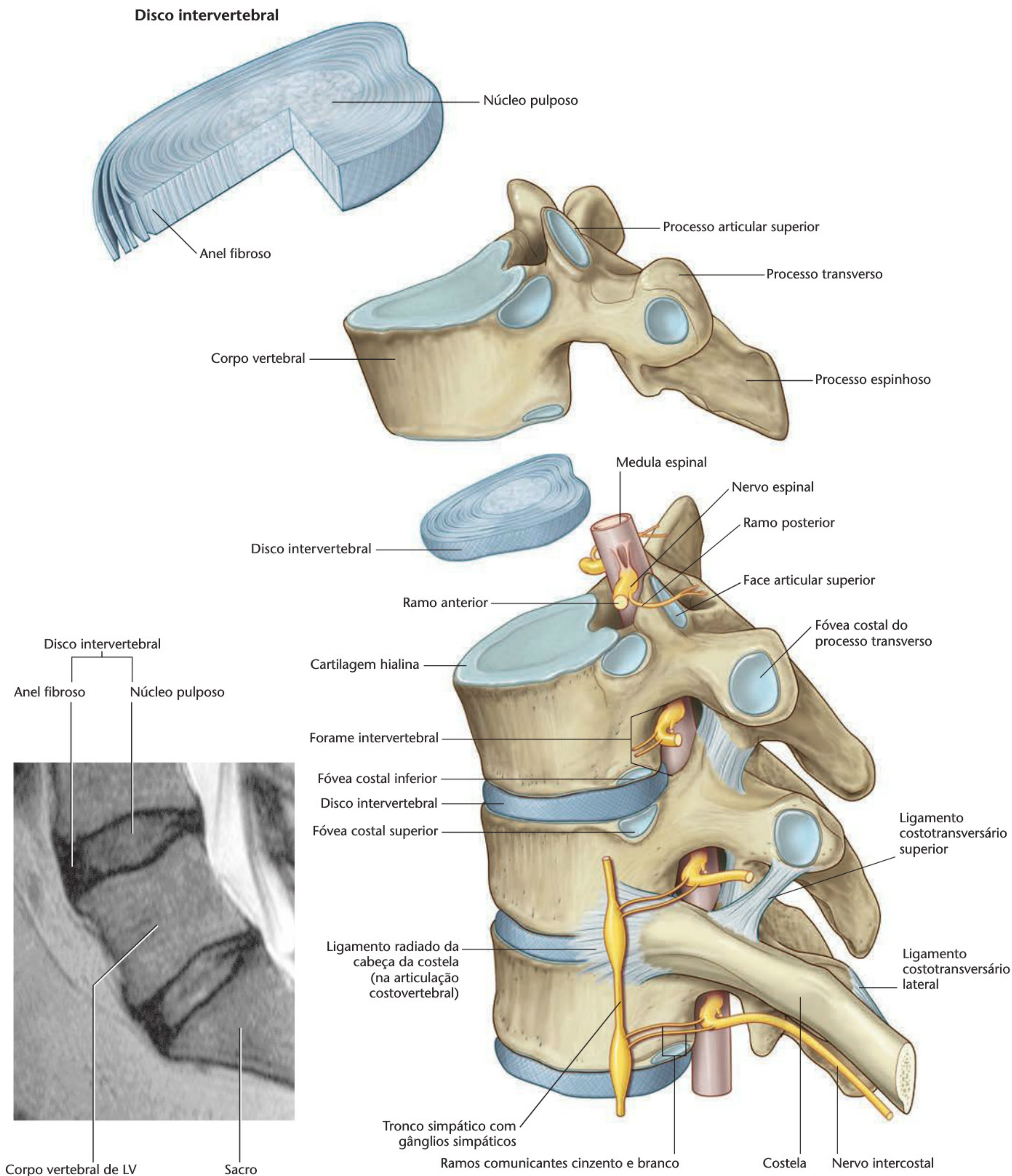
Núcleo pulposo
Anel fibroso
Processo articular superior
Processo transverso
Corpo vertebral
Processo espinhoso
Medula espinal
Nervo espinal
Ramo posterior
Disco intervertebral
Face articular superior
Ramo anterior
Fóvea costal do processo transverso
Cartilagem hialina
Forame intervertebral
Fóvea costal inferior
Disco intervertebral
Fóvea costal superior
Ligamento costotransversário superior
Ligamento radiado da cabeça da costela (na articulação costovertebral)
Ligamento costotransversário lateral
Tronco simpático com gânglios simpáticos
Ramos comunicantes cinzento e branco
Costela
Nervo intercostal

Forames e discos intervertebrais na região torácica

Disco intervertebral
Anel fibroso
Núcleo pulposo
Corpo vertebral de LV
Sacro

Disco intervertebral na parte inferior da região lombar da coluna vertebral.
Imagem de RM ponderada em T2, no plano sagital

Canal vertebral contendo o líquido cerebrospinal (LCE) e a cauda eqüina

Vértebra LIV

Protrusão do disco intervertebral

Protrusão do disco intervertebral na parte inferior da região lombar da coluna vertebral.
Imagem de RM ponderada em T2, no plano sagital

Medula espinal

Cauda eqüina

LIV

Herniação do núcleo pulposo

LV
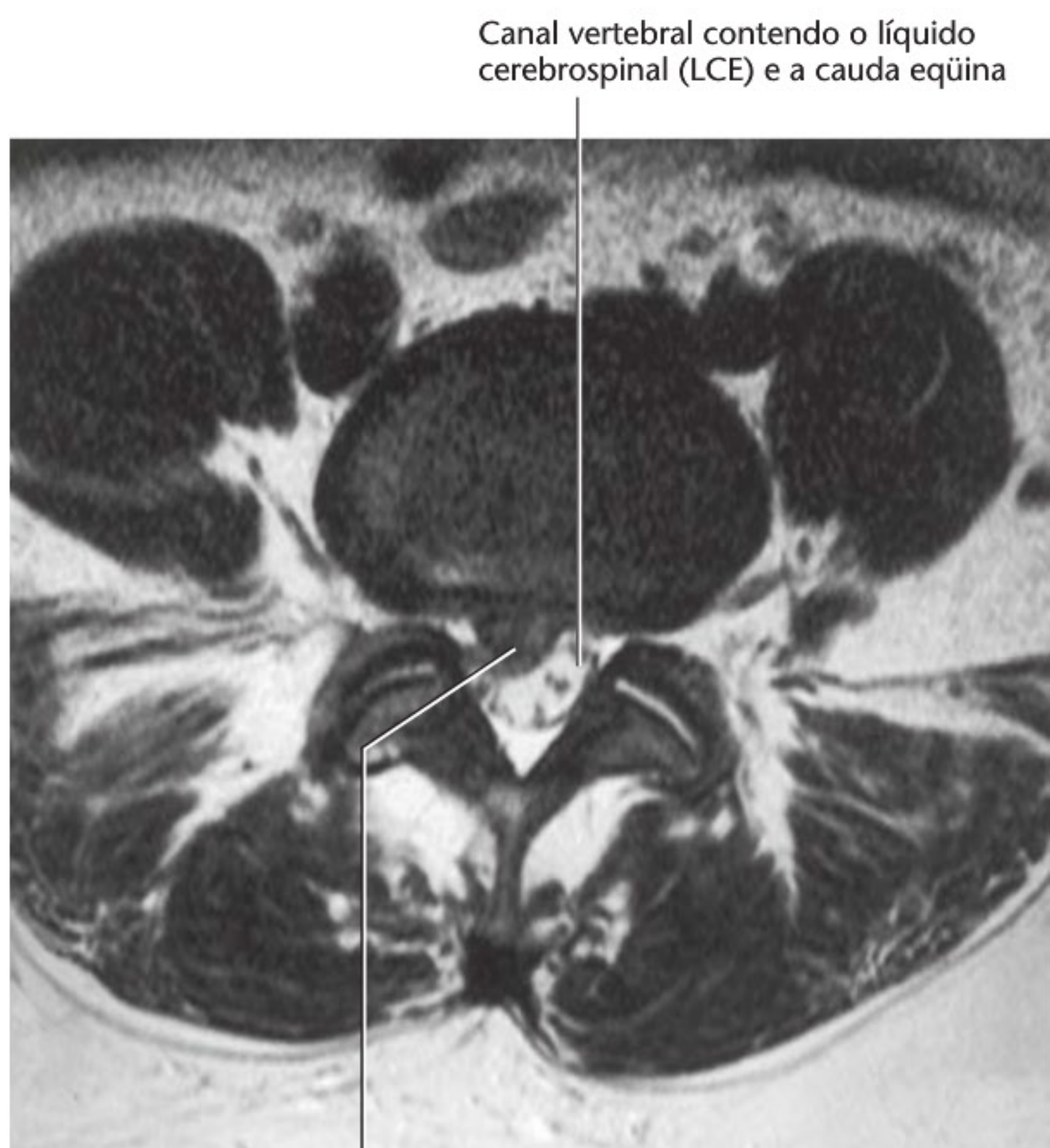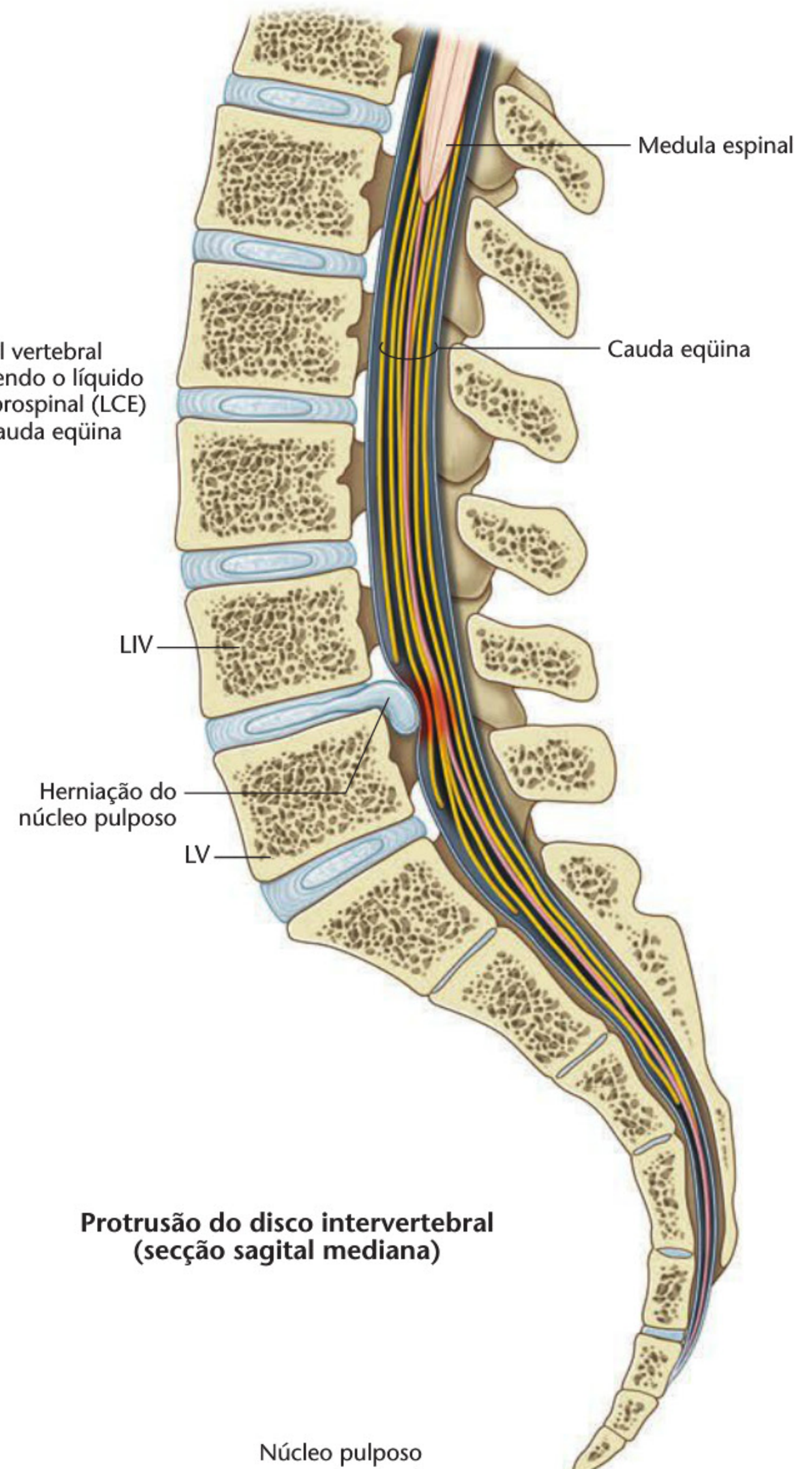
Protrusão do disco intervertebral (secção sagital mediana)

Canal vertebral contendo o líquido cerebrospinal (LCE) e a cauda eqüina

Protrusão do disco intervertebral

Protrusão do disco intervertebral na parte inferior da região lombar da coluna vertebral.
Imagem de RM ponderada em T2, no plano transversal

Núcleo pulposo

Anel fibroso

Herniação do núcleo pulposo

Defeito no anel fibroso

Compressão das raízes dos nervos espinais

Dura-máter

Cauda eqüina

Protrusão do disco intervertebral (vista superior)

Cauda eqüina
LIV
L4
Herniação do núcleo pulposo do disco intervertebral entre LIV/LV sem afetar o nervo espinal L4, porém comprimindo o nervo L5 e os outros nervos passando para os níveis mais inferiores
LV
L5
Sacro
S1
S2
S3
S4
S5
Co
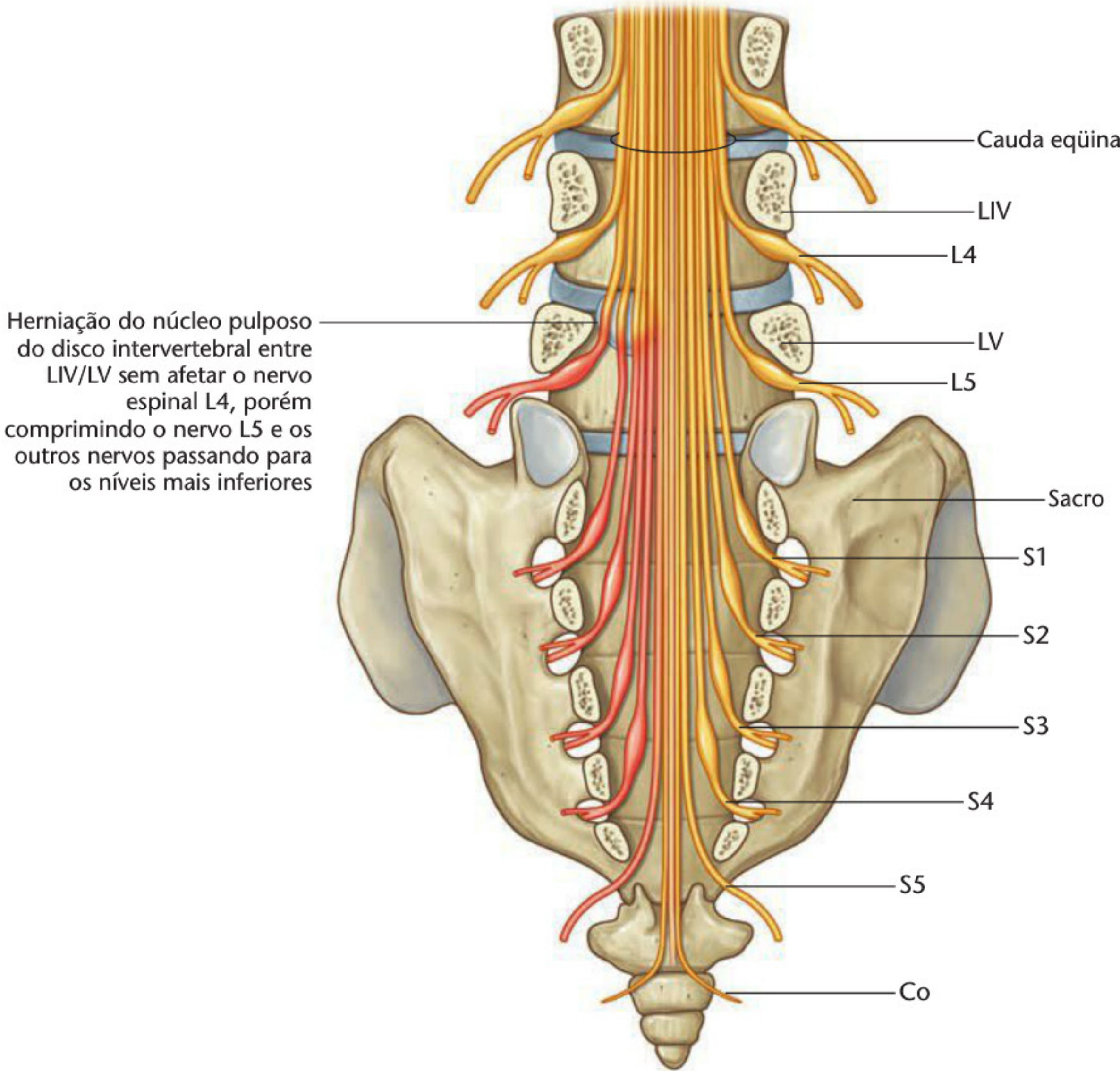
Protrusão do disco intervertebral (vista posterior)

Raiz nervosa	Principal fraqueza	Reflexo diminuído	Área de diminuição sensitiva	Disco envolvido
C5	M. deltóide (m. bíceps braquial)	(m. bíceps braquial, mm. peitorais)	Ombro, parte súpero-lateral do braço	CIV-CV
C6	Extensão do punho	(m. bíceps braquial, m. braquiorradial)	Primeiro e segundo dedos (parte lateral do antebraço)	CV-CVI
C7	M. tríceps braquial	M. tríceps braquial	Terceiro dedo	CVI-CVII
C8	Músculos intrínsecos da mão		Quarto e quinto dedos (parte medial do antebraço)	CVII-TI

Raízes nervosas clinicamente importantes do membro superior
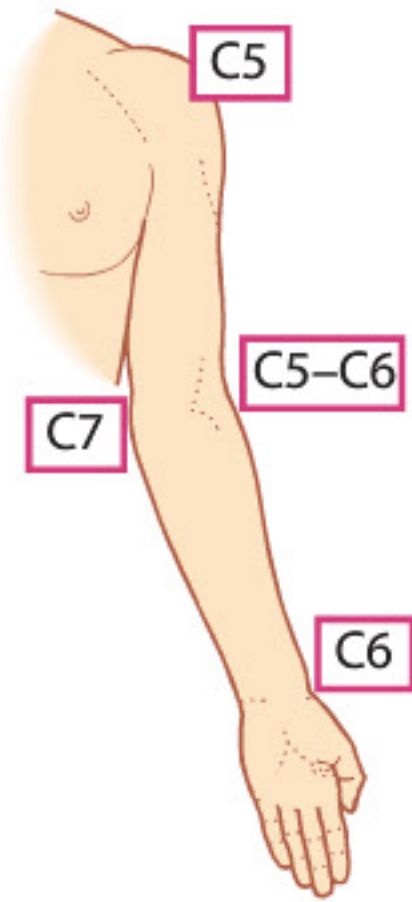
C5
C5–C6
C7
C6

Raiz nervosa	Principal fraqueza	Reflexo diminuído	Área de diminuição sensitiva	Disco envolvido
L4	M. iliopsoas e M. quadríceps femoral	Ligamento da patela (estender a perna rapidamente)	Joelho, parte ínfero-medial da perna	LIII-LIV
L5	Dorsiflexão do pé (extensão do hálux, eversão e inversão do pé)		Dorso do pé, hálux	LIV-LV
S1	Flexão plantar do pé	Tendão do calcâneo (dorsifletir o pé rapidamente)	Parte lateral do pé, dedo mínimo e planta do pé	LV-SI

Raízes nervosas clinicamente importantes do membro inferior

L4
L5
S1

Protuberância occipital externa
Ligamento nucal
Vértebra proeminente (processo espinhoso de CVII)
Ligamento supra-espinal
Ligamento interespinal

Ligamento nucal e ligamento supra-espinal (vista lateral)

Ligamento longitudinal anterior
Corpo vertebral, vértebra lombar
Processo articular superior
Face articular superior
Disco intervertebral
Ligamento longitudinal posterior
Ligamento amarelo
Processo espinhoso
Cápsula articular da articulação dos processos articulares (zigoapofisial)
Processo costiforme
Ligamento supra-espinal
Ligamento interespinal
Face articular inferior
Processo articular inferior

Ligamentos das vértebras da região lombar (vista posterior oblíqua)

Ligamento longitudinal anterior
Processo articular superior
Ligamento amarelo
Ligamento interespinal
Ligamento supra-espinal
Disco intervertebral
Ligamento longitudinal posterior
Processo articular inferior

Ligamento amarelo

Ligamento nucal

Músculo esplênio da cabeça

Músculo trapézio

Músculo levantador da escápula

Ângulo superior da escápula

Acrômio da escápula

Músculo rombóide menor

Espinha da escápula

Músculo rombóide maior

Trígono da ausculta

Ângulo inferior da escápula

Úmero

Músculo latíssimo do dorso

Músculo eretor da espinha

Crista ilíaca

Vista posterior de um homem mostrando as projeções dos músculos do dorso

Linha nucal superior
Protuberância occipital externa
Músculo esplênio da cabeça
Nervo dorsal da escápula
Ramo superficial da artéria cervical transversa
Músculo trapézio
Músculo levantador da escápula
Espinha da escápula
Nervo acessório (NCXI)
Músculo rombóide menor
Músculo deltóide
Ramo profundo da artéria cervical transversa (artéria dorsal da escápula)
Músculo infra-espinal
Músculo rombóide maior
Músculo redondo maior
Trígono da ausculta
Ângulo inferior da escápula
Úmero
Músculo latíssimo do dorso
Aponeurose toracolombar
Músculo oblíquo externo do abdome
Trígono lombar

Músculos da camada superficial – trapézio e latíssimo do dorso

Músculo esplênio da cabeça
Nervo dorsal da escápula
Músculo levantador da escápula
Ramo superficial da artéria cervical transversa
Músculo supra-espinal
Espinha da escápula
Músculo levantador da escápula
Músculo rombóide menor
Músculo rombóide menor (seccionado)
Músculo redondo menor
Ramo profundo da artéria cervical transversa (artéria dorsal da escápula)
Músculo infra-espinal
Músculo rombóide maior
Músculo rombóide maior (seccionado)
Músculo redondo maior
Músculo levantador da escápula
Músculo rombóide menor
Músculo supra-espinal
Músculo latíssimo do dorso
Músculo redondo menor
Músculo infra-espinal
Músculo oblíquo externo do abdome
Músculo redondo maior
Músculo serrátil anterior
Músculo rombóide maior

Músculos da camada superficial – levantador da escápula e rombóides menor e maior

Músculo semiespinal da cabeça
Músculo esplênio da cabeça
Ligamento nucal
Músculo levantador da escápula
Músculo supra-espinal
Acrômio da escápula
Músculo serrátil posterior superior
Músculo redondo menor
Músculo esplênio do pescoço
Músculo infra-espinal
Músculo redondo maior
Lâmina posterior da aponeurose toracolombar
Músculo serrátil anterior
Músculo serrátil posterior inferior
Músculo oblíquo externo do abdome
Crista ilíaca

Músculos da camada média

Osso occipital
Linha nucal superior
Ligamento nucal
Músculo semiespinal da cabeça
Processo espinhoso de CII (áxis)
Músculo esplênio da cabeça
Músculo longuíssimo da cabeça
Vértebra proeminente (processo espinhoso de CVII)
Músculo iliocostal do pescoço
Músculo longuíssimo do pescoço
Músculo esplênio do pescoço
Músculo longuíssimo do tórax
Músculo espinal do tórax
Músculo longuíssimo do tórax
Músculo espinal do tórax
Músculo iliocostal do lombo, parte torácica
Músculo iliocostal do lombo, parte torácica
Músculo iliocostal do lombo, parte lombar
Músculo transverso do abdome
Crista ilíaca
Espinha ilíaca póstero-superior

Músculos da camada profunda – músculo eretor da espinha

Músculo reto posterior menor da cabeça
Músculo semiespinal da cabeça
Músculo oblíquo superior da cabeça
Processo transverso de CI (atlas)
Processo espinhoso de CII (áxis)
Músculo reto posterior maior da cabeça
Músculo oblíquo inferior da cabeça
Vértebra proeminente (processo espinhoso de CVII)
Músculo semiespinal do tórax
Músculos rotadores do tórax (curto, longo)
Músculos levantadores das costelas (curto, longo)
Músculos multífidos
Músculo intertransversário lateral do lombo
Músculo quadrado do lombo
Crista ilíaca
Músculo eretor da espinha (seccionado)

Músculos da camada profunda – músculos transverso-espinais e músculos segmentares

Fáscia transversal
Músculo psoas maior
Músculo transverso do abdome
Pele
Músculo oblíquo interno do abdome
Tela subcutânea
Músculo oblíquo externo do abdome
Músculo quadrado do lombo
Lâmina anterior
Lâmina média
Lâmina posterior
Aponeurose toracolombar
Músculo latíssimo do dorso
Músculo eretor da espinha
Músculos transverso-espinais

Aponeurose toracolombar e músculos profundos do dorso (secção transversal – região lombar)

Músculo transverso do abdome
Músculo oblíquo interno do abdome
Músculo oblíquo externo do abdome
Músculo psoas maior
Músculo latíssimo do dorso
Músculo quadrado do lombo
Processo costiforme
Músculo eretor da espinha
Processo espinhoso
Músculos transverso-espinais

Região lombar [LIII] mostrando os músculos do dorso.
Imagem de TC no plano transversal (axial)

Nervo occipital terceiro (ramo posterior do nervo espinal cervical C3)
Músculo reto posterior menor da cabeça
Ramo occipital da artéria occipital
Músculo semiespinal da cabeça (seccionado)
Músculo reto posterior maior da cabeça
Nervo occipital maior (ramo posterior do nervo espinal cervical C2)
Músculo oblíquo superior da cabeça
Músculo esplênio da cabeça (seccionado)
Artéria occipital
Ramo posterior do nervo espinal cervical C1
Ramo descendente da artéria occipital
Processo mastóide do osso temporal
Processo transverso de CI (atlas)
Artéria vertebral
Ramo posterior do nervo espinal cervical C2
Músculo oblíquo inferior da cabeça
Processo transverso de CII (áxis)
Músculo longuíssimo da cabeça
Processo espinhoso de CII (áxis)
Músculo interespinal do pescoço
Músculo multífido
Ramo posterior do nervo espinal cervical C3
Músculo semiespinal da cabeça (seccionado)
Músculo espinal do pescoço
Músculo esternocleidomastóideo (seccionado)
Músculo esplênio da cabeça (seccionado)
Músculo trapézio (seccionado)
Músculo semiespinal do pescoço

Região cervical posterior (suboccipital)

Relação das raízes dos nervos espinais com as vértebras

Nervos espinais cervicais: C1, C2, C3, C4, C5, C6, C7, C8
CI, CII, CIII, CIV, CV, CVI, CVII
Nervos espinais torácicos: T1, T2, T3, T4, T5, T6, T7, T8, T9, T10, T11, T12
TI, TII, TIII, TIV, TV, TVI, TVII, TVIII, TIX, TX, TXI, TXII
Nervos espinais lombares: L1, L2, L3, L4, L5
LI, LII, LIII, LIV, LV
Nervos espinais sacrais e coccígeo: S1, S2, S3, S4, S5, Co
SI, SII, SIII, SIV, SV

Espaço subaracnóideo
Intumescência cervical (da medula espinal)
Intumescência lombossacral (da medula espinal)
Cone medular
Cauda eqüina
Filamento terminal (parte pial)
Final do "saco dural"
Filamento terminal (parte dural)
Cóccix

C1, CI (atlas), C2, CII (áxis), C3, CIII, C4, CIV, C5, CV, C6, CVI, C7, CVII, C8, TI, T1, TII, T2

Nervo espinal cervical C1 emerge entre o crânio e a vértebra CI

Nervos espinais cervicais C2-C7 emergem superiormente aos pedículos dos arcos vertebrais

Nervo espinal cervical C8 emerge inferiormente ao pedículo da vértebra CVII

Nervos espinais T1-Co emergem inferiormente aos pedículos de suas respectivas vértebras

Nomenclatura dos nervos espinais (vista posterior)

LIV, L4, LV, L5, S1, S2, S3, S4, S5, Co

Pedículo do arco vertebral
Sacro
Filamento terminal (parte dural)
Cóccix

Nervos sacrais e coccígeo (vista posterior – os arcos vertebrais foram removidos)

Artéria espinal posterior
Artéria espinal anterior
Artérias medulares segmentares (anteriores)
Artéria vertebral
Artéria cervical ascendente
Artéria cervical profunda
Tronco costocervical
Tronco tireocervical
Artéria subclávia
Artéria intercostal posterior esquerda
Ramo espinal
Artéria medular segmentar (anterior) (ramo do ramo espinal da a. intercostal posterior)
Artéria intercostal posterior
Artéria radicular anterior (artéria medular segmentar anterior maior de Adamkiewicz) (ramo do ramo espinal)
Artéria medular segmentar (anterior)
Alças anastomóticas para as artérias espinais posteriores
Artéria sacral lateral

Artérias que irrigam a medula espinal (vista anterior)

Suprimento arterial segmentar da medula espinal (vista posterior)

Artéria espinal anterior
Artéria radicular anterior
Artéria radicular anterior
Artéria intercostal posterior direita
Ramo espinal
Artéria radicular posterior
Ramo espinal
Artéria espinal posterior direita
Artéria espinal posterior esquerda
Artéria radicular posterior
Artéria medular segmentar (posterior)

Suprimento arterial segmentar da medula espinal (vista anterior)

Artéria espinal posterior direita
Artéria espinal posterior esquerda
Ramos medulares para os lados direito e esquerdo da medula espinal
Artéria espinal anterior
Artéria radicular posterior
Ramo espinal
Artéria radicular posterior
Artéria radicular anterior
Artéria radicular anterior
Ramo espinal
Plexo arterial pial
Ramo espinal
Artéria medular segmentar (anterior)
Artéria medular segmentar (anterior)
Artéria espinal anterior
Artérias intercostais posteriores direitas
Artérias intercostais posteriores esquerdas
Ramo espinal

Plexo venoso vertebral interno anterior
Plexo venoso vertebral externo anterior
Dura-máter
Plexo venoso vertebral interno posterior
Veia basivertebral
Nervo espinal
Veia hemiázigo acessória
Veia intervertebral
Veia intercostal posterior
Ramo anterior
Ramo posterior
Veia conectando ao plexo venoso vertebral externo posterior (não mostrado)

Plexo venoso vertebral (vista póstero-lateral esquerda)

Veia basivertebral
Veia espinal anterior
Ligamento longitudinal posterior
Dura-máter
Plexo venoso vertebral interno anterior
Veia intervertebral
Veia radicular anterior
Veia radicular posterior
Gordura extradural
Veia medular posterior
Plexo venoso vertebral interno posterior
Veia espinal posterior

Veias que drenam a medula espinal (secção transversal)

Espaço subaracnóideo
Aracnóide-máter
Dura-máter
Término da medula espinal no nível das vértebras lombares [LI-LII] (cone medular)
Término do espaço subaracnóideo – [vértebra sacral II]

Pia-máter
Aracnóide-máter
Dura-máter
Espaço subaracnóideo
Forame intervertebral

Medula espinal e meninges no nível torácico

Pia-máter
Aracnóide-máter
Dura-máter
Cauda eqüina
Filamento terminal (parte pial)

Cauda eqüina e meninges no nível lombar

Forame sacral anterior
Ramo anterior
Nervo espinal sacral
Ramo posterior
Raiz do nervo espinal
Forame sacral posterior
Dura-máter
Filamento terminal (parte dural)

Raízes dos nervos espinais e meninges no nível sacral

Meninges revestindo parte da região torácica da medula espinal (vista posterior)

Cerebelo

Corpo vertebral de CII (áxis)

Processo espinhoso de CII (áxis)

Líquido cerebrospinal no espaço subaracnóideo

Medula espinal

Intumescência cervical da medula espinal

Vértebra proeminente (processo espinhoso de CVII)

Corpo vertebral de CVII

Disco intervertebral

Região cervical e parte superior da região torácica da coluna vertebral mostrando as porções superior e média da medula espinal.
Imagem de RM ponderada em T2, no plano sagital
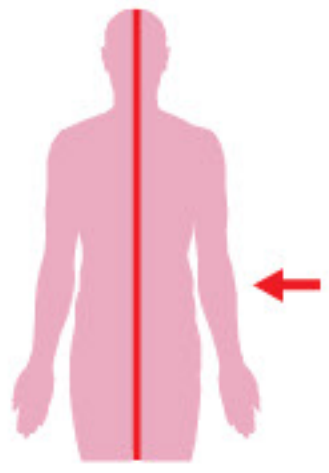
Corpo vertebral de vértebra torácica
Processo espinhoso de vértebra torácica
Medula espinal
Líquido cerebrospinal
Disco intervertebral
Corpo vertebral de LI
Intumescência lombossacral
Cone medular
Cauda eqüina

Região torácica e parte superior da região lombar da coluna vertebral mostrando as porções média e inferior da medula espinal e sua terminação.
Imagem de RM ponderada em T2, no plano sagital

Medula espinal
Cone medular
Corpo vertebral de LI
Cauda eqüina
Líquido cerebrospinal na cisterna lombar
Disco intervertebral
Processo espinhoso de vértebra lombar
SI
Extremidade do "saco dural"

Regiões lombar e sacral da coluna vertebral mostrando a terminação da medula espinal e a continuação e o término do "saco dural".
Imagem de RM ponderada em T2, no plano sagital

Músculo latíssimo do dorso
Músculo intercostal externo
Músculo intercostal interno
Músculo intercostal íntimo
Músculo serrátil anterior
Pulmão direito
Visceral
Parietal
Pleura
Artéria intercostal posterior
Corpo vertebral
Parte torácica da aorta
Veia hemiázigo acessória
Pulmão esquerdo
Veia ázigo
Gânglio simpático
Ramos comunicantes cinzento e branco
Nervo espinal
Ramo anterior
Ramo posterior
Músculo redondo maior
Músculo subescapular
Escápula
Músculo infra-espinal
Músculo trapézio
Músculo rombóide maior
Músculo eretor da espinha
Ramo cutâneo posterior do ramo posterior do nervo espinal
Processo espinhoso

Secção transversal através da região torácica da coluna vertebral

Pulmão direito
Parte torácica da aorta
Pulmão esquerdo
Escápula
Músculo rombóide
Músculo trapézio
Músculos transverso-espinais
Músculo eretor da espinha
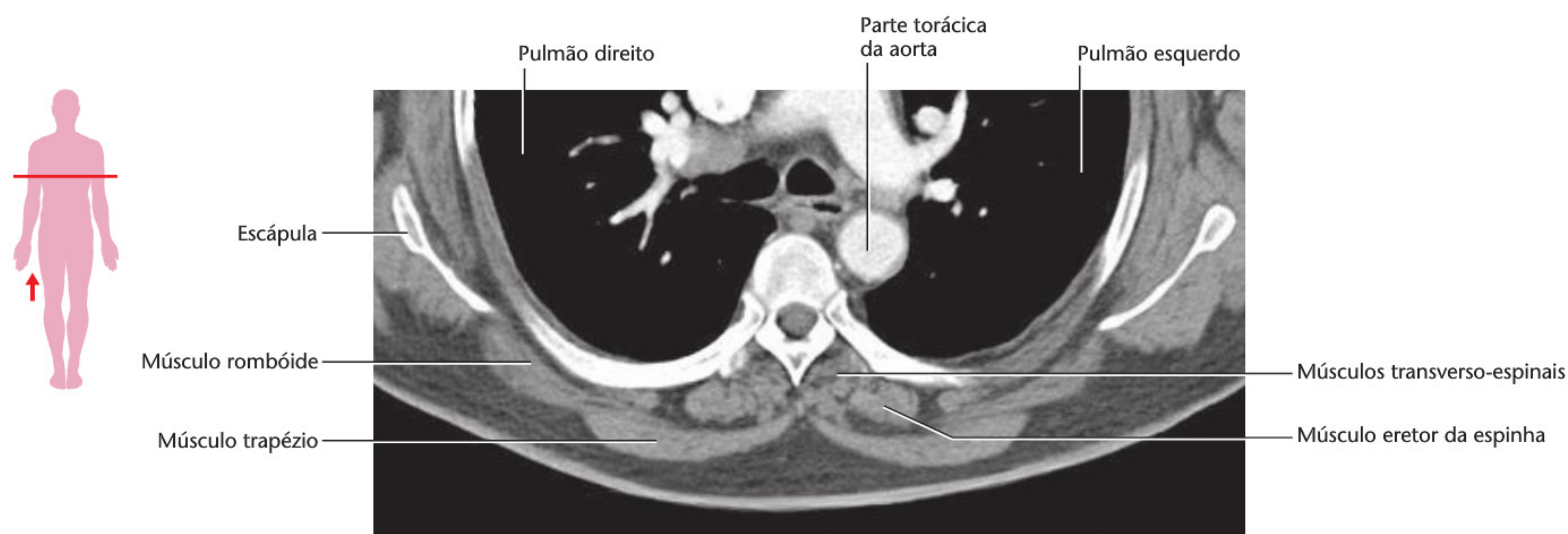
Região torácica da coluna vertebral.
Imagem de TC no plano transversal (axial)

3 TÓRAX

CONTEÚDO

Clavícula
Vértebra TI
Abertura superior do tórax (indicada pela linha vermelha)
Costela I
Manúbrio do esterno
Escápula
Processo xifóide do esterno
Abertura inferior do tórax (indicada pela linha vermelha)
Costela XI
Costela XII
Vértebra TXII

Esqueleto do tórax (vista anterior)

Vértebra TI
Ângulo superior da escápula
Clavícula
Costela I
Espinha da escápula
Ângulo inferior da escápula
Costela XII
Processo espinhoso de TXII

Esqueleto do tórax (vista posterior)

Traquéia
Clavícula
Costela
Veia cava superior
Arco da aorta
Tronco pulmonar
Átrio direito
Ventrículo esquerdo
Cúpula direita do diafragma
Cúpula esquerda do diafragma
Recesso costodiafragmático

Posição das estruturas no tórax.
Radiografia, vista em AP

Articulação costovertebral
Costelas verdadeiras I-VII
TI
I
II
III
IV
V
VI
VII
TXII
VIII
IX
X
XI
XII
Espaço intercostal
Articulação esternocostal
Cartilagem costal
Costelas falsas VIII-XII
Costelas flutuantes
Margem costal

Processo articular superior
Face articular superior
Fóvea costal superior (para articulação com a cabeça da costela II)
Fóvea costal do processo transverso (para articulação com o tubérculo da costela II)
Corpo vertebral
Processo transverso
Fóvea costal inferior (para articulação com a cabeça da costela III)
Processo espinhoso
Face articular inferior
Processo articular inferior

Vértebra torácica [TII], vista lateral

Incisura jugular
Incisura clavicular
Incisura costal I
Manúbrio do esterno
Ângulo do esterno (sínfise manubrioesternal)
Incisura costal II
Esterno
"Sulcos transversos"
Incisuras costais III-VI
Corpo do esterno
Incisura costal VII
Sínfise xifosternal
Processo xifóide do esterno

Processo articular superior
Face articular superior
Fóvea costal (para articulação com a cabeça da costela X)
Fóvea costal do processo transverso (para articulação com o tubérculo da costela X)
Processo transverso
Corpo vertebral
Face articular inferior
Processo articular inferior
Processo espinhoso

Vértebra torácica [TX], vista lateral

Processo articular superior
Face articular superior
Fóvea costal (para articulação com a cabeça da costela XII)
Processo transverso
Corpo vertebral
Processo espinhoso
Face articular inferior
Processo articular inferior

Vértebra torácica [TXII], vista lateral

Colo da costela
Tubérculo da costela
Cabeça da costela com a face articular
Colo da costela
Tubérculo da costela
Cabeça da costela com a face articular
Área para fixação do músculo escaleno médio
Sulco da artéria subclávia
Tubérculo do músculo escaleno anterior
Sulco da veia subclávia
Cartilagem costal

Costela I, superfície superior

Área de fixação do músculo escaleno posterior
Tuberosidade do músculo serrátil anterior
Cartilagem costal

Costela II, superfície superior

Colo da costela
Face articular para o processo transverso da vértebra
Cabeça da costela
Face articular para o corpo vertebral
Superfície inferior
Cartilagem costal

Costela I, vista posterior

Faces articulares para o corpo vertebral
Crista da cabeça da costela
Ângulo da costela
Face interna
Sulco da costela
Face externa
Cartilagem costal

Costela V, vista anterior

Tubérculo da costela
Crista da cabeça da costela
Faces articulares para o corpo vertebral
Face articular para o processo transverso da vértebra
Superfície não-articular
Face externa
Face interna
Cartilagem costal
Sulco da costela

Costela V, vista posterior

Face articular para o corpo vertebral
Cartilagem costal

Costela XII, vista anterior

Processo articular superior
Fóvea costal superior
Fóvea costal do processo transverso
Manúbrio do esterno
Ângulo do esterno
Disco intervertebral
Face articular inferior
Corpo do esterno
Fóvea costal inferior
Corpo vertebral
Costela V
Cartilagem costal
Processo xifóide do esterno

Articulações costovertebrais e esternocostal

Ligamento costotransversário superior
Ligamento radiado da cabeça da costela
Ligamento "acessório"
Disco intervertebral
Articulação da cabeça da costela (sinovial)
Ligamento intra-articular da cabeça da costela

Articulações costovertebrais (vista lateral)

Cartilagem costal
Esterno
Costela
Cabeça da costela
Processo transverso de uma vértebra torácica
Tubérculo da costela
Escápula
Corpo vertebral de uma vértebra torácica

Articulação da costela com a vértebra torácica [TIV].
Imagem de TC com contraste, no plano transversal (axial)

Ligamento radiado da cabeça da costela
Ligamento costotransversário lateral
Ligamento costotransversário
Cavidades articulares (articulações sinoviais)

Articulações costovertebrais (vista superior)

Sincondrose da primeira costela
Articulações costocondrais
Articulação sinovial (com dois compartimentos) e ligamento esternocostal intra-articular
Ângulo do esterno
Sínfise manubrioesternal
Ligamentos esternocostais radiados
Articulação sinovial
Sínfise xifosternal
Ligamento costoxifóideo
Articulações intercondrais
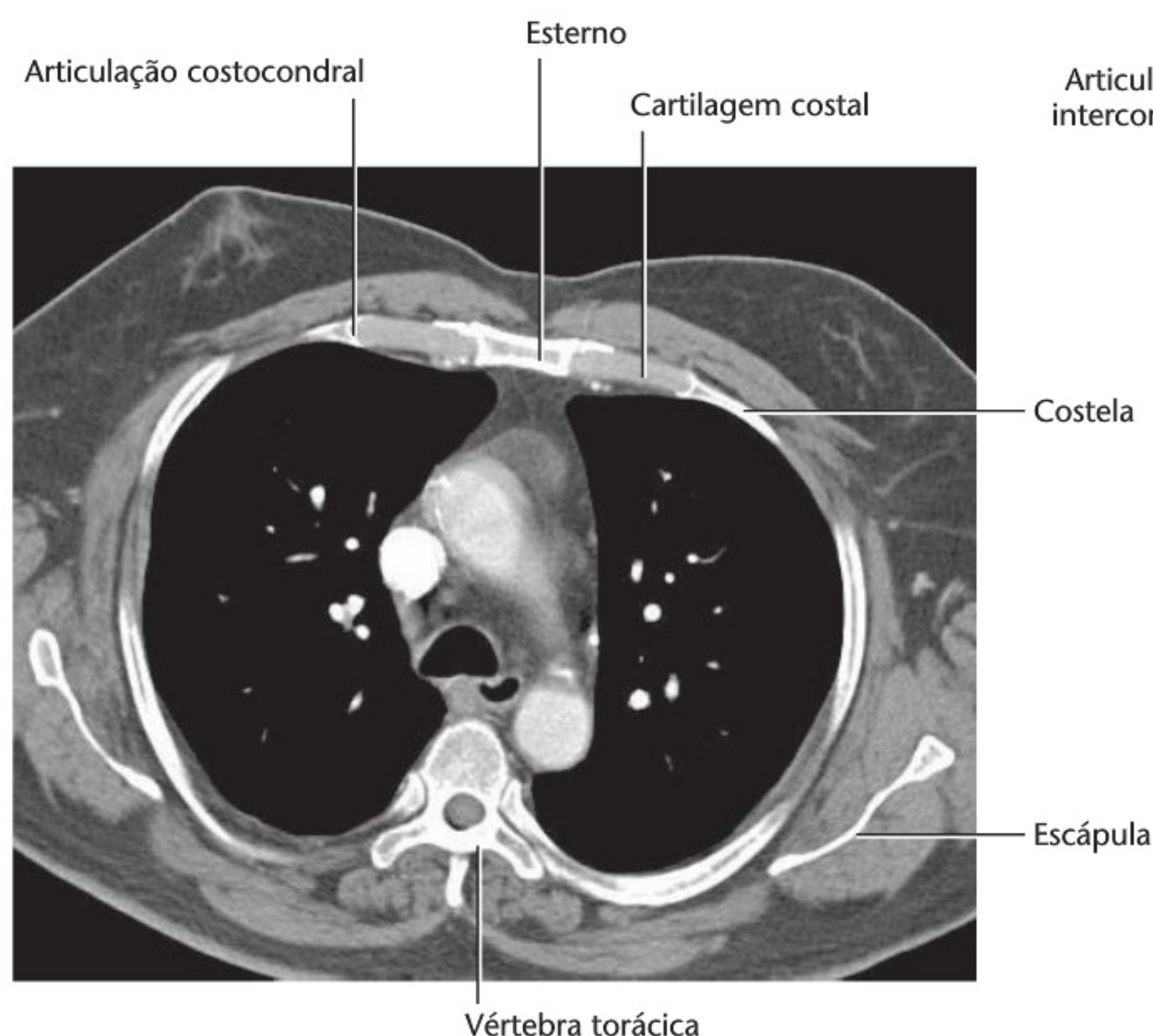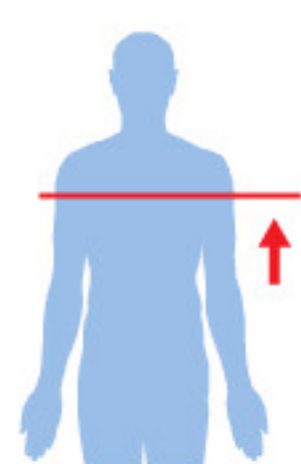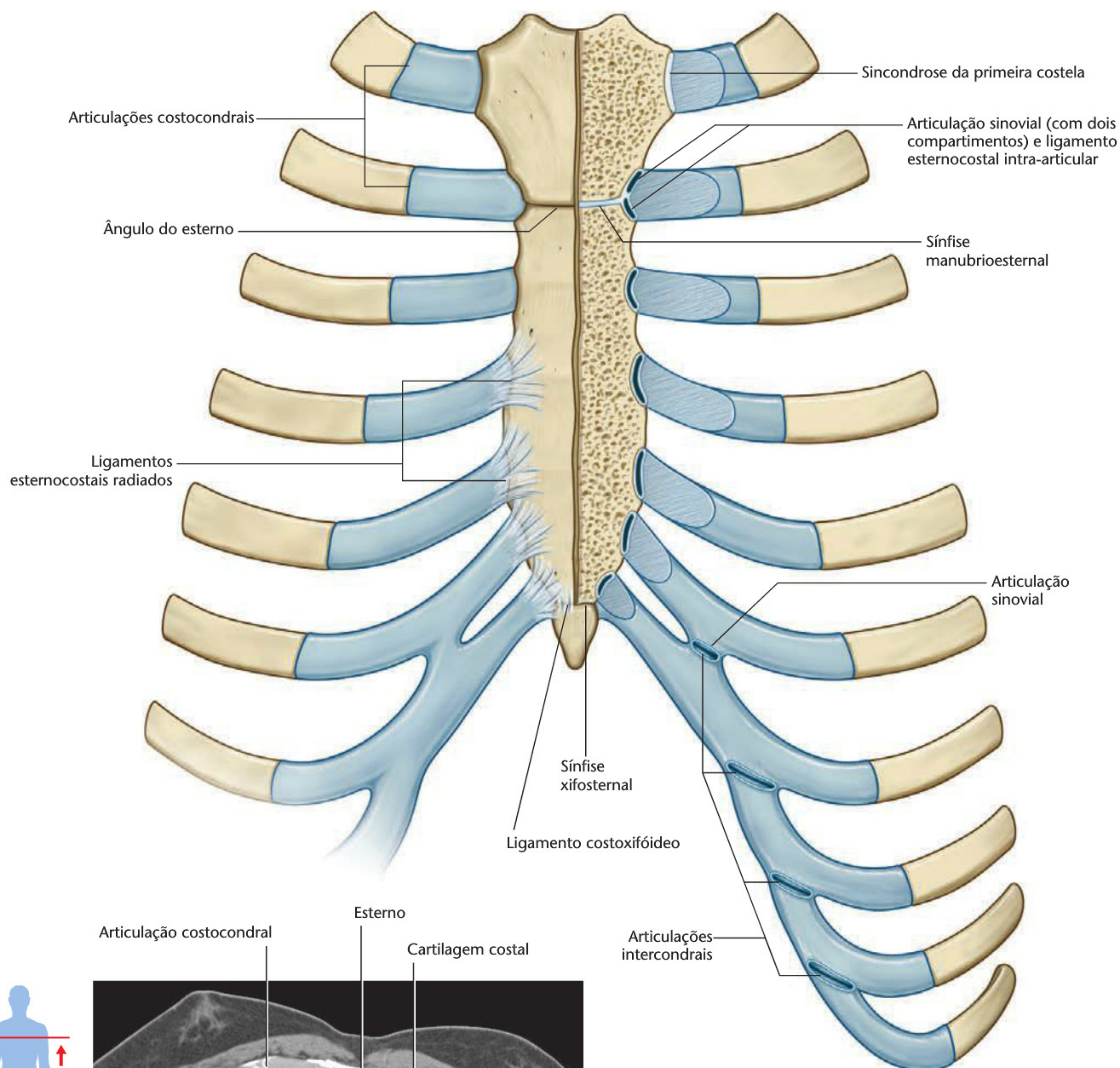
Articulações esternocostais e intercondrais

Articulação costocondral
Esterno
Cartilagem costal
Costela
Escápula
Vértebra torácica

Articulação da cartilagem costal com o esterno.
Imagem de TC com contraste, no plano transversal (axial)

Vaso linfático paraesternal esquerdo
Artéria torácica interna
Tronco (linfático) subclávio esquerdo
Ramo peitoral da artéria toracoacromial
Linfonodos axilares apicais (subclávios)
Artéria axilar
Artéria torácica lateral
Linfonodos axilares centrais
Músculo peitoral maior
Linfonodos axilares umerais (laterais)
Processo axilar da mama
Segundo nervo intercostal torácico
Linfonodos axilares subescapulares (posteriores)
Quarto nervo intercostal torácico
Linfonodos axilares peitorais (anteriores)
Drenam para o lado oposto
Aréola da mama
Drenam para os vasos linfáticos abdominais (subdiafragmáticos)
Sexto nervo intercostal torácico
Linfonodos paraesternais
Ramos mamários mediais da artéria torácica interna

Artérias e inervação da mama

Drenagem linfática da mama

Lateral (axila)

Papila mamária

Medial (esterno)

Mamografia. Vista crânio-caudal de uma mama direita normal mostrando uma aparência de densidade heterogênea

Superior (cabeça)

Músculo peitoral maior
Espaço retromamário
Contorno da papila mamária

Inferior (pés)
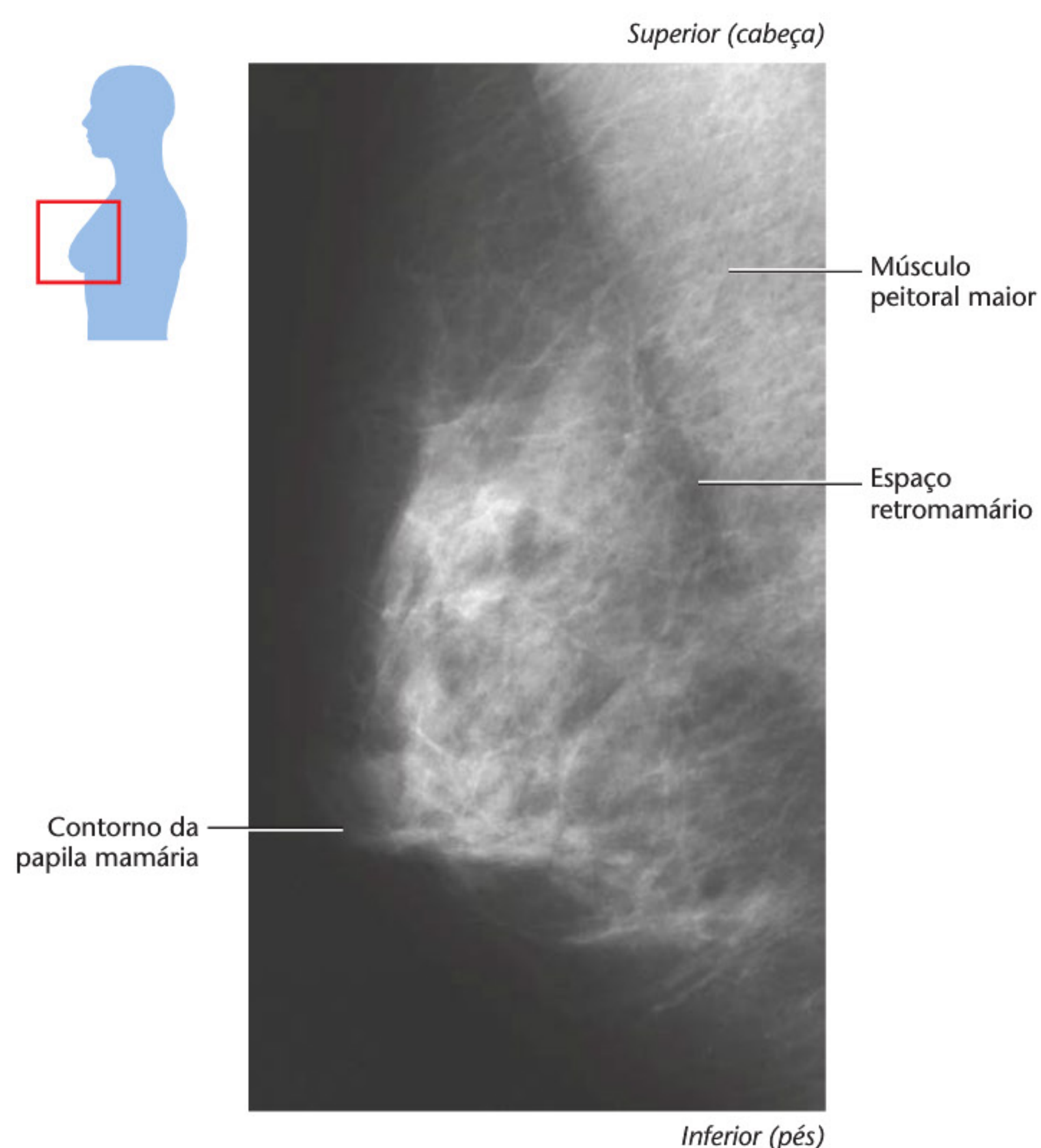
Mamografia. Vista médio-lateral oblíqua de uma mama direita normal mostrando uma aparência de densidade heterogênea

Acrômio
Clavícula
Artéria subclávia
Músculo subclávio
Artéria toracoacromial
Processo coracóide
Nervo peitoral lateral
Músculo peitoral maior
Nervo peitoral medial
Fáscia clavipeitoral
Músculo peitoral menor
Úmero direito
Úmero esquerdo
Artéria torácica lateral
Músculo serrátil anterior
Esterno
Margem seccionada do músculo peitoral maior
Músculo intercostal externo
Membrana intercostal externa
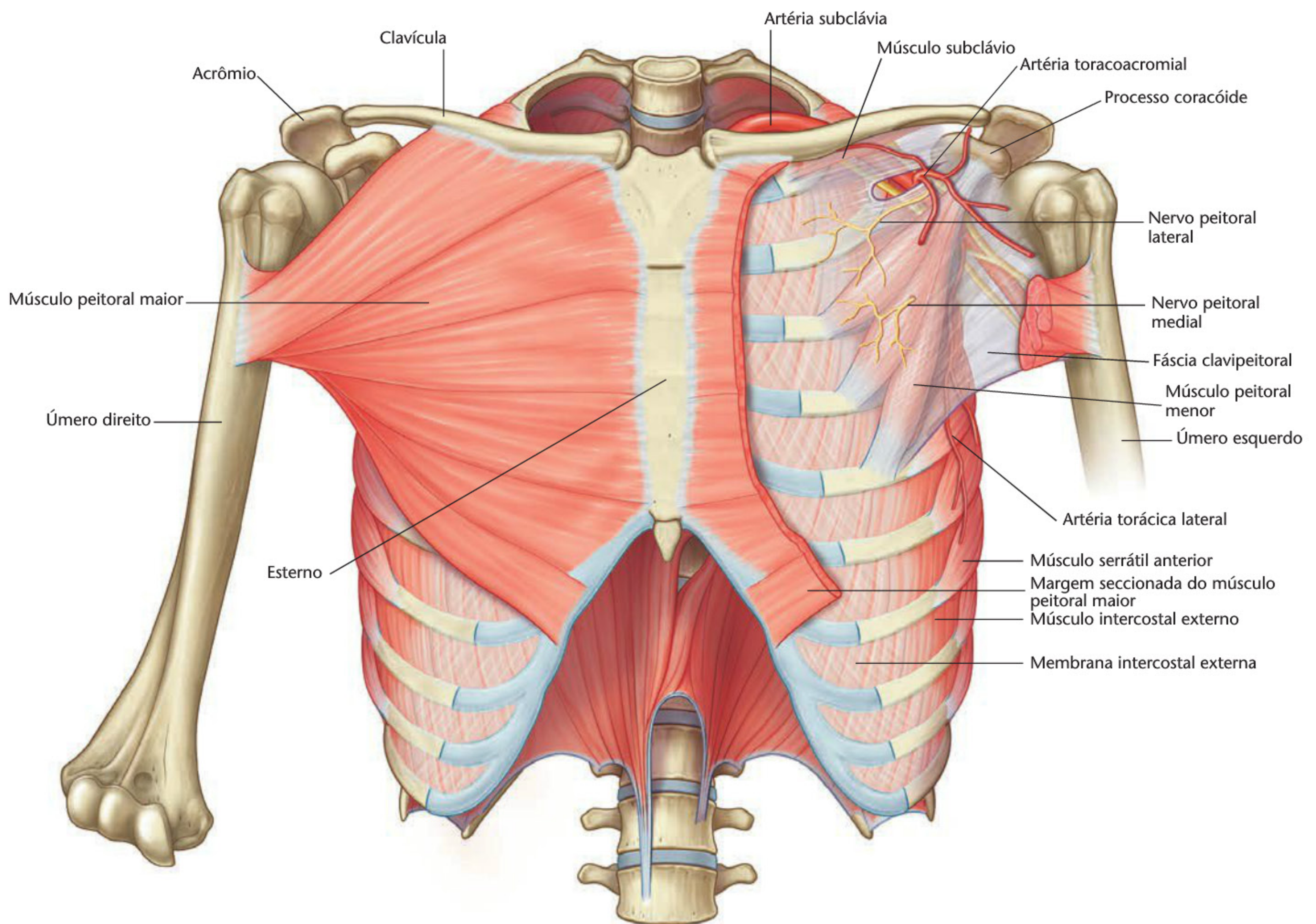
Músculo peitoral maior e estruturas profundas relacionadas
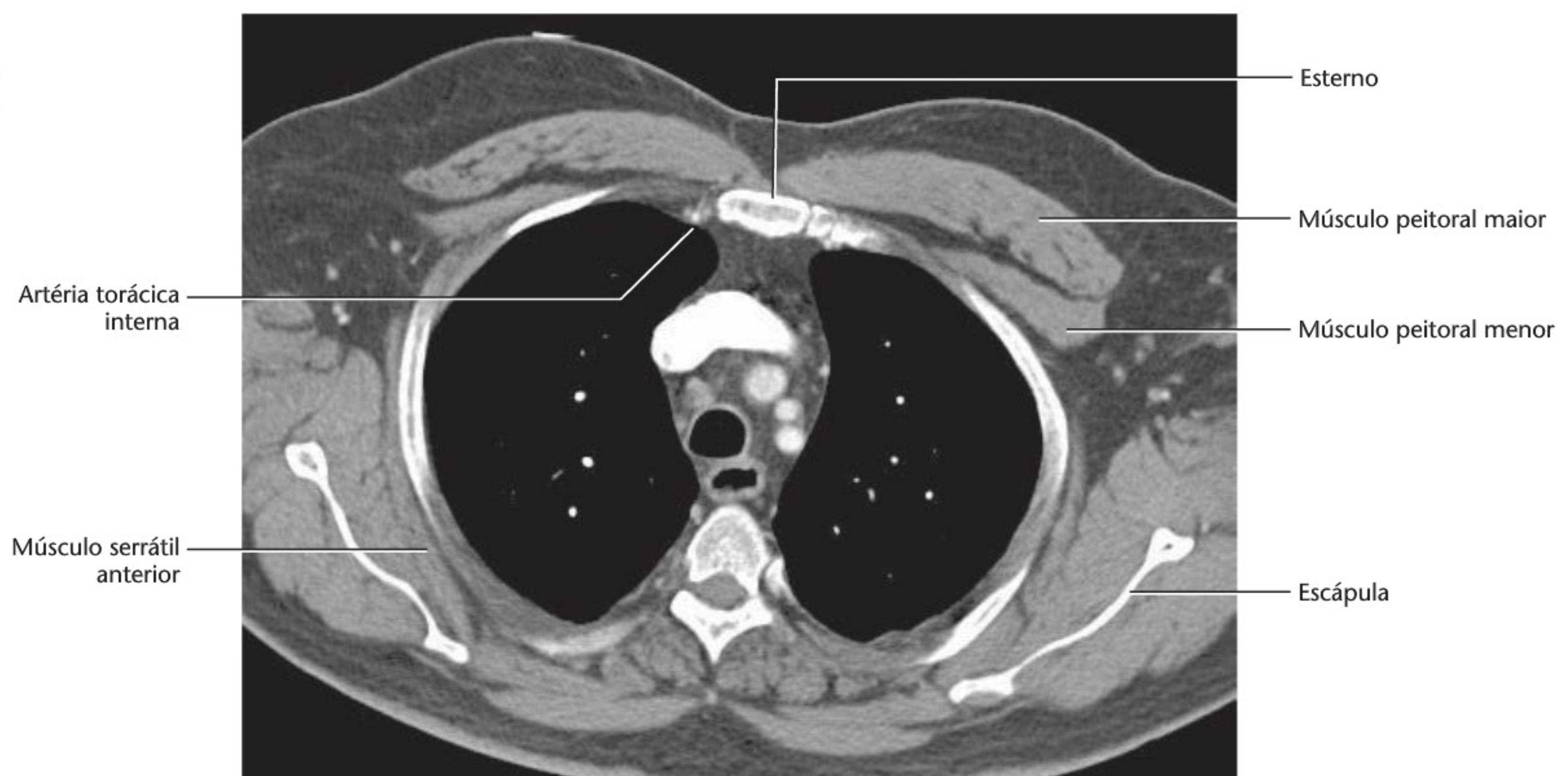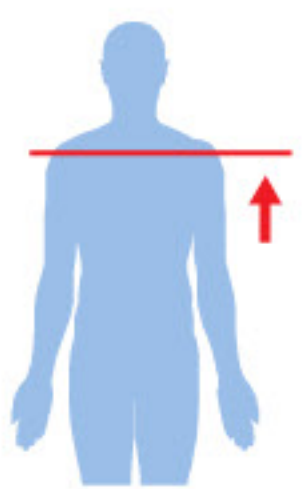
Esterno
Músculo peitoral maior
Artéria torácica interna
Músculo peitoral menor
Músculo serrátil anterior
Escápula

Músculos peitorais maior e menor na parede anterior do tórax.
Imagem de TC com contraste, no planto transversal (axial)

Clavícula
Processo coracóide
Músculo subclávio
Músculo peitoral menor
Músculo serrátil anterior
Músculo intercostal externo
Músculo intercostal interno revestido pela membrana intercostal externa
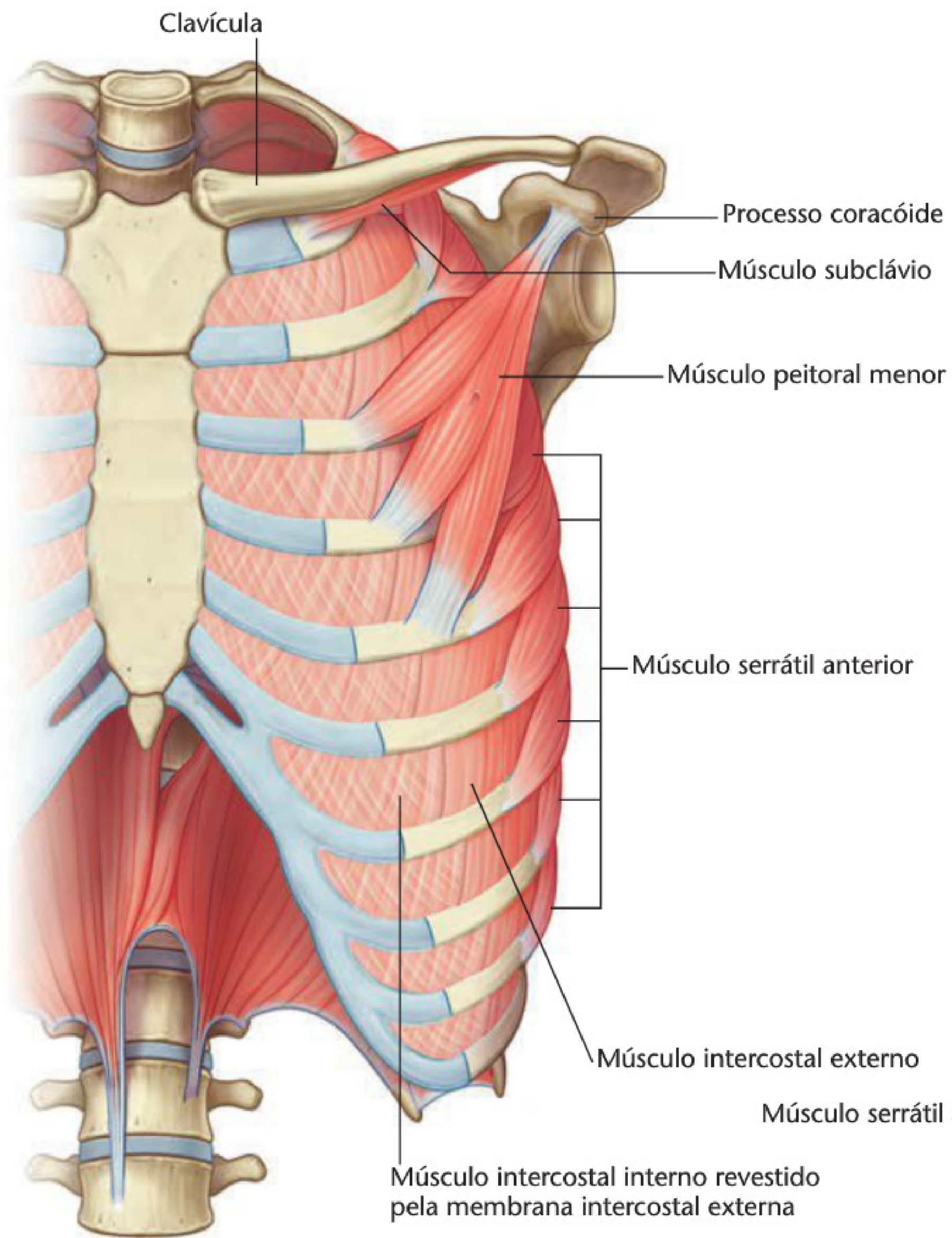
Músculo peitoral menor e parede anterior do tórax (músculo peitoral maior removido)

Músculo peitoral menor
Músculo serrátil anterior
Músculo intercostal externo
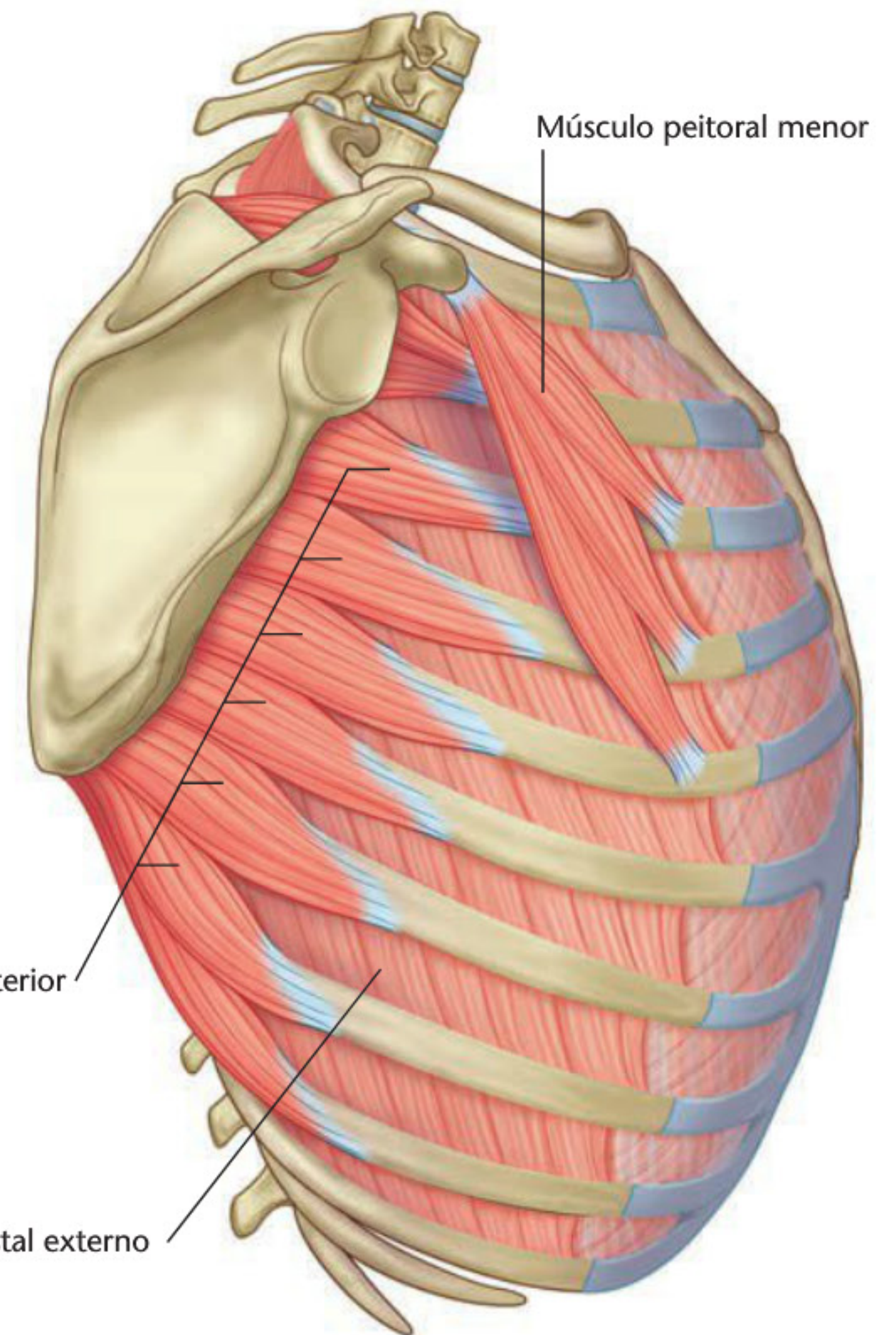
Músculos da parede lateral do tórax (músculo peitoral maior removido)

Músculo esplênio da cabeça
Músculo esplênio do pescoço
Músculo iliocostal do pescoço
Vértebra proeminente (processo espinhoso de CVII)
Músculo serrátil posterior superior
Músculo esplênio do pescoço
Lâmina posterior da aponeurose toracolombar recobrindo
Músculo longuíssimo do tórax
Músculo iliocostal
Músculo intercostal externo
Músculo serrátil posterior inferior
Músculo oblíquo externo do abdome

Músculos da parede posterior do tórax

Artéria intercostal suprema
Tronco costocervical direito
Artéria subclávia direita
Artéria carótida comum direita
Tronco costocervical esquerdo
Artéria subclávia esquerda
Artéria carótida comum esquerda
Arco da aorta
Parte ascendente da aorta
Parte torácica da aorta
Artérias intercostais posteriores
Artérias torácicas internas
Ramos perfurantes
Ramo colateral da artéria intercostal posterior
Ramo intercostal anterior
Ramo "colateral" do ramo intercostal anterior
Artéria musculofrênica
Artéria epigástrica superior direita
Parte abdominal da aorta

Artérias da parede do tórax

Cabeça da costela
Veia cava superior
Vértebra torácica
Artérias intercostais posteriores
Átrio direito
Parte ascendente da aorta
Tronco pulmonar
Artéria torácica interna
Ventrículo direito
Parte torácica da aorta

Artérias da parede do tórax.
Vista lateral direita das estruturas do tórax com representação de volume utilizando tomografia computadorizada multidetectores

Veia intercostal superior esquerda
Veia intercostal suprema esquerda
Veia jugular interna esquerda
Veia subclávia esquerda
Veia braquiocefálica esquerda
Veia hemiázigo acessória
Veias torácicas internas
Veia hemiázigo
Veia epigástrica superior direita
Veia musculofrênica direita
Veia cava inferior
Veia subcostal esquerda
Veia jugular interna direita
Veia subclávia direita
Veia braquiocefálica direita
Veia intercostal superior direita
Veias intercostais posteriores
Veia ázigo
Veia intercostal anterior

Veias da parede do tórax

Veia intercostal superior direita
Veia intercostal superior esquerda
Veia ázigo
Veia hemiázigo acessória
Veias intercostais posteriores
Veia hemiázigo
Veia subcostal direita
Veia lombar ascendente direita
Veia lombar ascendente esquerda
Veia cava inferior

Sistema ázigo de veias

Nervos da parede do tórax

Nervos intercostais e ramos

Veia jugular interna esquerda
Ducto torácico
Veia jugular interna direita
Tronco jugular direito
Tronco subclávio direito
Veia subclávia direita
Tronco broncomediastinal direito
Linfonodos braquiocefálicos
Vaso linfático paraesternal direito
Ducto torácico
Linfonodos intercostais
Linfonodos aórticos laterais
Tronco jugular esquerdo
Tronco subclávio esquerdo
Veia subclávia esquerda
Tronco broncomediastinal esquerdo
Vaso linfático paraesternal esquerdo
Linfonodos paraesternais
Linfonodos frênicos
Diafragma
Cisterna do quilo

Principais vasos linfáticos e linfonodos da parede do tórax

Ducto torácico
Veia jugular interna direita
Tronco jugular direito
Veia subclávia direita
Tronco broncomediastinal direito
Linfonodos traqueobronquiais superiores direitos
Linfonodos paratraqueais
Linfonodos traqueobronquiais inferiores
Ducto torácico

Linfonodos e vasos linfáticos da traquéia

Veia jugular interna direita
Tronco jugular direito
Tronco subclávio direito
Veia subclávia direita
Ducto linfático direito
Tronco broncomediastinal direito
Veia cava superior
Veia jugular interna esquerda
Tronco jugular esquerdo
Tronco subclávio esquerdo
Veia subclávia esquerda
Tronco broncomediastinal esquerdo
Ducto torácico

Terminação dos troncos linfáticos

Nervos intercostais

Artérias intercostais

Ápice do pulmão direito
Brônquio principal direito
Traquéia
Cavidade pleural esquerda
Pleura parietal
Cavidade pleural
Pleura visceral
Mediastino
Recesso costomediastinal
Pleura parietal (revestindo a parede do tórax)
Mediastino
Recesso costomediastinal
Pleura visceral (revestindo o pulmão)
Diafragma
Recesso costodiafragmático
Pulmão direito
Pulmão esquerdo

Cavidades pleurais

Coração no mediastino
Pulmão direito
Pulmão esquerdo

Organização da cavidade do tórax.
Imagem de TC com contraste, no plano transversal (axial)

Pulmão direito
Mediastino
Pulmão esquerdo
Cúpula direita do diafragma
Cúpula esquerda do diafragma

Organização da cavidade do tórax.
Imagem de TC com contraste, no plano frontal (coronal)

Cúpula da pleura
Parte costal
Espaço para a raiz do pulmão
Ligamento pulmonar
Parte mediastinal
Parte costal (seccionada)
TXII
Parte diafragmática

Parte costal (seccionada)

Reflexões da pleura parietal e recessos pleurais

Recesso costomediastinal
Costela VI
Costela VIII
Recesso costodiafragmático
Costela X

Fissura horizontal do pulmão direito
Costela VI
Costela VIII
Costela X
Pleura parietal
Recesso costomediastinal
Fissura oblíqua do pulmão esquerdo
Recesso costodiafragmático

Áreas de projeção da pleura e dos pulmões na superfície do corpo (vista anterior)

TIV
TX
TXII
Costela V
Fissura oblíqua
Costela VI
Recesso costodiafragmático

Áreas de projeção da pleura e dos pulmões na superfície do corpo (vista posterior)

Processo espinhoso de TIV
Costela V
Recesso costodiafragmático
Costela VI
Costela VIII
Recesso costodiafragmático
Costela X

Áreas de projeção da pleura e dos pulmões na superfície do corpo (vista lateral)

Lobo superior
Fissura horizontal
Lobo médio
Fissura oblíqua
Lobo inferior

Pulmão direito (vista lateral)

Lobo superior
Fissura oblíqua
Hilo do pulmão
Fissura horizontal
Lobo inferior
Lobo médio

Lobos do pulmão direito (vista ântero-medial)

Artéria carótida comum direita
Costela I
Artéria subclávia direita
Veia jugular interna direita
Veia subclávia direita
Tronco braquiocefálico
Veia braquiocefálica direita
Arco da veia ázigo
Cartilagem costal da costela I
Veia braquiocefálica esquerda
Fissura oblíqua
Brônquio lobar superior
Veia cava superior
Artérias bronquiais direitas
Artéria pulmonar direita
Brônquio "intermédio" (para os lobos médio e inferior)
Fissura horizontal
Hilo do pulmão
Veias pulmonares direitas
Esôfago
Impressão cardíaca
Veia ázigo
Ligamento pulmonar
Fissura oblíqua
Face diafragmática
Veia cava inferior
Lobo inferior

Pulmão direito e estruturas relacionadas (vista medial)

Lobo superior
Fissura oblíqua
Hilo do pulmão
Lobo inferior
Língula
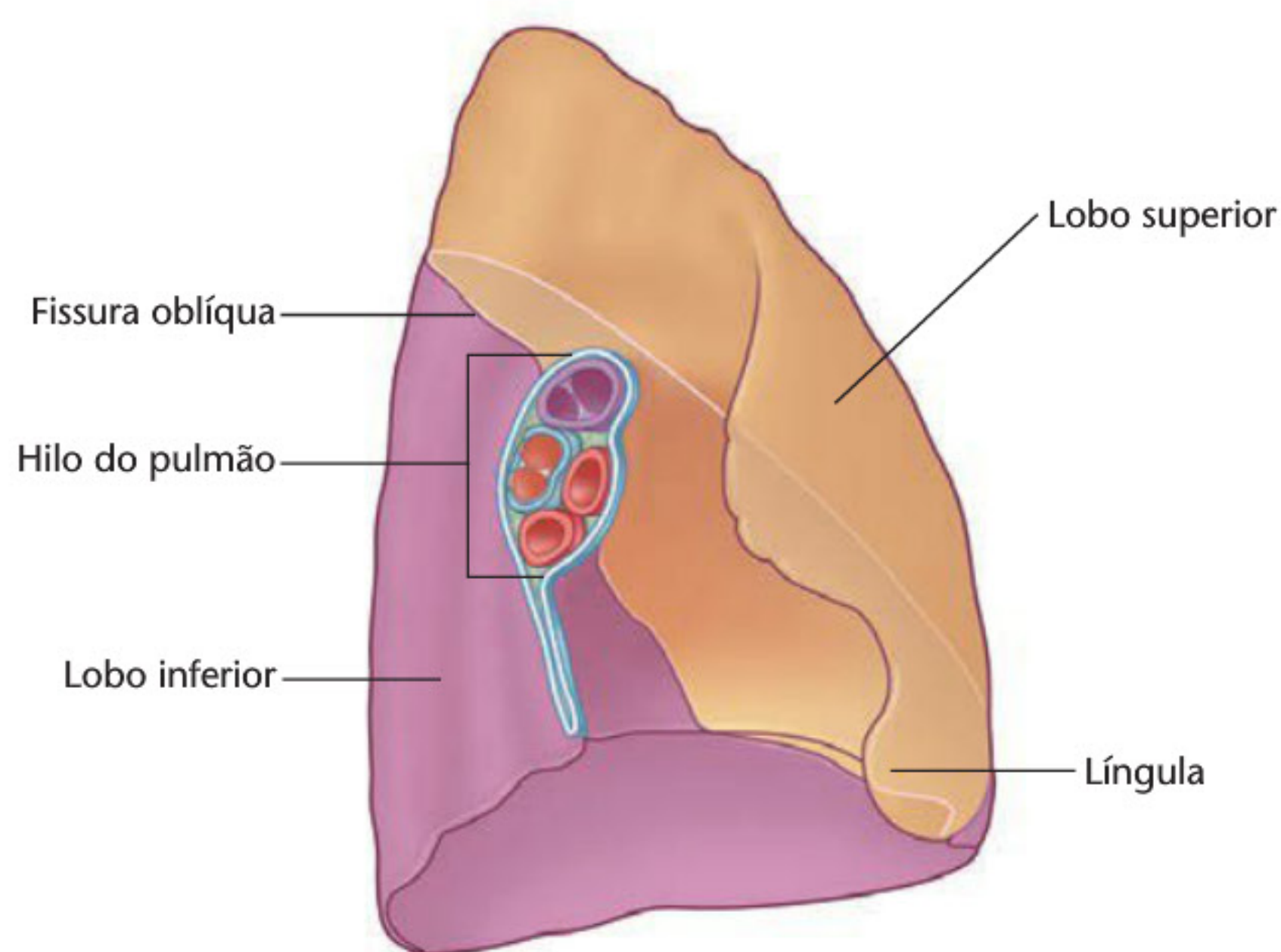
Lobos do pulmão esquerdo (vista ântero-medial)

Lobo superior
Fissura oblíqua
Incisura cardíaca
Língula
Lobo inferior

Pulmão esquerdo (vista lateral)

Costela I
Artéria subclávia esquerda
Veia jugular interna esquerda
Veia braquiocefálica esquerda
Cartilagem costal da costela I
Artéria carótida comum esquerda
Tronco braquiocefálico
Fissura oblíqua
Arco da aorta
Veia hemiázigo acessória
Artéria pulmonar esquerda
Artérias bronquiais esquerdas
Brônquio principal esquerdo
Hilo do pulmão
Artérias e veias intercostais posteriores
Veias pulmonares esquerdas
Impressão cardíaca
Esôfago
Ligamento pulmonar
Incisura cardíaca
Parte torácica da aorta
Veia hemiázigo
Língula
Face diafragmática
Margem inferior

Pulmão esquerdo e estruturas relacionadas (vista medial)
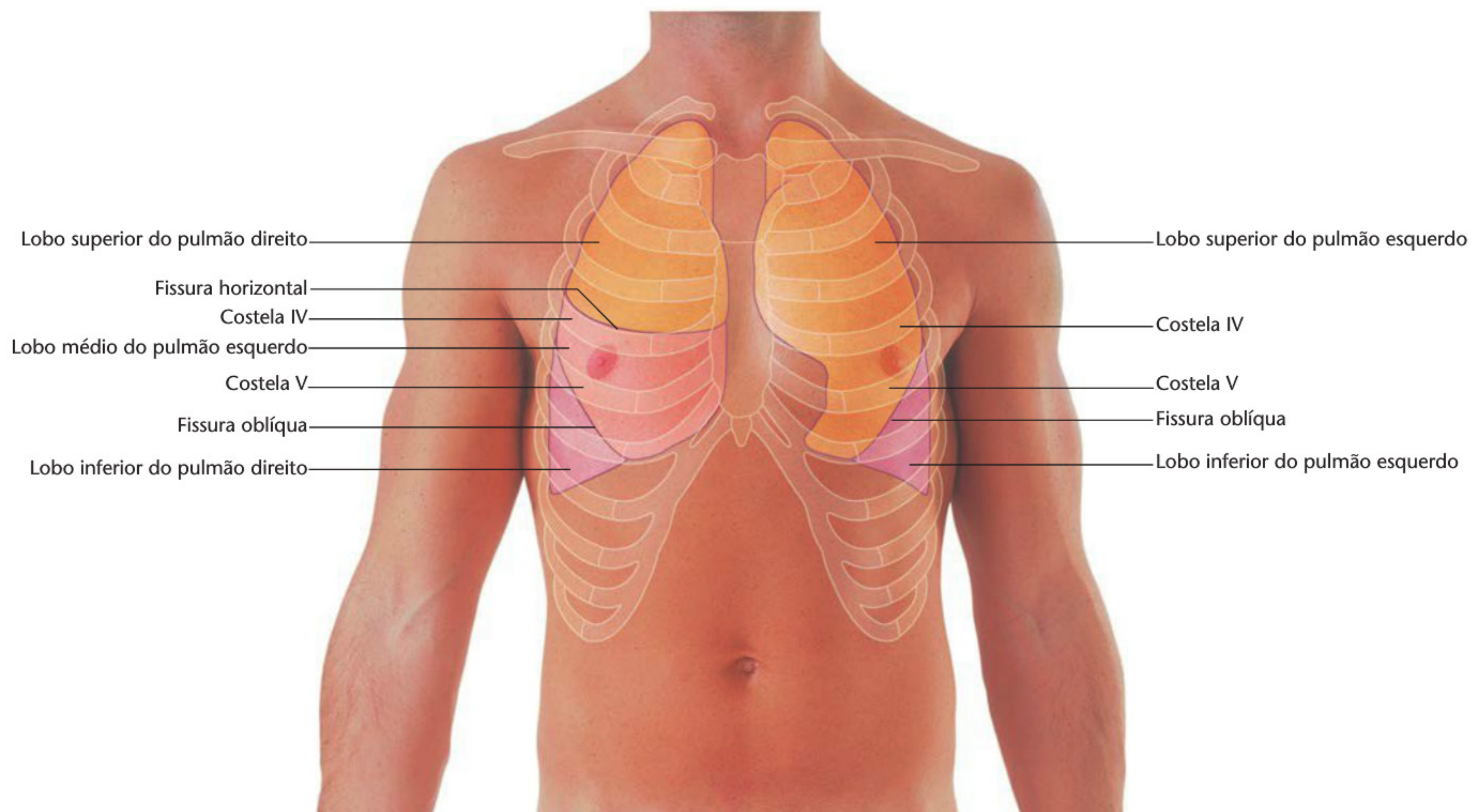
Áreas de projeção dos lobos e das fissuras dos pulmões na superfície do corpo (vista anterior)
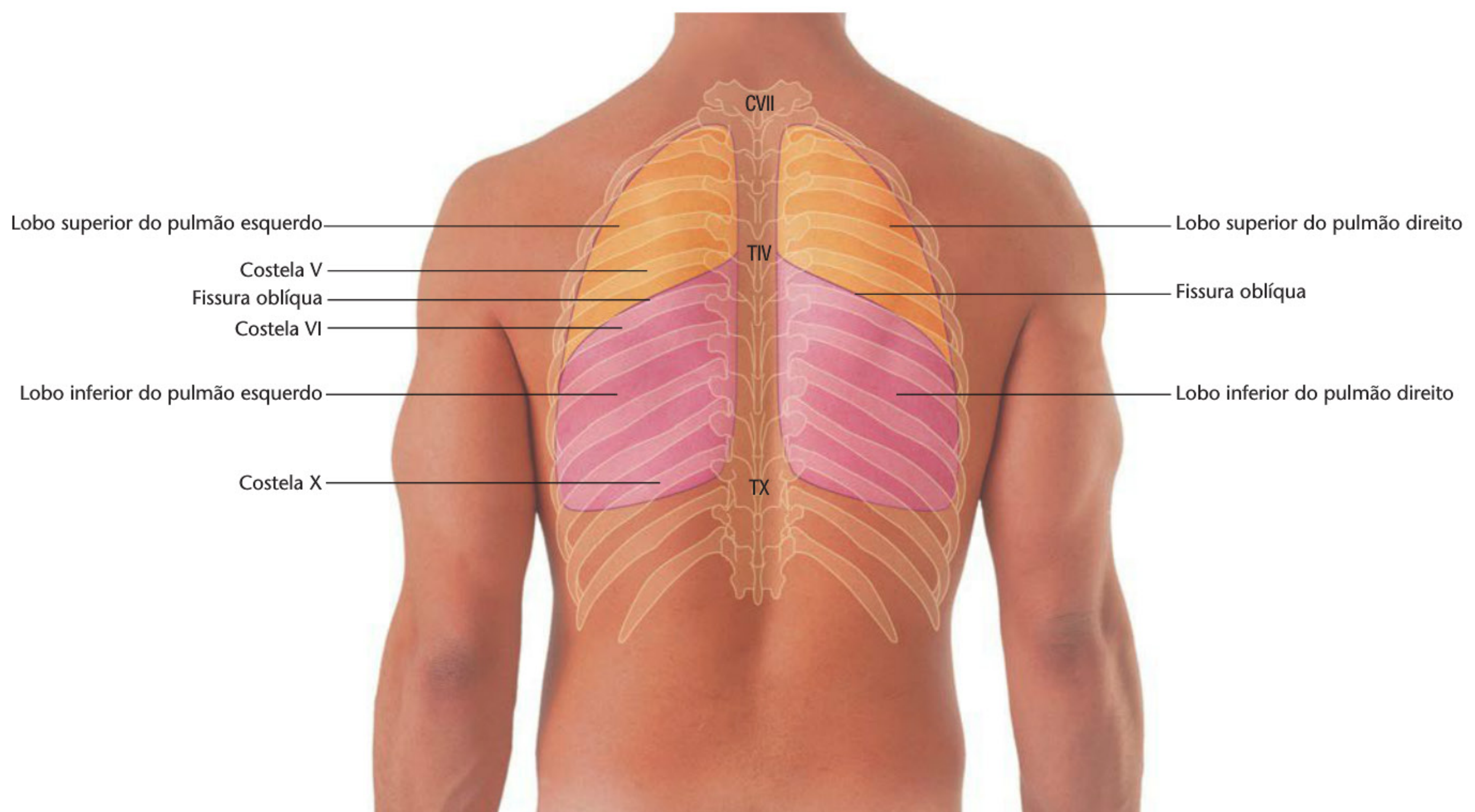
Áreas de projeção dos lobos e das fissuras dos pulmões na superfície do corpo (vista posterior)
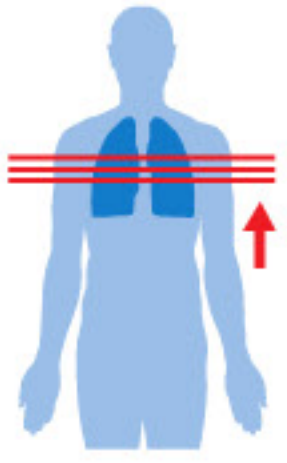
Lobo superior do pulmão direito
Fissura oblíqua
Lobo inferior do pulmão direito
Lobo superior do pulmão esquerdo
Fissura oblíqua
Lobo inferior do pulmão esquerdo

Pulmões direito e esquerdo demonstrando os lobos superior e inferior. As fissuras oblíquas são visíveis.
Imagem de TC com contraste, no plano transversal (axial)

Lobo superior do pulmão direito
Lobo médio do pulmão direito
Lobo inferior do pulmão direito
Lobo superior do pulmão esquerdo
Fissura oblíqua
Lobo inferior do pulmão esquerdo
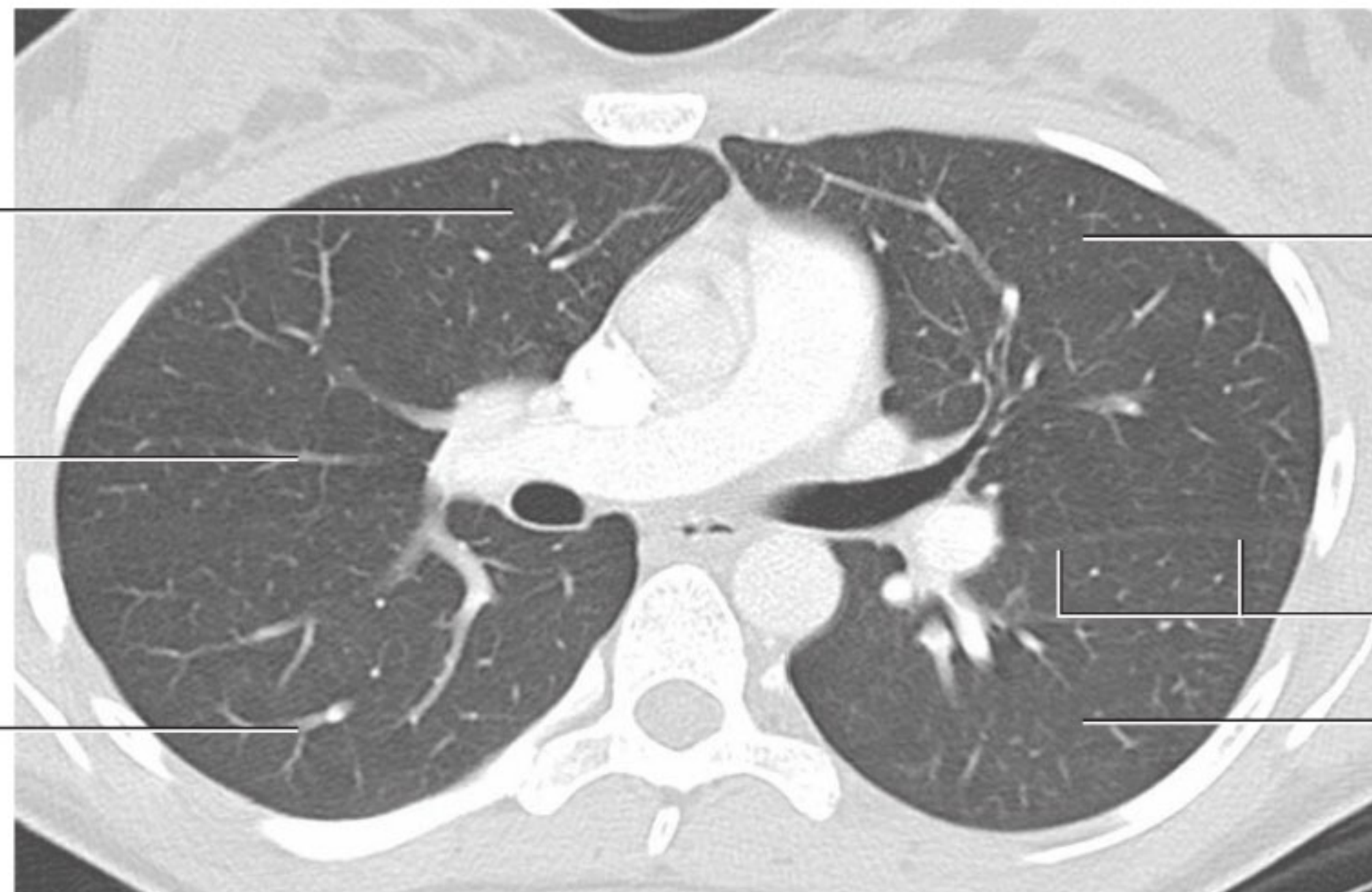
Pulmão direito demonstrando os lobos superior, médio e inferior e o pulmão esquerdo demonstrando os lobos superior e inferior. A fissura oblíqua do pulmão esquerdo é visível.
Imagem de TC com contraste, no plano transversal (axial)

Lobo médio do pulmão direito
Fissura oblíqua
Lobo inferior do pulmão direito
Lobo superior do pulmão esquerdo
Fissura oblíqua
Lobo inferior do pulmão esquerdo

Pulmão direito demonstrando os lobos médio e inferior e o pulmão esquerdo demonstrando os lobos superior e inferior. As fissuras oblíquas são visíveis.
Imagem de TC com contraste, no plano transversal (axial)

Incisura tireóidea superior
Corno superior da cartilagem tireóidea
Lâmina direita da cartilagem tireóidea
Lâmina esquerda da cartilagem tireóidea
Corno inferior da cartilagem tireóidea
Ligamento cricotireóideo mediano
Arco da cartilagem cricóidea
Cápsula articular cricotireóidea
Ligamento cricotraqueal
Cartilagens traqueais
Ligamentos anulares da traquéia
Bifurcação da traquéia
Brônquio principal esquerdo
Brônquio principal direito

Pregas longitudinais da túnica mucosa
Cartilagem traqueal (seccionada)
Margem da túnica mucosa seccionada

Túnica mucosa da traquéia (vista anterior)

Túnica mucosa da traquéia
Parede membranácea (fibromuscular)
Cartilagens traqueais

Traquéia (vista posterior)

Brônquio lobar superior direito e suas ramificações
Brônquio lobar médio direito e suas ramificações
Brônquio lobar inferior direito e suas ramificações
Cartilagens bronquiais
Brônquio lobar superior esquerdo e suas ramificações
Brônquio lobar inferior esquerdo e suas ramificações

Traquéia e árvore bronquial

Segmento apical [S I]
Segmento posterior [S II]
Lobo superior
Segmento anterior [S III]
Segmento superior [S VI]
Segmento medial [S V]
Lobo inferior
Lobo médio
Segmento basilar posterior [S X]
Segmento basilar medial [S VII]
Segmento basilar anterior [S VIII]
Segmento basilar lateral [S IX]

Pulmão direito (vista medial)

Segmento apicoposterior [S I+II]
Lobo superior
Segmento anterior [S III]
Segmento superior [S VI]
Segmento lingular superior [S IV]
Lobo inferior
Segmento basilar posterior [S X]
Segmento lingular inferior [S V]
Segmento basilar anterior [S VIII]
Segmento basilar medial [S VII]
Segmento basilar lateral [S IX]

Pulmão esquerdo (vista medial)

Segmento posterior [S II]
Segmento apical [S I]
Segmento anterior [S III]
Segmento lateral [S IV]
Segmento medial [S V]
Segmento superior [S VI]
Segmento basilar anterior [S VIII]
Segmento basilar lateral [S IX]
Segmento basilar medial [S VII]
Segmento basilar posterior [S X]
Segmento apicoposterior [S I+II]
Segmento anterior [S III]
Segmento lingular superior [S IV]
Segmento superior [S VI]
Segmento lingular inferior [S V]
Segmento superior [S VI]
Segmento basilar anterior [S VIII]
Segmento basilar posterior [S X]
Segmento basilar lateral [S IX]

Segmento apical [S I]
Lobo superior
Segmento posterior [S II]
Segmento anterior [S III]
Segmento superior [S VI]
Lobo médio
Segmento medial [S V]
Lobo inferior
Segmento basilar posterior [S X]
Segmento lateral [S IV]
Segmento basilar lateral [S IX]
Segmento basilar anterior [S VIII]

Pulmão direito (vista lateral)

Lobo superior
Segmento apicoposterior [S I+II]
Segmento anterior [S III]
Segmento superior [S VI]
Segmento lingular superior [S IV]
Segmento lingular inferior [S V]
Lobo inferior
Segmento basilar posterior [S X]
Segmento basilar anterior [S VIII]
Segmento basilar lateral [S IX]

Pulmão esquerdo (vista lateral)

Segmentos broncopulmonares

Vasos pulmonares

Plexo pulmonar

A

Parte ascendente da aorta
Veia cava superior
Brônquio principal direito
Esôfago
Tronco pulmonar
Artéria pulmonar esquerda
Brônquio principal esquerdo
Parte torácica da aorta
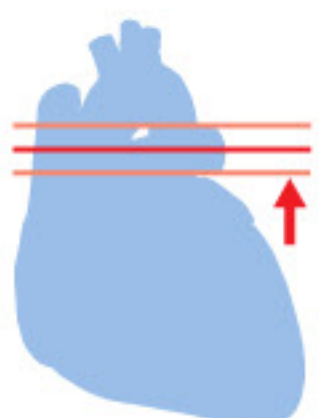
B
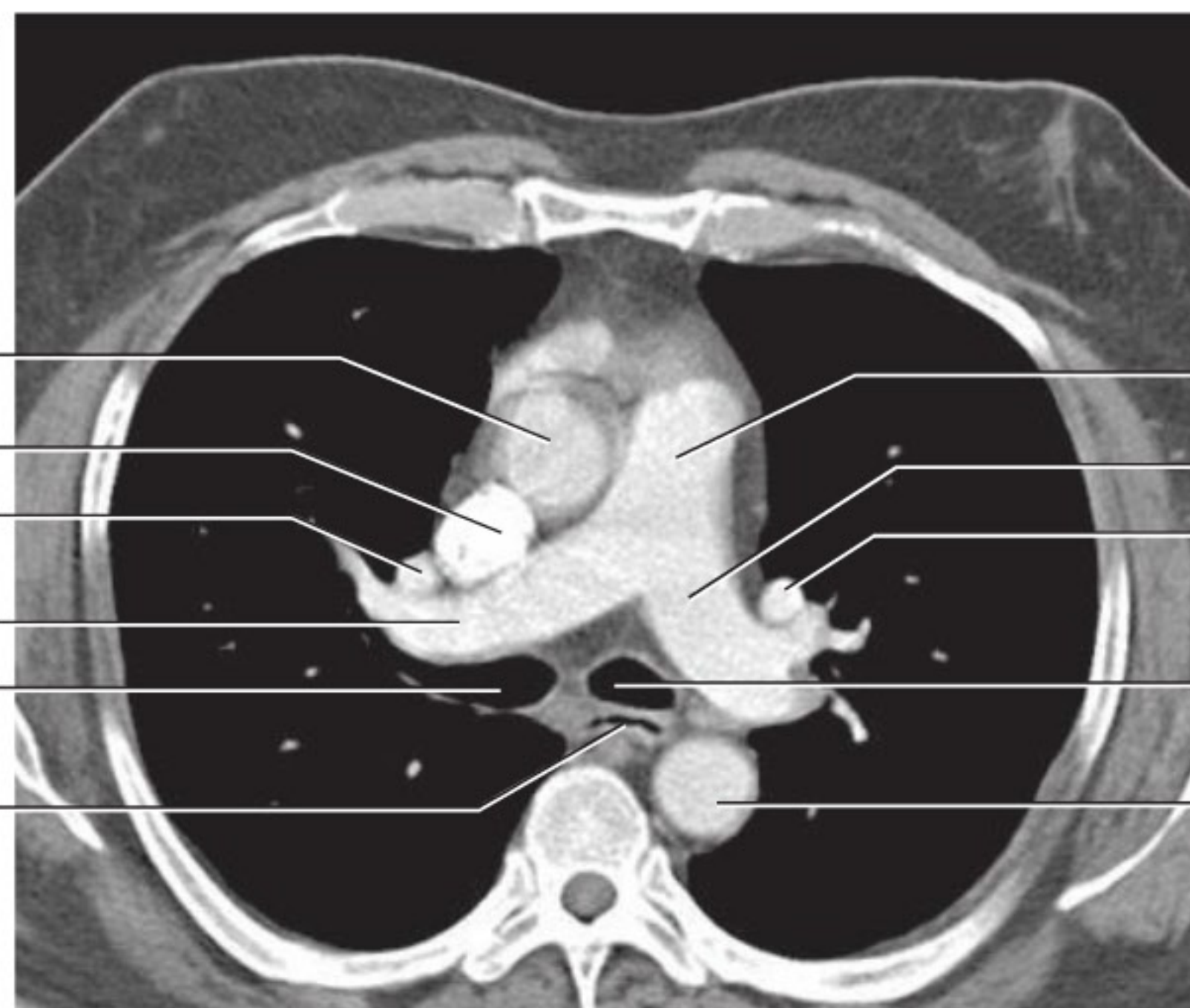
Parte ascendente da aorta
Veia cava superior
Veia pulmonar direita superior
Artéria pulmonar direita
Brônquio principal direito
Esôfago
Tronco pulmonar
Artéria pulmonar esquerda
Veia pulmonar esquerda superior
Brônquio principal esquerdo
Parte torácica da aorta
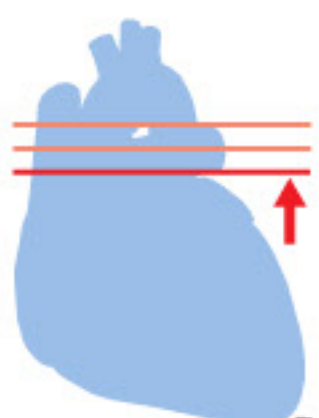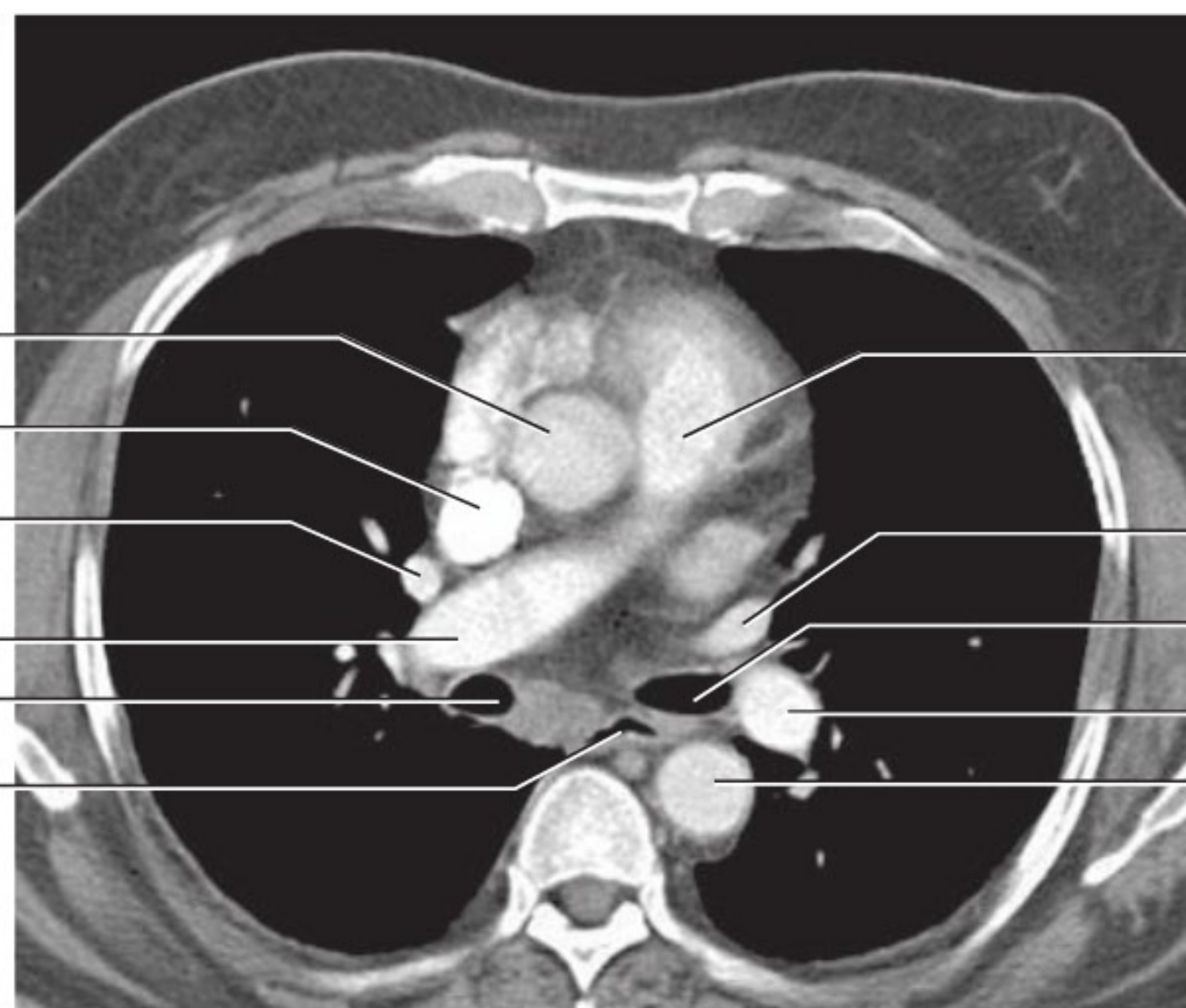
C

Parte ascendente da aorta
Veia cava superior
Veia pulmonar direita superior
Artéria pulmonar direita
Brônquio principal direito
Esôfago
Tronco pulmonar
Veia pulmonar esquerda superior
Brônquio principal esquerdo
Artéria pulmonar esquerda
Parte torácica da aorta

Imagens de A-C: Relações das artérias pulmonares, veias pulmonares e brônquios no mediastino.
Imagens de TC com contraste, no plano transversal (axial)

D

Parte ascendente da aorta
Veia cava superior
Veia pulmonar direita superior
Artéria pulmonar direita
Brônquio principal direito
Esôfago
Ventrículo direito
Veia pulmonar esquerda superior
Brônquio principal esquerdo
Artéria pulmonar esquerda
Parte torácica da aorta

E

Parte ascendente da aorta
Átrio direito
Átrio esquerdo
Veia pulmonar direita superior
Artéria pulmonar direita
Brônquio principal direito
Esôfago
Ventrículo direito
Ventrículo esquerdo
Veia pulmonar esquerda superior
Brônquios
Artéria pulmonar esquerda
Parte torácica da aorta

F

Átrio direito
Átrio esquerdo
Esôfago
Ventrículo direito
Ventrículo esquerdo
Veia pulmonar esquerda inferior
Parte torácica da aorta

Imagens de D-F: Relações das artérias pulmonares, veias pulmonares e brônquios no mediastino.
Imagens de TC com contraste, no plano transversal (axial)
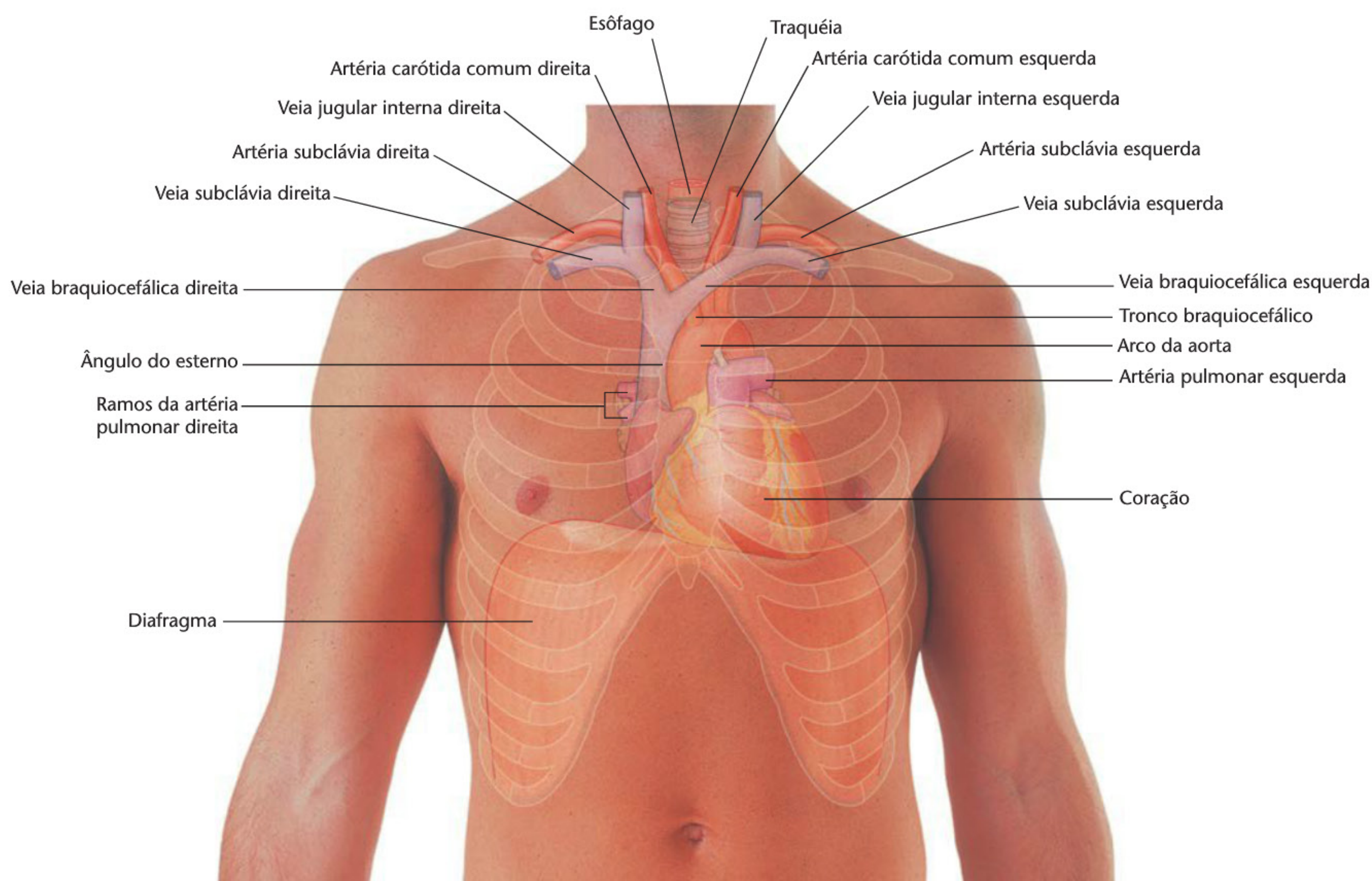
Estruturas do mediastino e suas relações com as áreas de projeção na superfície do corpo
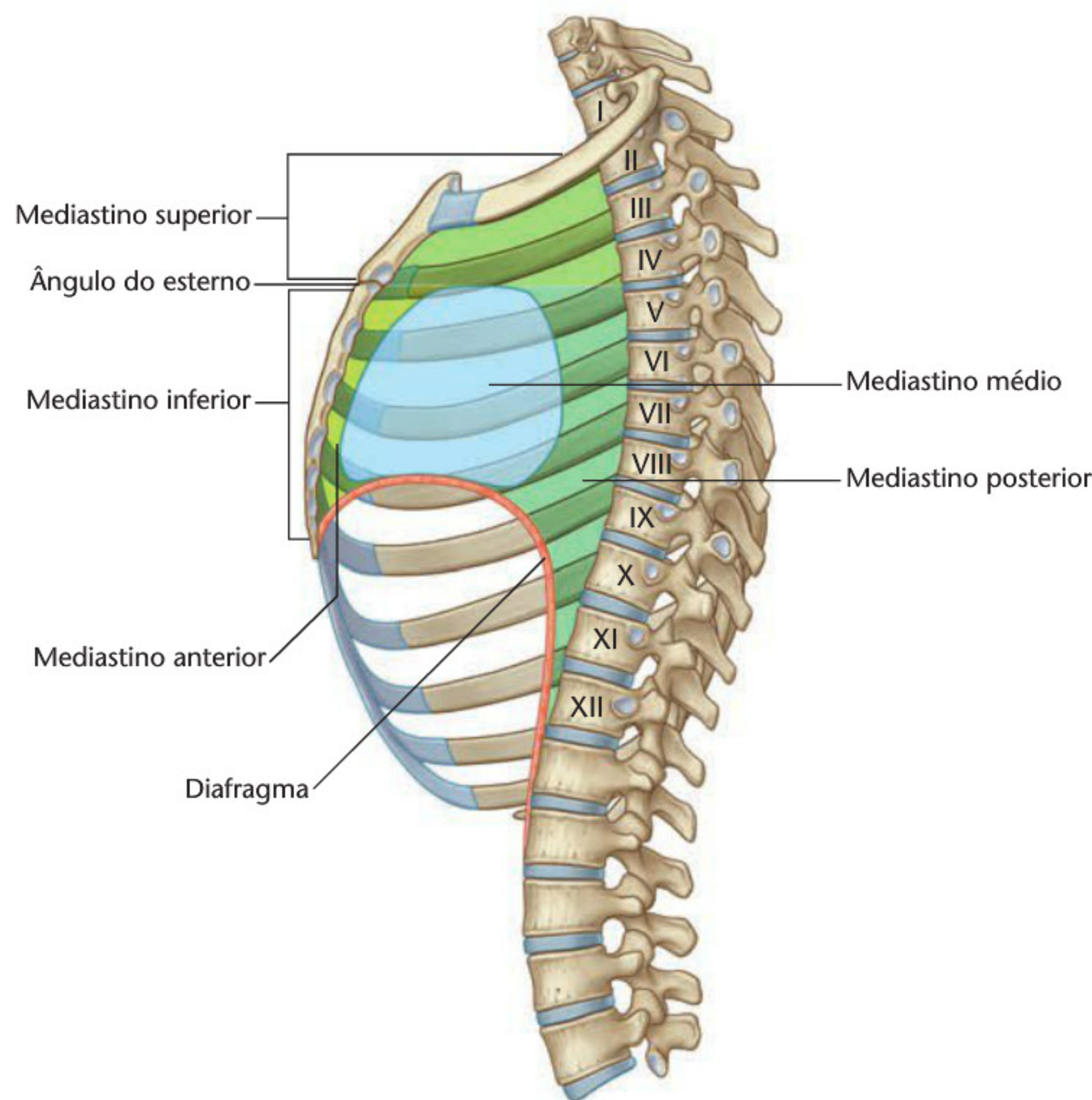
Subdivisões do mediastino (secção sagital)
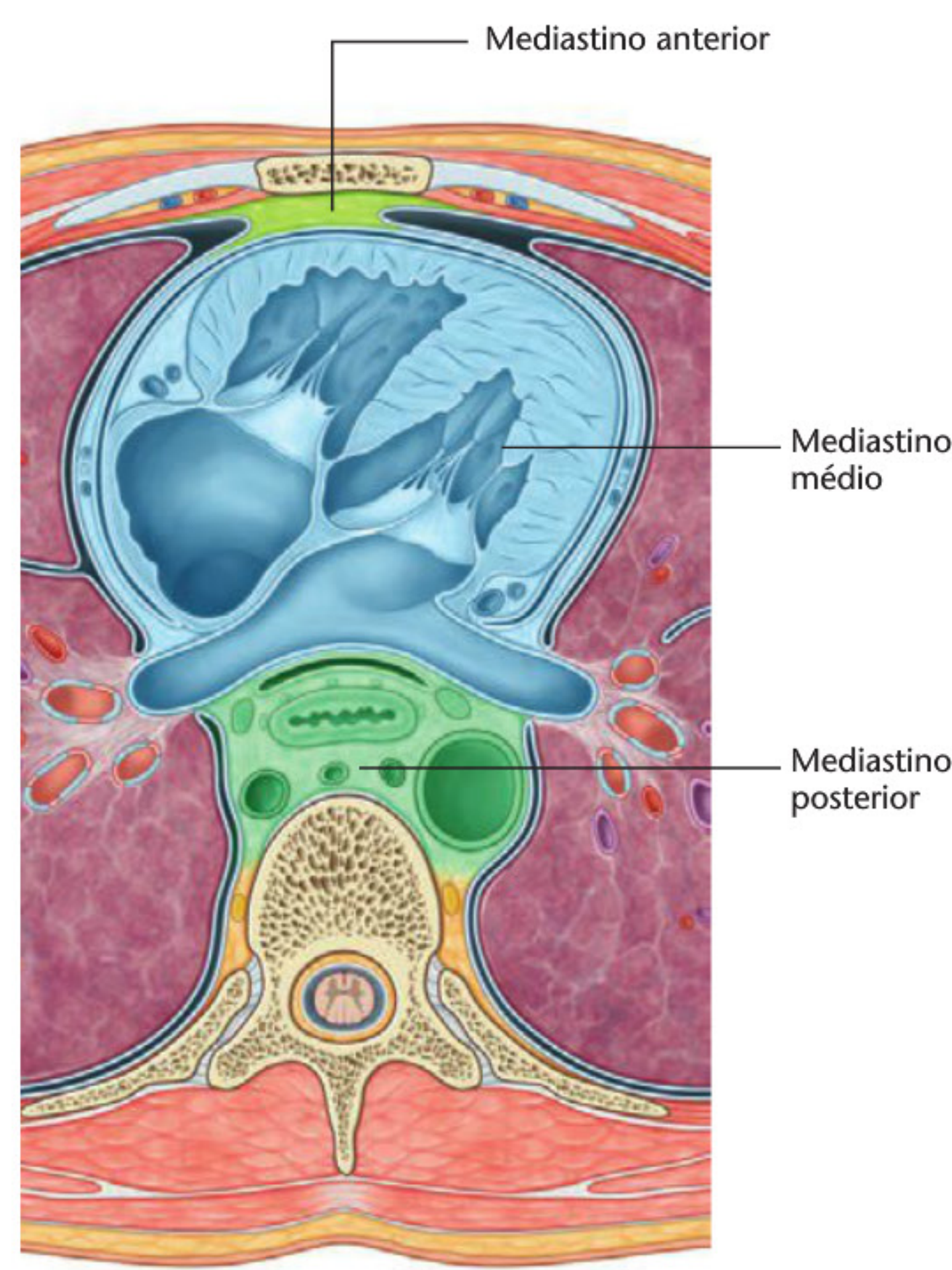
Subdivisões do mediastino (secção transversal)

Traquéia
Artéria carótida comum esquerda
Artéria carótida comum direita
Cúpula da pleura parietal
Cúpula da pleura parietal
Nervo frênico esquerdo
Nervo frênico direito
Artéria subclávia direita
Artéria subclávia esquerda
Artéria torácica interna direita
Artéria torácica interna esquerda
Veia braquiocefálica direita
Veia braquiocefálica esquerda
Tronco braquiocefálico
Arco da aorta
Veia cava superior
Ligamento arterial (ducto arterial)
Artéria pulmonar esquerda
Ramos da artéria pulmonar direita
Vasos pericardicofrênicos direitos
Vasos pericardicofrênicos esquerdos
Pericárdio fibroso
Nervo frênico direito e artéria e veia pericardicofrênicas direitas
Margem seccionada da parte costal da pleura parietal
Diafragma
Esôfago

Pericárdio com nervos e vasos

Tronco braquiocefálico
Veia braquiocefálica direita
Veia braquiocefálica esquerda
Arco da aorta
Veia cava superior
Tronco pulmonar
Parte ascendente da aorta
Átrio direito
Ventrículo esquerdo

Estruturas do mediastino e pulmões.
Imagem de TC com contraste, no plano frontal (coronal)

Junção do pericárdio fibroso com a túnica adventícia de grandes vasos
Cavidade do pericárdio
Lâmina visceral do pericárdio seroso (epicárdio)
Pericárdio fibroso
Miocárdio
Endocárdio
Lâmina parietal do pericárdio seroso
Gordura subpericárdica
Cavidade do pericárdio
Ventrículo esquerdo
Diafragma
Veia cava inferior
Traquéia
Aorta
Artéria pulmonar
Seio transverso do pericárdio
Seio oblíquo do pericárdio
Átrio esquerdo
Esôfago
Parte torácica da aorta

Secção sagital do pericárdio e do coração

Veia cava superior
Seio transverso do pericárdio
Ramos da artéria pulmonar direita
Veias pulmonares direitas
Margem seccionada da parte mediastinal da pleura parietal
Margem seccionada do pericárdio fibroso e da lâmina parietal do pericárdio seroso
Diafragma
Veia cava inferior
Arco da aorta
Artéria pulmonar esquerda
Parte ascendente da aorta
Veias pulmonares esquerdas
Margem seccionada da pleura parietal
Seio oblíquo do pericárdio
Proeminência causada pelo esôfago subjacente
Margem seccionada do pericárdio fibroso e da lâmina parietal do pericárdio seroso

Pericárdio sem o coração (removido)

Margem seccionada do pericárdio
Arco da aorta
Veia cava superior
Ligamento arterial (ducto arterial)
Parte ascendente da aorta
Ramos da artéria pulmonar esquerda
Tronco pulmonar
Ramos da artéria pulmonar direita
Veias pulmonares esquerdas
Aurícula esquerda
Átrio direito
Ramo interventricular anterior da artéria coronária esquerda (descendente anterior)
Veias pulmonares direitas
Veia cardíaca magna (veia interventricular anterior)
Sulco coronário
Sulco interventricular anterior (contendo vasos)
Artéria coronária direita
Ventrículo esquerdo
Margem "obtusa" (romba)
Veia cardíaca parva (pequena)
Veia cava inferior
Ventrículo direito
Margem direita
Ápice

Face esternocostal do coração

Parte ascendente da aorta
Tronco pulmonar
Aurícula direita
Átrio direito
Ramo interventricular anterior da artéria coronária esquerda (descendente anterior)
Artéria coronária direita
Ventrículo esquerdo
Ventrículo direito

Vista anterior do coração.
Vista anterior com representação de volume utilizando tomografia computadorizada, multidetectores

Arco da aorta
Reflexão do pericárdio
Artéria pulmonar direita
Artéria pulmonar esquerda
Veia cava superior
Veia pulmonar superior esquerda
Átrio esquerdo
Veia pulmonar inferior esquerda
Átrio direito
Veias pulmonares direitas
Sulco terminal
Veia cava inferior
Ápice
Ventrículo esquerdo
Seio coronário
Ventrículo direito

Base do coração

Artéria pulmonar esquerda
Átrio esquerdo
Veias pulmonares esquerdas
Artéria pulmonar direita
Veia pulmonar direita
Ventrículo esquerdo
Átrio direito
Ventrículo direito

Vista posterior do coração.
Vista posterior com representação de volume utilizando tomografia computadorizada, multidetectores

Arco da aorta
Artéria pulmonar esquerda
Veia cava superior
Artéria pulmonar direita
Veias pulmonares esquerdas
Veia cardíaca magna
Veias pulmonares direitas
Átrio esquerdo
Átrio direito
Ramo circunflexo da artéria coronária esquerda
Veia cava inferior
Sulco coronário
Seio coronário
Veia cardíaca parva (pequena)
Ventrículo esquerdo
Ramo interventricular posterior da artéria coronária direita (descendente posterior)
Sulco interventricular posterior (contendo vasos)
Ventrículo direito
Ápice
Veia interventricular posterior (v. cardíaca média)

Face diafragmática do coração

Arco da aorta
Veia cava superior
Aurícula direita
Limbo da fossa oval
Valva atrioventricular direita (tricúspide)
Ventrículo direito
Crista terminal
Músculos pectíneos
Fossa oval
Veia cava inferior
Válvula da veia cava inferior
Óstio do seio coronário
Válvula do seio coronário

Vista interna do átrio direito

Ventrículo direito
Átrio direito
Ventrículo esquerdo
Átrio esquerdo

Posição do átrio direito em relação às outras câmaras cardíacas.
Imagem de TC com contraste, no plano transversal (axial)

Veia cava superior
Arco da aorta
Ligamento arterial (ducto arterial)
Tronco pulmonar
Aurícula direita
Aurícula esquerda
Átrio direito
Válvula semilunar anterior
Válvula semilunar direita
Válvula semilunar esquerda
Valva do tronco pulmonar
Cone arterial
Valva atrioventricular direita (tricúspide)
Válvula anterior
Válvula septal
Válvula posterior
Músculo papilar septal
Trabéculas cárneas
Trabécula septomarginal
Cordas tendíneas
Veia cava inferior
Músculo papilar anterior
Músculo papilar posterior

Vista interna do ventrículo direito

Ventrículo direito
Átrio direito
Ventrículo esquerdo
Átrio esquerdo

Posição do ventrículo direito em relação às outras câmaras cardíacas.
Imagem de TC com contraste, no plano transversal (axial)

Arco da aorta
Aurícula esquerda
Veia cava superior
Artérias pulmonares
Ventrículo esquerdo
Veias pulmonares esquerdas
Válvula do forame oval
Átrio esquerdo
Valva atrioventricular esquerda (mitral)
Veia cava inferior

Vista interna do átrio esquerdo

Ventrículo direito
Átrio direito
Ventrículo esquerdo
Átrio esquerdo

Posição do átrio esquerdo em relação às outras câmaras cardíacas.
Imagem de TC com contraste, no plano transversal (axial)

Arco da aorta
Aurícula esquerda
Veia cardíaca magna
Válvula posterior da valva atrioventricular esquerda (mitral)
Válvula anterior da valva atrioventricular esquerda (mitral)
Cordas tendíneas
Vasos interventriculares anteriores
Músculo papilar anterior
Trabéculas cárneas
Músculo papilar posterior
Veia cava superior
Artérias pulmonares
Veias pulmonares
Átrio esquerdo
Seio coronário
Veia cava inferior

Vista interna do ventrículo esquerdo

Ventrículo direito
Átrio direito
Ventrículo esquerdo
Átrio esquerdo

Posição do ventrículo esquerdo em relação às outras câmaras cardíacas.
Imagem de TC com contraste, no plano transversal (axial)

Parte ascendente da aorta
Óstio da artéria coronária direita
Seio da aorta
Nódulo da válvula semilunar
Óstio da artéria coronária esquerda
Artéria coronária direita
Artéria coronária esquerda
Lúnula da valva semilunar
Válvula semilunar direita
Válvula semilunar posterior
Válvula semilunar esquerda

Vista anterior da valva da aorta (parede seccionada e aberta)

Seio da aorta
Nódulo da válvula semilunar

Vista lateral da valva da aorta em diástole

Nódulo da válvula semilunar
Válvula semilunar posterior
Seio da aorta
Lúnula da válvula semilunar
Artéria coronária direita
Artéria coronária esquerda

Vista superior da valva da aorta em sístole

Anterior
Anel fibroso da valva do tronco pulmonar
Artéria coronária esquerda
Artéria coronária direita
Trígono fibroso esquerdo
Esquerda
Direita
Anel fibroso da valva da aorta
Válvula anterior da valva atrioventricular esquerda (mitral)
Válvula anterior da valva atrioventricular direita (tricúspide)
Fascículo atrioventricular
Anel fibroso esquerdo
Sulco coronário
Anel fibroso direito
Válvula posterior da valva atrioventricular esquerda (mitral)
Seio coronário
Válvula posterior da valva atrioventricular direita (tricúspide)
Trígono fibroso direito
Válvula septal da valva atrioventricular direita (tricúspide)
Posterior

Vista superior do esqueleto fibroso do coração (com os átrios removidos)

Artéria carótida comum direita
Veia jugular interna direita
Artéria subclávia direita
Artéria carótida comum esquerda
Veia jugular interna esquerda
Artéria subclávia esquerda
Veia subclávia esquerda
Veia subclávia direita
Veia braquiocefálica direita
Veia braquiocefálica esquerda
Arco da aorta
Tronco pulmonar
Valva do tronco pulmonar
Sangue desoxigenado
Veia cava superior
Sangue desoxigenado
Ramos da artéria pulmonar esquerda
Ramos da artéria pulmonar direita
Ant
Dir.
Esq.
Veias pulmonares esquerdas
Aurícula esquerda
Sangue oxigenado
Esq.
Dir.
Valva da aorta
Veias pulmonares direitas
Post
Ant.
Valva atrioventricular esquerda (mitral)
Post.
Sulco interventricular
Sangue oxigenado
Ant.
Átrio direito
Ventrículo esquerdo
Septal
Sulco coronário
Post.
Margem "obtusa" (romba)
Valva atrioventricular direita (tricúspide)
Veia cava inferior
Ventrículo direito
Ápice do coração
Parte torácica da aorta
Margem direita

Câmaras cardíacas e direção do fluxo sangüíneo

Parte ascendente da aorta
Artéria coronária esquerda
Ramo circunflexo da artéria coronária esquerda
Artéria coronária direita
Veia cardíaca magna
Sulco coronário
Ramo interventricular anterior da artéria coronária esquerda (descendente anterior)
Veias anteriores do ventrículo direito
Veia interventricular anterior
Veia cardíaca parva (pequena)
Ramo marginal direito da artéria coronária direita e veia marginal direita

Vista anterior da vascularização do coração

Átrio esquerdo
Parte torácica da aorta
Artéria pulmonar direita
Ramo posterior do ventrículo esquerdo
Átrio direito
Seio coronário
Parte torácica da aorta
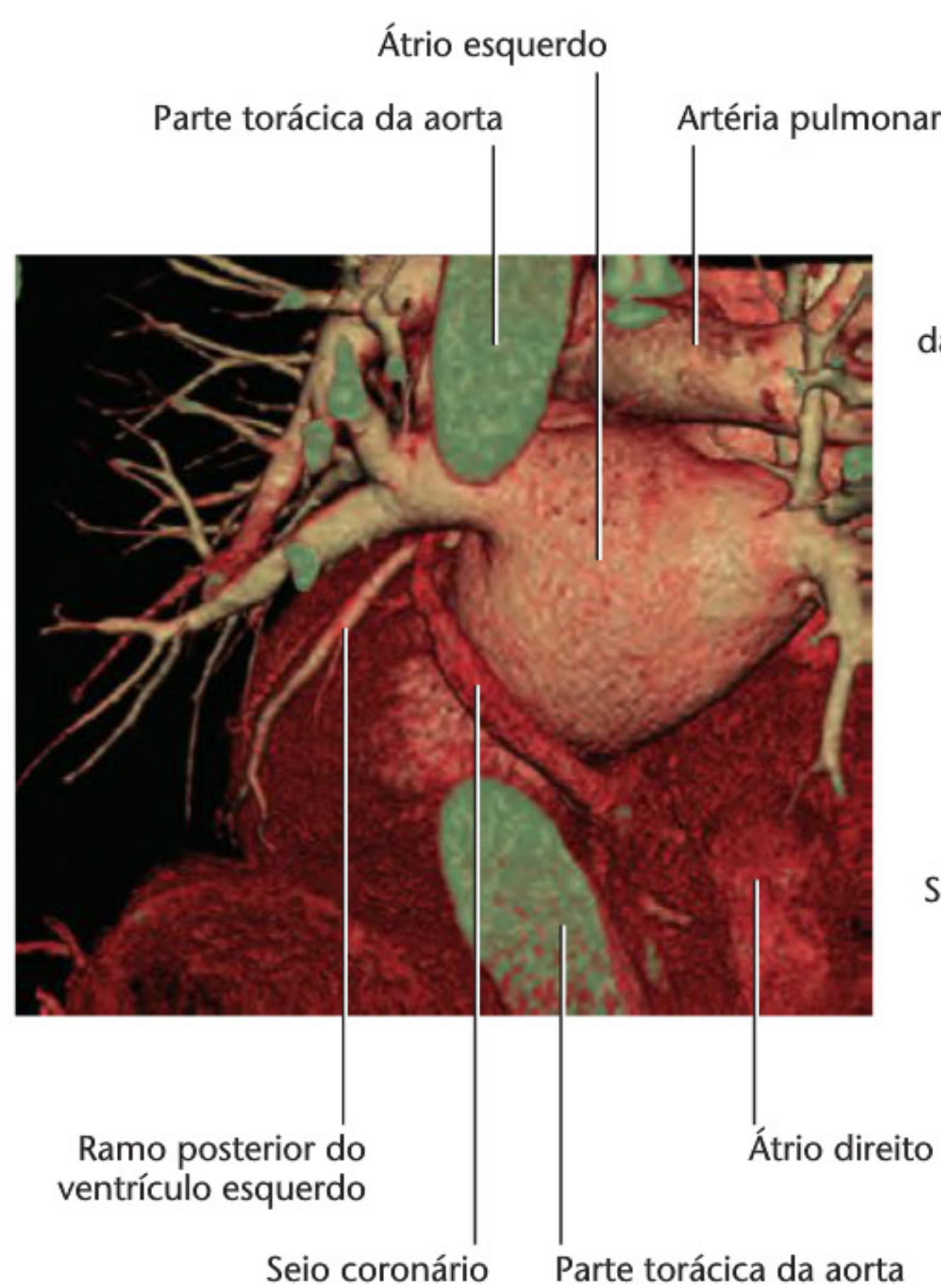
Vista posterior do coração mostrando o seio coronário
Vista posterior com representação de volume utilizando tomografia computadorizada, multidetectores

Sulco coronário
Veia oblíqua do átrio esquerdo
Veia cardíaca magna
Artéria coronária direita
Ramo circunflexo da artéria coronária esquerda
Veia posterior do ventrículo esquerdo
Seio coronário
Veia cardíaca parva
Ramo interventricular posterior da artéria coronária direita (descendente posterior)
Veia interventricular posterior (v. cardíaca média)

Vista póstero-inferior

Parte ascendente da aorta
Ramo do nó sinoatrial da artéria coronária direita
Artéria coronária direita
Átrio direito
Ventrículo direito
Ramo marginal direito da artéria coronária direita
Ramo interventricular posterior da artéria coronária direita
Artéria coronária esquerda
Aurícula esquerda
Ramo circunflexo da artéria coronária esquerda
Ramo marginal esquerdo (ramificação do ramo circunflexo)
Ramo interventricular anterior da artéria coronária esquerda
Ventrículo esquerdo
Ramo lateral (ramificação do ramo interventricular anterior)

Artérias coronárias (artéria coronária direita dominante)

Artéria coronária direita
Ramos póstero-laterais direitos da artéria coronária direita
Ramo marginal direito da artéria coronária direita
Ramo interventricular posterior da artéria coronária direita

Angiografia das artérias coronárias (artéria coronária direita dominante).
Projeção ântero-oblíqua esquerda da artéria coronária direita, com angulação cranial.

Ramo interventricular anterior da artéria coronária esquerda
Artéria coronária esquerda
Ramo circunflexo da artéria coronária esquerda
Ramo interventricular septal (ramificação do ramo interventricular anterior)
Ramos laterais (ramificação do ramo interventricular anterior)
Ramo marginal esquerdo (ramificação do ramo circunflexo)

Angiografia das artérias coronárias (artéria coronária direita dominante).
Projeção ântero-oblíqua esquerda da artéria coronária esquerda, com angulação cranial.

Parte ascendente da aorta
Ramo do nó sinoatrial da artéria coronária esquerda
Artéria coronária direita
Átrio direito
Ventrículo direito
Ramo marginal direito da artéria coronária direita
Ramo interventricular posterior (ramificação do ramo circunflexo)
Artéria coronária esquerda
Aurícula esquerda
Ramo circunflexo da artéria coronária esquerda
Ramo marginal esquerdo (ramificação do ramo circunflexo)
Ramo interventricular anterior da artéria coronária esquerda
Ventrículo esquerdo
Ramo lateral (ramificação do ramo interventricular anterior)

Artérias coronárias (artéria coronária esquerda dominante)

Artéria coronária direita
Ramo marginal direito da artéria coronária direita

Angiografia das artérias coronárias (artéria coronária esquerda dominante).
Projeção ântero-oblíqua esquerda da artéria coronária direita, com angulação cranial

Ramo interventricular anterior da artéria coronária esquerda
Artéria coronária esquerda
Ramo circunflexo da artéria coronária esquerda
Ramos laterais (ramificações do ramo interventricular anterior)
Ramo interventricular posterior (ramificação do ramo circunflexo)
Ramo póstero-lateral (ramificação do ramo circunflexo)
Ramo marginal esquerdo (ramificação do ramo circunflexo)

Angiografia das artérias coronárias (artéria coronária esquerda dominante).
Projeção ântero-oblíqua esquerda da artéria coronária esquerda, com angulação cranial

Ponto de ausculta da valva da aorta
Ponto de ausculta da valva do tronco pulmonar
II
III
Valva da aorta
Valva do tronco pulmonar
Valva atrioventricular direita (tricúspide)
Valva atrioventricular esquerda (mitral)
V
VI
Ponto de ausculta da valva atrioventricular esquerda (mitral)
Ponto de ausculta da valva atrioventricular direita (tricúspide)

Pontos de ausculta cardíaca

Fechamento das valvas atrioventriculares esquerda e direita
Fechamento das valvas da aorta e do tronco pulmonar
Pressão ventricular
ECG
P
R
Q
S
T
Sons (bulhas) cardíacos
1ª
2ª
1ª
"tum"
"ta"
"tum"
← SÍSTOLE → ← DIÁSTOLE → ← SÍSTOLE →

Ausculta cardíaca

Traquéia
Artéria carótida comum direita
Artéria carótida comum esquerda
Tronco simpático direito
Tronco simpático esquerdo
Nervo vago direito
Nervo vago esquerdo
Nervo laríngeo recorrente direito
Nervo laríngeo recorrente esquerdo
Artéria subclávia direita
Artéria subclávia esquerda
Nervo laríngeo recorrente direito
Ramos cardíacos torácicos do nervo vago
Terceiro gânglio torácico (simpático)
Tronco braquiocefálico
Ramos cardíacos torácicos (simpáticos)
Ramos cardíacos torácicos (simpáticos)
Ramo cardíaco torácico do nervo vago
Arco da aorta
Plexo cardíaco (profundo)
Plexo cardíaco (superficial)
Brônquio lobar superior direito
Nervo laríngeo recorrente esquerdo
Ligamento arterial (ducto arterial)
Artéria pulmonar esquerda
Veia cava superior
Brônquio lobar superior esquerdo
Ramos da artéria pulmonar direita
Veias pulmonares esquerdas
Veias pulmonares direitas
Veia cava inferior
Esôfago
Parte torácica da aorta

Plexo cardíaco e nervos do coração

Esôfago
Traquéia
Artéria carótida comum direita
Veia jugular interna direita
Artéria subclávia direita
Veia subclávia direita
Veia braquiocefálica direita
Veia cava superior
Ângulo do esterno
Ramos da artéria pulmonar direita
Parte ascendente da aorta
Artéria carótida comum esquerda
Veia jugular interna esquerda
Artéria subclávia esquerda
Veia subclávia esquerda
Veia braquiocefálica esquerda
Arco da aorta
Artéria pulmonar esquerda
Brônquio principal esquerdo
Parte torácica da aorta

Áreas de projeção das estruturas do mediastino superior na superfície do corpo

Esôfago
Traquéia
Artéria carótida comum direita
Veia jugular interna direita
Artéria subclávia direita
Veia subclávia direita
Artéria pericardicofrênica direita
Veia cava superior
Artéria torácica interna direita
Ramos da artéria pulmonar direita
Veias pulmonares direitas
Margem seccionada da parte mediastinal da pleura parietal direita
Artéria carótida comum esquerda
Veia jugular interna esquerda
Artéria subclávia esquerda
Veia subclávia esquerda
Artéria pericardicofrênica esquerda
Arco da aorta
Timo
Artéria pulmonar esquerda
Artéria torácica interna esquerda
Veias pulmonares esquerdas
Margem seccionada da parte mediastinal da pleura parietal esquerda

Timo

Esôfago
Traquéia
Artéria carótida comum direita
Veia jugular interna direita
Artéria subclávia direita
Veia subclávia direita
Veia tireóidea inferior
Veia torácica interna direita
Veia cava superior
Veia pericardicofrênica direita
Ramos da artéria pulmonar direita
Veias pulmonares direitas
Margem seccionada da parte mediastinal da pleura parietal direita
Artéria carótida comum esquerda
Veia jugular interna esquerda
Artéria subclávia esquerda
Veia subclávia esquerda
Veia torácica interna esquerda
Veia pericardicofrênica esquerda
Arco da aorta
Ligamento arterial (ducto arterial)
Artéria pulmonar esquerda
Veias pulmonares esquerdas
Pericárdio fibroso
Margem seccionada da parte mediastinal da pleura parietal esquerda

Veias do mediastino superior

Veia braquiocefálica direita
Veia cava superior
Parte ascendente da aorta
Veia braquiocefálica esquerda
Arco da aorta
Veia pulmonar esquerda
Tronco pulmonar

Vista anterior do mediastino superior mostrando o transporte sangüíneo venoso e arterial.
Vista anterior com representação de volume utilizando tomografia computadorizada, multidetectores

Traquéia
Nervo laríngeo recorrente direito
Artéria carótida comum direita
Artéria subclávia direita
Nervo vago direito
Tronco braquiocefálico
Ramos cardíacos torácicos do nervo vago
Ramos cardíacos torácicos (simpáticos)
Veia cava superior
Ramos da artéria pulmonar direita
Veias pulmonares direitas
Margem seccionada da parte mediastinal da pleura parietal direita
Nervo laríngeo recorrente esquerdo
Artéria carótida comum esquerda
Nervo vago esquerdo
Artéria subclávia esquerda
Ramos cardíacos torácicos (simpáticos)
Ramos cardíacos torácicos do nervo vago
Arco da aorta
Nervo laríngeo recorrente esquerdo
Ligamento arterial (ducto arterial)
Artéria pulmonar esquerda
Veias pulmonares esquerdas
Margem seccionada da parte mediastinal da pleura parietal esquerda
Pericárdio fibroso

Artérias e nervos do mediastino superior

Veia braquiocefálica direita
Veia cava superior
Átrio direito
Veia braquiocefálica esquerda
Tronco pulmonar
Parte ascendente da aorta
Ventrículo esquerdo

Posicionamento dos vasos de transporte venoso no mediastino superior.
Imagem de TC com contraste, no plano frontal (coronal)

Artéria carótida comum direita
Artéria subclávia direita
Tronco braquiocefálico
Artéria carótida comum esquerda
Artéria subclávia esquerda
Arco da aorta
Parte torácica da aorta
Parte ascendente da aorta
Parte torácica da aorta

Vista anterior do mediastino superior mostrando o transporte sangüíneo arterial; tronco pulmonar e coração removidos.
Vista anterior com representação de volume utilizando tomografia computadorizada, multidetectores

Traquéia
Veia braquiocefálica esquerda
Artéria carótida comum direita
Artéria carótida comum esquerda
Veia jugular interna direita
Veia jugular interna esquerda
Artéria subclávia direita
Artéria subclávia esquerda
Veia subclávia direita
Veia subclávia esquerda
Tronco braquiocefálico
Veia braquiocefálica direita
Artéria subclávia esquerda
Veia cava superior
Arco da aorta
Ligamento arterial (ducto arterial)
Artéria pulmonar esquerda
Ramos da artéria pulmonar direita
Brônquio principal esquerdo
Parte torácica da aorta
Brônquio lobar inferior direito
Região do hilo do pulmão na parte mediastinal da pleura parietal
Região do hilo do pulmão na parte mediastinal da pleura parietal
Esôfago
Margem seccionada da parte mediastinal da pleura parietal direita
Margem seccionada da parte mediastinal da pleura parietal esquerda

Traquéia e estruturas inter-relacionadas no mediastino superior.
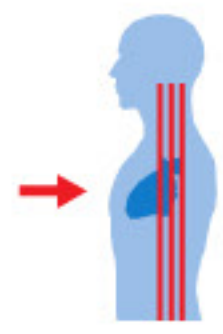
Tronco braquiocefálico
Veia cava superior
Átrio direito
Arco da aorta
Tronco pulmonar
Parte ascendente da aorta
Ventrículo esquerdo
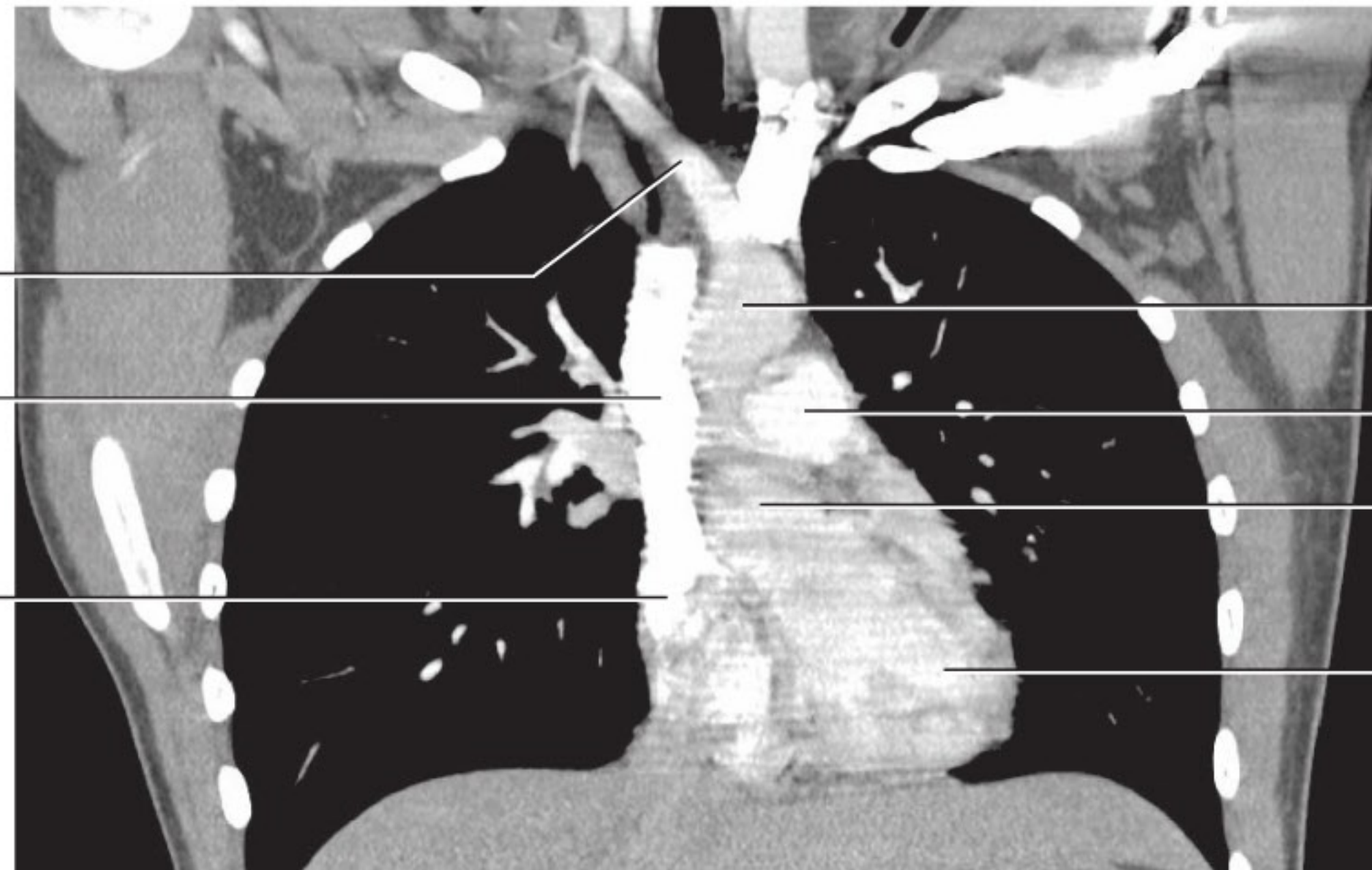
Posicionamento do tronco braquiocefálico em relação às outras estruturas no mediastino superior.
Imagem de TC com contraste, no plano frontal (coronal)

Artéria carótida comum esquerda
Arco da aorta
Artéria pulmonar direita
Ventrículo esquerdo
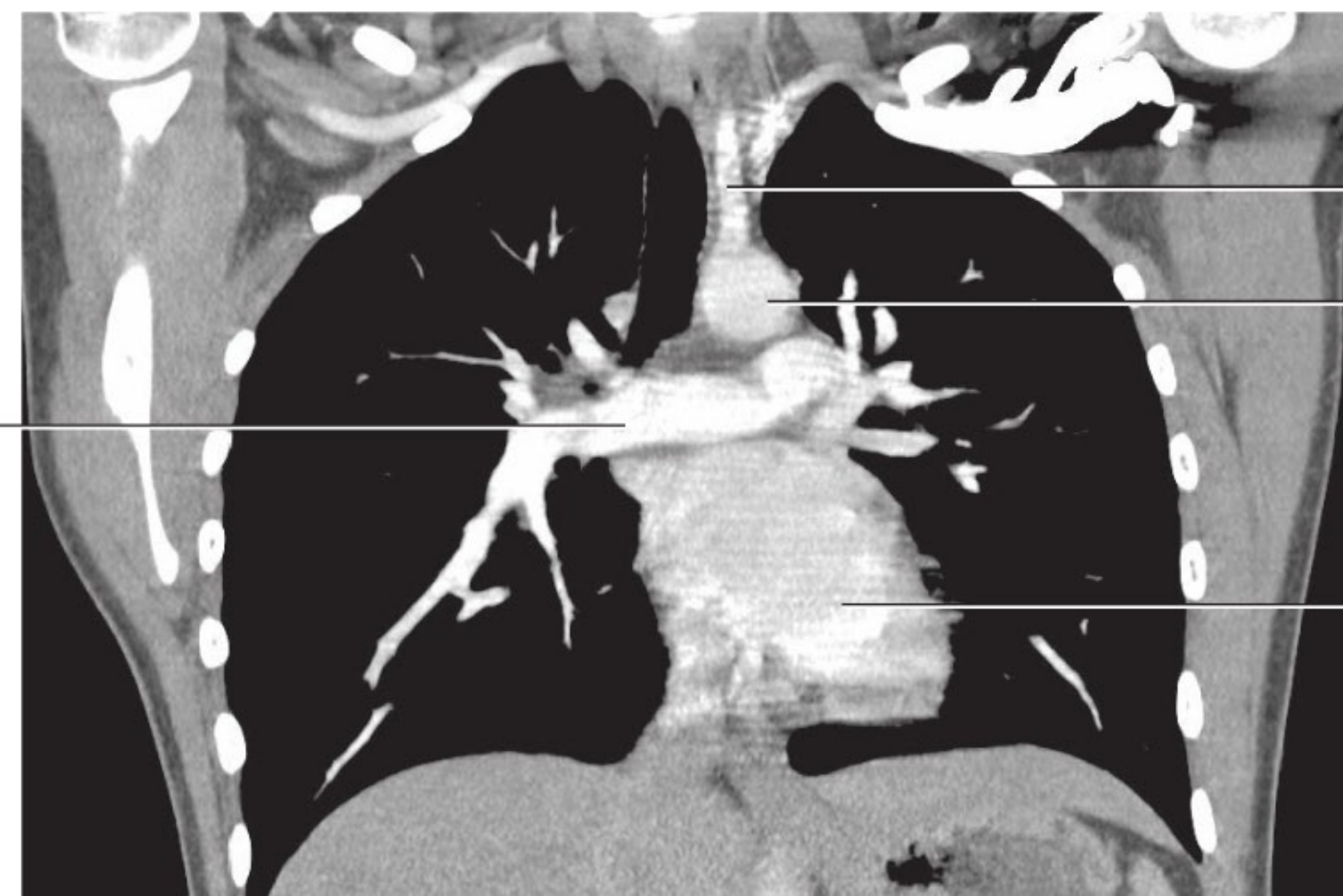
Posicionamento da artéria carótida comum em relação às outras estruturas no mediastino superior.
Imagem de TC com contraste, no plano frontal (coronal)

Artéria subclávia esquerda
Traquéia
Arco da aorta
Brônquio principal direito
Artéria pulmonar esquerda
Brônquio principal esquerdo

Posicionamento da artéria subclávia esquerda e da bifurcação da traquéia em relação às outras estruturas no mediastino superior.
Imagem de TC com contraste, no plano frontal (coronal)

Traquéia
Costela I
Veia jugular interna direita
Artéria carótida comum direita
Clavícula
Músculo subclávio direito
Artéria subclávia direita
Veia subclávia direita
Esôfago
Veia intercostal superior direita
Nervo vago direito
Veia braquiocefálica direita
Nervo frênico direito
Timo
Arco da aorta
Tronco simpático
Artéria e veia pericardicofrênicas
Brônquio principal direito
Margem seccionada da parte mediastinal da pleura parietal direita
Veia ázigo
Ramos da artéria pulmonar direita
Linfonodos traqueobronquiais
Plexo esofágico
Pericárdio fibroso
Veias pulmonares direitas
Artéria e veia intercostais posteriores
Nervo esplâncnico maior
Margem seccionada da parte costal da pleura parietal direita
Diafragma revestido pela parte diafragmática da pleura parietal direita

Lado direito do mediastino e da cavidade torácica

Veia braquiocefálica direita

Esôfago

Traquéia

Veia braquiocefálica esquerda

Veia cava superior

Parte ascendente da aorta

Artéria pulmonar direita

Veias pulmonares direitas
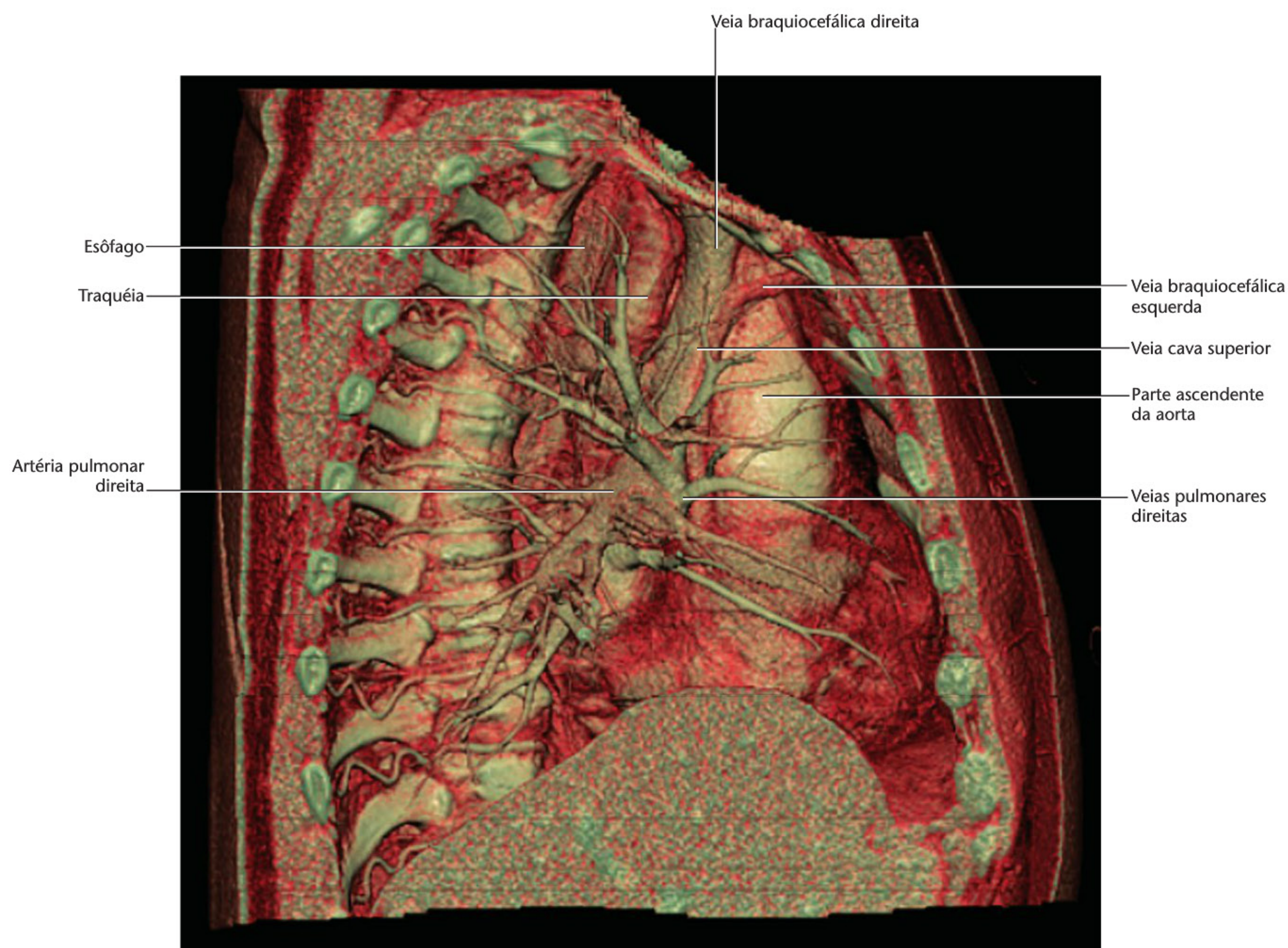
Vista das estruturas do mediastino do lado direito do tórax.
Vista lateral direita com representação de volume utilizando tomografia computadorizada, multidetectores

Traquéia
Esôfago
Clavícula
Músculo subclávio
Artéria subclávia esquerda
Veia subclávia esquerda
Tronco braquiocefálico
Veia braquiocefálica esquerda
Timo
Arco da aorta
Nervo laríngeo recorrente esquerdo
Margem seccionada da parte mediastinal da pleura parietal esquerda
Artéria pulmonar esquerda
Pericárdio fibroso
Veias pulmonares esquerdas
Nervo frênico esquerdo e artéria e veia pericardicofrênicas esquerdas
Margem seccionada da parte costal da pleura parietal esquerda
Diafragma revestido pela parte diafragmática da pleura parietal esquerda
Nervo vago esquerdo
Artéria subclávia esquerda
Artéria carótida comum esquerda
Veia intercostal superior esquerda
Tronco simpático
Ligamento arterial (ducto arterial)
Veia hemiázigo acessória
Brônquio principal esquerdo
Parte torácica da aorta
Artéria e veia intercostais posteriores
Plexo esofágico
Nervo esplâncnico maior

Lado esquerdo do mediastino e da cavidade torácica

Artéria subclávia esquerda
Esôfago
Artéria carótida comum esquerda
Tronco braquiocefálico
Arco da aorta
Veias pulmonares esquerdas
Artéria pulmonar esquerda
Ventrículo esquerdo
Margem seccionada do diafragma
Parte torácica da aorta

Vista das estruturas do mediastino do lado esquerdo do tórax.
Vista lateral esquerda com representação de volume utilizando tomografia computadorizada, multidetectores

Estruturas do mediastino posterior

Artérias bronquiais (vista posterior)

Esôfago
Artéria carótida comum direita
Artéria carótida comum esquerda
Veia jugular interna direita
Tronco simpático
Tronco simpático
Ducto torácico
Artéria subclávia direita
Artéria subclávia esquerda
Veia subclávia direita
Veia subclávia esquerda
Veia braquiocefálica direita
Veia cava superior
Veia ázigo
Veia hemiázigo acessória
Nervos intercostais
Veias intercostais posteriores
Ducto torácico
Veia hemiázigo
Nervo esplâncnico maior
Nervo esplâncnico menor
Nervo esplâncnico imo
Veia subcostal direita
Diafragma (seccionado)
Cisterna do quilo
Nervo esplâncnico maior
Nervo esplâncnico menor
Nervo esplâncnico imo
Pilar esquerdo do diafragma
Veia lombar ascendente
Veia cava inferior
Pilar direito do diafragma

Estruturas do mediastino posterior
(parte torácica da aorta e esôfago removidos)

Imagens de A-I: Essa é uma seqüência de imagens que passam através do tórax, no sentido superior para inferior, mostrando várias estruturas mediastinais e suas inter-relações.
Imagens de TC com contraste, no plano transversal (axial)

Secção transversal através do mediastino superior no nível da vértebra TIII

C

Veia cava superior
Traquéia
Tronco braquiocefálico
Artéria carótida comum esquerda
Artéria subclávia esquerda
Esôfago

D

Veia cava superior
Traquéia
Veia ázigo
Arco da aorta
Esôfago

Timo
Veia cava superior
Nervo frênico direito
Arco da veia ázigo
Nervo vago direito
Traquéia
Esôfago
Pulmão direito
TIV
Manúbrio do esterno
Nervo frênico esquerdo
Arco da aorta
Nervo vago esquerdo
Nervo laríngeo recorrente esquerdo
Ducto torácico
Pulmão esquerdo

Secção transversal através do mediastino superior no nível da vértebra TIV

E

F

Secção transversal através do mediastino superior no nível da vértebra TV

G

Parte ascendente da aorta
Átrio direito
Veia pulmonar direita
Átrio esquerdo
Ventrículo direito
Ventrículo esquerdo
Parte torácica da aorta

H

Átrio direito
Átrio esquerdo
Esôfago
Ventrículo direito
Ventrículo esquerdo
Parte torácica da aorta

I

Fígado
Veia cava inferior
Esôfago
Ventrículo esquerdo
Parte torácica da aorta

Imagens de A-I: Essa é uma seqüência de imagens que passam através do tórax, no sentido superior para inferior, mostrando várias estruturas mediastinais e suas inter-relações.
Imagens de TC com contraste, no plano transversal (axial)

Lâmina parietal do pericárdio seroso
Lâmina visceral do pericárdio seroso (epicárdio)
Vasos torácicos internos direitos
Esterno
Septo interventricular
Cartilagem costal
Ventrículo esquerdo
Ventrículo direito
Cavidade pleural
Valva atrioventricular esquerda (mitral)
Valva atrioventricular direita (tricúspide)
Átrio esquerdo
Cavidade do pericárdio
Nervo frênico esquerdo e vasos pericardicofrênicos
Átrio direito
Veia pulmonar direita
Veia pulmonar esquerda
Ramos do brônquio principal direito
Pulmão direito
Esôfago
Veia ázigo
Ducto torácico
Seio oblíquo do pericárdio
Veia hemiázigo
Tronco simpático esquerdo
Parte torácica da aorta
Pleura parietal
Pleura visceral
Pulmão esquerdo
Ramos do brônquio principal esquerdo

Secção transversal através do tórax (aproximadamente no nível de TVII)
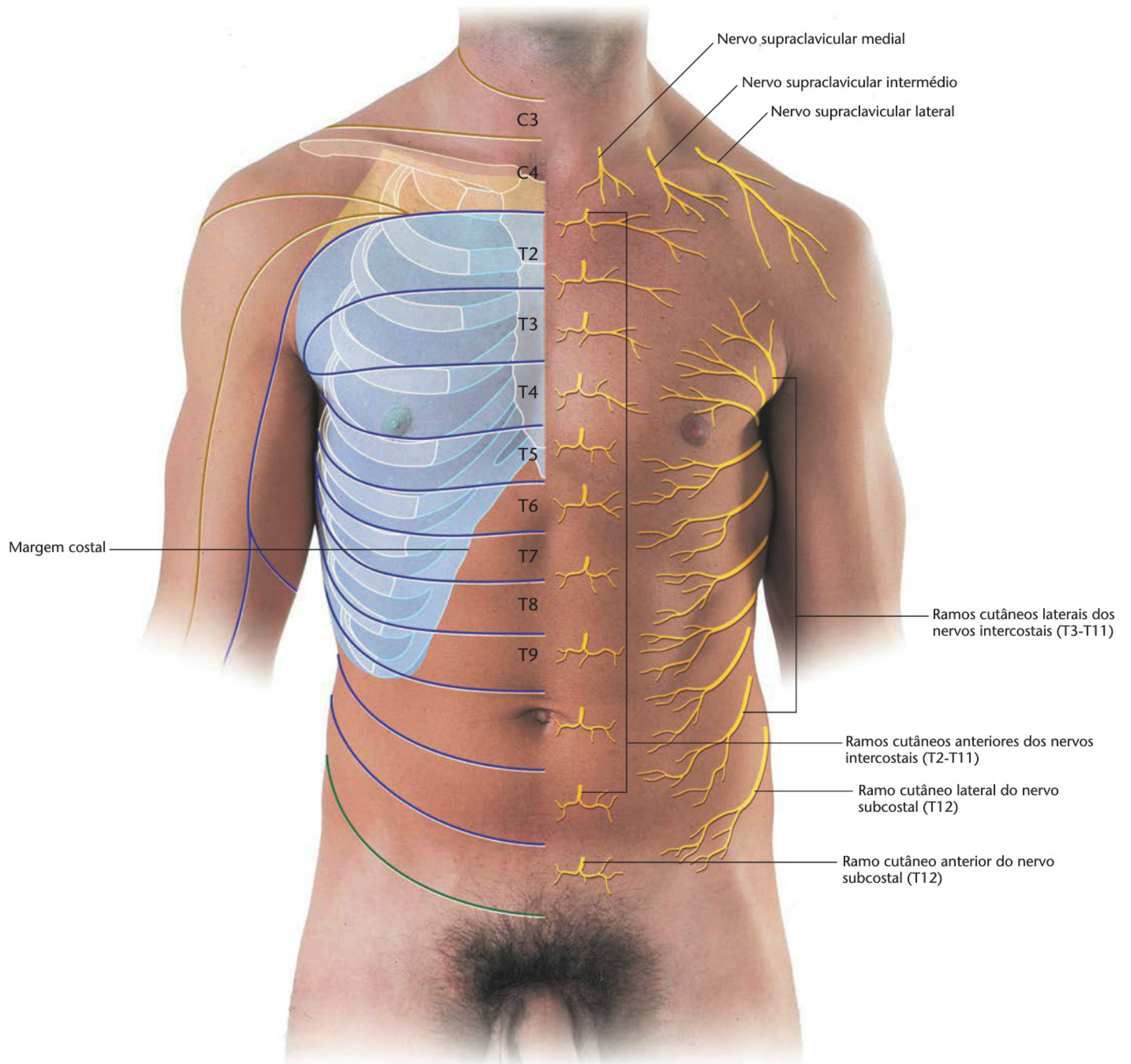
Dermátomos e nervos cutâneos da região torácica
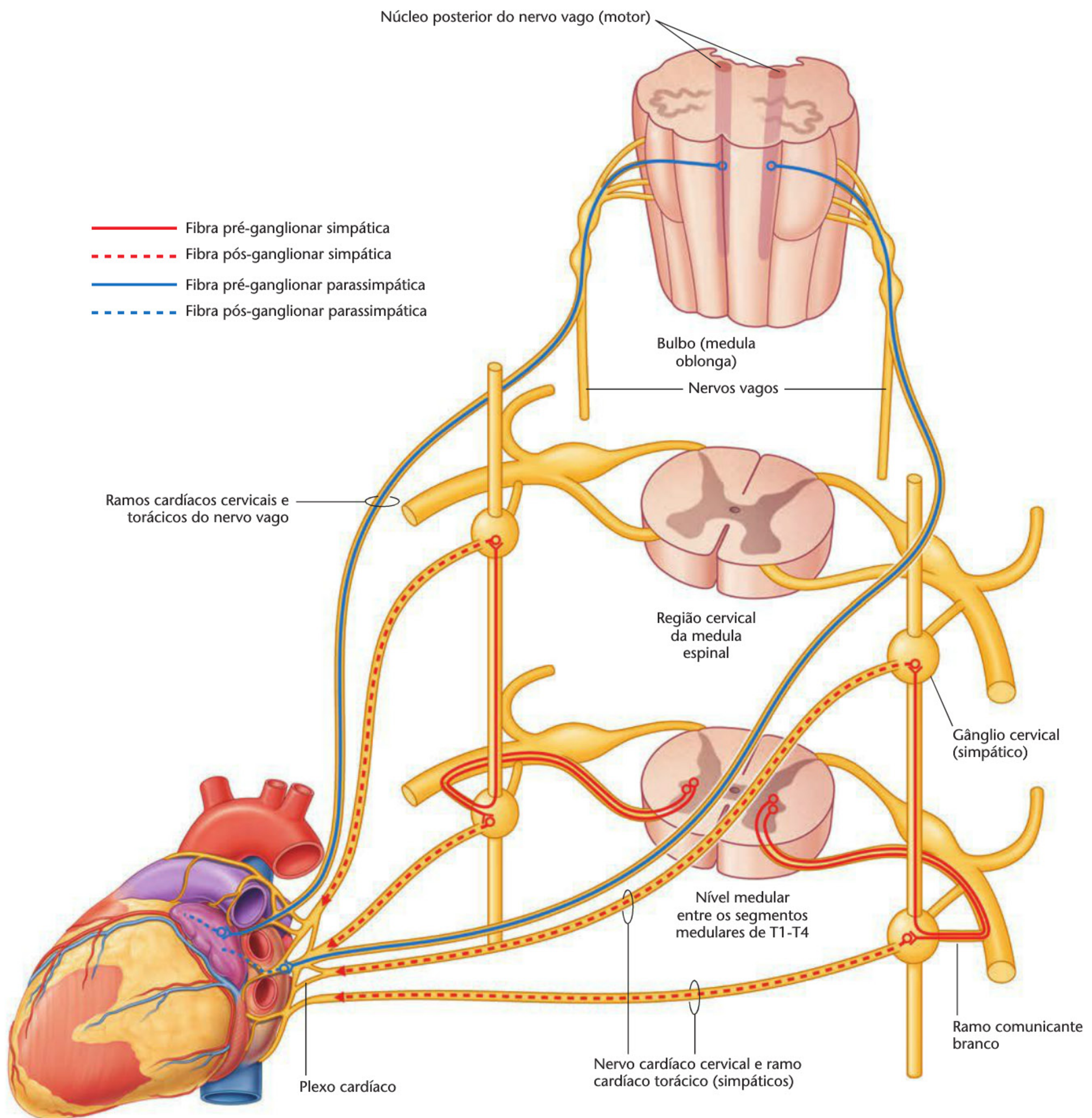
Inervação motora visceral do coração (simpática e parassimpática)

Núcleo do trato solitário

Fibras sensitivas (aferentes) viscerais (acompanhando as fibras simpáticas)
Fibras sensitivas (aferentes) viscerais (acompanhando as fibras parassimpáticas)
Fibras sensitivas (aferentes) somáticas

Gânglio inferior do nervo vago

Bulbo (medula oblonga)

Fibras sensitivas de quimioceptores e baroceptores no arco da aorta seguem as fibras parassimpáticas do NC X de volta ao encéfalo.

Região cervical da medula espinal

Gânglio sensitivo do nervo espinal

Nível medular entre os segmentos medulares de T1-T4

Fibra sensitiva visceral para dor

T2
T3
T4

Fibra sensitiva somática

A inervação sensitiva (dor) acompanha as fibras simpáticas de volta aos níveis dos segmentos medulares de T1-T4. A dor é referida pelo SNC para as regiões somáticas inervadas pelo mesmo nível do segmento medular.

T1
T1

Inervação sensitiva do coração

4
ABDOME

CONTEÚDO

Plano sagital mediano
Fígado
Diafragma
Baço
Estômago
Vesícula biliar
Quadrante superior direito
Quadrante superior esquerdo
Plano "transumbilical"
Quadrante inferior direito
Quadrante inferior esquerdo
Colo ascendente
Colo descendente
Espinha ilíaca ântero-superior
Colo sigmóide
Ligamento inguinal
Tubérculo púbico

Quadrantes do abdome e posição das principais vísceras

Linhas medioclaviculares
Epigástrio
–local de dor referida do intestino anterior
Hipocôndrio direito
Hipocôndrio esquerdo
Plano subcostal
Região lateral direita
Região lateral esquerda
Região umbilical
–local de dor referida do intestino médio
Plano intertubercular
Região inguinal direita
Região inguinal esquerda
Hipogástrio (região púbica)
–local de dor referida do intestino posterior

As nove regiões do abdome

Lâmina anterior da bainha do músculo reto do abdome
Linha alba
Músculo reto do abdome
Lâmina posterior da bainha do músculo reto do abdome
Músculo oblíquo externo do abdome
Músculo oblíquo interno do abdome
Músculo transverso do abdome
Tela subcutânea
Panículo adiposo (fáscia de Camper)
Estrato membranáceo (fáscia de Scarpa)
Fáscia transversal
Linha arqueada
Fáscia extraperitoneal
Peritônio parietal

Camadas da parede do abdome

Músculo reto do abdome
Linha alba
Lâmina posterior da bainha do músculo reto do abdome
Aponeurose do músculo transverso do abdome
Aponeurose do músculo oblíquo interno do abdome
Aponeurose do músculo oblíquo externo do abdome
Músculo oblíquo externo do abdome
Músculo oblíquo interno do abdome
Músculo transverso do abdome
Pele
Panículo adiposo (fáscia de Camper)
Estrato membranáceo (fáscia de Scarpa)
Tela subcutânea
Tubo intestinal
Mesentério
Cavidade peritoneal
Fáscia transversal
Fáscia extraperitoneal
Peritônio visceral
Peritônio parietal
Músculo latíssimo do dorso
Músculo psoas maior
Músculo quadrado do lombo
Músculo eretor da espinha
Veia cava inferior
Parte abdominal da aorta

Secção transversal mostrando as camadas da parede do abdome (acima do umbigo)

Linha alba
Músculo reto do abdome
Aponeurose do músculo oblíquo externo do abdome
Músculo oblíquo externo do abdome
Músculo oblíquo interno do abdome
Músculo transverso do abdome
Aponeurose do músculo oblíquo interno do abdome
Aponeurose do músculo transverso do abdome

Camadas da parede do abdome.
Imagem de TC com contraste, no planto transversal (axial)

Músculo latíssimo do dorso
Parte abdominal do músculo peitoral maior
Músculo oblíquo externo do abdome
Umbigo
Aponeurose do músculo oblíquo externo do abdome
Espinha ilíaca ântero-superior
Ligamento inguinal
Anel inguinal superficial
Pilar lateral
Funículo espermático
Músculo serrátil anterior
Linha alba
Músculo oblíquo externo do abdome (seccionado)
Músculo oblíquo interno do abdome
Aponeurose do músculo oblíquo interno do abdome
Foice inguinal (tendão conjuntivo)
Músculo cremaster

Músculos oblíquos externo e interno do abdome

Músculo latíssimo do dorso
Parte abdominal do músculo peitoral maior
Margem costal direita
Músculo oblíquo externo do abdome (seccionado)
Lâmina anterior da bainha do músculo reto do abdome
Umbigo
Músculo oblíquo interno do abdome
Aponeurose do músculo oblíquo interno do abdome
Espinha ilíaca ântero-superior
Ligamento inguinal
Músculo cremaster
Tubérculo púbico
Processo xifóide do esterno
Linha alba
Músculo oblíquo externo do abdome (seccionado)
Músculo oblíquo interno do abdome (seccionado)
Músculo transverso do abdome
Aponeurose do músculo transverso do abdome
Funículo espermático
Sínfise púbica

Músculos oblíquo interno e transverso do abdome

Músculo oblíquo externo do abdome
Músculo reto do abdome
Intersecção tendínea
Músculo oblíquo interno do abdome
Aponeurose do músculo oblíquo interno do abdome
Espinha ilíaca ântero-superior
Ligamento inguinal
Músculo piramidal
Músculo cremaster
Margem costal
Costela X
Músculo oblíquo externo do abdome (seccionado)
Músculo oblíquo interno do abdome
Lâmina posterior da bainha do músculo reto do abdome
Aponeurose do músculo oblíquo interno do abdome
Linha arqueada
Fáscia transversal
Linha alba
Foice inguinal (tendão conjuntivo)
Tubérculo púbico

Músculos reto do abdome e piramidal

A
B

Organização da bainha do músculo reto do abdome.
A. Secção transversal através dos três quartos superiores da bainha do músculo reto do abdome
B. Secção transversal através do quarto inferior da bainha do músculo reto do abdome

A
Pele
Tela subcutânea (panículo adiposo)
Tela subcutânea (estrato membranáceo)
Lâmina anterior da bainha do músculo reto do abdome
Linha alba
Músculo reto do abdome
Músculo oblíquo externo do abdome
Músculo oblíquo interno do abdome
Músculo transverso do abdome
Aponeurose do músculo oblíquo externo do abdome
Lâmina posterior da bainha do músculo reto do abdome
Aponeurose do músculo oblíquo interno do abdome
Aponeurose do músculo transverso do abdome
Ligamento falciforme do fígado
Fáscia transversal
Fáscia extraperitoneal
Peritônio parietal

B
Pele
Tela subcutânea (panículo adiposo)
Tela subcutânea (estrato membranáceo)
Lâmina anterior da bainha do músculo reto do abdome
Linha alba
Músculo reto do abdome
Músculo oblíquo externo do abdome
Músculo oblíquo interno do abdome
Músculo transverso do abdome
Aponeurose do músculo oblíquo externo do abdome
Ligamento umbilical medial direito
Aponeurose do músculo oblíquo interno do abdome
Aponeurose do músculo transverso do abdome
Ligamento umbilical mediano
Vasos epigástricos inferiores
Prega umbilical lateral esquerda
Fáscia transversal
Fáscia extraperitoneal
Peritônio parietal

Artéria e veia torácicas internas

Vasos intercostais anteriores

Veia torácica lateral

Artéria musculofrênica

Artéria epigástrica superior

Veias epigástricas superiores

Veia toracoepigástrica

Músculo reto do abdome

Músculo oblíquo externo do abdome (seccionado)

Músculo oblíquo interno do abdome (seccionado)

Músculo transverso do abdome

Músculo oblíquo externo do abdome

Artéria e veia circunflexas ilíacas profundas

Artéria e veia circunflexas ilíacas superficiais

Artéria e veia epigástricas inferiores

Artéria e veia epigástricas superficiais

Fáscia transversal

Artéria e veia pudendas externas superficiais

Artéria e veia femorais

Vascularização da parede anterior do abdome

Artérias da parede anterior do abdome

Drenagem linfática superficial da parede ântero-lateral do abdome

Ramos cutâneos laterais dos nervos intercostais (T5-T11)

Ramo cutâneo anterior do nervo intercostal T10

Ramo cutâneo lateral do nervo subcostal (T12)

Ramo cutâneo lateral do nervo ilio-hipogástrico (L1)

Ligamento inguinal

Funículo espermático

Músculo serrátil anterior

Músculo oblíquo externo do abdome (seccionado)

Lâmina posterior da bainha do músculo reto do abdome

Nervo T10

Músculo reto do abdome (seccionado)

Músculo transverso do abdome

Nervo subcostal (T12)

Nervo ilio-hipogástrico (L1)

Nervo ilioinguinal (L1)

Músculo oblíquo interno do abdome (seccionado)

Nervos da parede ântero-lateral do abdome

T2
T3
T4
T5
T6
T7
T8
T9
T10
T11
T12
L1
Margem costal
Ligamento inguinal
Ramos cutâneos laterais dos nervos intercostais (T7-T11)
Ramos cutâneos anteriores dos nervos intercostais (T7-T11)
Ramo cutâneo lateral do nervo subcostal (T12)
Ramo cutâneo anterior do nervo subcostal (T12)
Ramo cutâneo anterior do nervo ilio-hipogástrico (L1)

Dermátomos e nervos cutâneos da parede ântero-lateral do abdome

Espinha ilíaca ântero-superior
Ligamento inguinal
Canal inguinal
Artéria femoral
Funículo espermático
Aponeurose do músculo oblíquo externo do abdome
Anel inguinal profundo (na fáscia transversal)
Anel inguinal superficial (na aponeurose do músculo oblíquo externo do abdome)
Posição da sínfise púbica

Região inguinal no homem

Aponeurose do músculo oblíquo externo do abdome
Anel inguinal profundo (na fáscia transversal)
Anel inguinal superficial (na aponeurose do músculo oblíquo externo do abdome)
Posição da sínfise púbica
Espinha ilíaca ântero-superior
Ligamento inguinal
Canal inguinal
Artéria femoral
Ligamento redondo do útero

Região inguinal na mulher

Veia cava inferior
Veia testicular direita
Músculo oblíquo externo do abdome
Artéria testicular direita
Músculo oblíquo interno do abdome
Músculo transverso do abdome
Ramo genital do nervo genitofemoral
Reto
Artéria e veia epigástricas inferiores direitas
Localização do anel inguinal profundo
Ducto deferente
Músculo cremaster
Artéria e veia femorais
Músculo iliopsoas { Músculo ilíaco* / Músculo psoas maior*
Localização do anel inguinal superficial
Funículo espermático
Epidídimo
Testículo
Pênis (seccionado)

Veia renal esquerda
Veia ovárica esquerda
Ureter esquerdo
Artéria ovárica esquerda
Parte abdominal da aorta
Músculo transverso do abdome (seccionado)
Músculo oblíquo externo do abdome (seccionado)
Músculo oblíquo interno do abdome (seccionado)
Ramo genital do nervo genitofemoral
Colo sigmóide
Útero
Tuba uterina
Ovário
Fáscia transversal
Peritônio (seccionado)
Localização do anel inguinal superficial
Ligamento redondo do útero
Ramo genital do nervo genitofemoral
Músculo reto do abdome
Bexiga urinária

Região inguinal no homem

Região inguinal na mulher

* Nota da Revisão Científica: Os músculos ilíaco e psoas maior formam o músculo iliopsoas.

Peritônio parietal
Ramo femoral do nervo genitofemoral
Artéria e veias testiculares
Ramo genital do nervo genitofemoral
Artéria e veia ilíacas externas
Artéria e veia epigástricas inferiores direitas
Ducto deferente
Vasos púbicos
Foice inguinal (tendão conjuntivo)
Bexiga urinária
Músculo oblíquo externo do abdome (seccionado)
Músculo oblíquo interno do abdome (seccionado)
Músculo transverso do abdome (seccionado)
Fáscia transversal
Fáscia extraperitoneal
Vasos cremastéricos
Localização do anel inguinal profundo
Ligamento inguinal
Nervo ilioinguinal (L1)
Artéria e veia femorais
Músculo cremaster
Ligamento lacunar
Anel inguinal superficial
Funículo espermático
Ramo genital do nervo genitofemoral
Aponeurose do músculo oblíquo externo do abdome
Músculo cremaster

Canal inguinal e funículo espermático

Peritônio parietal
Fáscia extraperitoneal
Fáscia transversal
Prega umbilical lateral
Artéria e veia epigástricas inferiores
Ducto deferente
Ligamento umbilical medial (artéria umbilical obliterada)
Ligamento umbilical mediano (úraco ocluso)
Músculo oblíquo externo do abdome (seccionado)
Músculo oblíquo interno do abdome (seccionado)
Músculo transverso do abdome (seccionado)
Aponeurose do músculo oblíquo externo do abdome (seccionada)
Vasos circunflexos ilíacos profundos
Anel inguinal profundo
Ramo genital do nervo genitofemoral
Artéria testicular e plexo pampiniforme (de veias)
Fáscia espermática externa (da aponeurose do músculo oblíquo externo do abdome)
Músculo cremaster (do músculo oblíquo interno do abdome)
Fáscia espermática interna (da fáscia transversal)
Músculo piramidal (seccionado)
Músculo reto do abdome (seccionado)
Ducto deferente
Lâmina parietal da túnica vaginal do testículo
Cabeça do epidídimo
Lâmina visceral da túnica vaginal do testículo

Canal inguinal e estruturas do funículo espermático

Vasos epigástricos inferiores
Fáscia extraperitoneal
Anel inguinal profundo
Peritônio parietal
Foice inguinal (tendão conjuntivo)
Medial
Lateral
Anel inguinal superficial
Saco peritoneal (herniário)
Testículo

Hérnia inguinal indireta

Vasos epigástricos inferiores
Anel inguinal profundo
Peritônio parietal
Fáscia extraperitoneal
Foice inguinal (tendão conjuntivo)
Saliência peritoneal
Medial
Lateral
Anel inguinal superficial

Hérnia inguinal direta

Prega umbilical lateral
Vasos epigástricos inferiores
Hérnia direta
Ducto deferente
Vasos testiculares
Vasos ilíacos externos

Trígono inguinal direito.
Imagem de laparoscopia mostrando o peritônio parietal ainda revestindo a área (dentro da cavidade peritoneal com visão ântero-inferior)

Margem seccionada do diafragma

Ligamento falciforme do fígado

Margem seccionada do diafragma

Ligamento redondo do fígado

Margem seccionada do músculo oblíquo externo do abdome

Margem seccionada do músculo oblíquo interno do abdome

Lâmina posterior da bainha do músculo reto do abdome

Margem seccionada do músculo transverso do abdome

Margem seccionada da fáscia transversal

Margem seccionada da fáscia transversal

Umbigo

Músculo transverso do abdome

Margem seccionada do peritônio parietal

Ligamento umbilical medial direito

Prega umbilical mediana

Linha arqueada

Artéria e veia epigástricas inferiores direitas

Prega umbilical lateral esquerda

Ligamento inguinal

Anel inguinal profundo

Músculo ilíaco

Vasos testiculares direitos

Ramo genital do nervo genitofemoral

Músculo psoas maior

Artéria femoral

Margem seccionada do peritônio parietal

Veia femoral

Bexiga urinária

Trígono inguinal (de Hesselbach)

Músculo obturador interno

Ligamento lacunar

Músculo levantador do ânus

Ducto deferente

Membrana obturadora

Fossa isquioanal

Próstata

Espaço profundo do períneo

Membrana do períneo

Vista interna da parede anterior do abdome no homem

Processo xifóide do esterno

Diafragma

Ligamento falciforme do fígado

Lobo hepático direito

Vesícula biliar

Margem seccionada do peritônio parietal

Colo ascendente

Intestino delgado

Músculo iliopsoas: Músculo ilíaco*; Músculo psoas maior*

Lobo hepático esquerdo

Estômago

Músculo oblíquo interno do abdome (seccionado)

Músculo transverso do abdome (seccionado)

Omento maior

Colo descendente

Ligamento inguinal

Bexiga urinária

Veia e artéria femorais

Omento maior

* Nota da Revisão Científica: Os músculos ilíaco e psoas maior formam o músculo iliopsoas.

Margem seccionada do diafragma
Ligamento falciforme do fígado
Lobo hepático direito
Vesícula biliar
Margem seccionada do peritônio parietal
Colo ascendente
Sulco paracólico direito
Ceco
Músculo ilíaco*
Músculo iliopsoas
Músculo psoas maior*
Lobo hepático esquerdo
Baço
Estômago
Ligamento redondo do fígado
Colo descendente
Colo transverso
Músculo oblíquo interno do abdome (seccionado)
Músculo transverso do abdome (seccionado)
Sulco paracólico esquerdo
Intestino delgado
Ligamento inguinal
Bexiga urinária
Canal obturatório
Membrana obturadora

Vísceras abdominais (o omento maior foi removido)

* Nota da Revisão Científica: Os músculos ilíaco e psoas maior formam o músculo iliopsoas.

Bolsa omental e cavidade peritoneal

Coração
Fígado
Pâncreas
Estômago
Colo transverso
Intestino delgado
Bexiga urinária
Tronco celíaco
Parte abdominal da aorta
Artéria mesentérica superior
Veia renal esquerda
Reto

Fígado
Pâncreas
Estômago
Bolsa omental
Mesentério
Intestino delgado
Bexiga urinária
Veia porta do fígado
Veia cava inferior
Veia mesentérica superior
Artéria mesentérica superior
Reto

Organização das vísceras abdominais em relação à cavidade peritoneal.
Imagem de TC com contraste, no planto sagital

Diafragma
Veia hepática
Fígado
Estômago
Ducto hepático comum
Baço
Artéria hepática própria
Veia porta do fígado
Antro pilórico
Colo transverso
Vesícula biliar
Colo transverso
Cabeça do pâncreas
Duodeno
Colo ascendente
Artéria e veia mesentéricas superiores
Jejuno
Artéria ileocólica
Veia ileocólica
Mesentério
Papila ileal
Ceco
Crista ilíaca
Colo sigmóide
Apêndice vermiforme
Parte terminal do íleo
Bexiga urinária

Secção frontal (coronal)

Fígado
Estômago
Vesícula biliar
Pâncreas
Pâncreas
Baço
Artéria mesentérica superior
Veia mesentérica superior
Duodeno
Artéria ileocólica
Veia ileocólica
Colo ascendente
Crista ilíaca
Bexiga urinária

Secção frontal (coronal).
Imagem de TC com contraste, no planto frontal (coronal)

Parte abdominal do esôfago
Junção das túnicas mucosas do estômago e do esôfago (linha em "zigue-zague"/z)
Óstio cárdico
Pregas gástricas
Canal gástrico
Piloro
Óstio pilórico
Duodeno

Aspectos interno e externo do estômago

Fundo gástrico
Incisura cárdica
Cárdia
Corpo gástrico
Curvatura menor
Incisura angular
Curvatura maior
Canal pilórico
Antro pilórico

Fígado
Estômago
Baço
Veia cava inferior
Parte torácica da aorta
Diafragma

Posicionamento do estômago.
Imagem de TC com contraste, no plano transversal (axial)
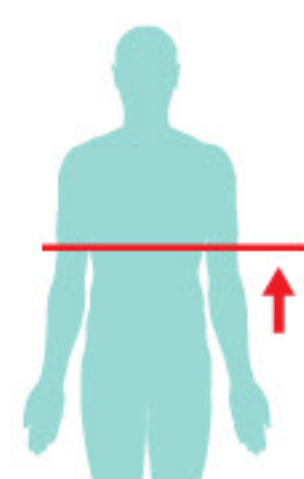
Parte superior do duodeno
Antro pilórico
Esôfago
Fundo gástrico
Corpo gástrico
Parte descendente do duodeno
Flexura duodenojejunal

Projeção do estômago na superfície do corpo
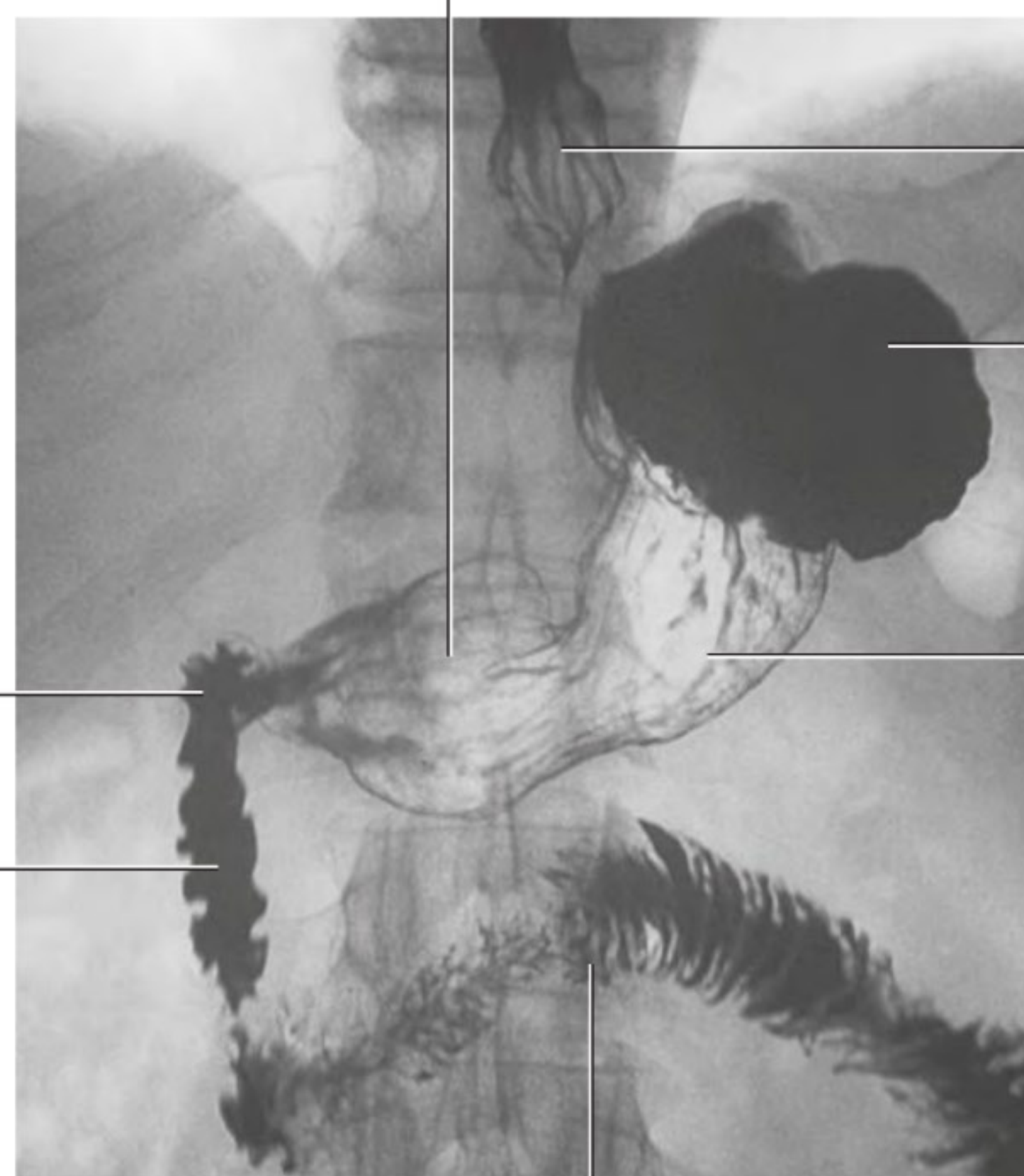
Estômago. Radiografia de contraste duplo com utilização de bário
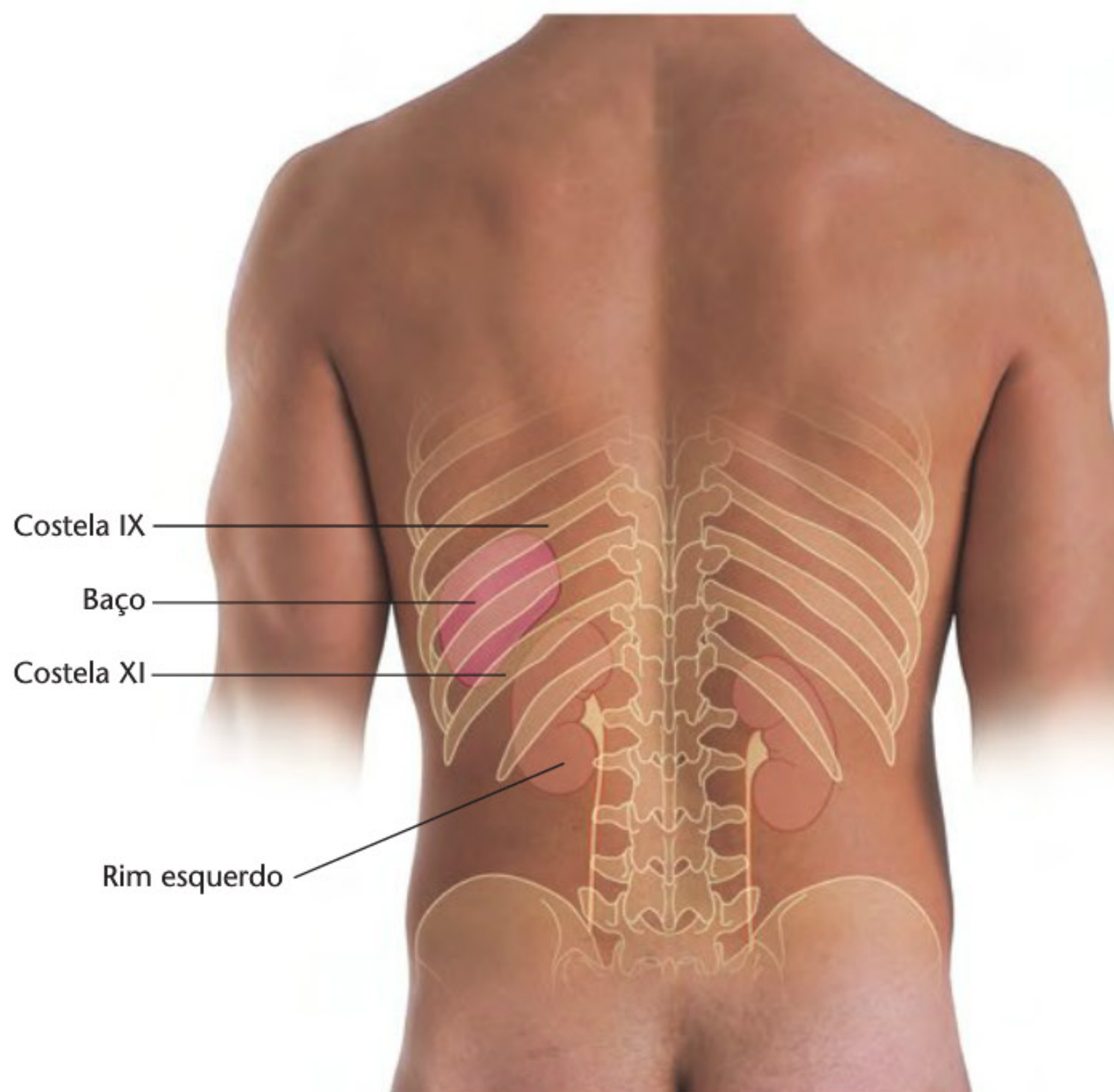
Projeção do baço na superfície do corpo (vista posterior)
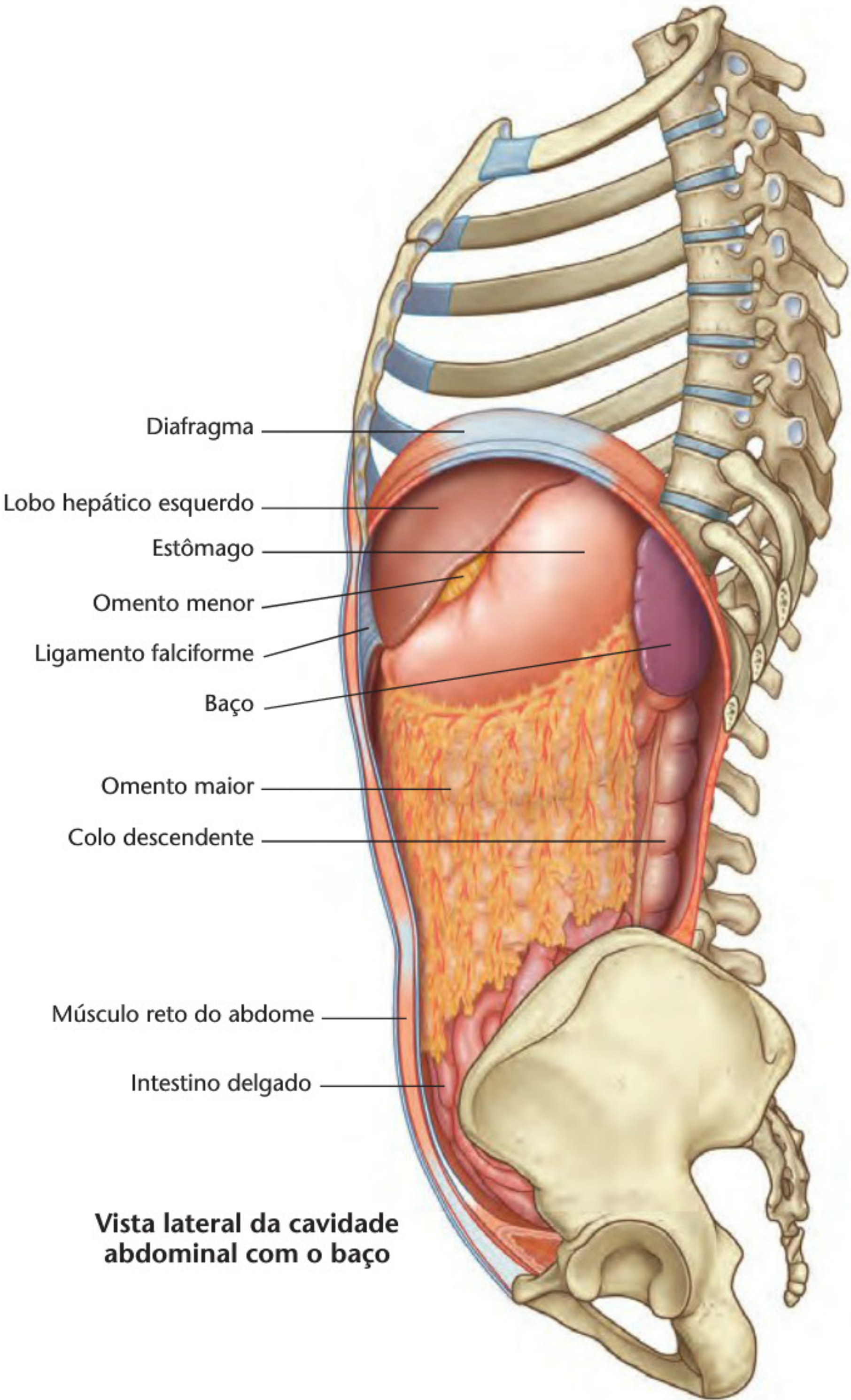
Vista lateral da cavidade abdominal com o baço
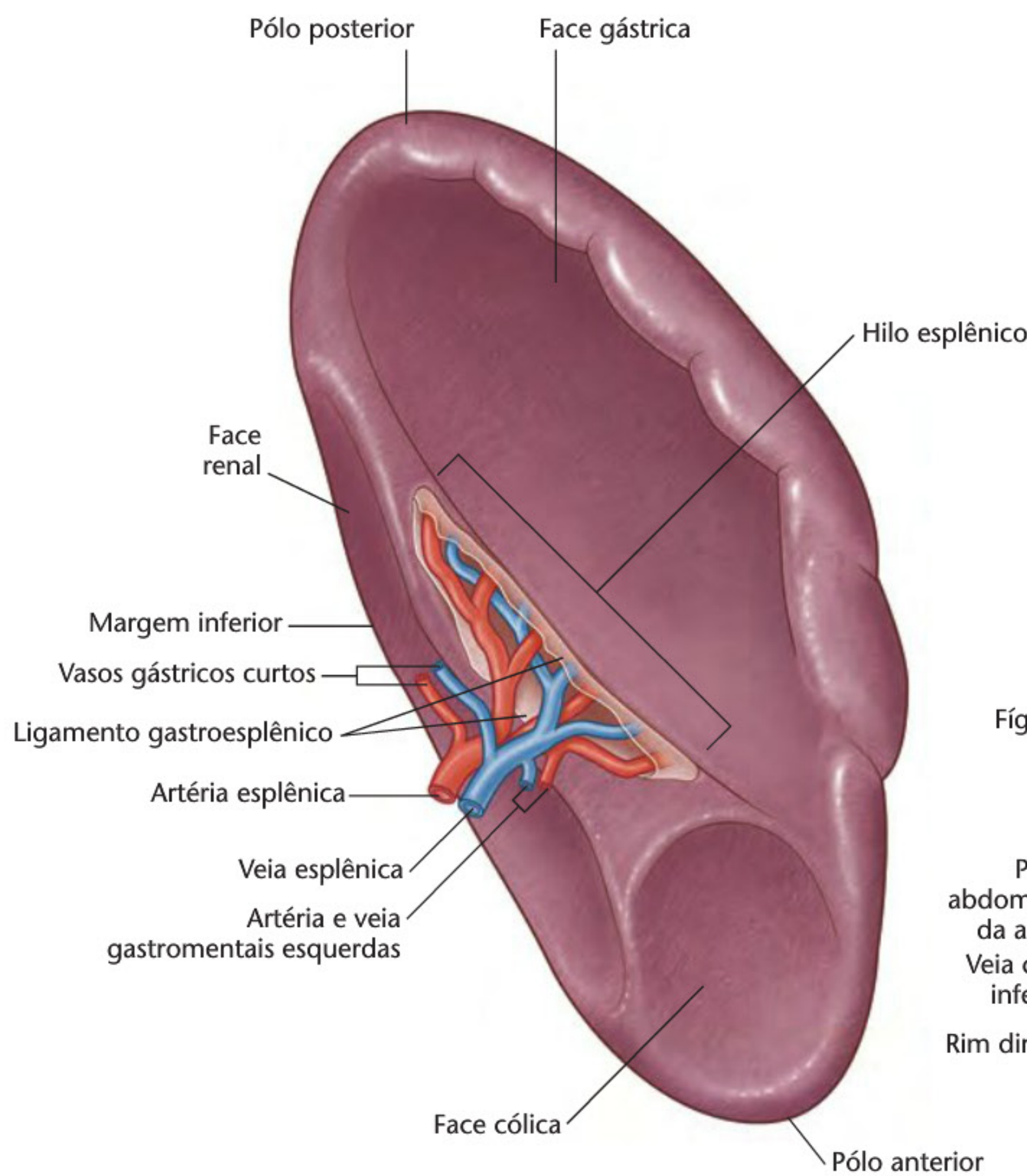
Faces do baço e hilo esplênico
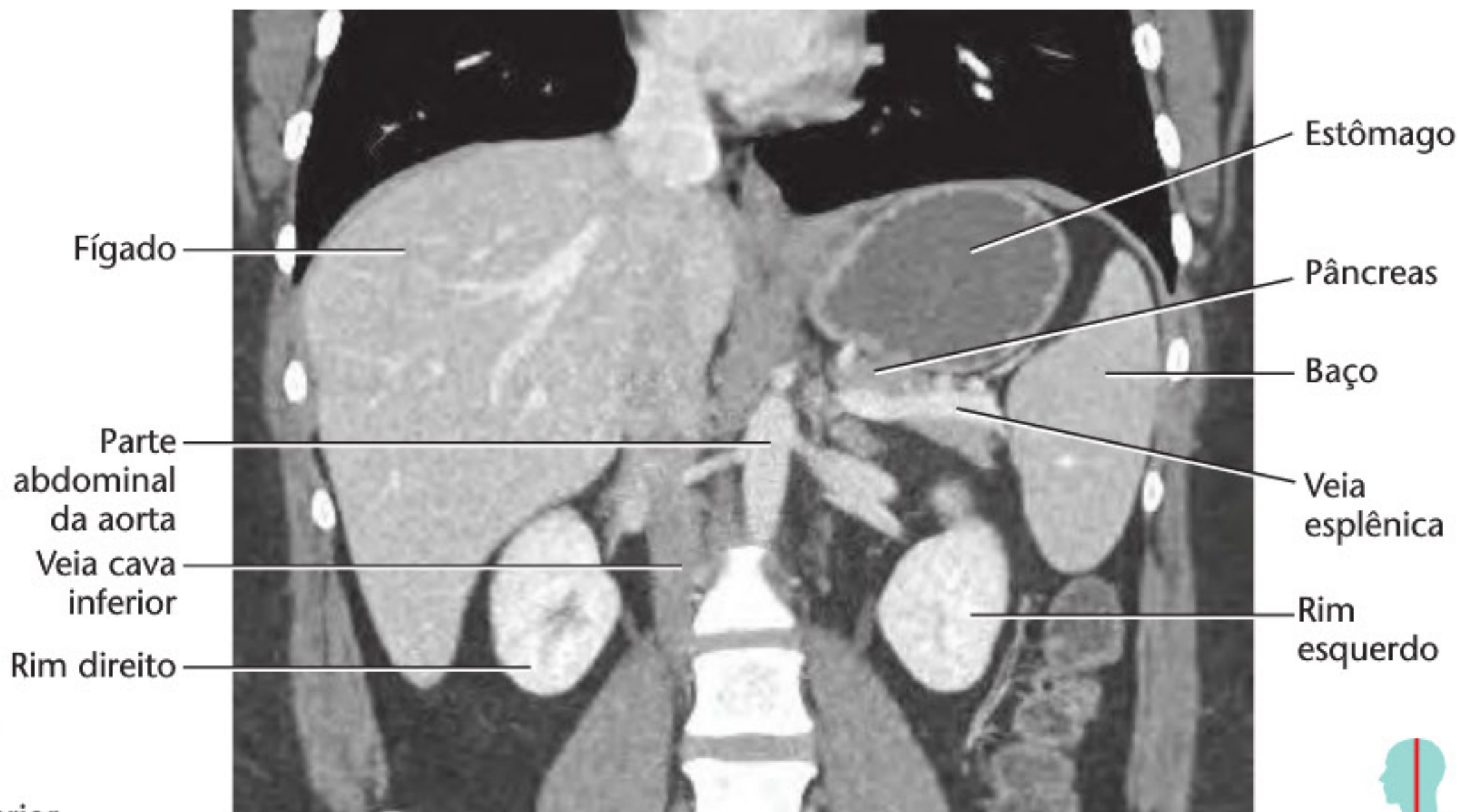
Localização do baço.
Imagem de TC com contraste, no plano frontal (coronal)
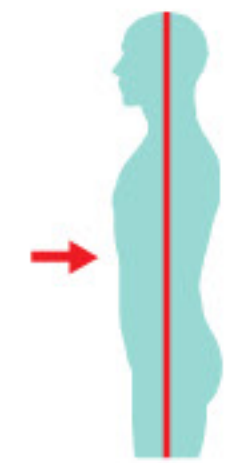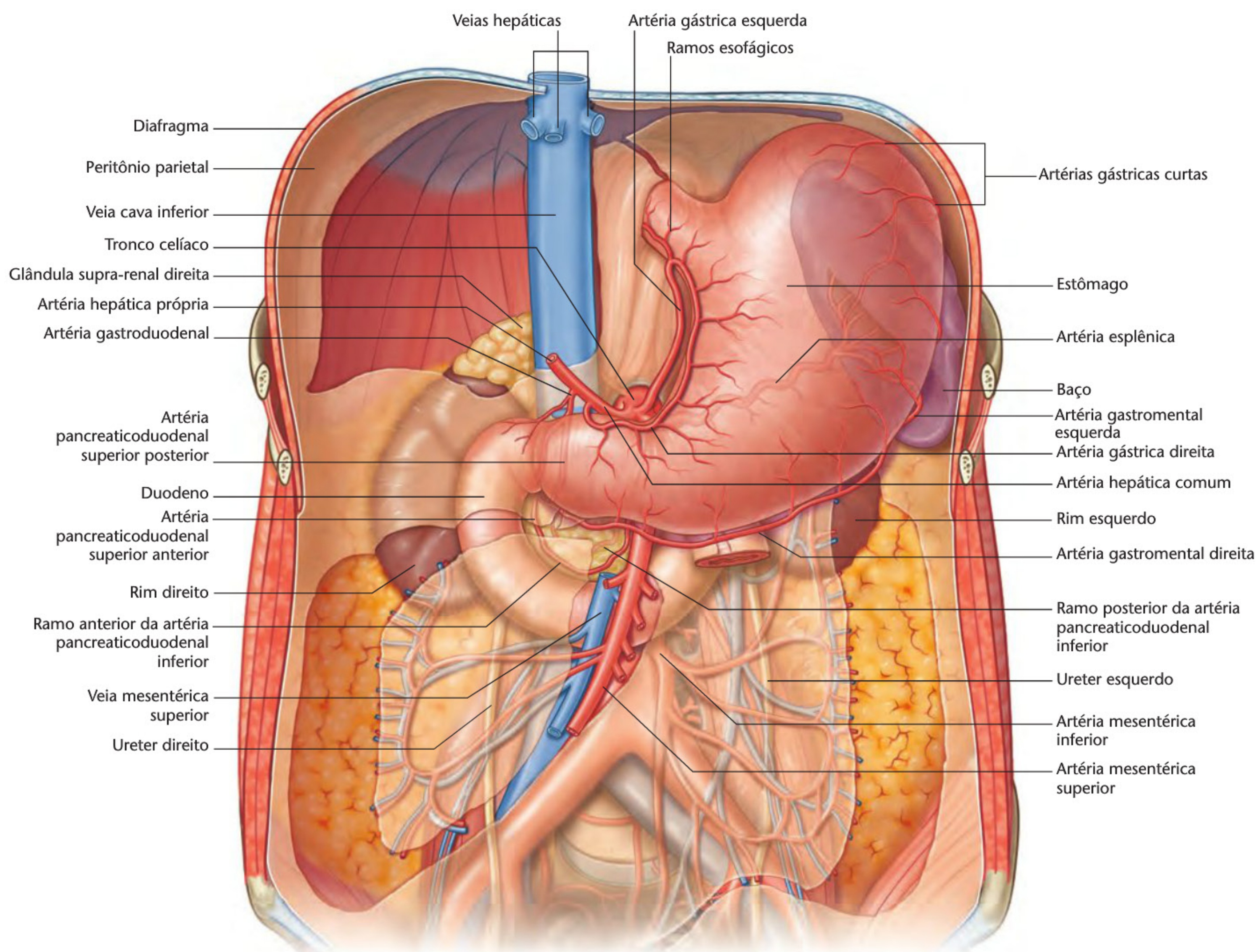
Divisão do tronco celíaco

Ramos da artéria gastroduodenal

Ramo esquerdo da artéria hepática própria
Artéria gástrica esquerda
Ramo direito da artéria hepática própria
Artéria hepática própria
Artéria esplênica (lienal)
Artéria cística
Artéria gastromental direita
Artéria gastroduodenal
Artéria hepática comum

Angiografia de subtração digital do tronco celíaco e seus ramos

Fígado
Tronco celíaco
Pâncreas
Estômago
Baço
Artéria mesentérica superior
Rim direito
Veia cava inferior
Parte abdominal da aorta
Rim esquerdo

Posicionamento do tronco celíaco em relação a outras estruturas.
Imagem de TC com contraste, no plano frontal (coronal)

Veia porta do fígado
Veia esplênica (lienal)
Pâncreas
Fígado
Tronco celíaco
Parte abdominal da aorta
Baço

Ramificação do tronco celíaco com origem na parte abdominal da aorta.
Imagem de TC com contraste, no plano transversal (axial)

Veia cava inferior
Esôfago
Tronco celíaco
Glândula supra-renal esquerda
Colo do pâncreas
Veia porta
Glândula supra-renal direita
Duodeno –parte superior
Rim direito
Colo transverso (seccionado)
Veia mesentérica superior
Duodeno –parte descendente
Cabeça do pâncreas
Duodeno –parte horizontal
Parte abdominal da aorta
Colo ascendente
Colo transverso (seccionado)
Corpo do pâncreas
Rim esquerdo
Artéria mesentérica superior
Duodeno –parte ascendente
Artéria mesentérica inferior
Artéria e veia testiculares/ ováricas
Colo descendente
Ureter esquerdo

Duodeno *in situ*

Ampola do duodeno
Piloro (m. esfincter do piloro)
Duodeno –parte superior
Duodeno –parte descendente
Antro pilórico (do estômago)
Duodeno –parte horizontal

Radiografia de contraste duplo mostrando a ampola do duodeno

Artéria hepática própria
Artéria gastroduodenal
Ducto hepático comum
Veia porta do fígado
Artéria supraduodenal
Artéria hepática comum
Ducto colédoco
Ducto cístico
Parte superior (primeira parte)
Vesícula biliar
Artéria e veia esplênicas
Colo transverso
Músculo suspensor do duodeno (ligamento de Treitz)
Flexura duodenojejunal
Rim direito
Veia e artéria mesentéricas superiores
Parte descendente (segunda parte)
Papila menor do duodeno
Parte ascendente (quarta parte)
Papila maior do duodeno
Veia cava inferior
Parte horizontal (inferior) (terceira parte)
Parte abdominal da aorta

Partes do duodeno e estruturas relacionadas

Fígado
Estômago
Pâncreas
Duodeno – partes superior e descendente
Veia esplênica
Baço
Pâncreas
Artéria mesentérica superior
Veia mesentérica superior
Duodeno – parte horizontal (inferior)

Relação do duodeno com estruturas adjacentes.
Imagem de TC com contraste, no plano frontal (coronal)

Margem inferior do fígado
Ligamento falciforme
Ligamento redondo do fígado
Vesícula biliar
Lobo hepático direito
Margem seccionada do diafragma
Omento menor (ligamento hepatoduodenal)
Forame omental
Duodeno
Veia mesentérica superior
Artéria cólica média (seccionada)
Artéria cólica direita
Colo ascendente
Artéria ileocólica
Margem seccionada do peritônio parietal
Tênia do colo
Apêndice vermiforme
Músculo ilíaco*
Músculo iliopsoas
Músculo psoas maior*
Lobo hepático esquerdo
Incisura cárdica
Omento menor (ligamento hepatogástrico)
Baço
Estômago
Jejuno
Artéria mesentérica superior
Mesentério
Artérias e veias jejunais e ileais
Íleo

Intestino delgado rebatido para mostrar os vasos mesentéricos superiores

* Nota da Revisão Científica: Os músculos ilíaco e psoas maior formam o músculo iliopsoas.
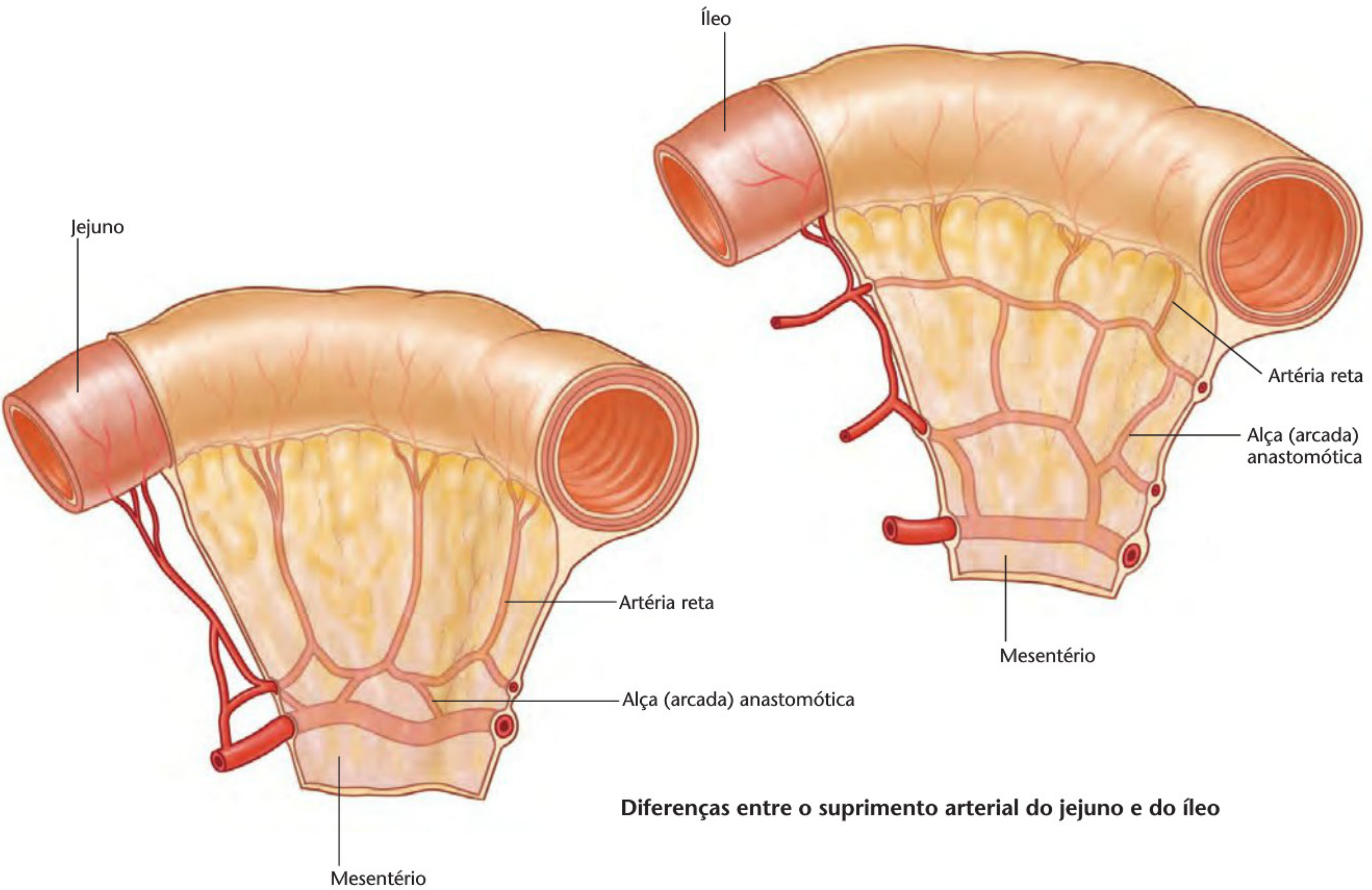
Diferenças entre o suprimento arterial do jejuno e do íleo
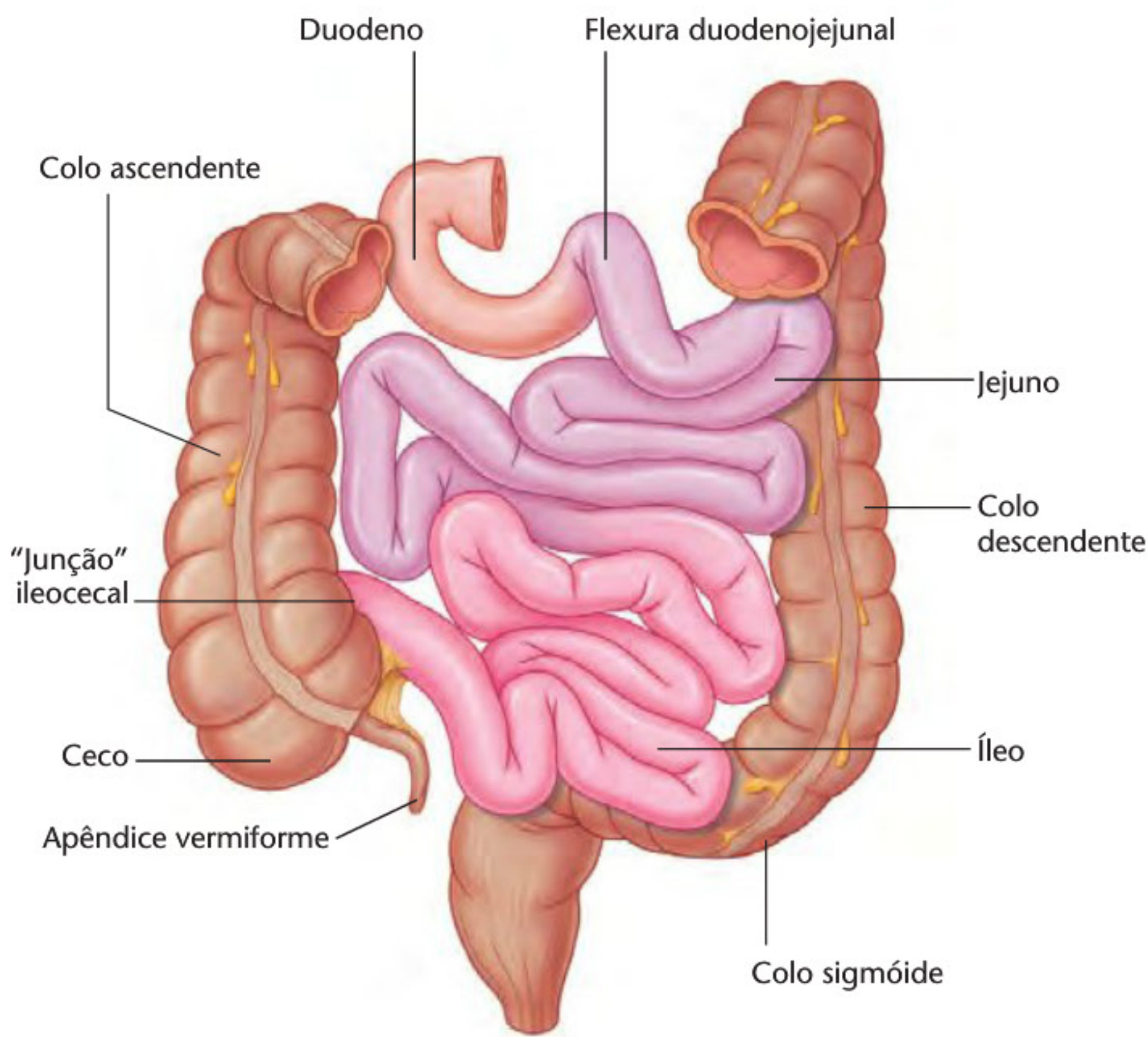
Jejuno e íleo
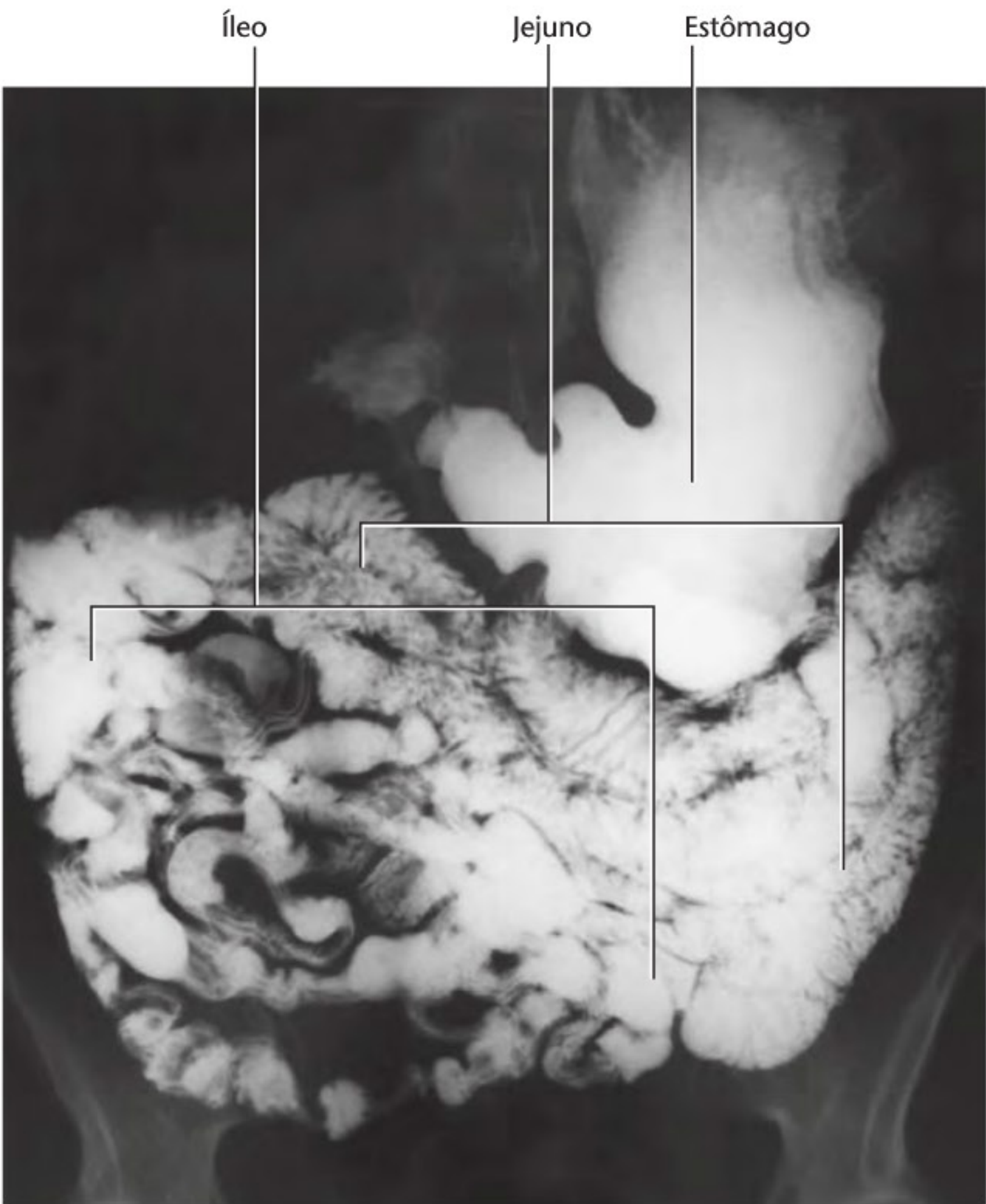
Radiografia com contraste de bário mostrando o jejuno e o íleo

Flexura esquerda do colo
Flexura direita do colo
Colo transverso
Colo ascendente
Colo descendente
Prega semilunar do colo
Apêndices omentais do colo
Saculação do colo
Tênia do colo
Íleo (parte terminal)
Ceco
Mesoapêndice
Colo sigmóide
Apêndice vermiforme
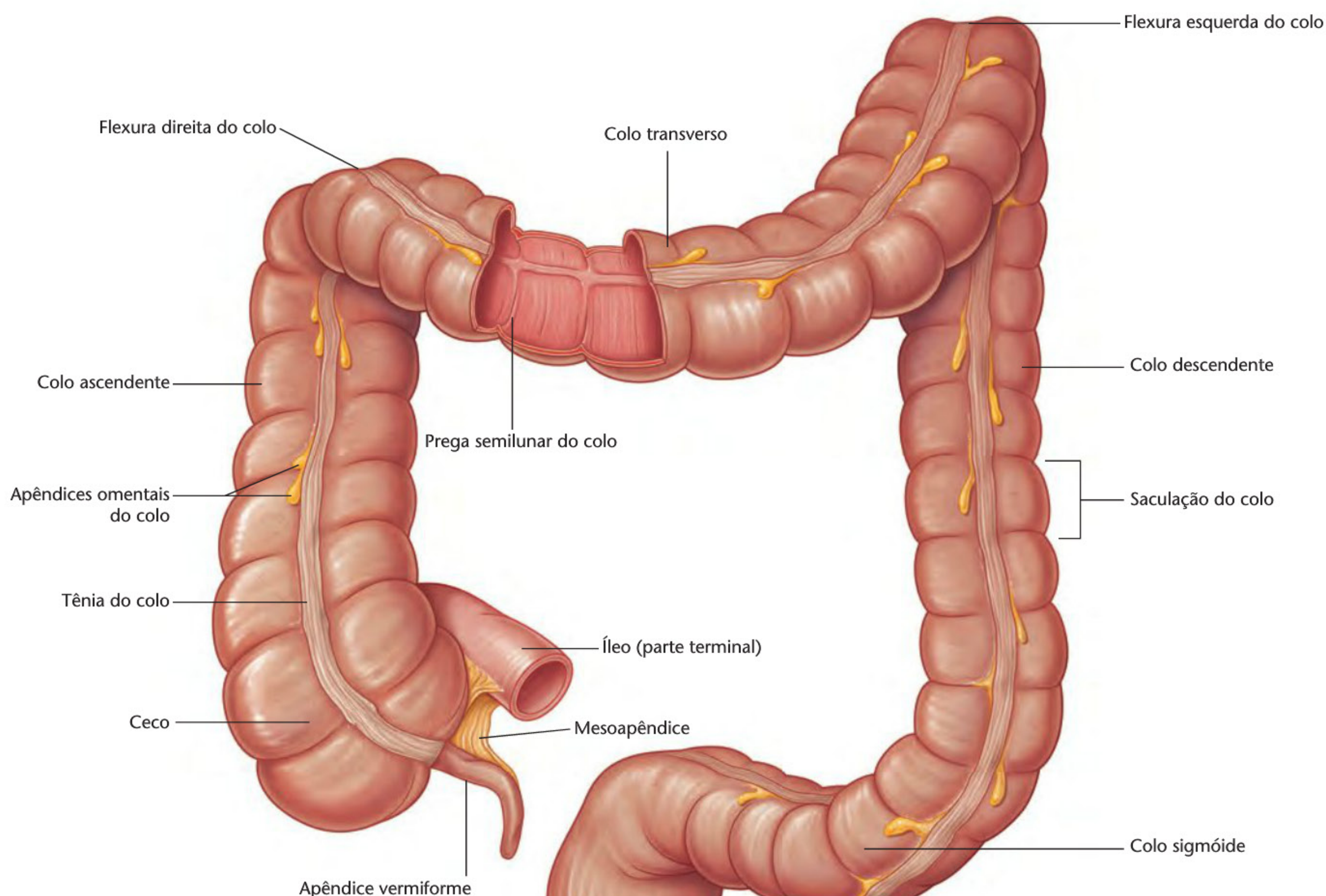
Vista anterior do intestino grosso

Reto
Canal anal

Colo transverso
Flexura esquerda do colo
Colo ascendente
Colo descendente
Ceco
Colo sigmóide
Reto
Canal anal
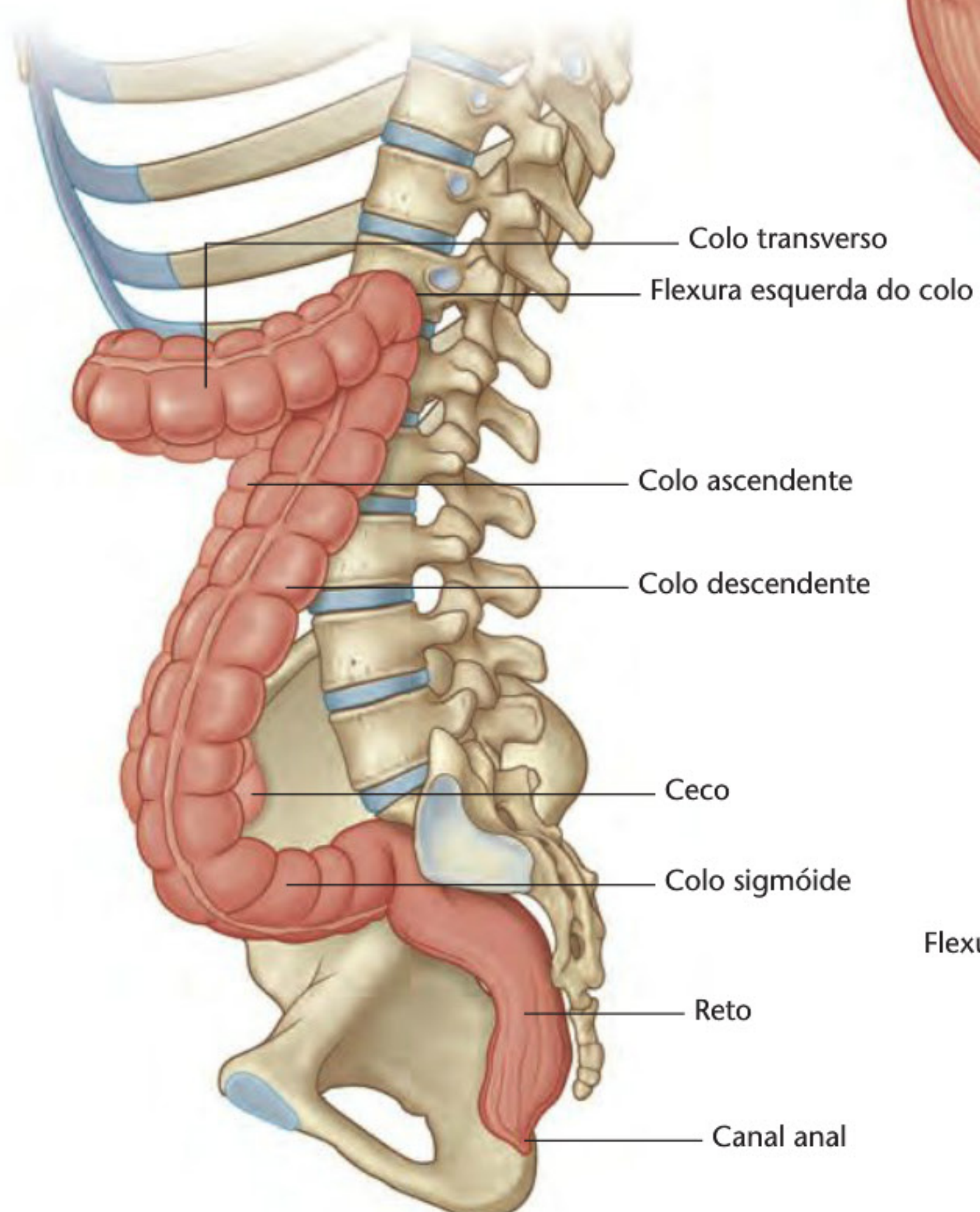
Vista lateral esquerda do intestino grosso

Baço
Fígado
Flexura esquerda do colo
Flexura direita do colo
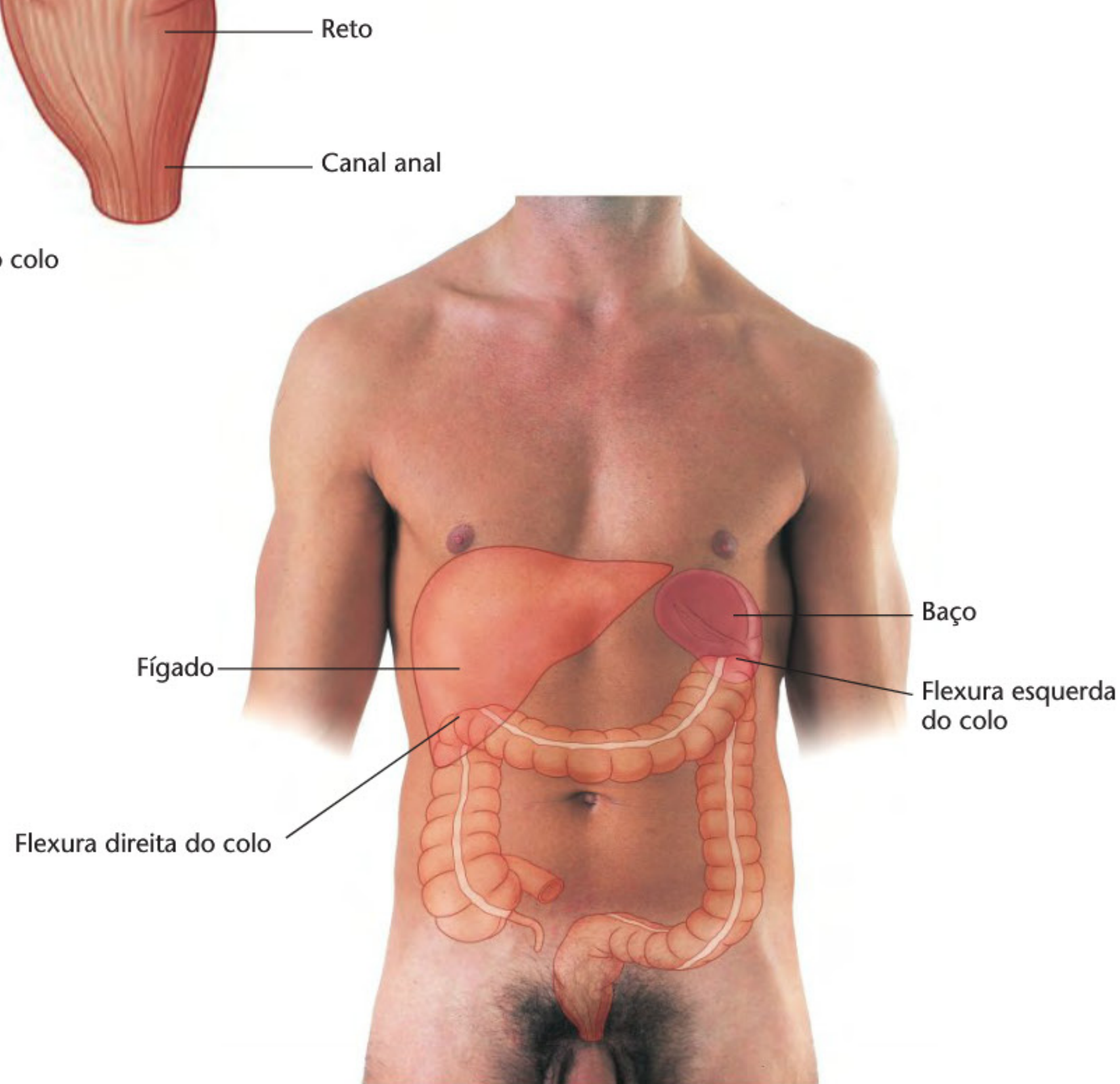
Projeção do intestino grosso na superfície do corpo

Colo transverso
Flexura direita do colo
Flexura esquerda do colo
Colo ascendente
Colo descendente
Colo sigmóide
Reto
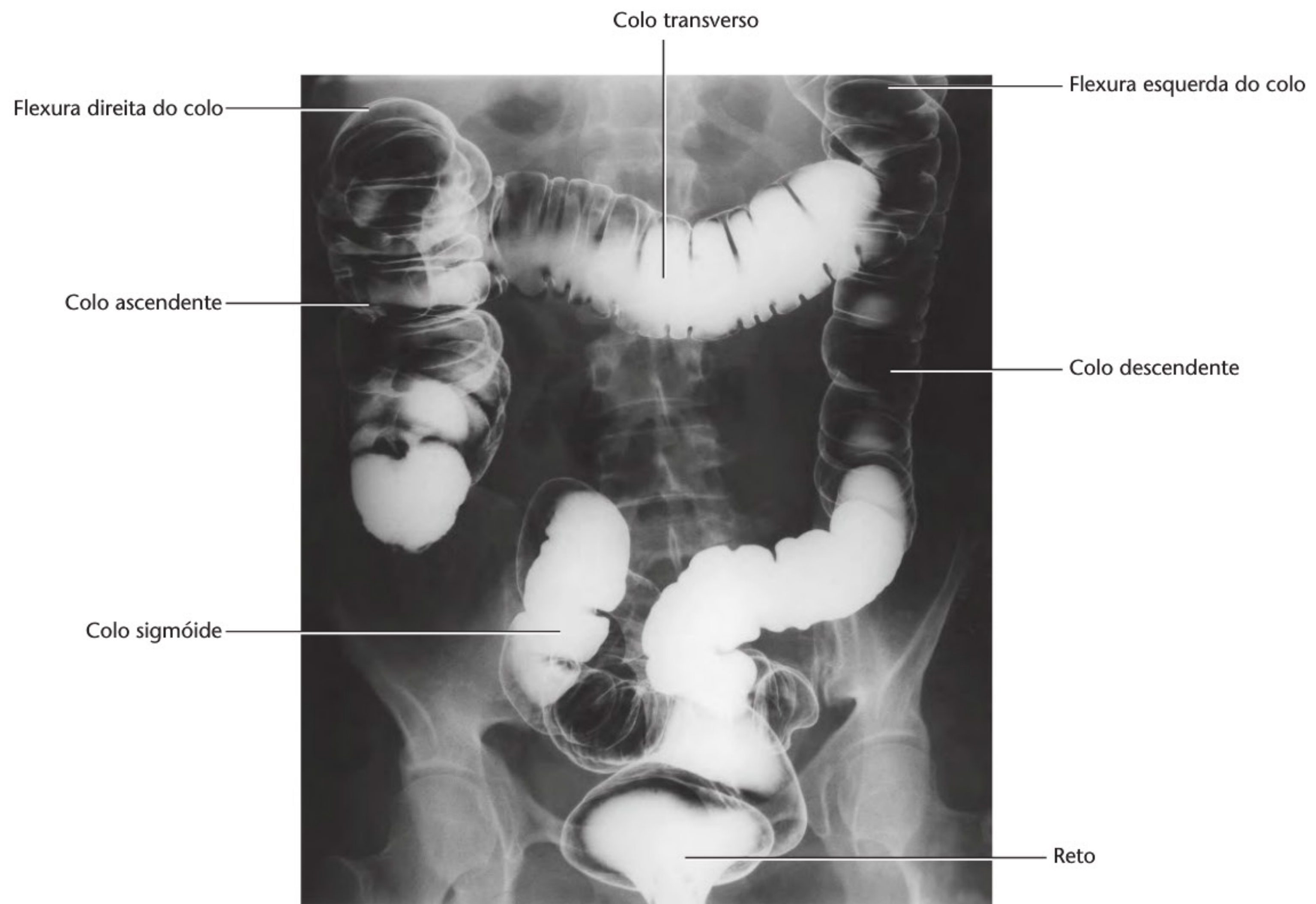
Radiografia com contraste de bário mostrando o intestino grosso

Fígado
Flexura direita do colo
Vesícula biliar
Flexura esquerda do colo
Estômago
Colo transverso
Colo sigmóide
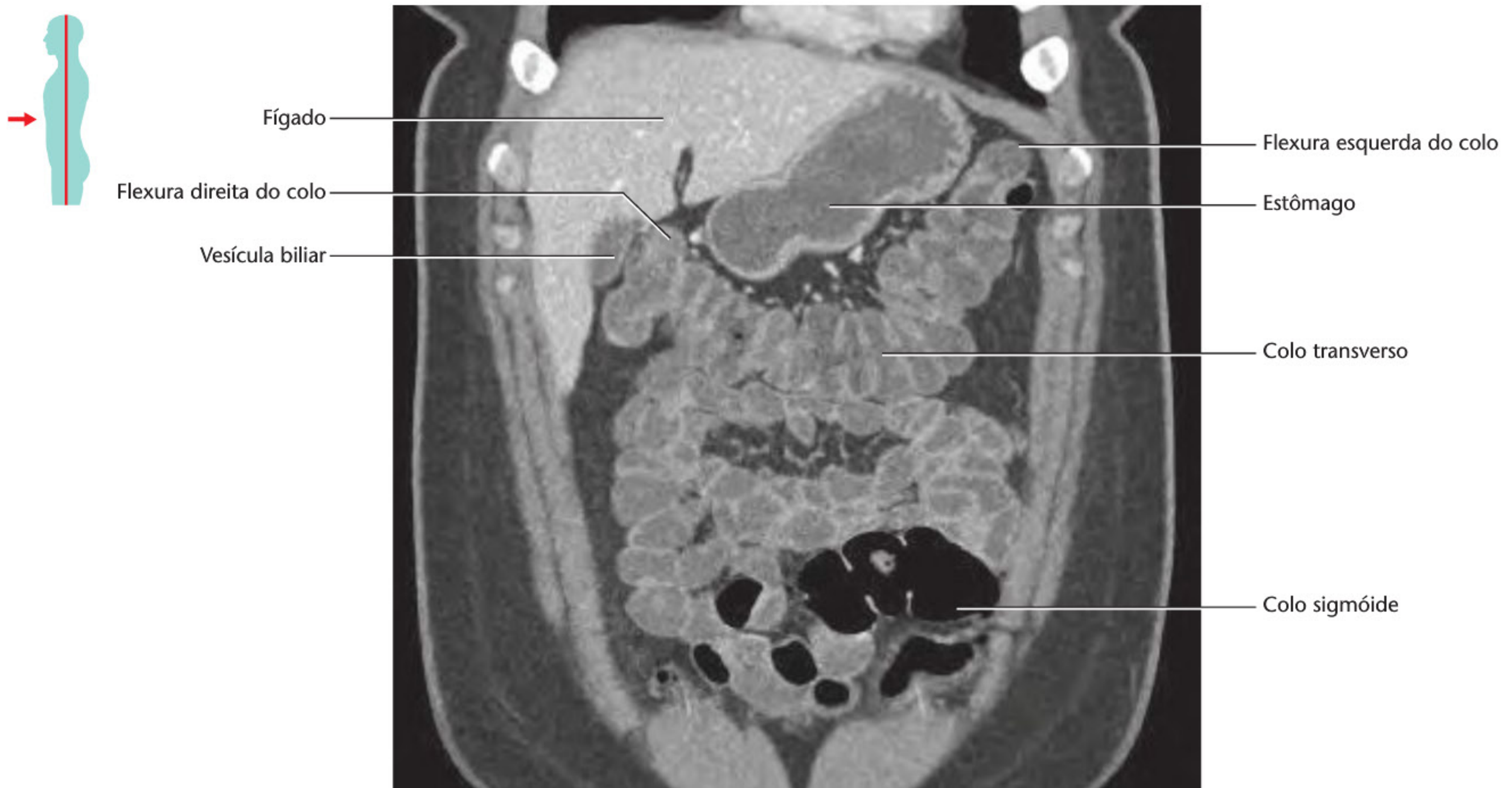
Colo transverso mostrando as flexuras direita e esquerda do colo.
Imagem de TC com contraste, no plano frontal (coronal)

Colo ascendente
Tênia livre do colo
Lábio ileocólico (superior)*
Lábio ileocecal (inferior)*
Íleo (parte terminal)
Ceco
Mesoapêndice
Óstio do apêndice vermiforme
Apêndice vermiforme
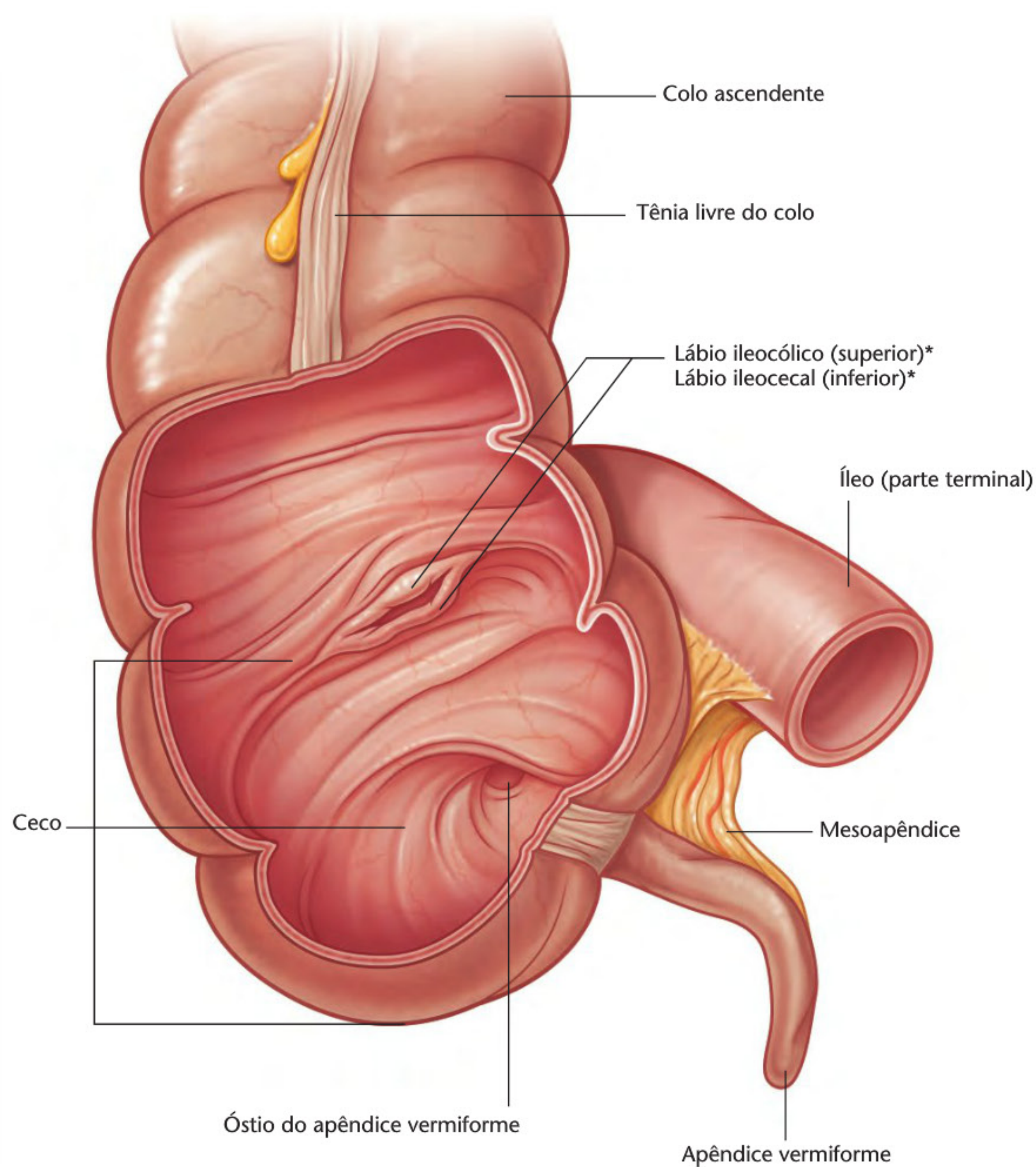
"Junção" ileocecal (região ileocecal)
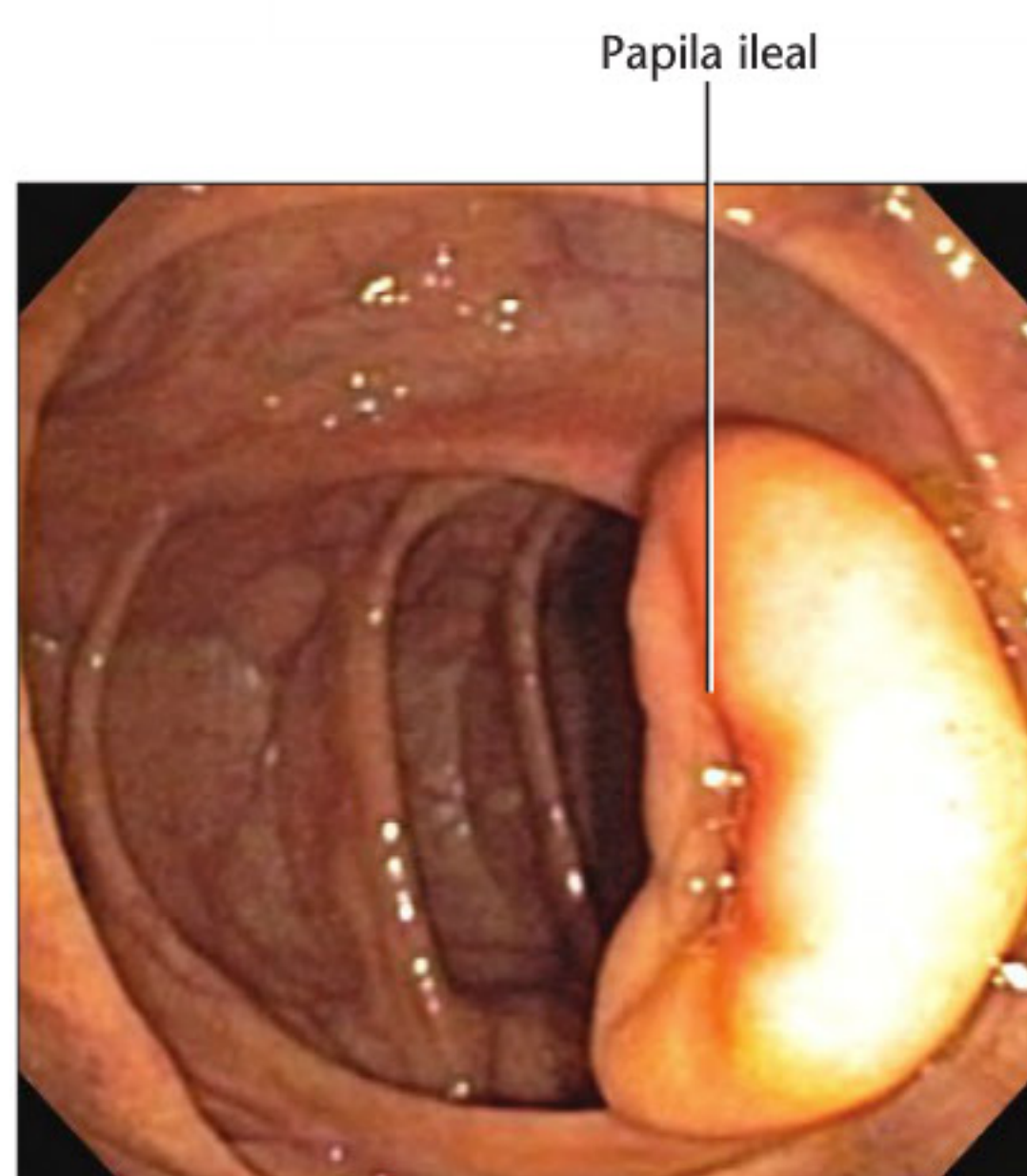
Papila ileal

Colonoscopia mostrando a papila ileal

Pré-ileal
Pós-ileal
Pélvico
Retrocecal
Subcecal
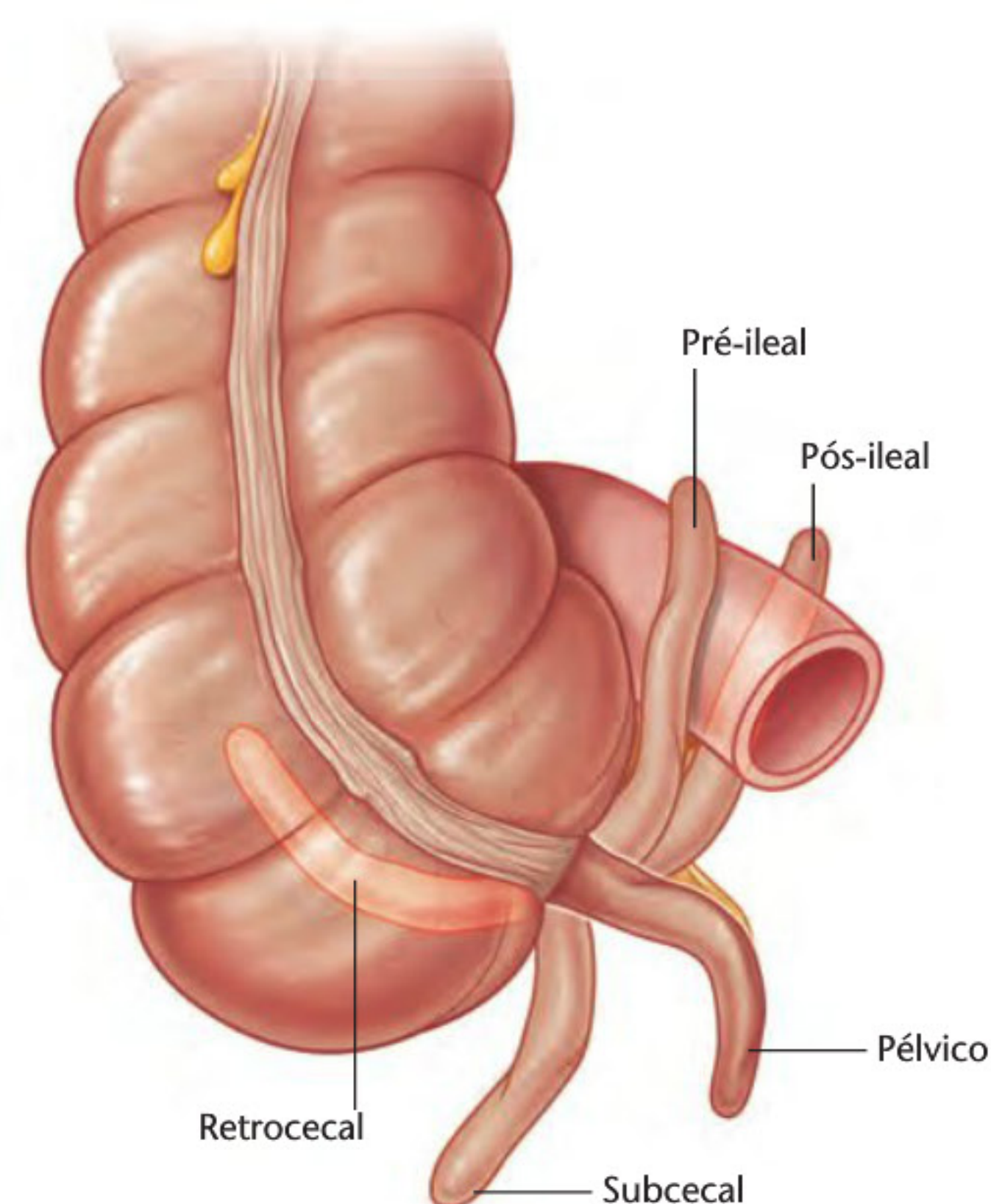
Posições do apêndice vermiforme

* Nota da Revisão Científica: Estes lábios formam as margens do óstio ileal.

A
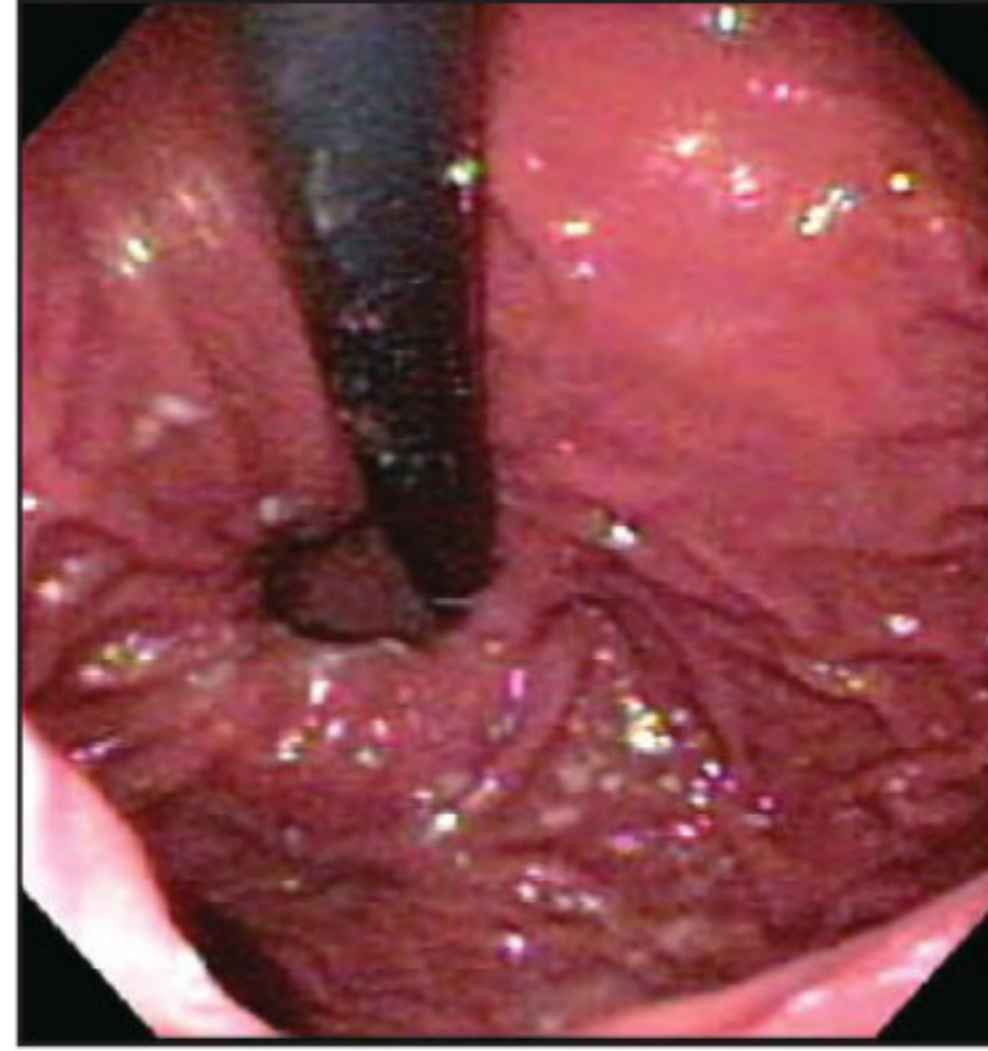
B
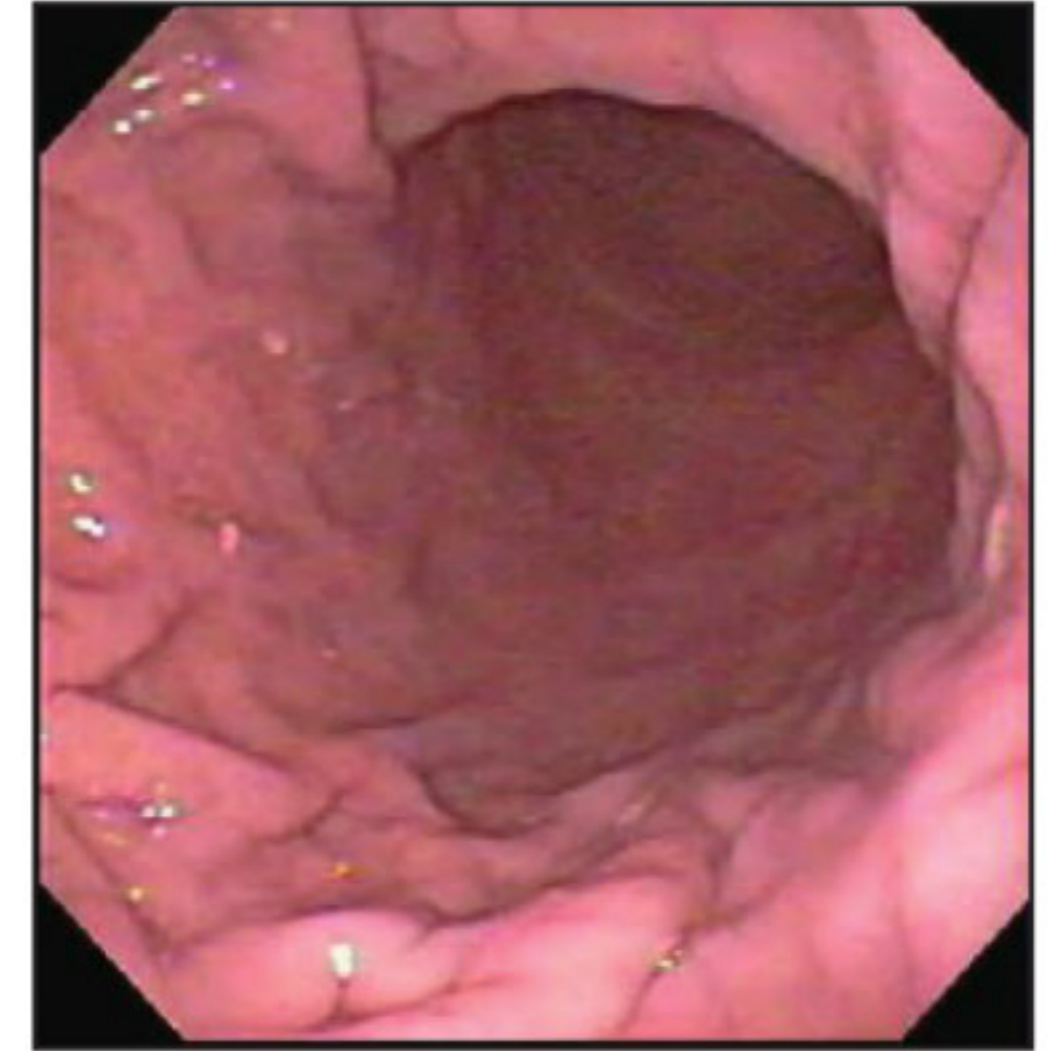
C
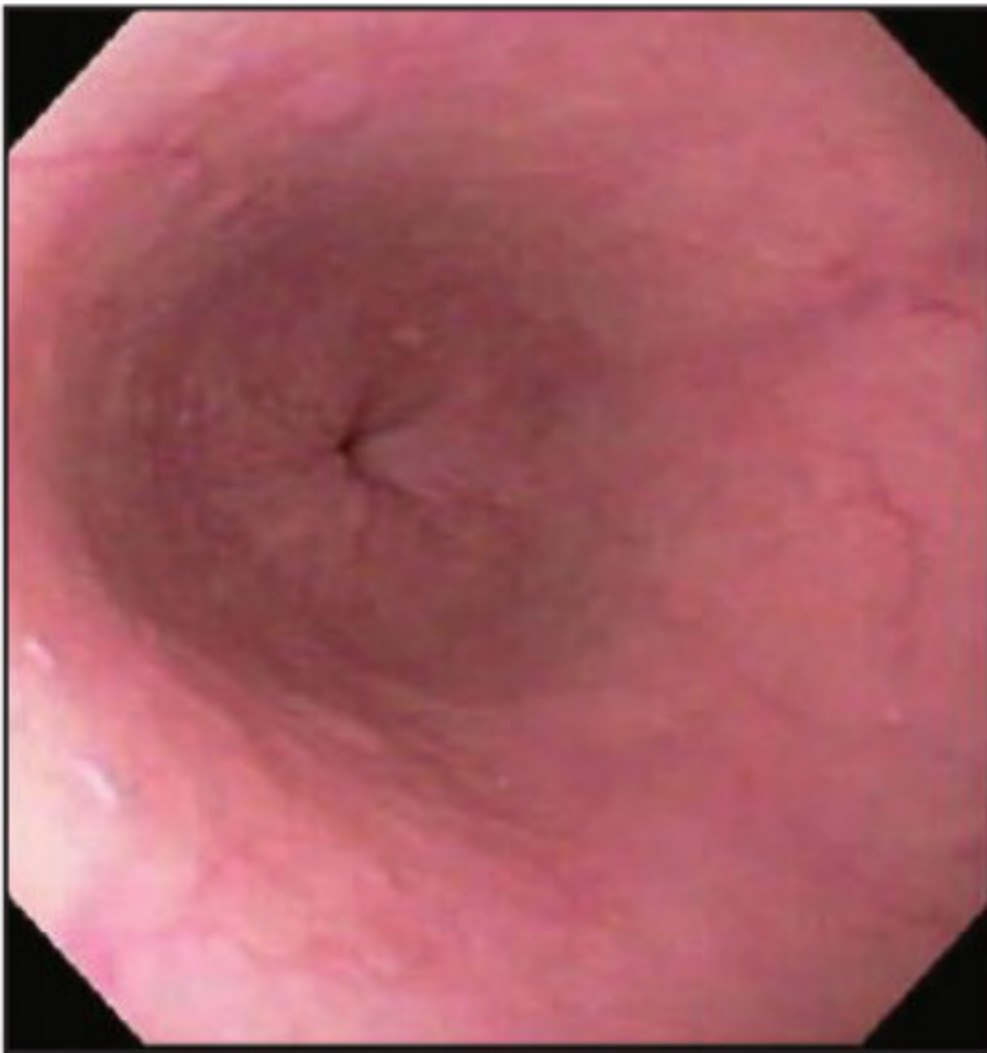
D

E
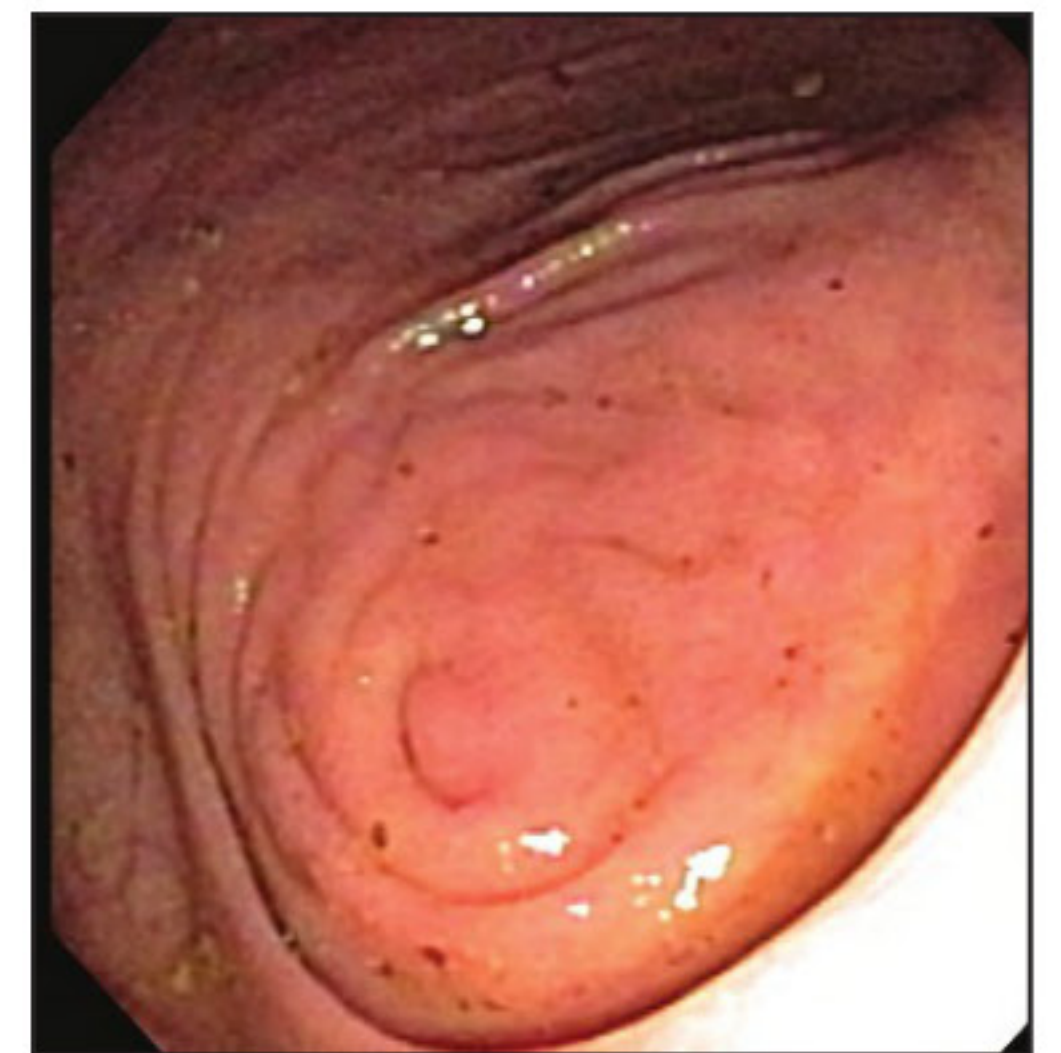
F
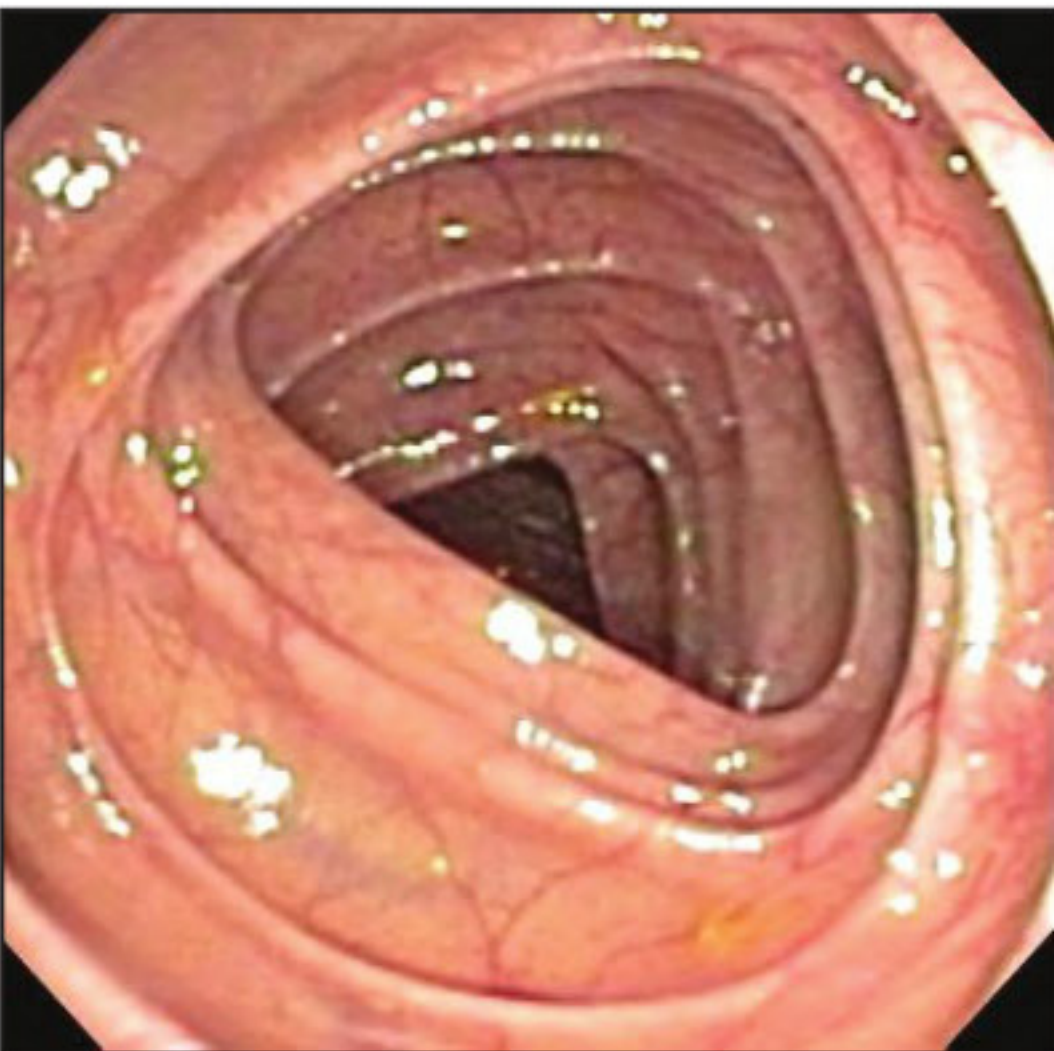
G
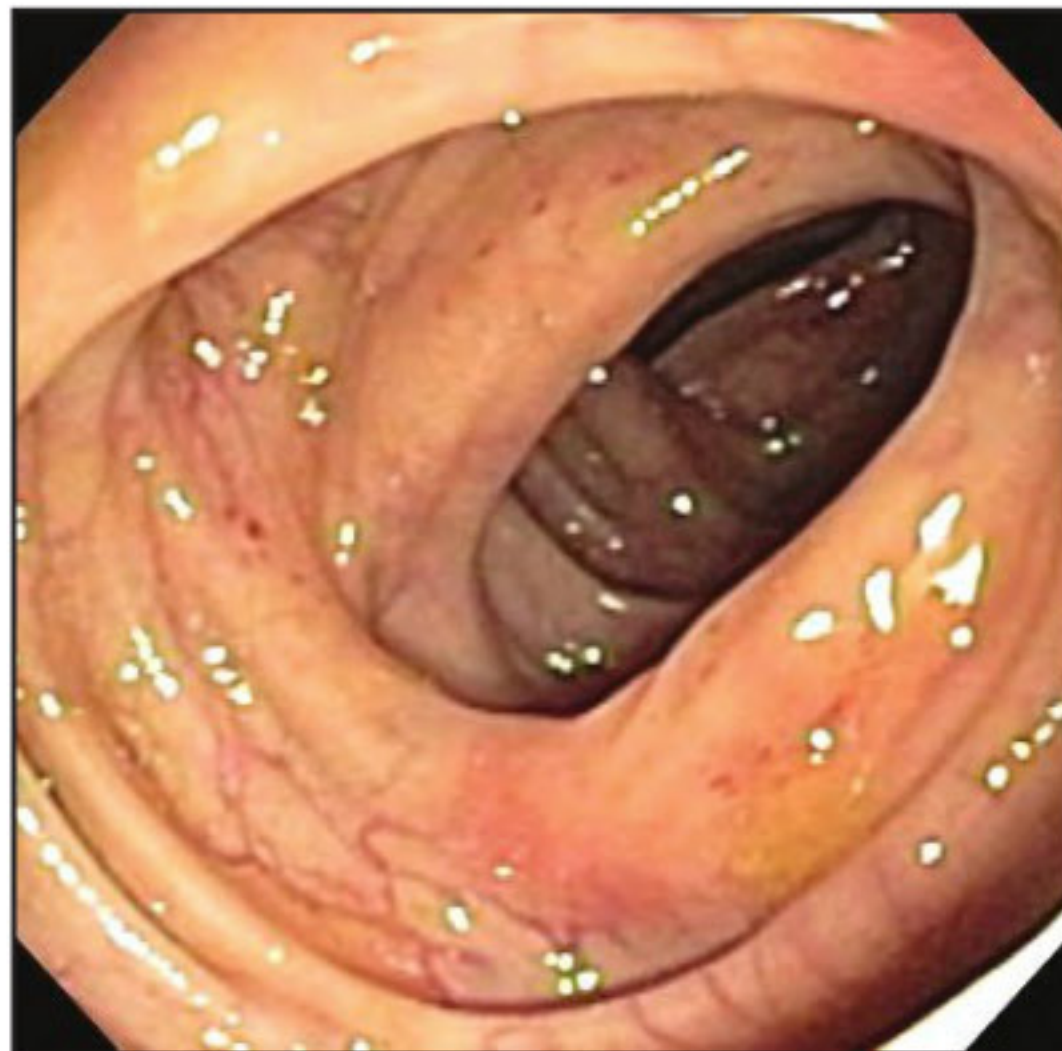
H
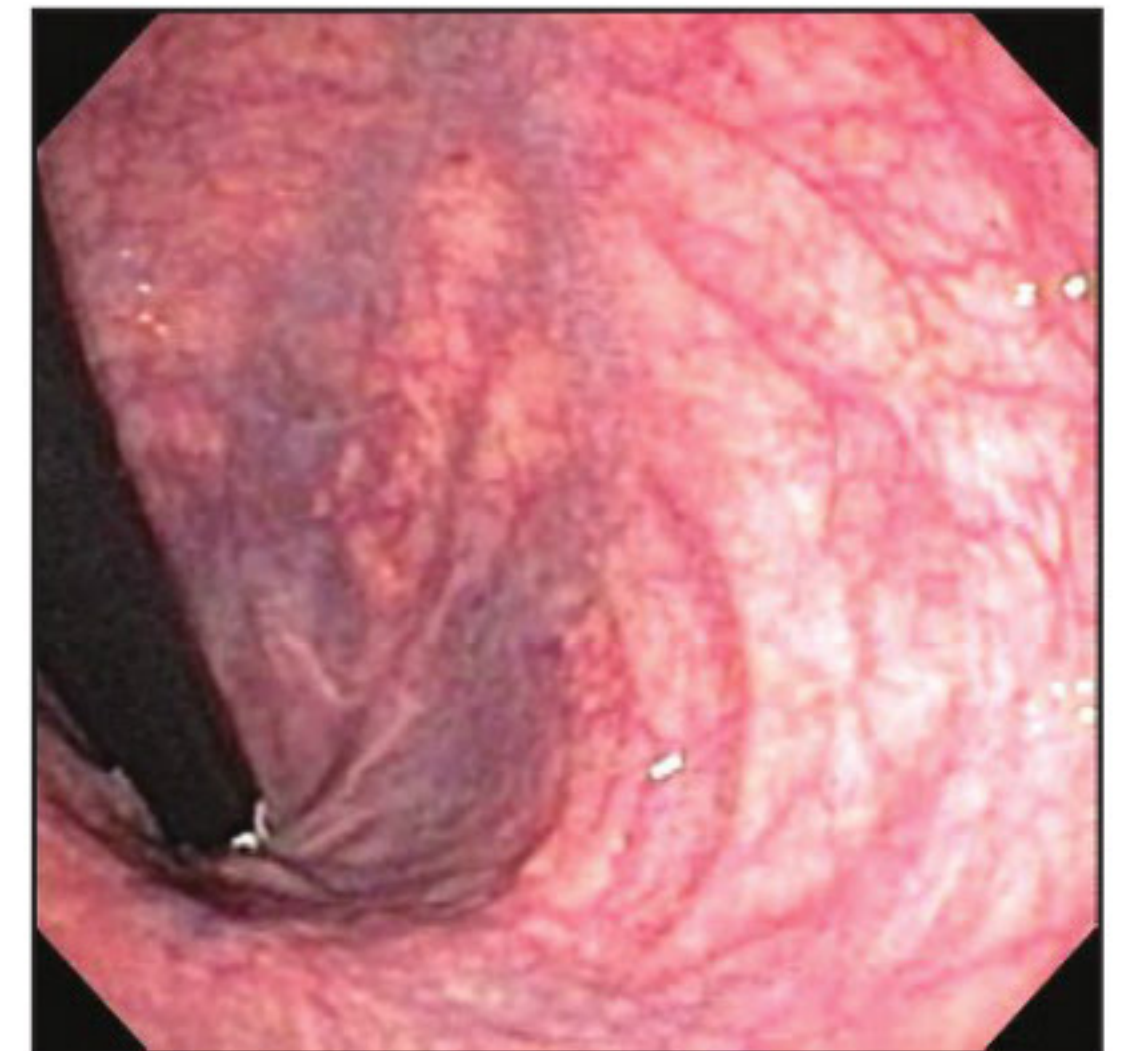
I

J
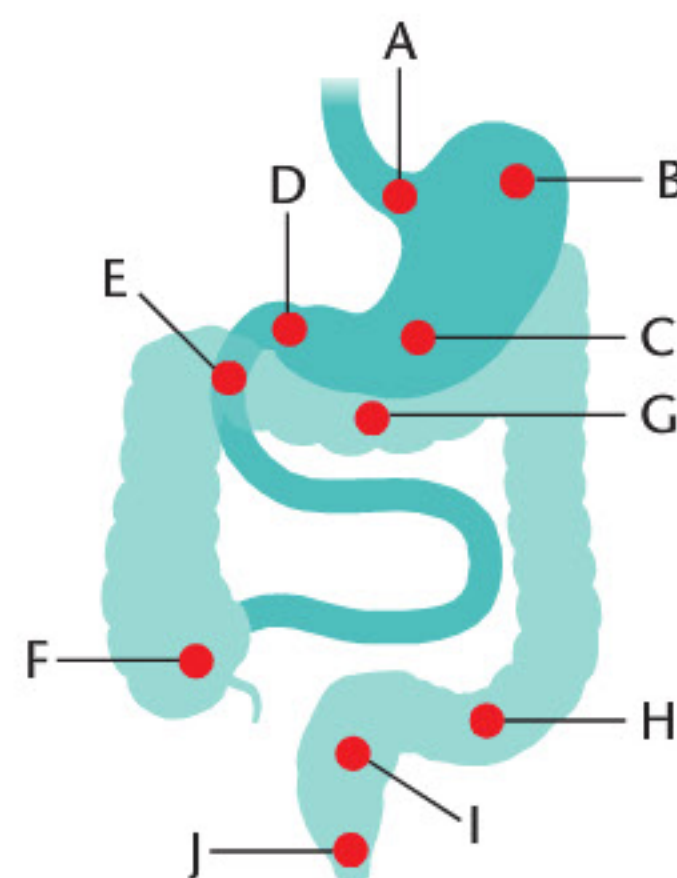
Endoscopia e colonoscopia mostrando diferentes partes do trato gastrintestinal.

A. Junção esofagogástrica
B. Óstio cárdico e fundo gástrico (do estômago) – vista em retro-flexão
C. Corpo gástrico
D. Piloro (do estômago) e músculo esfincter do piloro
E. Duodeno
F. Ceco mostrando o óstio do apêndice vermiforme
G. Colo transverso
H. Colo sigmóide
I. Reto-vista em retro-flexão
J. Linha pectinada

Colo transverso
Artéria reta
Artéria reta
Arco justacólico (artéria marginal do colo)
Arco justacólico (artéria marginal do colo)
Artéria cólica média
Parte abdominal da aorta
Artéria mesentérica superior
Duodeno
Artéria mesentérica inferior
Artéria cólica direita
Artéria cólica esquerda
Colo descendente
Artéria ileocólica
Artérias sigmóideas
Colo ascendente
Artéria reta
Apêndice vermiforme
Colo sigmóide
Artérias jejunais e ileais
Reto
Artéria retal superior

Artérias mesentéricas superior e inferior

Artéria cólica direita
Artéria mesentérica superior
Artéria ileocólica
Artérias jejunais
Cateteres
Terminação da artéria mesentérica superior originando as últimas artérias ileais
Artérias ileais

Angiografia de subtração digital da artéria mesentérica superior e seus ramos

Artéria cólica esquerda
Artéria mesentérica inferior
Artérias sigmóideas
Cateteres
Artéria retal superior

Angiografia de subtração digital da artéria mesentérica inferior e seus ramos

Fígado
Veia mesentérica superior
Veia cava inferior
Rim direito
Diafragma
Baço
Artéria mesentérica superior
Parte abdominal da aorta
Rim esquerdo

Ramificação da artéria mesentérica superior com origem na parte abdominal da aorta.
Imagem de TC com contraste, no plano transversal (axial)

Fígado
Veia mesentérica superior
Colo ascendente
Estômago
Baço
Artéria mesentérica superior
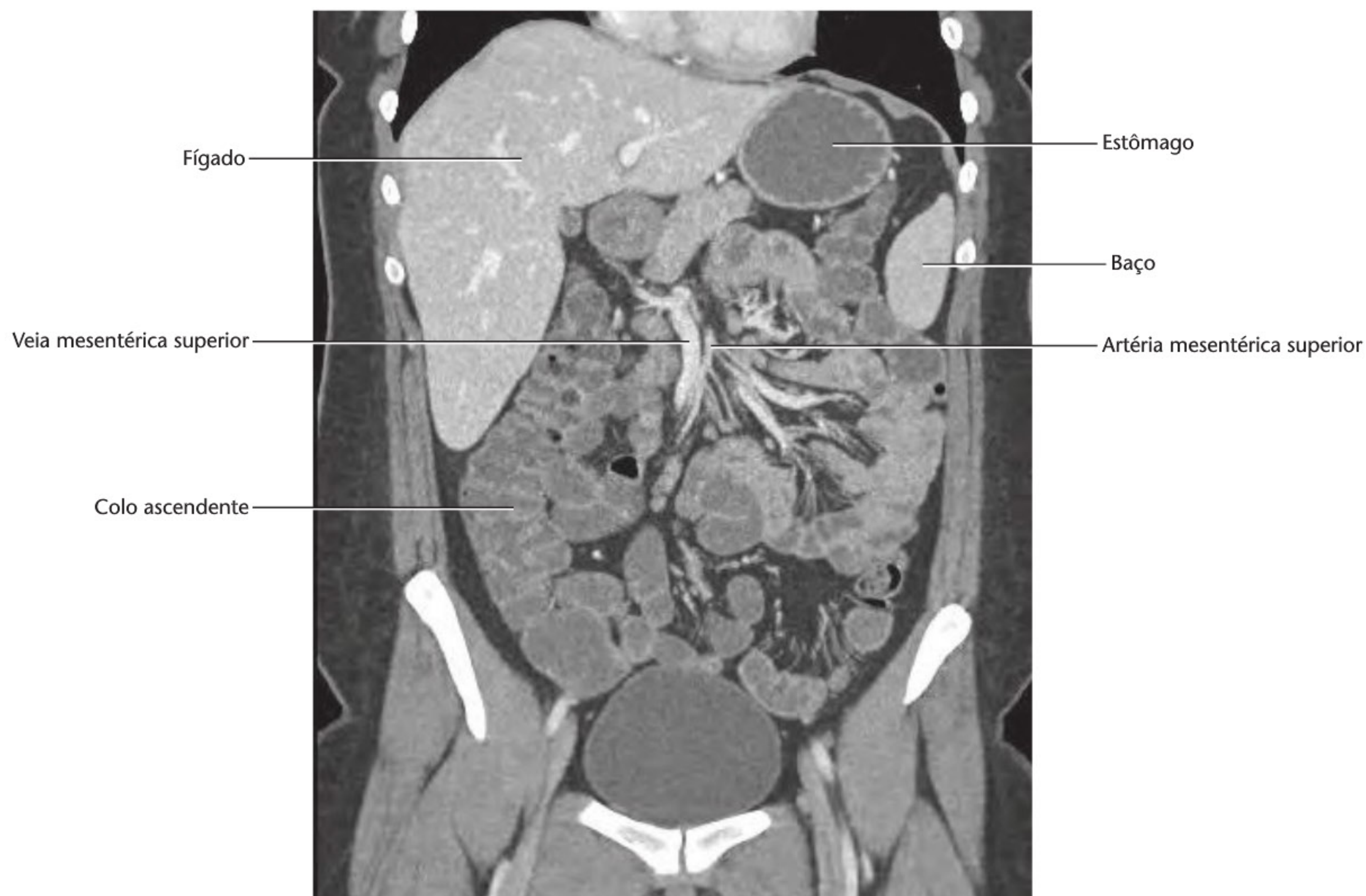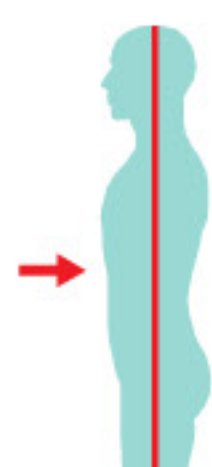
Posicionamento da artéria mesentérica superior em relação a outras estruturas.
Imagem de TC com contraste, no plano frontal (coronal)

Localização do fígado.
Imagem de TC com contraste, no plano frontal (coronal)

Projeção do fígado na superfície do corpo (vista anterior)

Face diafragmática do fígado (vista anterior)

Lobo caudado
Veia cava inferior
Ligamento falciforme
Ligamento coronário (lâmina posterior)
Ligamento coronário (lâmina anterior)
Ligamento triangular esquerdo
Impressão supra-renal
Área nua
Ligamento coronário (lâmina anterior)
Ligamento coronário (lâmina posterior)
Ligamento triangular direito
Impressão renal
Lobo hepático direito
Impressão gástrica
Lobo hepático esquerdo
Impressão esofágica
Fissura do ligamento venoso
Porta do fígado
Ligamento redondo do fígado
Lobo quadrado
Colo
Corpo
Fundo
Vesícula biliar
Impressão cólica

Face visceral do fígado (vista posterior)

Ductos hepáticos direito e esquerdo
Lobo quadrado
Fissura do ligamento redondo
Vesícula biliar
Fundo
Corpo
Colo
Porta do fígado
Ducto cístico
Lobo hepático direito
Ducto colédoco
Artéria hepática própria
Veia porta do fígado
Lobo caudado
Fissura do ligamento venoso
Lobo hepático esquerdo
Ligamento triangular esquerdo

Face visceral do fígado (vista inferior)

Veia hepática intermédia
Veia cava inferior
Veia hepática direita
Veia hepática esquerda
Ramo esquerdo da veia porta do fígado
Ramo direito da veia porta do fígado
Tríade portal
Ramo esquerdo da artéria hepática própria
Artéria hepática própria
Veia porta do fígado
Ducto hepático comum
Ramo direito da artéria hepática própria
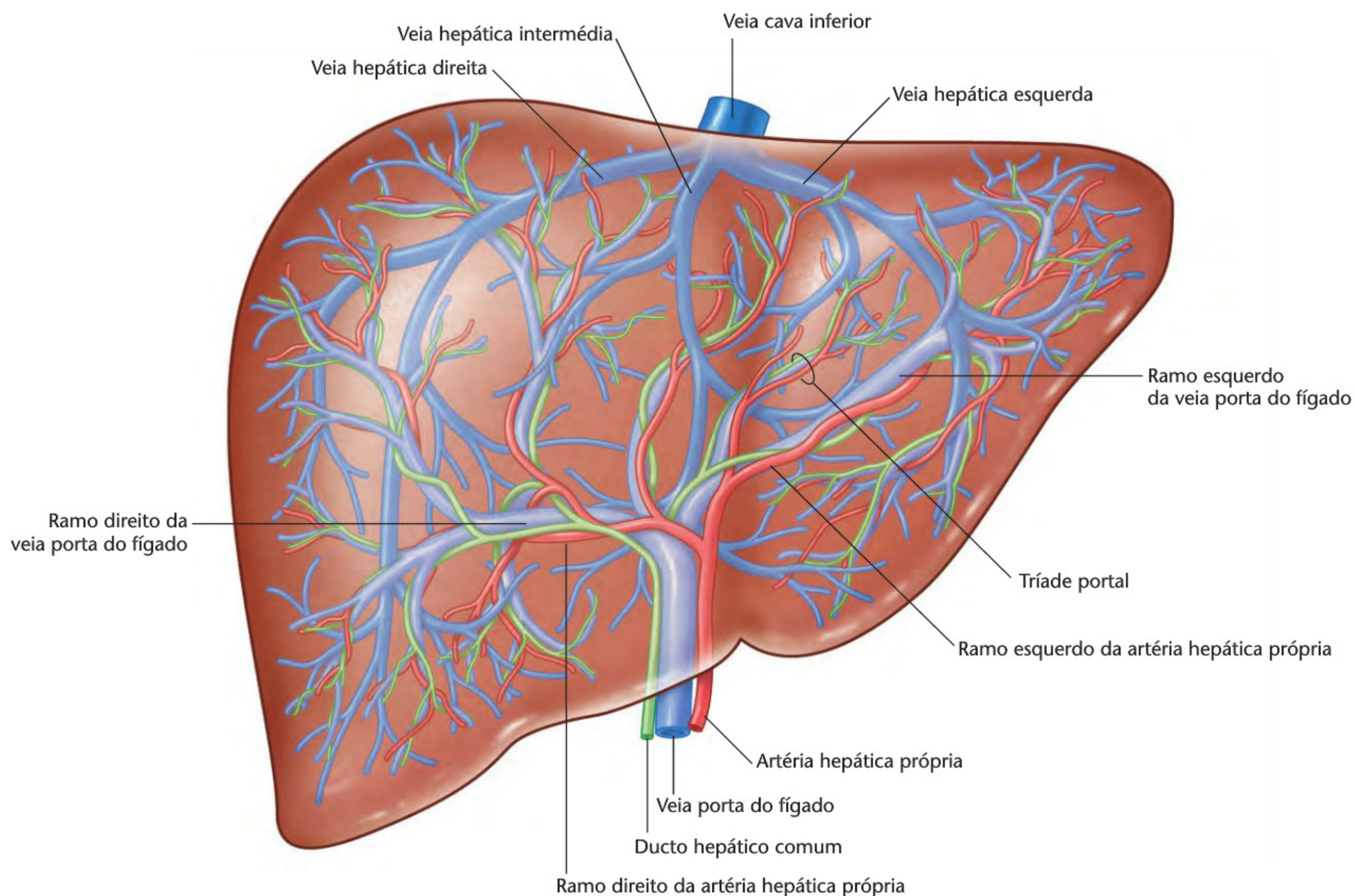
Vista anterior do fígado mostrando as veias hepáticas, a veia porta do fígado, as artérias e os ductos bilíferos associados

Veias hepáticas
Estômago
Fígado
Esôfago
Parte torácica da aorta
Veia cava inferior
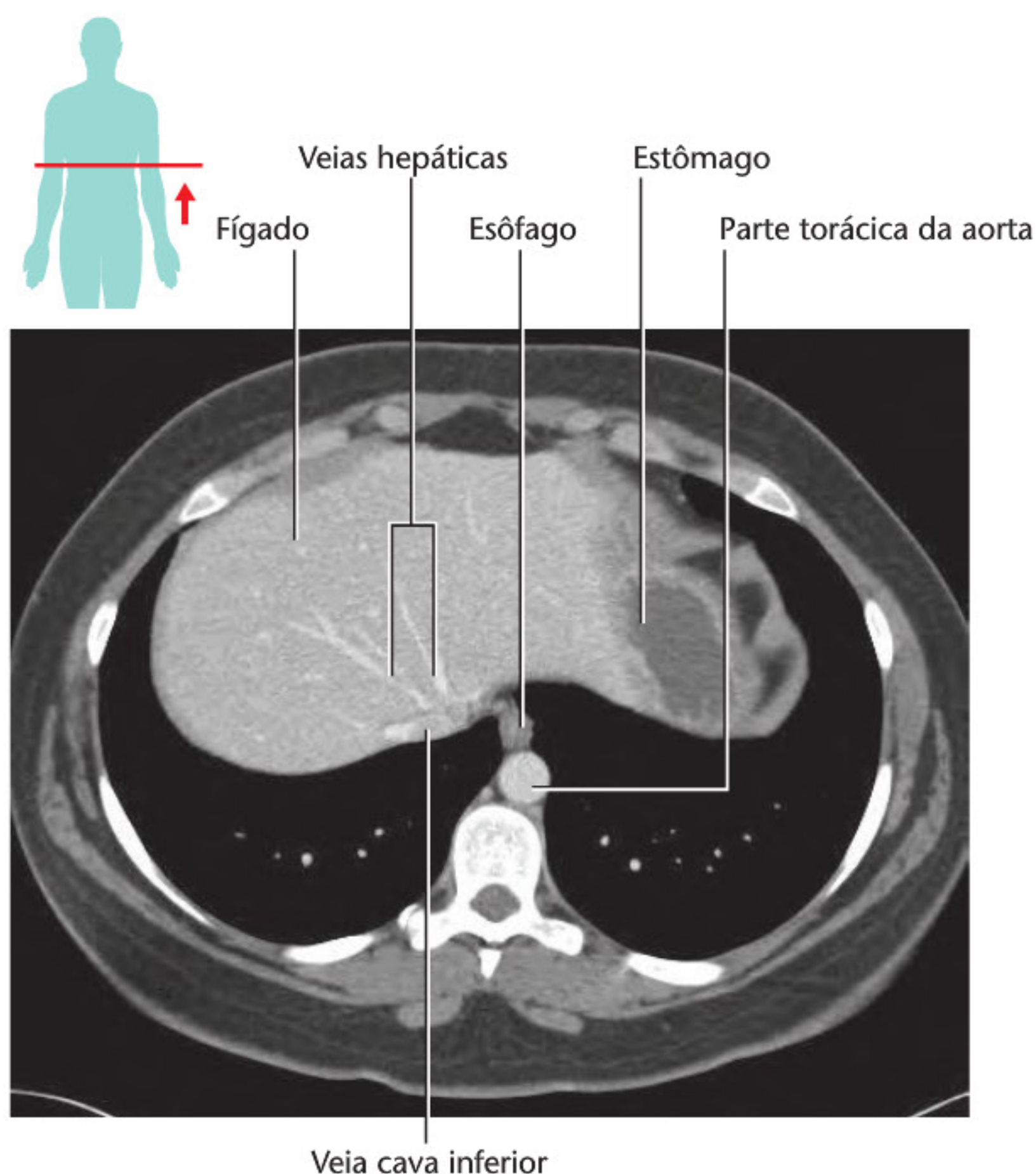
Veias hepáticas desembocando na veia cava inferior, no interior do fígado
Imagem de TC com contraste, no plano transversal (axial)

Veia cava inferior
Veia hepática intermédia
Veia hepática esquerda
Veia hepática direita
II
VII
I
VIII
IV
III
VI
V
Ramos esquerdo e direito da artéria hepática própria
Artéria hepática própria
Vesícula biliar
Ducto colédoco
Veia porta do fígado
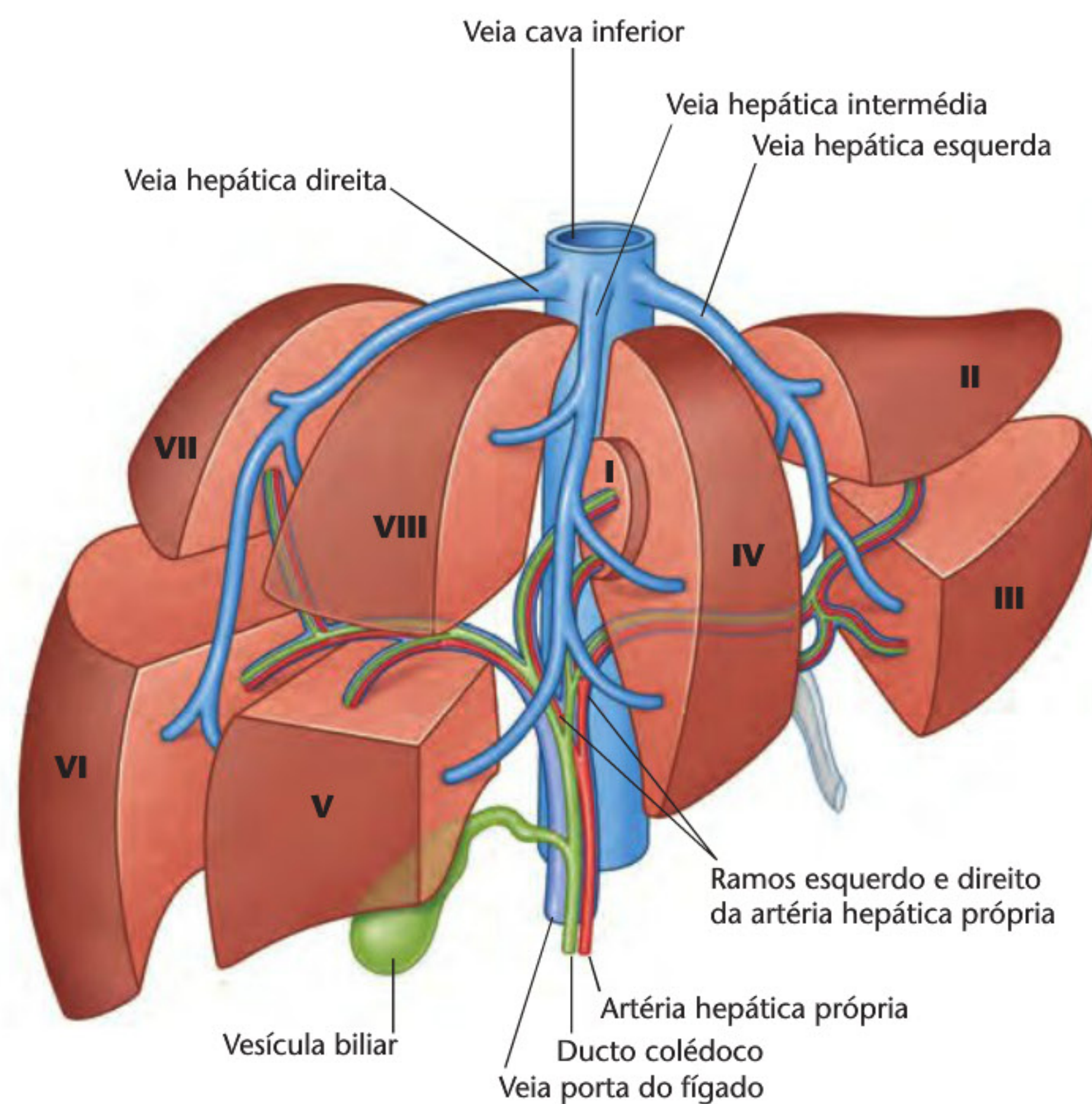
Organização da segmentação hepática

Segmento posterior medial direito **VIII** (área ântero-superior)

Segmento medial esquerdo **IV** (parte superior)

Segmento posterior lateral direito **VII** (área póstero-superior)

Segmento posterior lateral esquerdo **II** (área lateral superior)

Segmento anterior lateral esquerdo **III** (área lateral inferior)

Segmento medial esquerdo **IV** (parte inferior)

Segmento anterior medial direito **V** (área ântero-inferior)

Segmento anterior lateral direito **VI** (área póstero-inferior)

Segmento medial esquerdo **IV** (parte inferior)

Segmento anterior lateral esquerdo **III** (área lateral inferior)

Segmento posterior lateral direito **VII** (área póstero-superior)

Segmento posterior lateral esquerdo **II** (área lateral superior)

Segmento posterior **I** (lobo caudado)

Processo caudado

Parte direita

Parte esquerda

Segmento medial esquerdo **IV** (parte superior)

Visualização dos segmentos do fígado nas faces diafragmática e visceral
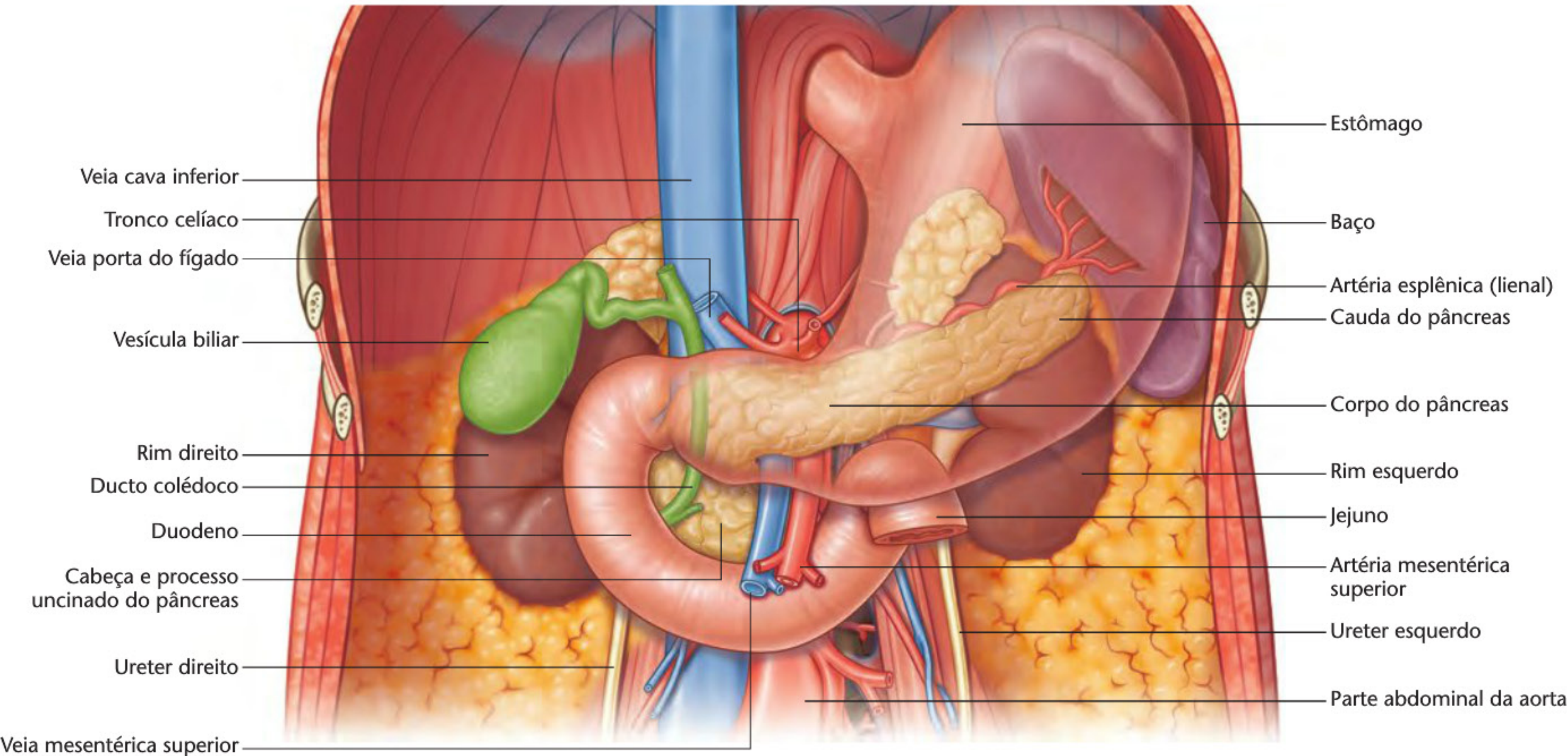
Pâncreas e estruturas associadas
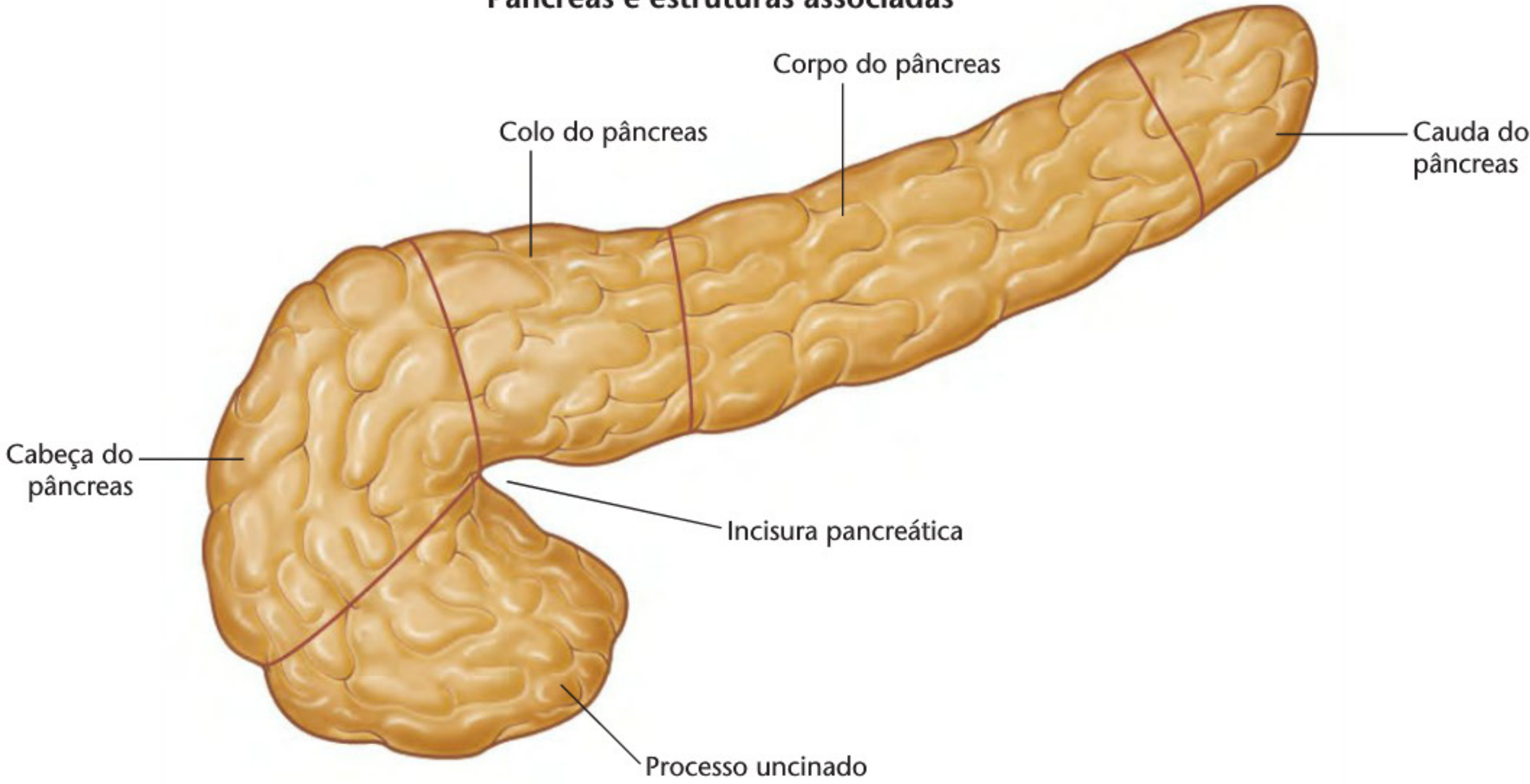
Face anterior do pâncreas
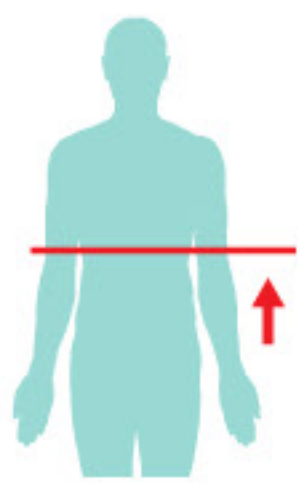
Pâncreas.
Imagem de TC com contraste, no plano transversal (axial)

Fundo
Vesícula biliar
Corpo
Colo
Ducto hepático direito
Ducto hepático esquerdo
Pâncreas
Ducto hepático comum
Ducto cístico
Óstio pilórico
Duodeno – parte superior
Ducto pancreático (principal)
Ducto pancreático acessório
Flexura duodenojejunal
Papila menor do duodeno
Ducto colédoco
Jejuno
Duodeno – parte descendente
Papila maior do duodeno
Duodeno – parte ascendente
Ampola hepatopancreática (na papila)
Ducto pancreático (principal)
Duodeno – parte horizontal (inferior)

Ductos colédoco e pancreáticos

Vesícula biliar
Fígado
Baço
Pâncreas
Veia porta do fígado
Aorta
Veia cava inferior
Diafragma

Posicionamento da vesícula biliar em relação a outras estruturas.
Imagem de TC com contraste, no plano transversal (axial)
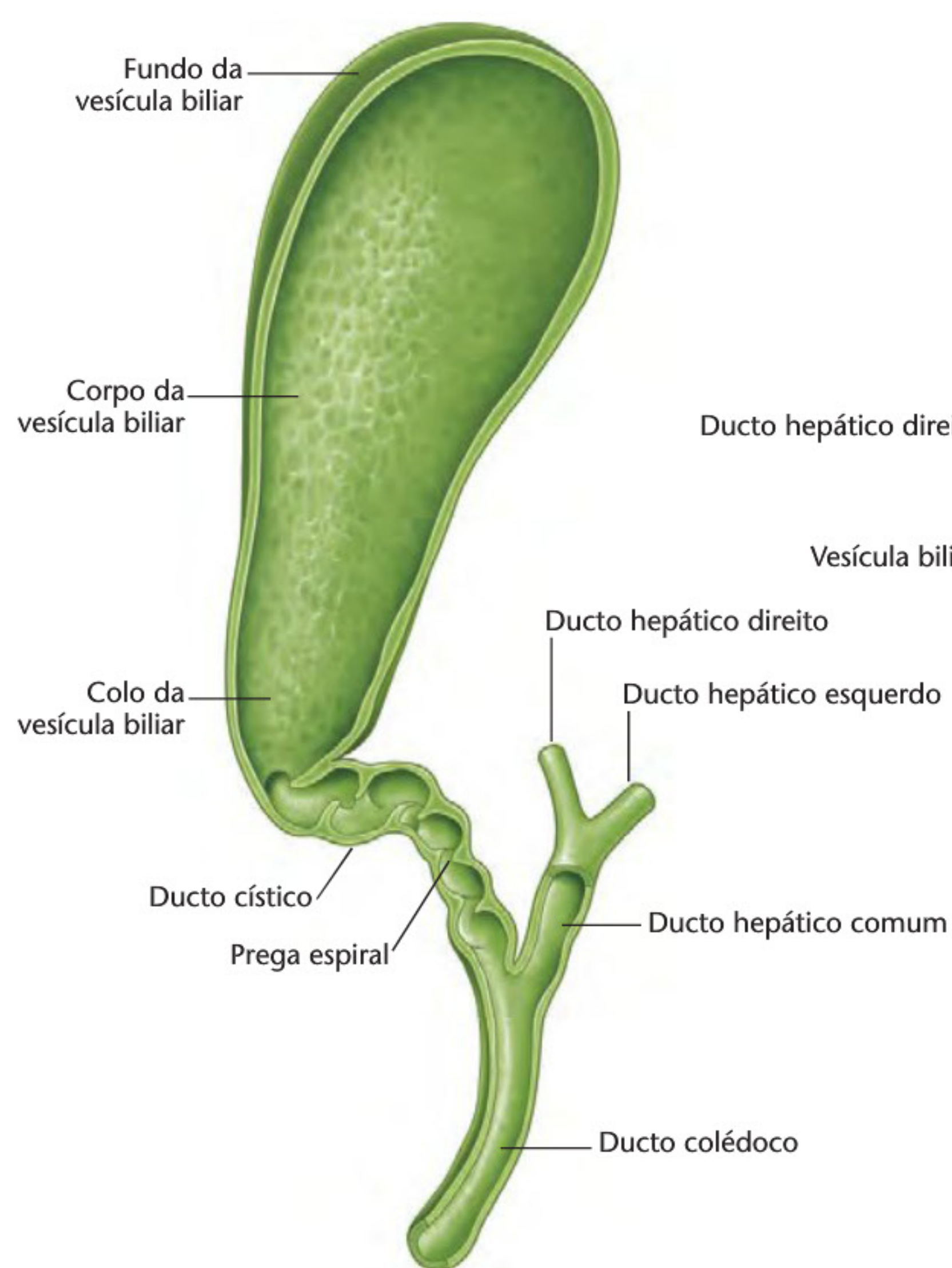
Secção através da vesícula biliar e dos ductos bilíferos

Sistema de ductos bilíferos.
Colangiograma trans-hepático percutâneo

Posicionamento do pâncreas em relação a outras estruturas.
Imagem de TC com contraste, no plano frontal (coronal)

Posicionamento do pâncreas em relação ao estômago e ao baço.
Imagem de TC com contraste, no plano frontal (coronal)

Vasos esplênicos seccionados (baço removido)
Artéria esplênica
Artérias gástricas curtas
Ramo esquerdo da artéria hepática própria
Ducto hepático direito
Ducto hepático esquerdo
Ramo direito da artéria hepática própria
Artéria gástrica esquerda
Tronco celíaco
Veia porta do fígado
Artéria gastromental esquerda
Estômago
Ducto cístico
Artéria gastroduodenal
Veia gastromental esquerda
Artéria pancreaticoduodenal superior posterior
Veia esplênica
Ducto colédoco
Artéria gastromental esquerda
Parte descendente do duodeno
Artéria pancreática inferior
Cabeça do pâncreas
Veia mesentérica inferior
Artéria pancreática dorsal
Artéria mesentérica superior
Veia mesentérica superior
Ramo anterior da artéria pancreaticoduodenal inferior
Ramo posterior da artéria pancreaticoduodenal inferior
Processo uncinado do pâncreas

Vista posterior da vascularização do pâncreas

Ramo direito da artéria hepática própria
Ducto hepático comum
Ramo esquerdo da artéria hepática própria
Vesícula biliar
Veia porta do fígado
Artéria hepática própria
Artéria hepática comum
Fígado
Tronco celíaco
Artéria cística
Artéria gástrica esquerda
Ducto cístico
Artéria gastroduodenal
Artéria esplênica (lienal)
Veia esplênica (lienal)
Artéria gástrica direita
Ducto colédoco
Artéria supraduodenal
Estômago
Cabeça do pâncreas
Parte descendente do duodeno
Artéria mesentérica superior
Processo uncinado do pâncreas
Veia mesentérica superior
Parte abdominal da aorta
Veia cava inferior

Ramificação da artéria hepática comum

Estômago (seccionado)
Vesícula biliar
Veias gástricas curtas
Fígado (rebatido)
Baço
Veia porta do fígado
Veia gástrica esquerda
Veia gástrica direita
Veia esplênica (lienal)
Veia mesentérica inferior
Pâncreas (seccionado)
Ramo esquerdo da veia cólica média
Veia gastromental direita
Veia gastromental esquerda
Veia pancreaticoduodenal
Veia gonadal esquerda
Veia mesentérica superior
Ramo direito da veia cólica média
Artéria mesentérica superior
Duodeno
Veias cólicas esquerdas
Veia cólica direita
Veia cava inferior
Colo descendente
Veia ileocólica
Veias jejunais e ileais
Colo ascendente
Ureter esquerdo
Veias sigmóideas
Ceco
Colo sigmóide
Apêndice vermiforme

Drenagem venosa da porção abdominal do trato gastrintestinal *in situ*

Veia gástrica esquerda
Veia gástrica direita
Veia porta do fígado
Veia gastromental direita
Veia mesentérica superior
Veia pancreaticoduodenal
Ramo direito da veia cólica média
Veia cólica direita
Veia ileocólica
Veia retal superior
Veias sigmóideas
Veias gástricas curtas
Veia esplênica (lienal)
Veia mesentérica inferior
Ramo esquerdo da veia cólica média
Veia gastromental esquerda
Veias cólicas esquerdas
Veias jejunais e ileais

Drenagem venosa da porção abdominal do trato gastrintestinal

Fígado
Veia porta do fígado
Veia mesentérica superior
Pâncreas
Duodeno
–parte horizontal
Estômago
Pâncreas
Veia esplênica
Veia mesentérica inferior
(anastomosa-se com a veia mesentérica
superior em um nível anterior a este corte)
Baço
Artéria mesentérica superior

Formação da veia porta do fígado.
Imagem de TC com contraste, no plano frontal (coronal)

Anastomoses "portocava"

1 Varizes esofágicas:
conexão entre veias dilatadas sistêmicas e do sistema porta na extremidade distal do esôfago

2 Hemorróidas:
conexão entre veias dilatadas sistêmicas e do sistema porta na extremidade distal do reto e no canal anal

3 Cabeça de medusa:
conexão entre veias dilatadas sistêmicas e do sistema porta ao redor do umbigo

4 Conexão entre veias dilatadas sistêmicas e do sistema porta na área nua do fígado

5 Conexão entre veias dilatadas associadas com as partes retroperitoneais do trato gastrintestinal e da parede do abdome
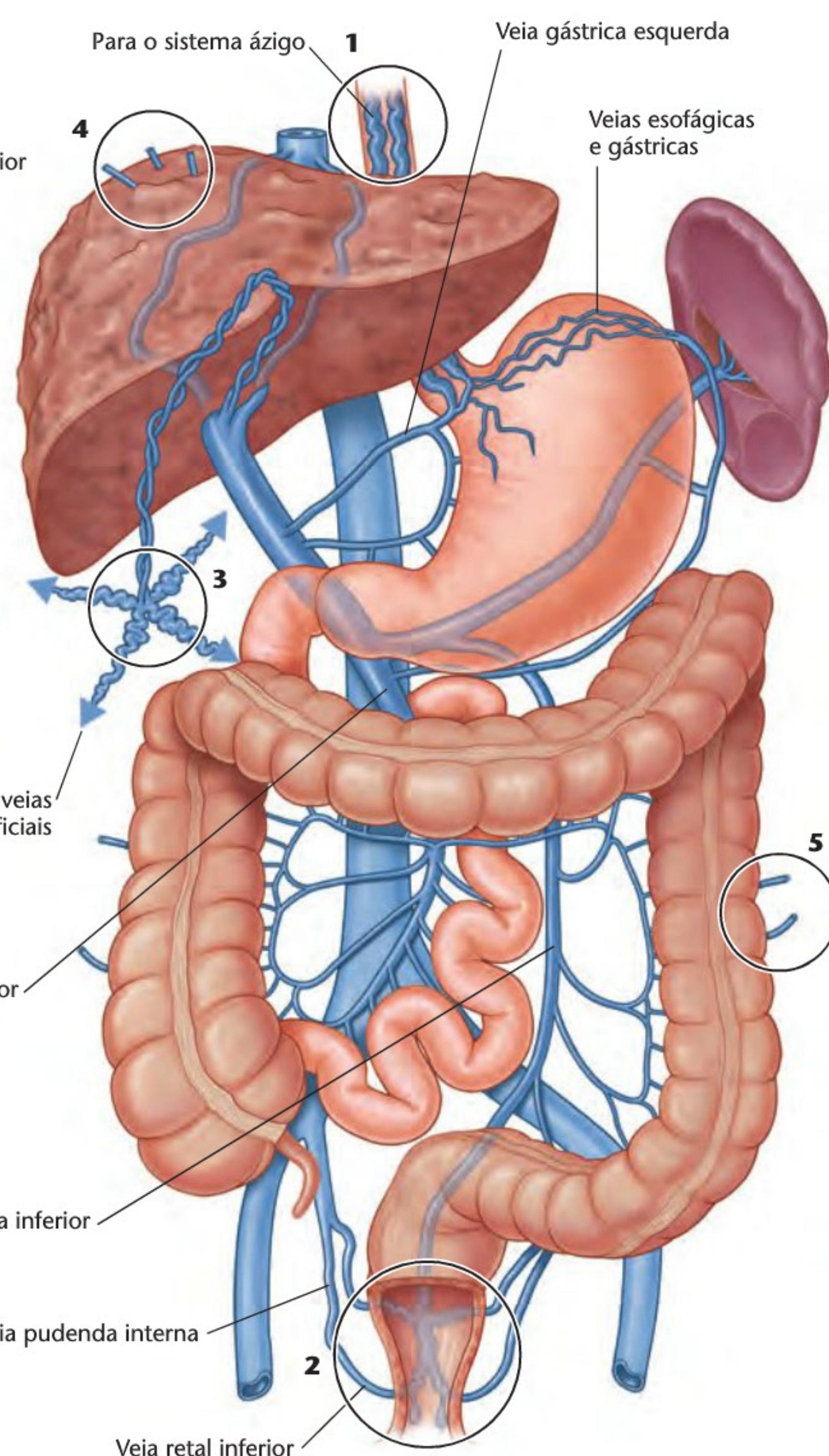
Dilatação venosa na hipertensão portal (varizes)

Esôfago
Hiato aórtico e ligamento arqueado mediano
Veias hepáticas
Diafragma
Glândula supra-renal direita
Glândula supra-renal esquerda
Veia cava inferior
Tronco celíaco
Artéria supra-renal média
Veia renal esquerda
Artéria mesentérica superior
Rim esquerdo
Rim direito
Músculo transverso do abdome
Parte abdominal da aorta
Músculo quadrado do lombo
Artéria mesentérica inferior
Vasos gonadais direitos
Vasos gonadais esquerdos
Ureter direito
Ureter esquerdo
Artéria ilíaca comum direita
Músculo psoas maior
Artéria sacral mediana
Artéria ilíaca interna esquerda
Músculo ilíaco
Reto
Artéria ilíaca externa esquerda
Veia ilíaca externa esquerda
Bexiga urinária

Vasos sanguíneos da parede posterior do abdome e suas relações

Hiato esofágico
Artéria epigástrica superior
Veia cava inferior
Centro tendíneo do diafragma
Esôfago com os troncos vagais anterior e posterior
Nervo frênico direito
Nervo frênico esquerdo
Artéria frênica inferior esquerda
Hiato aórtico e ligamento arqueado mediano
Nervo esplâncnico maior
Veia hemiázigo
LI
LII
LIII
LIV
Nervo esplâncnico menor
Nervo esplâncnico imo
Artéria frênica inferior direita
Ligamento arqueado lateral
Veia ázigo
Ligamento arqueado medial
Costela XII
Processo costiforme de LI
Pilar esquerdo do diafragma
Tronco simpático
Ducto torácico
Aorta
Músculo psoas maior
Pilar direito do diafragma
Músculo quadrado do lombo

Vista inferior do diafragma

Estômago
Fígado
Pâncreas
Aorta
Diafragma
Baço
Cavidade pleural

Posicionamento do diafragma em relação a outras estruturas.
Imagem de TC com contraste, no plano transversal (axial)
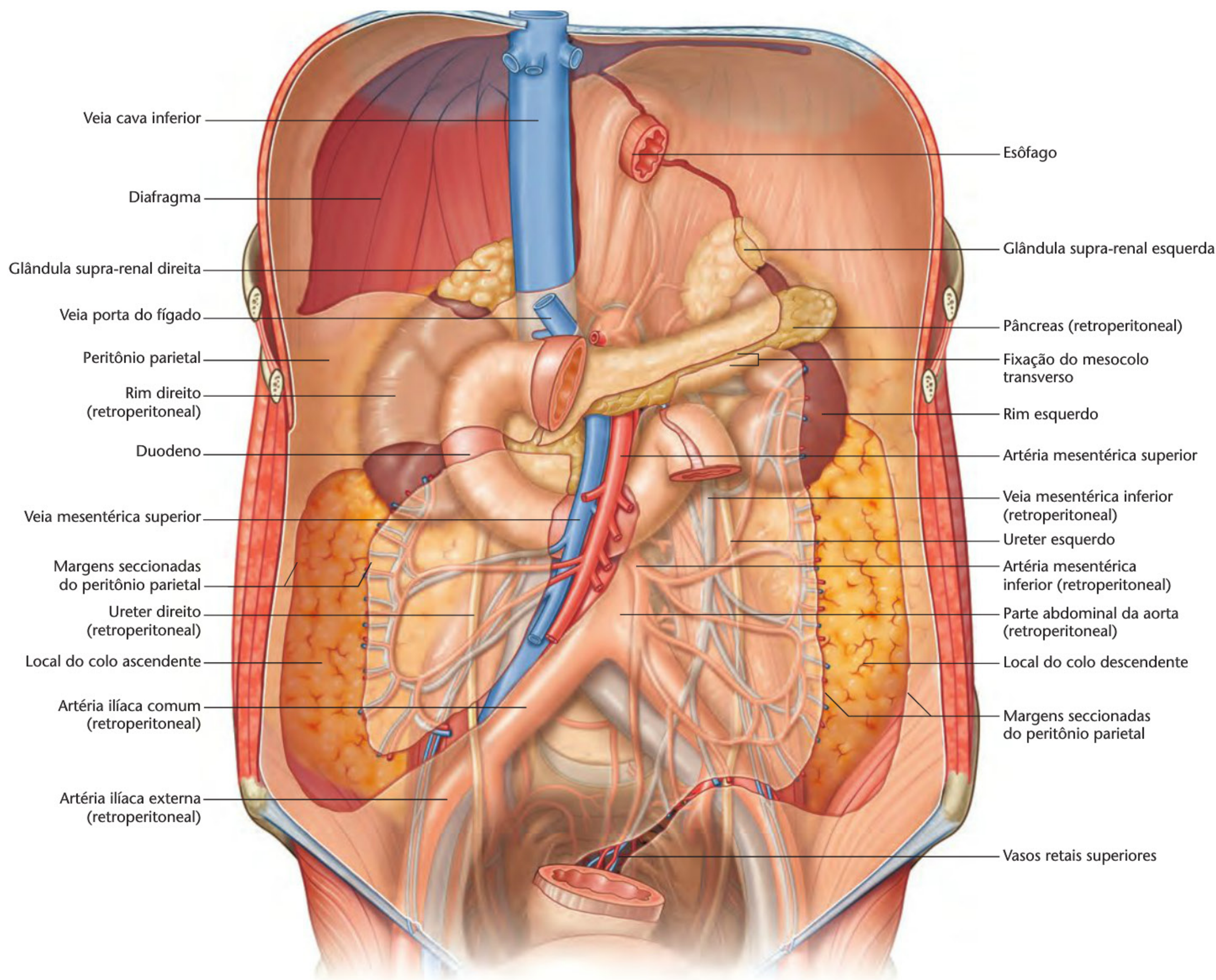
Posicionamento retroperitoneal dos rins e peritônio parietal
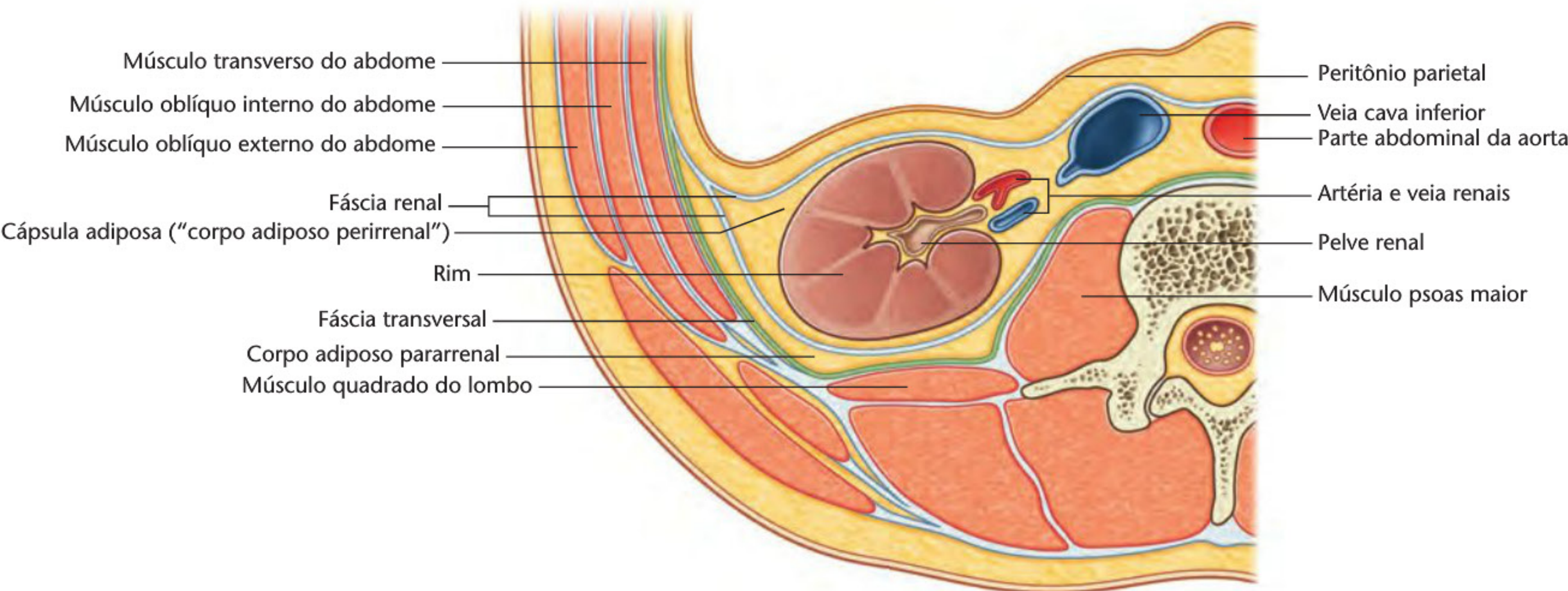
Organização da cápsula adiposa e da fáscia renal ao redor dos rins

Costela XI
Rim esquerdo
Ureter esquerdo
Crista ilíaca
Costela XII
Rim direito
Processos costiformes das vértebras lombares
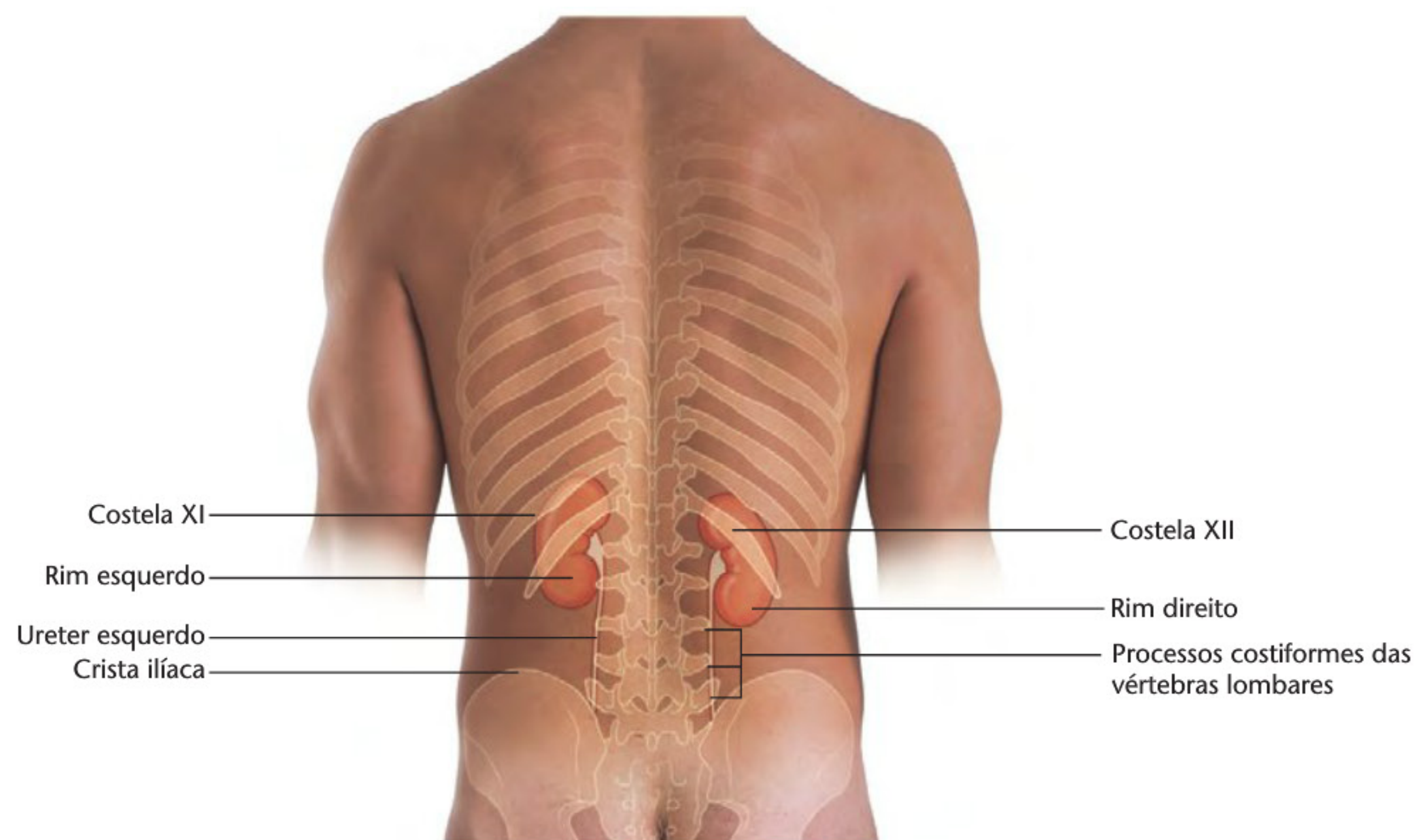
Projeção dos rins e dos ureteres na superfície do corpo (vista posterior)

Rim esquerdo
Costela XI
Costela XII
Diafragma
Músculo psoas maior
Músculo quadrado do lombo
Rim direito
Costela XII
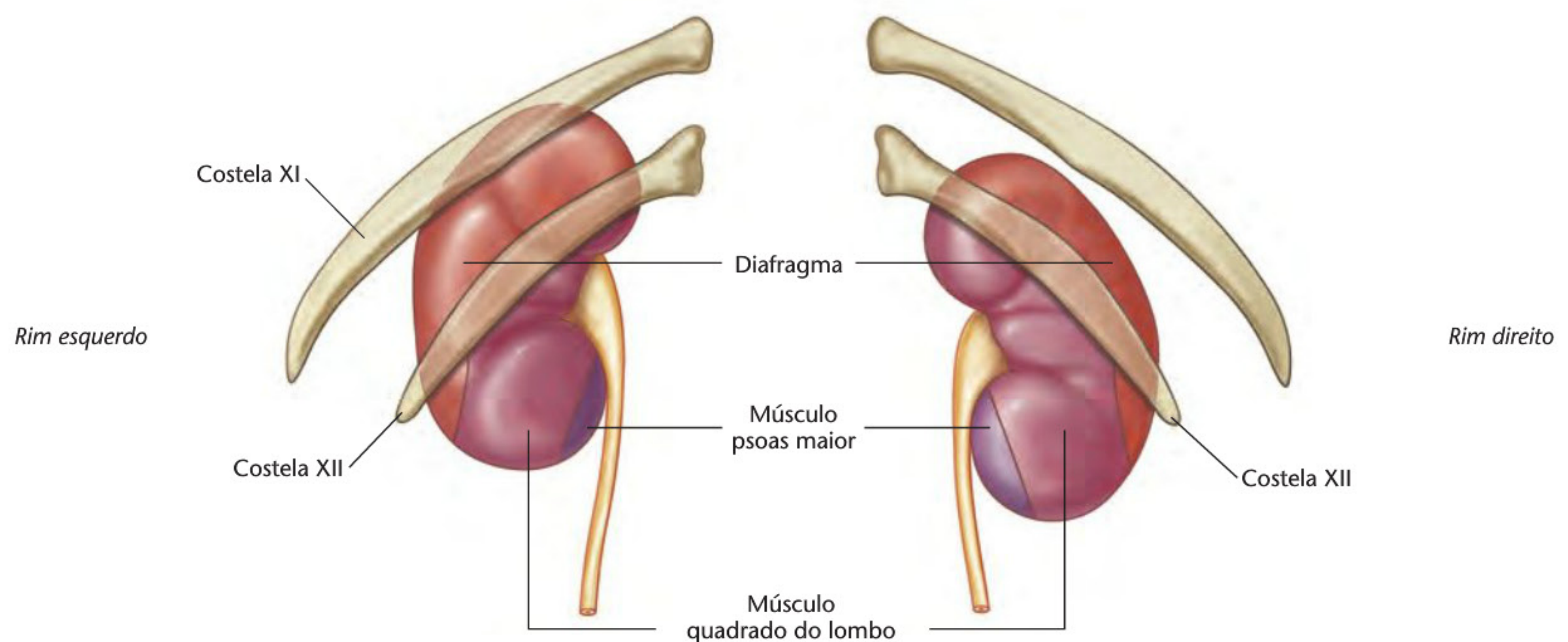
Estruturas relacionadas com a face posterior de cada rim

Rim direito
Glândula supra-renal direita
Fígado
Parte descendente do duodeno
Flexura direita do colo
Intestino delgado
Glândula supra-renal esquerda
Estômago
Baço
Pâncreas
Rim esquerdo
Flexura esquerda do colo
Colo descendente
Jejuno
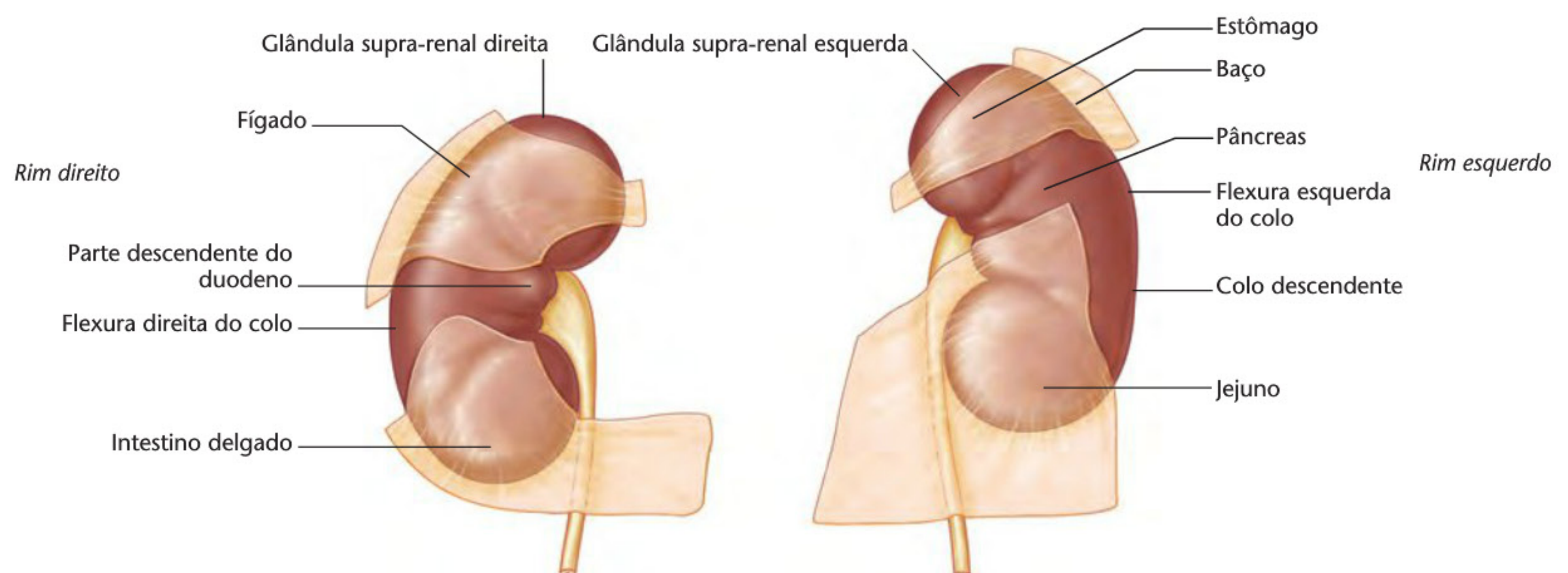
Estruturas relacionadas com a face anterior de cada rim

Pólo superior
Cápsula fibrosa
Margem lateral
Pólo inferior
Margem medial
Artéria renal
Veia renal
Pelve renal
Ureter
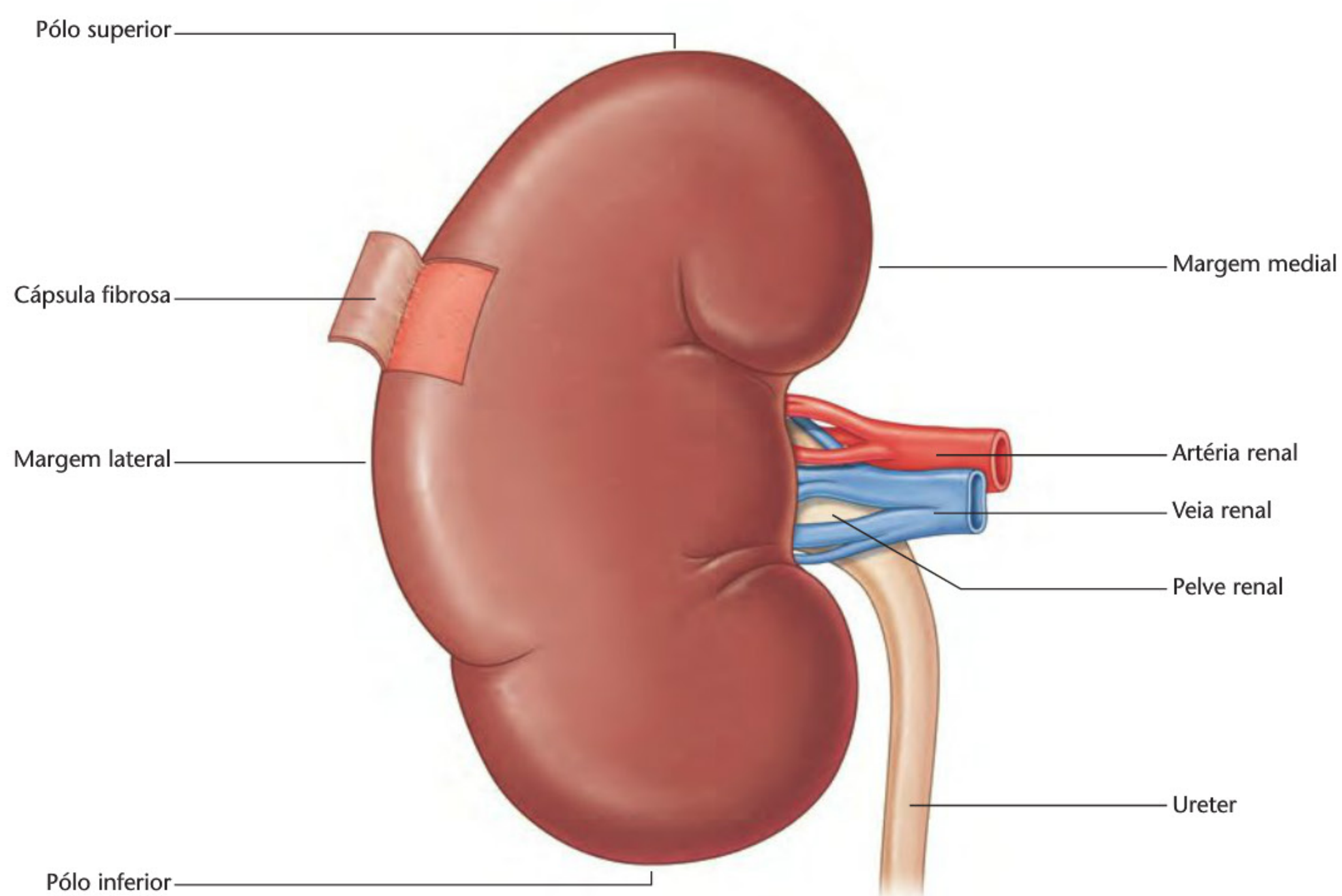
Face anterior do rim direito

Pirâmide renal na medula
Córtex renal
Papila renal
Seio renal
Cálice renal menor
Coluna renal
Cálice renal maior
Seio renal
Hilo renal
Pelve renal
Ureter
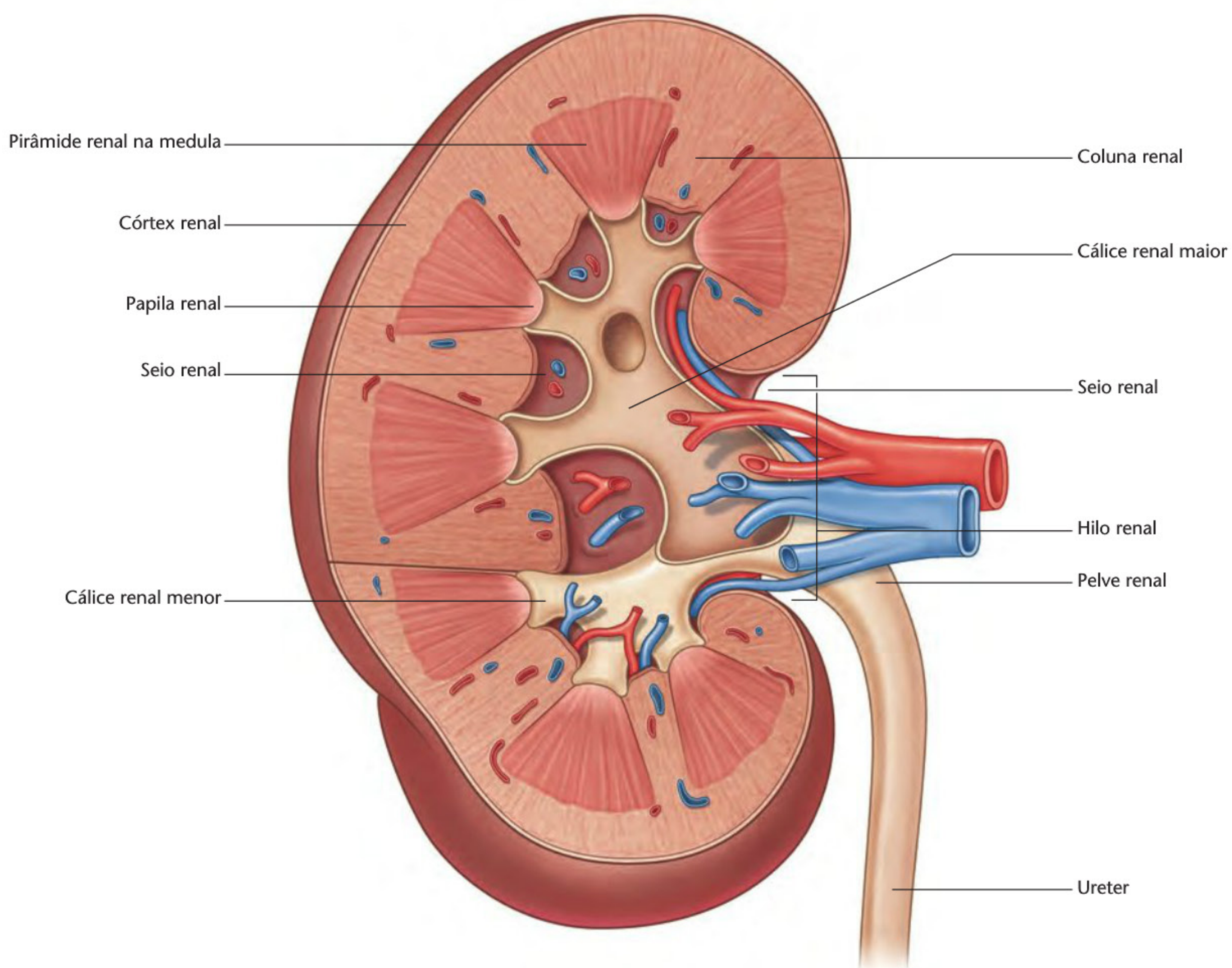
Estrutura interna do rim direito

Fígado
Veia cava inferior
Parte abdominal da aorta
Rim direito
Pelve renal
Músculo psoas maior
Pelve renal
Rim esquerdo

Pelve renal.
Imagem de TC com contraste, no plano transversal (axial)

Fígado
Veia cava inferior
Parte abdominal da aorta
Rim direito
Ureter direito
Músculo psoas maior
Ureter esquerdo
Rim esquerdo
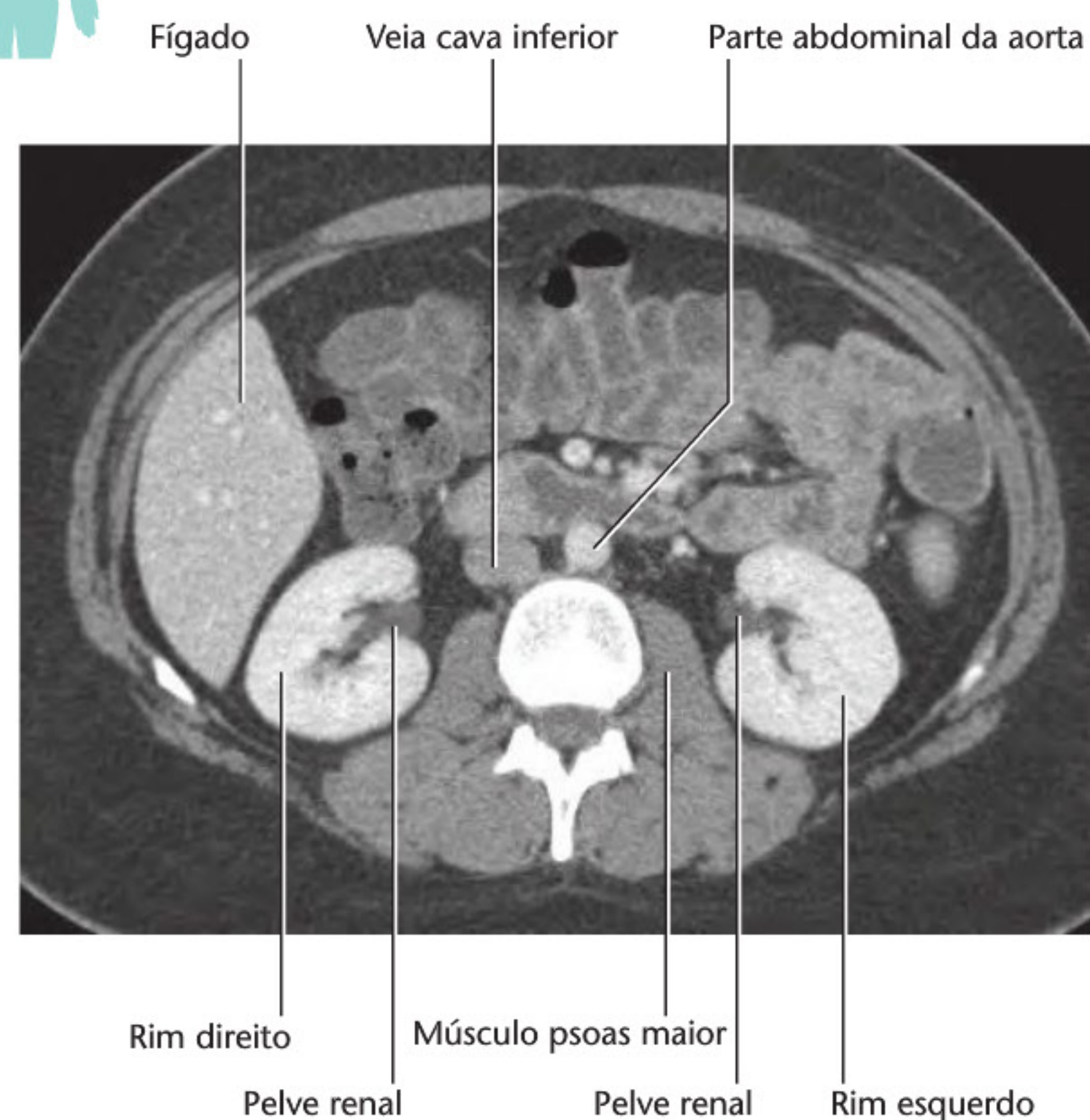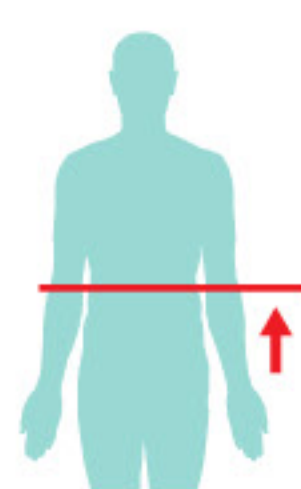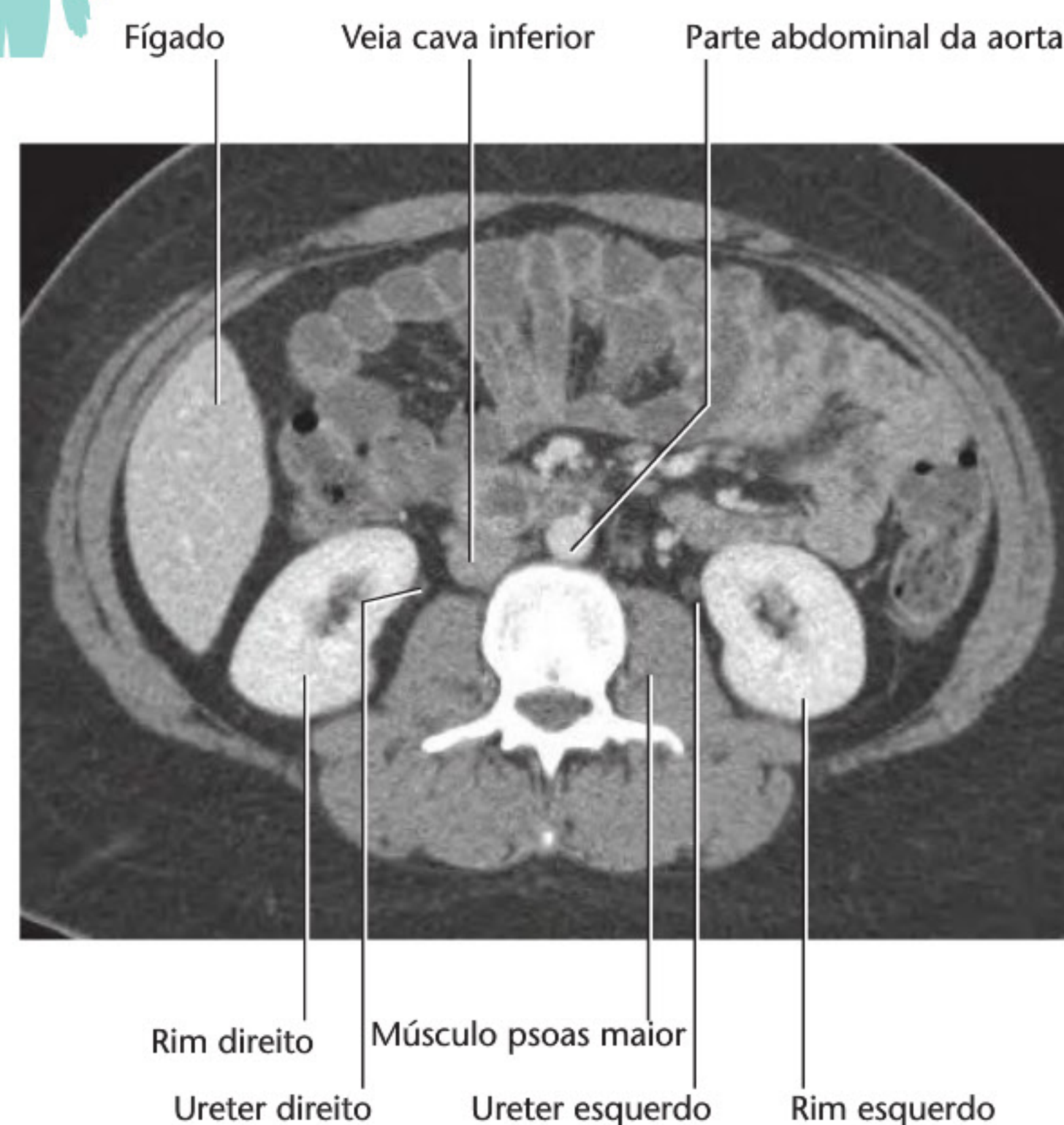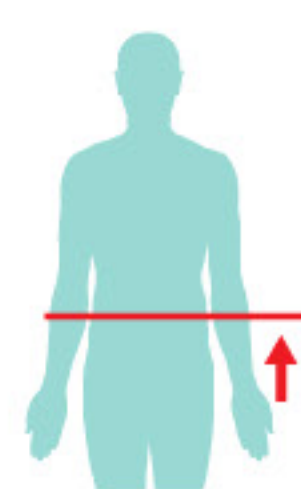
Localização dos ureteres.
Imagem de TC com contraste, no plano transversal (axial)

Fígado
Rim direito
Ureter direito
Bexiga urinária
Baço
Rim esquerdo
Pelve real
Músculo psoas maior
Ureter esquerdo
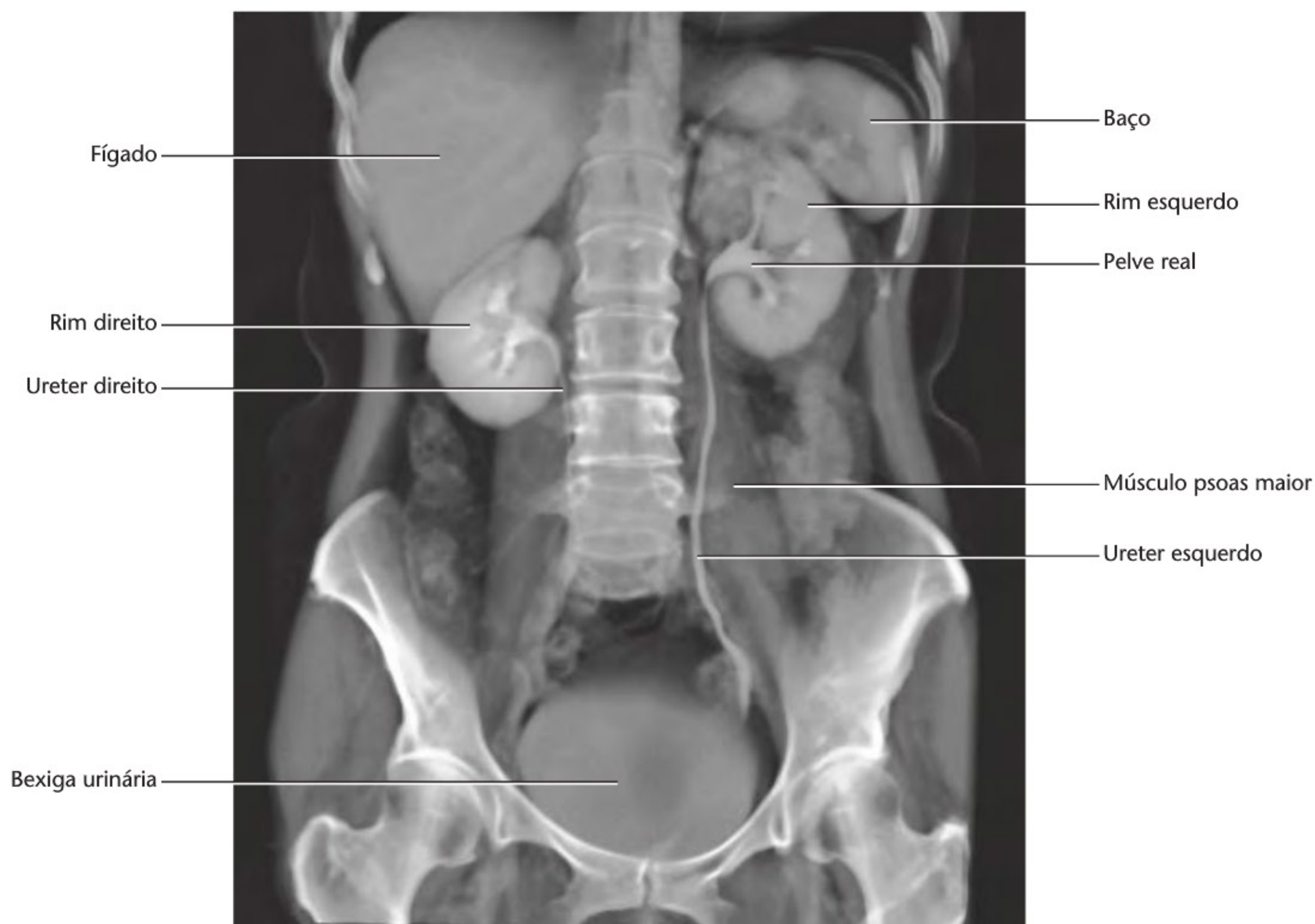
Trajeto do ureter em relação a outras estruturas.
Vista frontal (coronal) de um urograma 3D utilizando tomografia computadorizada, multidetectores

Artérias frênicas inferiores
Artéria supra-renal superior direita
Tronco celíaco
Artérias supra-renais superiores esquerdas
Glândula supra-renal direita
Glândula supra-renal esquerda
Veia supra-renal direita
Artéria supra-renal média esquerda
Artéria supra-renal média direita
Veia supra-renal esquerda
Artéria supra-renal inferior direita
Artéria supra-renal inferior esquerda
Veia renal direita
Artéria renal esquerda
Artéria renal direita
Veia renal esquerda
Artéria mesentérica superior
Rim direito
Rim esquerdo
Veia cava inferior
Parte abdominal da aorta
Artéria mesentérica inferior
Ureter direito
Vasos gonadais direitos
Vasos gonadais esquerdos
Ureter esquerdo
Artéria ilíaca comum direita
Veia ilíaca comum esquerda
Artéria retal superior
Artéria ilíaca interna esquerda
Artéria ilíaca externa direita
Veia ilíaca externa direita
Artéria ilíaca interna direita
Artéria ilíaca externa esquerda
Veia ilíaca externa esquerda
Bexiga urinária

Vascularização dos rins, glândulas supra-renais e ureteres

Fígado
Veia cava inferior
Veia renal direita
Artéria renal direita
Rim direito
Parte abdominal da aorta
Baço
Veia renal esquerda
Artéria renal esquerda
Rim esquerdo

Vascularização renal.
Imagem de TC com contraste, no plano transversal (axial)

Fígado
Artéria renal direita
Rim direito
Vértebra lombar
Bexiga urinária
Estômago
Baço
Parte abdominal da aorta
Artéria renal esquerda
Rim esquerdo
Músculo psoas maior

Artérias renais.
Imagem de TC com contraste, no plano frontal (coronal)

Artéria gástrica esquerda
Artéria hepática comum
Artéria mesentérica superior
Artéria renal direita
Artéria esplênica (lienal)
Tronco celíaco
Artéria renal esquerda
Parte abdominal da aorta
Artéria mesentérica inferior

Artérias renais.
Vista anterior com representação de volume utilizando tomografia computadorizada, multidetectores

Tronco celíaco
Esôfago
Ramo recorrente do esôfago (da artéria frênica inferior esquerda)
Diafragma
Artérias supra-renais superiores direitas
Glândula supra-renal direita
Artéria frênica inferior direita
Artéria supra-renal inferior direita
Artéria supra-renal média direita
Artéria renal direita
Rim direito
Músculo psoas menor
Artéria testicular/ ovárica direita
Músculo psoas maior
Artéria ilíaca comum direita
Artéria circunflexa ilíaca profunda
Artéria iliolombar
Artéria ilíaca interna
Artéria ilíaca externa
Artéria glútea superior
Artéria sacral lateral
Músculo ilíaco
Artéria glútea inferior
Artéria retal média
Artérias supra-renais superiores esquerdas
Artéria supra-renal inferior esquerda
Artéria frênica inferior esquerda
Artéria supra-renal média esquerda
Artéria renal esquerda
Artéria mesentérica superior
Músculo quadrado do lombo
Artéria subcostal
Artéria mesentérica inferior
Artérias lombares
Ramo ilíaco da artéria iliolombar
Artéria sacral mediana
Artéria circunflexa ilíaca profunda
Artéria femoral esquerda

Parte abdominal da aorta e seus ramos

Fígado
Veia cava inferior
Rim direito
Parte abdominal da aorta
Rim esquerdo

Artéria ilíaca comum direita
Veia cava inferior
Vértebra lombar
Artéria ilíaca comum esquerda
Músculo psoas maior

Artéria ilíaca comum direita
Veia ilíaca comum direita
Músculo ilíaco
Articulação sacroilíaca direita
Veia ilíaca comum esquerda
Artéria ilíaca comum esquerda
Músculo psoas maior
Sacro

Parte abdominal da aorta e veia cava inferior.
Imagens de TC com contraste, no plano transversal (axial)

Estômago
Fígado
Baço
Parte abdominal da aorta
Veia cava inferior
Artéria ilíaca comum esquerda
Artéria ilíaca comum direita
Músculo psoas maior
Artéria ilíaca externa direita
Músculo ilíaco
Artéria ilíaca externa esquerda
Bexiga urinária

Estômago
Fígado
Baço
Parte abdominal da aorta
Rim direito
Veia cava inferior
Artéria ilíaca comum esquerda
Veia ilíaca comum esquerda
Músculo psoas maior
Artéria ilíaca externa direita
Artéria ilíaca externa esquerda
Músculo ilíaco
Bexiga urinária

Posicionamento da parte abdominal da aorta e da veia cava inferior em relação a outras estruturas.
Imagens de TC com contraste, no plano frontal (coronal)

Diafragma

Nervo subcostal

Músculo quadrado do lombo

Nervo ilio-hipogástrico

Nervo ilioinguinal

Nervo cutâneo femoral lateral

Fossa ilíaca

Nervo genitofemoral

Nervo obturatório

Tronco lombossacral

Nervo femoral

Ligamento inguinal

Nervo obturatório

LI

LII

LIII

LIV

LV

Nervo subcostal (T12)

Músculo transverso do abdome

Nervo ilio-hipogástrico (L1)

Nervo ilioinguinal (L1)

Nervo genitofemoral (L1,L2)

Músculo psoas maior

Músculo psoas menor

Nervo cutâneo femoral lateral (L2,L3)

Tronco lombossacral (L4,L5)

Ramo genital do nervo genitofemoral

Músculo ilíaco

Ramo femoral do nervo genitofemoral

Nervo femoral (L2-L4)

Nervo obturatório (L2-L4)

Forame obturado

Plexo lombar

T10
T11
T12
Ramo cutâneo lateral do nervo ilio-hipogástrico (L1)
Ramo cutâneo anterior do nervo ilio-hipogástrico (L1)
Nervo ilioinguinal (L1)
Ramo femoral do nervo genitofemoral (L1,L2)
Nervo cutâneo femoral lateral (L2-L3)
Ramo cutâneo do nervo obturatório (L2-L4)
Ramo cutâneo anterior (intermédio) do nervo femoral
Ramo cutâneo anterior (medial) do nervo femoral
Nervo safeno (ramo do nervo femoral)

T12
Nervo genitofemoral (L1,L2)
Nervo ilioinguinal (L1)
Nervo cutâneo femoral lateral (L2-L3)
Nervo obturatório (L2-L4)
Nervo femoral (L2-L4)

Distribuição cutânea dos nervos do plexo lombar

Esôfago

Diafragma

Linfonodos celíacos

Linfonodos mesentéricos superiores

Tronco linfático intestinal

Artéria renal esquerda

Artéria renal direita

Artéria mesentérica superior

Cisterna do quilo

Parte abdominal da aorta

Linfonodos pré-aórticos

Tronco linfático lombar direito com linfonodos aórticos (lombares) laterais

Linfonodos mesentéricos inferiores

Artéria mesentérica inferior

Tronco linfático lombar esquerdo

Veia cava inferior

Músculo psoas maior

Linfonodos ilíacos comuns

Músculo psoas menor

Linfonodos ilíacos externos

Linfonodos ilíacos internos

Artéria ilíaca interna

Artéria ilíaca externa

Reto

Veia ilíaca externa

Bexiga urinária

Vasos linfáticos e linfonodos do abdome

Esôfago

Troncos vagais anterior e posterior

Nervo esplâncnico maior

Nervo esplâncnico menor

Rim direito

Artéria renal direita e plexo

Nervo esplâncnico lombar

Tronco simpático e gânglio

Parte abdominal da aorta

Ureter e plexo

Artéria testicular/ovárica e plexo

Plexo hipogástrico superior

Artéria ilíaca interna

Nervo hipogástrico direito

Artéria ilíaca externa

Plexo hipogástrico inferior

Gânglio celíaco

Nervo esplâncnico imo

Gânglio aorticorrenal

Gânglio mesentérico superior

Plexo aórtico abdominal

Gânglio mesentérico inferior

Nervos esplâncnicos pélvicos (S2,3,4)

Plexos viscerais pré-vertebrais e gânglios com os troncos simpáticos

Gânglios cervicais

Nervos esplâncnicos torácicos (fibras simpáticas e viscerais sensitivas)

Nervo esplâncnico maior

Nervo esplâncnico menor

Nervo esplâncnico imo

Troncos vagais anterior e posterior

Nervo esplâncnico maior

Gânglios torácicos

Nervo esplâncnico menor

Nervo esplâncnico imo

Parte abdominal da aorta

Gânglios lombares

Plexo hipogástrico superior

Nervo hipogástrico direito

Gânglios sacrais

Plexo hipogástrico inferior

Gânglio ímpar

Nervos esplâncnicos lombares (fibras simpáticas e viscerais sensitivas)

Nervos esplâncnicos sacrais (fibras simpáticas e viscerais sensitivas)

Nervos esplâncnicos pélvicos (fibras parassimpáticas e viscerais sensitivas)

Nervos esplâncnicos

Inervação motora visceral para o trato gastrintestinal

Núcleo posterior do nervo vago (motor)
Bulbo (medula oblonga)
Nervo vago direito
Nervo vago esquerdo
Segmentos medulares T5-L2
Fibra pré-ganglionar parassimpática
Fibra pré-ganglionar simpática
Fibra pós-ganglionar simpática
Maior
Menor
Imo
Lombares
Nervos esplâncnicos (simpáticos)
Tronco vagal posterior (parassimpático)
INTESTINO ANTERIOR
Tronco vagal anterior (parassimpático)
Gânglio celíaco
Fígado
Tronco celíaco
Gânglio mesentérico superior
Segmentos medulares S2,3,4
Gânglio aorticorrenal
Baço
Estômago
Artéria mesentérica superior
Plexo aórtico abdominal
INTESTINO MÉDIO
Pâncreas
Gânglio mesentérico inferior
INTESTINO POSTERIOR
Artéria mesentérica inferior
Nervos esplâncnicos sacrais (simpáticos)
Músculo esfincter interno do ânus (músculo liso) inervado pelas fibras parassimpáticas (S2,3,4) (relaxamento) e simpáticas (L1, L2) (contração)
Músculo esfincter externo do ânus (músculo estriado esquelético) inervado pelas fibras motoras somáticas (S2,3,4) do nervo pudendo (não-mostrado)
Nervos esplâncnicos pélvicos (parassimpáticos S2,3,4)
Plexo hipogástrico inferior

C3
C4
C5
T6–T11

Segmentos medulares C3,4,5

Núcleos do trato solitário

Segmentos medulares T(5)6-T11

Bulbo (medula oblonga)

Nervo vago direito

Nervo vago esquerdo

Dor somática referida para outra área somática do mesmo segmento medular

Segmentos medularesT5-L2

Nervos intercostais T(5)6-T11

Maior
Menor
Imo
Lombares

Nervos esplâncnicos

Nervos frênicos C3,4,5

Tronco vagal posterior

Tronco vagal anterior

Fígado

Tronco celíaco

INTESTINO ANTERIOR

Segmentos medulares S2,3,4

"Irritação" do diafragma pelo fígado e vesícula biliar

Baço

Estômago

Artéria mesentérica superior

INTESTINO MÉDIO

Pâncreas

INTESTINO POSTERIOR

Artéria mesentérica inferior

Fibras sensitivas viscerais (acompanham os nervos parassimpáticos)
Fibras sensitivas viscerais (acompanham os nervos simpáticos)
Fibras sensitivas somáticas

As fibras sensitivas viscerais de dor acompanham principalmente os nervos simpáticos de volta para a parte central do sistema nervoso. Outros tipos de fibras sensitivas viscerais (relacionadas a atos reflexos) acompanham principalmente os nervos parassimpáticos

Dor visceral referida para outra área somática inervada pelo mesmo segmento medular

INTESTINO ANTERIOR

INTESTINO MÉDIO

INTESTINO POSTERIOR

Núcleo posterior do nervo vago
Dor dos rins referida para área somática inervada pelo mesmo segmento medular
Bulbo (medula oblonga)
Nervo vago direito
Nervo vago esquerdo
Tronco vagal posterior
Tronco vagal anterior
Segmentos medulares T10-L1
Estômago
Células da medula da glândula supra-renal
Segmentos medulares S2,3,4
Fibra nervosa sensitiva somática
Rim direito
Rim esquerdo
Ureter direito
Ureter esquerdo
Fibra pré-ganglionar simpática
Fibra pós-ganglionar simpática
Fibra pré-ganglionar parassimpática
Fibra pós-ganglionar parassimpática
Fibra sensitiva visceral
Nervos esplâncnicos sacrais (simpáticos)
Nervos esplâncnicos pélvicos (parassimpáticos S2,3,4)

T10
T11
T12
L1

Dermátomos T10-L1

T10
T11
T12
L1

Fibras sensitivas viscerais de dor acompanham principalmente os nervos simpáticos em direção à parte central do sistema nervoso. Essa dor é "referida" pelo SNC para uma área somática inervada pelos mesmos segmentos medulares. Outros tipos de fibras sensitivas viscerais (relacionadas a atos reflexos) acompanham principalmente os nervos parassimpáticos

5
PELVE E PERÍNEO

CONTEÚDO

Umbigo
Espinha ilíaca ântero-superior
Tubérculo púbico
Escroto
Glande do pênis
Espinha ilíaca ântero-superior
Espinha ilíaca ântero-inferior
Ligamento inguinal
Tubérculo púbico
Forame obturado
Ramo do ísquio
Ramo inferior do púbis

Anatomia de superfície com os ossos (vista anterior)

Crista ilíaca
Fossa ilíaca
Espinha ilíaca póstero-superior
Asa do sacro
Espinha ilíaca antero-superior
Promontório do sacro
Forames sacrais anteriores
Sacro
Linha arqueada
Espinha ilíaca ântero-inferior
Espinha isquiática
Cóccix
Acetábulo
Ramo superior do púbis
Ramo do ísquio
Tubérculo púbico
Ramo inferior do púbis
Sínfise púbica
Linha pectínea do púbis
Ângulo subpúbico (50º-60º no homem)

Pelve articulada (vista anterior)

Crista ilíaca
Espinha ilíaca póstero-superior
Espinha ilíaca póstero-inferior
Espinha isquiática
Túber isquiático
Fenda interglútea
"Prega glútea"

Anatomia de superfície com os ossos (vista posterior)

Crista ilíaca
Face glútea do osso ílio
Espinha ilíaca póstero-superior
Processo articular superior
Espinha ilíaca póstero-inferior
Forames sacrais posteriores
Incisura isquiática maior
Sacro
Hiato sacral
Espinha isquiática
Cóccix
Forame obturado
Ramo superior do púbis
Túber isquiático
Ramo do ísquio
Corpo do púbis
Ramo inferior do púbis
Sínfise púbica

Pelve articulada (vista posterior)

Umbigo
Crista ilíaca
Espinha ilíaca ântero-superior
Espinha ilíaca ântero-superior
Espinha ilíaca ântero-inferior
Ligamento inguinal
Tubérculo púbico
Tubérculo púbico
Forame obturado
Ramo do ísquio
Ramo inferior do púbis

Anatomia de superfície com os ossos (vista anterior)

Espinha ilíaca póstero-superior
Crista ilíaca
Asa do sacro
Articulação sacroilíaca
Fossa ilíaca
Promontório do sacro
Espinha ilíaca ântero-superior
Sacro
Forames sacrais anteriores
Espinha ilíaca ântero-inferior
Espinha isquiática
Cóccix
Acetábulo
Ramo superior do púbis
Ramo do ísquio
Ramo inferior do púbis
Sínfise púbica
Tubérculo púbico
Ângulo subpúbico (80°-85° na mulher)

Pelve articulada (vista anterior)

Crista ilíaca
Depressão cutânea no nível da espinha ilíaca póstero-superior
Fenda interglútea
"Prega glútea"
Crista ilíaca
Incisura isquiática maior
Espinha isquiática
Túber isquiático

Anatomia de superfície com os ossos (vista posterior)

Crista ilíaca
Face glútea do osso ílio
Espinha ilíaca póstero-superior
Espinha ilíaca póstero-inferior
Sacro
Hiato sacral
Cornos sacrais
Cóccix
Ramo superior do púbis
Ramo do ísquio
Ramo inferior do púbis
Processo articular superior
Canal sacral
Sínfise púbica
Forames sacrais posteriores
Incisura isquiática maior
Espinha isquiática
Forame obturado
Túber isquiático
Corpo do púbis

Pelve articulada (vista posterior)

Crista ilíaca
Fossa ilíaca
Espinha ilíaca ântero-superior
Linha arqueada do osso ílio
Espinha ilíaca ântero-inferior
Eminência iliopúbica
Linha pectínea do púbis
Ramo superior do púbis
Tubérculo púbico
Canal sacral
Incisura isquiática maior
Espinha isquiática
Incisura isquiática menor
Sacro
Cóccix
Forame obturado
Ramo do ísquio
Ramo inferior do púbis
Sínfise púbica

Cíngulo do membro inferior no homem com o osso do quadril esquerdo removido (vista superior ântero-medial)

Crista ilíaca
Fossa ilíaca
Espinha ilíaca ântero-superior
Canal sacral
Linha arqueada do osso ílio
Incisura isquiática maior
Espinha ilíaca ântero-inferior
Eminência iliopúbica
Espinha isquiática
Linha pectínea do púbis
Incisura isquiática menor
Ramo superior do púbis
Forame obturado
Sacro
Cóccix
Tubérculo púbico
Ramo inferior do púbis
Crista púbica
Corpo do púbis
Sínfise púbica

Cíngulo do membro inferior na mulher com o osso do quadril esquerdo removido (vista superior ântero-medial)

Pelve óssea masculina.
Radiografia, vista ântero-posterior

Pelve óssea feminina.
Radiografia, vista ântero-posterior

Ligamento longitudinal anterior
Corpo vertebral de LV
Ligamento iliolombar
Processo costiforme de LV
Ligamento iliolombar
Disco intervertebral (entre LV e SI)
Espinha ilíaca ântero-superior
Sacro
Ligamento sacroilíaco anterior
Forame isquiático maior
Ligamento sacroespinal
Espinha isquiática
Forame isquiático menor
Ligamento sacrococcígeo anterior
Cóccix
Ligamento sacrotuberal
Forame obturado
Tubérculo púbico
Sínfise púbica

Articulação lombossacral e ligamentos associados (vista ântero-superior)

Articulação entre os processos articulares de LV e SI
Ligamento iliolombar
Corpo vertebral de LV
Ligamento iliolombar
Ligamento supra-espinal
Espinha ilíaca póstero-superior
Ligamento sacroilíaco interósseo
Ligamentos sacroilíacos posteriores
Espinha ilíaca póstero-inferior
Forames sacrais posteriores
Forame isquiático maior
Ligamento sacroespinal
Ligamento sacrococcígeo posterior superficial
Ligamento sacrococcígeo posterior profundo
Forame isquiático menor
Espinha isquiática
Ligamento sacrotuberal
Forame obturado
Túber isquiático
Sínfise púbica

Articulação lombossacral e ligamentos associados (vista posterior)

Corpo vertebral de LV
Ligamento longitudinal anterior
Articulação entre os processos articulares de LV e SI
Disco intervertebral (entre LV e SI)
Ligamento sacroilíaco posterior (seccionado)
Ligamento sacroilíaco interósseo (seccionado)
Ligamento sacroilíaco anterior (seccionado)
Face auricular esquerda
Ligamento inguinal
Forame isquiático maior
Ligamento lacunar
Ligamento sacroespinal
Canal obturatório
Cóccix
Forame isquiático menor
Membrana obturadora
Ligamento sacrotuberal
Túber isquiático
Espinha isquiática

Articulação sacroilíaca e ligamentos associados (vista medial com o osso do quadril esquerdo removido)

Sínfise púbica
Tubérculo púbico
Crista púbica
Ligamento sacrococcígeo anterior
Espinha isquiática
Espinha ilíaca ântero-superior
Cóccix
Linha arqueada do osso ílio
Ligamento sacroespinal
Ligamento longitudinal anterior (seccionado)
Ligamento sacrotuberal
Corpo de SI
Ligamento sacroilíaco anterior
Ligamento sacroilíaco posterior
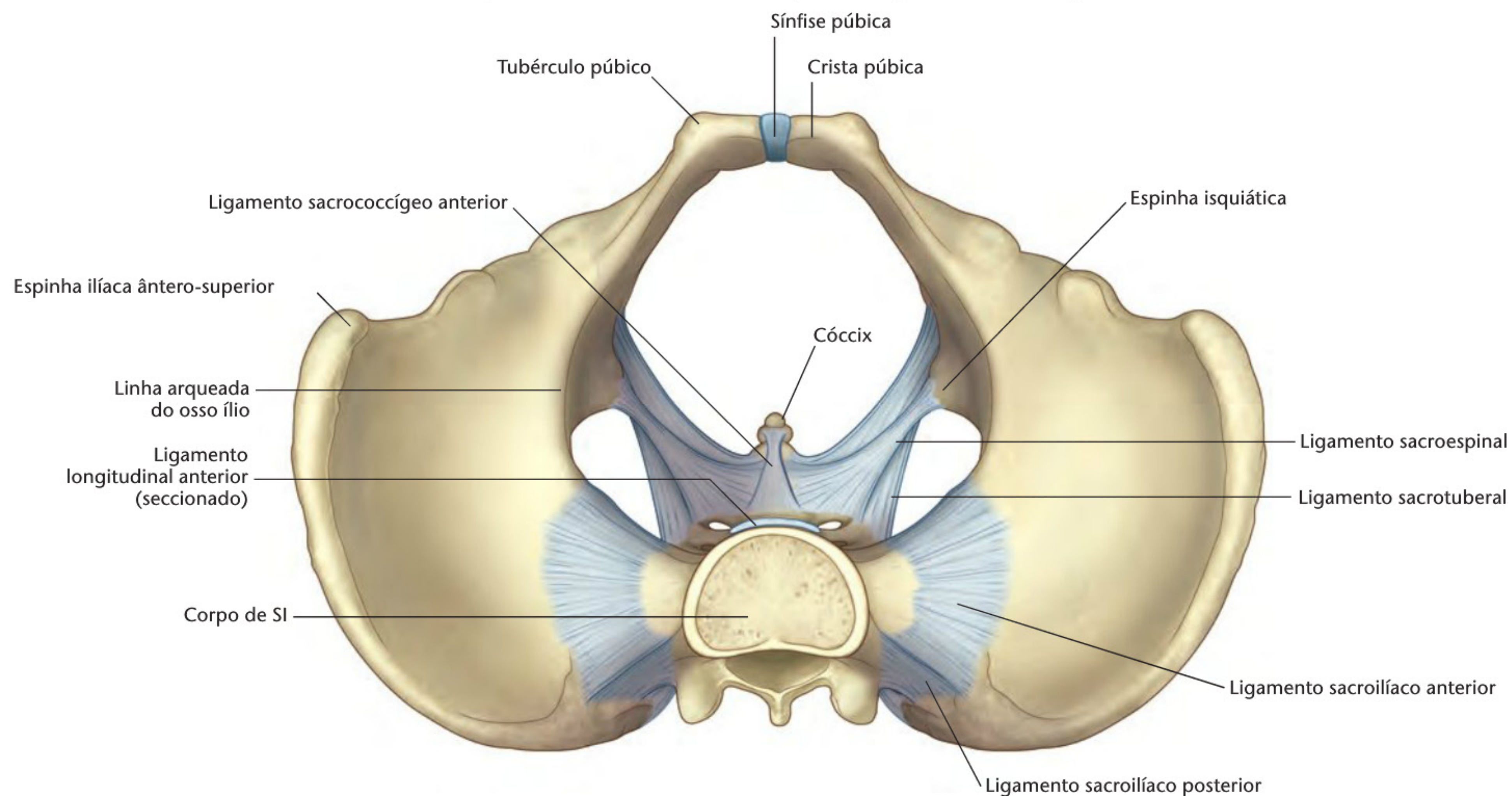
Articulação sacroilíaca (vista superior)

Crista púbica
Tubérculo púbico
Sínfise púbica
Ramo superior do púbis
Linha pectínea do púbis
Espinha ilíaca ântero-inferior
Espinha ilíaca ântero-superior
Eminência iliopúbica
Espinha isquiática
Cóccix
Linha arqueada do ílio
Crista ilíaca
Promontório do sacro
Fossa ilíaca
Asa do sacro
Articulação sacroilíaca
Canal sacral
Espinha ilíaca póstero-superior

Abertura superior da pelve (limites em vermelho; vista superior)

Sínfise púbica
Tubérculo púbico
Ramo isquiopúbico do osso do quadril: Ramo inferior do púbis; Ramo do ísquio
Ramo isquiopúbico do osso do quadril
Forame obturado
Espinha ilíaca ântero-superior
Acetábulo
Face glútea (do ílio)
Túber isquiático
Sacro
Ligamento sacrotuberal
Espinha ilíaca póstero-superior
Cóccix

Abertura inferior da pelve (limites em verde; vista inferior)

Orientação da pelve em posição anatômica (vista lateral)
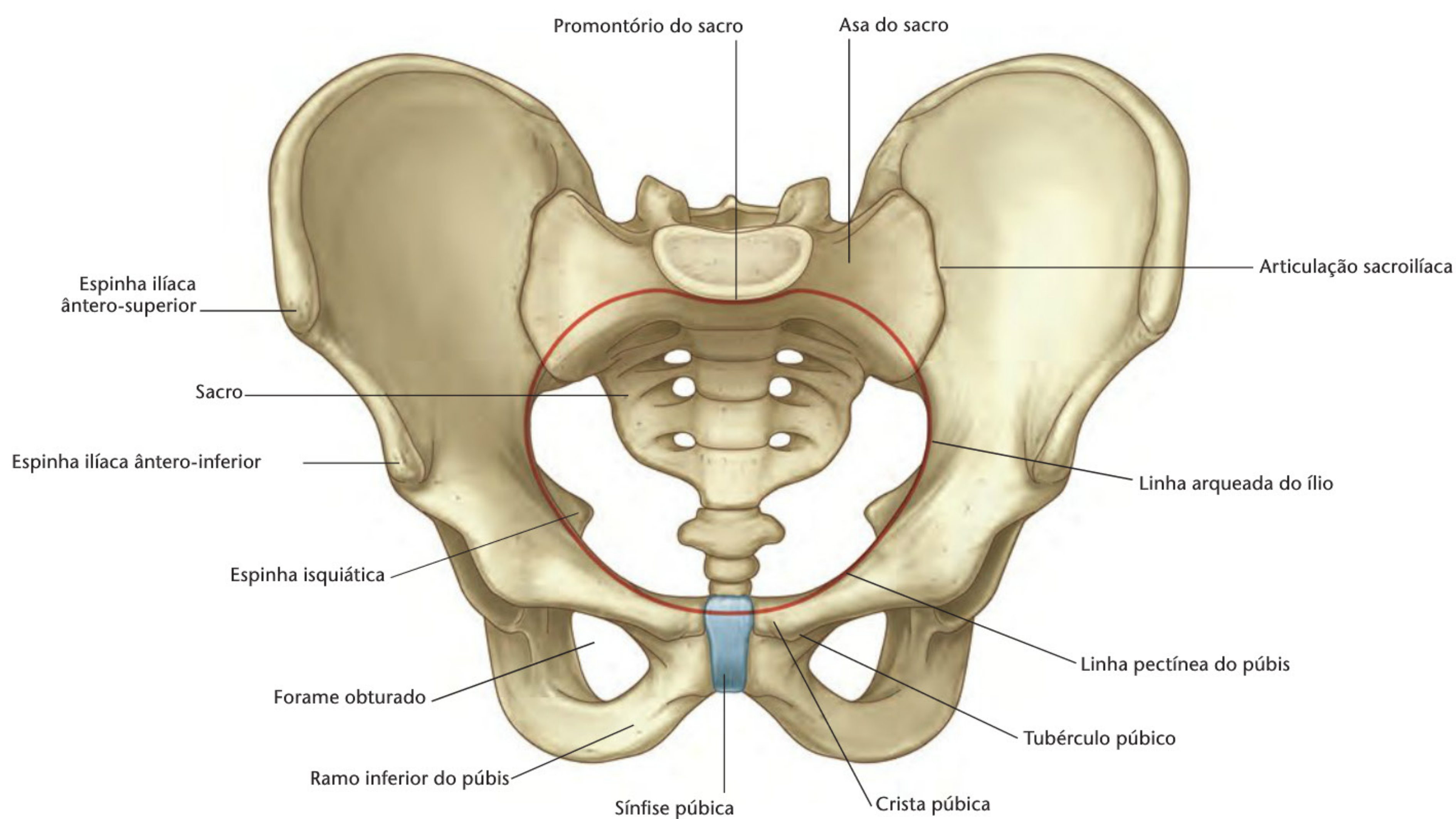
Margem pélvica* (mostrada em vermelho; vista ântero-superior)

* Nota da Revisão Científica: Esta margem corresponde à abertura superior da pelve.

Artéria ilíaca comum
Veia ilíaca comum
Músculo ilíaco
Ureter
Peritônio parietal
Artéria ilíaca externa
Artéria e veia epigástricas inferiores
Veia ilíaca externa
Ducto deferente
Úraco
Bexiga urinária
Sínfise púbica
Espaço retropúbico (pré-vesical)
Ligamento suspensor do pênis
Próstata
Uretra – parte prostática
Uretra – parte membranácea
Uretra – parte esponjosa
Corpo cavernoso
Corpo esponjoso
Glande do pênis
Óstio externo da uretra
Testículo
Músculo esfincter externo da uretra
Bulbo do pênis
Músculo bulboesponjoso
Músculo esfincter interno do ânus
Canal anal
Parte subcutânea do músculo esfincter externo do ânus
Parte superficial do músculo esfincter externo do ânus
Parte profunda do músculo esfincter externo do ânus
Músculo levantador do ânus
Reto
Escavação retovesical
Peritônio visceral
Colo sigmóide
Artéria ilíaca interna
Veia ilíaca interna
Vértebra LV

Vísceras pélvicas e períneo no homem *in situ* (secção sagital)

Bexiga urinária
Plexo venoso prostático
Próstata
Reto
Sínfise púbica
Uretra – parte prostática
Uretra – parte membranácea
Canal anal
Uretra – parte esponjosa
Bulbo do pênis
Corpo cavernoso
Corpo esponjoso
Glande do pênis
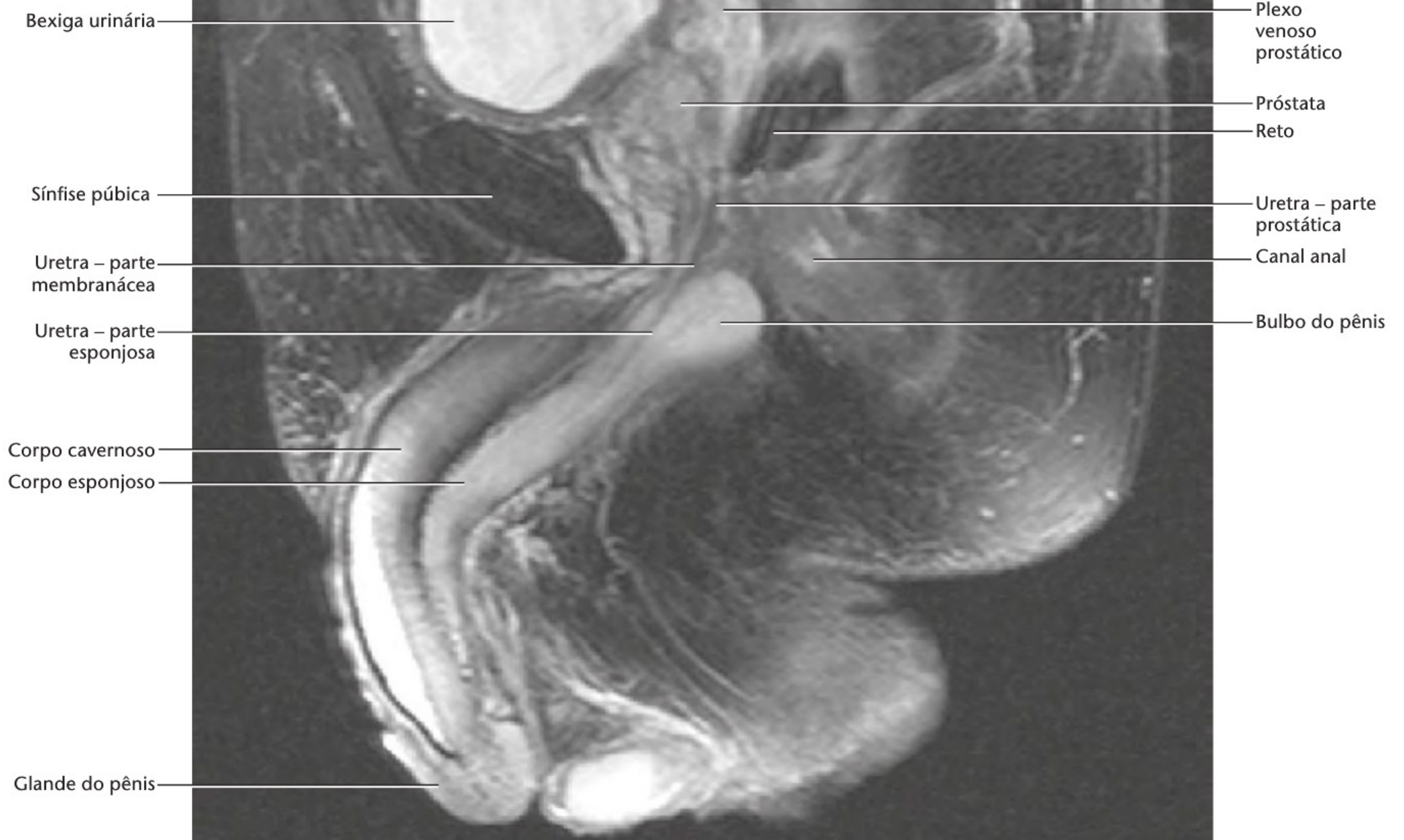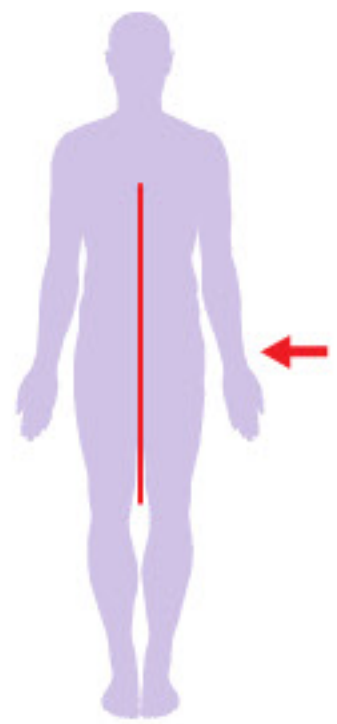
Vísceras pélvicas no homem.
Imagem de RM ponderada em T2, no plano sagital

Artéria ilíaca comum
Veia ilíaca comum
Músculo ilíaco
Ureter
Peritônio parietal
Artéria ilíaca externa
Artéria e veia epigástricas inferiores
Veia ilíaca externa
Ovário
Ligamento redondo do útero
Corpo do útero
Úraco
Bexiga urinária
Sínfise púbica
Uretra
Glande do clitóris
Lábio menor do pudendo
Lábio maior do pudendo
Músculo esfincter externo da uretra
Óstio da vagina
Vértebra LV
Veia ilíaca interna
Artéria ilíaca interna
Ligamento suspensor do ovário
Tuba uterina
Colo sigmóide
Escavação vesicouterina
Prega retouterina
Fórnice posterior da vagina
Escavação retouterina
Colo do útero
Óstio do útero
Músculo levantador do ânus
Reto
Parte profunda do músculo esfincter externo do ânus
Parte superficial do músculo esfincter externo do ânus
Parte subcutânea do músculo esfincter externo do ânus
Músculo esfincter interno do ânus
Canal anal
Vagina

Vísceras pélvicas e períneo na mulher *in situ* (secção sagital)

Promontório do sacro
Vértebra SII
Intestino delgado
Reto
Útero
Bexiga urinária
Vagina
Espaço
retropúbico (pré-vesical)
Uretra
Canal anal
Sínfise púbica

Vísceras pélvicas na mulher.
Imagem de RM ponderada em T2, no plano sagital

Músculos obturador interno e piriforme (vista medial oblíqua do lado direito)

Músculos obturador interno e piriforme (vista posterior)

Crista ilíaca

Articulação sacroilíaca

Espinha ilíaca póstero-superior

Asa do sacro

Espinha ilíaca ântero-superior

Músculo piriforme (atravessando o forame isquiático maior)

Sacro

Espinha isquiática

Fáscia recobrindo o m. obturador interno

Arco tendíneo do m. levantador do ânus

Músculo isquiococcígeo (coccígeo)

Cóccix

Canal obturatório

Músculo puborretal (parte do m. levantador do ânus)

Hiato anorretal

Sínfise púbica

Músculo iliococcígeo (parte do m. levantador do ânus)

Hiato urogenital

M. pubococcígeo (parte do m. levantador do ânus)

Músculos levantador do ânus e isquiococcígeo (vista medial oblíqua do lado direito)

Sínfise púbica
Hiato urogenital
Músculo pubococcígeo (parte do m. levantador do ânus)
Hiato anorretal
Canal obturatório
Músculo obturador interno
Arco tendíneo (do m. levantador do ânus)
Músculo iliococcígeo (parte do m. levantador do ânus)
Corpo anococcígeo
Espinha isquiática
Músculo isquiococcígeo (coccígeo)
Ligamento sacrotuberal
Músculo piriforme
Ligamento sacroespinal
Ligamento sacrococcígeo anterior
Canal sacral
Sacro

Músculos levantador do ânus e isquiococcígeo (vista superior)

Ílio
Intestino delgado
Cartilagem epifisial
Reto
Músculo obturador interno
Ísquio
Diafragma da pelve (músculos levantador do ânus e isquiococcígeo)
Fossa isquioanal
Região anal
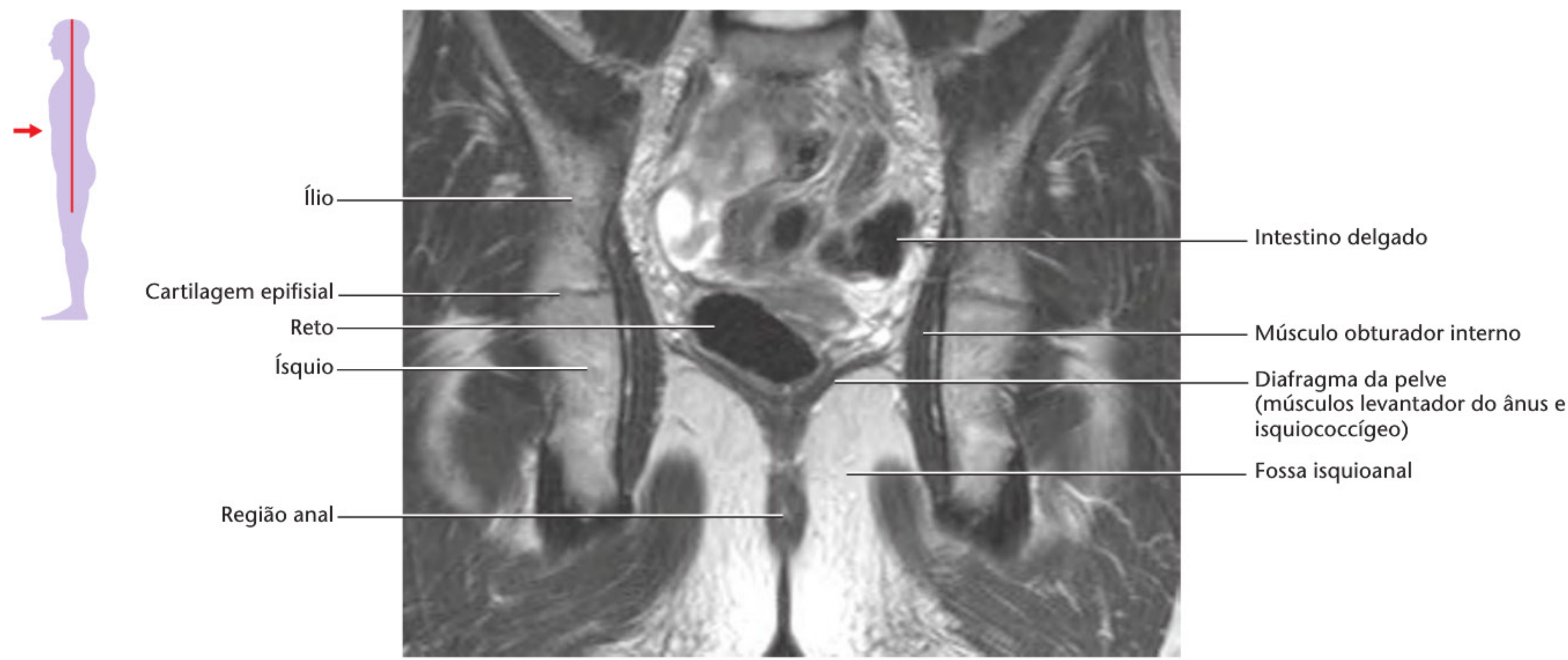
Diafragma da pelve em relação a outras estruturas na cavidade pélvica e no períneo.
Imagem de RM ponderada em T2, no plano frontal (coronal)

Ligamento púbico inferior
Sínfise púbica
Ramo isquiopúbico
Hiato urogenital
Músculo pubococcígeo (parte do m. levantador do ânus)
Túber isquiático
Músculo obturador interno
Espinha isquiática
Músculo puborretal (parte do m. levantador do ânus)
Hiato anorretal
Tendão do músculo obturador interno
Músculo piriforme
Ligamento sacrotuberal
Músculo iliococcígeo (parte do m. levantador do ânus)
Cóccix

Músculo levantador do ânus (vista inferior)

Bexiga urinária
Cabeça do fêmur
Vagina
Músculo obturador interno
Trocanter maior do fêmur
Túber isquiático
Canal do pudendo
Músculo glúteo máximo
Reto

Músculo obturador interno e suas relações com as outras estruturas pélvicas.
Imagem de RM ponderada em T2, no plano transversal (axial)

Colo sigmóide
Fáscia vesical
Óstio do ureter
Trígono da bexiga
Úraco (seccionado)
Reto
Músculo esfincter interno do ânus
Músculo detrusor da bexiga
Canal anal
Parte subcutânea do músculo esfincter externo do ânus
Parte superficial do músculo esfincter externo do ânus
Sínfise púbica
Parte profunda do músculo esfincter externo do ânus
Músculo esfincter interno da uretra
Músculo transverso profundo do períneo
Próstata
Músculo esfincter externo da uretra
Espaço profundo do períneo
Membrana do períneo

Bexiga urinária, próstata e reto no interior da cavidade pélvica no homem (vista medial oblíqua do lado direito)

Útero
Bexiga urinária
Vagina
Reto

Projeção do reto na superfície do corpo na mulher

Sacro
Útero
Reto
Bexiga urinária
Vagina
Sínfise púbica
Uretra
Canal anal

Posição do reto e do canal anal em relação às outras vísceras pélvicas femininas.
Imagem de RM ponderada em T2, no plano sagital.

Artéria ilíaca comum
Margem seccionada do peritônio
Veia ilíaca comum
Camada longitudinal (externa) da túnica muscular do reto
Camada circular (interna) da túnica muscular do reto
Fáscia retal
Túnica mucosa do reto
Ducto deferente
Músculo ilíaco
Ureter
Músculo obturador interno
Arco tendíneo do músculo levantador do ânus
Prega transversa média do reto
Músculo iliococcígeo (parte do músculo levantador do ânus)
Músculo iliococcígeo (parte do m. levantador do ânus)
Bexiga urinária
Músculo obturador interno
Prega transversa inferior do reto
Canal do pudendo com vasos e nervos
Fossa isquioanal
Músculo pubococcígeo (parte do m. levantador do ânus)
Canal do pudendo na fáscia do m. obturador interno
Gordura preenchendo a fossa isquioanal
Músculo puborretal (parte do m. levantador do ânus)
Válvula anal
Plexo venoso retal interno
Músculo esfincter externo do ânus
Cripta anal
Ramo inferior do púbis
Colunas anais
Plexo venoso retal externo
Músculo esfincter interno do ânus
Linha anocutânea (com o sulco interesfinctérico)
Seio anal

Secção frontal (coronal) através do reto e do canal anal (vista posterior)
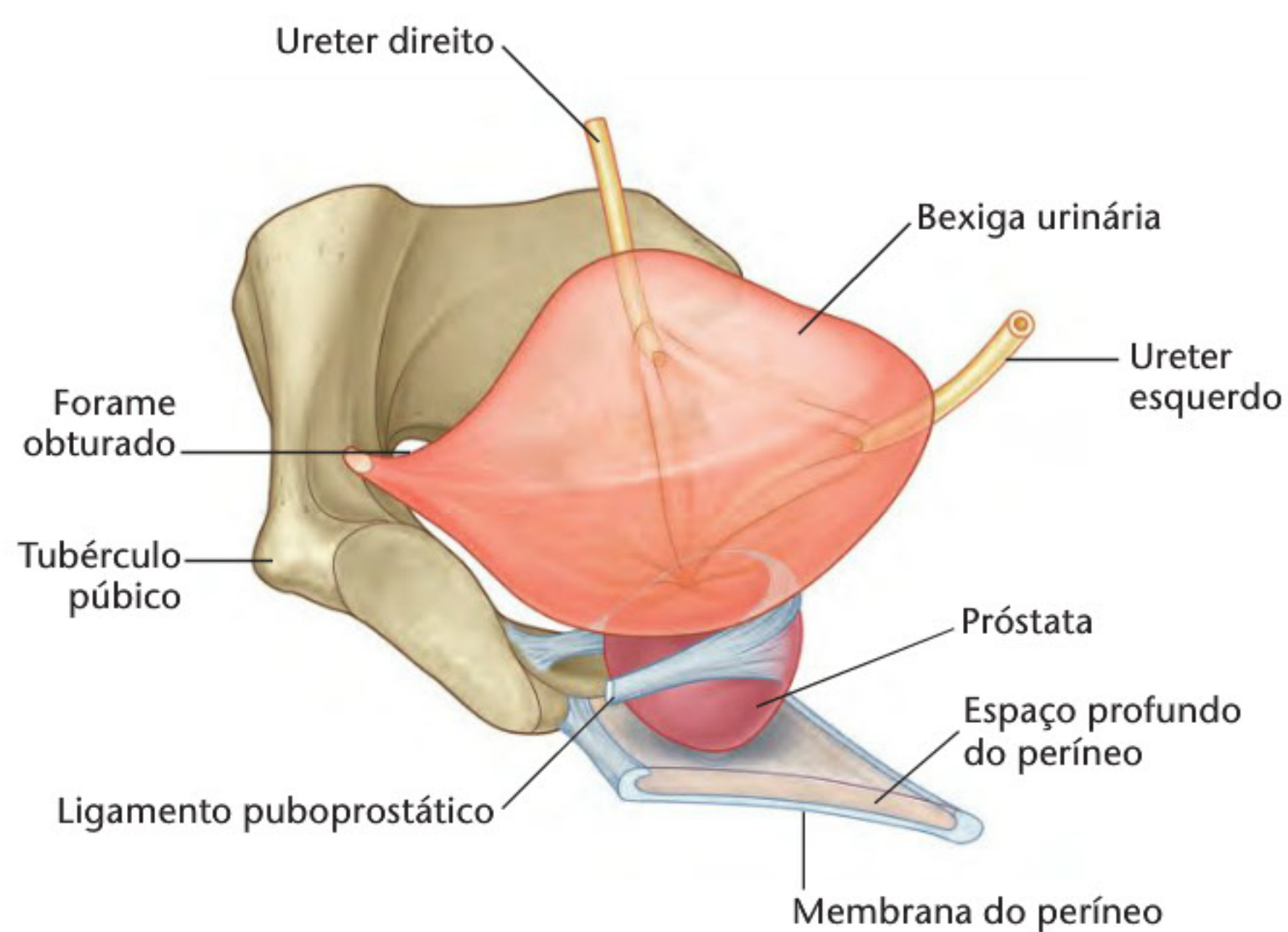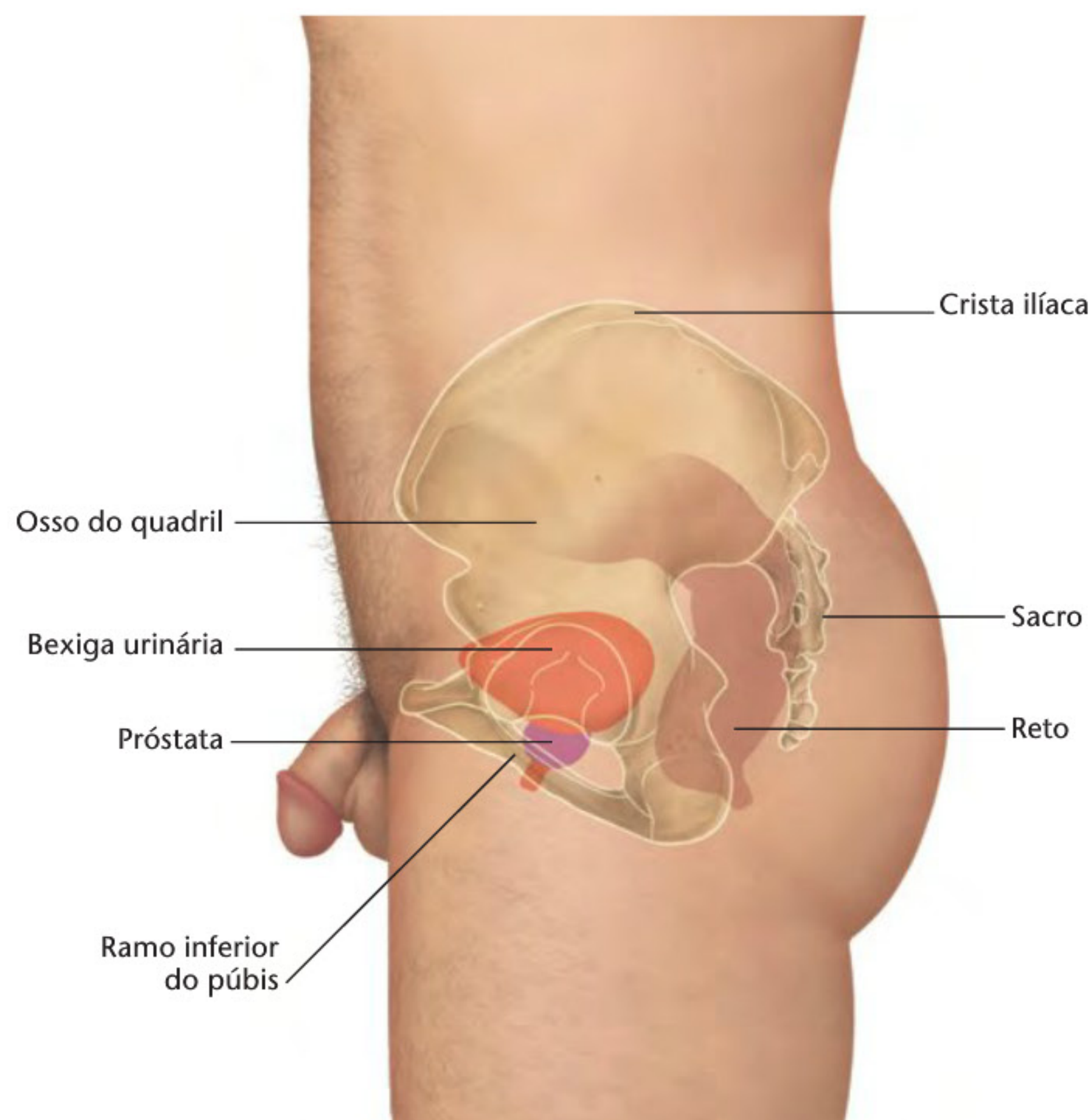
Projeção da bexiga urinária na superfície do corpo no homem (vista lateral)

Ligamento puboprostático
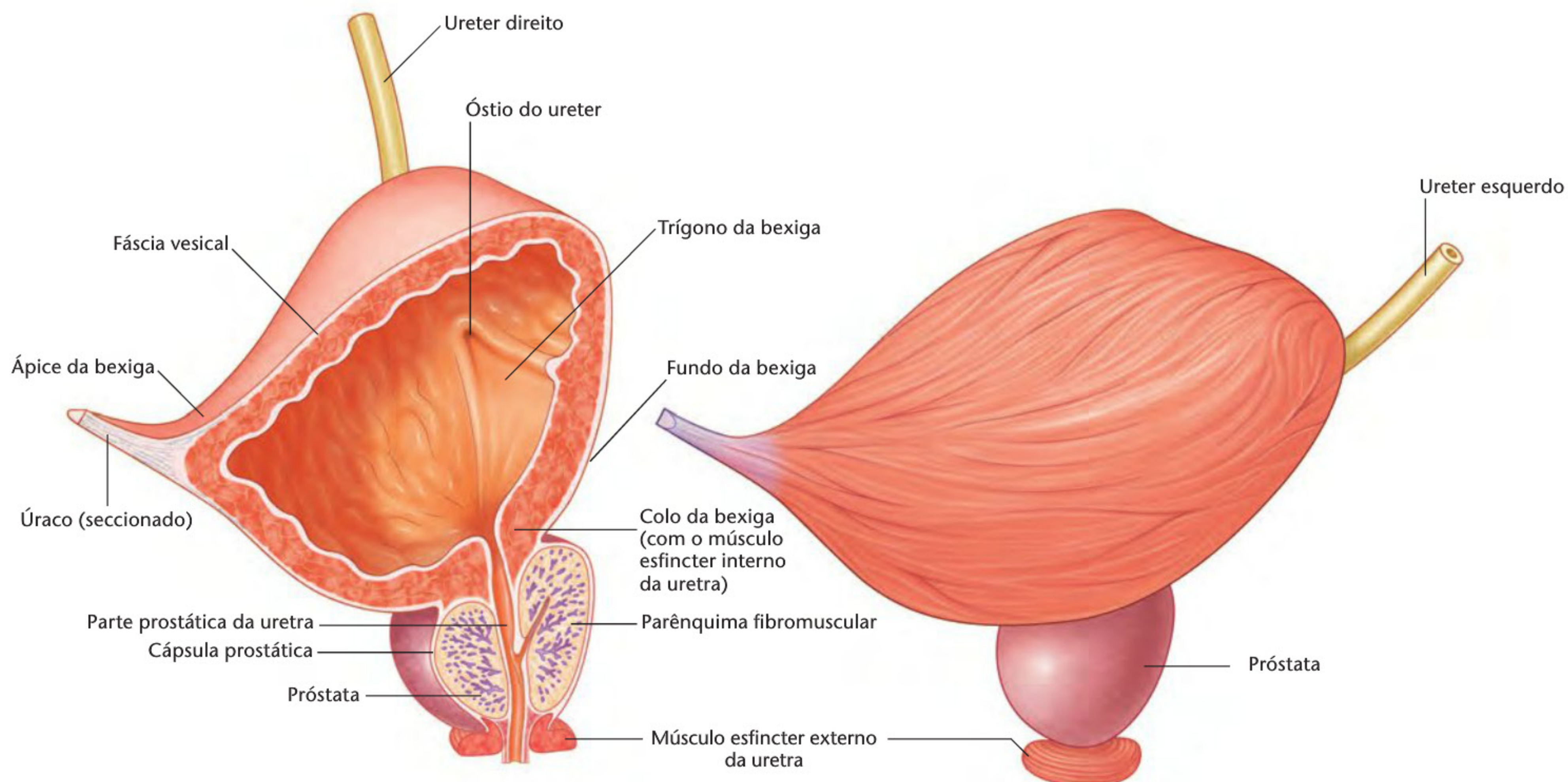
Bexiga urinária no homem

Crista ilíaca
Osso do quadril
Sacro
Útero
Bexiga urinária
Ramo inferior do púbis
Reto
Uretra
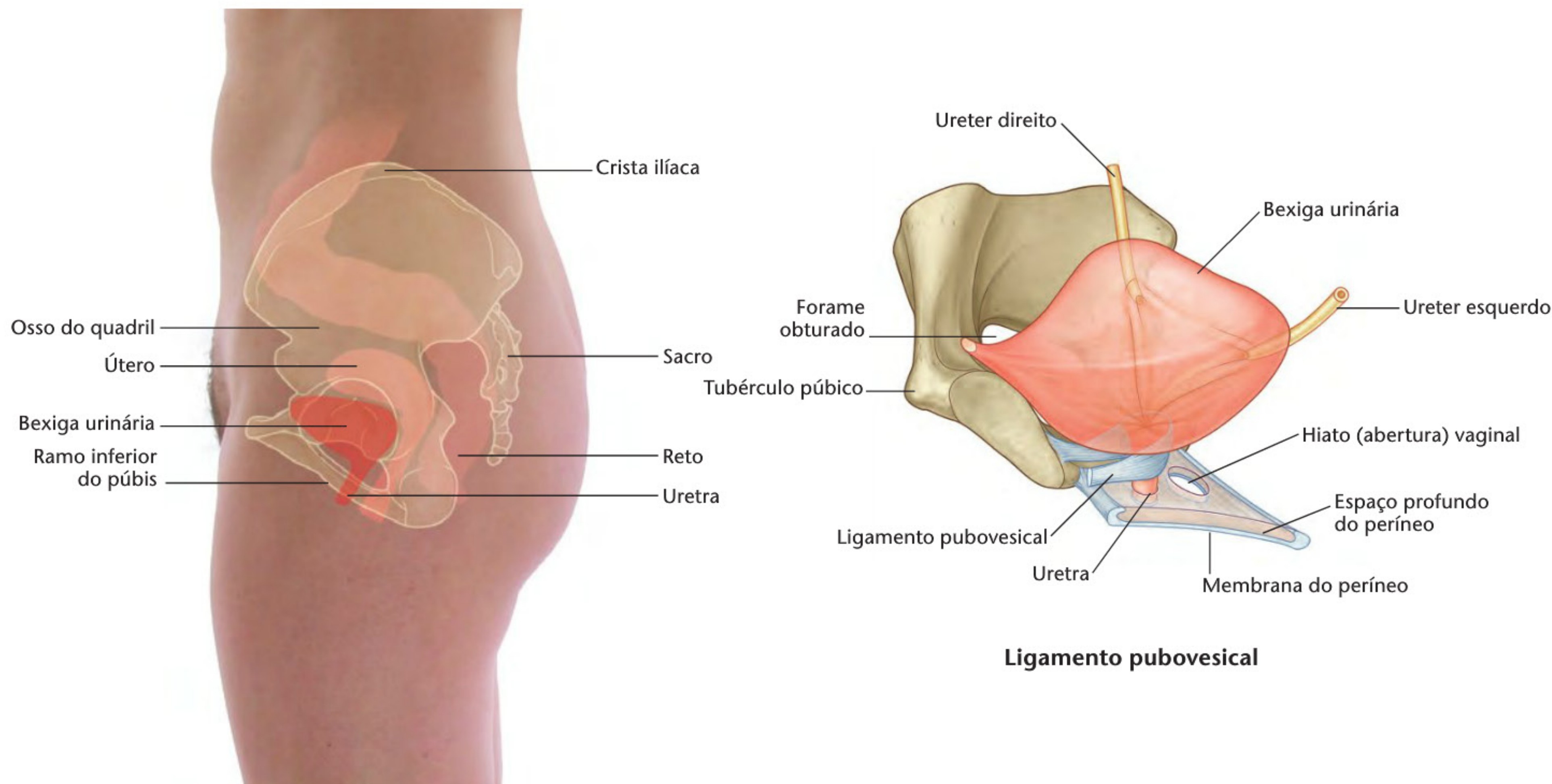
Projeção da bexiga urinária na superfície do corpo na mulher (vista lateral)

Ureter direito
Bexiga urinária
Forame obturado
Ureter esquerdo
Tubérculo púbico
Hiato (abertura) vaginal
Espaço profundo do períneo
Ligamento pubovesical
Uretra
Membrana do períneo

Ligamento pubovesical

Ureter direito
Óstios dos ureteres
Ureter esquerdo
Trígono da bexiga
Prega interuretérica
Uretra
Músculo esfincter externo da uretra
Músculo compressor da uretra
Músculo esfincter uretrovaginal

Bexiga urinária e músculos esfincteres da uretra na mulher (vista anterior da parede posterior)

Útero
Acetábulo
Ílio
Bexiga urinária
Cabeça do fêmur
Colo do fêmur

Aparência e posicionamento da bexiga urinária em relação às outras estruturas na cavidade pélvica da mulher.
Imagem de RM ponderada em T2, no plano frontal (coronal).

Veia cava inferior
Veia ilíaca comum esquerda
Veia iíaca interna direita
Artéria ilíaca interna direita
Ligamento inguinal
Artéria ilíaca externa direita
Artéria epigástrica inferior
Ducto deferente direito
Anel inguinal profundo
Músculo isquiococcígeo (coccígeo)
Ampola do ducto deferente
Veia ilíaca externa direita
Canal inguinal
Ureter esquerdo
Artéria e veia obturatórias
Ducto deferente esquerdo
Anel inguinal superficial
Glândula seminal
Músculo iliococcígeo
Ducto ejaculatório
Músculo pubococcígeo
Funículo espermático
Próstata
Glândula bulbouretral
Músculo transverso profundo do períneo
Espaço profundo do períneo
Corpo esponjoso
Bulbo do pênis
Membrana do períneo
Parte esponjosa da uretra
Túnica dartos
Fáscia superficial do períneo
Cabeça do epidídimo
Corpo cavernoso
Espaço "musculofascial"
Fossa navicular
Túnica vaginal (lâminas parietal e visceral)
Glande do pênis
Músculo cremaster

Sistema genital masculino (vista medial oblíqua do lado direito)

Óstios dos ureteres
Trígono da bexiga
Parte prostática da uretra
Colo da bexiga (com o músculo esfincter interno da uretra)
Músculo levantador do ânus
Parênquima fibromuscular
Plexo venoso prostático
Zona glandular periuretral
Óstios dos dúctulos prostáticos
Seio prostático
Cápsula prostática
Utrículo prostático
Colículo seminal
Óstios dos ductos ejaculatórios
Espaço profundo do períneo
Músculo esfincter externo da uretra
Parte membranácea da uretra
Espaço superficial do períneo
Membrana do períneo
Corpo esponjoso
Bulbo do pênis
Rafe do pênis
Músculo bulboesponjoso

Secção frontal (coronal) através da bexiga urinária e da próstata (vista anterior)

Bexiga urinária
Ílio
Próstata
Reto
Plexo venoso prostático
Cabeça do fêmur
Ísquio
Uretra
Bulbo do pênis
Fêmur
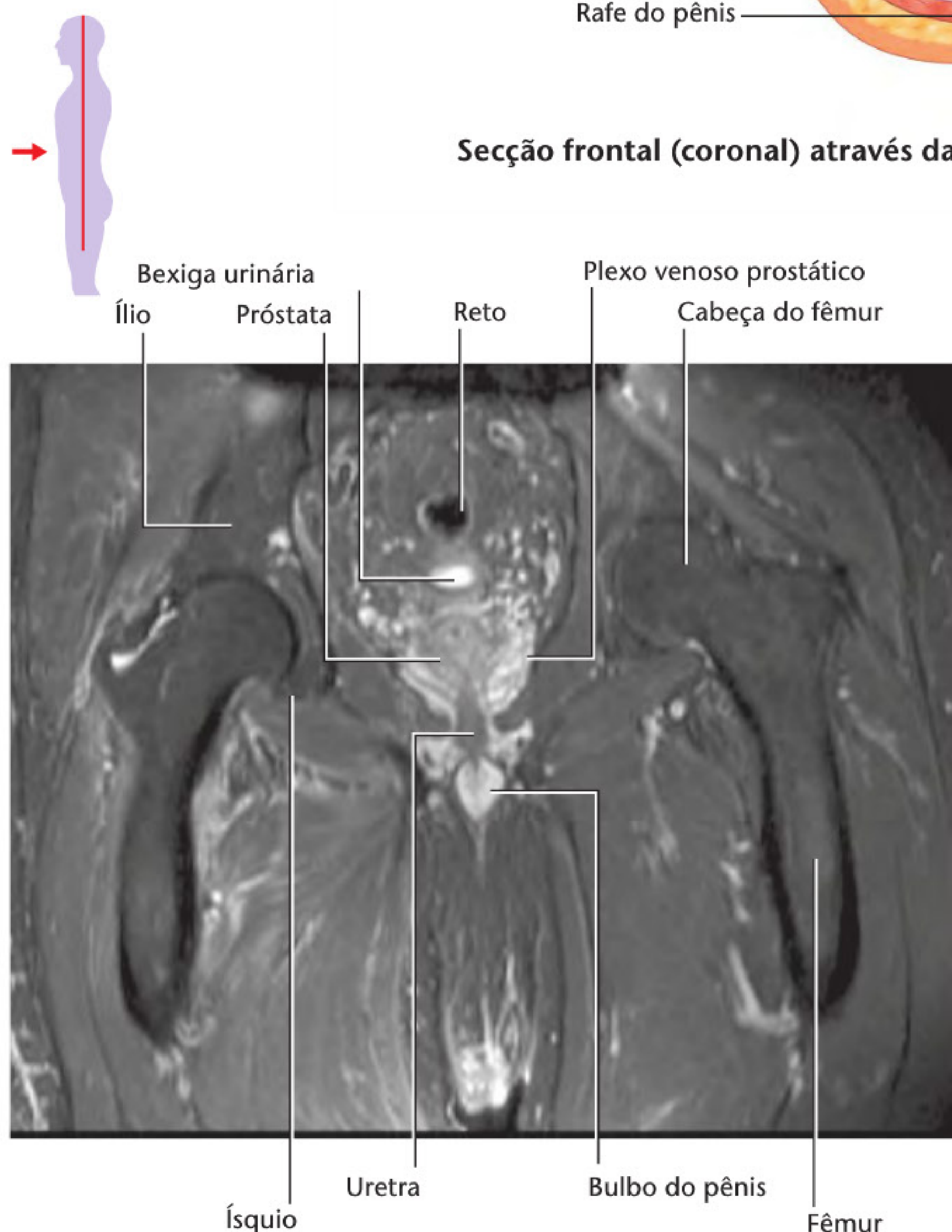
Aparência e posicionamento da bexiga urinária e da próstata em relação às outras estruturas na pelve e no períneo masculino.
Imagem de RM ponderada em T2, no plano frontal (coronal)

Ampola do ducto deferente
Glândula seminal
Ílio
Reto
Cabeça do fêmur
Ísquio
Próstata
Bulbo do pênis
Fêmur
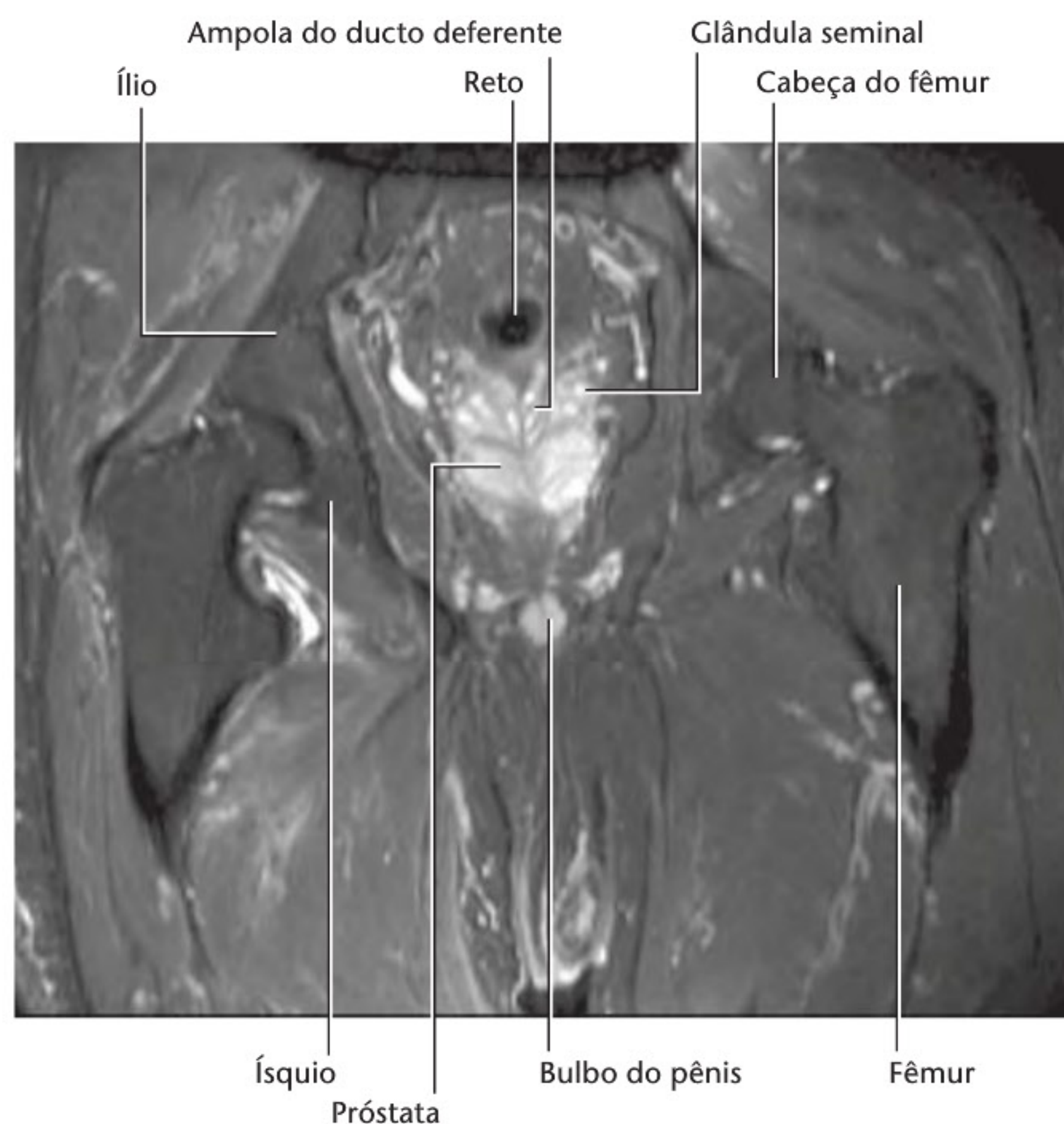
Aparência e posicionamento dos ductos deferentes e das glândulas seminais em relação às outras estruturas na pelve e no períneo masculino.
Imagem de RM ponderada em T2, no plano frontal (coronal)

Ampola do ducto deferente
Glândula seminal
Parte prostática da uretra
Ducto ejaculatório
Zona de transição
Zona central
Zona periférica
Zona anterior (não-glandular)
Área do colículo seminal
Músculo esfincter externo da uretra
Parte esponjosa da uretra
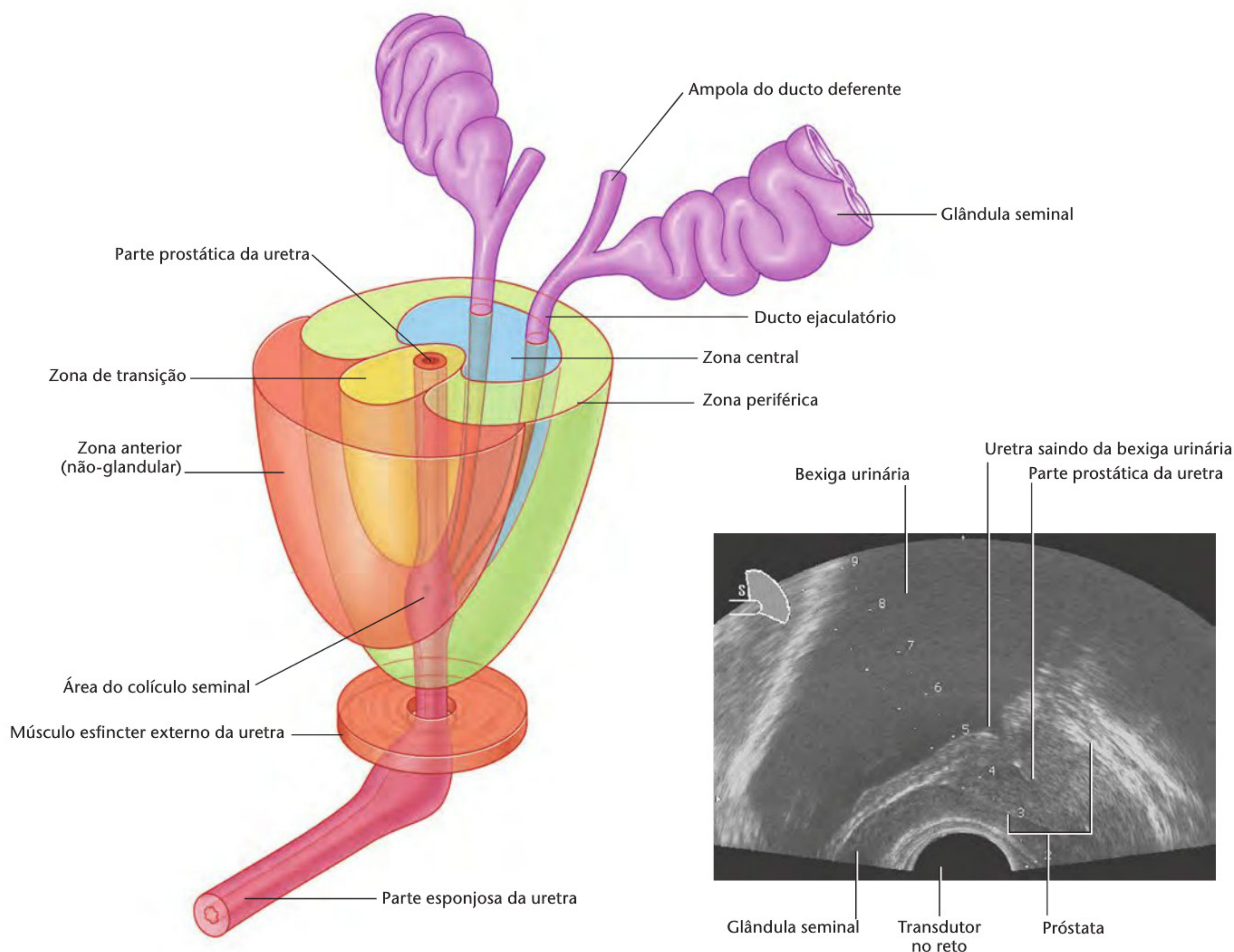
Anatomia zonal da próstata.
A maior parte dos carcinomas origina-se na zona periférica.
A hiperplasia prostática benigna afeta principalmente a zona de transição

Uretra saindo da bexiga urinária
Bexiga urinária
Parte prostática da uretra
Glândula seminal
Transdutor no reto
Próstata

Imagem de ultrassonografia retal da próstata, da bexiga urinária e das glândulas seminais. Vista em secção sagital mostrando também a uretra
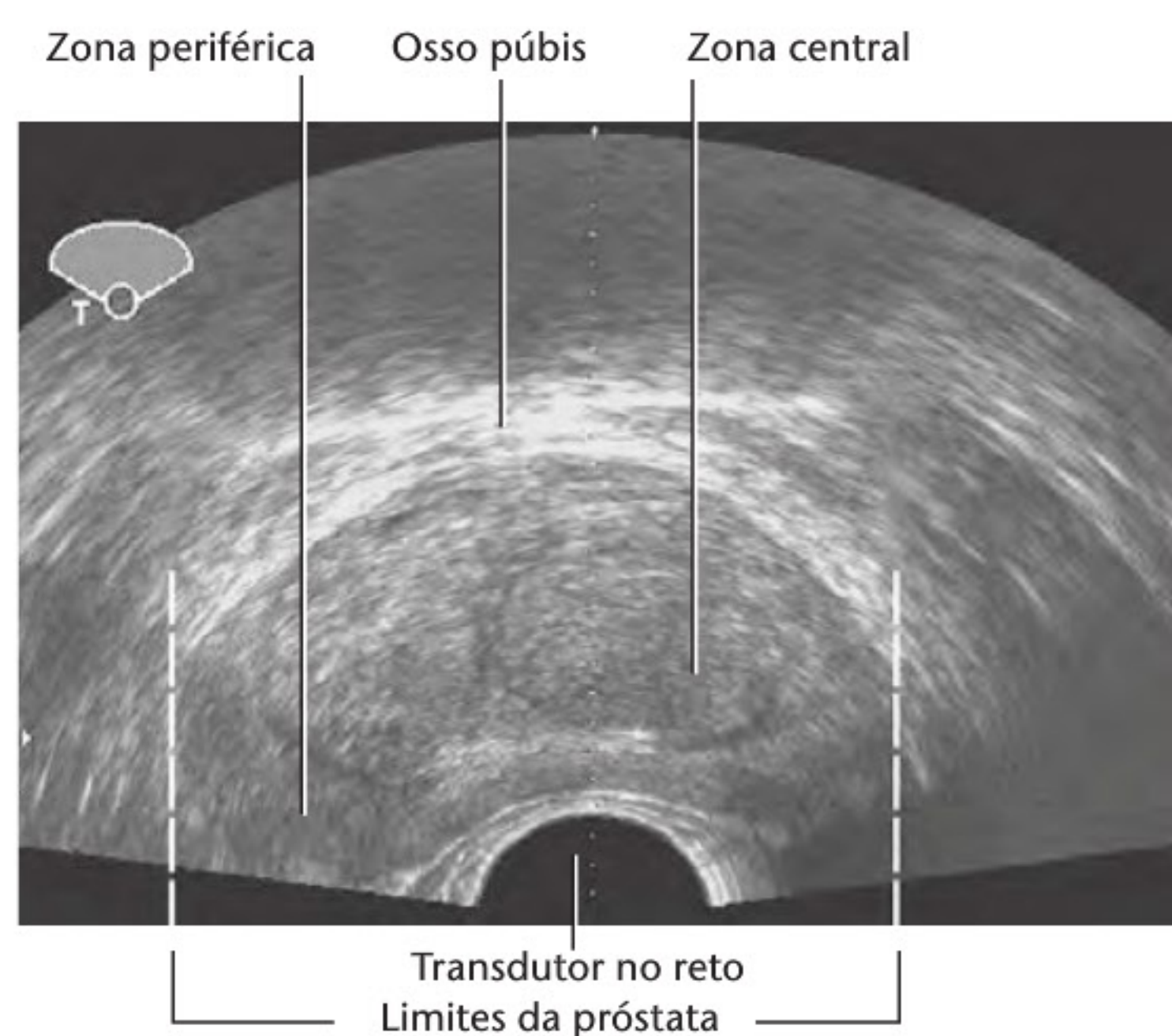
Zona periférica
Osso púbis
Zona central
Transdutor no reto
Limites da próstata

Imagem de ultrassonografia retal da próstata.
Vista em secção transversal mostrando as zonas periférica e central

Plexo venoso prostático
Próstata
Transdutor no reto

Imagem de ultrassonografia retal da próstata.
Vista em secção transversal mostrando o plexo venoso circundante
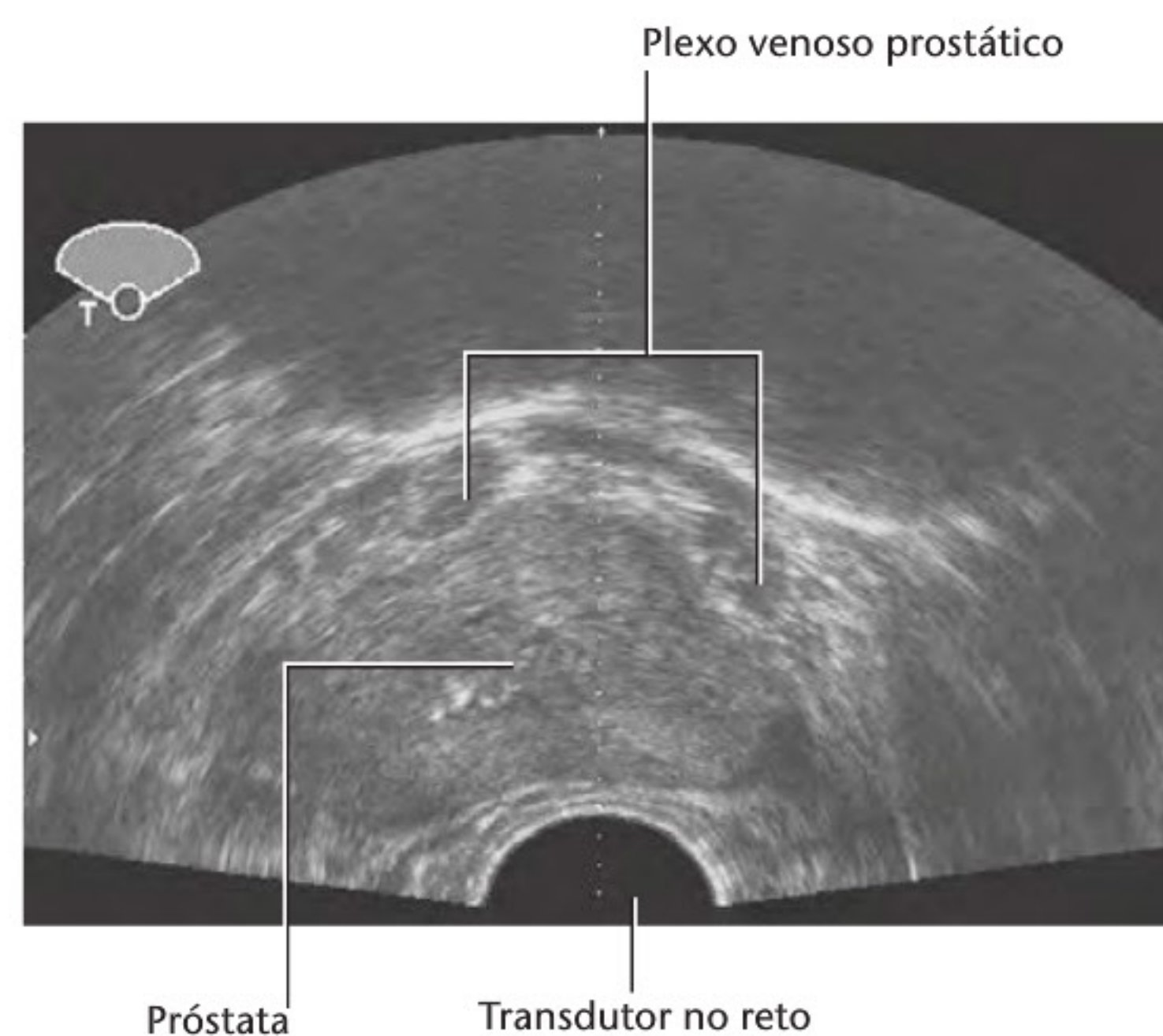
Zona periférica
Zona central
Transdutor no reto
Limites da próstata

Imagem de ultrassonografia retal da próstata. Vista em secção sagital mostrando as zonas periférica e central

Uretra
Próstata
Colículo seminal
Transdutor no reto

Imagem de ultrassonografia retal da próstata. Vista em secção transversal mostrando a uretra e o colículo seminal

Prega vesical transversa
Peritônio
Ureter esquerdo
Bexiga urinária
Ureter direito
Ducto deferente
Ducto deferente
Glândula seminal
Ampola do ducto deferente
Próstata
Início do ducto ejaculatório

Bexiga urinária e próstata (vista posterior)

Tela subcutânea do abdome (estrato membranáceo)
Aponeurose do m. oblíquo externo do abdome
Aponeurose do m. oblíquo interno do abdome
Anel inguinal superficial
Artéria e veia epigástricas superficiais
Nervo ilioinguinal
Artéria femoral
Veia femoral
Ligamento inguinal
Músculo cremaster
Artéria e veia pudendas externas superficiais
Veia safena magna
Ligamento fundiforme do pênis
Artéria e veia pudendas externas profundas
Fáscia do pênis
Veia do bulbo do pênis
Plexo pampiniforme (de veias) e artéria testicular
Veia dorsal profunda do pênis e artérias dorsais do pênis
Ramo genital do nervo genitofemoral
Corpo cavernoso
Ducto deferente
Corpo esponjoso
Lâmina parietal da túnica vaginal
Espaço entre a lâmina visceral e a lâmina parietal da túnica vaginal
Fáscia espermática externa
Músculo cremaster
Apêndice do epidídimo
Túnica dartos
Apêndice do testículo
Pele do escroto
Septo do escroto

Conteúdo do escroto (vista anterior)

Ducto deferente
Túnica dartos
Artéria testicular
Plexo pampiniforme
Corpo do epidídimo
Túnica vaginal
Lâmina parietal
Espaço
Lâmina visceral
Lóbulos do testículo
Fáscia espermática interna
Fáscia espermática externa
Músculo cremaster
Pele do escroto
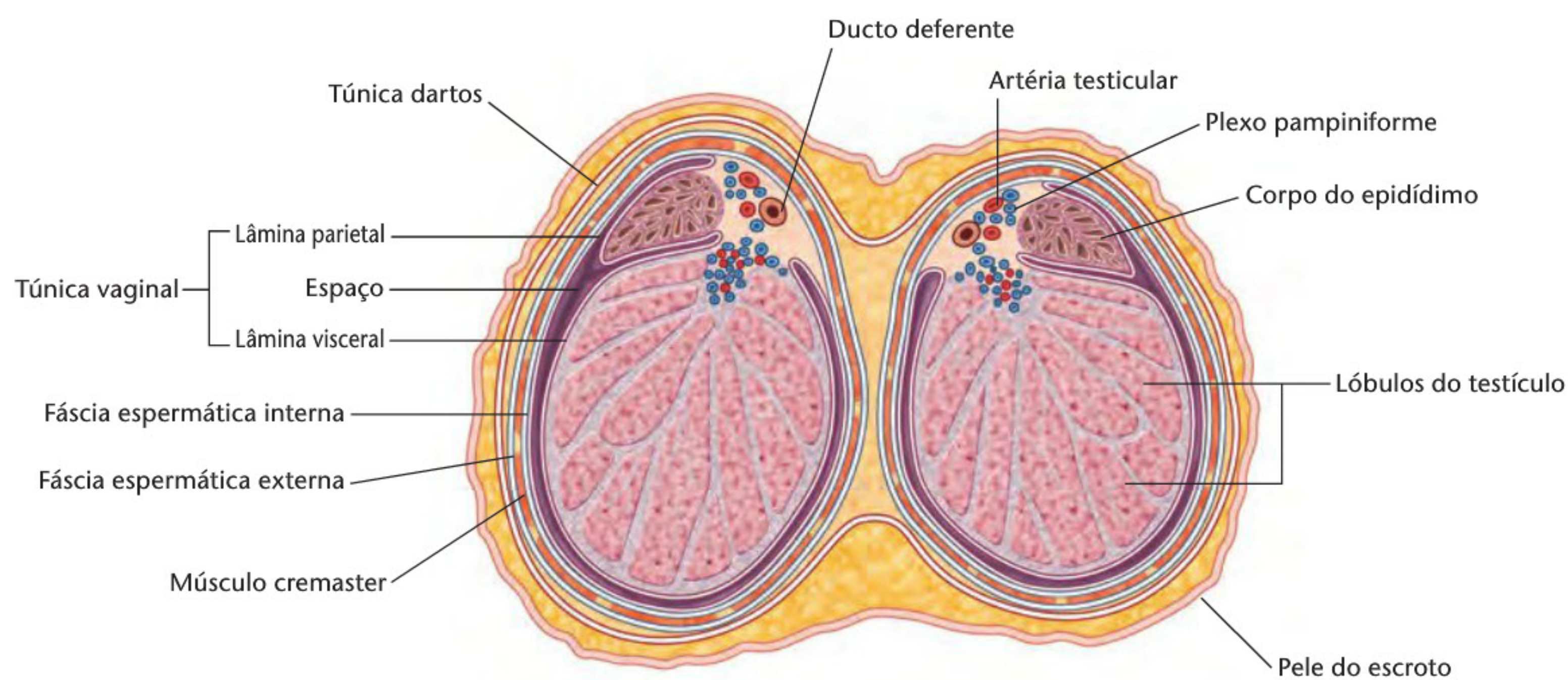
Secção transversal através do escroto e dos testículos

Sínfise púbica
Bexiga urinária
Funículo espermático
Testículo
Pênis
Testículo
Funículo espermático

Sínfise púbica
Bexiga urinária
Vasos femorais
Funículo espermático
Testículo
Pênis
Testículo
Funículo espermático
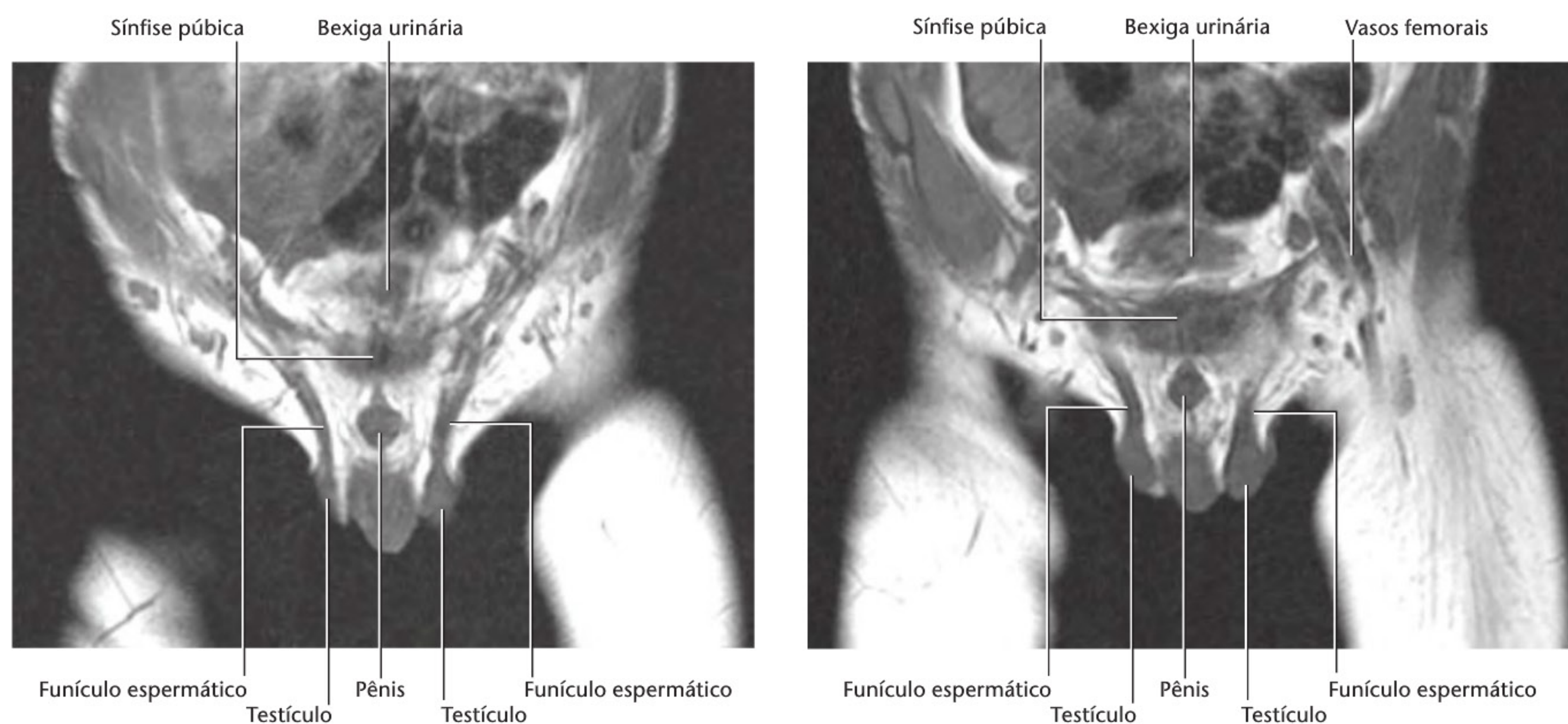
Aparência e posicionamento do funículo espermático em criança.
Imagem de RM ponderada em T1, no plano frontal (coronal)

Ducto deferente (e artéria do ducto deferente)
Ligamento superior do epidídimo
Artéria testicular
Plexo pampiniforme
Túbulos seminíferos contorcidos
Cabeça do epidídimo
Lóbulos do testículo
Dúctulos eferentes do testículo
Rede do testículo no mediastino do testículo
Túnica vaginal
Lâmina parietal
Espaço
Lâmina visceral
Corpo do epidídimo
Séptulos do testículo
Túbulos seminíferos retos
Túnica albugínea
Cauda do epidídimo

Testículo e estruturas circundantes
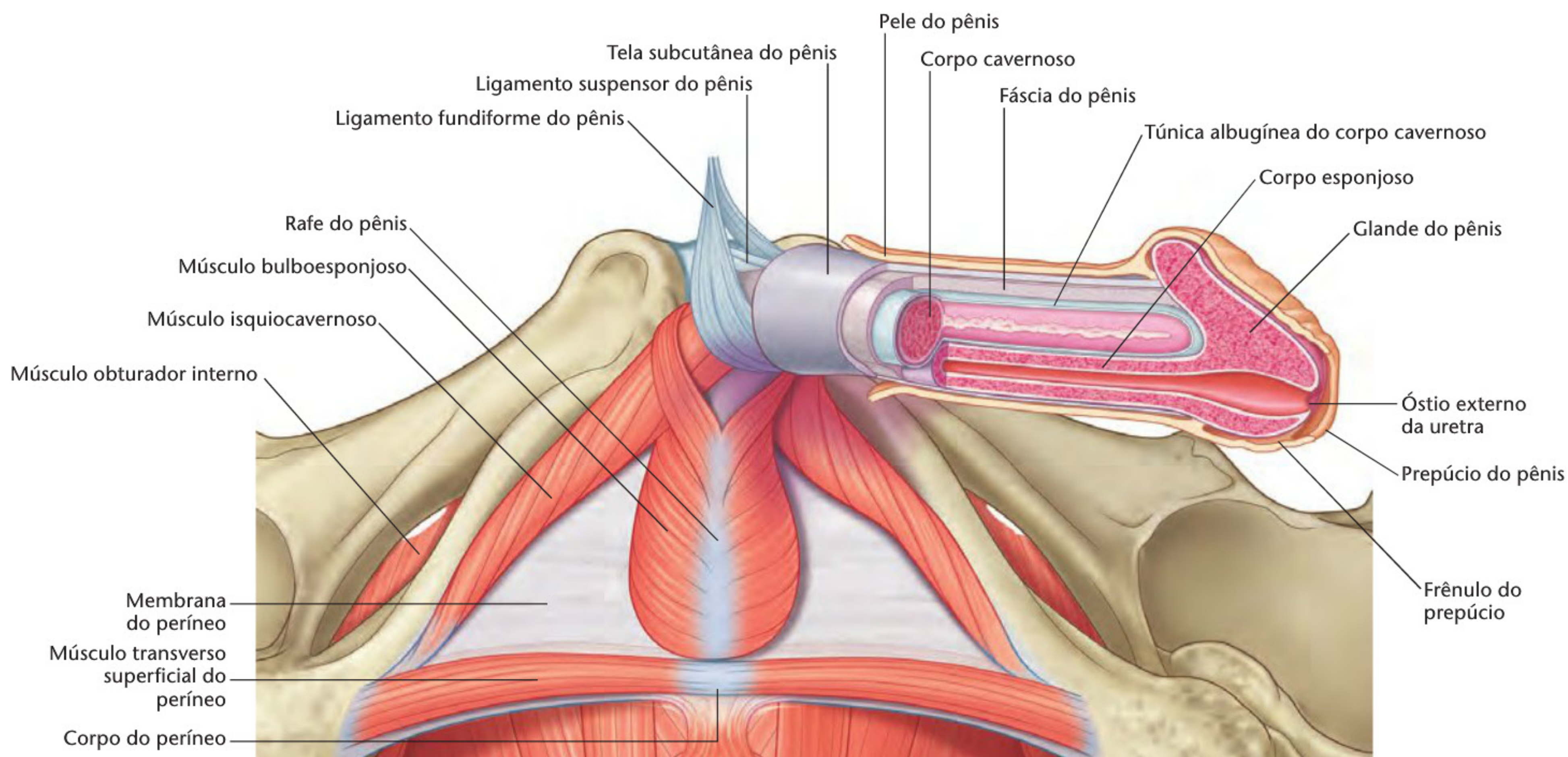
Estrutura do pênis

Estrutura do pênis

“Teto” da parte membranácea da uretra (vista superior de secção longitudinal do pênis)

Músculo piriforme

Músculo isquicoccígeo (coccígeo)

Ovário

Tuba uterina

Ligamento redondo do útero

Corpo do útero

Músculo obturador interno

Ligamento redondo do útero (atravessa o canal inguinal)

Úraco (seccionado)

Bexiga urinária

Sínfise púbica

Uretra

Glande do clitóris

Ramo do clitóris

Bulbo do vestíbulo

Glândula vestibular maior

Membrana do períneo

Espaço profundo do períneo

Vagina

Canal anal

Músculo levantador do ânus

Reto

Óstio do útero

Colo do útero

Fórnice posterior da vagina

Sistema genital feminino (vista medial oblíqua do lado direito)

Ligamento suspensor do ovário
Tuba uterina
Ligamento redondo do útero
Fundo do útero
Tuba uterina
Istmo
Ampola
Parte uterina
Infundíbulo
Pregas tubárias
Fímbrias da tuba uterina
Corpo albicante
Corpo lúteo
Ovário direito
Folículo ovárico
Ligamento útero-ovárico
Corpo do útero
Miométrio
Endométrio
Ovário esquerdo
Ligamento útero-ovárico (próprio do ovário)
Óstio histológico interno do útero
Colo do útero
Canal do colo do útero com pregas palmadas
Porção vaginal do colo
Fórnice lateral da vagina
Óstio do útero
Útero
Vagina
Parede da vagina

Projeção do útero na superfície do corpo

Estrutura do útero e dos ovários (vista posterior)

Tuba uterina
Pregas tubárias
Ligamento suspensor do ovário
Folículo ovárico atrésico
Folículo ovárico secundário
Hilo do ovário
Folículos ováricos primordiais
Folículo ovárico primário
Ligamento útero-ovárico
Superfície epitelial do ovário
Corpo albicante
Túnica albugínea
Regressão do corpo lúteo
Corpo lúteo ativo
Folículo ovárico terciário
Folículo ovárico rompido
Oócito na ovulação
Vasos ováricos
Fímbria da tuba uterina

Estrutura da tuba uterina e do ovário (vista posterior)

Ligamento suspensor do ovário
Mesossalpinge
Fundo do útero
Ligamento útero-ovárico (próprio do ovário)
Ligamento suspensor do ovário
Tuba uterina
Mesossalpinge (parte do ligamento largo do útero)
Ovário esquerdo
Fímbrias da tuba uterina
Ovário direito
Mesovário (parte do ligamento largo do útero)
Mesométrio (parte do ligamento largo do útero)
Ligamento redondo do útero
Margem seccionada do peritônio (mesométrio)
Mesométrio
Ureter direito
Prega uretérica
Ureter esquerdo
Ligamento retouterino
Ligamento retouterino
Escavação retouterina
Colo do útero
Vagina
Parede da vagina

Útero e ligamento largo do útero (vista posterior)

Tuba uterina
Apêndice vesiculoso
Epoóforo
Mesossalpinge
Ligamento útero-ovárico (próprio do ovário)
Óstio abdominal da tuba uterina
Ovário

Tuba uterina e ovário (vista posterior)

A

Bexiga urinária
Colo do útero
Reto
Músculo obturador interno
Cabeça do fêmur
Músculo obturador interno
Túber isquiático
Músculo glúteo máximo

B

Sínfise púbica
Intestino delgado
Cabeça do fêmur
Útero
Ovário direito
Reto
Ovário esquerdo

C

Sínfise púbica
Intestino delgado
Tuba uterina direita
Útero
Reto
Ílio
Tuba uterina esquerda

Aparência do colo do útero, do útero, dos ovários e das tubas uterinas em relação às outras estruturas pélvicas.
Imagem de RM ponderada em T2, no plano transversal (axial)

Veia vesical inferior
Veia retal inferior
Músculo isquiococcígeo (coccígeo)
Veia vesical superior
Músculo iliococcígeo (parte do m. levantador do ânus)
Reto
Sínfise púbica
Próstata
Ligamento puboprostático
Artéria e veia pudendas internas esquerdas
Músculo pubococcígeo (parte do m. levantador do ânus)
Artéria dorsal do pênis, esquerda
Septo retovesical
Fáscia da próstata
Plexo venoso prostático
Veia dorsal profunda do pênis

Fáscia da pelve e estruturas relacionadas no homem

Escavação retouterina
Ligamento retouterino
Ligamento transverso do colo
Colo do útero
Ligamento pubocervical
Escavação vesicouterina
Reto
Bexiga urinária
Músculo levantador do ânus
Canal anal
Vagina
Uretra
Septo retovaginal
Membrana do períneo

Fáscia da pelve e estruturas relacionadas na mulher

Artéria ilíaca comum direita
Artéria circunflexa ilíaca profunda
Músculo ilíaco
Artéria iliolombar
Tronco lombossacral (L4,L5)
Artéria glútea superior
Artérias sacrais laterais
Artéria ilíaca interna
Ramo ascendente da artéria circunflexa ilíaca profunda
Artéria sacral mediana
Artéria ilíaca externa
Veia ilíaca externa
Artéria umbilical (parte patente)
Artéria epigástrica inferior
S1
S2
Músculo piriforme
Veia epigástrica inferior
S3
Artéria vesical superior
Artéria glútea inferior
Ramo púbico da artéria epigástrica inferior
Artéria pudenda interna
S4
Nervo obturatório
Nervo pudendo
Artéria obturatória
Músculo isquiococcígeo (coccígeo)
Artéria retal média
Ligamento umbilical medial
Músculo obturador interno
Artéria retal inferior
Artéria dorsal do pênis/clitóris
Artéria vesical inferior
Músculo iliococcígeo (parte do m. levantador do ânus)
Músculo pubococcígeo (parte do m. levantador do ânus)

Suprimento arterial da pelve
(vista medial do lado direito, em secção sagital)

Veias da pelve (vista medial do lado direito, em secção sagital)

Artéria e veia retais superiores dos vasos mesentéricos inferiores
Artéria iliolombar
Artéria sacral lateral
Artéria glútea superior
Artéria ilíaca interna direita
Ureter direito
Artéria retal média
Observe: artéria uterina cruzando o ureter
Artéria uterina
Artéria umbilical (parte patente)
Artéria vaginal
Artéria obturatória
Artéria vesical superior
Ligamento umbilical medial (parte oclusa da a. umbilical)
Veia iliolombar
Veia sacral lateral
Veia glútea superior
Veia ilíaca interna esquerda
Veia retal média
Ureter esquerdo
Reto
Veia uterina
Veia vesical superior
Veia obturatória
Útero
Bexiga urinária

Vascularização das vísceras pélvicas na mulher (vista superior)

Artéria e veia retais superiores dos vasos mesentéricos inferiores
Artéria iliolombar
Artéria sacral lateral
Artéria glútea superior
Artéria ilíaca interna direita
Ureter direito
Artéria glútea inferior
Artéria retal média
Artéria vesical inferior
Artéria umbilical (parte patente)
Artéria obturatória
Artéria vesical superior
Ligamento umbilical medial (parte oclusa da a. umbilical)
Veia iliolombar
Veia sacral lateral
Veia glútea superior
Veia ilíaca interna esquerda
Veia retal média
Ureter esquerdo
Reto
Veia vesical superior
Veia vesical inferior
Veia obturatória
Ducto deferente
Bexiga urinária

Vascularização das vísceras pélvicas no homem (vista superior)

Mesossalpinge (parte do ligamento largo do útero)
Fundo do útero
Ramo tubário da artéria e veia uterinas
Tuba uterina
Artéria e veia ováricas no ligamento suspensor do ovário
Artéria e veia ováricas
Ovário esquerdo
Ovário direito
Ramo ovárico da artéria e veia uterinas
Ligamento útero-ovárico (próprio do ovário)
Mesométrio (parte do ligamento largo do útero)
Artéria uterina
Margem seccionada do peritônio (mesométrio)
Ureter direito
Artéria uterina
Ureter esquerdo
Veia uterina
Artéria e veia uterinas
Ligamento retouterino
Ligamento retouterino
Colo do útero
Vagina
Artéria vaginal
Parede da vagina

Vasos sanguíneos para o útero (vista posterior)

Coluna vertebral
Artéria ilíaca comum
Cateter
Artéria ilíaca externa
Artéria ilíaca interna
Artéria glútea superior (lesada)
Artéria uterina
Artéria uterina
Artéria glútea inferior

Suprimento sanguíneo para o útero.
Angiografia

Veia cava inferior
Veia ilíaca comum esquerda
Artéria e veia ilíacas internas direitas
Artéria e veia ilíacas externas direitas
Artéria e veia pudendas internas direitas
Músculo obturador interno (revestido por fáscia)
Veia retal média
Veia obturatória
Músculo isquiococcígeo (coccígeo)
Canal obturatório
Músculo iliococcígeo
Plexo venoso vesical
Artéria e veia retais inferiores
Músculo pubococcígeo
Reto
Sínfise púbica
Músculo pubococcígeo
Próstata
Artéria e veia pudendas internas esquerdas
Veia dorsal profunda do pênis
Artéria dorsal do pênis, esquerda
Músculo transverso profundo do períneo
Artéria dorsal do pênis, esquerda
Corpo cavernoso
Membrana do períneo
Corpo esponjoso
Plexo venoso prostático
Ramos escrotais posteriores da artéria pudenda interna e veias escrotais posteriores
Glande do pênis

Drenagem venosa das vísceras pélvicas no homem (vista medial oblíqua do lado direito)

Artéria e veia sacrais medianas
Artéria e veia retais superiores
Veia ilíaca interna direita
Artéria ilíaca interna esquerda
Veia ilíaca comum direita
Artéria ilíaca comum esquerda
Peritônio
Artéria obturatória
Veia obturatória
Veia vesical superior
Artéria umbilical
Comunicação entre os plexos venosos retais interno e externo
Artéria retal média
Veia retal média
Bexiga urinária
Músculo iliococcígeo (parte do m. levantador do ânus)
Veia vesical inferior
Músculo obturador interno
Plexo venoso retal perimuscular
Artéria e veia pudendas internas no canal do pudendo
Veia pudenda interna no canal do pudendo
Músculo pubococcígeo (parte do m. levantador do ânus)
Veia retal inferior
Artéria e veia retais inferiores
Fossa isquioanal
Ramo inferior do púbis
Músculo esfincter externo do ânus
Parte subcutânea do m. esfincter externo do ânus
Plexo venoso retal interno
Músculo esfincter interno do ânus
Plexo venoso retal externo

Vascularização do reto (vista posterior)

Sínfise púbica
Uretra
Vagina
Fêmur
Músculo obturador interno
Canal do pudendo
Canal anal
Túber isquiático
Músculo glúteo máximo
Nervo anal (retal) inferior para a região perianal

Feixe neurovascular retal inferior cruzando a fossa isquioanal.
Imagem de RM ponderada em T2, no plano transversal (axial).

Divisão posterior
Divisão anterior
Ramos anteriores dos nervos espinais
L4
Tronco lombossacral
L5
Nervo glúteo superior
S1
Nervo glúteo inferior
Plexo sacral
S2
Nervo para o músculo piriforme
Nervos esplâncnicos pélvicos (fibras parassimpáticas pré-ganglionares de S2)
Nervo tibial
S3
Nervo isquiático
Nervo fibular comum
Nervo cutâneo perfurante
S4
Nervo para os músculos levantador do ânus, isquiococcígeo e esfincter externo do ânus
Plexo coccígeo
Nervo para os músculos quadrado femoral e gêmeo inferior
S5
Nervo para os músculos obturador interno e gêmeo superior
Co
Nervo cutâneo femoral posterior
Nervo anococcígeo
Nervos esplâncnicos pélvicos (fibras parassimpáticas pré-ganglionares de S3-S4)
Nervo pudendo

Componentes e ramos dos plexos sacral e coccígeo

L4
Tronco lombossacral
L5
S1
Nervo para o músculo piriforme
S2
Nervo glúteo superior
S3
Nervo glúteo inferior
Nervos esplâncnicos pélvicos (fibras parassimpáticas pré-ganglionares de S2 a S4)
Nervo cutâneo perfurante
S4
Nervo isquiático
Nervo para os músculos obturador interno e gêmeo superior
Nervo pudendo
Plexo coccígeo
Nervo obturatório (do plexo lombar)
Nervo anococcígeo
Nervo para os músculos quadrado femoral e gêmeo inferior
Nervo para os músculos isquiococcígeo, levantador do ânus e esfincter externo do ânus
Nervo cutâneo femoral posterior

Plexos sacral e coccígeo no interior da cavidade pélvica (vista medial do lado direito, em secção sagital)

Plexo aórtico abdominal (pré-vertebral)
Aorta – parte abdominal
Tronco simpático lombar direito
Tronco simpático lombar esquerdo
Artéria ilíaca comum direita
Artéria ilíaca comum esquerda
Plexo hipogástrico superior
Ramo comunicante cinzento
Nervo hipogástrico direito
Tronco lombossacral
Nervos esplâncnicos sacrais para o plexo hipogástrico inferior (fibras simpáticas pós-ganglionares)
Nervo hipogástrico esquerdo
Nervo glúteo superior
Forame isquiático maior
Nervo glúteo superior
Nervos esplâncnicos sacrais para o plexo hipogástrico inferior (fibras simpáticas pós-ganglionares)
Nervos esplâncnicos pélvicos (fibras parassimpáticas pré-ganglionares de S2 a S4)
Nervos esplâncnicos pélvicos (fibras parassimpáticas pré-ganglionares de S2 a S4)
Plexo hipogástrico inferior
Plexo coccígeo
Músculo piriforme
Nervo pudendo
Músculo isquiococcígeo (coccígeo)
Gânglio ímpar
Músculo iliococcígeo (parte do m. levantador do ânus)
Músculo pubococcígeo (parte do m. levantador do ânus)

Extensões pélvicas do plexo aórtico abdominal (pré-vertebral) (vista anterior)

Plexos hipogástricos
(vista medial oblíqua do lado direito)
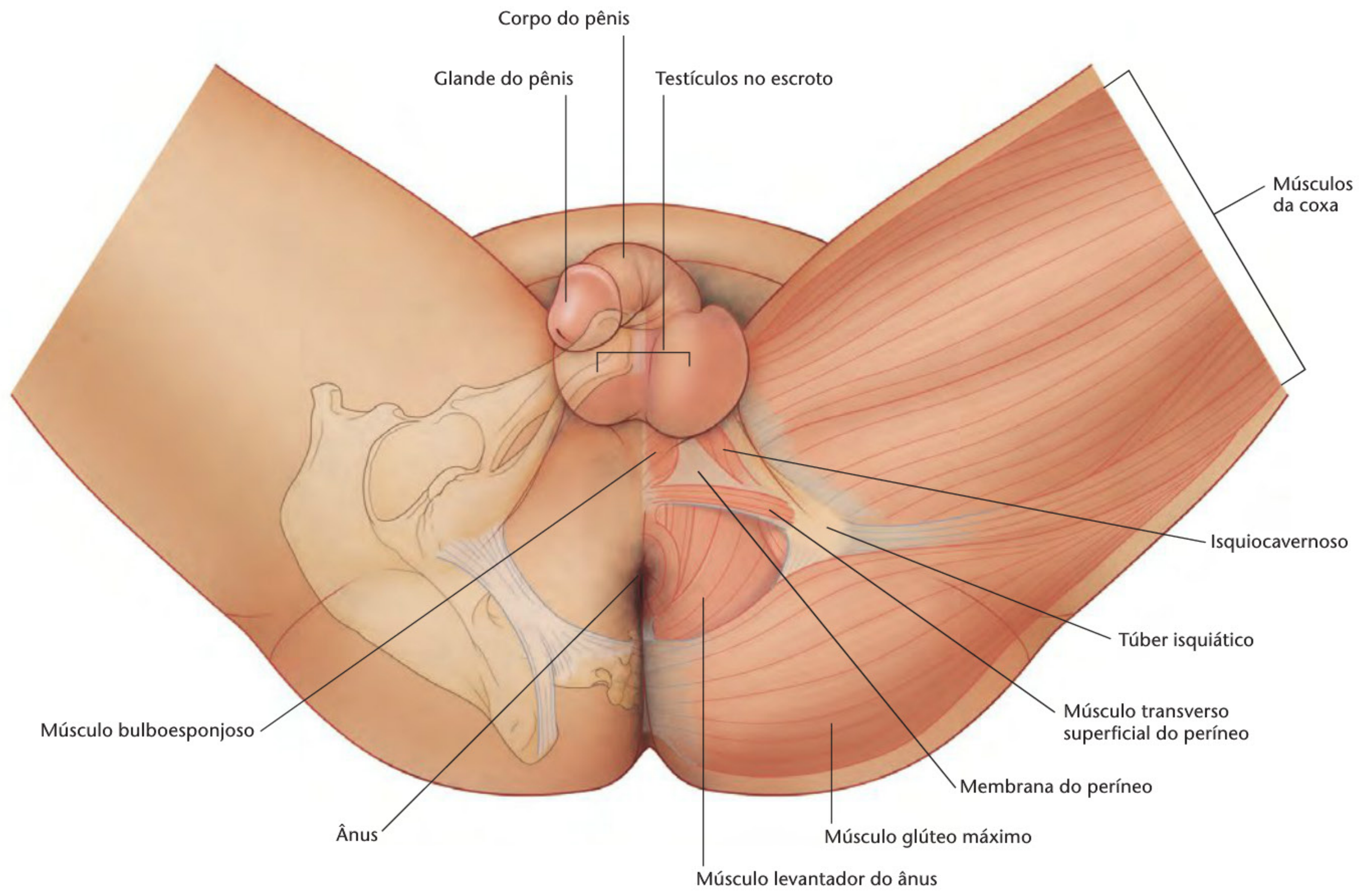
Estruturas do períneo na mulher
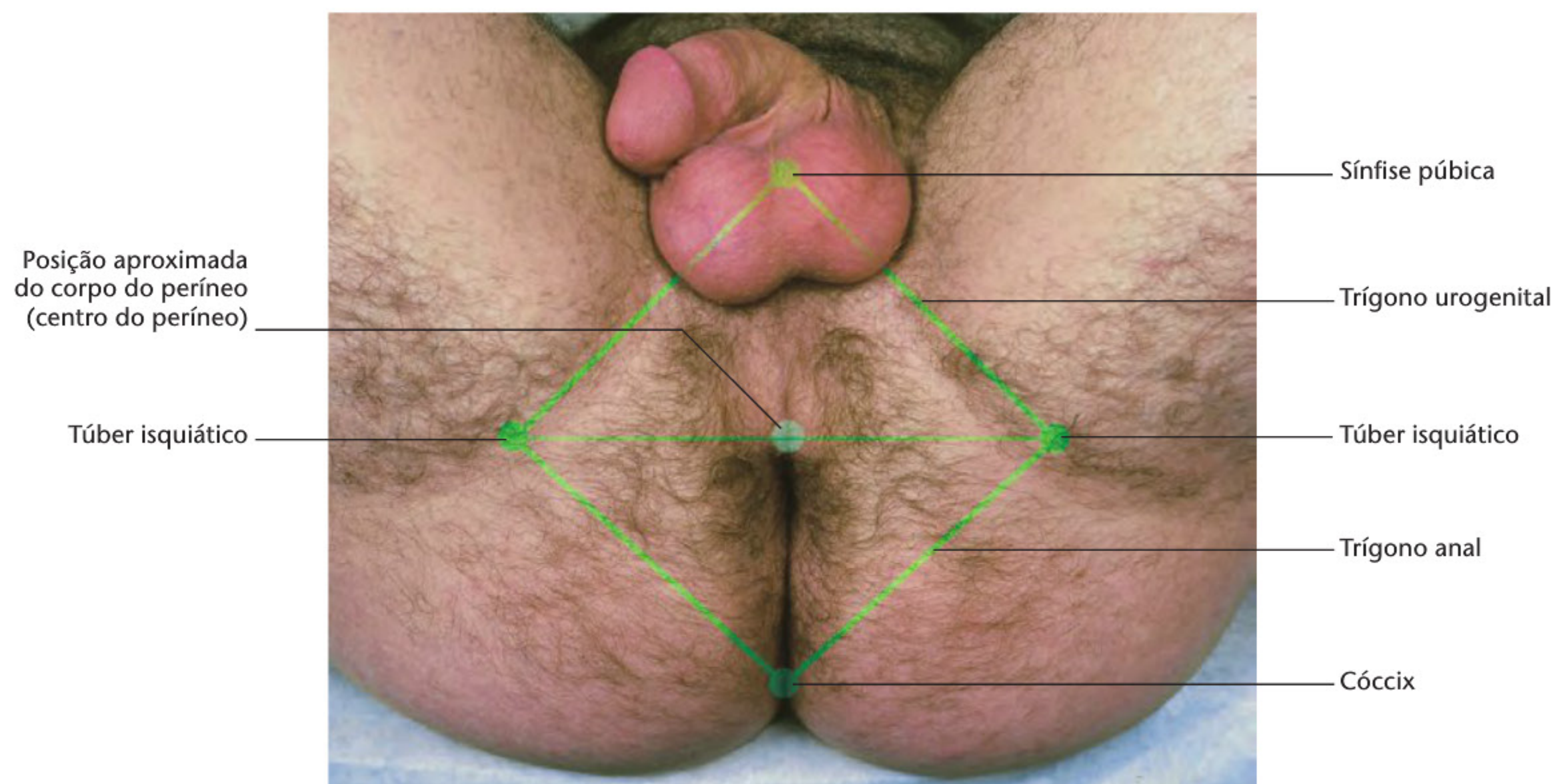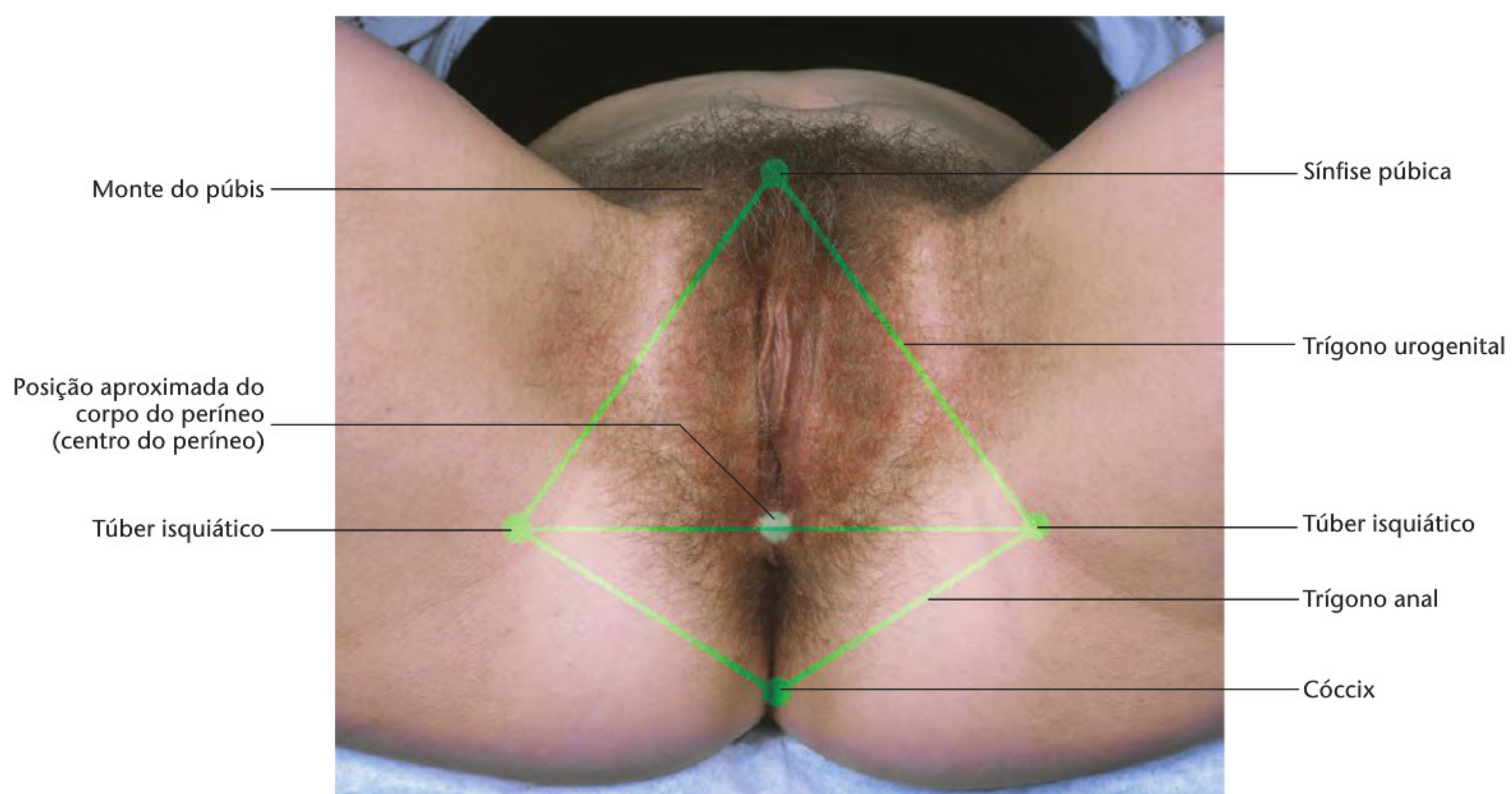
Anatomia de superfície do períneo na mulher (pontos de referência)

Corpo do pênis
Glande do pênis
Óstio externo da uretra
Testículos no escroto
Rafe do escroto

Características superficiais do períneo no homem

Prepúcio do clitóris
Frênulo do clitóris
Óstio externo da uretra
Glande do clitóris
Local dos óstios dos ductos parauretrais
Vestíbulo da vagina
Lábio menor do pudendo
Hímen
Óstio da vagina
Local do óstio do ducto da glândula vestibular maior
Frênulo dos lábios do pudendo

Pele recobrindo o corpo do clitóris
Glande do clitóris
Lábio menor do pudendo
Lábio maior do pudendo
Vestíbulo da vagina
Óstio da vagina
Comissura posterior dos lábios
(por sobre o corpo do períneo)

Características superficiais do períneo na mulher

Limites e "teto" do períneo no homem (vista inferior)
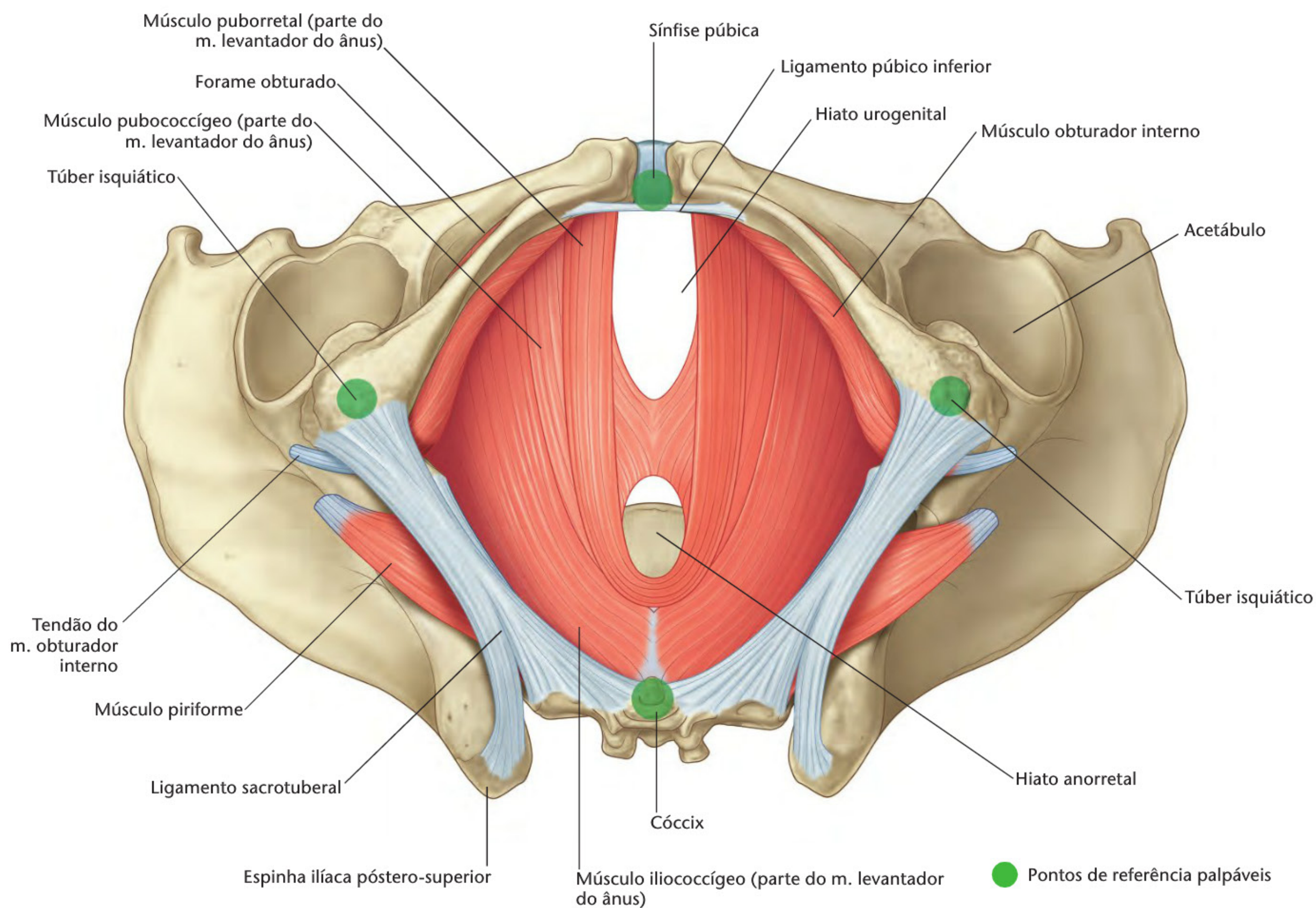
Limites e "teto" do períneo na mulher (vista inferior)
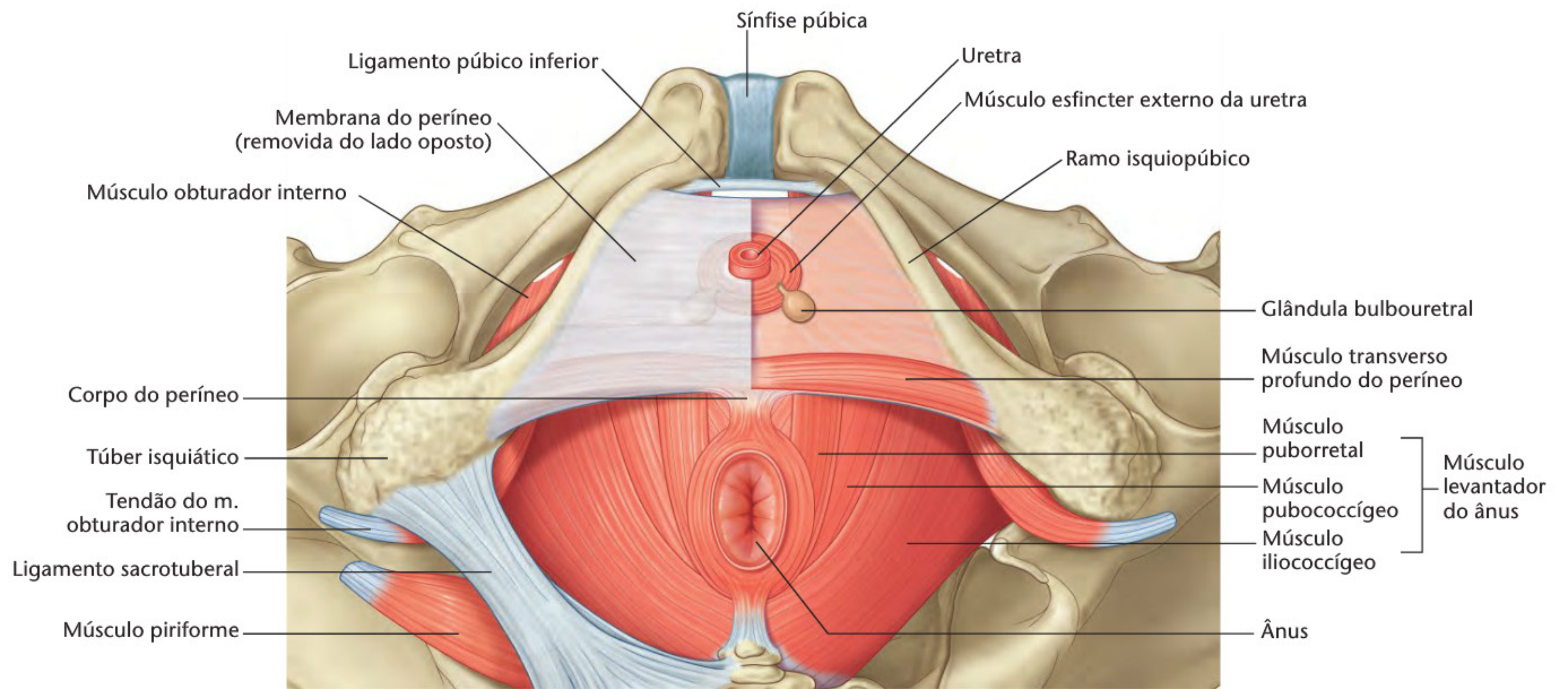
Músculos do espaço profundo do períneo no homem (membrana do períneo removida do lado esquerdo, expondo o espaço profundo do períneo)
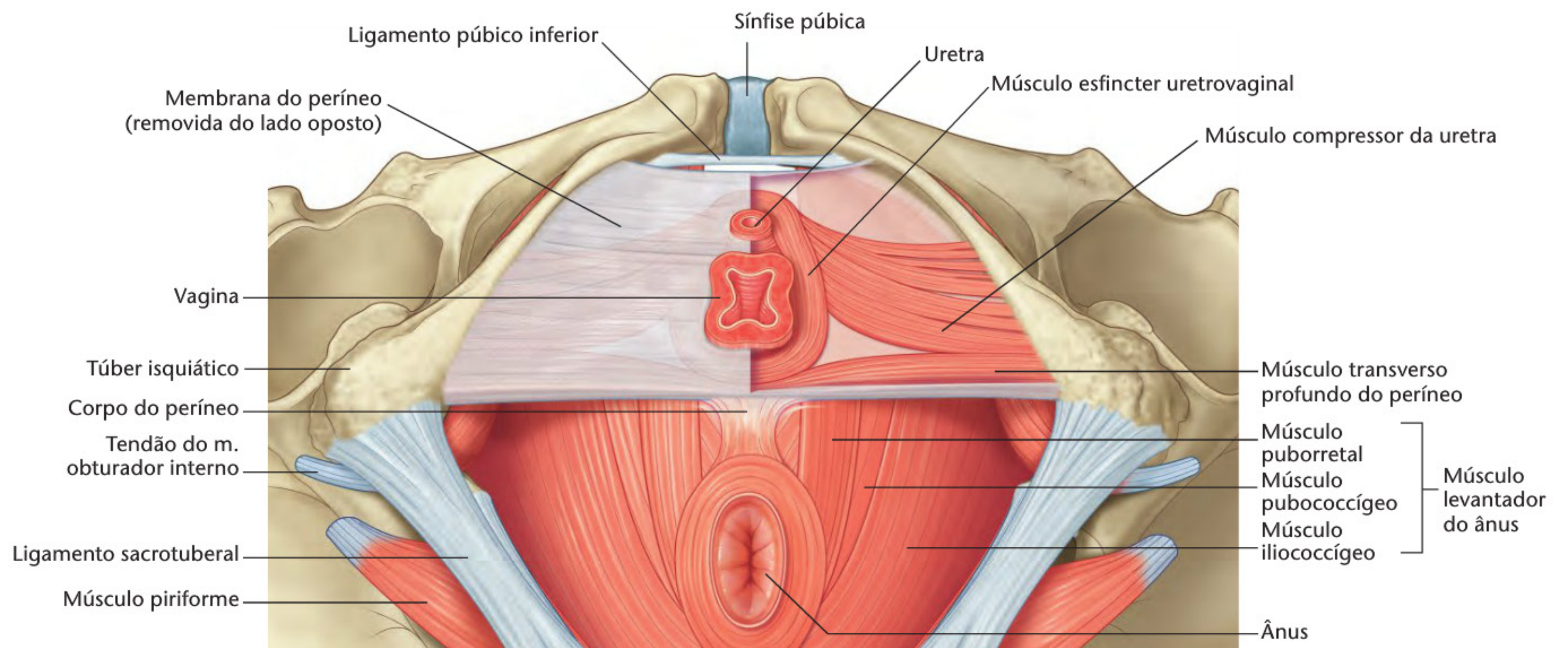
Músculos do espaço profundo do períneo na mulher (membrana do períneo removida do lado esquerdo, expondo o espaço profundo do períneo)

Músculos do espaço profundo do períneo no homem

Músculos do espaço profundo do períneo na mulher

Ligamento fundiforme do pênis
Ligamento suspensor do pênis
Corpo do pênis
Glande do pênis
Músculo bulboesponjoso
Rafe do pênis
Músculo isquiocavernoso
Membrana do períneo
Músculo obturador interno
Músculo transverso superficial do períneo
Músculo pubococcígeo (parte do m. levantador do ânus)
Ligamento sacrotuberal
Músculo iliococcígeo (parte do m. levantador do ânus)
Músculo puborretal (parte do m. levantador do ânus)
Corpo do períneo

Músculos do espaço superficial do períneo no homem

Corpo cavernoso
Sínfise púbica
Corpo esponjoso
Bulbo do pênis
Glande do pênis
Ramo do pênis
Membrana do períneo
Músculo obturador interno
Músculo iliococcígeo (parte do m. levantador do ânus)
Tendão do m. obturador interno
Ligamento sacrotuberal
Corpo do períneo
Músculo puborretal (parte do m. levantador do ânus)
Músculo pubococcígeo (parte do m. levantador do ânus)

Tecidos eréteis no espaço superficial do períneo no homem

Veia dorsal profunda do pênis
Corpo cavernoso
Corpo esponjoso
Corpo esponjoso
Ramo do pênis
Cabeça do fêmur
Corpo cavernoso
Ramo do pênis
Bulbo do pênis
Cabeça do fêmur

Tecidos eréteis em relação às outras estruturas no períneo masculino.
Imagem de RM ponderada em T2, no plano transversal (axial).

Veia dorsal profunda do pênis
Corpo cavernoso
Uretra
Ramo do pênis
Ramo isquiopúbico
Cabeça do fêmur
Corpo cavernoso
Ramo do pênis
Bulbo do pênis
Ramo isquiopúbico
Cabeça do fêmur

Tecidos eréteis em relação às outras estruturas no períneo masculino.
Imagem de RM ponderada em T2, no plano transversal (axial).

Sínfise púbica
Ligamento suspensor do clitóris
Glande do clitóris
Membrana do períneo
Uretra
Músculo obturador interno
Músculo bulboesponjoso
Músculo transverso superficial do períneo
Músculo isquiocavernoso
Vagina
Corpo do períneo
Músculo puborretal (parte do m. levantador do ânus)
Músculo pubococcígeo (parte do m. levantador do ânus)
Ligamento sacrotuberal
Músculo iliococcígeo (parte do m. levantador do ânus)

Músculos do espaço superficial do períneo na mulher

Sínfise púbica
Corpo do clitóris
Glande do clitóris
Uretra
Bulbo do vestíbulo
Ramo do clitóris
Membrana do períneo
Vagina
Corpo do períneo
Tendão do m. obturador interno
Músculo iliococcígeo (parte do m. levantador do ânus)
Ligamento sacrotuberal
Músculo piriforme
Glândula vestibular maior
Músculo puborretal (parte do m. levantador do ânus)
Músculo pubococcígeo (parte do m. levantador do ânus)

Tecidos eréteis no espaço superficial do períneo na mulher

Ramo do clitóris
Vestíbulo da vagina
Bulbo do vestíbulo
Ísquio
Ânus
Ramo do clitóris
Bulbo do vestíbulo
Ísquio
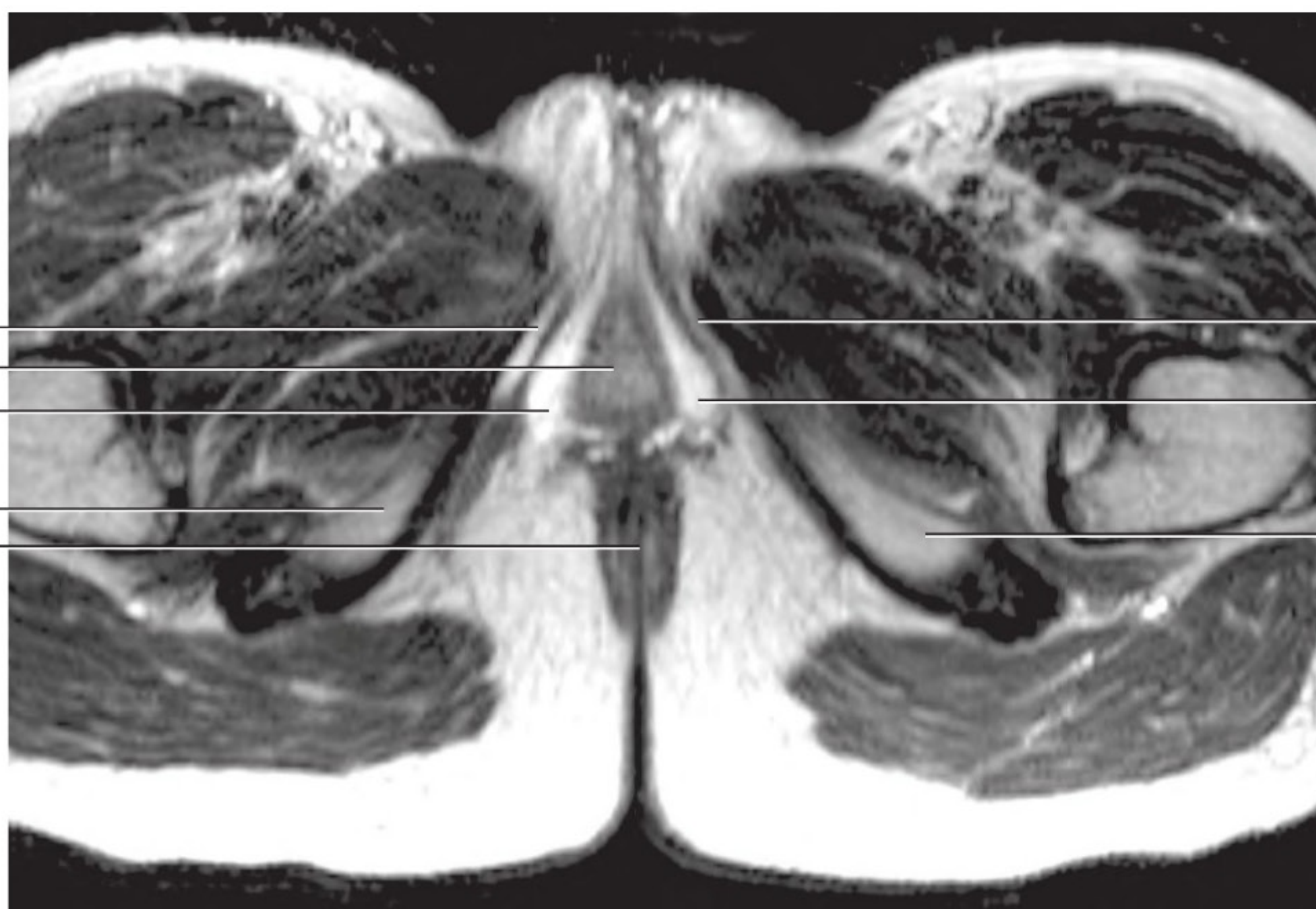
Tecidos eréteis em relação às outras estruturas no períneo feminino.
Imagem de RM ponderada em T2, no plano transversal (axial)

Ramo inferior do púbis
Ramo do clitóris
Vagina
Ânus
Túber isquiático
Ramo inferior do púbis
Uretra
Ramo do clitóris
Fêmur
Túber isquiático
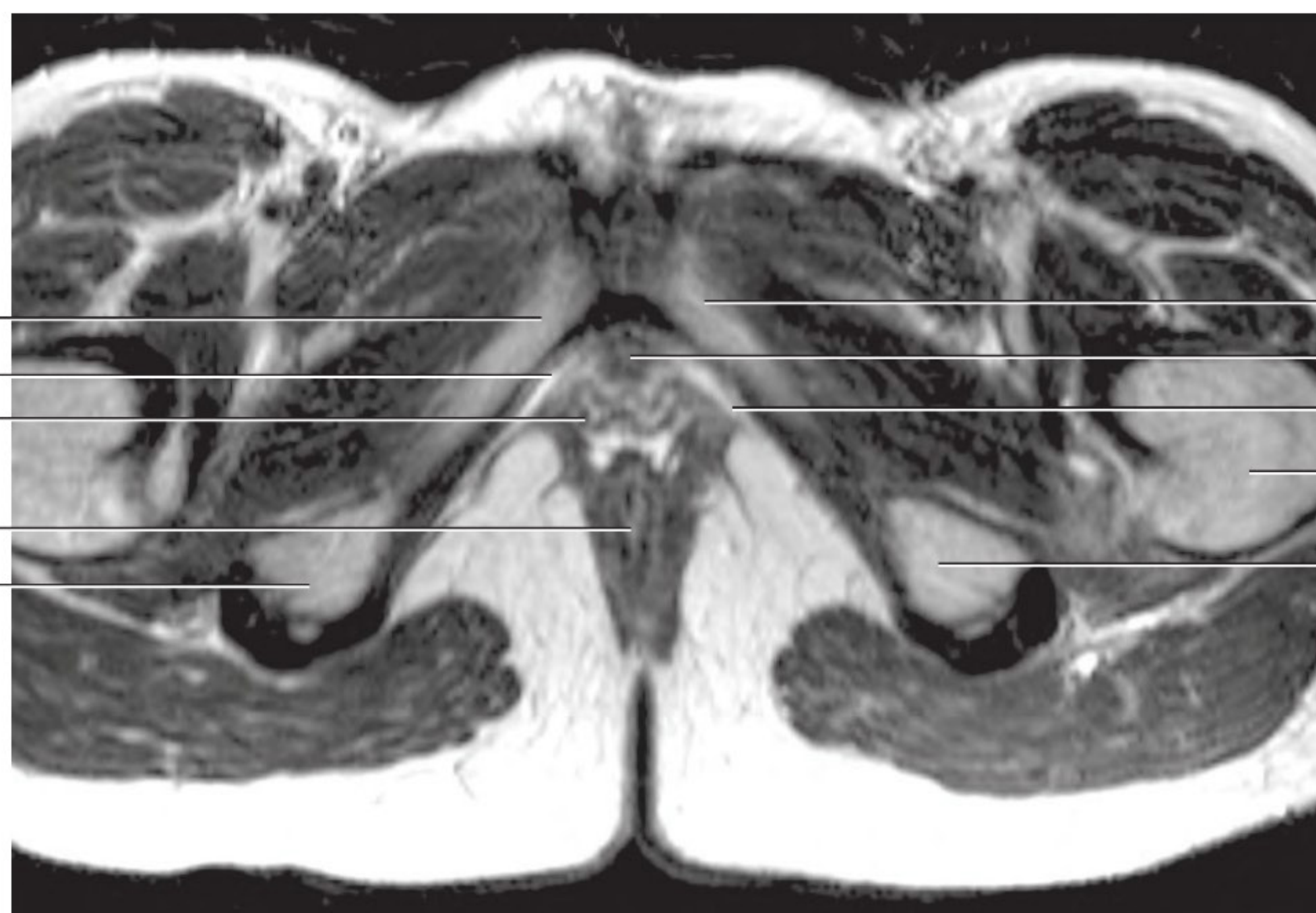
Tecidos eréteis em relação às outras estruturas no períneo feminino.
Imagem de RM ponderada em T2, no plano transversal (axial).
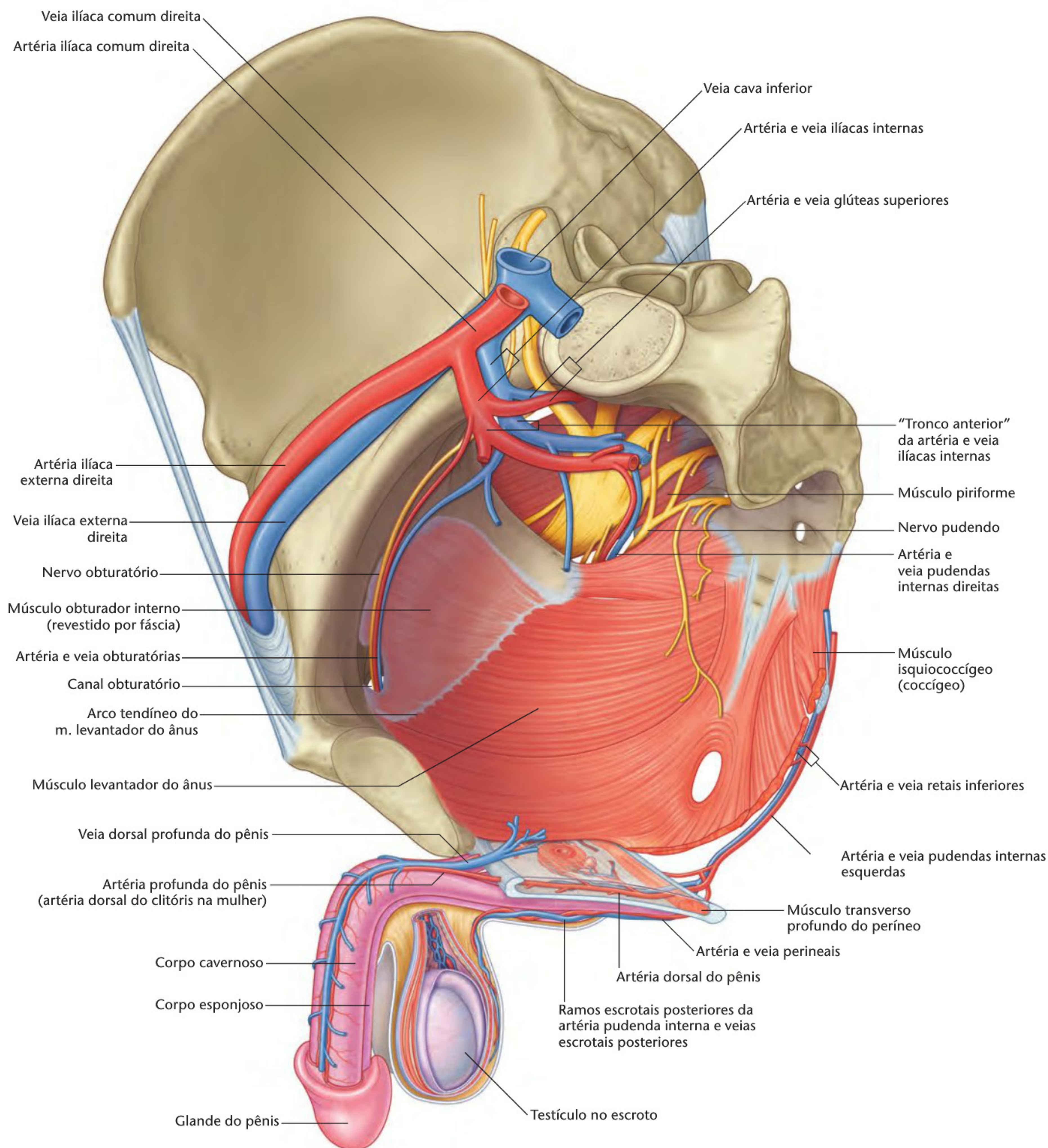
Trajeto da artéria e da veia pudenda interna no homem (vista medial oblíqua do lado direito)

L4
L5
S1
S2
S3
S4
Nervo glúteo superior
Músculo piriforme
Nervo glúteo inferior
Nervo obturatório
Nervos para os músculos isquiococcígeo, levantador do ânus e esfincter externo do ânus
Músculo obturador interno (revestido por fáscia)
Arco tendíneo do m. levantador do ânus
Músculo levantador do ânus
Músculo pubococcígeo (parte do m.levantador do ânus)
Nervo dorsal do pênis
Corpo cavernoso
Glande do pênis
Testículo no escroto
Plexo coccígeo
Nervo pudendo
Músculo isquiococcígeo (coccígeo)
Nervo pudendo
Nervo anal (retal) inferior
Hiato anorretal
Nervo dorsal do pênis
Músculo transverso profundo do períneo
Nervo perineal
Espaço profundo do períneo
Espaço superficial do períneo
Uretra (seccionada)
Nervo escrotal posterior

Trajeto do nervo pudendo no homem (vista medial oblíqua do lado direito)

Sínfise púbica
Artéria dorsal e veia dorsal profunda do pênis
Músculo isquiocavernoso
Corpo esponjoso
Corpo cavernoso
Glande do pênis
Músculo bulboesponjoso
Ramos escrotais posteriores da a. pudenda interna e veias escrotais posteriores
Artéria dorsal do pênis
Artéria e veia perineais
Bulbo do pênis
Músculo obturador interno
Artéria profunda do pênis penetrando no ramo do pênis
Glândula bulbouretral
Membrana do períneo
Artéria e veia do bulbo do pênis
Músculo transverso superficial do períneo
Músculo transverso profundo do períneo
Ramos transversos das artéria e veia perineais
Músculo obturador interno (tendão)
Artéria e veia pudendas internas
Artéria e veia pudendas internas
Músculo piriforme
Artéria e veia retais inferiores
Ligamento sacroespinal
Músculo levantador do ânus

Artérias e veias do períneo no homem (membrana do períneo removida do lado esquerdo para expor o espaço profundo do períneo, vista inferior)

Artéria dorsal e veia dorsal profunda do clitóris
Músculo bulboesponjoso
Glande do clitóris
Ramos labiais posteriores da artéria pudenda interna e veias labiais posteriores
Bulbo do vestíbulo
Músculo isquiocavernoso
Ramo do clitóris
Artéria dorsal e veia dorsal profunda do clitóris
Artéria e veia perineais
Músculo compressor da uretra
Membrana do períneo
Músculo transverso superficial do períneo
Glândula vestibular maior
Artéria e veia perineais
Músculo transverso profundo do períneo
Artéria e veia pudendas internas
Artéria e veia retais inferiores
Músculo piriforme
Músculo levantador do ânus
Ligamento sacroespinal

Artérias e veias do períneo na mulher (membrana do períneo removida do lado esquerdo para expor o espaço profundo do períneo, vista inferior)

Nervos do períneo no homem (membrana do períneo removida do lado esquerdo para expor o espaço profundo do períneo, vista inferior)

Nervos do períneo na mulher (membrana do períneo removida do lado esquerdo para expor o espaço profundo do períneo, vista inferior)

Sistema linfático da pelve e do períneo no homem

Esôfago

Diafragma

Veia cava inferior

Veia renal direita

Cisterna do quilo

Parte abdominal da aorta

Artéria mesentérica inferior

Veia cava inferior

Artéria e veia ováricas

Linfonodos ilíacos comuns

Linfonodo sacral lateral

Linfonodos ilíacos externos

Artéria ilíaca interna

Reto

Linfonodos inguinais superficiais súpero-laterais

Bexiga urinária

Veia circunflexa ilíaca superficial

Hiato safeno

Linfonodos inguinais superficiais súpero-mediais

Linfonodos inguinais superficiais inferiores

Veia safena magna

Linfonodos celíacos

Linfonodos mesentéricos superiores

Artéria renal esquerda

Artéria mesentérica superior

Linfonodos pré-aórticos

Linfonodos mesentéricos inferiores

Tronco lombar esquerdo com linfonodos aórticos laterais (lombares esquerdos)

Músculo psoas maior

Músculo psoas menor

Ureter esquerdo

Linfonodo sacral medial

Linfonodos ilíacos internos

Veia ilíaca externa

Artéria ilíaca externa

Útero

Ovário

Ligamento inguinal

Artéria femoral

Veia femoral

Linfonodos inguinais profundos

Músculo isquiocavernoso

Músculo bulboesponjoso

Glande do clitóris

Sistema linfático da pelve e do períneo na mulher

Sistema linfático da cavidade pélvica (vista medial do lado direito, em secção sagital)

Nervo perineal (S2-S4)
Nervo obturatório (L2-L4)
Nervo ilioinguinal (L1)
Nervo dorsal do pênis (S3)
Ramos cutâneos dos nervos anais (retais) inferiores (S1-S3)
Ramos do nervo cutâneo femoral posterior (S1-S3)
L3
S3
L1
S2
S3
S3
S4
L2
S5
Nervo cutâneo femoral lateral (L2-L3)
Ramo perineal do nervo cutâneo femoral posterior (S1-S3)
Nervos clúnios superiores (L1-L3)
Nervos clúnios médios (S1-S3)
Nervos clúnios inferiores (S1-S3)
Ramos cutâneos do plexo coccígeo (S5)

Dermátomos e nervos cutâneos do períneo no homem

Nervo perineal (S2-S4)
Nervo obturatório (L2-L4)
Ramos cutâneos dos nervos anais (retais) inferiores (S1-S3)
Nervo ilioinguinal (L1)
Ramos do nervo cutâneo femoral posterior (S1-S3)
L3
L1
S2
S3
S3
L2
S4
S5
Nervo cutâneo femoral lateral (L2-L3)
Ramo perineal do nervo cutâneo femoral posterior (S1-S3)
Nervos clúnios superiores (L1-L3)
Ramos cutâneos do plexo coccígeo (S5)
Nervos clúnios inferiores (S1-S3)
Nervos clúnios médios (S1-S3)

Dermátomos e nervos cutâneos do períneo na mulher

T10,11
T11,12
L1,2
S2,3,4
T10
T11
Dermátomos T10 e T11
Fibra simpática para o testículo e o epidídimo. Fibra sensitiva visceral do testículo
Para os plexos hipogástricos (pélvicos)
Plexo hipogástrico superior
Nervos hipogástricos
Plexo hipogástrico inferior
Nervo pudendo
Fibras sensitivas somáticas gerais dos órgãos genitais externos
Nervo esplâncnico pélvico
Nervo esplâncnico sacral
Músculo esfíncter interno da uretra – evita a ejaculação retrógrada no interior da bexiga urinária (inervado por fibras simpáticas)
Fibras motoras somáticas
Músculo bulboesponjoso – emissão pulsátil de sêmen (inervado por fibras motoras somáticas)
Tecidos eréteis

- Fibras simpáticas pré-ganglionares
- Fibras simpáticas pós-ganglionares
- Fibras parassimpáticas pré-ganglionares
- Fibras parassimpáticas pós-ganglionares
- Fibras sensitivas viscerais
- Fibras motoras somáticas
- Fibras sensitivas somáticas

Inervação do sistema genital masculino

T10,11

Fibra sensitiva somática

T12,L1

Para o ovário

T10

T11

Fibras sensitivas viscerais (dor)

S2,3,4

Dermátomos T10 e T11

Acompanha a artéria ovárica

Fibra sensitiva visceral

Fibra parassimpática pré-ganglionar

Dor (fibra sensitiva visceral) no corpo e fundo do útero

Gânglio simpático no plexo hipogástrico inferior (pélvico) direito, visto pelo outro lado do útero

Nervo esplâncnico sacral

Dor (fibra sensitiva visceral) no colo do útero e parte superior da vagina

Nervo esplâncnico pélvico

Nervo pudendo (fibra motora somática para os músculos estriados esqueléticos do períneo e fibra sensitiva somática geral dos órgãos genitais externos)

Inervação do sistema genital feminino

Inervação motora visceral (parassimpática e simpática) da bexiga urinária e nervos sensitivos viscerais

T11,12

Nervos esplâncnicos menor e imo (torácicos) e nervos esplâncnicos lombares

Tronco e gânglio simpáticos

S2,3,4

Raiz posterior

Raiz anterior

Fibra simpática pré-ganglionar

Fibra simpática pós-ganglionar

Fibra parassimpática pré-ganglionar

Fibra parassimpática pós-ganglionar

Fibra sensitiva visceral

Fibra motora somática

Nervos esplâncnicos sacrais

Gânglio simpático pélvico

Gânglio sensitivo do nervo espinal

Nervo pudendo

Nervo esplâncnico pélvico

Músculo esfincter externo da uretra no espaço profundo do períneo – inervado por fibras motoras somáticas presentes no nervo pudendo

Fibra motora somática

A

Corpos cavernosos

Corpo esponjoso

Fêmur

B

Corpos cavernosos

Corpo esponjoso

Fêmur

C

Ramos do pênis (corpos cavernosos)

Bulbo do pênis (corpo esponjoso)

Fêmur

Ânus

A até C – Série de imagens que passam através da cavidade pélvica e do períneo de inferior para superior, mostrando as várias estruturas e suas relações umas com as outras.
Imagens de RM ponderadas em T2, no plano transversal (axial).
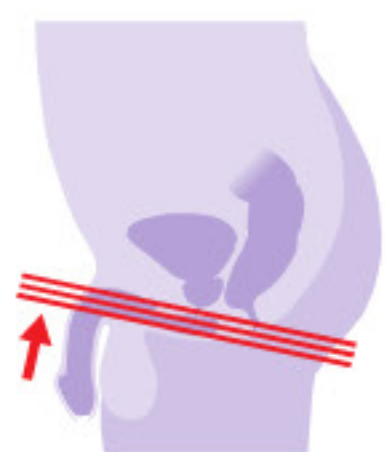
D
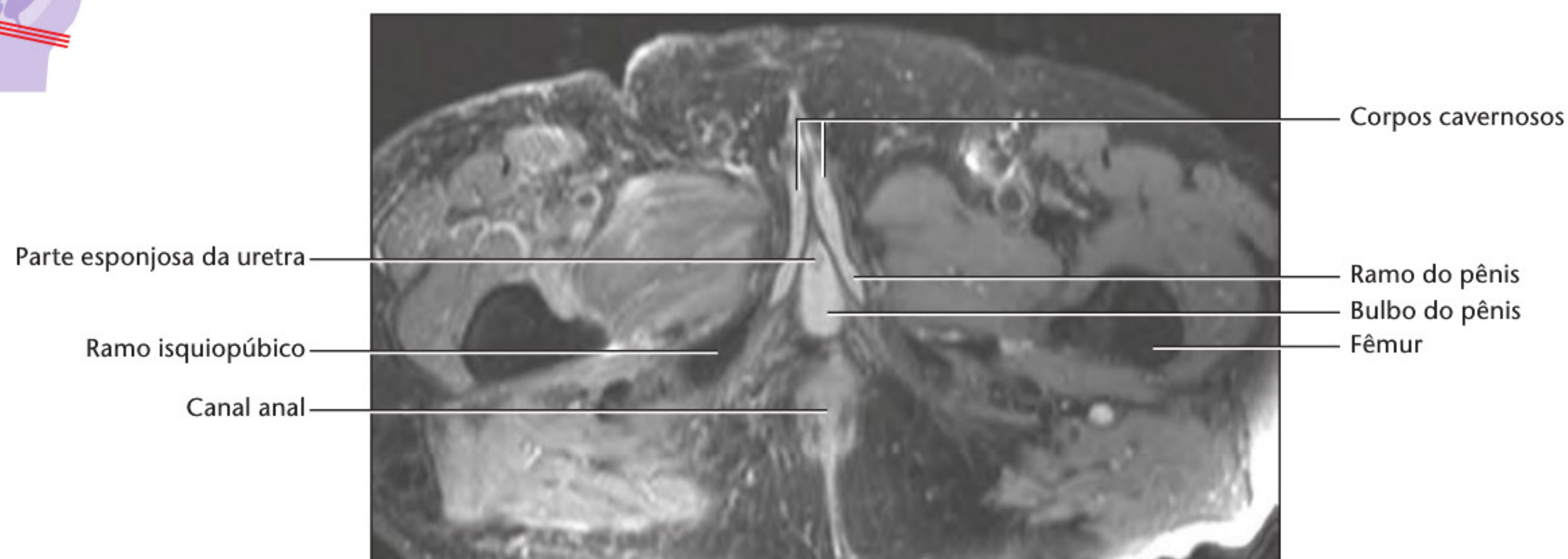
E
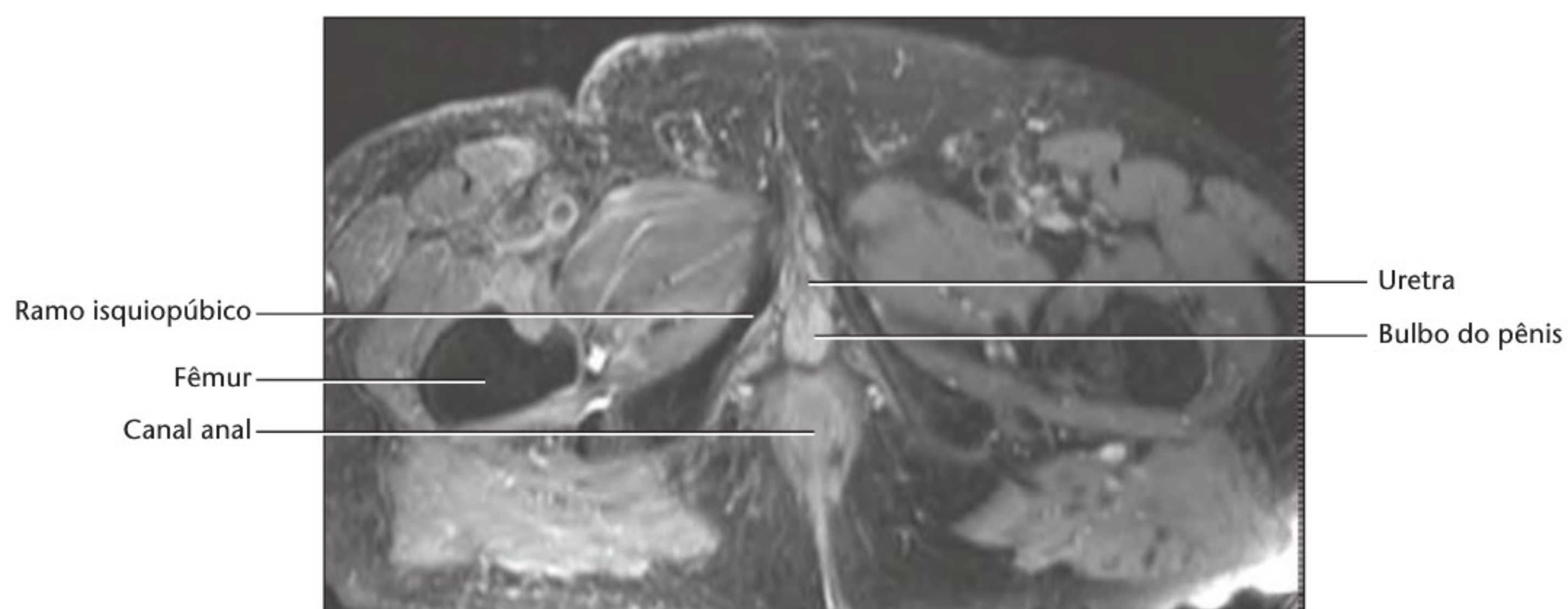
F
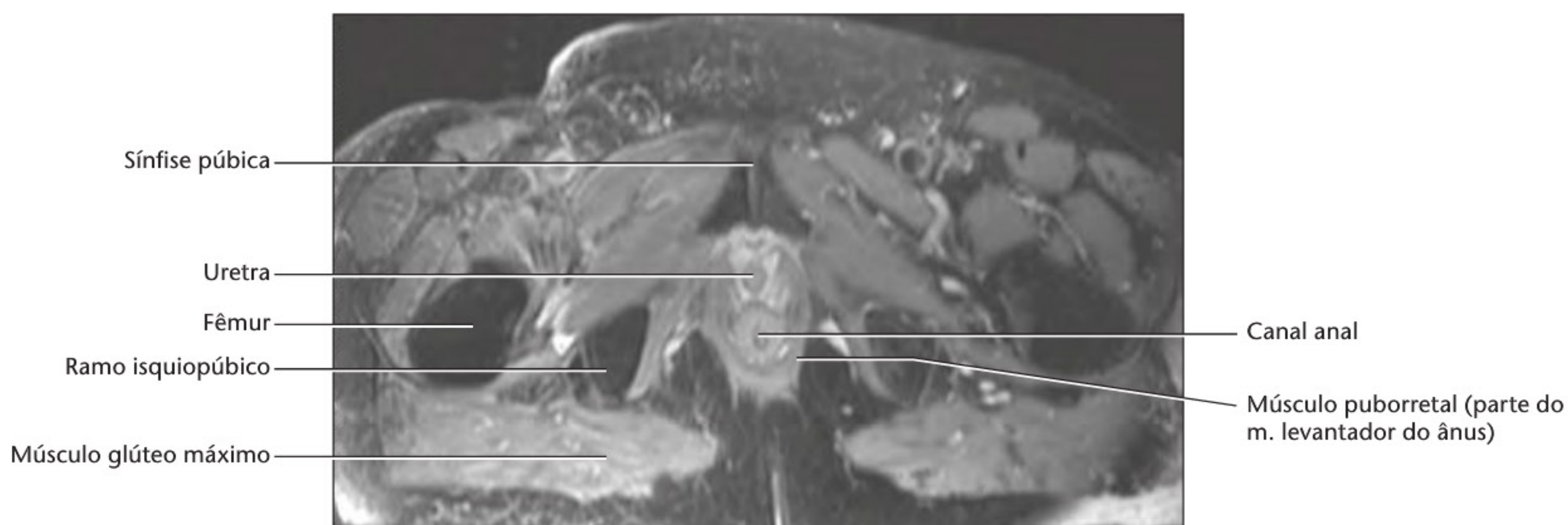
D até J - Série de imagens que passam através da cavidade pélvica e do períneo de inferior para superior, mostrando as várias estruturas e suas relações umas com as outras.
Imagens de RM ponderadas em T2, no plano transversal (axial).

A

Intestino delgado
Útero
Bexiga urinária
Púbis
Sacro
Reto

B

Intestino delgado do sacro
Útero
Bexiga urinária
Púbis
Sacro
Reto
Vagina

C

Promontório do sacro
Intestino delgado
Útero
Bexiga urinária
Púbis
Canal anal
Sacro
Reto
Vagina
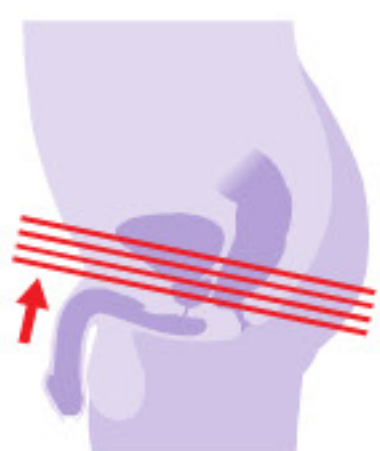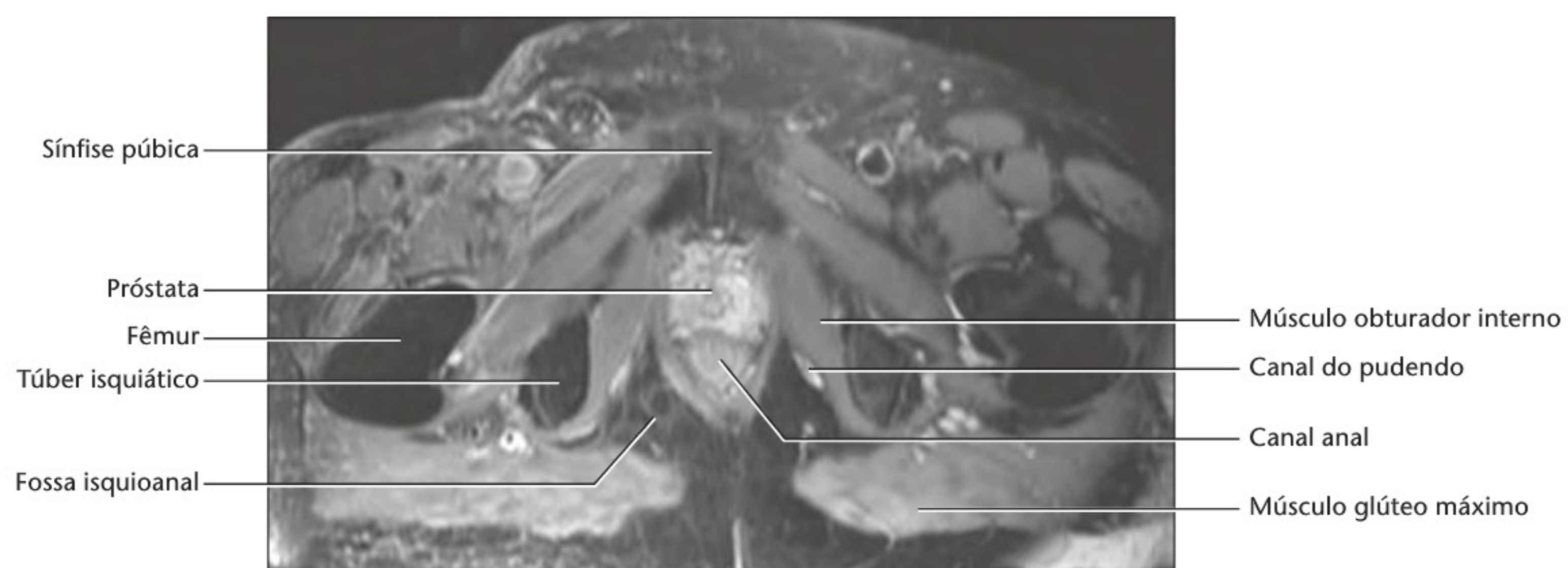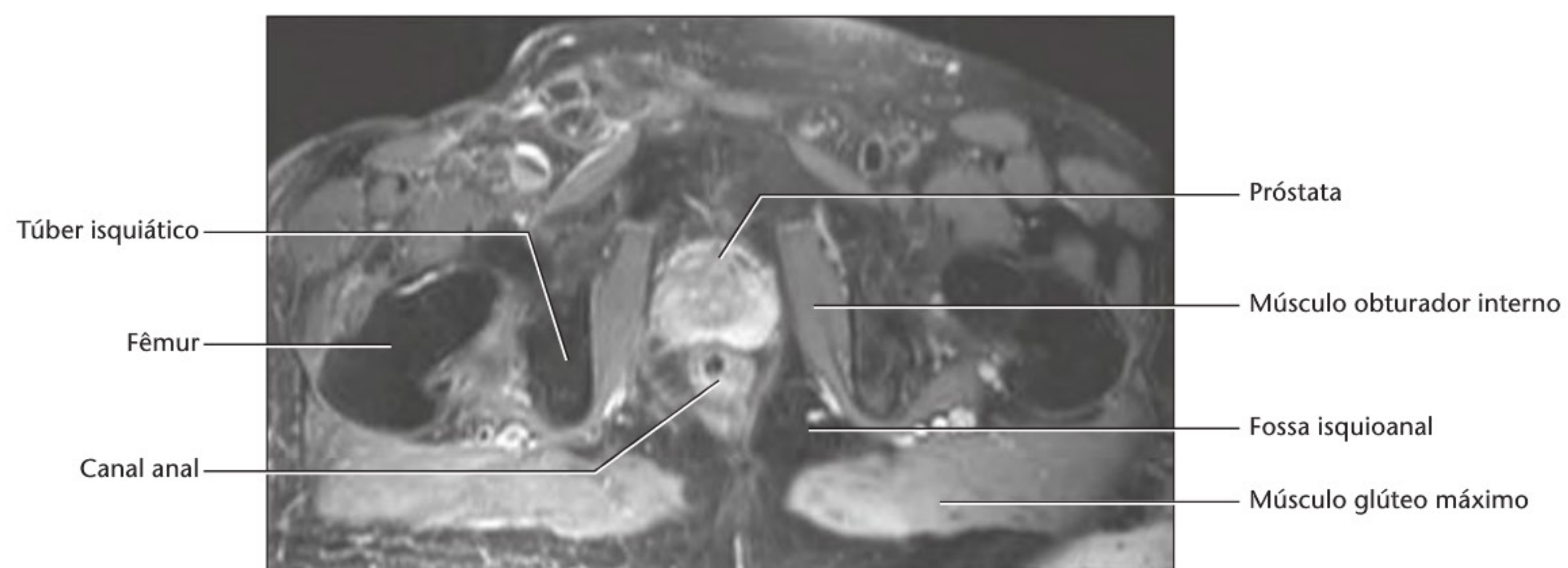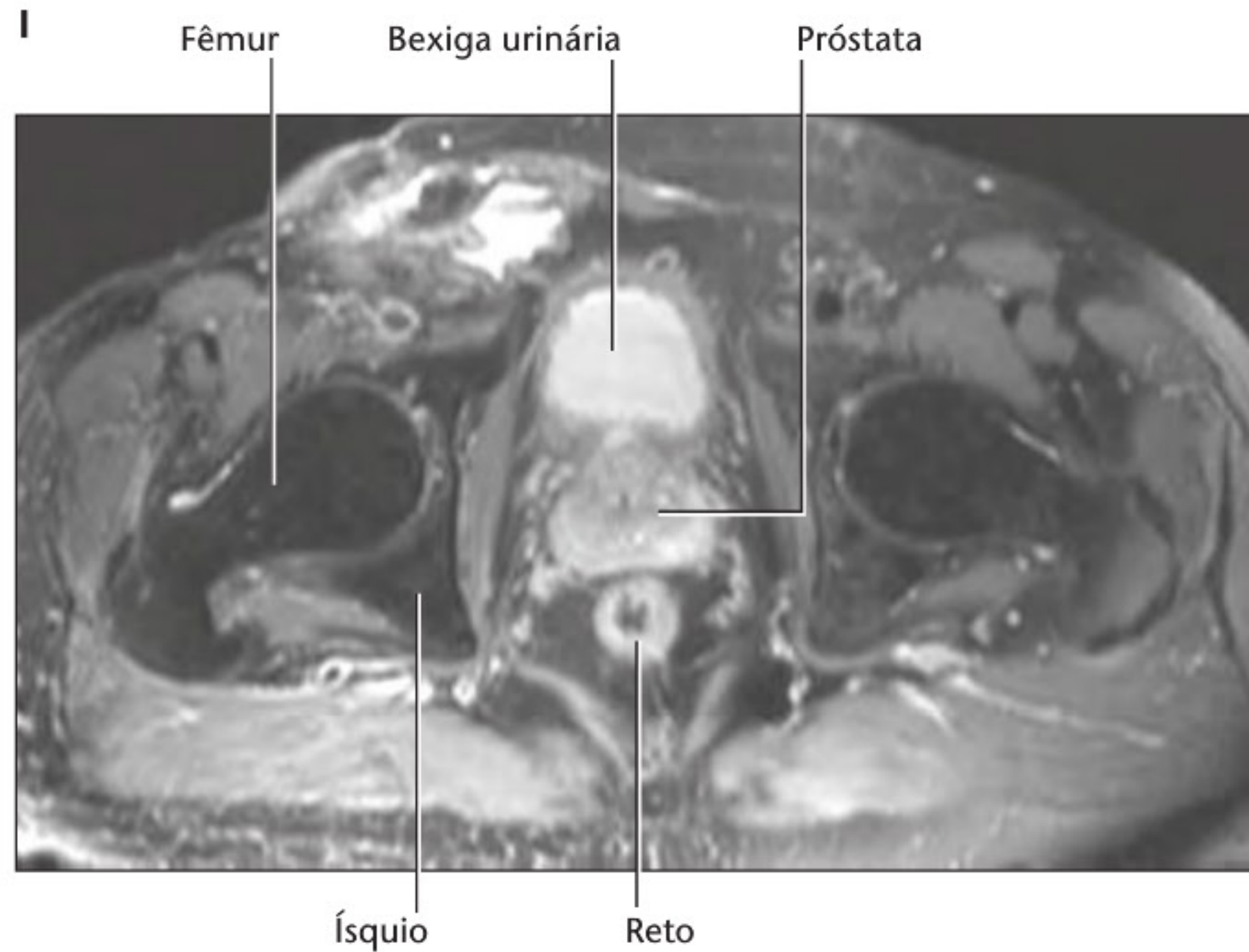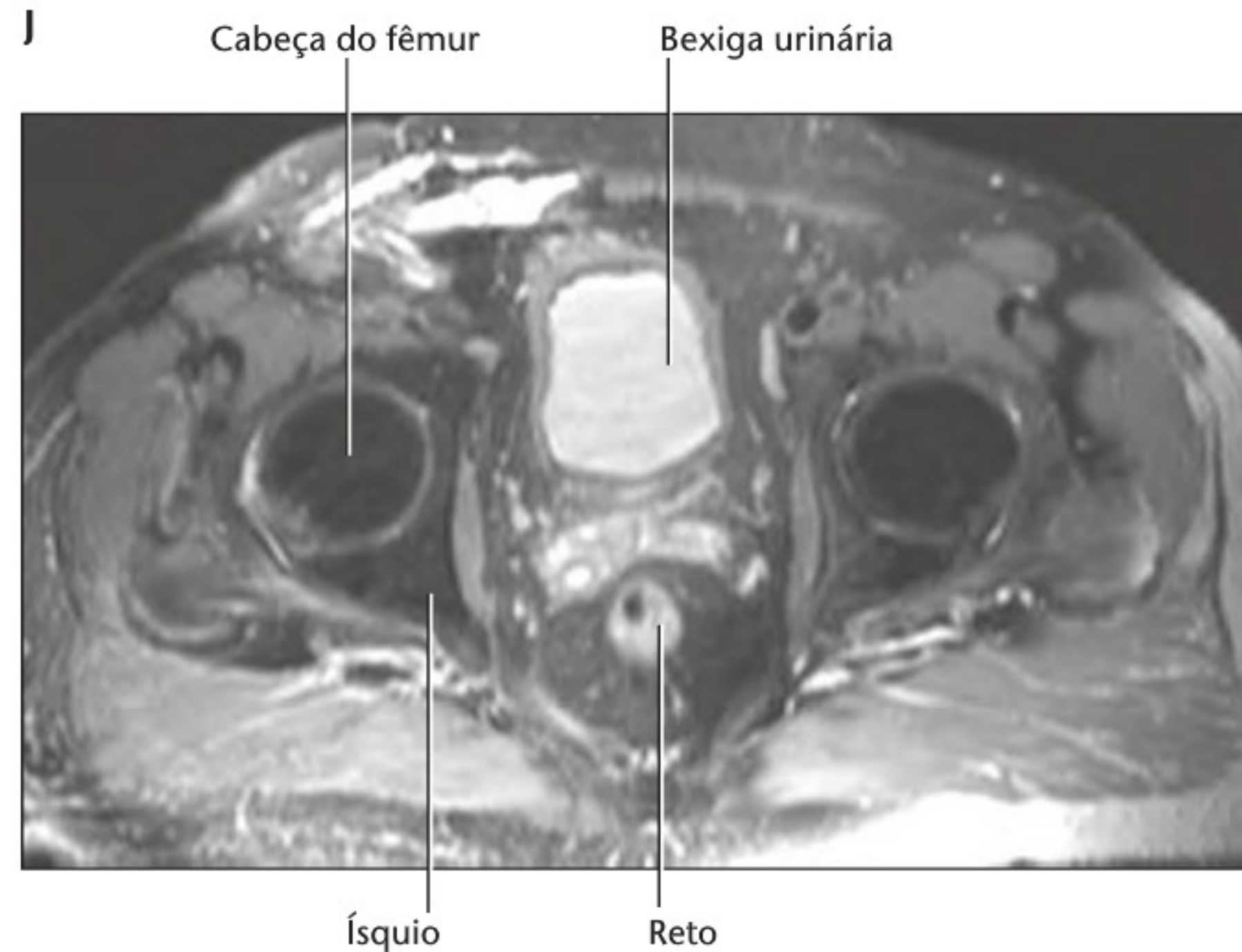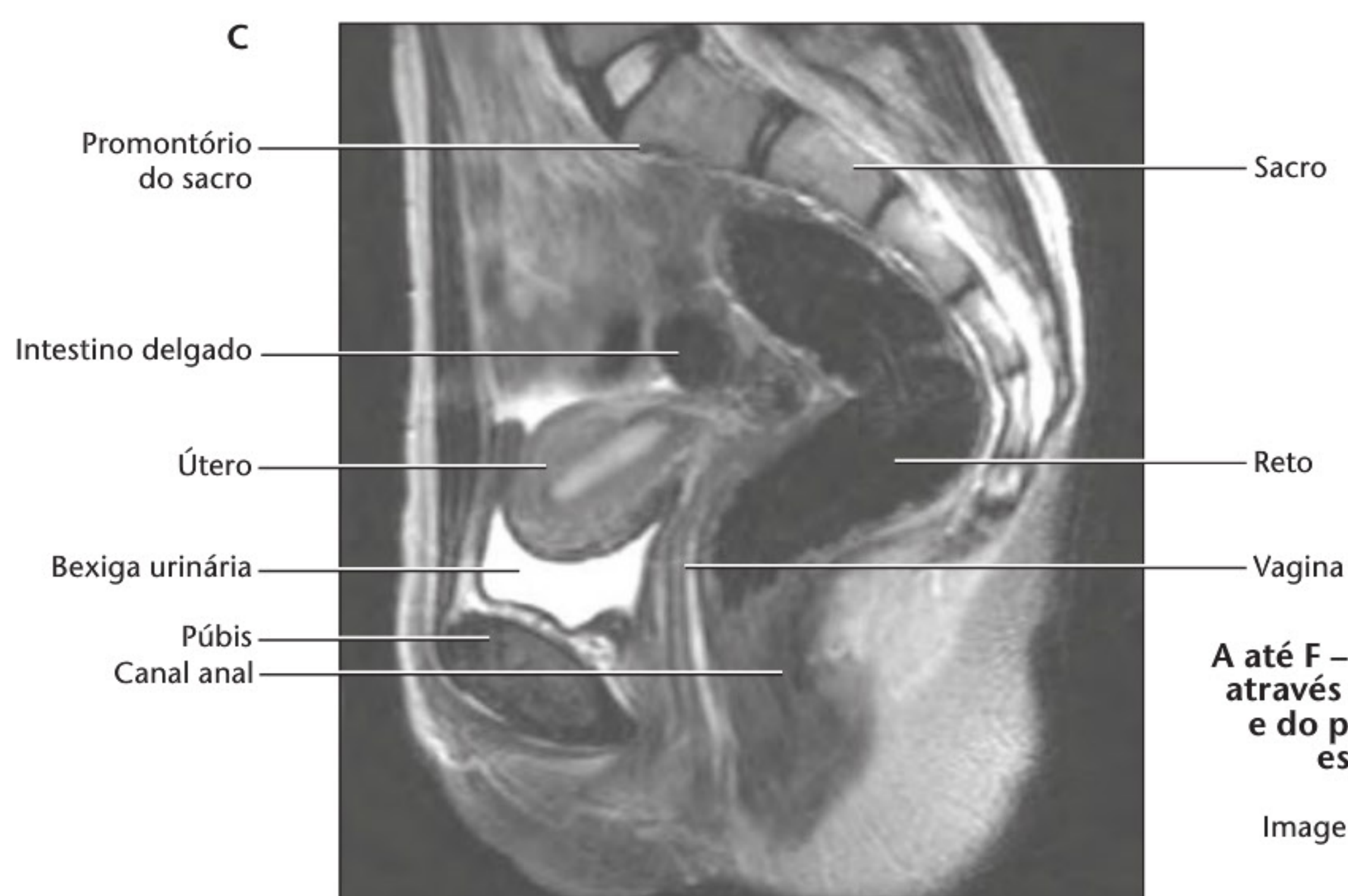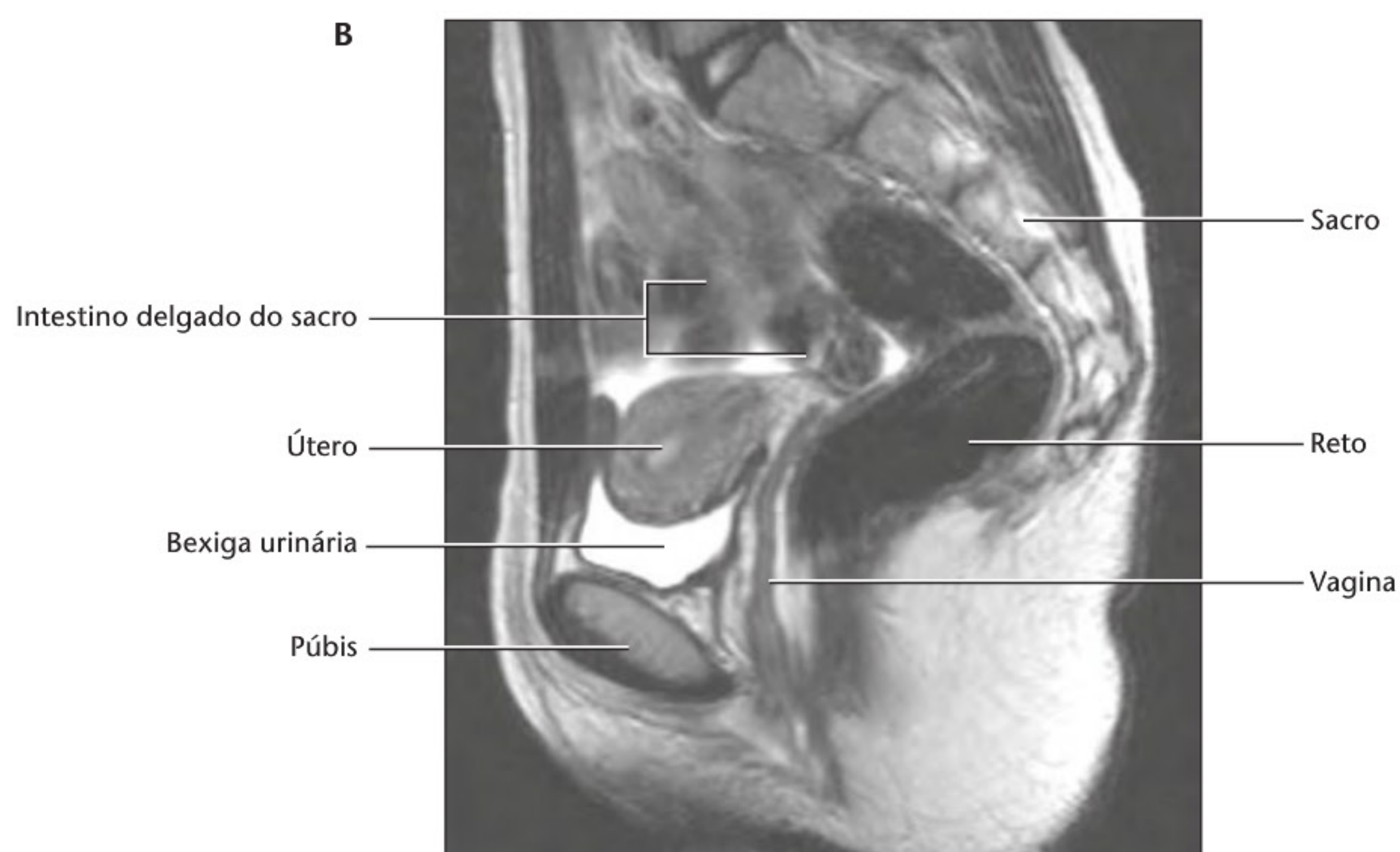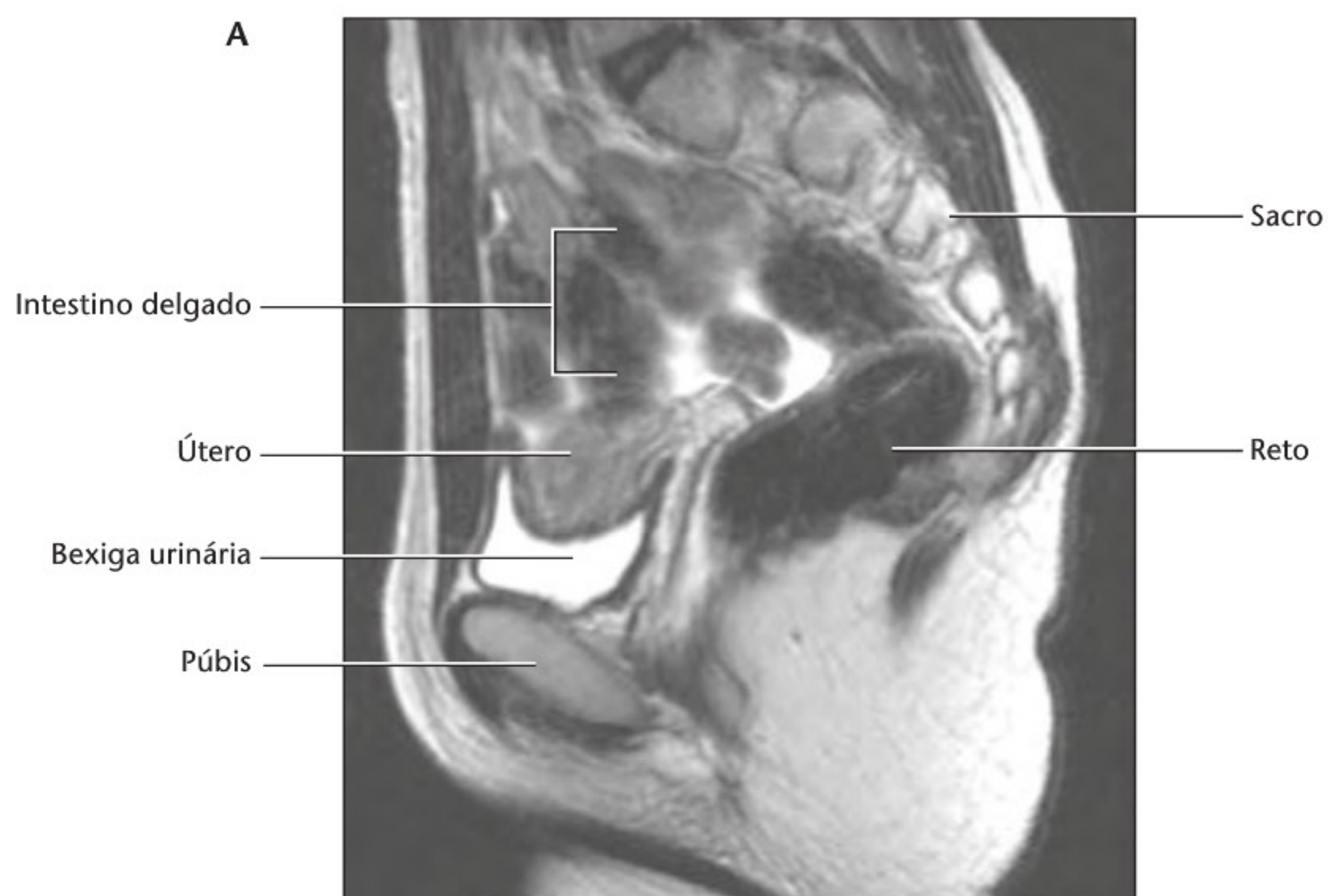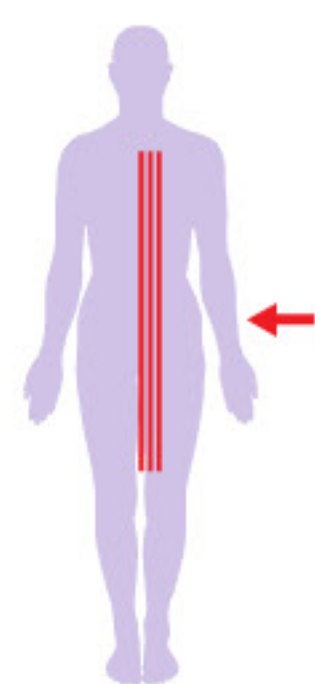
A até F – Série de imagens que passam através da cavidade pélvica feminina e do períneo, mostrando as várias estruturas e suas relações umas com as outras.
Imagens de RM ponderadas em T2, no plano sagital.

A

Bexiga urinária

Sínfise púbica

B

Bexiga urinária
Útero
Ílio

Sínfise púbica

C

Útero
Intestino delgado
Músculo ilíaco
Ílio

Bexiga urinária
Cabeça do fêmur
Colo do fêmur

D

Acetábulo
Intestino delgado
Útero
Ílio

Bexiga urinária
Cabeça do fêmur
Colo do fêmur
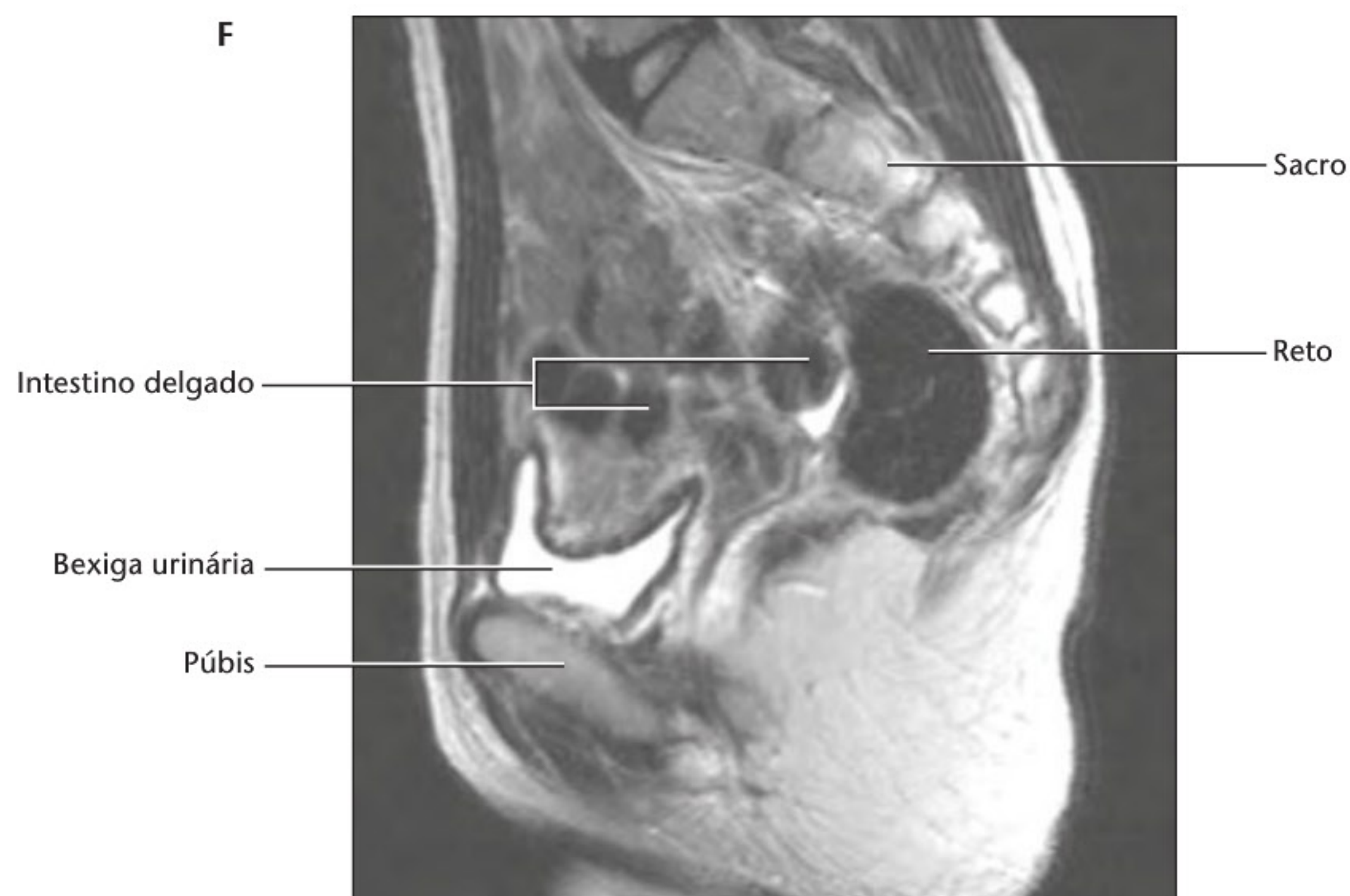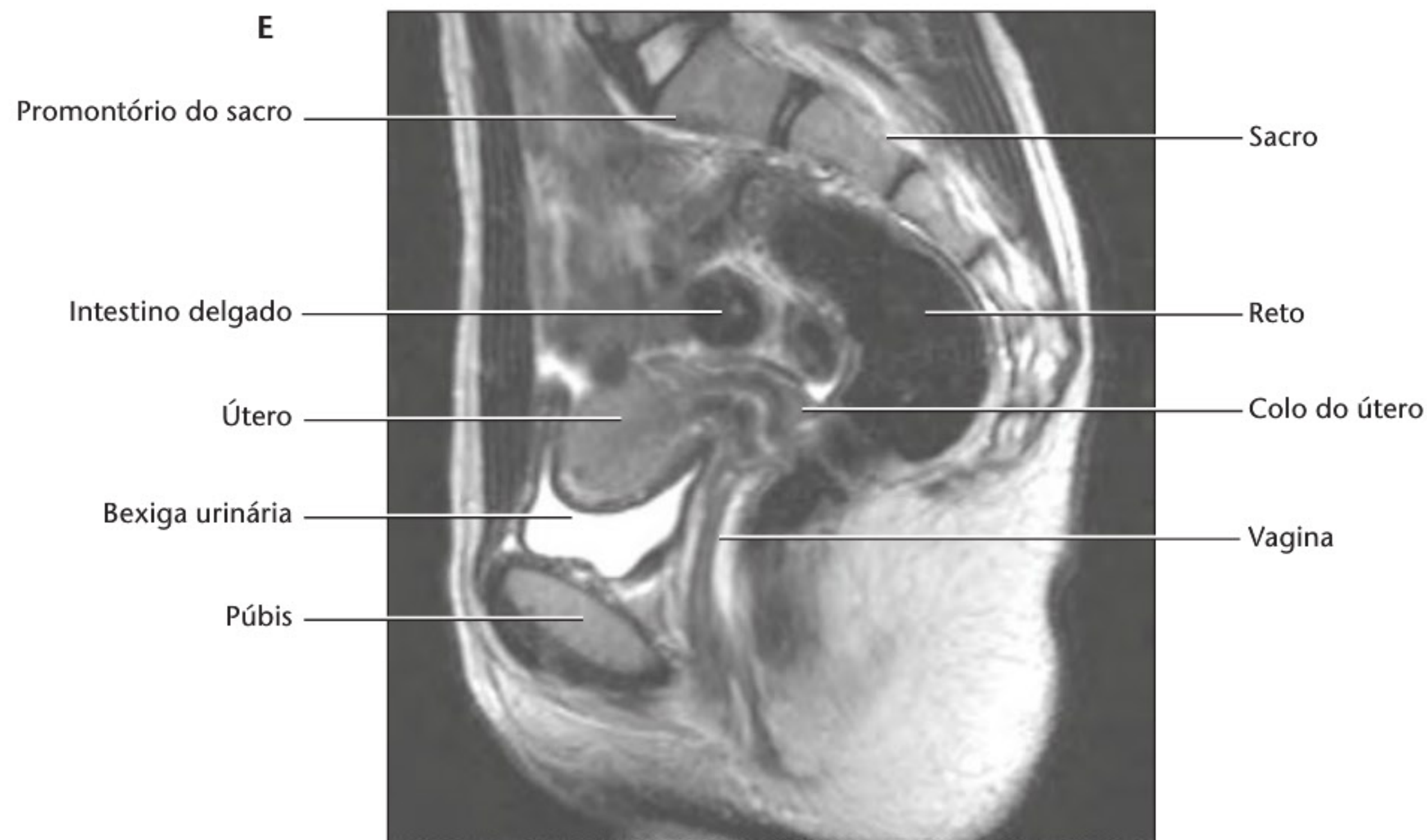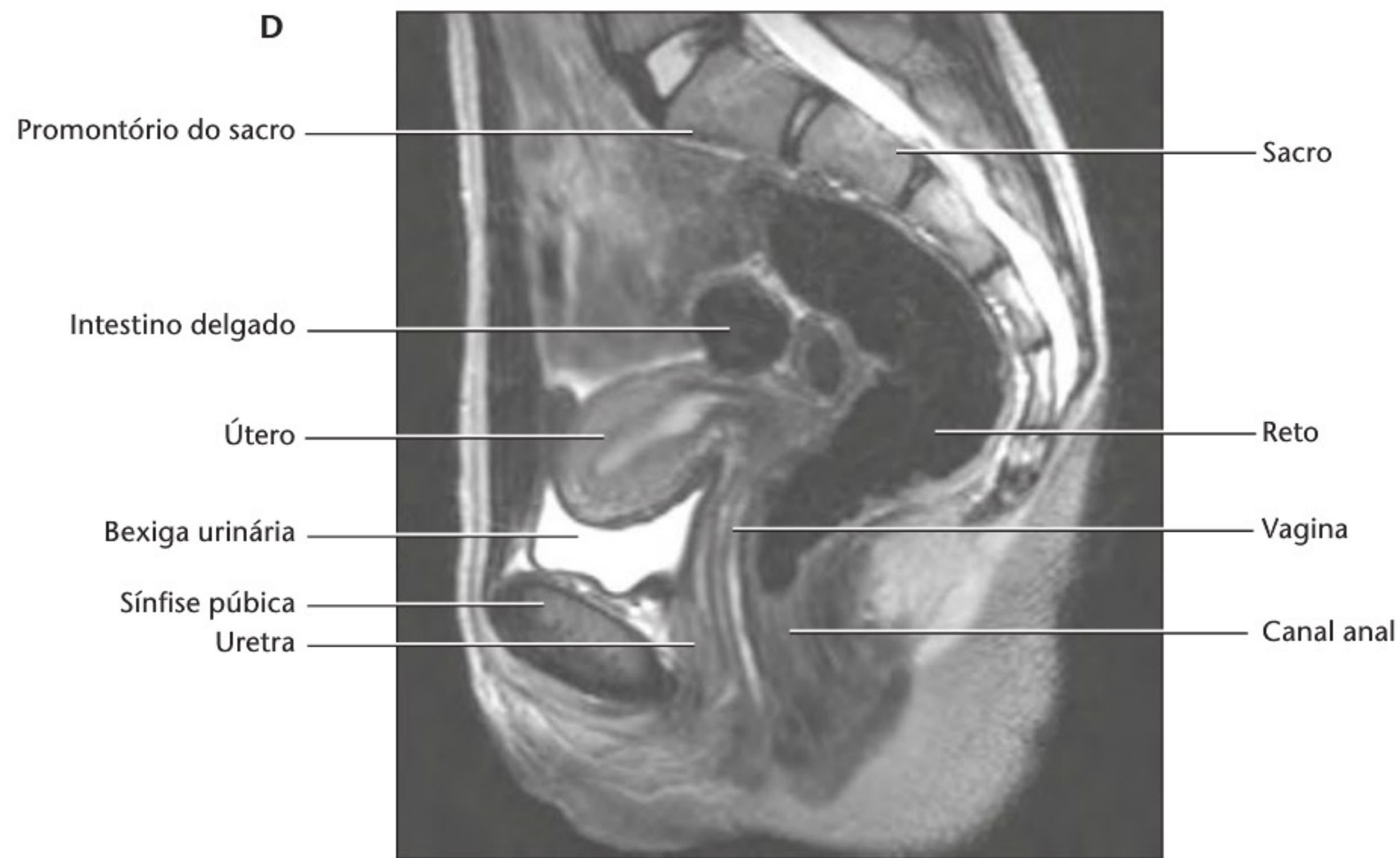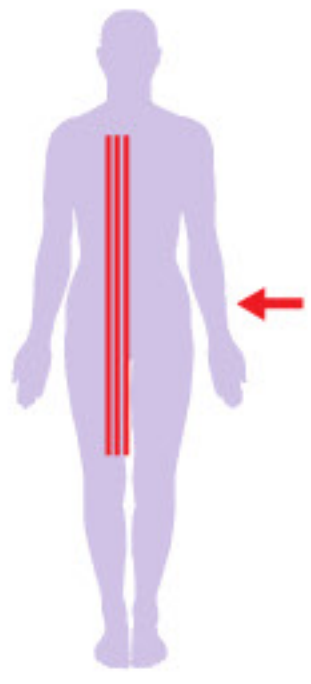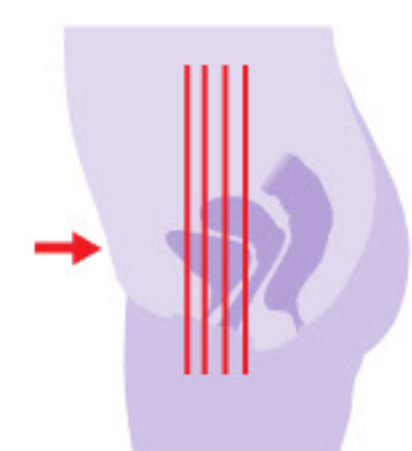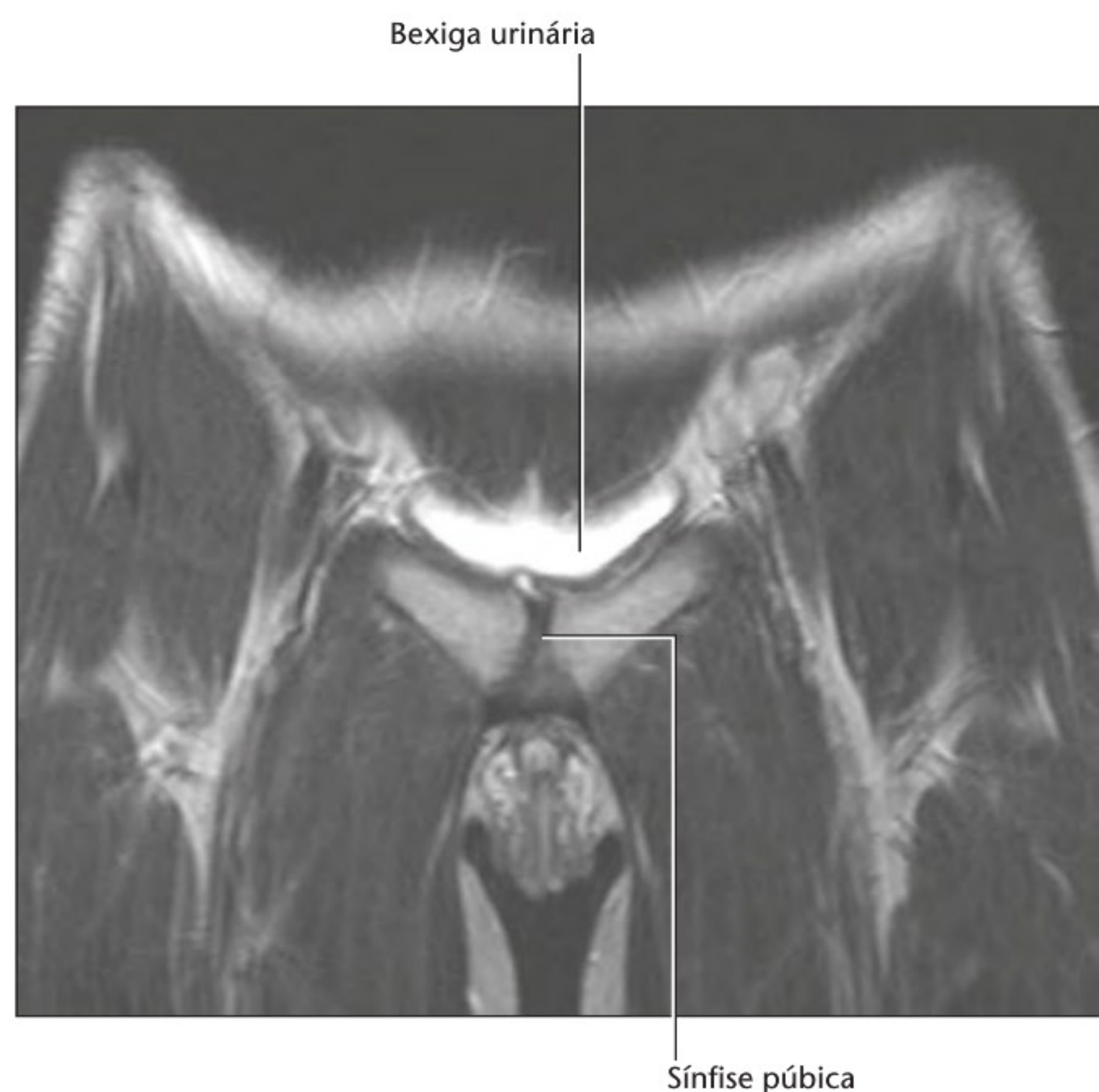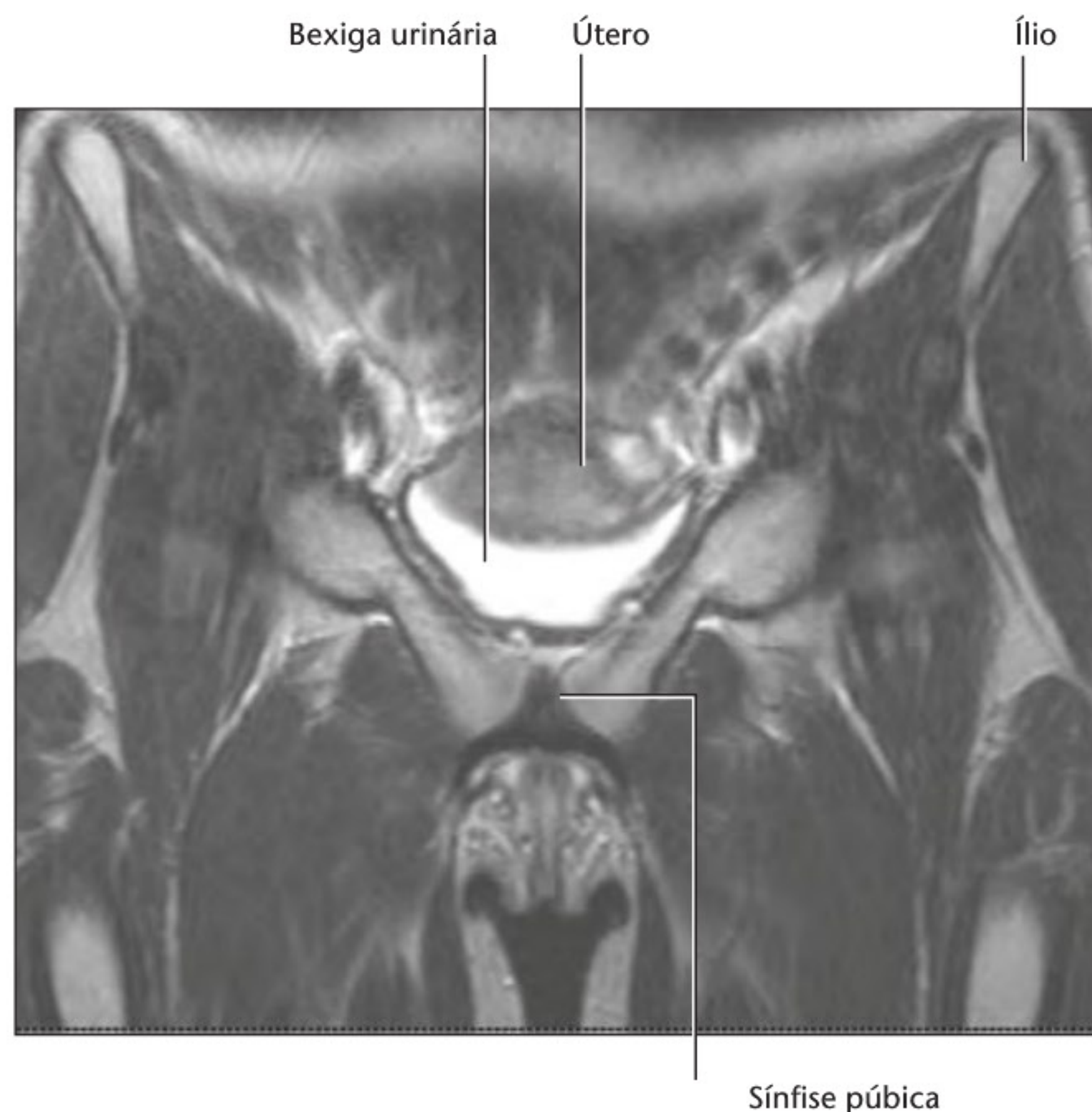
A até G – Série de imagens que passam através da cavidade pélvica e do períneo de anterior para posterior, mostrando as várias estruturas e suas relações umas com as outras.
Imagens de RM ponderadas em T2, no plano frontal (coronal).
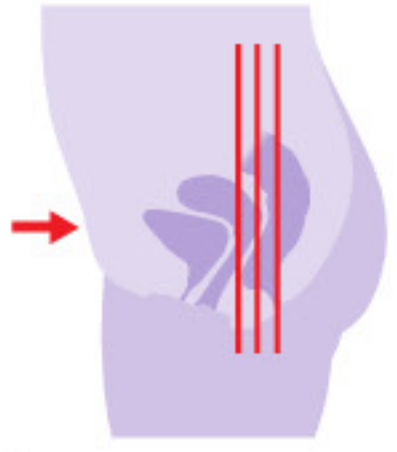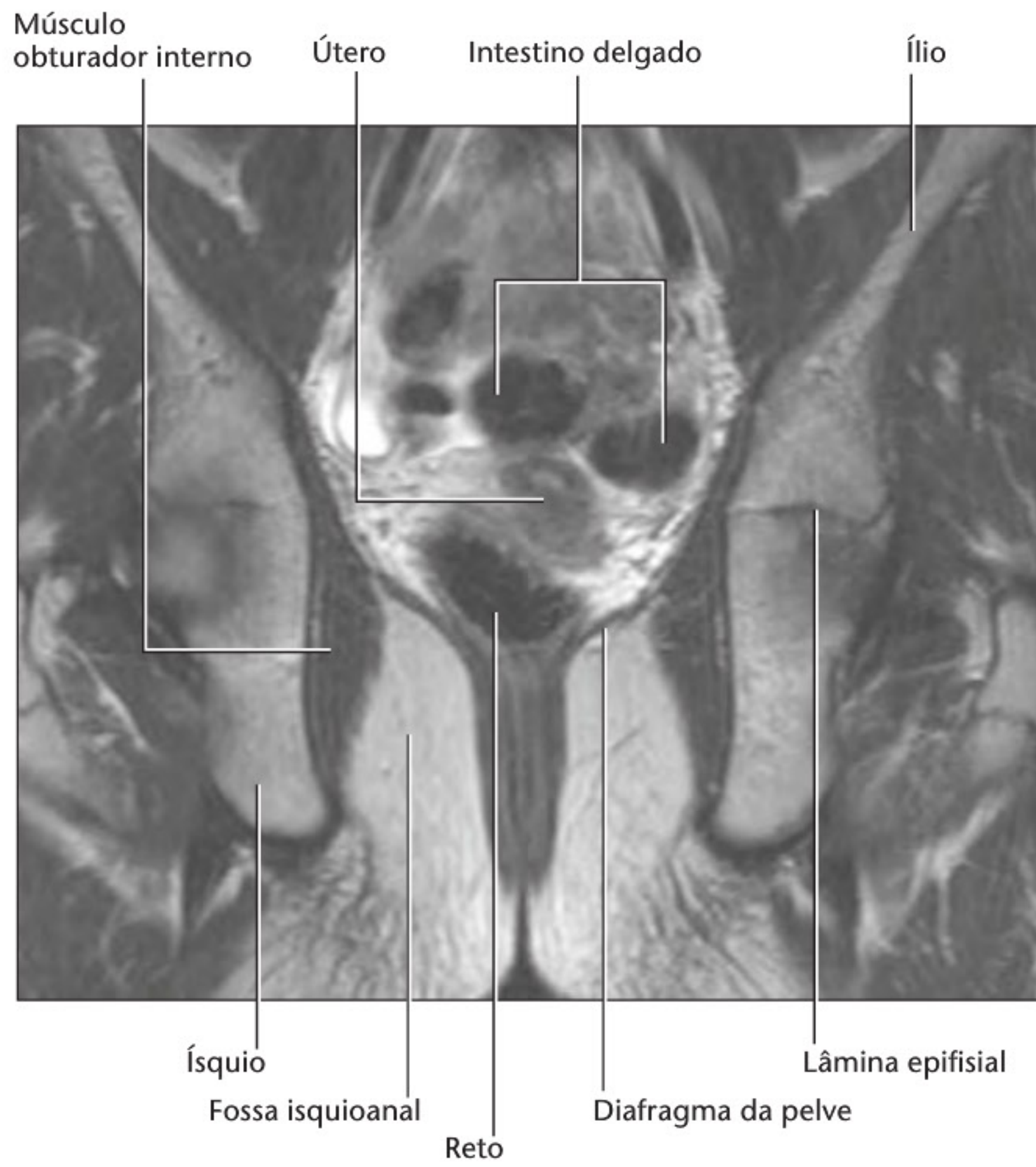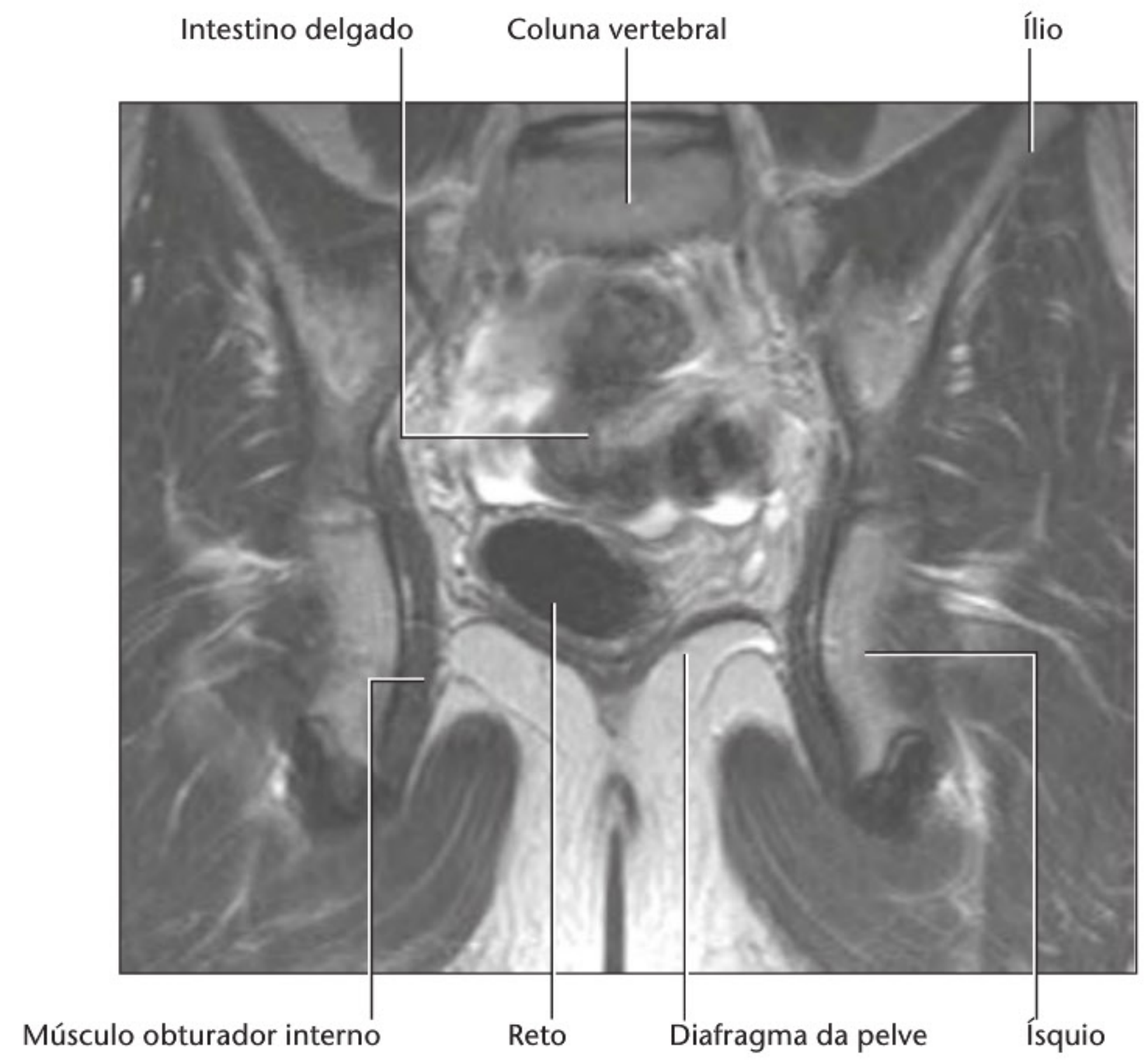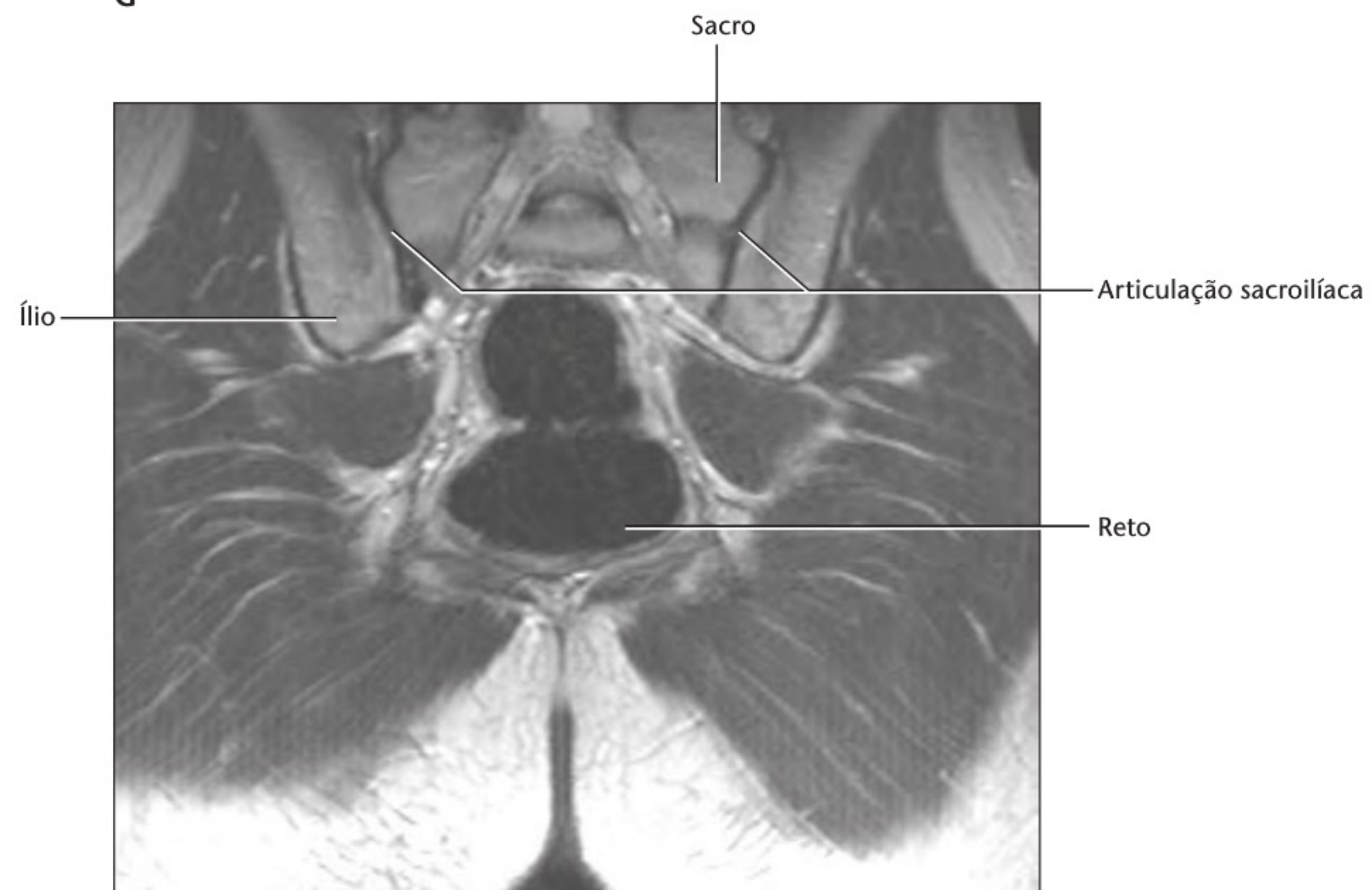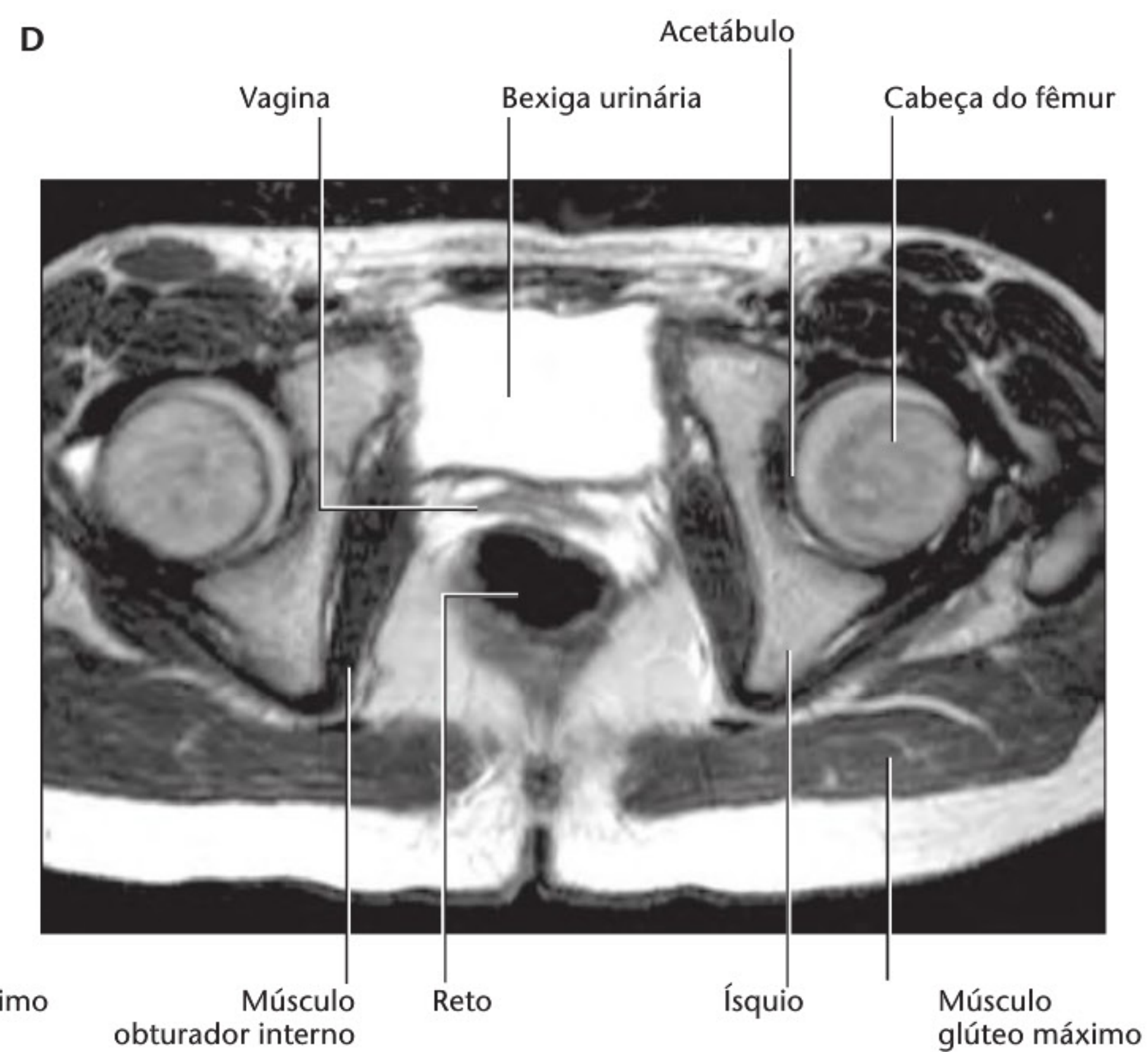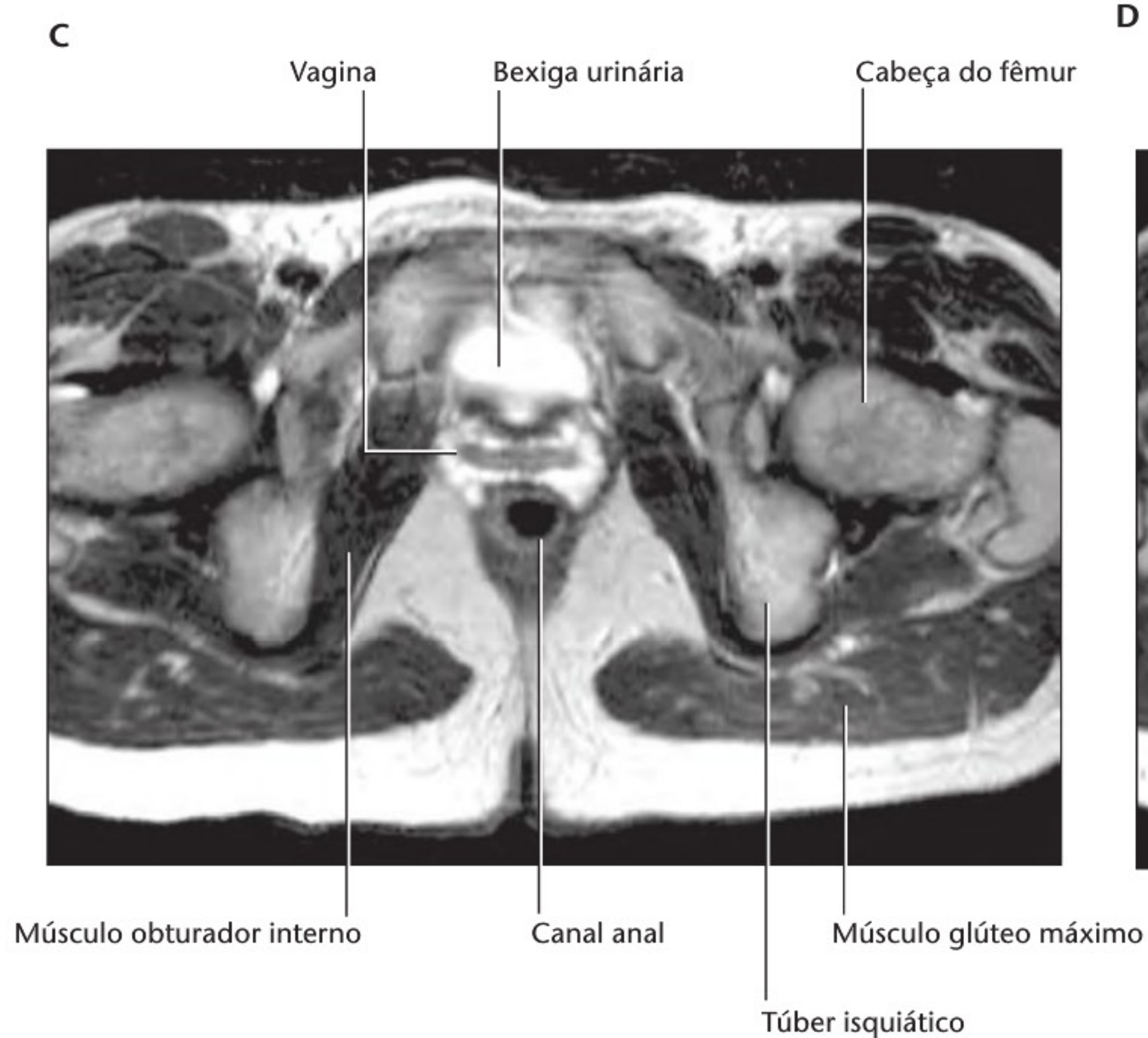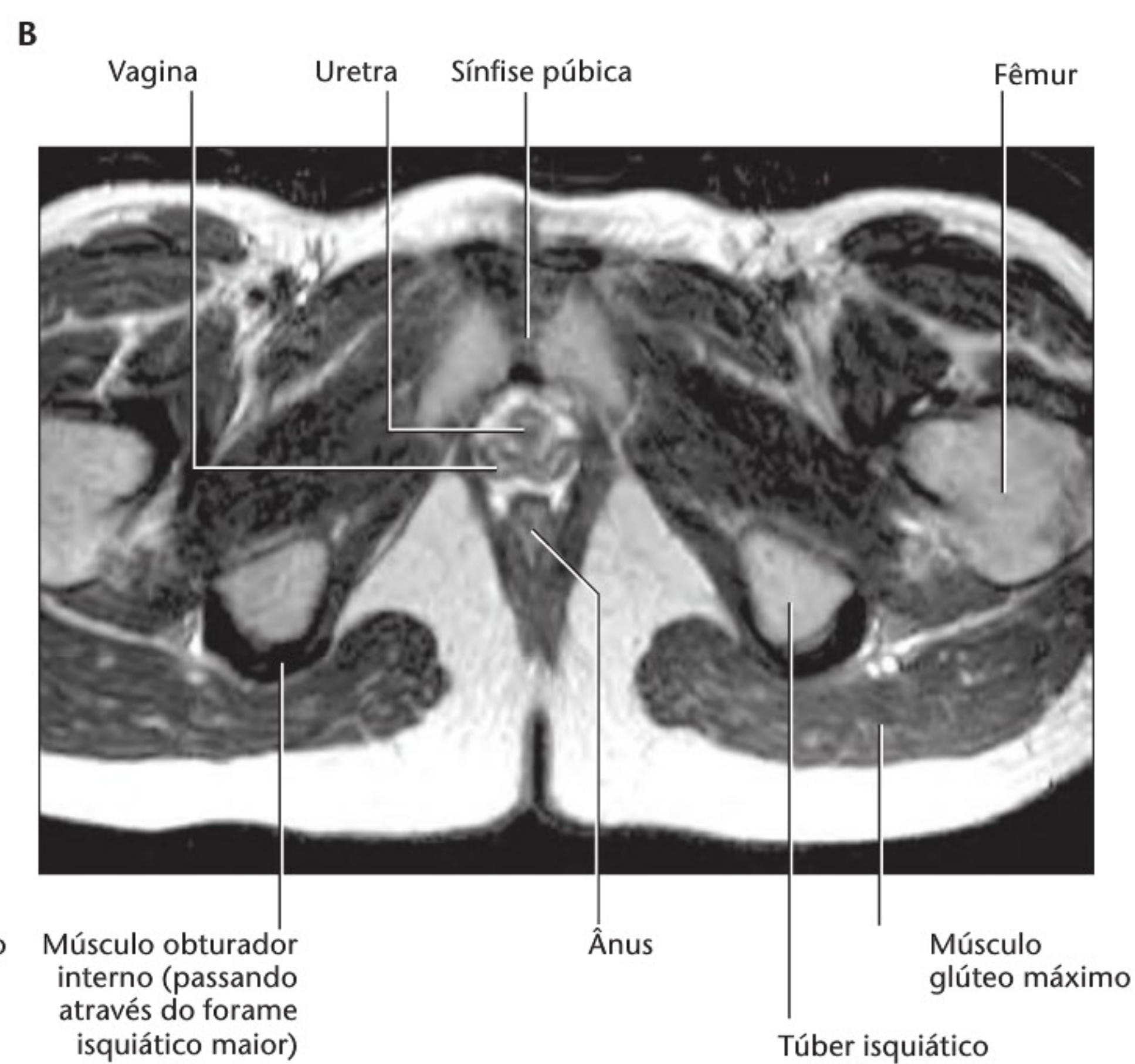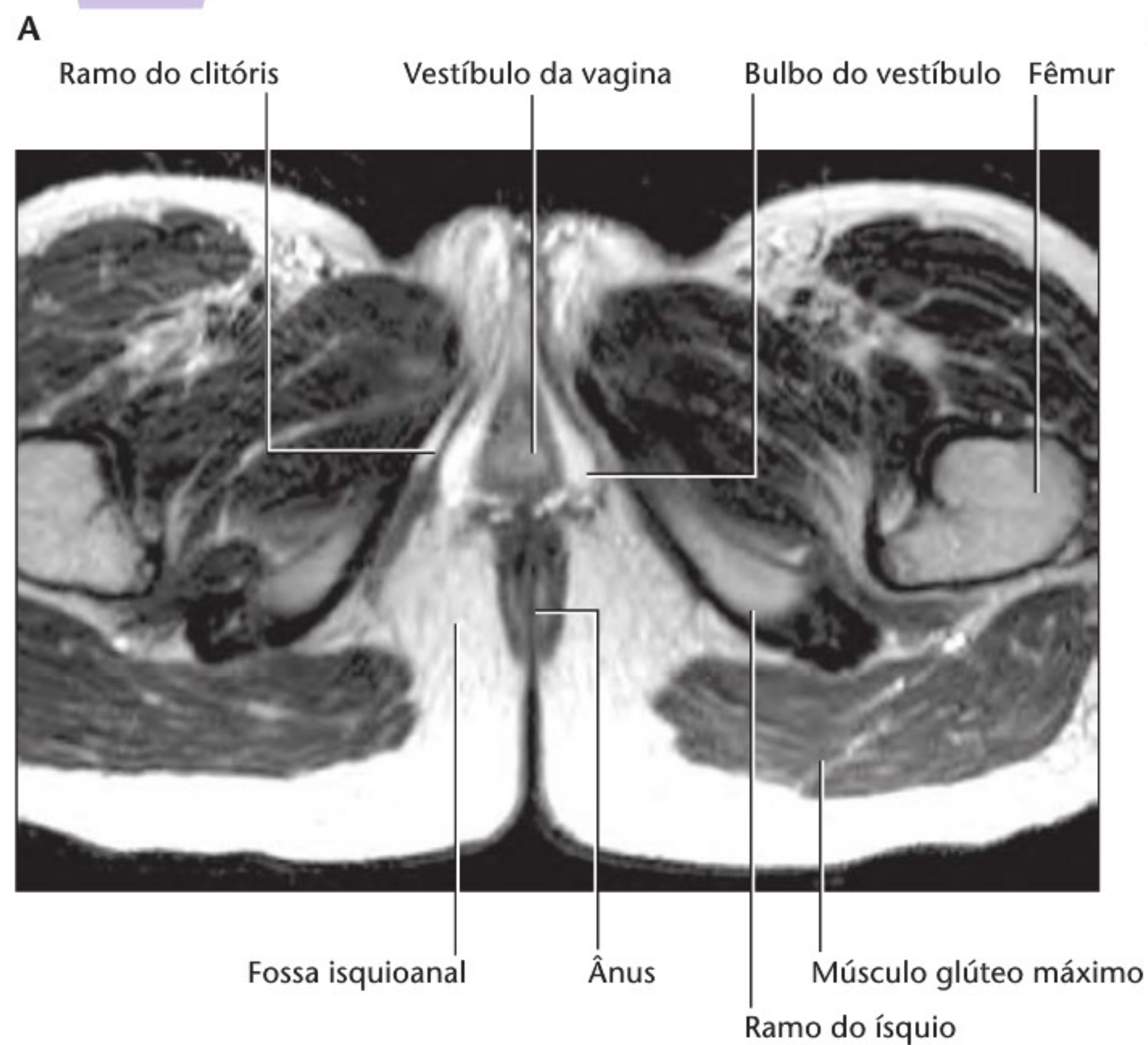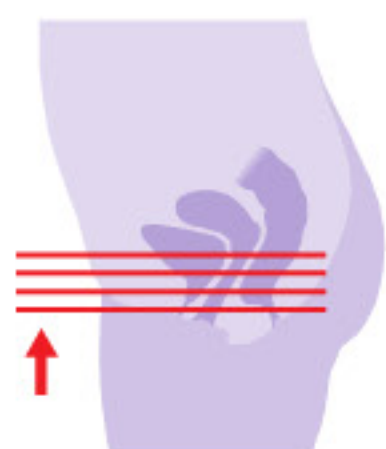
A

Ramo do clitóris
Vestíbulo da vagina
Bulbo do vestíbulo
Fêmur
Fossa isquioanal
Ânus
Músculo glúteo máximo
Ramo do ísquio

B

Vagina
Uretra
Sínfise púbica
Fêmur
Músculo obturador interno (passando através do forame isquiático maior)
Ânus
Músculo glúteo máximo
Túber isquiático

C

Vagina
Bexiga urinária
Cabeça do fêmur
Músculo obturador interno
Canal anal
Músculo glúteo máximo
Túber isquiático

D

Acetábulo
Vagina
Bexiga urinária
Cabeça do fêmur
Músculo obturador interno
Reto
Ísquio
Músculo glúteo máximo

A até H – Série de imagens que passam através da cavidade pélvica e do períneo de inferior para superior, mostrando as várias estruturas e suas relações umas com as outras.
Imagens de RM ponderadas em T2, no plano transversal (axial)
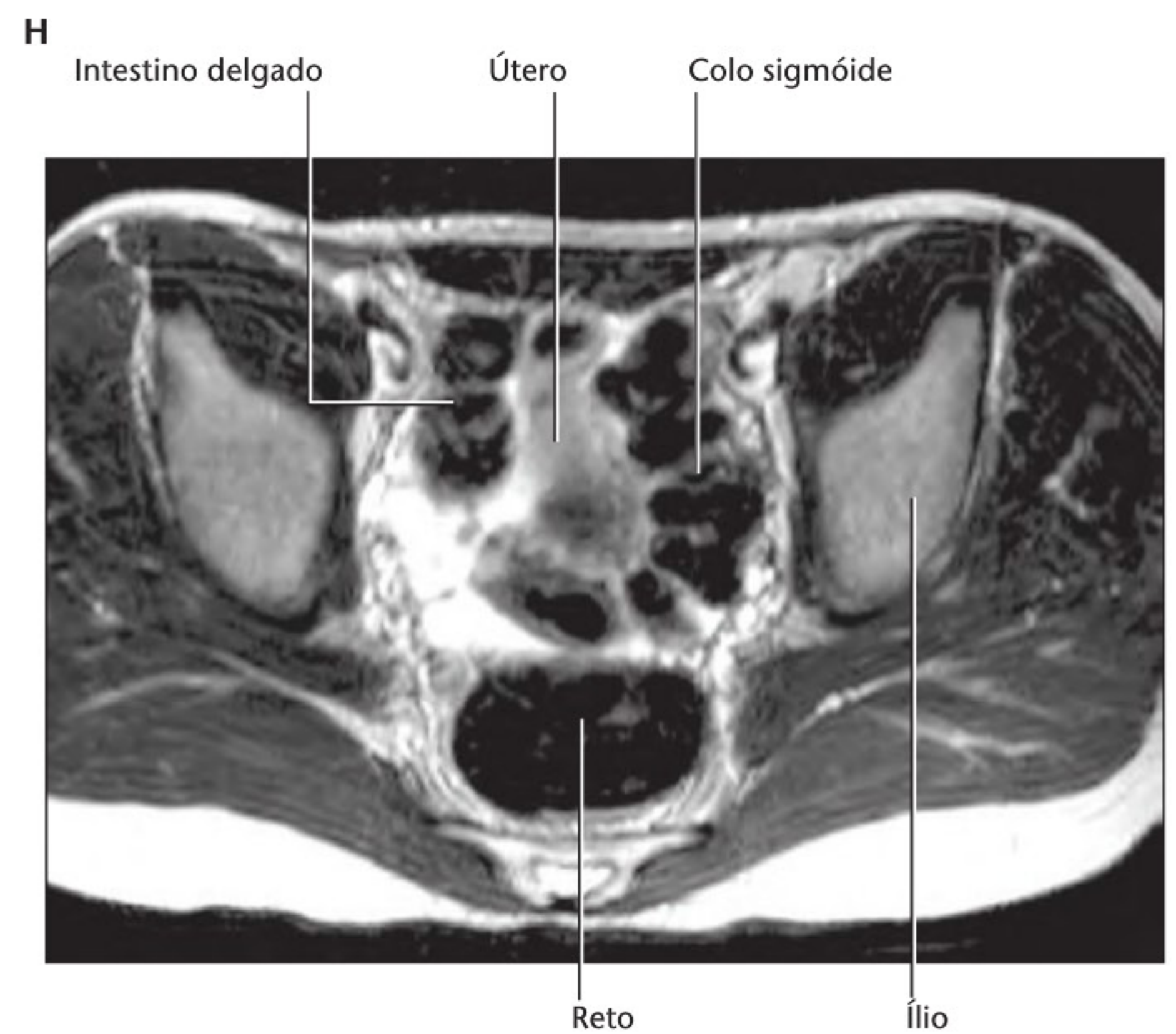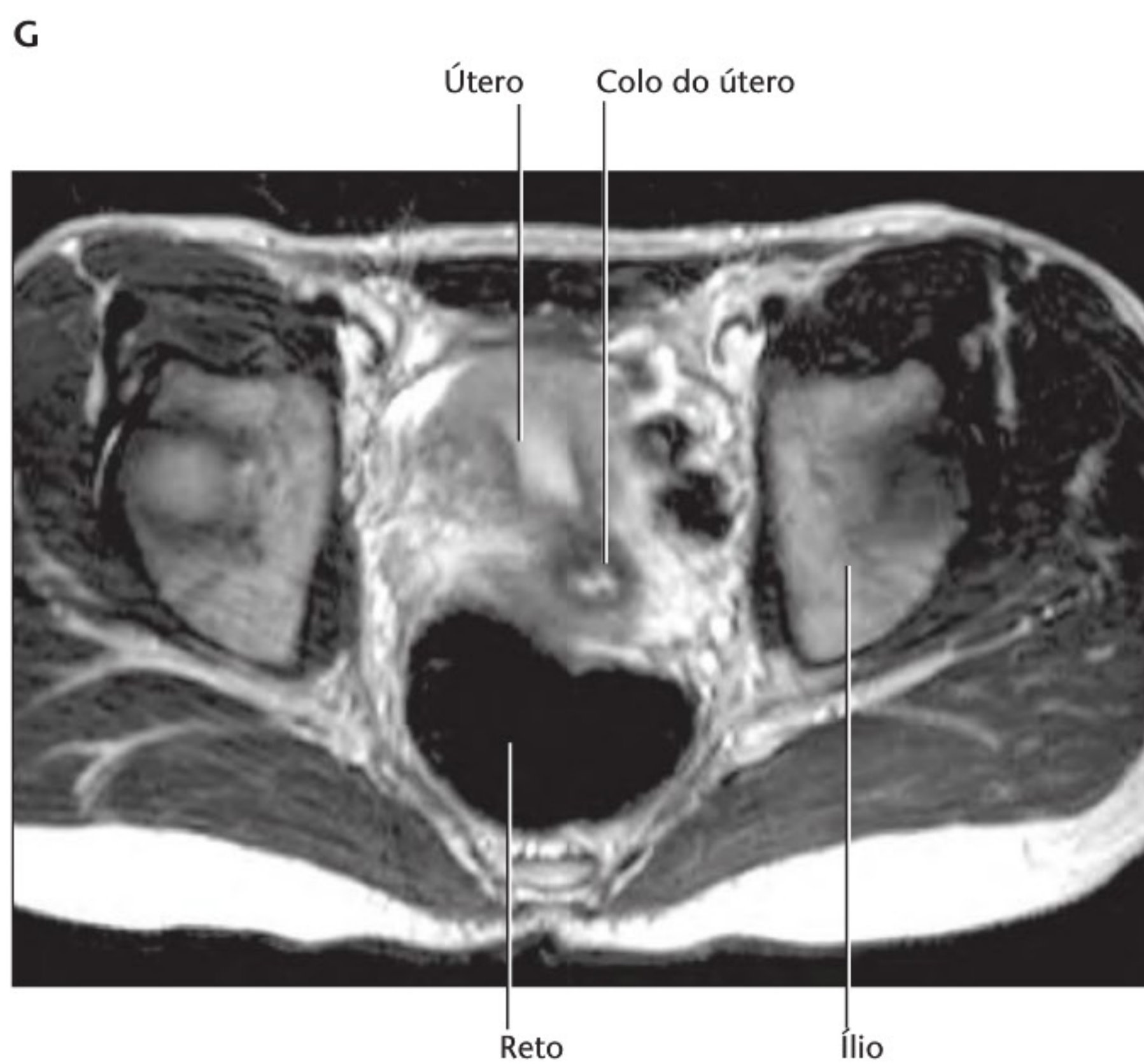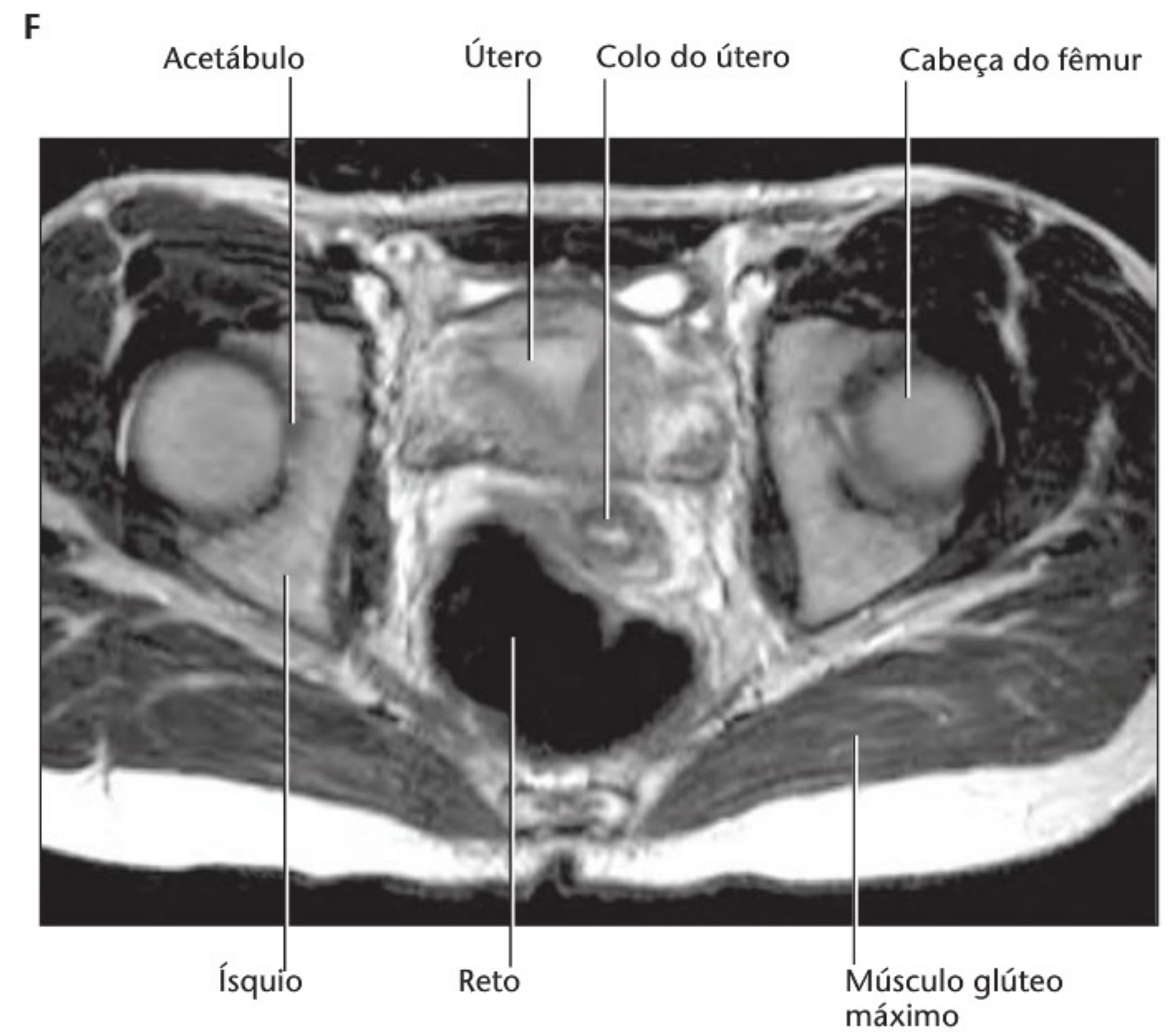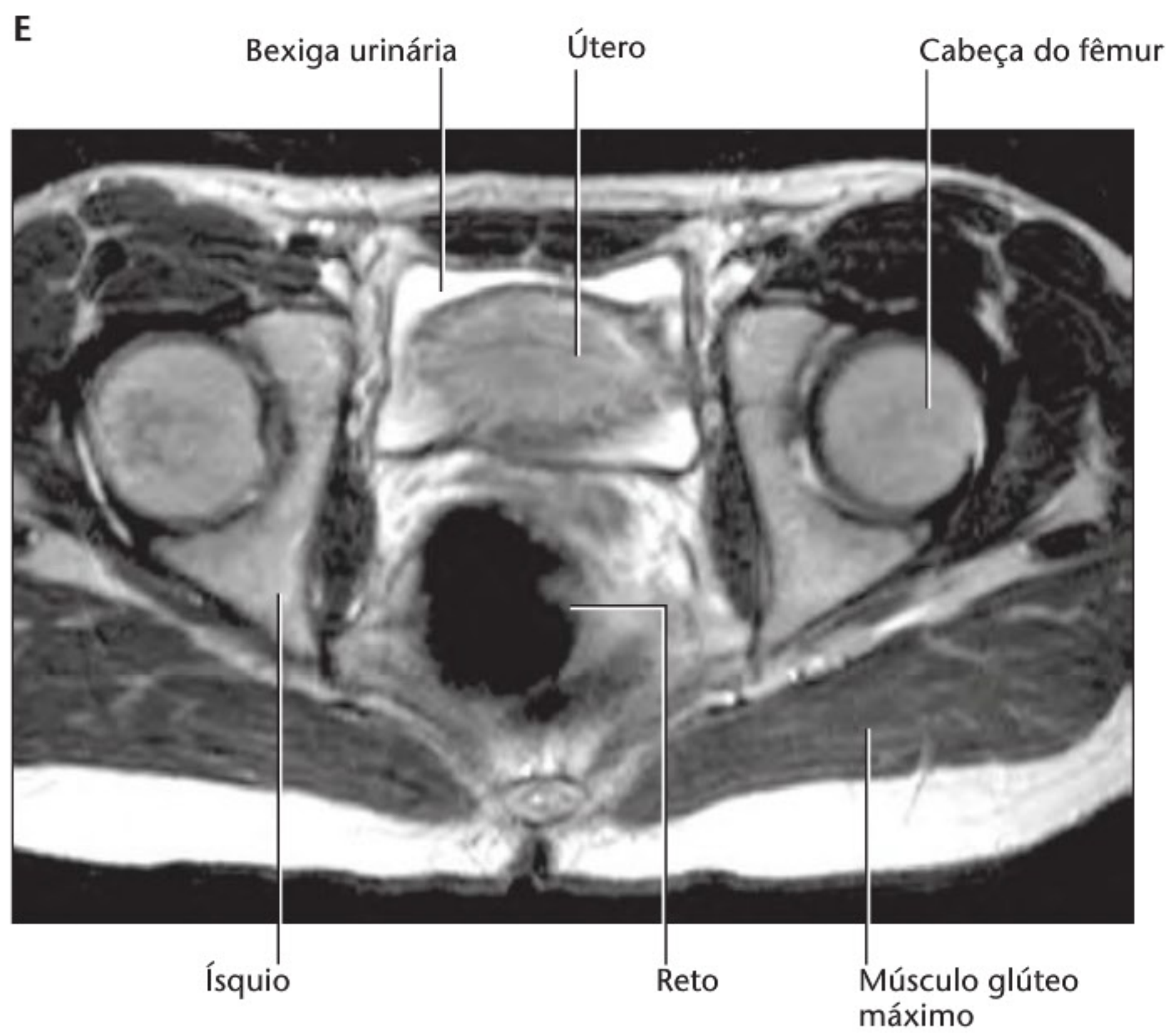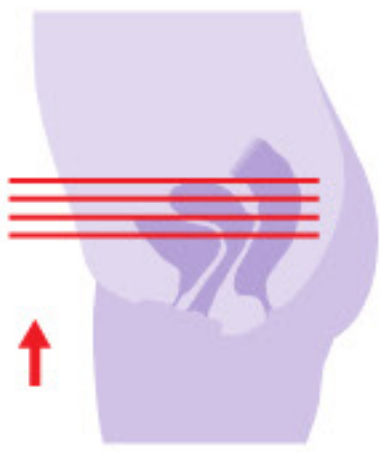
6
MEMBRO INFERIOR

CONTEÚDO

Espinha ilíaca ântero-superior
Músculo tensor da fáscia lata
Fenda interglútea
Trocanter maior
Músculo glúteo máximo
Escroto
"Prega glútea"
Músculo sartório
Trato iliotibial
Músculo vasto lateral
Músculo vasto medial
Trato iliotibial
Tendão do músculo semitendíneo
Tendão do músculo bíceps femoral
Patela
Cabeça da fíbula
Fossa poplítea
Tuberosidade da tíbia
Músculo gastrocnêmio
Músculo gastrocnêmio
Tíbia

Vista anterior

Vista posterior

Maléolo medial
Maléolo lateral
Tendões dos músculos fibulares longo e curto
Tendão do calcâneo (de Aquiles)
Maléolo lateral
Arco venoso dorsal do pé
Tendões do músculo extensor longo dos dedos
Articulação metatarsofalângica do hálux
Tuberosidade do calcâneo
Quinto dedo (dedo V)
Quarto dedo (dedo IV)
Terceiro dedo (dedo III)
Segundo dedo (dedo II)
Hálux (dedo I)

Pelve
Quadril
Coxa
Joelho
Perna
Tornozelo
Pé

Vista anterior

Osso do quadril
Espinha ilíaca ântero-superior
Espinha ilíaca ântero-inferior
Articulação do quadril
Trocanter maior
Linha intertrocantérica
Trocanter menor
Sacro
Sínfise púbica
Cóccix
Forame obturado
Fêmur
Epicôndilo lateral
Patela
Epicôndilo medial
Articulação do joelho
Côndilo lateral
Côndilo medial
Cabeça da fíbula
Tuberosidade da tíbia
Tíbia
Fíbula
Corpo da tíbia
Maléolo medial
Articulação do tornozelo
Maléolo lateral
Tálus
Calcâneo
Navicular
Cubóide
Ossos cuneiformes
Ossos metatarsais (I-V)
Falanges

Vista posterior

Osso do quadril
Espinha ilíaca póstero-superior
Articulação do quadril
Espinha isquiática
Trocanter maior
Crista intertrocantérica
Trocanter menor
Túber isquiático
Linha áspera
Epicôndilo lateral
Côndilo lateral
Cabeça da fíbula
Linha para o músculo sóleo
Fíbula
Tíbia
Tuberosidade do calcâneo
Maléolo lateral
Calcâneo
Cubóide
Ossos metatarsais (I-V)
Falanges

Crista ilíaca
Fossa ilíaca
Articulação sacroilíaca
Promontório do sacro
Sacro
Espinha isquiática
Trocanter maior
Colo do fêmur
Linha intertrocantérica
Trocanter menor
Fêmur
Asa do sacro
Espinha ilíaca ântero-superior
Forames sacrais anteriores
Espinha ilíaca ântero-inferior
Cóccix
Forame obturado
Tubérculo púbico
Sínfise púbica
Ramo inferior do púbis
Ramo superior do púbis
Ramo do ísquio

Vista anterior

Crista ilíaca
Face glútea
Espinha ilíaca póstero-superior
Processo articular superior
Espinha ilíaca póstero-inferior
Sacro
Hiato sacral
Cóccix
Trocanter maior
Crista intertrocantérica
Trocanter menor
Fêmur
Linha áspera
Forames sacrais posteriores
Espinha isquiática
Forame obturado
Sínfise púbica
Ramo inferior do púbis
Ramo superior do púbis
Ramo do ísquio

Vista posterior

Lábio do acetábulo
Fossa do acetábulo
Espinha isquiática
Tubérculo púbico
Ramo inferior do púbis
Face semilunar (articular)
Incisura do acetábulo
Ligamento transverso do acetábulo
Membrana obturadora
Túber isquiático

Fossa do acetábulo e ligamento transverso do acetábulo

Cabeça do fêmur
Membrana sinovial seccionada
Ramo acetabular da artéria obturatória
O ramo acetabular da artéria obturatória origina a artéria do ligamento da cabeça do fêmur
Ramo anterior da artéria obturatória
Ligamento da cabeça do fêmur
Membrana sinovial ao redor do ligamento
Membrana sinovial seccionada
Ramo posterior da artéria obturatória
Fêmur

Ligamento da cabeça do fêmur.
A cabeça do fêmur está rodada lateralmente

Colo do fêmur
Ílio
Cabeça do fêmur
Sacro
Púbis
Forame obturado
Ísquio
Trocanter menor
Linha intertrocantérica
Trocanter maior

Articulação do quadril normal.
Radiografia em vista AP

O ramo acetabular da artéria obturatória origina a artéria do ligamento da cabeça do fêmur
Artéria obturatória
Ramo anterior
Ramo acetabular
Ramo posterior

Artéria obturatória e seus ramos

"Teto" do acetábulo
Lábio do acetábulo
Cabeça do fêmur
Ligamento da cabeça do fêmur
Ligamentos e cápsula articular
Membrana sinovial
Fossa do acetábulo
Colo do fêmur
Linha epifisial
Ligamento transverso do acetábulo
Trocanter maior
Membrana sinovial
Zona orbicular
Trocanter menor

Secção frontal (coronal) através da articulação do quadril

Corpo vertebral de LIV
Ílio
Acetábulo
Cabeça do fêmur
Trocanter maior
Colo do fêmur
Trocanter menor
Túber isquiático

Articulações do quadril.
Imagem de TC no plano frontal (coronal)

Margem de fixação da membrana sinovial ao redor da cabeça do fêmur
Ligamento iliofemoral
Membrana fibrosa
Zona orbicular (fibras circulares internas da membrana fibrosa)
Cabeça do fêmur
Membrana sinovial se projeta para trás para se fixar no limbo (margem) do acetábulo
Zona orbicular (fibras circulares internas da membrana fibrosa)
Ligamento pubofemoral
Membrana sinovial
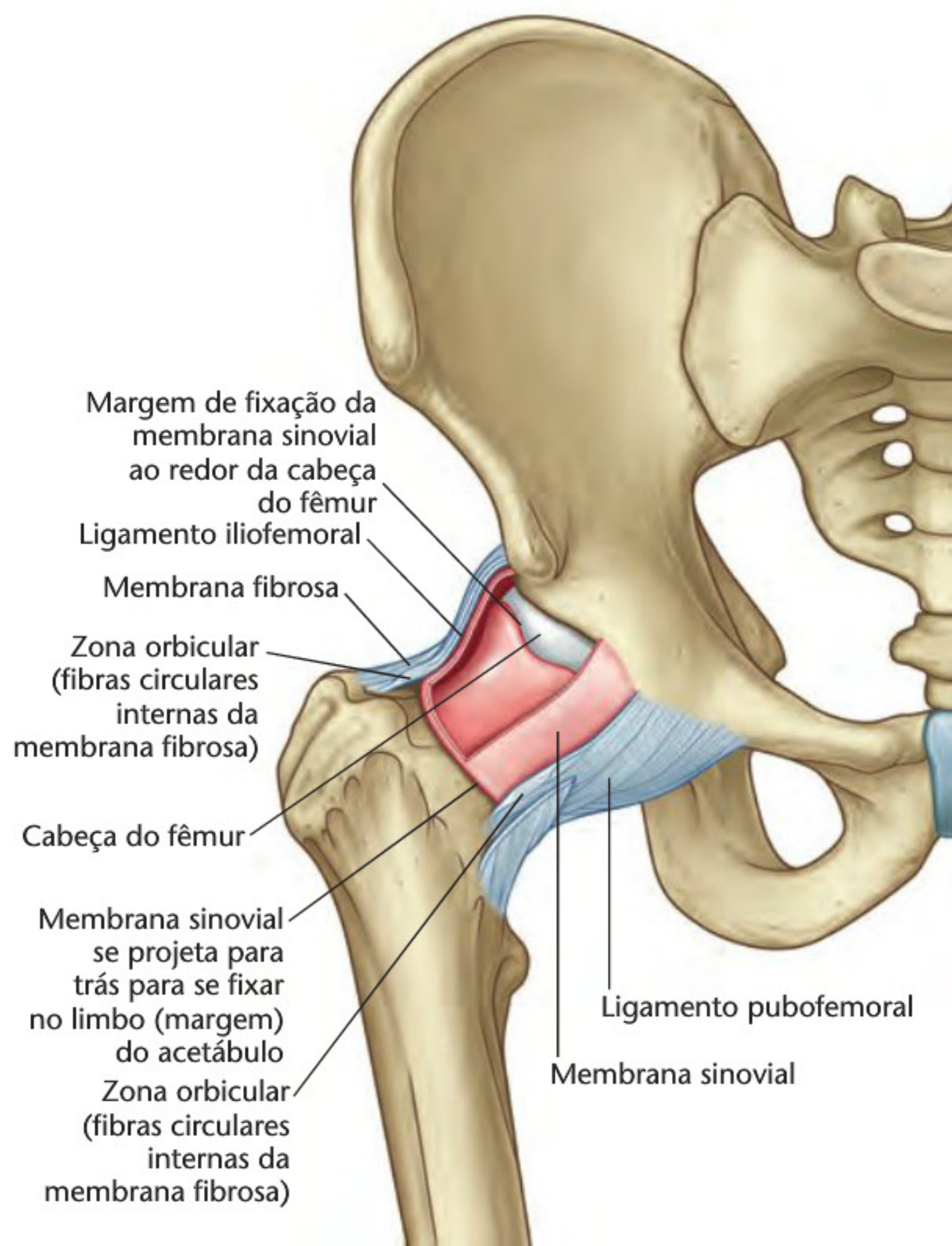
Cápsula articular e membrana sinovial*

Espinha isquiática
Ligamento iliofemoral
Trocanter maior
Crista intertrocantérica
Trocanter menor
Fêmur
Túber isquiático
Ligamento isquiofemoral

Ligamento isquiofemoral (vista posterior)

Espinha ilíaca ântero-superior
Espinha ilíaca ântero-inferior
Ligamento iliofemoral
Trocanter maior
Linha intertrocantérica
Fêmur
Ligamento pubofemoral
Eminência iliopúbica

Ligamentos iliofemoral e pubofemoral (vista anterior)

Artéria ilíaca interna
Artéria glútea superior
Parte abdominal da aorta
Artéria ilíaca externa
Artéria obturatória
Artéria pudenda interna
Artéria circunflexa ilíaca profunda
Artéria circunflexa ilíaca superficial
Artéria epigástrica superficial
Ramo ascendente da artéria circunflexa femoral lateral
Ramo transverso da artéria circunflexa femoral lateral
Artéria circunflexa femoral medial
Ramo descendente da artéria circunflexa femoral lateral
Primeiro ramo perfurante
Artéria femoral profunda
Artéria femoral
Artéria pudenda externa profunda
Ramo posterior da artéria obturatória e ramo acetabular
Artéria pudenda externa superficial

Suprimento arterial da articulação do quadril

* Nota da Revisão Científica: A cápsula articular está constituída pelas duas membranas, a fibrosa e a sinovial.

Crista ilíaca
Região glútea
Fenda interglútea
"Prega glútea"

Anatomia de superfície da região glútea

Músculo glúteo máximo
Músculo glúteo médio
Músculo glúteo mínimo
Músculo tensor da fáscia lata
Músculo sartório
Músculo gêmeo superior
Músculo reto femoral
Músculo quadrado femoral
Músculo obturador externo
Músculo glúteo médio
Músculo semimembranáceo
Músculo quadrado femoral
Músculo iliopsoas
Músculo glúteo máximo
Músculo adutor magno
Músculo obturador interno
Músculo adutor magno
Músculo gêmeo inferior
Músculos bíceps femoral (cabeça longa) e semitendíneo

Inserções musculares (ponto fixo e ponto móvel) da região glútea

Crista ilíaca
Espinha ilíaca ântero-superior
Músculo glúteo médio
Músculo sartório
Músculo tensor da fáscia lata
Músculo glúteo máximo
Músculo reto femoral
Músculo vasto lateral
Cabeça longa do músculo bíceps femoral
Trato iliotibial
Músculo semitendíneo
Cabeça curta do músculo bíceps femoral
Músculo semimembranáceo
Patela
Cabeça da fíbula
Músculo fibular longo
Músculo tibial anterior
Músculo gastrocnêmio (cabeça lateral)

Músculos do quadril e da coxa (vista lateral)

Crista ilíaca
Músculo glúteo médio
Músculo glúteo máximo
Músculo tensor da fáscia lata
Fixação do músculo glúteo máximo no trato iliotibial
Músculo adutor magno
Cabeça longa do músculo bíceps femoral
Músculo grácil
Músculo vasto lateral
Músculo semitendíneo
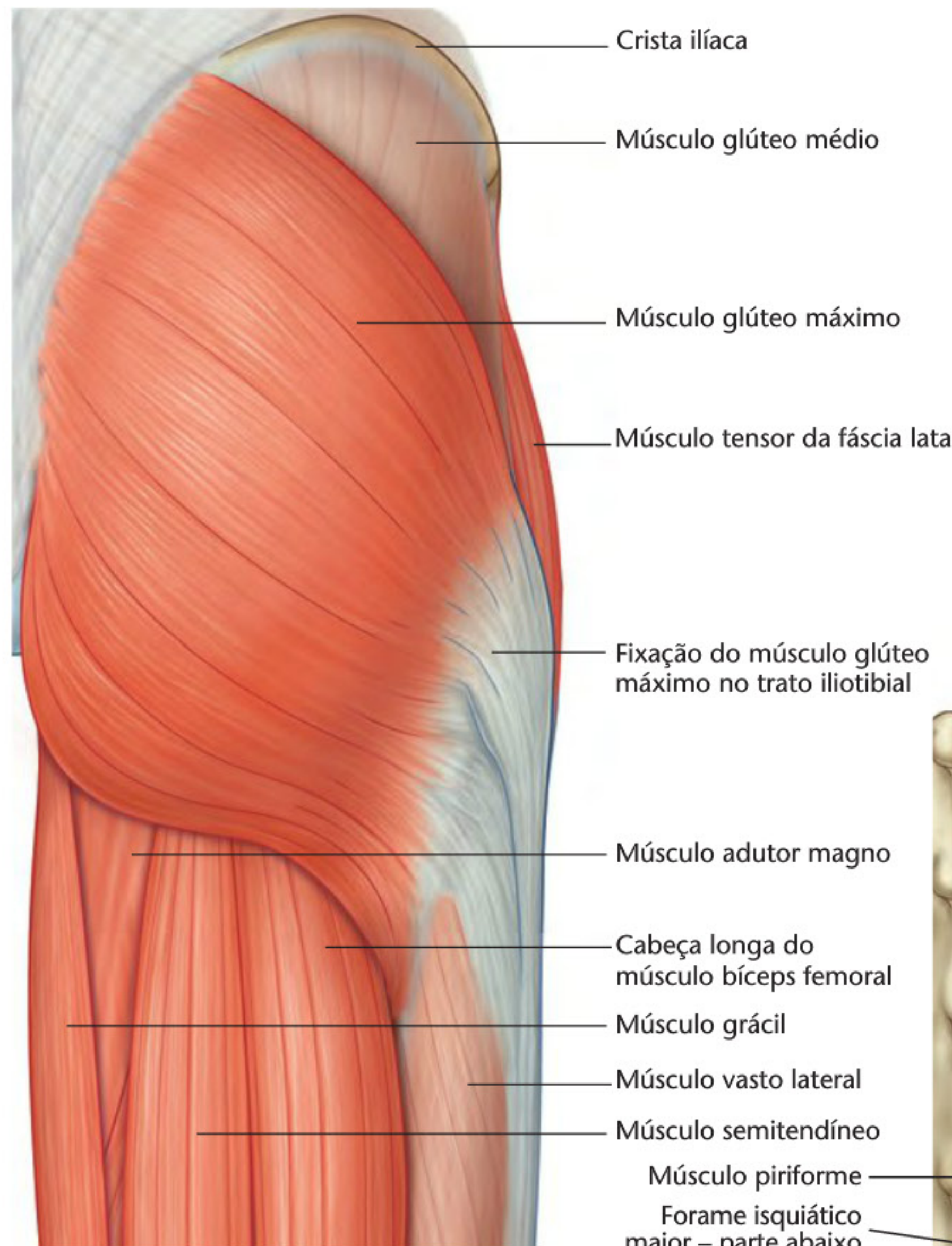
Músculos superficiais da região glútea (vista posterior)

Músculo glúteo médio (seccionado)
Músculo glúteo mínimo
Forame isquiático maior – parte acima do músculo piriforme
Músculo piriforme
Forame isquiático maior – parte abaixo do músculo piriforme
Ligamento sacroespinal
Músculo gêmeo superior
Ligamento sacrotuberal
Músculo gêmeo inferior
Músculo obturador interno
Túber isquiático
Músculo quadrado femoral
Trocanter menor
Trocanter maior
Fêmur
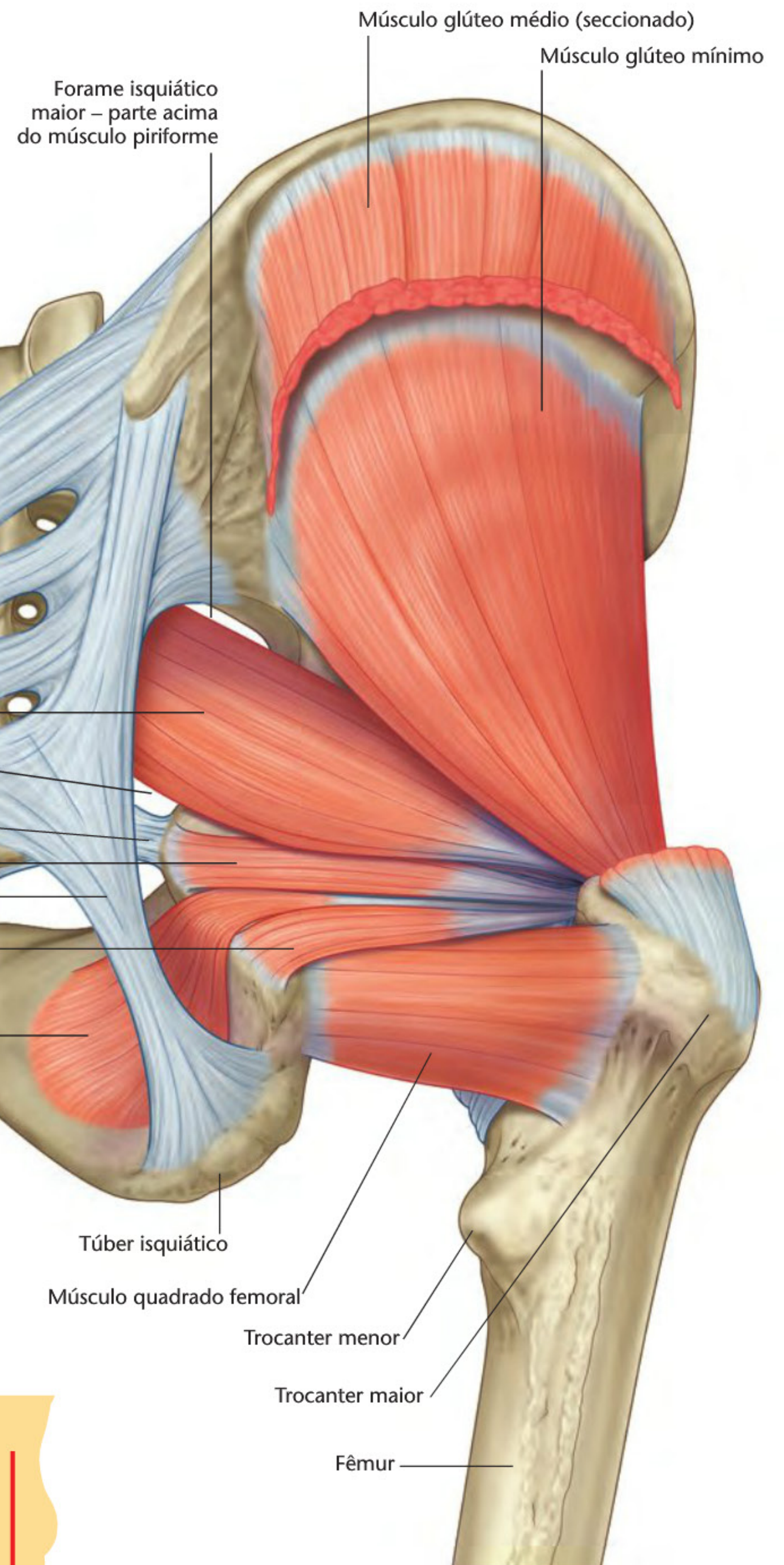
Músculos profundos da região glútea (vista posterior)

Corpo vertebral de LIV
Ílio
Músculo glúteo médio
Músculo glúteo mínimo
Acetábulo
Trocanter maior
Colo do fêmur
Trocanter menor
Túber isquiático

Posicionamento dos músculos glúteos médio e mínimo em relação à articulação do quadril.
Imagem de TC no plano frontal (coronal)

Nervos clúnios médios (ramos posteriores de S1-S3)
Músculo glúteo máximo (seccionado)
Artéria e veia glúteas superiores
Ramo superficial da artéria glútea superior
Músculo glúteo médio (seccionado)
Músculo glúteo mínimo
Ramos profundos da artéria glútea superior
Nervo glúteo superior
Músculo tensor da fáscia lata
Artéria e veia glúteas inferiores
Músculo piriforme
Artéria circunflexa femoral lateral (ramo ascendente)
Nervo glúteo inferior
Nervo para o músculo obturador interno
Vasos pudendos internos e nervo pudendo
Músculo quadrado femoral
Nervos clúnios inferiores
Artéria circunflexa femoral medial
Nervo isquiático
Músculo glúteo máximo (seccionado)
Nervo cutâneo perfurante
Nervos clúnios inferiores
Nervo cutâneo femoral posterior
Artéria femoral
Primeira artéria perfurante (da artéria femoral profunda)

Artérias e nervos da região glútea

Músculo piriforme
Trocanter maior
Túber isquiático
"Prega glútea"
Nervo isquiático
Fêmur

Nervo isquiático na região glútea e sua relação com a superfície do corpo (vista posterior)

Artéria glútea superior
Ramo superficial da artéria glútea superior
Ramo profundo da artéria glútea superior
Músculo piriforme
Artéria glútea inferior
Artéria pudenda interna
Artéria circunflexa femoral medial
Ligamento sacroespinal
Ligamento sacrotuberal
Artéria circunflexa femoral lateral
Artéria femoral profunda
Artéria femoral
Primeira artéria perfurante
Fêmur

Artérias da região glútea

Ramo anterior de L1
Ramo anterior de L2
Ramo anterior de L3
Nervo ilio-hipogástrico
Nervo ilioinguinal
Nervo obturatório
Nervo cutâneo femoral lateral
Tronco lombossacral
Ramo femoral do nervo genitofemoral
Nervo glúteo superior
Nervo glúteo inferior
Nervos para os músculos quadrado femoral e obturador interno
S1
S2
S3
Nervo femoral
Nervo cutâneo perfurante
Nervo cutâneo femoral posterior
Nervo isquiático

Ramos do plexo lombossacral relacionados ao membro inferior

Vista lateral *Vista anterior* *Vista posterior* *Vista medial*

Linha supracondilar medial
Linha supracondilar lateral
Linha intercondilar
Face poplítea
Tubérculo do adutor
Tubérculo do adutor
Epicôndilo medial
Epicôndilo lateral
Epicôndilo medial
Epicôndilo lateral
Côndilo lateral do fêmur
Côndilo medial do fêmur
Côndilo lateral do fêmur
Face patelar
Fossa intercondilar
Côndilo medial do fêmur

Extremidade distal do fêmur (direito)

Face articular superior (faceta lateral)
Eminência intercondilar
Tubérculos intercondilares
Face articular superior (faceta medial)
Côndilo lateral da tíbia
Côndilo medial da tíbia
Côndilo lateral da tíbia
Área intercondilar anterior
Área intercondilar posterior
Tuberosidade da tíbia
Tuberosidade da tíbia
Face articular fibular
Face articular fibular
Linha para o músculo sóleo
Côndilo medial da tíbia
Face medial
Margem anterior
Margem medial
Face lateral
Face posterior
Margem interóssea
Margem interóssea

Vista lateral *Vista anterior* *Vista posterior* *Vista medial*

Extremidade proximal da tíbia (direita)

Base da patela
Face anterior
Base da patela
Margem lateral
Margem medial
Face articular
Ápice da patela
Ápice da patela
Vista anterior
Ápice da patela
Vista posterior
Margem lateral
Margem medial
Vista inferior

Patela (direita)

Ápice da cabeça da fíbula
Face articular da cabeça da fíbula
Ápice da cabeça da fíbula
Cabeça da fíbula
Cabeça da fíbula
Colo da fíbula
Colo da fíbula
Crista medial
Corpo da fíbula
Corpo da fíbula
Face medial
Margem anterior
Face lateral
Face "anterior"
Face posterior
Margem interóssea
Vista anterior *Vista posterior*

Extremidade proximal da fíbula (direita)

Músculo ilíaco
Músculo sartório
Músculo piriforme
Músculo reto femoral
Músculo obturador interno
Músculo piriforme
Músculo glúteo mínimo
Músculo quadrado femoral
Músculo vasto lateral
Músculo iliopsoas
Músculo vasto medial
Músculo obturador externo
Músculo pectíneo
Músculo grácil
Músculo adutor curto
Músculo adutor longo
Músculo adutor magno
Músculo vasto intermédio
Músculo articular do joelho
Músculo adutor magno
Trato iliotibial
Músculo bíceps femoral
Músculo quadríceps femoral via ligamento da patela
Músculo grácil
Músculo sartório
Músculo semitendíneo
"Pata-de-ganso" (*pes anserinus*)

Músculo glúteo máximo
Músculo glúteo médio
Músculo tensor da fáscia lata
Músculo glúteo mínimo
Músculo sartório
Músculo reto femoral
Músculo gêmeo superior
Músculo obturador externo
Músculo glúteo médio
Músculo quadrado femoral
Músculo obturador interno
Músculo gêmeo inferior
Músculo adutor magno
Músculos bíceps femoral (cabeça longa) e semitendíneo
Músculo semimembranáceo
Músculo iliopsoas
Músculo pectíneo
Músculo glúteo máximo
Músculo adutor curto
Músculo vasto medial
Cabeça curta do músculo bíceps femoral
Músculo adutor magno
Músculo vasto lateral
Músculo adutor longo
Músculo vasto intermédio
Músculo plantar
Músculo gastrocnêmio (cabeça medial)
Músculo gastrocnêmio (cabeça lateral)
Músculo poplíteo
Músculo semimembranáceo
Músculo poplíteo

Inserções musculares (ponto fixo e ponto móvel) na pelve e na coxa

Inserções proximais
Inserções distais

Vista anterior

Vista posterior

Ligamento inguinal
Músculo tensor da fáscia lata
Músculo iliopsoas { Músculo psoas maior
Músculo ilíaco
Músculo pectíneo
Músculo adutor longo
Músculo vasto lateral
Músculo sartório
Músculo grácil
Músculo reto femoral
Trato iliotibial
Músculo vasto medial
Patela
Compartimento posterior da coxa
Compartimento anterior da coxa
Compartimento medial da coxa

Anatomia de superfície do membro inferior demonstrando o "revestimento" muscular (vista anterior)

Músculos superficiais da coxa (vista anterior)

Músculos superficiais da coxa (vista posterior)

Anatomia de superfície do membro inferior demonstrando o "revestimento" muscular (vista posterior)

Músculo ilíaco
Músculo sartório
Músculo reto femoral
Músculo vasto lateral
Músculo iliopsoas
Músculo vasto medial
Músculo sartório
Músculo reto femoral
Músculo vasto intermédio
Músculo quadríceps femoral via ligamento da patela
Músculo sartório
Músculo vasto lateral
Músculo vasto medial

Inserções musculares (ponto fixo e ponto móvel) do compartimento anterior da coxa

Compartimento anterior
Compartimento medial
Compartimento posterior

Músculo sartório (seccionado)
Músculo iliopsoas
Músculo obturador externo
Músculo sartório (seccionado)
Músculo vasto lateral
Tendão do músculo quadríceps femoral
Patela
Ligamento colateral fibular
Ligamento da patela
Tendão do músculo sartório

Músculos superficiais do compartimento anterior da coxa

Vértebra LI
Músculo psoas maior
Músculo ilíaco
Ligamento inguinal
Trocanter maior
Músculo vasto medial
Músculo vasto intermédio
Patela
Ligamento colateral fibular
Ligamento colateral tibial

Músculos profundos do compartimento anterior da coxa

Músculo pectíneo
Músculo grácil
Músculo adutor curto
Músculo adutor longo
Músculo obturador externo
Músculo adutor magno
Músculo quadrado femoral

Músculo obturador externo
Músculo pectíneo
Músculo adutor magno
Músculo adutor curto
Músculo adutor magno
Músculo grácil
Músculo adutor longo
Músculo adutor magno

Inserções musculares (ponto fixo e ponto móvel) do compartimento medial da coxa

Compartimento anterior
Compartimento posterior
Compartimento medial

Ligamentos da articulação do quadril
Músculo pectíneo
Músculo adutor curto
Músculo grácil
Músculo adutor longo
Músculo adutor magno
Fêmur
Hiato dos adutores
Tendão do músculo adutor magno
Epicôndilo lateral
Patela
Epicôndilo medial
Tendão do músculo grácil
Fíbula
Tíbia

Músculos superficiais do compartimento medial da coxa

Ligamentos da articulação do quadril
Músculo obturador externo
Músculo adutor curto
Aberturas para as artérias perfurantes (ramos da artéria femoral profunda)
Músculo adutor magno
Fêmur

Músculos profundos do compartimento medial da coxa

Ligamento inguinal (base do trígono femoral)
Músculo ilíaco
Músculo psoas maior
Músculo pectíneo
Músculo sartório (margem lateral)
Músculo adutor longo (margem medial)
Músculo grácil

Limites do trígono femoral

Canal femoral (compartimento medial da bainha femoral contendo vasos linfáticos e linfonodos)
Linfonodos ilíacos externos
Bainha femoral contínua com a fáscia transversal (anterior) e com a fáscia ilíaca (posterior) da cavidade abdominal
Veia cava inferior
Parte abdominal da aorta
Ligamento inguinal
Músculo ilíaco
Nervo femoral
Bainha femoral
Veia safena magna
Linfonodos inguinais profundos no canal femoral
Músculo pectíneo
Artéria femoral
Veia femoral
Músculo grácil
Músculo adutor longo
Músculo reto femoral
Músculo sartório

Conteúdo do trígono femoral

Músculo psoas maior
Músculo ilíaco
Nervo femoral
Linfonodos inguinais profundos no canal femoral
Veia safena magna
Canal dos adutores
Hiato dos adutores
Artéria e veia femorais passando através do hiato dos adutores
Nervo safeno

Canal dos adutores

Músculo psoas maior
Artéria ilíaca comum
Músculo ilíaco
Nervo femoral
Artéria ilíaca externa
Ligamento inguinal
Ramo muscular (para o músculo sartório)
Ramo muscular (para o músculo pectíneo)
Nervo cutâneo femoral lateral
Ramos cutâneos anteriores do nervo femoral
Músculo piriforme
Nervo obturatório
Músculo pectíneo
Artéria femoral
Músculo adutor longo
Músculo grácil
Ramos musculares do nervo obturatório
Nervo safeno
Músculo vasto medial
Margem seccionada da fáscia lata
Ramo cutâneo anterior do nervo femoral
Ramo safeno da artéria descendente do joelho

Artérias e nervos superficiais da coxa (vista anterior)

Nervo obturatório
Nervo femoral
Músculo pectíneo (seccionado)
Músculo obturador externo
Ramo ascendente da artéria circunflexa femoral lateral
Ramo transverso da artéria circunflexa femoral lateral
Ramo posterior do nervo obturatório
Artéria femoral profunda
Ramo anterior do nervo obturatório
Ramo descendente da artéria circunflexa femoral lateral
Músculo vasto lateral
Ramos musculares do nervo femoral
Extremidade terminal da artéria femoral profunda
Músculo vasto intermédio
Nervo safeno
Artéria femoral passando através do hiato dos adutores
Ramo articular da artéria descendente do joelho
Artéria superior lateral do joelho
Ramo safeno da artéria descendente do joelho
Ramo circunflexo fibular da artéria tibial posterior
Artéria tibial anterior

Artérias e nervos profundos da coxa (vista anterior)

Artéria glútea superior
Artéria ilíaca comum
Parte abdominal da aorta
Artéria ilíaca externa
Artéria circunflexa ilíaca profunda
Artéria circunflexa ilíaca superficial
Artéria obturatória
Artéria glútea inferior
Ramo ascendente da artéria circunflexa femoral lateral
Artéria pudenda externa superficial
Ramo transverso da artéria circunflexa femoral lateral
Artéria epigástrica superficial
Artéria femoral
Artéria circunflexa femoral medial
Artéria pudenda externa profunda
Primeira artéria perfurante (ramo da artéria femoral profunda)
Artéria femoral
Artéria femoral profunda
Artéria circunflexa femoral lateral
Segunda artéria perfurante
Ramo ascendente
Ramo transverso
Terceira artéria perfurante
Ramo descendente
Artéria descendente do joelho
Extremidade terminal da artéria femoral profunda
Artéria femoral profunda
Ramo safeno da artéria descendente do joelho
Artéria circunflexa femoral medial
Ramo descendente da artéria circunflexa femoral lateral
Ramo articular da artéria descendente do joelho
Fêmur
Artéria superior medial do joelho
Artéria superior lateral do joelho
Artéria inferior lateral do joelho
Artéria inferior medial do joelho
Ramo circunflexo fibular da artéria tibial posterior
Artéria recorrente tibial anterior
Tíbia
Fíbula
Artéria tibial anterior

Artérias da coxa (vista anterior)

Músculo semimembranáceo
Músculos bíceps femoral (cabeça longa) e semitendíneo
Músculo bíceps femoral
Músculo semitendíneo
Cabeça curta do músculo bíceps femoral
Músculo semimembranáceo

Inserções musculares (ponto fixo e ponto móvel) do compartimento posterior da coxa

Compartimento anterior
Compartimento medial
Compartimento posterior

Músculo gêmeo superior
Músculo gêmeo inferior
Músculo quadrado femoral
Músculo adutor magno
Cabeça longa do músculo bíceps femoral
Músculo semitendíneo
Cabeça curta do músculo bíceps femoral
Músculo semimembranáceo
Ligamento poplíteo oblíquo
Tendão do músculo semimembranáceo
Tendão do músculo bíceps femoral
Tendão do músculo semitendíneo

Músculos superficiais do compartimento posterior da coxa

Músculos profundos do compartimento posterior da coxa

Ramo superficial da artéria glútea superior
Artéria glútea superior
Artéria glútea inferior
Ramo profundo da artéria glútea superior
Nervo cutâneo femoral posterior
Músculo piriforme
Músculo gêmeo superior
Músculo obturador interno
Nervos clúnios inferiores
Músculo gêmeo inferior
Artéria circunflexa femoral medial
Nervo isquiático
Ramos perineais
Primeira artéria perfurante (ramo da artéria femoral profunda)
Fêmur
Músculo adutor magno
Segunda artéria perfurante
Músculo semitendíneo
Ramos musculares do nervo isquiático
Músculo semimembranáceo
Músculo vasto lateral
Nervo fibular comum
Cabeça curta do músculo bíceps femoral
Cabeça longa do músculo bíceps femoral (seccionado)
Artéria poplítea
Nervo fibular comum
Nervo tibial
Artéria inferior lateral do joelho
Ramo circunflexo fibular
Artéria tibial anterior
Fíbula
Tíbia

Artérias e nervos da coxa (vista posterior)

Ramo superficial da artéria glútea superior
Artéria glútea superior
Ramo profundo da artéria glútea superior
Artéria glútea inferior
Músculo piriforme
Artéria circunflexa femoral medial
Primeira artéria perfurante (ramo da artéria femoral profunda)
Músculo adutor magno
Fêmur
Segunda artéria perfurante
Terceira artéria perfurante
Ramo descendente da artéria circunflexa femoral lateral
Extremidade terminal da artéria femoral profunda
Cabeça curta do músculo bíceps femoral
Hiato dos adutores
Cabeça longa do músculo bíceps femoral (seccionada)
Artéria superior medial do joelho
Artéria superior lateral do joelho
Artérias surais
Artéria poplítea
Artéria inferior medial do joelho
Artéria inferior lateral do joelho
Ramo circunflexo fibular
Artéria tibial anterior

Artérias profundas da coxa (vista posterior)

Nervo glúteo superior
Nervo cutâneo femoral posterior
Nervos clúnios inferiores
Ramos perineais (do nervo cutâneo femoral posterior)
Nervo isquiático
Fêmur
Ramos musculares (do nervo isquiático)
Nervo fibular comum
Nervo sural
Nervo tibial
Fíbula
Tíbia

Nervos da coxa (vista posterior)

Ramo superficial da artéria glútea superior
Ramo profundo da artéria glútea superior
Artéria glútea superior
Artéria glútea inferior
Artéria circunflexa femoral lateral
Artéria circunflexa femoral medial
Artéria femoral profunda
Primeira artéria perfurante (ramo da artéria femoral profunda)
Segunda artéria perfurante
Artéria femoral
Fêmur
Terceira artéria perfurante
Extremidade terminal da artéria femoral profunda
Ramo descendente da artéria circunflexa femoral lateral
Artéria descendente do joelho
Ramo articular (da artéria descendente do joelho)
Ramo safeno (da artéria descendente do joelho)
Artéria superior medial do joelho
Artéria superior lateral do joelho
Artéria poplítea
Artérias surais (para o músculo gastrocnêmio)
Artéria inferior lateral do joelho
Artéria inferior medial do joelho
Ramo circunflexo fibular
Fíbula
Artéria tibial anterior
Tíbia

Artérias da coxa (vista posterior)

A

Músculo reto femoral
Artéria e veia femorais profundas
Músculo tensor da fáscia lata
Músculo vasto medial
Músculo iliopsoas
Músculo vasto intermédio
Músculo vasto lateral
Fêmur
Fáscia lata
Músculo glúteo máximo
Nervo isquiático
Ramos do nervo femoral
Músculo sartório
Artéria e veia femorais
Veia safena magna
Músculo adutor longo
Nervo obturatório (ramo anterior)
Músculo pectíneo
Músculo adutor curto
Nervo obturatório (ramo posterior)
Músculo grácil
Músculo adutor magno
Músculo semimembranáceo
Músculo semitendíneo
Cabeça longa do músculo bíceps femoral
Nervo cutâneo femoral posterior

B

Músculo reto femoral
Músculo vasto intermédio
Fêmur
Músculo vasto lateral
Trato iliotibial
Artéria e veia femorais profundas
Cabeça curta do músculo bíceps femoral
Cabeça longa do músculo bíceps femoral
Nervo isquiático
Músculo vasto medial
Músculo sartório
Nervo para o músculo vasto medial
Nervo safeno
Veia safena magna
Artéria e veia femorais
Músculo adutor longo
Músculo grácil
Músculo adutor magno
Músculo adutor curto
Músculo semimembranáceo
Músculo semitendíneo

A
B
C

C

Músculo articular do joelho
Tendão do músculo reto femoral
Músculo vasto intermédio
Fêmur
Músculo vasto lateral
Artéria e veia poplíteas
Músculo bíceps femoral
Nervo fibular comum
Nervo tibial
Músculo vasto medial
Tendão do músculo adutor magno
Músculo sartório
Nervo safeno
Veia safena magna
Músculo grácil
Músculo semimembranáceo
Músculo semitendíneo

Secções transversais através da coxa

A

B

C

Imagens de secções transversais através da coxa.

A. Terço superior (extremidade proximal) da coxa. Imagem de RM ponderada em T1, no plano transversal (axial)

B. Terço médio da coxa. Imagem de RM ponderada em T1, no plano transversal (axial)

C. Terço inferior (extremidade distal) da coxa. Imagem de RM ponderada em T2, no plano transversal (axial)

Fêmur
Epicôndilo lateral
Epicôndilo medial
Côndilo lateral do fêmur
Côndilo medial do fêmur
Côndilo lateral da tíbia
Côndilo medial da tíbia
Cabeça da fíbula
Eminência intercondilar
Colo da fíbula
Tíbia
Fíbula

Radiografia, vista em AP
Articulação do joelho normal.

Fêmur
Patela
Côndilo lateral do fêmur
Côndilo medial do fêmur
Tíbia
Fíbula
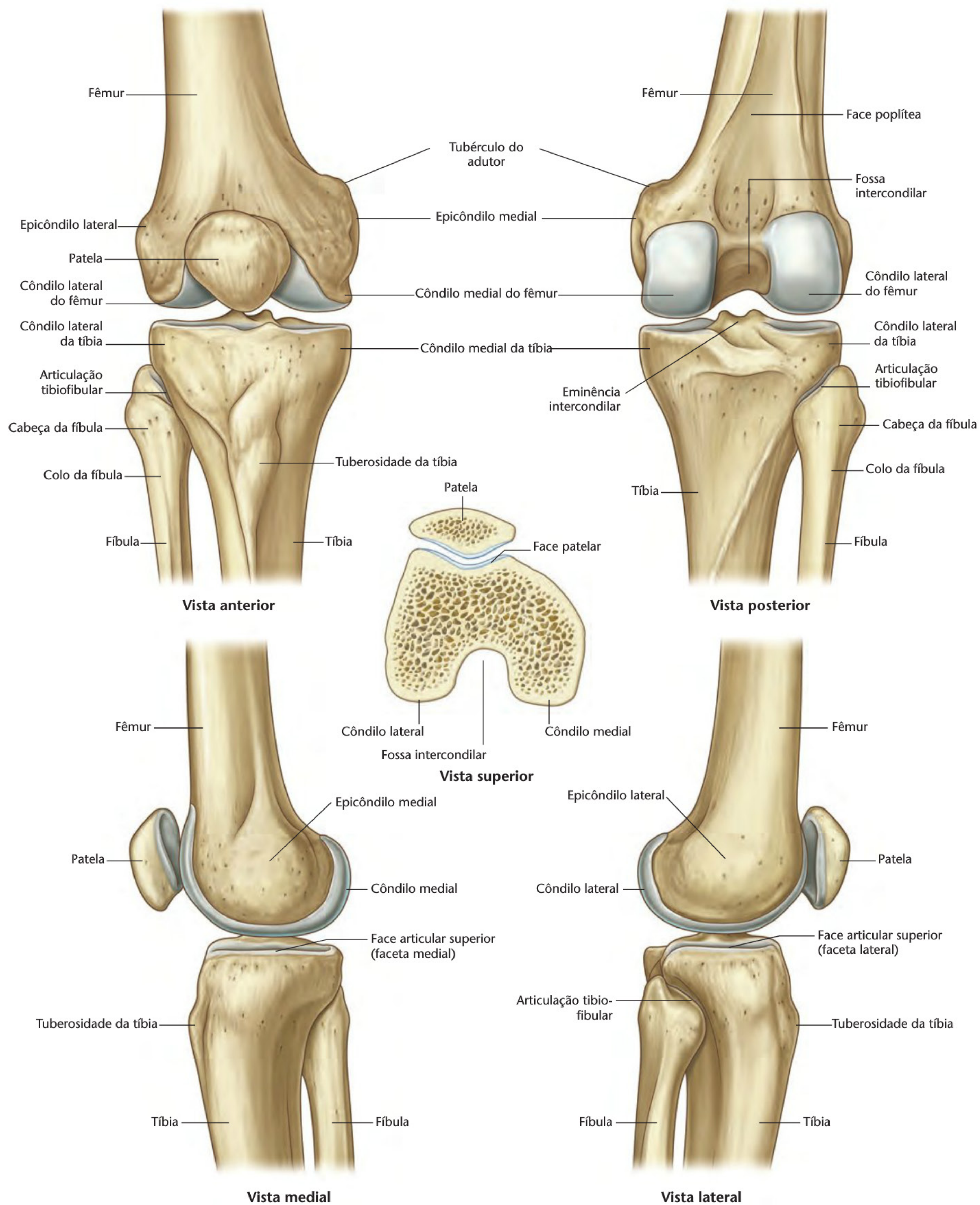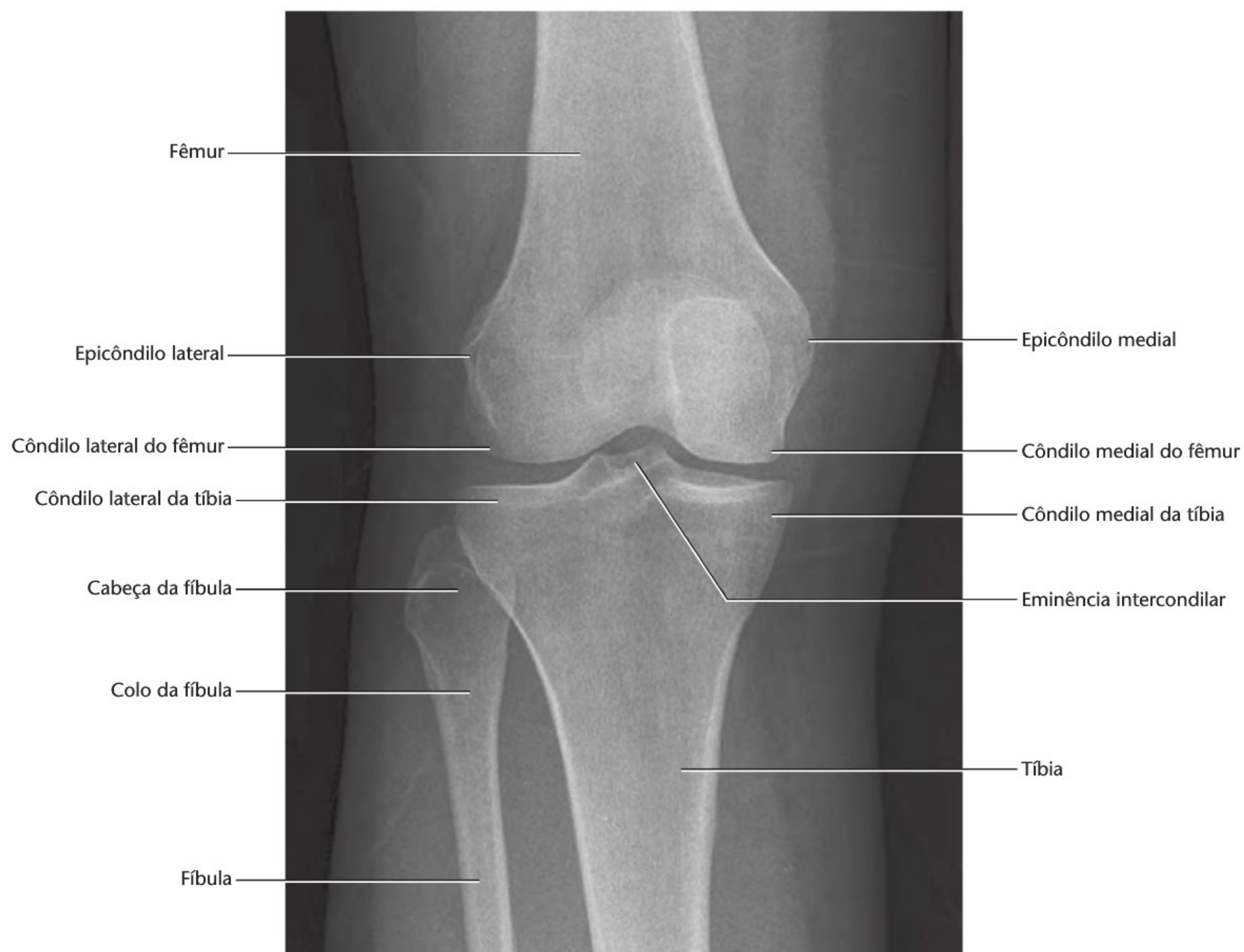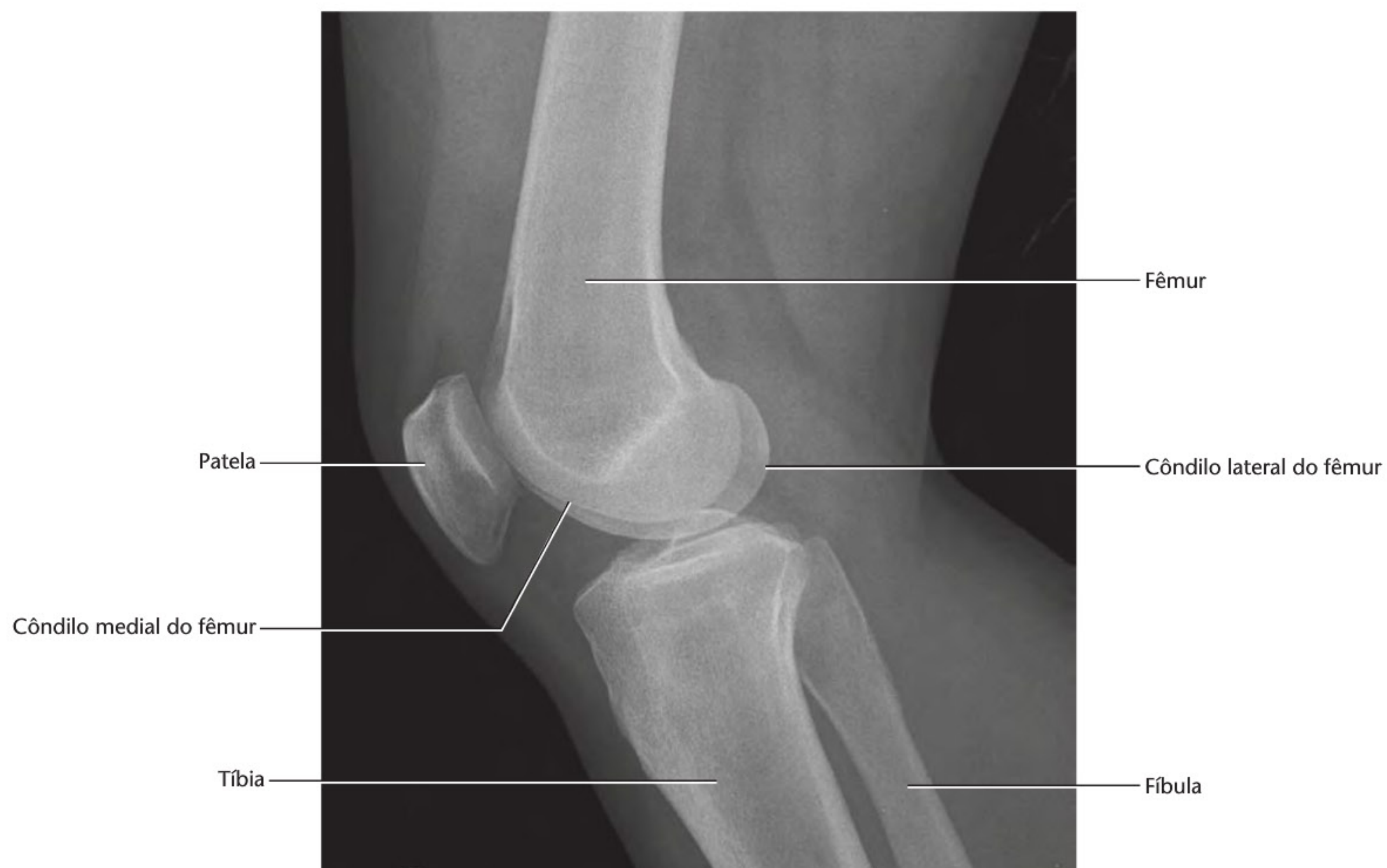
Articulação do joelho normal.
Radiografia, vista lateral

Fêmur
Tendão do músculo quadríceps femoral
Tubérculo do adutor
Epicôndilo medial
Epicôndilo lateral
Patela
Ligamento colateral tibial
Tendão do músculo poplíteo
Côndilo medial do fêmur
Menisco lateral
Menisco medial
Ligamento colateral fibular
Côndilo medial da tíbia
Ligamento da patela
Cabeça da fíbula
Tuberosidade da tíbia
Articulação tibiofibular
Abertura para os vasos tibiais anteriores
Membrana interóssea da perna
Fíbula
Tíbia

Vista anterior

Fêmur
Ligamento poplíteo oblíquo
Ligamento colateral fibular
Músculo poplíteo (seccionado)
Tendão do músculo semitendíneo
Articulação tibiofibular
Cápsula articular
Abertura para os vasos tibiais anteriores
Tíbia
Fíbula

Vista posterior

Fêmur
Tendão do músculo quadríceps femoral
Epicôndilo medial
Patela
Ligamento colateral tibial
Fixação no menisco medial
Ligamento da patela
Menisco medial
Tuberosidade da tíbia
Tíbia
Fíbula

Vista medial

Fêmur
Tendão do músculo quadríceps femoral
Epicôndilo lateral
Patela
Tendão do músculo poplíteo
Ligamento colateral fibular
Ligamento da patela
Cabeça da fíbula
Articulação tibiofibular
Menisco lateral
Fíbula
Tíbia

Vista lateral

Tendão do músculo quadríceps femoral

Patela

Ligamento da patela

Tíbia

Fêmur

Músculo bíceps femoral

Fíbula

Cabeça lateral do músculo gastrocnêmio

Articulação do joelho normal.
Imagem de RM ponderada em T2, no plano sagital

Anterior

Posterior

Ligamento colateral fibular

Cabeça da fíbula

Tendão do músculo bíceps femoral
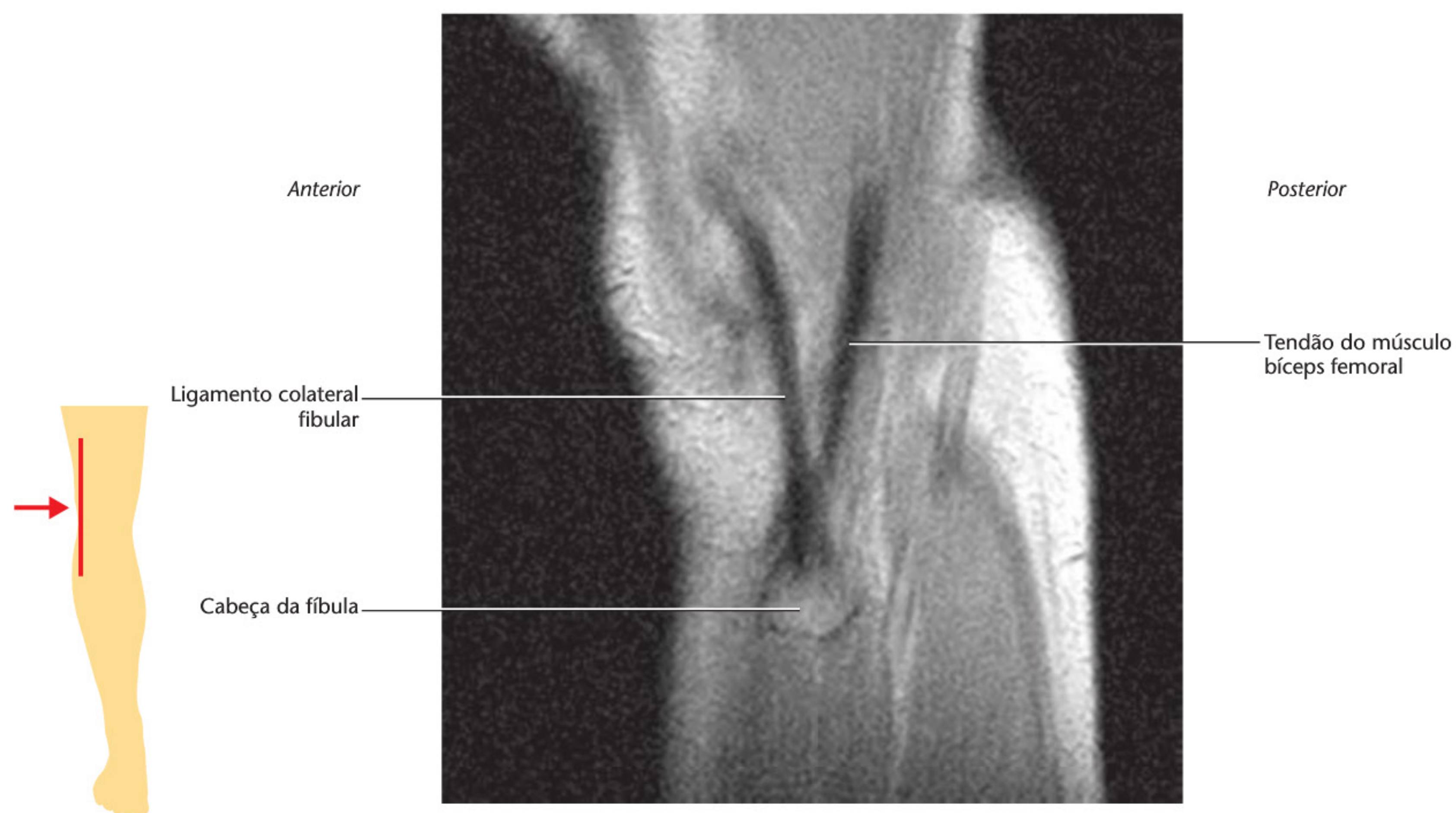
Imagem rara mostrando o ligamento colateral fibular e o tendão do músculo bíceps femoral se fixando na cabeça da fíbula.
Imagem de RM ponderada em T2, no plano sagital
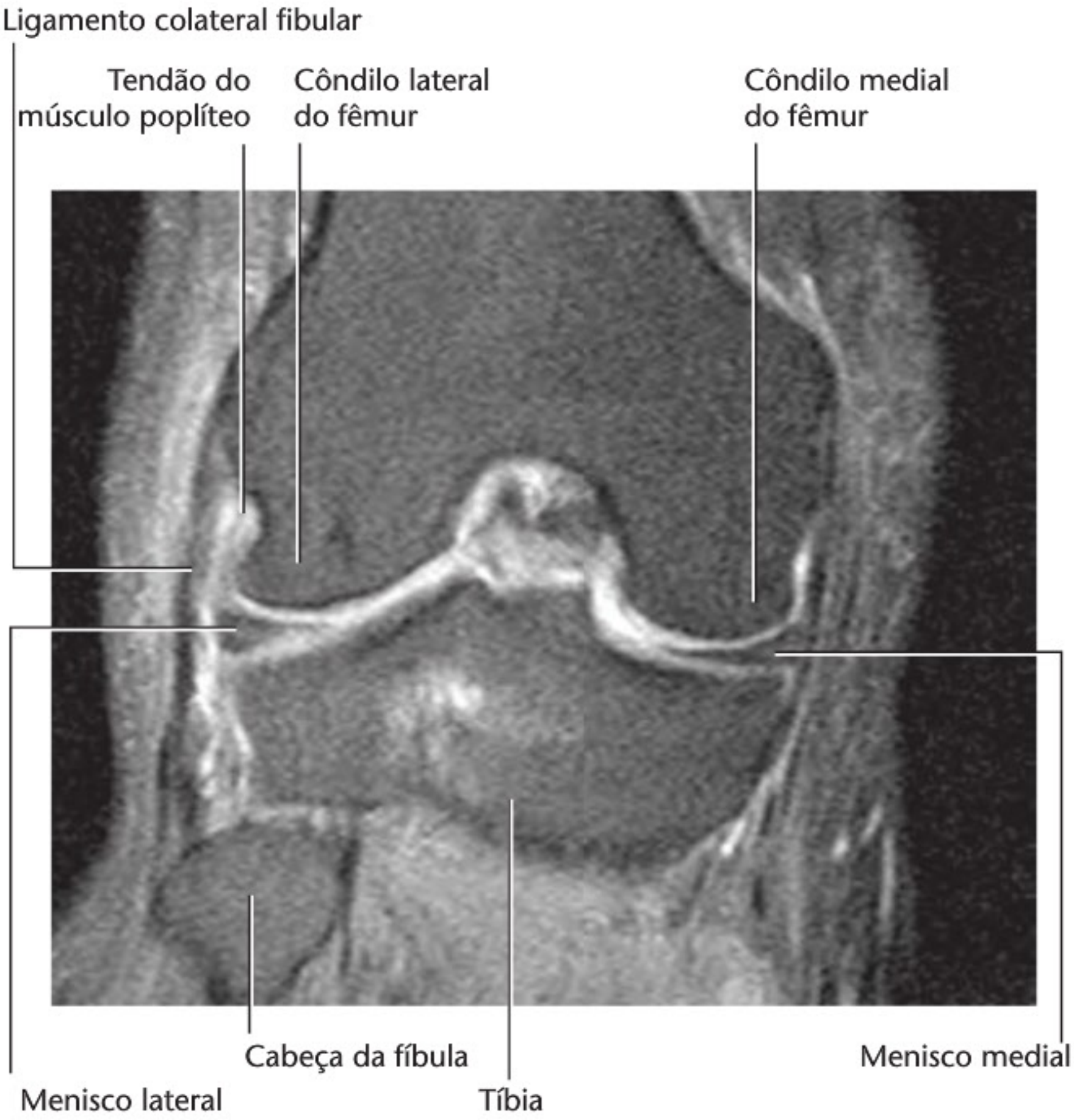
Vista anterior da articulação do joelho mostrando o ligamento colateral fibular e sua relação com as estruturas adjacentes.
Imagem de RM ponderada em T2, no plano frontal (coronal)
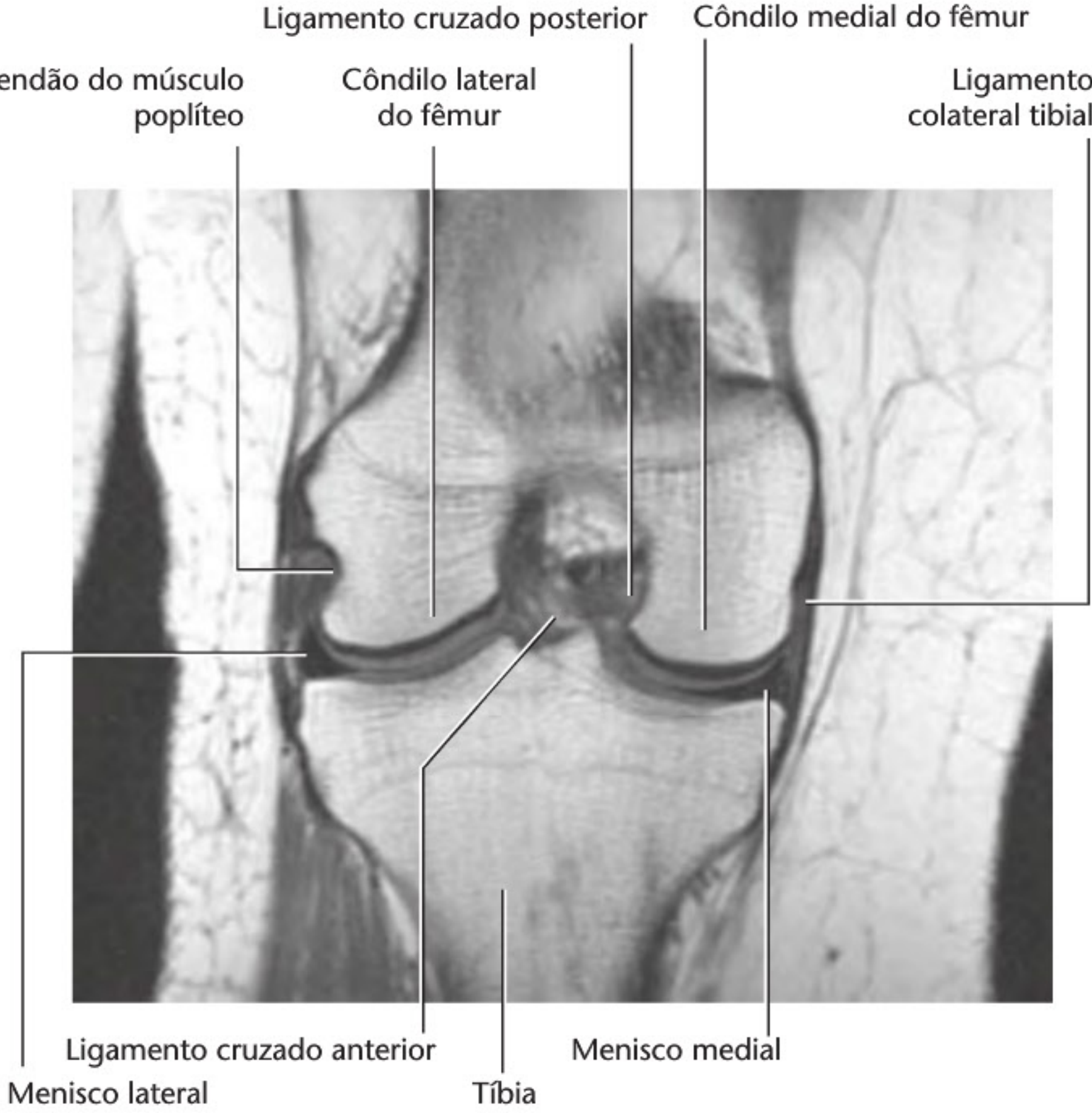
Vista anterior da articulação do joelho mostrando a relação entre o ligamento colateral tibial e o menisco medial.
Imagem de RM ponderada em T1, no plano frontal (coronal)
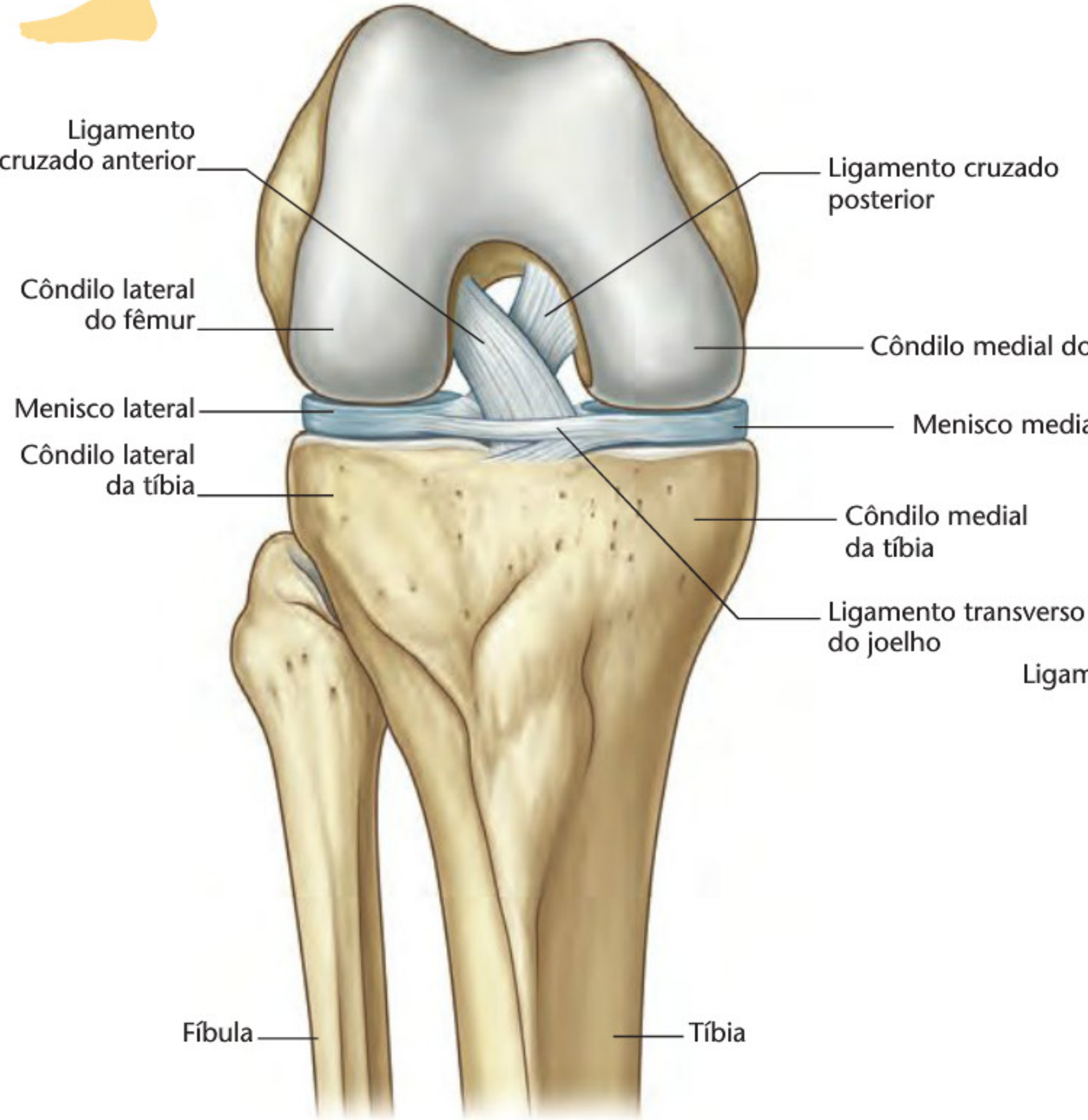
Vista anterior (joelho em flexão)

Vista posterior

Áreas de fixações dos meniscos, dos ligamentos cruzados e da membrana sinovial na tíbia direita. (vista superior)

Meniscos da articulação do joelho direito (vista superior)
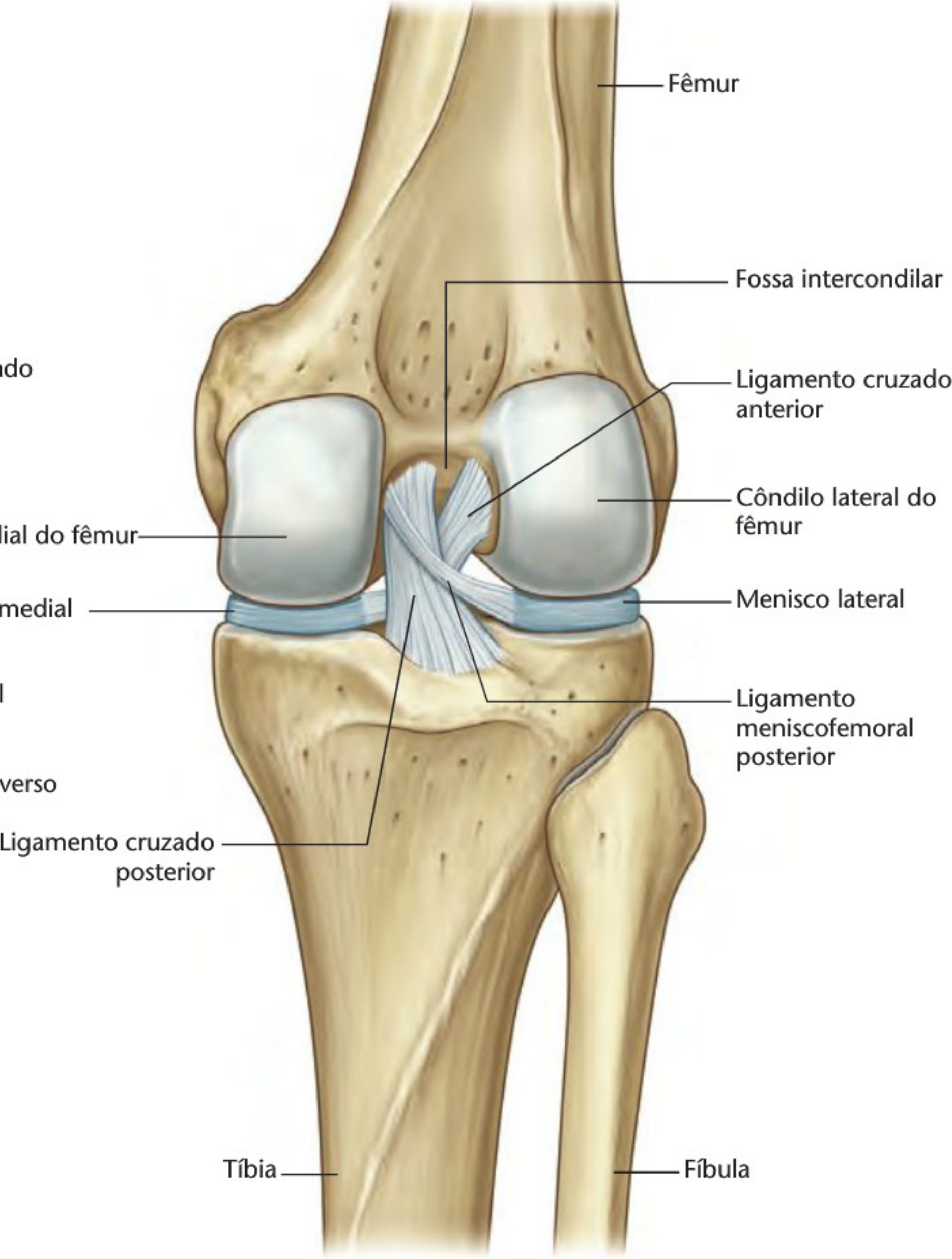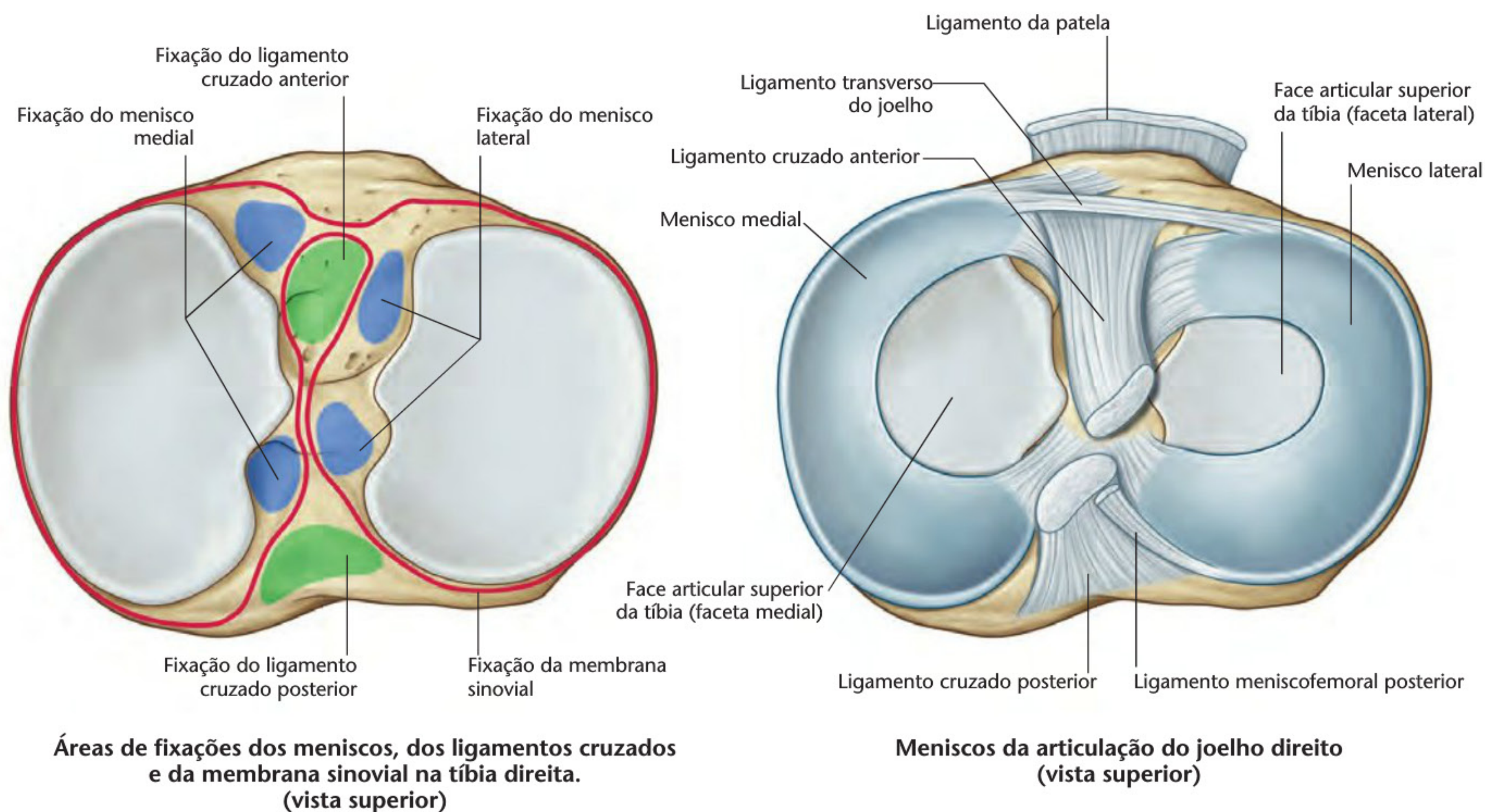
Vista anterior da articulação do joelho mostrando os ligamentos cruzados anterior e posterior.
Imagem de RM ponderada em T2, no plano frontal (coronal)

Tendão do músculo quadríceps femoral
Patela
Fêmur
Menisco lateral
Ligamento cruzado anterior
Tíbia

Tendão do músculo quadríceps femoral
Patela
Ligamento da patela
Fêmur
Ligamento cruzado posterior
Ligamento cruzado anterior
Tíbia

Menisco medial
Fêmur
Ligamento cruzado posterior
Tíbia
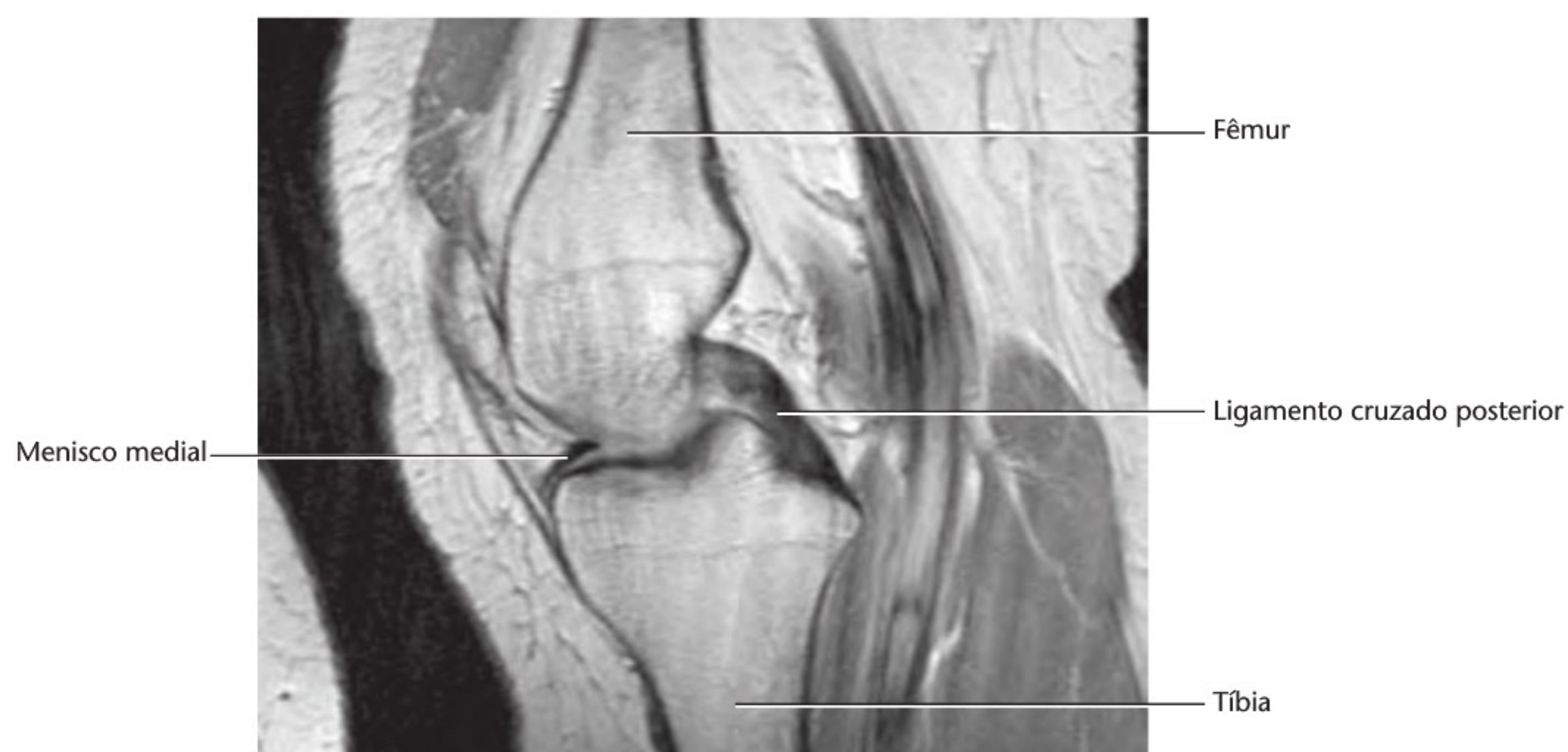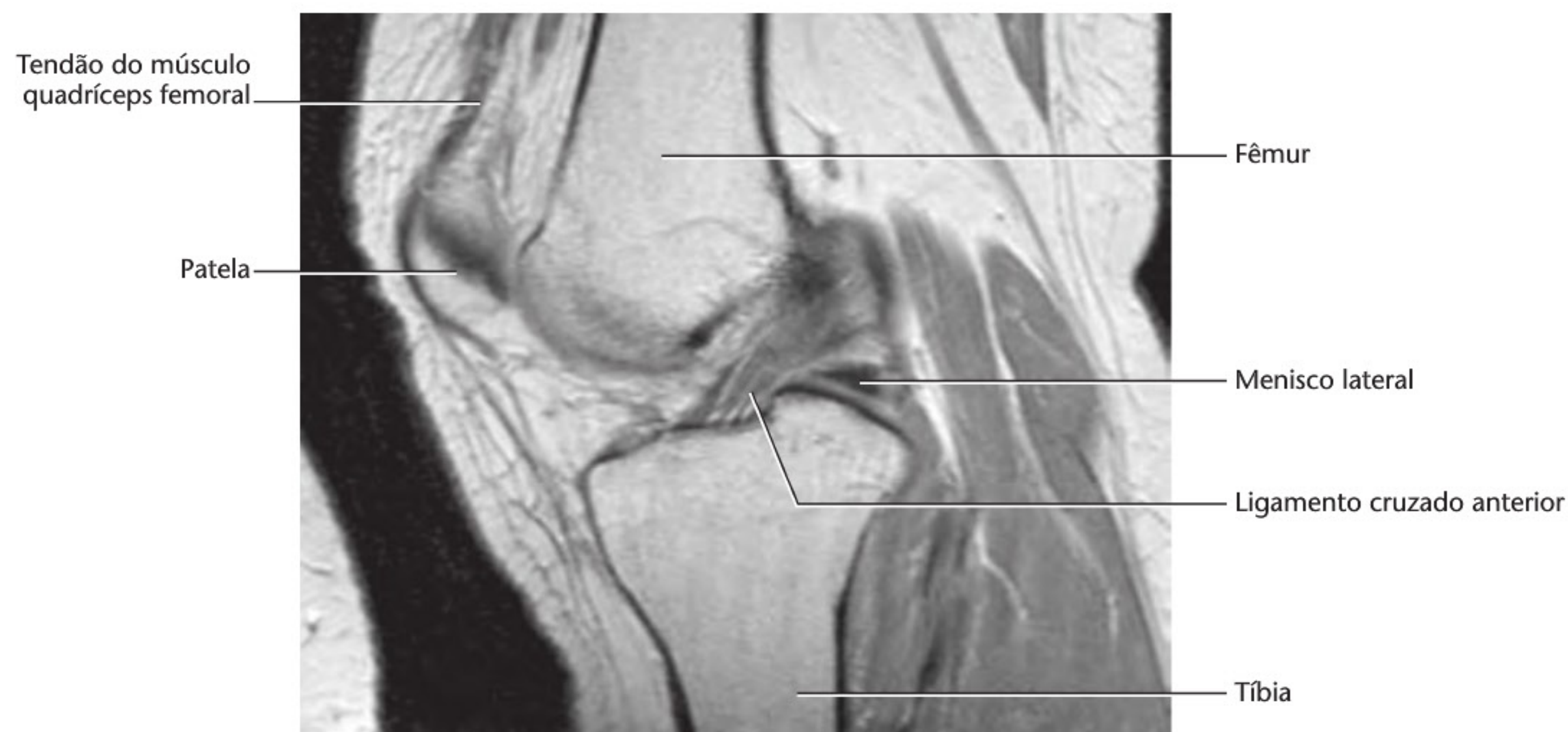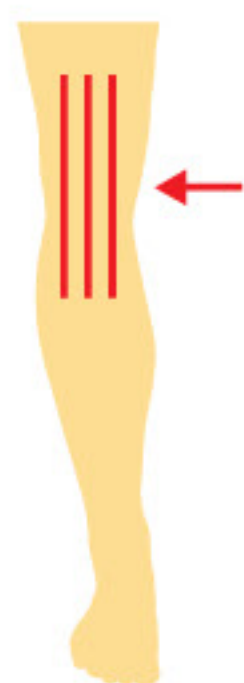
Seqüência de imagens, de direção lateral para medial, mostrando a relação entre os ligamentos cruzados anterior e posterior.
Imagem de RM ponderada em T2, no plano sagital

Tendão do músculo quadríceps femoral
Fêmur
Bolsa suprapatelar
Trato iliotibial
Membrana sinovial da cápsula articular
Membrana fibrosa da cápsula articular
Ligamento colateral tibial
Ligamento colateral fibular
Prega sinovial infrapatelar
Côndilo medial do fêmur
Tendão do músculo poplíteo
Ligamento cruzado posterior
Recesso poplíteo
Ligamento cruzado anterior
Côndilo lateral do fêmur
Tendão do músculo semimembranáceo
Ligamento meniscofemoral posterior
Ligamento cruzado posterior
Ligamento colateral fibular
Face articular superior da tíbia (faceta medial)
Tendão do músculo poplíteo
Recesso poplíteo
Ligamento colateral tibial
Cabeça da fíbula
Menisco lateral
Face articular superior da tíbia (faceta lateral)
Menisco medial
Trato iliotibial junto com a membrana fibrosa da cápsula articular
Membrana sinovial da cápsula articular
Ligamento cruzado anterior
Membrana fibrosa da cápsula articular
Corpo adiposo infrapatelar
Prega alar
Prega sinovial infrapatelar
Fíbula
Ligamento da patela
Tíbia

Articulação do joelho (vista ântero-superior)

Fêmur
Tendão do músculo quadríceps femoral
Cabeça lateral do músculo gastrocnêmio (seccionada)
Bolsa suprapatelar
Bolsa subtendínea lateral do músculo gastrocnêmio
Bolsa subcutânea pré-patelar
Tendão do músculo poplíteo
Menisco lateral
Recesso poplíteo
Ligamento da patela
Ligamento colateral fibular
Bolsa subcutânea infrapatelar
Articulação tibiofibular
Bolsa infrapatelar profunda
Membrana sinovial
Fíbula
Tíbia
Membrana interóssea da perna

Vista lateral

Cabeça medial do músculo gastrocnêmio (seccionada) e bolsa subtendínea medial do músculo gastrocnêmio
Cabeça lateral do músculo gastrocnêmio (seccionada) e bolsa subtendínea lateral do músculo gastrocnêmio
Membrana sinovial
Ligamento colateral tibial
Ligamento colateral fibular
Músculo poplíteo (seccionado)
Bolsa do músculo semimembranáceo profundamente ao tendão
Recesso poplíteo
Menisco medial
Menisco lateral
Articulação tibiofibular
Músculo poplíteo (seccionado)
Ligamento cruzado posterior
Tíbia
Fíbula
Membrana interóssea da perna

Vista posterior

Músculo articular do joelho
Tendão do músculo quadríceps femoral
Fêmur
Corpo adiposo suprapatelar
Bolsa subtendínea lateral do músculo gastrocnêmio
Bolsa suprapatelar
Cápsula articular
Bolsa subcutânea pré-patelar
Patela
Cartilagem articular
Cavidade articular
Ligamento da patela
Membrana sinovial
Bolsa subcutânea infrapatelar
Bolsa infrapatelar profunda
Corpo adiposo infrapatelar
Menisco lateral
Tíbia

Secção sagital paramediana através da articulação do joelho

Fêmur
Ligamento cruzado posterior
Fossa intercondilar
Cartilagem articular
Membrana sinovial
Cápsula articular
Ligamento colateral tibial
Menisco lateral
Menisco medial
Ligamento colateral fibular e bolsa profundamente a ele
Ligamento cruzado anterior
Articulação tibiofibular
Bolsa profundamente ao ligamento colateral tibial
Fíbula
Tíbia

Secção frontal (coronal) através da articulação do joelho (vista anterior)

Anatomia de superfície (vista anterior)

Músculo vasto lateral
Músculo vasto medial
Trato iliotibial
Patela
Lateral
Medial
Ligamento da patela
Cabeça da fíbula

Fêmur
Tendão do músculo vasto intermédio
Músculo vasto lateral
Músculo vasto medial
Tendão do músculo quadríceps femoral
Epicôndilo medial do fêmur
Trato iliotibial
Patela
Retináculo lateral da patela
Ligamento colateral tibial
Retináculo medial da patela
Tendão do músculo semitendíneo (seccionado)
Ligamento colateral fibular
Tendão do músculo grácil (seccionado)
Tendão do músculo bíceps femoral (seccionado)
Tendão do músculo sartório (seccionado)
Ligamento da patela
Tuberosidade da tíbia
Fíbula
Tíbia

Articulação do joelho e estruturas adjacentes (vista anterior)

Músculo adutor magno
Artéria femoral
Ramo descendente da artéria circunflexa femoral lateral
Hiato dos adutores
Artéria descendente do joelho
Ramo safeno da artéria descendente do joelho
Artéria superior lateral do joelho
Artéria superior medial do joelho
Artéria poplítea
Artéria inferior lateral do joelho
Ramo circunflexo tibial
Artéria inferior medial do joelho
Artéria recorrente tibial anterior
Membrana interóssea da perna
Artéria tibial posterior
Artéria tibial anterior

Anastomoses das artérias ao redor do joelho (vista anterior)

Músculo semitendíneo
Músculo semimembranáceo
Músculo bíceps femoral (cabeça longa)
Fossa poplítea
Medial
Lateral
Cabeça medial do músculo gastrocnêmio
Cabeça lateral do músculo gastrocnêmio

Cabeça medial do músculo gastrocnêmio (seccionada)
Ligamento colateral tibial
Tendão do músculo semimembranáceo (seccionado)
Músculo poplíteo
Tendão do músculo plantar (seccionado)
Músculo plantar (seccionado)
Cabeça lateral do músculo gastrocnêmio (seccionada)
Ligamento colateral fibular
Ligamento poplíteo oblíquo
Tendão do músculo bíceps femoral (seccionado)
Músculo sóleo

Assoalho da fossa poplítea

Artéria femoral
Veia femoral
Músculo adutor magno
Músculo semimembranáceo
Nervo isquiático
Linha áspera do fêmur
Hiato dos adutores
Músculo semitendíneo
Cabeça medial do músculo gastrocnêmio
Nervo sural
Músculo bíceps femoral (cabeça curta)
Músculo bíceps femoral (cabeça longa)
Nervo tibial
Veia poplítea
Artéria poplítea
Músculo plantar
Veia safena parva (seccionada)
Cabeça lateral do músculo gastrocnêmio
Nervo fibular comum
Ramo fibular comunicante (seccionado)

Estruturas na fossa poplítea

Nervo cutâneo femoral posterior
Fáscia da perna (profunda)
Nervo cutâneo femoral posterior
Veia safena parva
Nervo cutâneo sural lateral

Estruturas superficiais

Face articular da cabeça da fíbula
Côndilo lateral
Ápice da cabeça da fíbula
Cabeça da fíbula
Côndilo medial
Colo da fíbula
Tuberosidade da tíbia
Face lateral
Face medial
Face lateral
Corpo da tíbia
Corpo da fíbula
Maléolo lateral
Maléolo medial

Vista anterior

Tubérculos intercondilares da eminência intercondilar
Côndilo lateral
Côndilo medial
Face articular fibular
Linha para o músculo sóleo
Face posterior
Face posterior
Sulco maleolar (para o tendão do músculo tibial posterior)
Maléolo medial
Fossa do maléolo lateral
Maléolo lateral
Sulco maleolar

Vista posterior

Cápsula articular da articulação tibiofibular
Abertura para os vasos tibiais
Membrana interóssea da perna
Abertura para o ramo perfurante da artéria fibular
Ligamento tibiofibular anterior

Vista anterior

Face articular do maléolo lateral
Face articular inferior
Tíbia
Fíbula
Maléolo lateral
Fossa do maléolo lateral
Face articular do maléolo medial
Maléolo medial

Epífise distal da tíbia e da fíbula (vista inferior)

Eminência intercondilar
Cabeça da fíbula
Face articular superior (faceta lateral)
Face articular superior (faceta medial)
Tuberosidade da tíbia

Epífise proximal da tíbia e da fíbula (vista superior)

Face lateral
Margem anterior
Membrana interóssea da perna
Margem interóssea
Tíbia
Face medial
Face medial
Margem anterior
Fíbula
Face lateral
Margem posterior
Face posterior
Margem posterior
Margem interóssea
Crista medial
Face posterior

Secção transversal através dos corpos da tíbia e da fíbula

Hálux
(dedo I)
Segundo dedo
(dedo II)
Terceiro dedo
(dedo III)
Falange distal
Falange média
Falange proximal
Quarto dedo (dedo IV)
Dedo mínimo
(dedo V)
Falanges
I
II
III
IV
V
Ossos
metatarsais
Cuneiforme medial
Cuneiforme
intermédio
Cuneiforme lateral
Sulco do tendão do
músculo fibular longo
Navicular
Cubóide
Tuberosidade do cubóide
Colo do tálus
Tubérculo do calcâneo
Tálus
Tróclea fibular
Calcâneo

Vista dorsal

Falanges
V
IV
III
II
I
Ossos
metatarsais
Cuneiforme medial
Cuneiforme
intermédio
Tuberosidade
do navicular
Cabeça do tálus
Sustentáculo do tálus
Tuberosidade do calcâneo

Vista plantar

Ossos metatarsais
Cuneiforme medial
Navicular
Tálus
Tíbia
Fíbula
Falanges
Osso sesamóide
Tuberosidade do quinto metatarsal [V]
Cubóide
Sustentáculo do tálus
Calcâneo

Ossos do pé.
Radiografia, vista medial (incidência lateral)

A
Articulações interfalângicas do pé
Articulações metatarsofalângicas
Articulações tarsometatarsais
Navicular
Cubóide
Articulação calcaneocubóidea
Articulação talocalcaneo-navicular
Tálus
Articulação talocalcânea (subtalar)
Calcâneo

B
Articulação talocalcaneo-navicular
Articulação calcaneocubóidea
Articulação transversa do tarso
Articulações tarsometatarsais
Articulação talocalcânea (subtalar)
Articulações metatarsofalângicas
Articulações interfalângicas do pé

C
Articulações tarsometatarsais
Articulação calcaneocubóidea
Articulação talocalcaneonavicular
Articulações interfalângicas
Articulações metatarsofalângicas

Articulações entre os ossos tarsais: A. Vista dorsal (o tálus aparece em transparência); B. Vista lateral; C. Vista medial

A
Cabeça do tálus
Colo do tálus
Face maleolar medial
Tróclea do tálus; face superior (para articulação com a face articular inferior da tíbia)
Face maleolar lateral
Tubérculo medial
Tubérculo lateral
Sulco do tendão do músculo flexor longo do hálux

B
Face articular navicular
Face articular calcânea anterior
Face articular da parte calcaneonavicular do ligamento bifurcado
Sulco do tálus
Face articular calcânea média
Face articular calcânea posterior
Sulco do tendão do músculo flexor longo do hálux

C
Tróclea do tálus; face superior (para articulação com a face articular inferior da tíbia)
Colo do tálus
Face maleolar lateral
Processo posterior do tálus
Face articular navicular
Face articular calcânea posterior
Sulco do tálus
Processo lateral do tálus

D
Tróclea do tálus; face superior (para articulação com a face articular inferior da tíbia)
Colo do tálus
Face maleolar medial
Tubérculo lateral
Sulco do tendão do músculo flexor longo do hálux
Tubérculo medial
Processo posterior do tálus

Tálus: A. Vista superior; B. Vista inferior; C. Vista lateral; D. Vista medial

A
Face articular talar anterior
Face articular talar média
Sustentáculo do tálus
Face articular talar posterior
Tuberosidade do calcâneo, parte superior da face posterior
Tuberosidade do calcâneo; parte média da face posterior (para inserção do tendão do calcâneo)

B
Face articular do cubóide
Tubérculo do calcâneo
Sustentáculo do tálus
Sulco do tendão do músculo flexor longo do hálux
Incisura
Processo lateral da tuberosidade do calcâneo
Processo medial da tuberosidade do calcâneo
Tuberosidade do calcâneo (parte inferior da face posterior)

C
Face articular talar posterior
Sulco do calcâneo
Tróclea fibular
Fixação do ligamento calcaneofibular (parte do ligamento colateral lateral)
Processo lateral da tuberosidade do calcâneo

D
Face articular talar posterior
Face articular talar média
Face articular talar anterior
Face articular do cubóide
Sustentáculo do tálus
Tubérculo do calcâneo
Processo medial da tuberosidade do calcâneo

Calcâneo: A. Vista superior; B. Vista inferior; C. Vista lateral; D. Vista medial

Tíbia
Fíbula
Ligamento tibiofibular anterior
Ligamento tibiofibular posterior
Ligamento talofibular posterior
Ligamento talofibular anterior
Ligamento calcaneofibular
Ligamento colateral lateral
Maléolo lateral
Ligamento talonavicular
Ligamento talocalcâneo interósseo
Retináculo superior dos músculos fibulares
Ligamento bifurcado
Retináculo inferior dos músculos fibulares se fixando na tróclea fibular entre os tendões dos músculos fibulares curto e longo
Ligamento plantar longo
Ligamento talocalcâneo lateral
Tendão do músculo fibular longo
Tendão do músculo fibular curto

Vista lateral

Tíbia
Ligamento tibiofibular posterior
Parte tibiotalar posterior
Parte tibiocalcânea
Parte tibionavicular
Parte tibiotalar anterior
Ligamento colateral medial (deltóideo)
Maléolo medial
Ligamento talonavicular
Processo posterior do tálus
Ligamento talocalcâneo posterior
Ligamento talocalcâneo medial
Calcâneo
Tuberosidade do navicular
Ligamento calcaneonavicular plantar ("mola")
Sustentáculo do tálus

Vista medial

Membrana interóssea da perna
Abertura para o ramo perfurante da artéria fibular
Fíbula
Ligamento tibiofibular anterior
Maléolo lateral
Ligamento talofibular anterior
Ligamento calcaneofibular
Ligamento talocalcâneo lateral
Calcâneo
Ligamento calcaneo-navicular
Ligamento calcaneo-cubóideo
Ligamento bifurcado
Tíbia
Maléolo medial
Tálus
Parte tibionavicular do ligamento colateral medial (deltóideo)
Parte tibiotalar anterior do ligamento colateral medial (deltóideo)
Ligamento talonavicular

Vista anterior

Membrana interóssea
Fíbula
Maléolo lateral
Ligamento talofibular posterior
Tíbia
Maléolo medial
Ligamento colateral medial (deltóideo)
Tálus
Sustentáculo do tálus
Ligamento talocalcâneo interósseo
Calcâneo

Secção frontal (coronal) através da articulação talocrural (vista anterior)

Ligamento talofibular posterior
Fossa do maléolo lateral
Maléolo lateral
Tálus
Parte tibiotalar posterior do ligamento colateral medial
Maléolo medial

Secção transversal através da articulação talocrural (vista superior)

Tíbia
Maléolo medial
Tálus
Parte tibiocalcânea do ligamento colateral medial
Ligamento talocalcâneo medial
Sustentáculo do tálus
Calcâneo
Membrana interóssea da perna
Fíbula
Ligamento tibiofibular posterior
Ligamento talofibular posterior
Maléolo lateral
Ligamento calcaneofibular
Tendão do músculo fibular curto
Tendão do músculo fibular longo
Retináculo inferior dos músculos fibulares
Ligamento talocalcâneo posterior

Vista posterior

Fíbula
Tíbia
Maléolo lateral
Tálus
Ligamento colateral medial (deltóideo)
Calcâneo

Vista anterior da articulação talocrural mostrando o ligamento colateral medial (deltóideo).
Imagem de RM ponderada em T2, no plano frontal (coronal)

Tíbia
Fíbula
Maléolo lateral
Ligamento talofibular posterior
Ligamento calcaneofibular
Calcâneo

Vista anterior da articulação talocrural mostrando os ligamentos talofibular posterior e calcaneofibular.
Imagem de RM ponderada em T2, no plano frontal (coronal)

Tíbia
Maléolo medial
Maléolo lateral
Tálus
Sustentáculo do tálus
Tendão do músculo flexor longo do hálux
Calcâneo
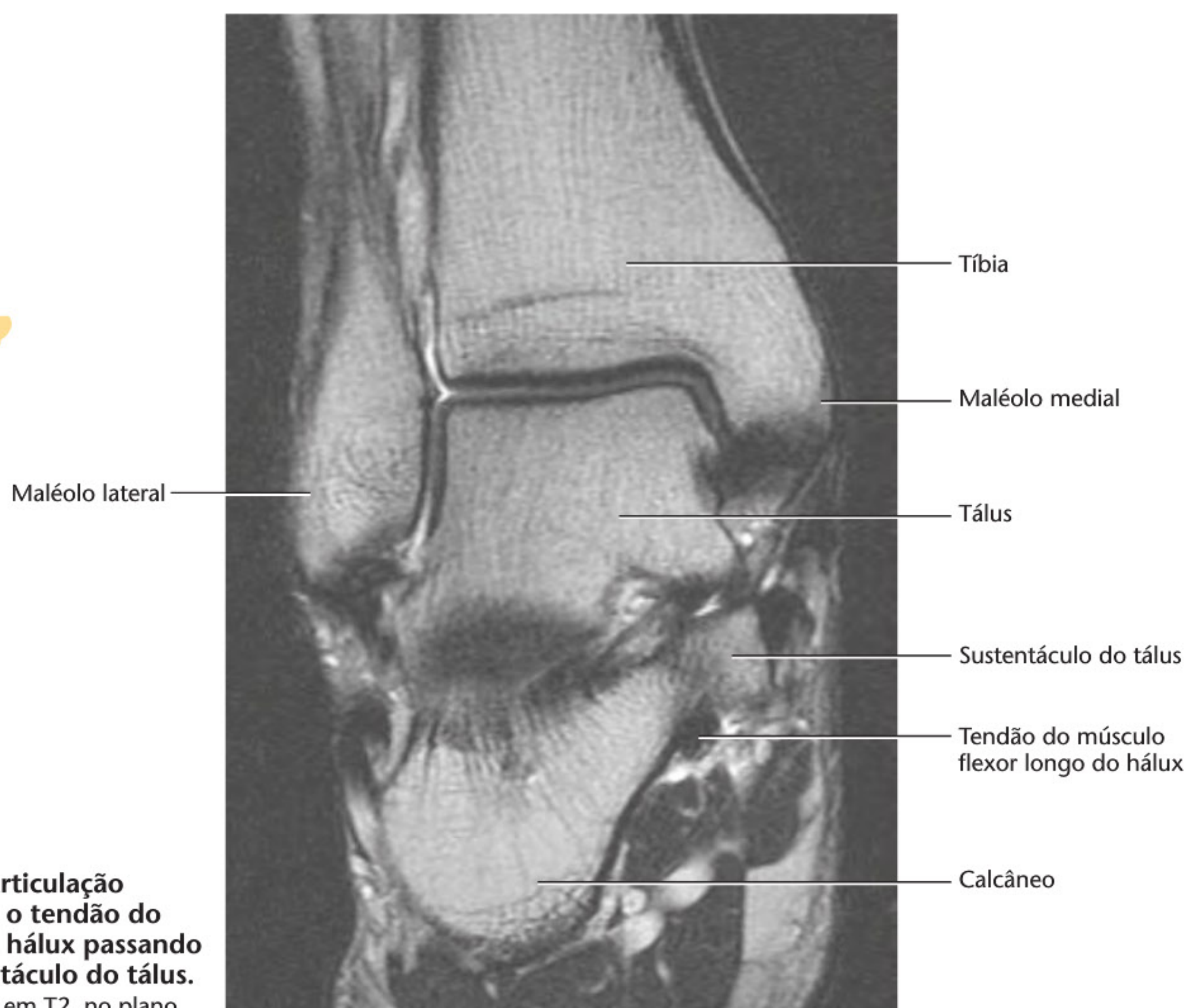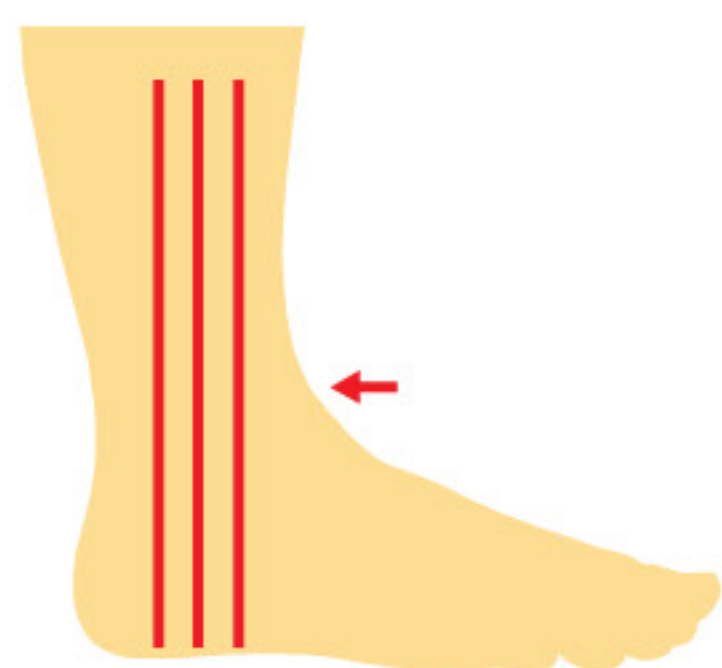
Vista anterior da articulação talocrural mostrando o tendão do músculo flexor longo do hálux passando inferiormente ao sustentáculo do tálus.
Imagem de RM ponderada em T2, no plano frontal (coronal)

Vista anterior

Vista posterior

Músculo plantar

Músculo poplíteo

Músculo sóleo

Tendão do músculo plantar

Músculo flexor longo dos dedos

Tendão do calcâneo

Tendão do músculo tibial posterior

Tendão do músculo flexor longo do hálux

Tendão do músculo flexor longo dos dedos

Músculo poplíteo

Músculo flexor longo dos dedos

Músculo tibial posterior

Músculo flexor longo do hálux

Tendão do músculo tibial posterior

Tendão do músculo flexor longo do hálux

Tendão do músculo flexor longo dos dedos

Músculos profundos do compartimento posterior da perna

Músculo adutor magno
Hiatos dos adutores
Nervo tibial
Artéria poplítea
Veia poplítea
Nervo fibular comum
Artérias surais
Músculo plantar
Nervo sural
Nervo fibular comum
Músculo poplíteo
Artéria tibial anterior
Músculo sóleo
Artéria fibular
Músculo flexor longo dos dedos
Tendão do músculo plantar
Músculo tibial posterior
Artéria tibial posterior
Músculo flexor longo do hálux
Nervo tibial
Artéria fibular
Ramo perfurante da artéria fibular
Ramo comunicante da artéria fibular
Ramos do calcâneo (da artéria tibial posterior)
Ramos do calcâneo (da artéria fibular)

Artérias e nervos da perna (vista posterior)

Artéria femoral
Fêmur
Artéria superior lateral do joelho
Artéria superior medial do joelho
Artérias surais
Artéria poplítea
Artéria inferior medial do joelho
Artéria inferior lateral do joelho
Ramo circunflexo fibular
Artéria tibial anterior
Tíbia
Fíbula
Artéria fibular
Membrana interóssea da perna
Artéria tibial posterior
Ramo perfurante da artéria fibular
Ramo maleolar medial (da artéria tibial posterior)
Ramo comunicante da artéria fibular
Ramo maleolar lateral (da artéria fibular)
Ramos do calcâneo (da artéria tibial posterior)
Ramos do calcâneo (da artéria fibular)

Artérias da perna (vista posterior)

Músculo vasto lateral
Músculo bíceps femoral (cabeça curta)
Trato iliotibial
Tendão do músculo bíceps femoral
Patela
Cabeça da fíbula
Músculo tibial anterior
Músculo gastrocnêmio
Músculo fibular longo
Músculo extensor longo dos dedos
Músculo fibular curto
Maléolo lateral

Anatomia de superfície da perna demonstrando o "revestimento" muscular (vista lateral)

Músculo vasto lateral
Trato iliotibial
Músculo bíceps femoral (cabeça curta)
Tendão do músculo bíceps femoral
Tendão do músculo quadríceps femoral
Patela
Ligamento da patela
Cabeça da fíbula
Músculo fibular longo
Músculo gastrocnêmio
Músculo tibial anterior
Músculo extensor longo dos dedos
Músculo sóleo
Tendão do calcâneo
Músculo fibular curto
Tendão do músculo tibial anterior
Tendão do músculo extensor longo do hálux
Tendão do músculo extensor longo dos dedos
Tendão do músculo fibular longo
Tendão do músculo fibular curto

Tubérculo intercondilar lateral
Côndilo lateral
Cabeça da fíbula
Membrana interóssea da perna
Músculo fibular longo
Tíbia
Músculo fibular curto
Maléolo lateral
Tendão do músculo fibular longo
Tendão do músculo fibular curto

Músculos do compartimento lateral da perna (vista lateral)

Compartimento anterior (nervo fibular profundo)
Compartimento lateral (nervo fibular superficial)
Compartimento posterior (nervo tibial)

Músculo vasto lateral
Músculo vasto medial
Tendão do músculo quadríceps femoral
Patela
Ligamento da patela
Músculo fibular longo
Músculo gastrocnêmio
Músculo tibial anterior
Tíbia
Músculo sóleo
Músculo fibular curto
Músculo extensor longo dos dedos
Lateral
Medial

Anatomia de superfície da perna demonstrando o "revestimento" muscular (vista anterior)

Compartimento anterior
Compartimento lateral
Compartimento posterior

Músculo vasto lateral
Músculo vasto medial
Músculo sartório
Trato iliotibial
Tendão do músculo quadríceps femoral
Patela
Ligamento da patela
Tendão do músculo sartório
Cabeça da fíbula
Músculo gastrocnêmio
Músculo fibular longo
Músculo tibial anterior
Músculo sóleo
Músculo extensor longo dos dedos
Tíbia
Músculo fibular curto
Tendão do músculo fibular longo
Tendão do músculo tibial anterior
Retináculo superior dos músculos extensores
Retináculo inferior dos músculos extensores
Tendão do músculo tibial anterior
Tendão do músculo extensor longo dos dedos
Tendão do músculo extensor longo do hálux
Tendão do músculo fibular terceiro

Músculos superficiais da perna (vista anterior)

Músculo tibial anterior
Músculo extensor longo dos dedos
Tendão do músculo extensor longo dos dedos
Tendão do músculo tibial anterior
Tendão do músculo fibular terceiro
Tendão do músculo extensor longo do hálux

Músculos superficiais do compartimento anterior da perna

Côndilo lateral
Cabeça da fíbula
Membrana interóssea da perna
Face lateral
Fíbula
Músculo extensor longo do hálux
Músculo fibular terceiro
Maléolo lateral
Côndilo medial
Tuberosidade da tíbia
Margem anterior
Tíbia
Maléolo medial

Músculos profundos do compartimento anterior da perna

"Linha oblíqua"
Músculo fibular longo
Músculo extensor longo dos dedos
Músculo tibial anterior
Músculo extensor longo do hálux
Músculo fibular curto
Membrana interóssea da perna
Músculo fibular terceiro

Inserções musculares (ponto fixo e ponto móvel) do compartimento anterior da perna

Nervo safeno
Músculo fibular longo (seccionado)
Nervo fibular comum
Artéria recorrente tibial anterior
Nervo fibular superficial
Músculo gastrocnêmio
Músculo fibular longo (seccionado)
Músculo tibial anterior
Artéria tibial anterior
Músculo extensor longo dos dedos
Músculo sóleo
Músculo fibular curto
Tíbia
Nervo fibular profundo
Tendão do músculo tibial anterior
Tendão do músculo fibular longo
Ramo perfurante da artéria fibular
Tendão do músculo extensor longo dos dedos
Tendão do músculo tibial anterior
Tendão do músculo extensor longo do hálux
Ramo muscular ("lateral") do nervo fibular profundo
Artéria dorsal do pé
Nervo fibular profundo ("ramo medial")

Artérias e nervos da perna (vista anterior)

Artéria poplítea
Côndilo lateral
Côndilo medial
Artéria inferior lateral do joelho
Artéria inferior medial do joelho
Artéria recorrente tibial anterior
Membrana interóssea da perna
Artéria tibial anterior
Fíbula
Tíbia
Ramo perfurante da artéria fibular
Artéria maleolar anterior medial
Artéria maleolar anterior lateral
Maléolo medial
Maléolo lateral
Artéria dorsal do pé
Artéria tarsal lateral
Artéria tarsal medial
Artéria arqueada
Ramos perfurantes do arco plantar profundo
Artéria plantar profunda
Artérias metatarsais dorsais
Artérias digitais dorsais

Artérias da perna (vista anterior)

Ramos cutâneos anteriores do nervo femoral

Nervo cutâneo sural lateral (ramos)

Ramo infrapatelar do nervo safeno

Nervo safeno

Nervo fibular superficial

Nervo cutâneo dorsal medial (do nervo fibular superficial)

Nervo cutâneo dorsal intermédio (do nervo fibular superficial)

Nervo cutâneo dorsal lateral (do nervo sural)

Nervos digitais dorsais do pé (ramos do nervo fibular profundo)

Vista anterior

Ramo cutâneo anterior do nervo femoral

Ramos do nervo cutâneo femoral posterior

Ramo cutâneo do nervo obturatório

Ramos terminais do nervo cutâneo femoral posterior

Ramo fibular comunicante do nervo fibular comum

Veia safena parva

Ramo fibular comunicante

Ramos do nervo safeno

Nervo sural

Nervo cutâneo dorsal lateral

Nervo plantar medial

Nervo plantar lateral

Vista posterior

A

Ligamento da patela
Bolsa subcutânea da tuberosidade da tíbia
Músculo tibial anterior
Tíbia
Músculo extensor longo dos dedos
Tendão do músculo sartório
Membrana interóssea da perna
Tendão do músculo semimembranáceo
Veia safena magna
Músculo fibular longo
Tendão do músculo grácil
Fíbula
Tendão do músculo semitendíneo
Bolsa anserina
Vasos poplíteos
Nervo fibular comum
Músculo poplíteo
Músculo sóleo
Músculo gastrocnêmio (cabeça medial)
Músculo gastrocnêmio (cabeça lateral)
Nervo tibial
Músculo plantar

B

Músculo tibial anterior
Nervo fibular profundo
Músculo extensor longo do hálux
Vasos tibiais anteriores
Membrana interóssea da perna
Músculo extensor longo dos dedos
Tíbia
Nervo fibular superficial
Músculo fibular longo
Veia safena magna
Músculo fibular curto
Músculo tibial posterior
Fíbula
Músculo flexor longo dos dedos
Músculo flexor longo do hálux
Músculo sóleo
Vasos tibiais posteriores
Vasos fibulares
Nervo tibial
Tendão do músculo plantar
Músculo gastrocnêmio (cabeça lateral)
Músculo gastrocnêmio (cabeça medial)
Nervo sural
Veia safena parva

A
B
C

C

Músculo extensor longo do hálux
Tendão do músculo tibial anterior
Músculo extensor longo dos dedos
Tíbia
Fíbula
Tendão do músculo tibial posterior
Músculo flexor longo dos dedos
Tendão do músculo fibular longo
Vasos tibiais posteriores
Músculo fibular curto
Nervo tibial
Músculo flexor longo do hálux
Tendão do calcâneo

Secções transversais através da perna

A

Ligamento da patela
Músculo tibial anterior
Músculo extensor longo dos dedos
Músculo fibular longo
Fíbula
Músculo sóleo
Músculo gastrocnêmio (cabeça lateral)
Tíbia
Músculo sartório
Músculo grácil
Músculo semitendíneo
Músculo poplíteo
Vasos poplíteos
Músculo gastrocnêmio (cabeça medial)

B

Músculo tibial anterior
Músculo extensor longo do hálux
Músculo extensor longo dos dedos
Músculo fibular longo
Músculo fibular curto
Fíbula
Músculo flexor longo do hálux
Tíbia
Músculo flexor longo dos dedos
Vasos tibiais posteriores e nervo tibial
Músculo tibial posterior
Músculo gastrocnêmio (cabeça medial)
Músculo sóleo
Músculo gastrocnêmio (cabeça lateral)

C

Músculo extensor longo do hálux
Músculo extensor longo dos dedos
Fíbula
Tendão do músculo fibular longo
Músculo fibular curto
Tendão do músculo tibial anterior
Tíbia
Tendão do músculo tibial posterior
Músculo flexor longo dos dedos
Vasos tibiais posteriores e nervo tibial
Músculo flexor longo do hálux
Tendão do calcâneo

Imagens de secções transversais através da perna.

A. Terço superior (extremidade proximal) da perna. Imagem de RM ponderada em T1, no plano transversal (axial)
B. Terço médio da perna. Imagem de RM ponderada em T1, no plano transversal (axial)
C. Terço inferior (extremidade distal) da perna. Imagem de RM ponderada em T1, no plano transversal (axial)

Inserções musculares no pé

Músculos interósseos dorsais
Músculo extensor longo do hálux
Músculos extensores longo e curto dos dedos
Músculo extensor curto do hálux
Músculo extensor longo dos dedos
Músculo abdutor do hálux
Músculos interósseos plantares
Músculos interósseos dorsais
1º
2º
3º
4º
Músculo fibular terceiro
Músculo fibular curto
Músculo extensor curto dos dedos
Tendão do calcâneo

Músculo flexor longo dos dedos
Músculo flexor curto dos dedos
Músculo flexor longo do hálux
Músculos interósseos dorsais
Músculo flexor curto do hálux
Músculo flexor curto do dedo mínimo
Músculo abdutor do dedo mínimo
Músculo abdutor do hálux
Músculos interósseos plantares
Músculos interósseos dorsais
1º
2º
3º
4º
Primeiro músculo interósseo plantar
Segundo músculo interósseo plantar
Músculo adutor do hálux (cabeça oblíqua)
Terceiro músculo interósseo plantar
Músculo tibial anterior
Músculo fibular longo
Músculo tibial posterior
Músculo abdutor do dedo mínimo
Músculo fibular curto
Músculo flexor curto do dedo mínimo
Músculo flexor curto do hálux
Músculo quadrado plantar
Músculo abdutor do dedo mínimo
Músculo abdutor do hálux
Músculo flexor curto dos dedos

Inserções proximais
Inserções distais

Vista dorsal

Vista plantar

Cápsulas articulares das articulações interfalângicas
Ligamentos metatarsais transversos profundos
Falange distal do quarto dedo [IV]
Falange média do quarto dedo [IV]
Falange proximal do quarto dedo [IV]
Falange distal do primeiro dedo [I] (hálux)
Ligamentos colaterais
Cápsula articular da articulação interfalângica
Falange proximal do primeiro dedo [I] (hálux)
Cápsula articular da articulação metatarsofalângica
Ligamentos plantares
Quinto osso metatarsal [V]
Primeiro osso metatarsal [I]
Ligamentos metatarsais plantares
Tendão do músculo tibial anterior
Tuberosidade do quinto metatarsal [V]
Cuneiforme medial
Ligamento cuneonavicular plantar
Tuberosidade do navicular
Tendão do músculo fibular curto
Tuberosidade do cubóide
Ligamento cuboideonavicular plantar
Tendão do músculo fibular longo
Ligamento calcaneonavicular plantar (“mola”)
Ligamento plantar longo
Tendão do músculo tibial posterior
Tendão do músculo flexor longo dos dedos
Tendão do músculo flexor longo do hálux
Tubérculos medial e lateral do tálus
Calcâneo

Ligamentos e tendões do pé (vista plantar)

Ligamentos metatarsais plantares
Ligamentos tarsometatarsais plantares
Ligamento cuneonavicular plantar
Navicular
Cubóide
Ligamento cuboideonavicular plantar
Ligamento calcaneocubóideo plantar (“plantar curto”)
Ligamento calcaneonavicular plantar (“mola”)
Tubérculo do calcâneo
Sustentáculo do tálus
Tálus
Calcâneo

Ligamentos profundos da planta do pé

Cápsula articular
Ligamentos colaterais
Osso metatarsal
Ligamentos plantares

Cápsula articular e ligamentos das articulações metatarsofalângicas e interfalângicas

Fíbula
Tíbia
Ligamento talofibular anterior
Ligamento calcaneofibular
Ligamento talocalcâneo lateral
Calcâneo
Ligamento calcaneocubóideo dorsal
Ligamento bifurcado
Tuberosidade do quinto metatarsal [V]
Ligamentos metatarsais dorsais
Ligamentos metatarsais transversos profundos
Falange proximal do quinto dedo [V]
Falange média do quinto dedo [V]
Falange distal do quinto dedo [V]
Cápsulas articulares das articulações interfalângicas
Tálus
Parte tibiotalar anterior do ligamento colateral medial (deltóideo)
Parte tibionavicular do ligamento colateral medial (deltóideo)
Ligamento talonavicular
Ligamentos cuneonaviculares dorsais
Ligamentos intercuneiformes dorsais
Ligamentos tarsometatarsais dorsais
Cápsula articular da articulação metatarsofalângica

Vista anterior

Vista superior com tálus removido

Navicular
Cubóide
Ligamento calcaneonavicular plantar ("mola")
Ligamento calcaneocubóideo dorsal
Ligamento bifurcado
Ligamento talocalcâneo interósseo (seccionado)
Ligamento talocalcâneo lateral (seccionado)
Calcâneo

Vista lateral

Ligamento talocalcâneo interósseo
Ligamento bifurcado
Ligamento talonavicular
Navicular
Ligamento intercuneiforme dorsal
Ligamento cuneocubóideo dorsal
Ligamento talocalcâneo lateral
Tendão do calcâneo (seccionado)
Calcâneo
Tendão do músculo fibular longo (seccionado)
Cubóide
Tuberosidade do quinto metatarsal [V]
Ligamento calcaneocubóideo dorsal
Tendão do músculo fibular curto (seccionado)

Ligamento talonavicular
Tálus
Sustentáculo do tálus
Tendão do músculo flexor longo do hálux (seccionado)
Navicular
Ligamentos cuneonaviculares dorsais
Ligamento intercuneiforme dorsal
Tubérculo medial do tálus
Cuneiforme medial
Ligamentos tarsometatarsais dorsais
Tendão do calcâneo (seccionado)
Primeiro osso metatarsal [I]
Falange proximal do primeiro dedo [I] (hálux)
Falange distal do primeiro dedo [I] (hálux)
Ligamento talocalcâneo medial
Calcâneo
Ligamento calcaneonavicular plantar ("mola")
Tendão do músculo tibial anterior (seccionado)
Ligamento plantar longo
Aponeurose plantar
Ligamentos colaterais
Ligamento calcaneocubóideo plantar ("ligamento plantar curto")
Tendão do músculo tibial posterior (seccionado)

Vista medial

Músculo fibular longo
Músculo extensor longo dos dedos
Músculo fibular curto
Retináculo superior dos músculos extensores
Fíbula
Músculo fibular terceiro
Maléolo lateral
Retináculo inferior dos músculos extensores
Bainha do tendão do músculo extensor longo dos dedos
Músculo extensor curto dos dedos
Tendão do músculo fibular curto
Tendão do músculo fibular terceiro
Tuberosidade do quinto metatarsal [V]
Tendões do músculo extensor longo dos dedos
Músculo abdutor do dedo mínimo
Quarto músculo interósseo dorsal
Terceiro músculo interósseo dorsal
Segundo músculo interósseo dorsal
Músculo extensor longo do hálux
Tendão do músculo tibial anterior
Tíbia
Tendão do músculo extensor longo do hálux
Maléolo medial
Bainha do tendão do músculo tibial anterior
Bainha do tendão do músculo extensor longo do hálux
Músculo extensor curto do hálux (parte medial do músculo extensor curto dos dedos)
Tendão do músculo extensor longo do hálux
Primeiro músculo interósseo dorsal
Expansão extensora

Tendão do músculo extensor longo do hálux
Tendões do músculo extensor longo dos dedos

Anatomia de superfície

Estruturas superficiais do pé (vista dorsal)

Artérias e nervos do pé (vista dorsal)

Inervação do pé (vista dorsal)

Distribuição cutânea

Tíbia
Músculo extensor longo do hálux
Nervo fibular profundo
Artéria tibial anterior
Fíbula
Tendão do músculo tibial anterior
Artéria maleolar anterior lateral
Artéria maleolar anterior medial
Maléolo medial
Maléolo lateral
Ramo muscular (“lateral”) do nervo fibular profundo
Artéria dorsal do pé
Artéria tarsal medial
Músculo extensor curto dos dedos (seccionado)
Artéria tarsal lateral
Tendão do músculo extensor longo do hálux
Artéria arqueada
Ramos perfurantes (do arco plantar profundo)
Artérias metatarsais dorsais
Artéria plantar profunda para união com o arco plantar profundo
Nervo cutâneo dorsal lateral (do nervo sural)
Ramos do nervo fibular profundo para o primeiro e segundo músculos interósseos dorsais
Primeiro músculo interósseo dorsal

Artérias e nervos profundos do pé (vista dorsal)

Artéria fibular
Artéria tibial posterior
Artéria tibial anterior
Ramo perfurante
Artéria maleolar anterior lateral
Artéria maleolar anterior medial
Artéria dorsal do pé
Artéria tarsal lateral
Artéria tarsal medial
Artéria arqueada
Ramos perfurantes (do arco plantar profundo)
Artéria plantar profunda
Arco plantar profundo
Artéria metatarsal dorsal
Artérias digitais dorsais do pé

Artérias do pé (vista dorsal)

Artéria arqueada
Artérias metatarsais dorsais
Osso metatarsal
Artéria digital dorsal para o próximo dedo
Artéria digital dorsal
Ramo perfurante
Arco plantar profundo
Artérias metatarsais plantares
Artéria digital plantar própria
Artéria digital plantar própria para o próximo dedo
Ramo perfurante (da artéria metatarsal plantar)

Artérias do terceiro dedo (dedo III)

Anatomia de superfície mostrando a área de contato do pé com o solo na posição ereta (em pé)

Ligamentos metatarsais transversos superficiais

Feixes digitais da aponeurose plantar

Fascículos transversos

Divisão ("braço") anterior do retináculo inferior dos músculos extensores

Músculo abdutor do dedo mínimo

Aponeurose plantar

Músculo abdutor do hálux

Faixa (banda) lateral da aponeurose plantar (ligamento "calcaneometatarsal")

Processo lateral da tuberosidade do calcâneo

Processo medial da tuberosidade do calcâneo

Tuberosidade do calcâneo

Estruturas superficiais do pé (vista plantar)

Músculo abdutor do dedo mínimo
Fixação ligamentosa entre o calcâneo e o osso metatarsal V
Músculo abdutor do hálux
Músculo flexor curto dos dedos

Primeira camada de músculos da planta do pé

Tendão do músculo flexor longo dos dedos
Bainha do tendão do músculo flexor curto dos dedos (bainha sinovial)
Bainhas (fibrosas) dos tendões dos músculos flexores dos dedos
Bainha (fibrosa) do tendão do músculo flexor longo do hálux
Músculos lumbricais
Tendão do músculo flexor longo do hálux
Músculo flexor curto do hálux
Tendões do músculo flexor curto dos dedos
Músculo flexor curto do dedo mínimo
Tendões do músculo flexor longo dos dedos
Músculo abdutor do dedo mínimo
Músculo abdutor do hálux
Músculo flexor curto dos dedos
Aponeurose plantar (seccionada)
Processo lateral da tuberosidade do calcâneo
Processo medial da tuberosidade do calcâneo
Tuberosidade do calcâneo

Músculos da planta do pé (primeira camada)

Músculos lumbricais

Músculo quadrado plantar

Segunda camada de músculos da planta do pé

Tendões do músculo flexor longo dos dedos

Expansões extensoras

Tendão do músculo flexor longo do hálux

Músculo flexor curto do hálux

Tendões do músculo flexor curto dos dedos (seccionados)

Músculos lumbricais

Músculo flexor curto do dedo mínimo

Tendões do músculo flexor longo dos dedos

Músculo abdutor do dedo mínimo (seccionado)

Músculo abdutor do hálux (seccionado)

Tendão do músculo tibial posterior

Músculo quadrado plantar

Tendão do músculo flexor longo dos dedos

Tendão do músculo flexor longo do hálux

Tendão do músculo flexor curto dos dedos (seccionado)

Músculo abdutor do dedo mínimo (seccionado)

Músculo abdutor do hálux (seccionado)

Aponeurose plantar (seccionada)

Tuberosidade do calcâneo

Músculos da planta do pé (segunda camada)

Cabeça transversa
Cabeça oblíqua
Músculo adutor do hálux
Músculo flexor curto do dedo mínimo
Músculo flexor curto do hálux

Terceira camada de músculos da planta do pé

Tendões do músculo flexor longo dos dedos
Tendão do músculo flexor longo do hálux (seccionado)
Tendões dos músculos lumbricais (seccionados)
Ossos sesamóides
Músculo adutor do hálux (cabeça transversa)
Músculo flexor curto do hálux (cabeça medial)
Tendão do músculo abdutor do hálux
Músculo flexor curto do hálux (cabeça lateral)
Músculo adutor do hálux (cabeça oblíqua)
Tendão do músculo tibial anterior
Tendão do músculo abdutor do dedo mínimo (seccionado)
Tendões do músculo flexor curto dos dedos (seccionados)
Músculos interósseos plantares
Músculo flexor curto do dedo mínimo
Tuberosidade do quinto metatarsal [V]
Tendão do músculo fibular curto
Ligamento plantar longo
Tendão do músculo fibular longo
Músculo quadrado plantar (seccionado)
Músculo abdutor do dedo mínimo (seccionado)
Tuberosidade do calcâneo
Tuberosidade do navicular
Ligamento calcaneonavicular plantar (“mola”)
Tendão do músculo tibial posterior
Tendão do músculo flexor longo dos dedos (seccionado)
Tendão do músculo flexor longo do hálux (seccionado)
Tendão do músculo flexor curto dos dedos (seccionado)
Músculo abdutor do hálux (seccionado)
Aponeurose plantar (seccionada)

Músculos da planta do pé (terceira camada)

Músculos da planta do pé (quarta camada)

Músculos interósseos plantares (semipeniformes)

Músculos interósseos dorsais (peniformes)

Quarta camada de músculos da planta do pé

Nervo plantar lateral
Nervo plantar medial
Nervo safeno
Nervo sural
Nervo tibial (ramos calcâneos)

Distribuição cutânea

Nervos digitais plantares próprios (do nervo plantar medial)
Nervos digitais plantares próprios (do nervo plantar lateral)
Artéria digital plantar própria (do ramo superficial da artéria plantar medial)
Nervos digitais plantares comuns
Artéria digital plantar própria do quinto dedo [V]
Músculo abdutor do hálux (seccionado)
Ramo perfurante
Arco plantar profundo
Ramo superficial do nervo plantar lateral
Ramo profundo do nervo plantar lateral
Tendão do músculo flexor longo dos dedos
Músculo quadrado plantar
Artéria plantar medial
Músculo abdutor do dedo mínimo
Nervo plantar medial
Tendão do músculo tibial posterior
Nervo plantar lateral
Artéria plantar lateral
Tendão do músculo flexor longo do hálux
Músculo flexor curto dos dedos (seccionado)
Tendão do músculo flexor longo os dedos
Nervo tibial
Artéria tibial posterior
Músculo abdutor do hálux (seccionado)
Ramo calcâneo lateral (da artéria fibular)
Aponeurose plantar (seccionada)
Ramos calcâneos mediais (do nervo tibial e da artéria tibial posterior)
Tuberosidade do calcâneo

Artérias e nervos da planta do pé (vista plantar)

Artérias digitais plantares próprias

Nervos digitais plantares próprios (do nervo plantar medial)

Nervos digitais plantares próprios (do nervo plantar lateral)

Artérias metatarsais plantares

Primeiro músculo interósseo dorsal

Músculos interósseos plantares

Músculos interósseos dorsais

Artéria plantar profunda (da artéria dorsal do pé)

Ramos perfurantes

Ramo superficial do nervo plantar lateral

Arco plantar profundo

Ramo profundo do nervo plantar lateral

Músculo quadrado plantar

Tendão do músculo flexor longo dos dedos

Músculo abdutor do dedo mínimo

Artéria plantar medial

Nervo plantar medial

Nervo plantar lateral

Tendão do músculo tibial posterior

Artéria plantar lateral

Tendão do músculo flexor longo do hálux

Nervo tibial

Artéria tibial posterior

Tendão do músculo flexor curto dos dedos (seccionado)

Músculo abdutor do hálux (seccionado)

Ramo calcâneo lateral (da artéria fibular)

Aponeurose plantar (seccionada)

Ramos calcâneos mediais (do nervo tibial e da artéria tibial posterior)

Tuberosidade do calcâneo

Artérias e nervos da planta do pé (vista plantar)

Artérias digitais plantares próprias

Artérias metatarsais plantares

Artéria plantar profunda (da artéria dorsal do pé)

Ramos perfurantes

Arco plantar profundo

Artéria arqueada (por transparência)

Artéria plantar medial

Artéria plantar lateral

Artéria tibial posterior

Artérias da planta do pé (vista plantar)

Músculo fibular curto
Músculo sóleo
Músculo extensor longo dos dedos
Tendão do músculo extensor longo do hálux
Tendão do músculo tibial anterior
Músculo fibular longo
Retináculo superior dos músculos extensores
Músculo fibular terceiro
Fíbula
Maléolo lateral e sua bolsa subcutânea
Tendão do calcâneo
Retináculo inferior dos músculos extensores
Bainha dos tendões do músculo extensor longo dos dedos
Bainha do tendão do músculo extensor longo do hálux
Tendões do músculo extensor longo dos dedos
Expansões extensoras
Tendão do músculo fibular terceiro
Tendão do músculo fibular curto
Tendão do músculo fibular longo
Calcâneo
Músculo abdutor do dedo mínimo
Músculo extensor curto dos dedos

Vista lateral

Músculo extensor curto dos dedos
Tendão do músculo extensor longo dos dedos
Segundo osso metatarsal [II]
Expansão extensora
Músculo lumbrical
Ligamento metatarsal transverso profundo
Tendão do músculo flexor curto dos dedos (seccionado)
Músculo interósseo dorsal
Tendão do músculo flexor longo dos dedos (seccionado)

Expansão extensora (vista póstero-medial)

Tendão do músculo tibial posterior
Tíbia
Tendão do músculo flexor longo dos dedos
Artéria e veias tibiais posteriores
Nervo tibial
Tendão do músculo flexor longo do hálux
Tendão do calcâneo
Retináculo dos músculos flexores
Calcâneo

''Túnel do tarso'' e retináculo dos músculos flexores (vista póstero-medial)

Bainha do tendão do músculo flexor longo dos dedos
Bainha do tendão do músculo tibial posterior
Retináculo superior dos músculos extensores
Ramo maleolar medial
Tendão do músculo tibial anterior e sua bainha sinovial
Maléolo medial e sua bolsa subcutânea
Retináculo inferior dos músculos extensores
Bainha do tendão do músculo extensor longo do hálux
Músculo sóleo
Músculo flexor longo dos dedos
Artéria tibial posterior
Nervo tibial
Bainha do tendão do músculo flexor longo do hálux
Tendão do calcâneo
Ramos calcâneos mediais (da artéria tibial posterior)
Primeiro osso metatarsal [I]
Expansão extensora
Retináculo dos músculos flexores
Artéria digital plantar própria (do ramo superficial da artéria plantar medial)
Tendão do músculo flexor longo do hálux
Músculo abdutor do hálux
Artéria tarsal medial
Artéria plantar medial
Aponeurose plantar
Artéria e nervo plantares laterais

Vista medial

Veia circunflexa ilíaca superficial
Veia epigástrica superficial
Veia pudenda externa
Hiato safeno
Fáscia lata
Veia safena acessória (medial)
Veia safena acessória (lateral)
Veia safena magna
Fáscia da perna (profunda, crural)
Veia safena magna
Arco venoso dorsal do pé

Vista anterior

Ramos da veia safena acessória (lateral)
Veia safena magna
Veia safena parva

Vista posterior

Inervação cutânea do membro inferior

Áreas de inervação cutânea do membro inferior

Dermátomos do membro inferior

S4
S3
L2
L3
S2
L4
L5
S1
L5
C4

Dermátomos do membro inferior

Nervo subcostal (T12)
Nervo ilio-hipogástrico (L1)
Ramos posteriores de L1,2,3
Ramos posteriores de S1,2,3
Nervo cutâneo femoral lateral (L2,3)
Nervo obturatório (L2,3,4)
Ramos cutâneos anteriores do nervo femoral (L2,3)
Nervo cutâneo femoral posterior (L2,3)
Nervo cutâneo sural lateral (L5,S1,2)
Nervo safeno (L3,4)
Nervo sural (L5,S1,2)
Nervo tibial
Nervo safeno (L3,4)
Nervo plantar lateral
Nervo plantar medial

Áreas de inervação cutânea do membro inferior

Nervo subcostal (T12)
Nervo ilio-hipogástrico (L1)
Ramos posteriores de L1,2,3
Ramos posteriores de S1,2,3
Nervo cutâneo femoral lateral (L2,3)
Nervo obturatório (L2,3,4)
Nervo cutâneo femoral posterior (L2,3)
Ramos cutâneos anteriores do nervo femoral (L2,3)
Nervo safeno (L3,4)
Nervo cutâneo sural lateral (L5,S1,2)
Ramo fibular comunicante
Nervo sural (L5,S1,2)
Nervo tibial
Nervo safeno (L3,4)
Nervo plantar lateral
Nervo plantar medial

Nervos cutâneos do membro inferior

7
MEMBRO SUPERIOR

CONTEÚDO

Vértebras cervicais [CI-VII]
Ligamento transverso superior da escápula
Costela I
Clavícula
Acrômio
Processo coracóide
Articulação esternoclavicular
Tubérculo maior
Manúbrio do esterno
Úmero
Incisura da escápula

Vista anterior

Costela I
Acrômio
Fossa supra-espinal
Espinha da escápula
Fossa infra-espinal
Clavícula
Tubérculo maior
Tubérculo menor
Ângulo do esterno
Úmero

Vista lateral

Escápula
Processo transverso de TI
Costela I
Fossa supra-espinal
Espinha da escápula
Acrômio
Cabeça do úmero
Tubérculo maior
Sulco intertubercular
Tubérculo menor
Úmero
Epicôndilo lateral
Processo coracóide
Epicôndilo medial
Clavícula
Esterno

Vista superior

Arcabouço ósseo do ombro

Ângulo superior da escápula
Fossa supra-espinal
Margem superior
Processo coracóide
Incisura da escápula
Face articular da clavícula
Acrômio
Incisura que conecta a fossa supra-espinal com a fossa infra-espinal (incisura "espinoglenoidal")
Cavidade glenoidal
Espinha da escápula
Tubérculo infraglenoidal
Margem lateral
Fossa infra-espinal
Margem medial
Ângulo inferior

Escápula, vista posterior

Margem superior
Ângulo superior
Incisura da escápula
Acrômio
Processo coracóide
Cavidade glenoidal
Tubérculo infraglenoidal
Fossa subescapular
Margem lateral
Margem medial
Ângulo inferior

Escápula, vista anterior

Acrômio
Ângulo superior
Tubérculo supraglenoidal
Processo coracóide
Cavidade glenoidal
Tubérculo infraglenoidal
Margem lateral
Ângulo inferior

Escápula, vista lateral

Músculo trapézio
Músculo esternocleidomastóideo
Músculo deltóide
Músculo peitoral maior

Inserções musculares (ponto fixo e ponto móvel) (vista superior)

Clavícula (vista superior)

Face articular acromial

Lateral

Medial

Face articular esternal (para o manúbrio do esterno e primeira cartilagem costal)

Inserções proximais
Inserções distais

Sulco do músculo subclávio (para inserção do músculo subclávio)

Impressão do ligamento costoclavicular

Linha trapezóidea

Tubérculo conóide

(para os ligamentos conóide e trapezóide, partes do ligamento coracoclavicular)

Clavícula (vista inferior)

Músculo peitoral maior
Músculo deltóide
Músculo subclávio
Músculo trapézio

Inserções musculares (ponto fixo e ponto móvel) (vista inferior)

Ligamento coracoclavicular
Ligamento trapezóide
Ligamento conóide
Ligamento acromioclavicular
Articulação acromioclavicular
Acrômio
Ligamento coracoacromial
Processo coracóide
Cavidade glenoidal
Incisura da escápula
Disco articular (a cápsula articular e os ligamentos foram removidos anteriormente para expor a articulação)
Incisura clavicular
Articulação esternoclavicular
Ligamento interclavicular
Ligamento esternoclavicular anterior
Clavícula
Costela I
Ligamento costoclavicular
Primeira cartilagem costal
Incisura costal (para a cartilagem costal da costela II)
Ângulo do esterno

Articulações e ligamentos da clavícula (vista anterior)

"Faceta superior" no tubérculo maior (para inserção do músculo supra-espinal)
Tubérculo maior
Cabeça do úmero
Tubérculo menor (para inserção do músculo subescapular)
Sulco intertubercular
Colo anatômico
Colo cirúrgico
Crista do tubérculo maior (para inserção do músculo peitoral maior)
Crista do tubérculo menor (para inserção do músculo rombóide maior)
Área áspera do sulco intertubercular para inserção do músculo latíssimo do dorso

Vista anterior

Cabeça do úmero
Colo anatômico
Colo cirúrgico

Vista medial

Tubérculo menor
Sulco intertubercular
Cabeça do úmero
Tubérculo maior
Colo anatômico

Cabeça do úmero (vista superior)

Cabeça do úmero
Tubérculo maior
Tubérculo menor
Colo cirúrgico

Vista lateral

Cabeça do úmero
"Faceta superior" (para inserção do músculo supra-espinal)
"Faceta média" (para inserção do músculo infra-espinal)
Colo anatômico
"Faceta inferior" (para inserção do músculo redondo menor)
Colo cirúrgico
Tuberosidade para o músculo deltóide (inserção do músculo deltóide)
Sulco do nervo radial
Área áspera para inserção do músculo coracobraquial

Vista posterior

Extremidade proximal do úmero

Acrômio
Membrana fibrosa da cápsula articular
Membrana sinovial
Processo coracóide
Cavidade glenoidal
Ligamento transverso do úmero
Lábio glenoidal
Membrana sinovial excedente em adução (recesso axilar)
Tendão da cabeça longa do músculo bíceps braquial

Faces articulares da articulação do ombro (vista oblíqua ântero-lateral)
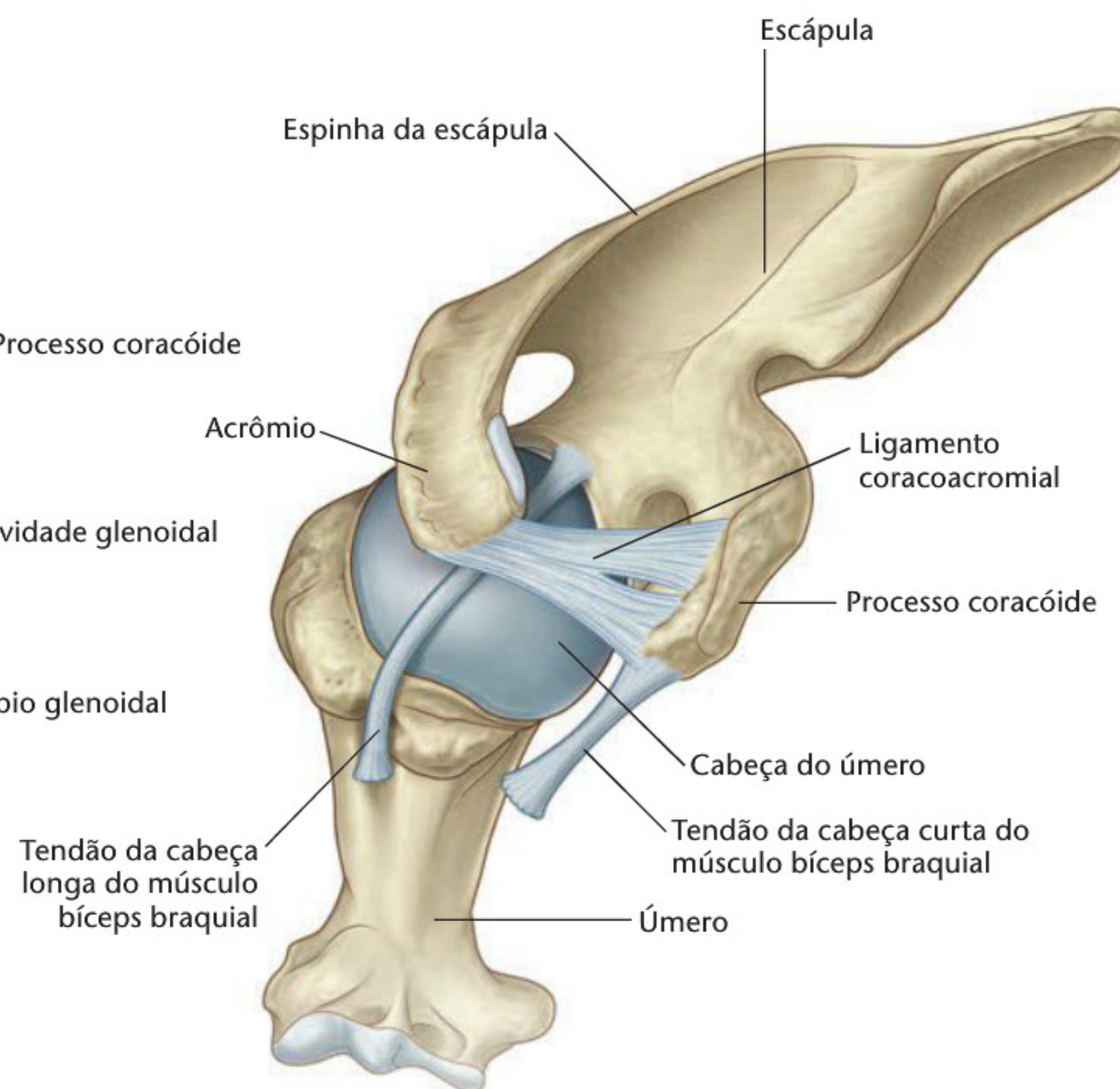
Escápula
Espinha da escápula
Acrômio
Ligamento coracoacromial
Processo coracóide
Cabeça do úmero
Tendão da cabeça longa do músculo bíceps braquial
Tendão da cabeça curta do músculo bíceps braquial
Úmero

Inserções proximais dos tendões do músculo bíceps braquial (vista superior)

Escápula
Espinha da escápula
Acrômio
Lábio glenoidal
Processo coracóide
Tendão da cabeça curta do m. bíceps braquial
Membrana sinovial
Bainha sinovial
Tendão da cabeça longa do músculo bíceps braquial
Úmero
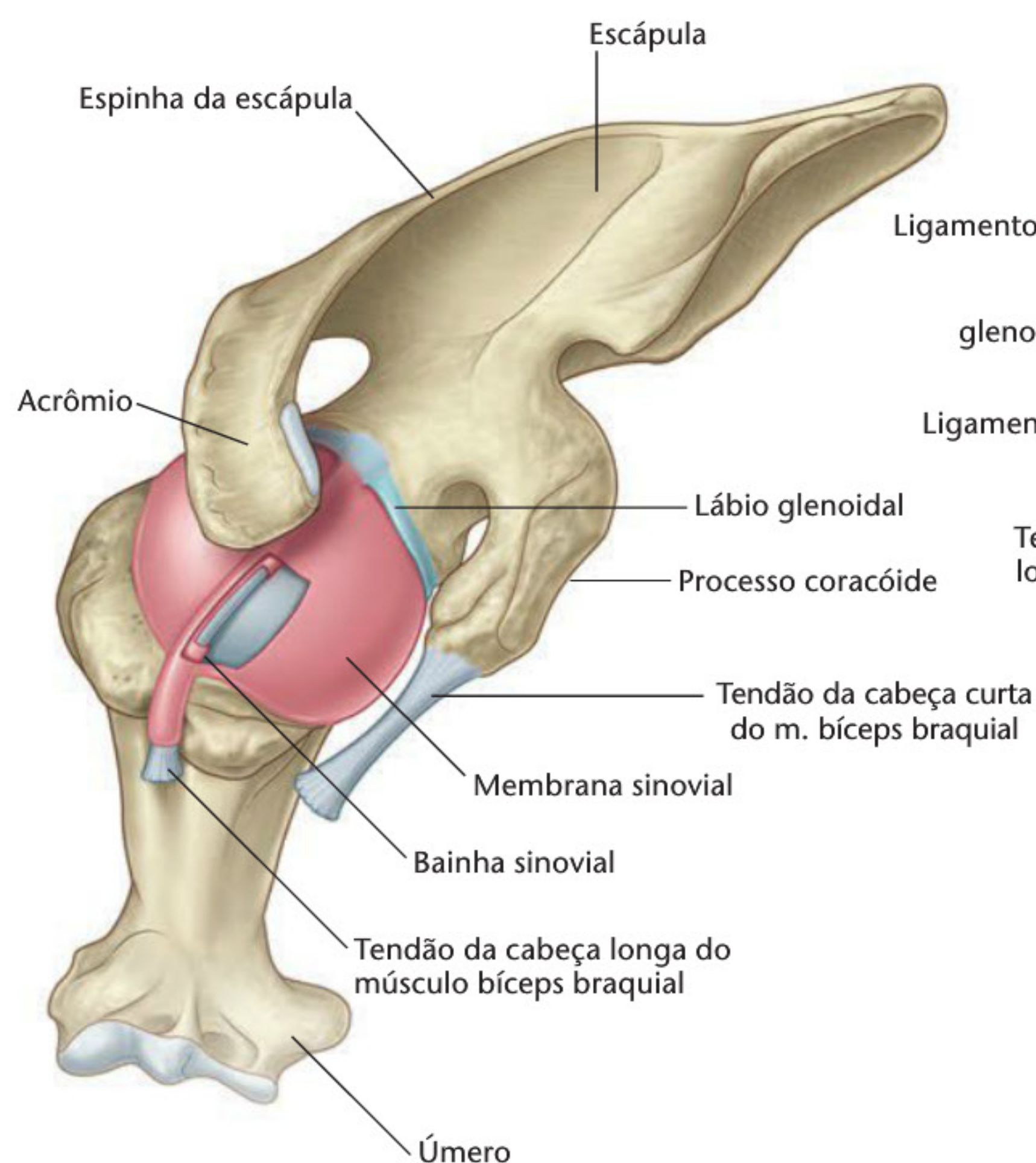
Membrana sinovial (vista superior)

Acrômio
Processo coracóide
Ligamento coracoumeral
Ligamento glenoumeral superior
Ligamento glenoumeral médio
Ligamento glenoumeral inferior
Tendão da cabeça longa do músculo bíceps braquial
Ligamento glenoumeral inferior
Cápsula articular excedente (recesso axilar)
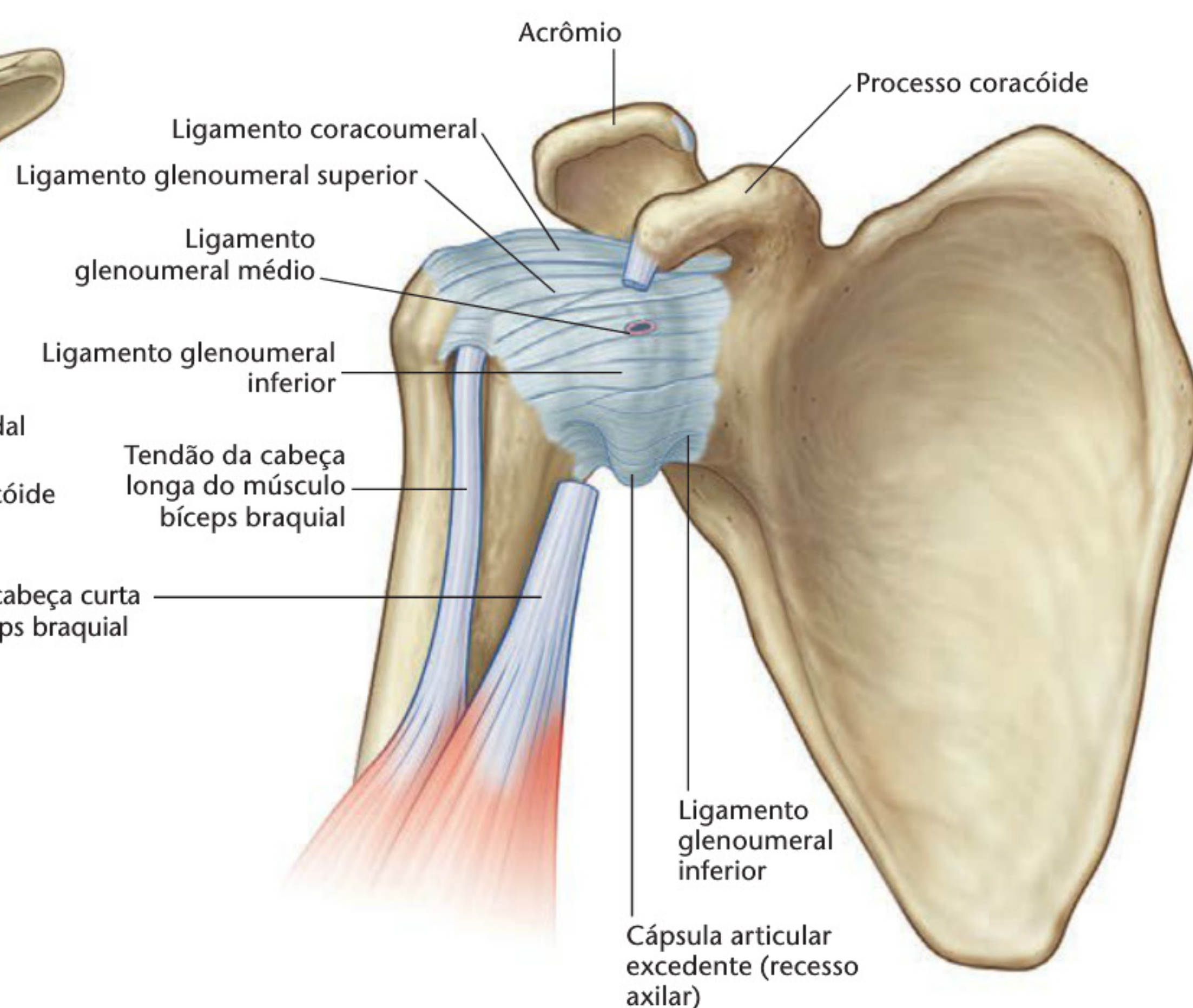
Membrana fibrosa da cápsula articular (vista anterior)
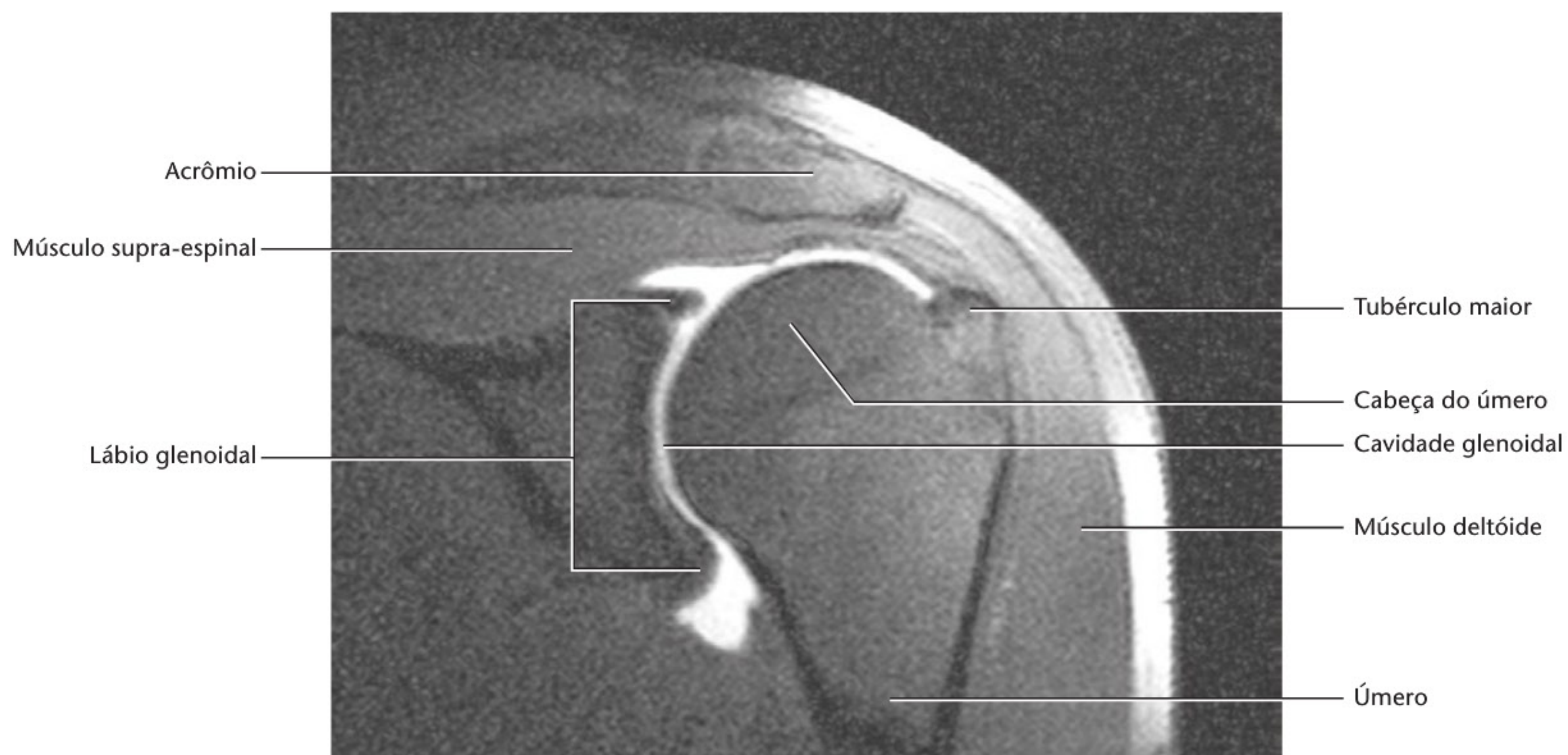
Acrômio
Músculo supra-espinal
Lábio glenoidal
Tubérculo maior
Cabeça do úmero
Cavidade glenoidal
Músculo deltóide
Úmero

Vista anterior da articulação do ombro (glenoumeral).
Imagem de RM ponderada em T1, no plano frontal (coronal)

Clavícula
Cavidade glenoidal
Acrômio
Cabeça do úmero
Úmero

Articulação do ombro (glenoumeral) normal.
Radiografia, vista em AP

Espinha da escápula
Acrômio
Ligamento coracoacromial (seccionado)
Tendão do músculo infra-espinal (seccionado)
Bolsa subdeltóidea junto à bolsa subacromial
Incisura da escápula
Músculo supra-espinal (seccionado)
Ligamento coracoacromial (seccionado)
Processo coracóide
Membrana fibrosa da cápsula articular
Ligamento transverso do úmero
Bainha sinovial
Tendão da cabeça longa do músculo bíceps braquial (seccionado)
Úmero
Bolsa subtendínea do músculo subescapular
Tendão da cabeça curta do músculo bíceps braquial (seccionado)
Tendão do músculo subescapular (seccionado)

Bolsas sinoviais da articulação do ombro (vista superior)

Acrômio
Membrana fibrosa da cápsula articular
Lábio glenoidal
Músculo supra-espinal
Escápula
Membrana sinovial da cápsula articular
Tendão do músculo supra-espinal
Bolsas subdeltóidea e subacromial
Cartilagem articular
Recesso axilar
Músculo deltóide
Úmero
Cabeça longa do músculo tríceps braquial
Músculo redondo menor
Músculo redondo maior (seccionado)

Articulação do ombro (vista anterior)

Inserções proximais
Inserções distais

Músculo peitoral maior (parte clavicular)
Músculo subclávio
Músculo peitoral maior (parte esternocostal)
Músculo peitoral menor

Inserções dos músculos peitorais no gradil costal (vista anterior)

Músculo escaleno posterior
Músculo escaleno médio
Músculo escaleno anterior
Músculo serrátil anterior (costelas I-IX)

Inserções dos músculos serrátil anterior e escalenos no gradil costal (vista lateral)

Músculo trapézio (Linha nucal superior, protuberância occipital externa, ligamento nucal, ligamento supra-espinal e processos espinhosos de CVII-TXII)
Músculo latíssimo do dorso (Processos espinhosos de TVII-TXII, ligamento supra-espinal e processos espinhosos de LI-SV, sacro, crista ilíaca, costelas X-XII)
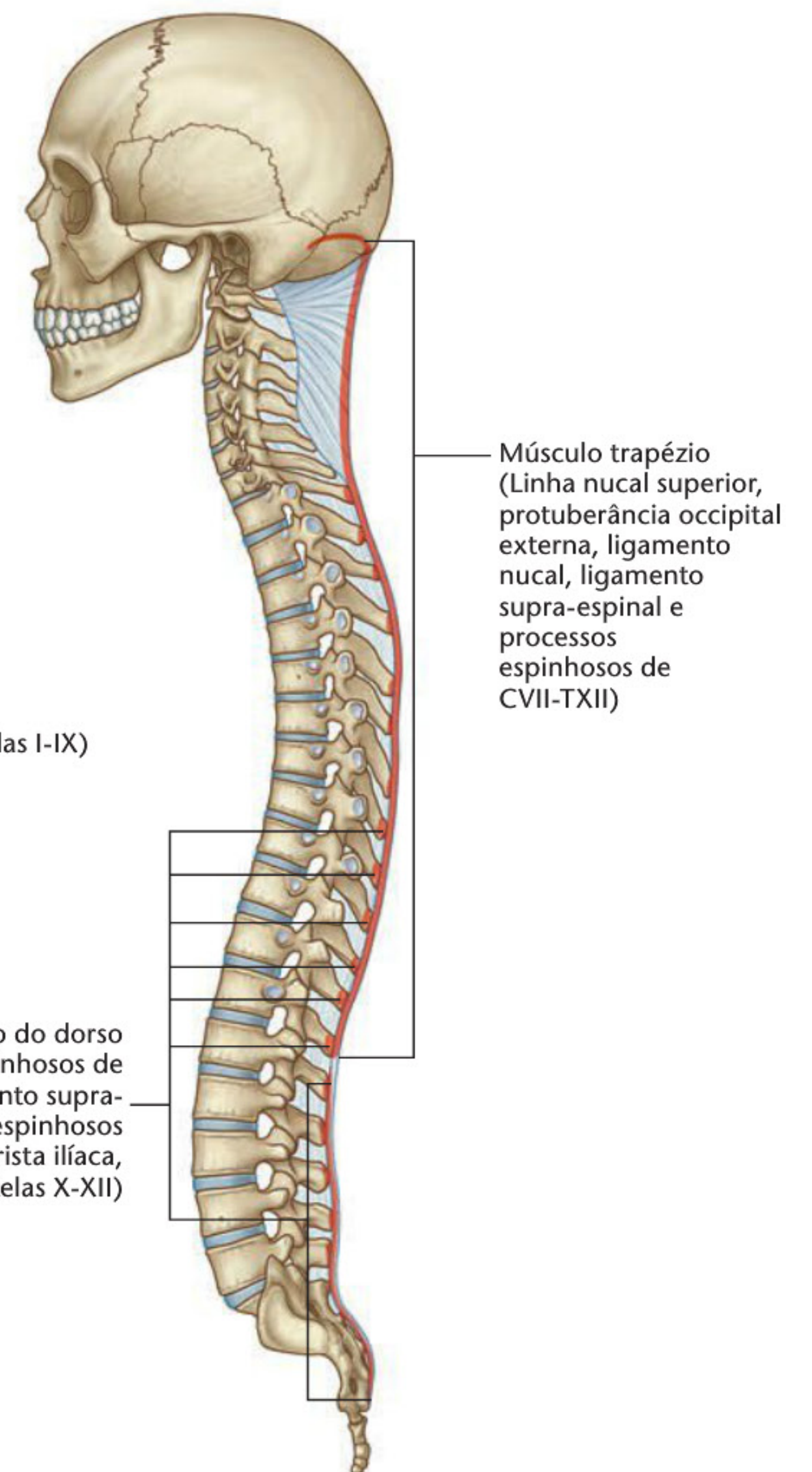
Inserções dos músculos trapézio e latíssimo do dorso (vista lateral)

Esterno
Músculo peitoral maior
Músculo peitoral menor
Escápula

Músculos peitorais maior e menor na parede anterior do tórax.
Imagem de TC com contraste, no plano transversal (axial)

Músculo escaleno médio
Músculo escaleno posterior
Músculo trapézio
Acrômio
Veia cefálica
Músculo deltóide
Músculo latíssimo do dorso
Veia basílica
Cabeça longa do músculo tríceps braquial
Cabeça lateral do músculo tríceps braquial*
Úmero
Septo intermuscular lateral do braço
Cabeça medial do músculo tríceps braquial
Septo intermuscular medial do braço
Músculo escaleno anterior
Veia jugular interna direita
Clavícula
Parte clavicular do músculo peitoral maior
Esterno
Parte esternocostal do músculo peitoral maior
Margem costal
Parte abdominal do músculo peitoral maior

Músculo peitoral maior

*N.R.C.: A cabeça lateral do músculo tríceps braquial é também considerada por alguns autores como sendo a cabeça "curta".

Fáscia clavipeitoral e estruturas relacionadas

Músculo peitoral menor

Espinha da escápula
Acrômio
Clavícula
Processo coracóide
Músculo peitoral menor
Esterno
Músculo peitoral maior (seccionado)
Músculos intercostais externos
Escápula
Músculo serrátil anterior

Paredes medial e anterior da axila

Clavícula
Músculo trapézio
Processo coracóide
Acrômio
Músculo supra-espinal
Ligamento transverso do úmero
Sulco intertubercular
Músculo subescapular
Músculo serrátil anterior
Músculo peitoral maior (seccionado)
Músculo latíssimo do dorso
Músculo redondo maior
Cabeça lateral do músculo tríceps braquial
Úmero
Cabeça longa do músculo tríceps braquial
Cabeça medial do músculo tríceps braquial

Paredes posterior e lateral da axila

Entrada (“canal cervicoaxilar”)
- margem lateral da costela I
- margem superior da escápula até o processo coracóide

Parede anterior
- clavícula
- músculos peitorais maior e menor
- músculo subescapular
- fáscia clavipeitoral

Parede lateral
- sulco intertubercular

Parede medial
- parte superior da parede do tórax
- músculo serrátil anterior

Assoalho
- pele da axila
- abre-se lateralmente para o interior do braço

Parede posterior
- músculos subescapular, redondo maior, latíssimo do dorso e a cabeça longa do músculo tríceps braquial

Limites da axila

Músculo serrátil anterior
Entrada da axila ("canal cervicoaxilar")
Músculo supra-espinal
Ligamento acromioclavicular
Acrômio
Trígono clavipeitoral (deltopeitoral)
Músculo deltóide
Costela I
Clavícula
Manúbrio do esterno
Úmero
Músculo peitoral maior

Entrada da axila (vista superior)

Músculo subclávio
Clavícula
Músculo peitoral maior
Músculo peitoral menor
Músculo peitoral maior
Úmero

Parede anterior da axila (vista posterior)

Tendão da cabeça longa do músculo bíceps braquial
Músculo peitoral maior
Cabeça longa do músculo bíceps braquial
Músculo redondo maior
Músculo latíssimo do dorso
Úmero

Parede lateral da axila (vista medial)

1. Músculo supra-espinal
2. Músculo infra-espinal
3. Músculo redondo menor
4. Músculo subescapular

Músculo serrátil anterior
Espinha da escápula
① Músculo supra-espinal
Ligamento acromioclavicular
Acrômio
② Músculo infra-espinal
① Músculo supra-espinal
Ligamento coracoacromial
④ Músculo subescapular
Processo coracóide
Costela I
Clavícula
Esterno

Músculos da escápula (vista superior)

Músculo rombóide menor
① Músculo supra-espinal
Clavícula
Acrômio
Espinha da escápula
② Músculo infra-espinal
③ Músculo redondo menor
Músculo rombóide maior
Músculo redondo maior
Músculo serrátil anterior
Úmero

Músculos da escápula (vista posterior)

Ligamento coracoacromial
Tendão da cabeça longa do músculo bíceps braquial
① Músculo supra-espinal
Processo coracóide
Acrômio
Músculo deltóide
② Músculo infra-espinal
Cavidade glenoidal
Lábio glenoidal
③ Músculo redondo menor
Músculo redondo maior
④ Músculo subescapular
Cabeça longa do músculo tríceps braquial
Músculo latíssimo do dorso

Músculos associados com a articulação do ombro (vista lateral)

① Músculo supra-espinal
Clavícula
Costela I
Esterno
② Músculo infra-espinal
④ Músculo subescapular
③ Músculo redondo menor
Úmero

Músculos da escápula (vista lateral)

Tendão da cabeça longa do músculo bíceps braquial no sulco intertubercular
Músculo deltóide
Músculo peitoral maior
Tubérculo menor
Cabeça do úmero
Veia cefálica
Músculo peitoral menor
Músculo coracobraquial
Tendão da cabeça curta do músculo bíceps braquial
④ Músculo subescapular
Lábio glenoidal
Músculo infra-espinal ②
Cavidade glenoidal

Músculos associados à articulação do ombro (glenoumeral).
Imagem de RM ponderada em T1, no plano transversal (axial)

Acrômio
① Músculo supra-espinal
Clavícula
Processo coracóide
Ligamento transverso do úmero
Sulco intertubercular
Espaço quadrangular
④ Músculo subescapular
Espaço triangular
"Intervalo" triangular
Cabeça lateral do músculo tríceps braquial
Cabeça longa do músculo tríceps braquial
Músculo redondo maior
Úmero
Cabeça medial do músculo tríceps braquial
Músculo latíssimo do dorso

Músculos da escápula e passagens para a região posterior da escápula (vista anterior)

② Músculo infra-espinal
① Músculo supra-espinal
Acrômio
Clavícula
Processo coracóide
④ Músculo subescapular
③ Músculo redondo menor
Cabeça do úmero

Músculos associados à articulação do ombro (glenoumeral).
Imagem de RM ponderada em T1, no plano sagital

Artérias do ombro (vista posterior)

Artérias e nervos profundos do ombro (vista posterior)

Artéria axilar (vista anterior)

Artéria braquial e sua origem

Artéria subclávia
Artéria supra-escapular
Ramo acromial da artéria toracoacromial
Artéria axilar
Tronco tireocervical
Artéria toracoacromial
Artéria torácica superior
Ramo clavicular da artéria toracoacromial
Ramo deltóideo da artéria toracoacromial
Ramo peitoral da artéria toracoacromial
Artéria circunflexa anterior do úmero
Ramo profundo da artéria cervical transversa (artéria dorsal da escápula)
Artéria subescapular
Artéria circunflexa posterior do úmero
Artéria torácica lateral
Artéria circunflexa da escápula
Escápula
Artéria toracodorsal
Artéria braquial profunda
Úmero
Artéria colateral ulnar superior
Artéria nutrícia do úmero

Artérias do ombro (vista anterior)

Artéria vertebral
Músculo escaleno médio
Artéria cervical transversa
Ramo clavicular da artéria toracoacromial
Músculo escaleno anterior
Artéria supra-escapular
Músculo subclávio
Ramo acromial da artéria toracoacromial
Artéria axilar
Artéria circunflexa anterior do úmero
Artéria subescapular
Artéria circunflexa posterior do úmero
Artéria torácica lateral
Artéria circunflexa da escápula
Artéria braquial profunda
Músculo peitoral menor
Artéria braquial
Artéria nutrícia do úmero
Músculo latíssimo do dorso
Septo intermuscular lateral do braço
Artéria colateral radial
Artéria colateral ulnar superior
Artéria colateral ulnar inferior

Ramos das artérias axilar e braquial

Esquema demonstrando os ramos do plexo braquial

Plexo braquial

Artéria axilar
Fascículo lateral
Fascículo medial
Fascículo posterior

Fascículos ao redor da artéria axilar

Nervo dorsal da escápula
Tronco superior
Tronco médio
Tronco inferior
Artéria subclávia
Fascículo medial
Nervo peitoral lateral
Artéria toracoacromial
Fascículo lateral
Artéria axilar
Nervo peitoral medial
Nervo musculocutâneo
Cabeça longa do músculo bíceps braquial
Cabeça curta do músculo bíceps braquial
Nervo intercostobraquial
Nervo cutâneo medial do antebraço
Nervo torácico longo
Nervo mediano
Nervo cutâneo medial do braço
Artéria braquial
Nervo ulnar
Músculo bíceps braquial
Músculo braquial
Nervo cutâneo lateral do antebraço (do nervo musculocutâneo)

Fascículos lateral e medial do plexo braquial

Músculo trapézio
Clavícula
Músculo supra-espinal
Fascículo lateral
Fascículo posterior
Fascículo medial
Músculo subescapular
Nervo musculocutâneo
Nervo axilar
Nervo subescapular inferior
Músculo latíssimo do dorso
Nervo radial
Músculo redondo maior
Nervo toracodorsal
Cabeça longa do músculo tríceps braquial
Cabeça lateral do músculo tríceps braquial
Cabeça medial do músculo tríceps braquial
Úmero
Nervo radial
Nervo ulnar
Nervo mediano
Músculo latíssimo do dorso
Artéria braquial
Músculo rombóide menor
Nervo subescapular superior
Nervo dorsal da escápula
Músculo rombóide maior

Fascículo posterior do plexo braquial (costelas e músculos associados removidos)

Músculo deltóide
Músculo omo-hióideo
Músculo trapézio
Músculos bíceps braquial (cabeça curta) e coracobraquial
Músculo supra-espinal
Músculo subescapular
Músculo peitoral menor
Músculo bíceps braquial (cabeça longa)
Músculo peitoral maior
Músculo latíssimo do dorso
Músculo redondo maior
Músculo subescapular
Músculo serrátil anterior
Músculo tríceps braquial (cabeça longa)
Músculo deltóide
Músculo coracobraquial
Músculo braquial
Músculo braquiorradial
Músculo extensor radial longo do carpo
Tendão extensor comum
Músculo pronador redondo (cabeça umeral)
Tendão flexor comum
Músculo flexor superficial dos dedos
Músculo pronador redondo (cabeça ulnar)
Músculo braquial
Músculo bíceps braquial
Músculo supinador
Músculo supinador ("parte profunda")

Inserções musculares (ponto fixo e ponto móvel) do ombro e do braço (vista anterior)

Músculo trapézio
Músculo supra-espinal
Músculo deltóide
Músculo supra-espinal
Músculo infra-espinal
Músculo redondo menor
Músculo levantador da escápula
Músculo rombóide menor
Músculo tríceps braquial (cabeça lateral)
Músculo tríceps braquial (cabeça longa)
Músculo rombóide maior
Músculo deltóide
Músculo braquial
Músculo redondo menor
Músculo latíssimo do dorso ("parte escapular")
Músculo redondo maior
Músculo infra-espinal
Músculo tríceps braquial (cabeça medial)
Músculo supinador
Músculo tríceps braquial
Tendão extensor comum dos músculos extensores
Tendão flexor comum dos músculos flexores
Músculo ancôneo
Músculo supinador ("parte profunda")
Músculo supinador

Inserções proximais
Inserções distais

Inserções musculares (ponto fixo e ponto móvel) do ombro e do braço (vista posterior)

Clavícula
Trígono clavipeitoral (deltopeitoral)
Músculo deltóide
Músculo peitoral maior
Músculo bíceps braquial
Veia intermédia do cotovelo

Anatomia de superfície do compartimento anterior do braço

Compartimento anterior do braço (compartimento flexor)
Septo intermuscular lateral do braço
Compartimento posterior do braço (compartimento extensor)
Úmero
Septo intermuscular medial do braço

Clavícula
Músculo trapézio
Acrômio
Trígono clavipeitoral (deltopeitoral)
Músculo deltóide
Músculo peitoral maior
Músculo coracobraquial
Músculo latíssimo do dorso
Músculo tríceps braquial
Músculo bíceps braquial
Músculo braquial
Músculo braquiorradial
Tendão do músculo bíceps braquial
Músculo pronador redondo
Aponeurose do músculo bíceps braquial (bicipital)
Músculo flexor radial do carpo
Músculo palmar longo
Músculo flexor ulnar do carpo

Músculos do compartimento anterior do braço

Cabeça curta do músculo bíceps braquial e músculo coracobraquial
Músculo coracobraquial
Músculo braquial
Músculo braquial
Músculo bíceps braquial

Inserções musculares (ponto fixo e ponto móvel) do compartimento anterior do braço

Processo coracóide
Tendão da cabeça longa do músculo bíceps braquial (inserido no tubérculo supraglenoidal)
Tendão da cabeça curta do músculo bíceps braquial
Úmero
Músculo coracobraquial
Escápula
Músculo bíceps braquial
Músculo braquial
Tendão do músculo bíceps braquial
Rádio
Aponeurose do músculo bíceps braquial (bicipital)
Ulna

Músculo bíceps braquial

Processo coracóide
Úmero
Músculo coracobraquial
Escápula
Músculo braquial
Rádio
Ulna

Músculos profundos do compartimento anterior do braço

Artéria axilar
Artéria torácica superior
Artéria toracoacromial
Artéria circunflexa anterior do úmero
Artéria torácica lateral
Artéria subescapular
Artéria circunflexa posterior do úmero
Artéria circunflexa da escápula
Escápula
Artéria braquial profunda
Úmero
Artéria nutrícia do úmero
Artéria colateral ulnar superior
Septo intermuscular lateral do braço
Artéria braquial
Artéria colateral radial
Artéria colateral ulnar inferior
Artéria recorrente radial
Artéria recorrente ulnar anterior
Rádio
Artéria radial
Artéria recorrente ulnar posterior
Ulna
Artéria ulnar
Artéria interóssea comum

Artérias do braço (vista anterior)

Artéria toracoacromial
Artéria axilar
Fascículo lateral
Nervo musculocutâneo
Fascículo medial
Músculo coracobraquial
Músculo subescapular
Músculo redondo maior
Músculo tríceps braquial
Nervo mediano
Nervo musculocutâneo
Artéria braquial
Nervo ulnar
Músculo braquial
Nervo radial
Septo intermuscular medial do braço
Nervo cutâneo lateral do antebraço
Epicôndilo medial
Nervo ulnar

Nervos do compartimento anterior do braço

Músculo supra-espinal
Veia subclávia
Veia cefálica
Veia axilar
Veia circunflexa anterior do úmero
Veia circunflexa posterior do úmero
Músculo subescapular
Músculo tríceps braquial
Músculo redondo maior
Artéria braquial
Veias braquiais acompanhantes
Veia colateral radial
Veia colateral ulnar inferior
Veia recorrente ulnar anterior
Veia recorrente ulnar posterior

Veias profundas do braço

Músculo escaleno médio
Músculo escaleno anterior
Veia axilar
Fáscia clavipeitoral
Veia cefálica
Músculo coracobraquial
Músculo peitoral menor
Músculo bíceps braquial
Músculo braquial
Veia basílica penetrando na fáscia do braço
Veia cefálica do antebraço
Veia intermédia (mediana) do cotovelo

Veias superficiais do braço

Músculo deltóide
Cabeça longa do músculo tríceps braquial
Cabeça lateral do músculo tríceps braquial
Músculo braquiorradial
Olécrano

Anatomia de superfície do compartimento posterior do braço

Músculo trapézio
Músculo deltóide
Músculo infra-espinal
Músculo redondo menor
Músculo redondo maior
Músculo rombóide maior
Cabeça longa do músculo tríceps braquial
Cabeça lateral do músculo tríceps braquial
Septo intermuscular lateral do braço
Músculo braquial
Músculo braquiorradial
Músculo latíssimo do dorso
Cabeça medial do músculo tríceps braquial
Músculo extensor radial longo do carpo
Olécrano
Músculo ancôneo
Músculo extensor radial curto do carpo
Músculo extensor ulnar do carpo
Músculo extensor dos dedos
Músculo flexor ulnar do carpo

Compartimento anterior do braço (compartimento flexor)
Úmero
Septo intermuscular medial do braço
Compartimento posterior do braço (compartimento extensor)

Músculos do compartimento posterior do braço

Escápula
Úmero
Cabeça longa do músculo tríceps braquial (seccionada)
Cabeça lateral do músculo tríceps braquial (seccionada)
Sulco do nervo radial
Cabeça medial do músculo tríceps braquial
Músculo redondo maior
Cabeça medial do músculo tríceps braquial
Cabeça longa do músculo tríceps braquial
Cabeça lateral do músculo tríceps braquial
Cabeça lateral do músculo tríceps braquial
Músculo braquial
Cabeça longa do músculo tríceps braquial
Cabeça medial do músculo tríceps braquial
Cabeça medial do músculo tríceps braquial
Músculo tríceps braquial
Rádio
Ulna

Músculo tríceps braquial

Inserções musculares (ponto fixo e ponto móvel) do compartimento posterior do braço

Músculo supra-espinal
Músculo infra-espinal
Músculo redondo menor
Espaço triangular
Músculo redondo maior
Artéria circunflexa posterior do úmero
Nervo axilar
Espaço quadrangular
"Intervalo" triangular
Artéria braquial profunda
Nervo radial
Cabeça lateral do músculo tríceps braquial (seccionada)
Cabeça longa do músculo tríceps braquial (seccionada)
Cabeça medial do músculo tríceps braquial
Nervo cutâneo lateral inferior do braço
Nervo cutâneo posterior do antebraço
Ramo para a cabeça medial do músculo tríceps braquial
Epicôndilo lateral
Nervo ulnar
Artéria recorrente interóssea
Epicôndilo medial

Nervos e artérias do compartimento posterior do braço

Artéria supra-escapular
Ligamento transverso superior da escápula
Acrômio
Artéria supra-escapular
Escápula
Artéria circunflexa anterior do úmero
Artéria circunflexa posterior do úmero
Artéria circunflexa da escápula
Úmero
Artéria braquial profunda
Artéria nutrícia do úmero
Artéria colateral ulnar superior
Ramo profundo da artéria cervical transversa (artéria dorsal da escápula)
Artéria colateral média
Artéria braquial
Artéria colateral radial
Artéria recorrente interóssea
Artéria recorrente ulnar posterior
Artéria recorrente radial
Artéria recorrente ulnar anterior

Artérias do braço (vista posterior)

Trígono clavipeitoral (deltopeitoral)
Veia cefálica
Veia intermédia (mediana) do cotovelo
Veia cefálica acessória
Veia basílica penetrando na fáscia do braço
Veia basílica
Veia cefálica do antebraço
Veia intermédia do antebraço
Veia basílica do antebraço

Veias superficiais do braço e fáscia do braço associada

Músculo escaleno médio
Músculo escaleno anterior
Linfonodos axilares apicais (subclávios)
Linfonodos deltopeitorais (interpeitorais)
Veia axilar
Veia cefálica
Linfonodos axilares centrais
Músculo coracobraquial
Veia basílica
Linfonodos axilares umerais (laterais)
Linfonodos axilares subescapulares (posteriores)
Linfonodos axilares peitorais (anteriores)
Veia cefálica
Veia basílica
Veia cefálica acessória
Veia intermédia (mediana) do cotovelo
Linfonodos cubitais (supratrocleares)

Vasos linfáticos e linfonodos do braço

A

Músculo peitoral maior
Nervo musculocutâneo
Músculo coracobraquial
Veia cefálica
Músculos intercostais
Cabeça curta do músculo bíceps braquial
Músculo peitoral menor
Cabeça longa do músculo bíceps braquial
Veia axilar
Músculo deltóide
Artéria axilar
Úmero
Nervo ulnar
Nervo mediano
Nervo cutâneo medial do antebraço
Nervo radial
Nervo intercostobraquial
Artéria braquial profunda
Nervo cutâneo medial do braço
Músculo latíssimo do dorso
Cabeça lateral do músculo tríceps braquial
Costela
Cabeça longa do músculo tríceps braquial
Músculo redondo maior
Músculo serrátil anterior
Músculo rombóide maior

B

Músculo bíceps braquial
Nervo mediano
Nervo musculocutâneo
Veia cefálica
Artéria e veias braquiais
Músculo braquial
Nervo cutâneo medial do antebraço
Úmero
Veia basílica
Nervo cutâneo medial do braço
Nervo cutâneo posterior do antebraço
Artéria e veias colaterais ulnares superiores
Nervo ulnar
Artéria e veia colaterais radiais
Cabeça medial do músculo tríceps braquial
Cabeça lateral do músculo tríceps braquial
Cabeça longa do músculo tríceps braquial
Nervo radial
Artéria colateral média

C

Nervo cutâneo lateral do antebraço
Músculo bíceps braquial
Artéria e veias braquiais
Veia cefálica
Nervo mediano
Músculo braquial
Nervo radial
Nervo cutâneo medial do antebraço
Veia basílica
Músculo braquiorradial
Nervo ulnar
Músculo extensor radial longo do carpo
Nervo cutâneo posterior do antebraço
Úmero
Músculo tríceps braquial

A
B
C

Secções transversais através do braço

A

Músculo peitoral maior
Cabeça curta do músculo bíceps braquial
Músculo coracobraquial
Úmero
Cabeça lateral do músculo tríceps braquial
Músculo deltóide
Músculo redondo maior
Cabeça longa do músculo tríceps braquial
Músculo peitoral menor
Músculo latíssimo do dorso
Músculo subescapular
Escápula
Músculo serrátil anterior
Músculo redondo menor
Músculo infra-espinal
Escápula

B

Veia cefálica
Músculo deltóide
Cabeça lateral do músculo tríceps braquial
Cabeça longa do músculo tríceps braquial
Músculo bíceps braquial
Músculo braquial
Úmero
Cabeça medial do músculo tríceps braquial

C

Veia cefálica
Músculo bíceps braquial
Músculo braquiorradial
Músculo tríceps braquial
Músculo braquial
Úmero
Artéria braquial
Veia basílica

Secções transversais através do braço.
A. Terço superior (extremidade proximal) do braço. B. Terço médio do braço. C. Terço inferior (extremidade distal) do braço.
Imagem de RM ponderada em T1, no plano transversal (axial)

Nervos supraclaviculares (do plexo cervical) (C3,4)
Nervo cutâneo lateral superior do braço (do nervo axilar) (C5,6)
Nervo cutâneo medial do braço (do fascículo medial do plexo braquial) (C8,T1)
Nervo intercostobraquial (T2)
Nervo cutâneo lateral inferior do braço (do nervo radial) (C5,6)
Nervo cutâneo medial do antebraço (do fascículo medial do plexo braquial) (C8,T1)
Nervo cutâneo lateral do antebraço (do nervo musculocutâneo) (C5,6)

Nervos cutâneos do braço

Nervo supraclavicular (C3,4)
Nervo cutâneo lateral superior do braço (C5,6)
Nervo intercostobraquial (T2)
Nervo cutâneo lateral inferior do braço (C5,6)
Nervo cutâneo medial do braço (C8,T1)
Nervo cutâneo medial do antebraço (C8,T1)
Nervo cutâneo lateral do antebraço (C5,6)

Áreas de inervação cutânea do braço

C3
C4
C5
T2
T3
T4
C6
T2
T5
T6
T1

Dermátomos do braço

Nervos cutâneos do braço

Nervo supraclavicular (do plexo cervical) (C3,4)
Nervo cutâneo lateral superior do braço (do nervo axilar) (C5,6)
Nervo cutâneo posterior do braço (do nervo radial) (C5,6,7,8)
Nervo cutâneo medial do braço (do fascículo medial do plexo braquial) (C8,T1)
Nervo cutâneo lateral inferior do braço (do nervo radial) (C5,6)
Nervo intercostobraquial (T2)
Nervo cutâneo posterior do antebraço (do nervo radial) (C5,6,7,8)
Nervo cutâneo medial do antebraço (do fascículo medial do plexo braquial) (C8,T1)
Nervo cutâneo lateral do antebraço (do nervo musculocutâneo) (C5,6)

Áreas de inervação cutânea do braço

Nervo supraclavicular (C3,4)
Nervo cutâneo lateral superior do braço (C5,6)
Nervo cutâneo posterior do braço (C5,6,7,8)
Nervo cutâneo lateral inferior do braço (C5,6)
Nervo cutâneo medial do braço (C8,T1)
Nervo cutâneo posterior do antebraço (C5,6,7,8)
Nervo cutâneo medial do antebraço (C8,T1)
Nervo cutâneo lateral do antebraço (C5,6)

Dermátomos do braço

C3
C4
T2
T3
T4
T5
T6
C5
T2
T1
C6

Úmero
Crista supra-epicondilar lateral
Fossa coronóidea
Crista supra-epicondilar medial
Epicôndilo lateral
Epicôndilo medial
Articulação umerorradial
Tróclea do úmero
Capítulo do úmero
Processo coronóide
Cabeça do rádio
Articulação umeroulnar
Articulação do cotovelo
Articulação radiulnar proximal
Colo do rádio
Tuberosidade da ulna
Incisura radial
Tuberosidade do rádio
Rádio
Ulna

Vista anterior

Úmero
Fossa do olécrano
Olécrano
Cabeça do rádio
Colo do rádio
Ulna
Rádio

Vista posterior

Olécrano
Articulação radiulnar proximal
Cabeça do rádio, circunferência articular
Incisura troclear
Ligamento anular do rádio
Processo coronóide
Fóvea articular
Incisura radial

Vista superior

Úmero
Capítulo do úmero
Crista supra-epicondilar lateral
Articulação umerorradial
Cabeça do rádio
Rádio
Epicôndilo lateral
Olécrano
Articulação umeroulnar
Incisura radial
Articulação radiulnar proximal
Ulna

Vista lateral

Úmero
Crista supra-epicondilar medial
Processo coronóide
Tuberosidade do rádio
Cabeça do rádio
Rádio
Epicôndilo medial
Tróclea do úmero
Olécrano
Ulna
Articulação umeroulnar

Vista medial

Úmero
Epicôndilo lateral
Capítulo do úmero
Cabeça do rádio
Colo do rádio
Rádio
Epicôndilo medial
Tróclea do úmero
Ulna

Articulação do cotovelo normal.
Radiografia, vista em AP

Tuberosidade do rádio
Capítulo do úmero
Úmero
Processo coronóide
Incisura troclear
Olécrano

Articulação do cotovelo normal.
Radiografia, vista lateral

Capítulo do úmero
Úmero
Músculo braquial
Cabeça do rádio
Colo do rádio

Articulação umerorradial (entre o capítulo do úmero e a fóvea articular da cabeça do rádio na articulação do cotovelo).
Imagem de RM ponderada em T2, no plano sagital

Músculo tríceps braquial
Úmero
Músculo braquial
Olécrano
Ulna
Tróclea do úmero
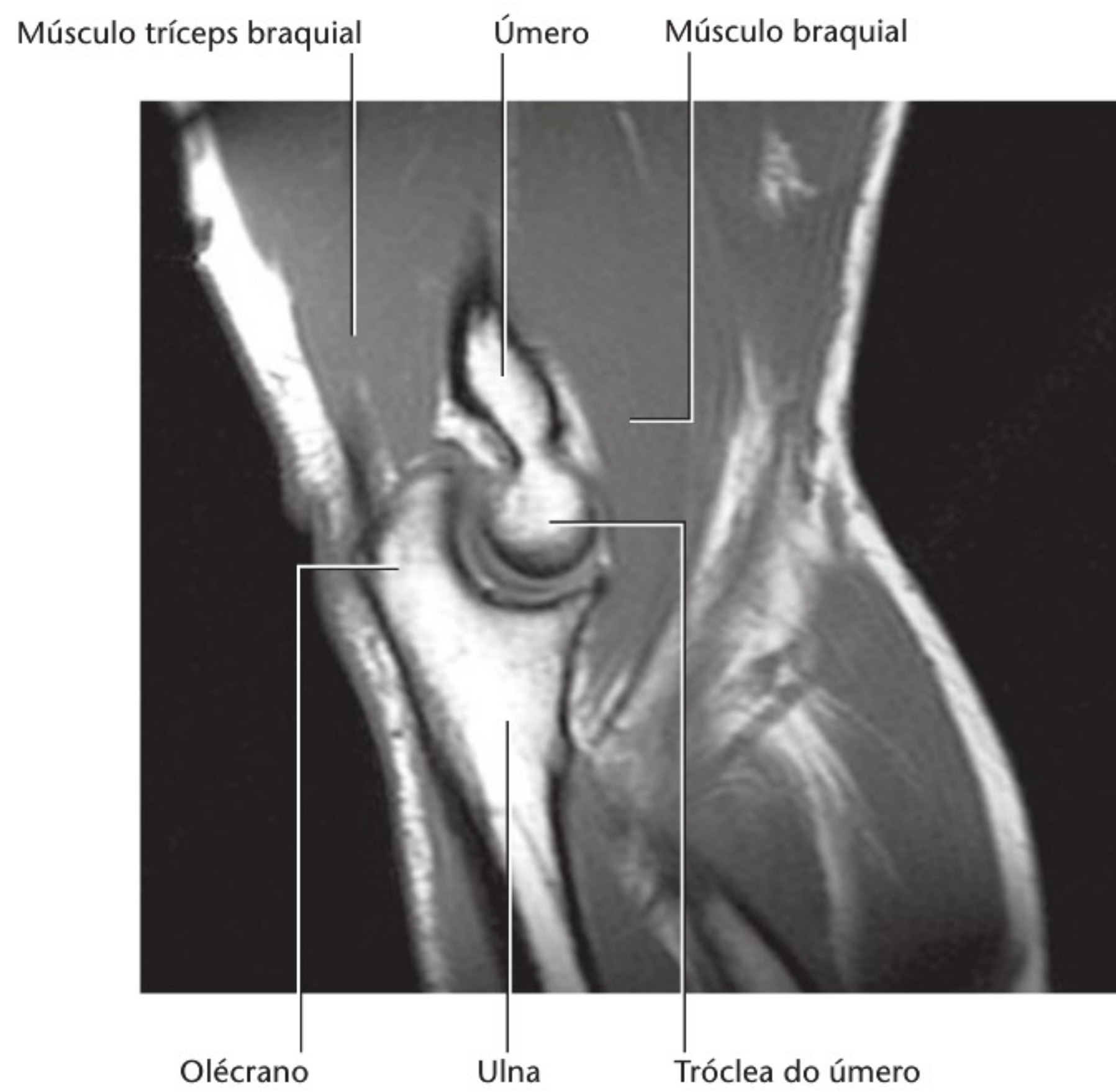
Articulação umeroulnar (entre a tróclea do úmero e a incisura troclear da ulna).
Imagem de RM ponderada em T2, no plano sagital
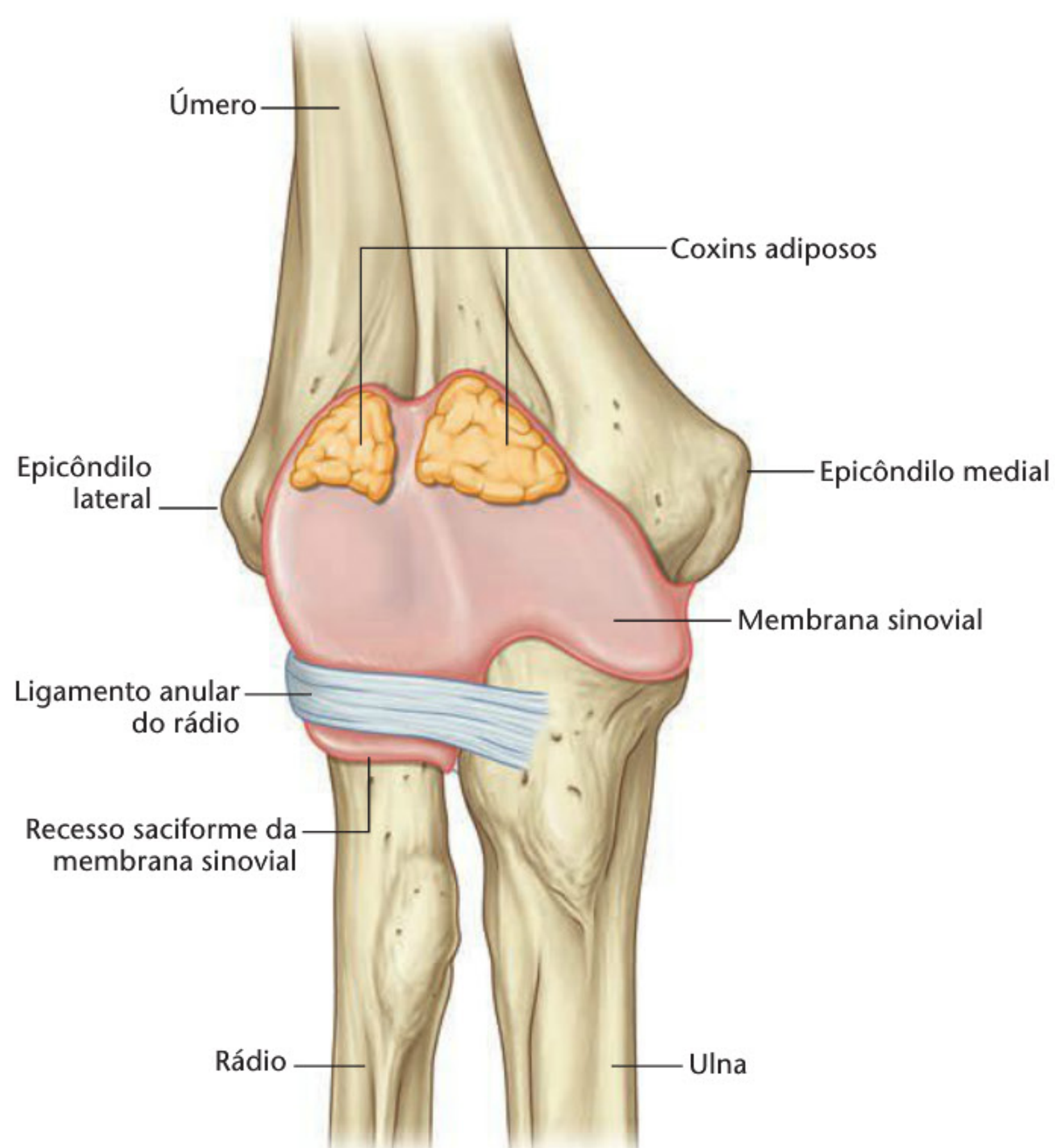
Membrana sinovial da articulação do cotovelo (vista anterior)
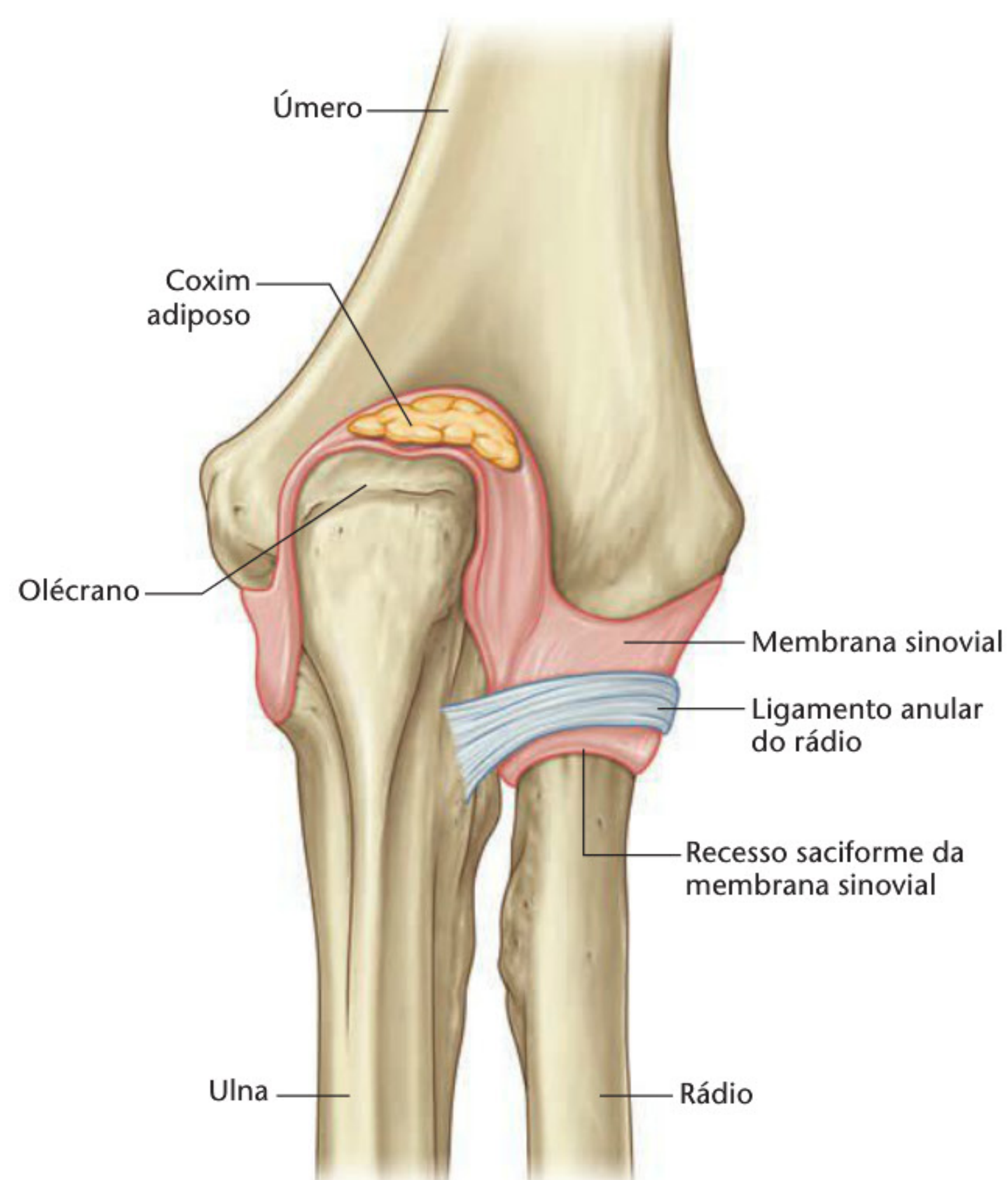
Membrana sinovial da articulação do cotovelo (vista posterior)

Membrana fibrosa da cápsula articular e ligamentos da articulação do cotovelo (vista anterior)

Membrana fibrosa da cápsula articular e ligamentos da articulação do cotovelo (vista posterior)

Membrana fibrosa da cápsula articular
Fossa coronóidea
Coxim adiposo
Membrana sinovial
Cartilagem articular
Ligamento anular do rádio
Fossa do olécrano
Coxim adiposo
Membrana fibrosa da cápsula articular
Olécrano

Secção sagital através da articulação do cotovelo (vista medial)

Ligamento colateral radial
Ligamento anular do rádio
Membrana fibrosa da cápsula articular

Membrana fibrosa da cápsula articular e ligamentos da articulação do cotovelo (vista lateral)

Membrana fibrosa da cápsula articular
Ligamento anular do rádio
Ligamento colateral ulnar, parte anterior
Ligamento colateral ulnar, parte posterior
Ligamento colateral ulnar, parte oblíqua

Membrana fibrosa da cápsula articular e ligamentos da articulação do cotovelo (vista medial)

Úmero
Ligamento colateral radial
Cabeça do rádio
Colo do rádio
Epicôndilo medial
Ligamento colateral ulnar
Ulna

Articulação do cotovelo normal.
Imagem de RM ponderada em T2, no plano frontal (coronal)

Úmero
Epicôndilo lateral
Epicôndilo medial
Fossa cubital
Músculo braquiorradial
Músculo pronador redondo

Margens da fossa cubital

Nervo radial
Nervo musculocutâneo
Nervo ulnar
Nervo cutâneo lateral do antebraço (do nervo musculocutâneo)
Nervo mediano
Artéria braquial
Nervo radial
Músculo pronador redondo (cabeça umeral)
Músculo braquiorradial (puxado para trás)
Músculo pronador redondo (cabeça ulnar)
Ramo profundo do nervo radial
Artéria ulnar
Nervo mediano
Músculo supinador
Artéria radial
Músculo flexor radial do carpo
Ramo superficial do nervo radial
Músculo palmar longo
Músculo flexor ulnar do carpo

Posição do nervo radial

Músculo bíceps braquial
Nervo ulnar
Artéria braquial
Nervo cutâneo lateral do antebraço (do nervo musculocutâneo)
Nervo mediano
Músculo braquial
Músculo pronador redondo
Músculo braquiorradial
Tendão do músculo bíceps braquial
Aponeurose do músculo bíceps braquial
Artéria radial
Músculo flexor radial do carpo
Músculo palmar longo
Músculo flexor ulnar do carpo

Conteúdo da fossa cubital

Nervo musculocutâneo
Nervo mediano
Nervo radial
Nervo ulnar
Veia cefálica
Veia basílica
Nervo cutâneo posterior do antebraço (do nervo radial)
Nervo cutâneo lateral do antebraço
Ramos do nervo cutâneo medial do antebraço
Veia intermédia do cotovelo
Veia intermédia do antebraço
"Veia intermédia basílica"
Veia basílica do antebraço
Veia cefálica do antebraço
Pele e tecido subcutâneo (seccionados)

Estruturas superficiais

Ossos da mão (vista palmar)

Secção frontal (coronal)

Ossos da mão (vista dorsal)

Vista palmar

A

Osso metacarpal III
Osso metacarpal II
Osso metacarpal V
Trapezóide
Hamato
Capitato
Piramidal
Escafóide
Semilunar
Processo estilóide do rádio
Disco articular
Processo estilóide da ulna
Rádio
Ulna

B

Falanges
Falange distal [I]
Falange proximal [I]
Ossos metacarpais
Capitato
Osso metacarpal I
Hamato
Trapezóide
Pisiforme e piramidal
Trapézio
Escafóide
Ossos carpais
Processo estilóide do rádio
Semilunar
Processo estilóide da ulna
Rádio
Ulna

Imagens da articulação radiocarpal, dos ossos carpais e da mão.
A. Imagem de RM ponderada em T1, no plano frontal (coronal)
B. Radiografia, vista em AP

Músculo braquiorradial
Músculo braquial
Músculo extensor radial longo do carpo
Músculo pronador redondo (cabeça umeral)
Tendão extensor comum
Tendão flexor comum
Músculo flexor superficial dos dedos (inserção ulnar da cabeça umeroulnar)
Músculo bíceps braquial
Músculo pronador redondo (cabeça ulnar)
Músculo supinador ("parte profunda")
Músculo braquial
Músculo flexor superficial dos dedos (cabeça radial)
Músculo flexor profundo dos dedos
Músculo pronador redondo
Músculo flexor longo do polegar
Membrana interóssea
Rádio
Ulna
Músculo pronador quadrado
Músculo braquiorradial
Músculo flexor ulnar do carpo
Ligamento piso-hamato
Músculo abdutor longo do polegar
Ligamento pisometacarpal
Músculo extensor ulnar do carpo
Músculo flexor radial do carpo
Músculo flexor longo do polegar
Músculo flexor superficial dos dedos
Músculo flexor profundo dos dedos

Inserções musculares (ponto fixo e ponto móvel) do antebraço (vista anterior)

Músculo braquial
Músculo tríceps braquial
Tendão extensor comum
Tendão flexor comum
Músculo supinador ("parte superficial")
Área subcutânea do olécrano
Músculo ancôneo
Músculo flexor profundo dos dedos
Músculo supinador ("parte profunda")
Músculo flexor ulnar do carpo
Músculo extensor ulnar do carpo
Músculo pronador redondo
Músculo abdutor longo do polegar
Músculo extensor longo do polegar
Ulna
Rádio
Músculo extensor do indicador
Músculo extensor curto dos dedos
Membrana interóssea do antebraço
Músculo braquiorradial
Músculo extensor radial curto do carpo
Músculo extensor radial longo do carpo
Músculo extensor ulnar do carpo
Músculo abdutor longo do polegar
Músculo extensor curto do polegar
Músculo extensor do dedo mínimo
Músculo extensor longo do polegar
Músculo extensor do indicador
Inserções proximais
Inserções distais
Músculo extensor dos dedos

Inserções musculares (ponto fixo e ponto móvel) do antebraço (vista posterior)

Epicôndilo medial
Músculo braquiorradial
Músculo flexor ulnar do carpo
Músculo abdutor longo do polegar
Tendão do músculo flexor radial do carpo
Tendão do músculo palmar longo
Tendão do músculo flexor ulnar do carpo

Anatomia de superfície (vista anterior)

Compartimento anterior do antebraço (compartimento flexor)
Septo intermuscular
Rádio
Membrana interóssea do antebraço
Ulna
Compartimento posterior do antebraço (compartimento extensor)

Músculo bíceps braquial
Músculo tríceps braquial
Septo intermuscular medial do braço
Músculo braquial
Músculo braquial
Epicôndilo medial
Músculo pronador redondo
Tendão do músculo bíceps braquial
Aponeurose do músculo bíceps braquial (bicipital)
Músculo braquiorradial
Músculo flexor radial do carpo
Músculo pronador redondo
Músculo palmar longo
Músculo flexor ulnar do carpo
Músculo flexor superficial dos dedos
Músculo abdutor longo do polegar
Músculo flexor longo do polegar
Tendão do músculo flexor ulnar do carpo
Músculo pronador quadrado
Tendão do músculo palmar longo
Tendão do músculo flexor radial do carpo
Pisiforme
Retináculo dos músculos flexores
Aponeurose palmar (seccionada)
Tendões do músculo flexor superficial dos dedos
Tendão do músculo flexor longo do polegar
Tendões do músculo flexor profundo dos dedos

Músculos da camada superficial do antebraço (vista anterior)

Músculo tríceps braquial
Músculo bíceps braquial
Septo intermuscular medial do braço
Músculo braquial
Músculo braquial
Epicôndilo medial
Epicôndilo lateral
Tendão do músculo bíceps braquial
Músculo pronador redondo
Músculo supinador
Músculo flexor radial do carpo
Músculo palmar longo
Músculo flexor ulnar do carpo
Rádio
Músculo flexor superficial dos dedos
Músculo flexor longo do polegar
Tendão do músculo flexor ulnar do carpo
Músculo pronador quadrado
Tendão do músculo palmar longo
Tendão do músculo flexor radial do carpo
Pisiforme
Retináculo dos músculos flexores
Aponeurose palmar (seccionada)
Tendões do músculo flexor superficial dos dedos
Tendão do músculo flexor longo do polegar
Tendões do músculo flexor profundo dos dedos

Nervo ulnar
Cabeça umeral do músculo pronador redondo (seccionada)
Músculo palmar longo (seccionado)
Artéria braquial
Cabeça umeral do músculo flexor ulnar do carpo
Artéria ulnar
Cabeça ulnar do músculo pronador redondo
Nervo mediano
Cabeça ulnar do músculo flexor ulnar do carpo
Artéria radial
Músculo palmar longo (seccionado)
Músculo pronador redondo (seccionado)
Músculo flexor radial do carpo (seccionado)
Artéria ulnar
Nervo mediano
Membrana interóssea do antebraço
Tendão do músculo flexor ulnar do carpo
Tendão do músculo palmar longo
Tendão do músculo flexor radial do carpo
Pisiforme
Ligamento piso-hamato
Ligamento pisometacarpal
Osso metacarpal V
Aponeurose palmar
Osso metacarpal II

Vista posterior

Músculos da camada profunda do antebraço (vista anterior)

Epicôndilo lateral
Ligamento anular do rádio
Rádio
Corda oblíqua
Membrana interóssea do antebraço
Cabeça radial do músculo flexor superficial dos dedos
Epicôndilo medial
Cabeça umeroulnar do músculo flexor superficial dos dedos
Ulna
Músculo flexor superficial dos dedos
Trapézio
Pisiforme

Escafóide
Pisiforme
Osso metacarpal I
Trapézio

Tendões dos músculos flexor superficial dos dedos e flexor profundo dos dedos, passando através do túnel do carpo no interior da mão.
Imagem de RM ponderada em T1, no plano frontal (coronal)

Músculo flexor superficial dos dedos (seccionado)
Membrana interóssea do antebraço
Músculo flexor profundo dos dedos
Músculo flexor superficial dos dedos (seccionado)
Músculo flexor longo do polegar
Músculo pronador quadrado
Pisiforme
Trapézio
Tendões do músculo flexor superficial dos dedos (seccionados)
Tendões do músculo flexor profundo dos dedos

Músculos da camada média do antebraço (vista anterior)

Músculos da camada profunda do antebraço (vista anterior)

Olécrano
Músculo braquiorradial
Músculo flexor ulnar do carpo
Músculo extensor dos dedos
Músculo abdutor longo do polegar
Músculo extensor ulnar do carpo
Tendões do músculo extensor dos dedos

Anatomia de superfície (vista posterior)

Músculo tríceps braquial
Epicôndilo medial
Músculo braquiorradial
Nervo ulnar
Epicôndilo lateral
Olécrano
Músculo ancôneo
Músculo extensor radial longo do carpo
Músculo flexor ulnar do carpo
Músculo extensor radial curto do carpo
Músculo extensor dos dedos
Músculo extensor ulnar do carpo
Músculo extensor do dedo mínimo
Músculo abdutor longo do polegar
Músculo extensor curto do polegar
Retináculo dos músculos extensores
Tendão do músculo extensor longo do polegar

Músculos da camada superficial do antebraço (vista posterior)

Vista anterior

Septo intermuscular do antebraço
Compartimento anterior do antebraço (compartimento flexor)
Rádio
Membrana interóssea do antebraço
Ulna
Compartimento posterior do antebraço (compartimento extensor)

Músculo braquiorradial
Músculo ancôneo
Músculo extensor radial longo do carpo
Músculo extensor ulnar do carpo
Músculo extensor radial curto do carpo
Músculo extensor do dedo mínimo
Músculo extensor dos dedos

Músculos da camada superficial no compartimento posterior do antebraço

Músculo braquiorradial
Músculo extensor radial longo do carpo (seccionado)
Músculo supinador (''parte superficial'')
Músculo braquiorradial
Músculo flexor profundo dos dedos
Músculo supinador (''parte profunda'')
Membrana interóssea do antebraço
Músculo pronador redondo
Músculo abdutor longo do polegar
Tendão do músculo extensor radial curto do carpo (seccionado)
Músculo extensor longo do polegar
Tendão do músculo extensor radial longo do carpo (seccionado)
Músculo extensor do indicador
Músculo extensor curto do polegar
Tendões do músculo extensor dos dedos (seccionados)

Músculos da camada profunda do antebraço (vista posterior)

Músculo supinador (''parte superficial'')
Músculo supinador (''parte profunda'')

Vista anterior

Músculo supinador (''parte superficial'')
Músculo supinador (''parte profunda'')
Músculo abdutor longo do polegar
Músculo extensor longo do polegar
Músculo extensor do indicador
Músculo extensor curto do polegar
(A inserção proximal da ''parte superficial'' do músculo supinador ocorre no epicôndilo lateral do úmero, no ligamento colateral radial e no ligamento anular do rádio)

Inserções dos músculos da camada profunda no compartimento posterior do antebraço

Epicôndilo medial
Nervo ulnar
Artéria recorrente ulnar posterior
Músculo tríceps braquial
Epicôndilo lateral
Músculo extensor radial longo do carpo
Músculo extensor radial curto do carpo
Músculo flexor ulnar do carpo
Nervo interósseo posterior
Artéria interóssea posterior
Músculo abdutor longo do polegar
Músculo extensor dos dedos (tracionado)
Músculo extensor ulnar do carpo (tracionado)
Músculo extensor do dedo mínimo (tracionado)
Músculo extensor longo do polegar
Músculo abdutor longo do polegar
Músculo extensor curto do polegar
Músculo extensor do indicador
Ramo dorsal do nervo ulnar
Ramo superficial do nervo radial
Retináculo dos músculos extensores

Artérias e nervos do compartimento posterior do antebraço

Vista anterior

Nervo radial
Ramo profundo do nervo radial
Músculo supinador
Ramo superficial do nervo radial
Artéria interóssea comum
Artéria interóssea anterior
Artéria ulnar

Artéria colateral ulnar superior
Artéria braquial
Artéria colateral média
Artéria recorrente radial
Artéria colateral ulnar inferior
Artéria recorrente ulnar posterior
Artéria recorrente interóssea
Artéria interóssea anterior
Ulna
Artéria interóssea posterior
Membrana interóssea do antebraço
Rádio
Artéria ulnar
Ramo carpal dorsal da artéria ulnar
Rede carpal dorsal
Artéria radial
Ramo carpal dorsal da artéria radial

Artérias do antebraço (vista posterior)

Artéria braquial
Artéria colateral média
Artéria colateral ulnar superior
Nervo ulnar
Nervo radial
Septo intermuscular medial do braço
Septo intermuscular lateral do braço
Artéria colateral ulnar inferior
Epicôndilo medial
Músculo supinador (''parte superficial'')
Artéria recorrente ulnar posterior
Nervo interósseo posterior (continuação do ramo profundo do nervo radial)
Músculo supinador (''parte profunda'')
Artéria recorrente interóssea
Artéria interóssea anterior
Artéria interóssea posterior
Músculo abdutor longo do polegar
Músculo extensor longo do polegar
Músculo extensor curto do polegar
Músculo extensor do indicador
Terminação da artéria interóssea anterior
Ramo carpal dorsal da artéria ulnar
Artéria radial
Ramo carpal dorsal da artéria radial

Artérias e nervos do compartimento posterior do antebraço

A

Nervo mediano
Artéria e veias braquiais
Veia intermédia do cotovelo
Tendão do músculo bíceps braquial
Nervo cutâneo lateral do antebraço (do nervo musculocutâneo)
Veia cefálica do antebraço
Músculo braquiorradial
Ramo superficial do nervo radial
Ramo profundo do nervo radial
Músculo extensor radial longo do carpo
Músculo supinador
Músculo extensor radial curto do carpo
Nervo cutâneo posterior do antebraço (do nervo radial)
Rádio
Articulação radiulnar proximal
Músculo ancôneo
Ulna
Músculo flexor ulnar do carpo
Nervo ulnar
Músculo palmar longo
Músculo flexor superficial dos dedos
Músculo flexor radial do carpo
Ramos anterior e posterior do nervo cutâneo medial do antebraço
Veia basílica do antebraço
Músculo pronador redondo
Músculo braquial

B

Veia intermédia do antebraço
Nervo mediano
Músculo palmar longo
Músculo flexor radial do carpo
Músculo flexor superficial dos dedos
Veia cefálica do antebraço
Artéria e nervo ulnares
Músculo braquiorradial
Artéria radial
Músculo flexor ulnar do carpo
Ramo superficial do nervo radial
Veia basílica do antebraço
Músculo extensor radial longo do carpo
Vasos e nervo interósseos anteriores
Músculo extensor radial curto do carpo
Músculo flexor profundo dos dedos
Músculo pronador redondo
Ulna
Rádio
Músculo extensor ulnar do carpo
Músculo abdutor longo do polegar
Músculo extensor do polegar
Músculo extensor dos dedos
Vasos e nervo interósseos posteriores
Membrana interóssea do antebraço
Músculo extensor do dedo mínimo

C

Tendões do músculo flexor superficial dos dedos
Tendão do músculo palmar longo
Nervo mediano
Tendão e músculo flexor superficial dos dedos
Tendão do músculo flexor radial do carpo
Artéria e nervo ulnares
Tendão do músculo flexor longo do polegar
Tendão e músculo flexor ulnar do carpo
Artéria radial
Tendões do músculo flexor profundo dos dedos
Ramo superficial do nervo radial
Músculo pronador quadrado
Veia cefálica do antebraço
Ramo dorsal do nervo ulnar
Tendão do músculo abdutor longo do polegar
Articulação radiulnar distal
Tendão do músculo extensor curto do polegar
Ulna
Tendão do músculo braquiorradial
Tendão do músculo extensor ulnar do carpo
Tendão do músculo extensor radial longo do carpo
Retináculo dos músculos extensores
Tendão do músculo extensor do dedo mínimo
Tendão do músculo extensor radial curto do carpo
Músculo extensor do indicador
Tendão do músculo extensor longo do polegar
Tendão do músculo extensor dos dedos

A
B
C

Secções transversais através do antebraço

A

Músculo braquiorradial
Músculo extensor radial longo do carpo
Músculo extensor radial curto do carpo
Músculo extensor dos dedos
Cabeça do rádio
Músculo extensor do dedo mínimo
Músculo extensor ulnar do carpo
Músculo braquial
Músculo pronador redondo
Músculo flexor radial do carpo
Músculo palmar longo
Músculo flexor ulnar do carpo
Nervo ulnar
Músculo flexor superficial dos dedos
Ulna
Músculo ancôneo

B
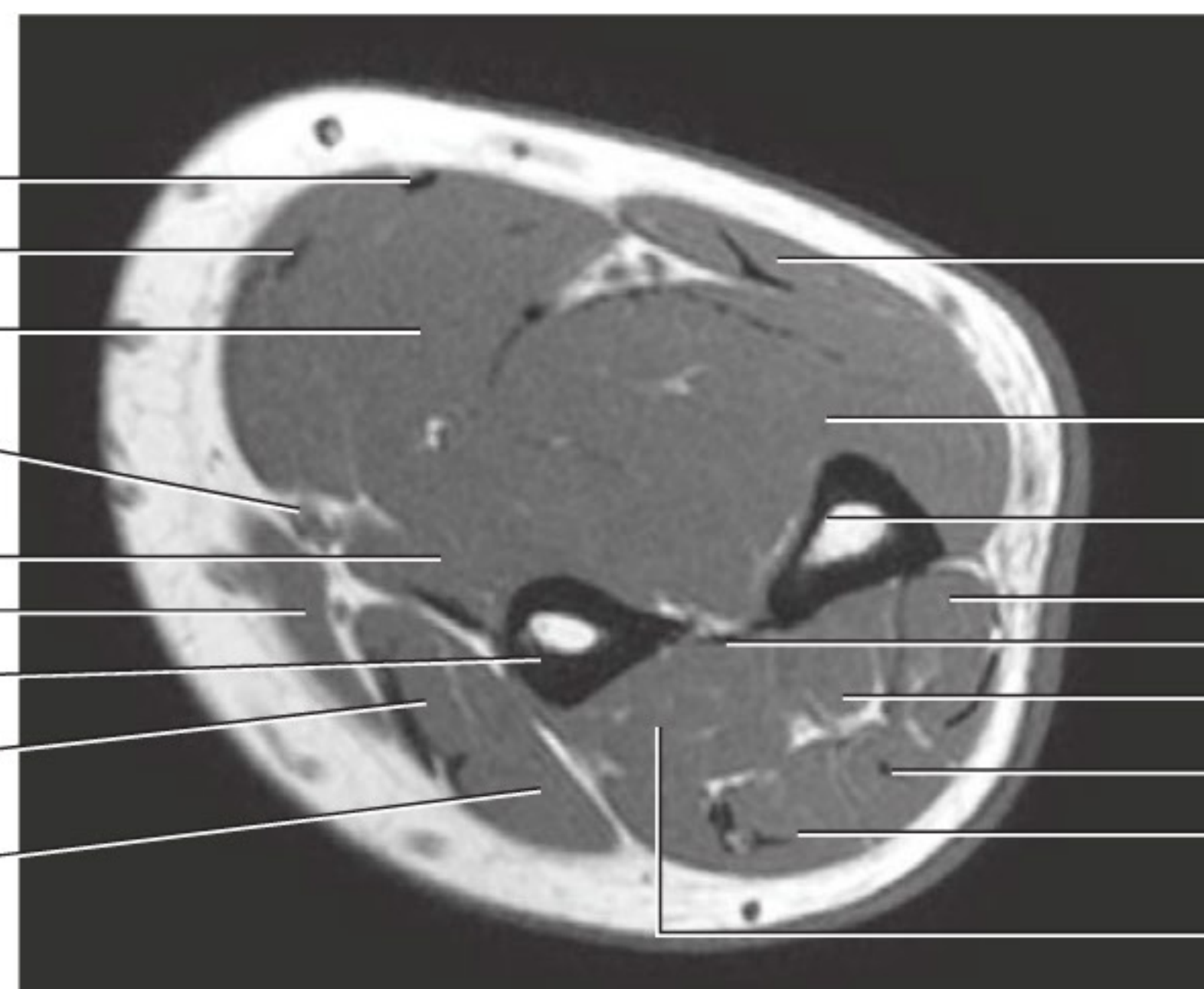
Músculo palmar longo
Músculo flexor radial do carpo
Músculo flexor superficial dos dedos
Vasos radiais
Músculo flexor longo do polegar
Músculo braquiorradial
Rádio
Músculo extensor radial longo do carpo
Músculo extensor radial curto do carpo
Músculo flexor ulnar do carpo
Músculo flexor profundo dos dedos
Ulna
Músculo extensor ulnar do carpo
Membrana interóssea do antebraço
Músculo extensor longo do polegar
Músculo extensor do dedo mínimo
Músculo extensor dos dedos
Músculo abdutor longo do polegar

C
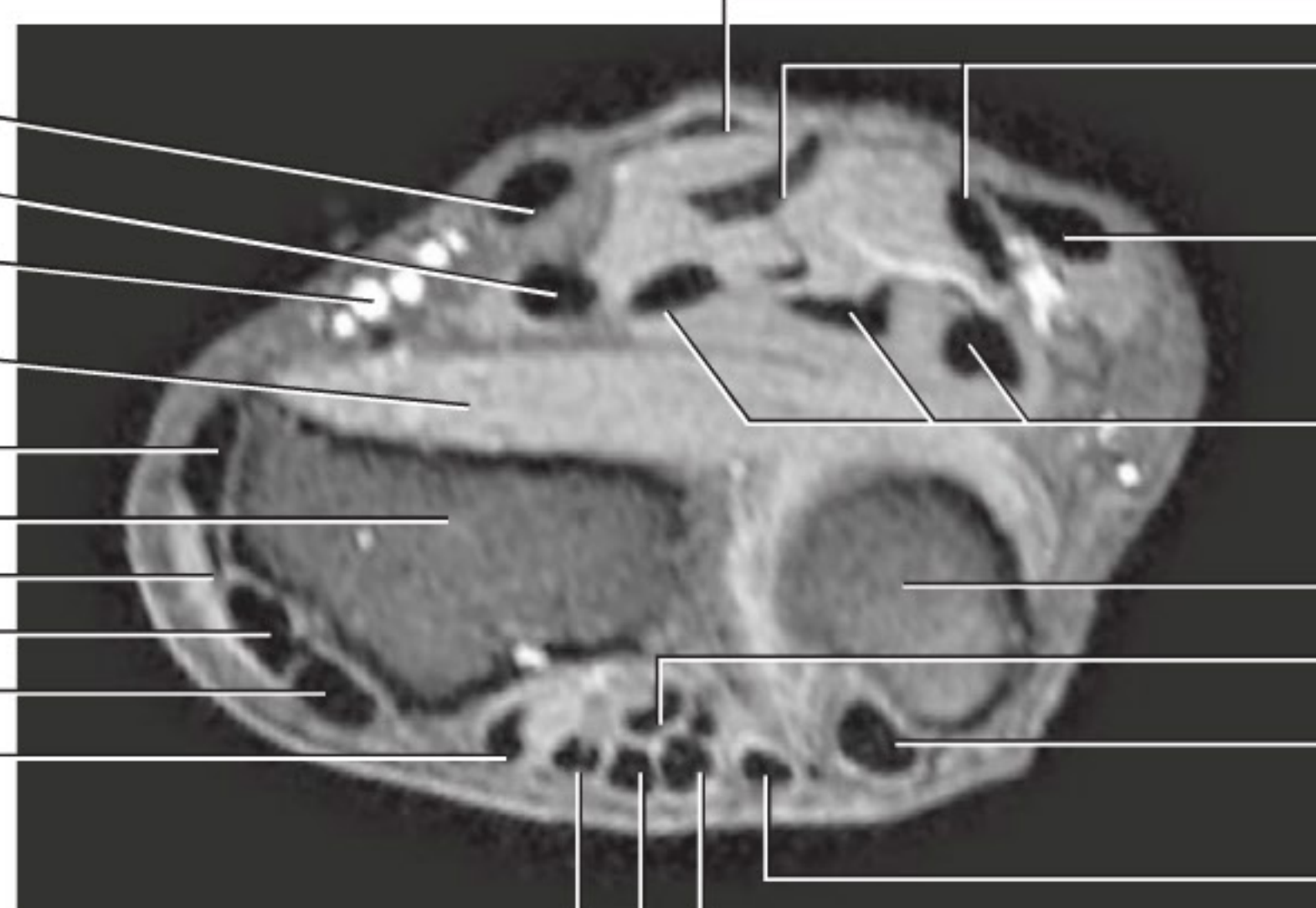
Tendão do músculo flexor radial do carpo
Tendão do músculo flexor longo do polegar
Vasos radiais
Músculo pronador quadrado
Tendão do músculo abdutor longo do polegar
Rádio
Tendão do músculo extensor curto do polegar
Tendão do músculo extensor radial longo do carpo
Tendão do músculo extensor radial curto do carpo
Tendão do músculo extensor longo do polegar
Tendões do músculo extensor dos dedos
Tendão do músculo palmar longo
Tendões do músculo flexor superficial dos dedos
Tendão do músculo flexor ulnar do carpo
Tendões do músculo flexor profundo dos dedos
Ulna
Tendões do músculo extensor do indicador
Tendão do músculo extensor ulnar do carpo
Tendão do músculo extensor do dedo mínimo

Secções transversais através do antebraço.
A. Terço superior (extremidade proximal) do antebraço.
B. Terço médio do antebraço.
C. Terço inferior (extremidade distal) do antebraço.
Imagem de RM ponderada em T1, no plano transversal (axial)

Retináculo dos músculos flexores
Hâmulo do osso hamato
Pisiforme
Tubérculo do trapézio
Tubérculo do escafóide

Retináculo dos músculos flexores
Para o tendão do músculo flexor radial do carpo
Pisiforme
Tubérculo do trapézio
Trapézio
Piramidal
Hamato
Capitato
Trapezóide
Arco carpal

Dedo III (dedo médio)
Dedo IV (dedo anular)
Dedo II (indicador)
Dedo V (dedo mínimo)
Retináculo dos músculos flexores
Nervo mediano
Dedo I (polegar)
Tendão do músculo palmar longo
Artéria ulnar
Nervo ulnar
Músculos da eminência tenar
Tendão do músculo flexor radial do carpo
Tendão do músculo flexor longo do polegar
Tendões do músculo flexor superficial dos dedos
Tendão do músculo abdutor longo do polegar
Tendões do músculo flexor profundo dos dedos
Tendão do músculo extensor curto do polegar
Tendão do músculo extensor ulnar do carpo
Veia cefálica do antebraço
Veia basílica do antebraço
Artéria radial
Tendão do músculo extensor do dedo mínimo
Tendão do músculo extensor longo do polegar
Tendão do músculo extensor radial longo do carpo
Tendões do músculo extensor dos dedos
Tendão do músculo extensor radial curto do carpo
Tendão do músculo extensor do indicador

Túnel do carpo, estruturas e relações

A

Retináculo dos músculos flexores
Tendões do músculo flexor superficial dos dedos
Pisiforme
Piramidal
Nervo mediano
Tendão do músculo flexor longo do polegar
Tendão do músculo flexor radial do carpo
Tubérculo do escafóide
Tendões do músculo flexor profundo dos dedos
Escafóide
Semilunar

B

Retináculo dos músculos flexores
Tendões do músculo flexor superficial dos dedos
Músculos da eminência hipotenar
Hâmulo do osso hamato
Tendões do músculo flexor profundo dos dedos
Hamato
Nervo mediano
Tendão do músculo flexor longo do polegar
Tubérculo do trapézio
Tendão do músculo flexor radial do carpo
Trapézio
Trapezóide
Capitato

C

Retináculo dos músculos flexores
Tendões do músculo flexor superficial dos dedos
Músculos da eminência hipotenar
Hâmulo do osso hamato
Tendões do músculo flexor profundo dos dedos
Hamato
Nervo mediano
Tendão do músculo flexor longo do polegar
Músculos da eminência tenar
Tendão do músculo flexor radial do carpo
Trapézio
Trapezóide
Capitato

Secções transversais através do túnel do carpo.
A. Terço proximal do túnel do carpo.
B. Terço médio do túnel do carpo.
C. Terço distal do túnel do carpo.
Imagem de RM ponderada em T1, no plano transversal (axial)

a. Primeiro músculo interósseo palmar*
b. Primeiro músculo interósseo dorsal
c. Segundo músculo interósseo palmar
d. Segundo músculo interósseo dorsal
e. Terceiro músculo interósseo dorsal
f. Terceiro músculo interósseo palmar
g. Quarto músculo interósseo dorsal
h. Quarto músculo interósseo palmar
(* pág. 413)

Inserções musculares (ponto fixo e ponto móvel) (vista palmar)

Inserções musculares (ponto fixo e ponto móvel) (vista dorsal)

Inserções proximais
Inserções distais

Fascículo longitudinal da aponeurose palmar
Ligamento metacarpal transverso superficial
"Ligamento comissural distal"
Fascículo transverso da aponeurose palmar
Músculo palmar curto
"Ligamento comissural proximal"
Fáscia do antebraço (seccionada)
Tendão do músculo palmar longo

Aponeurose palmar (vista palmar)

"Prega da articulação interfalângica distal"
"Prega da articulação interfalângica proximal"
"Prega da articulação metacarpofalângica"
"Prega transversa distal"
"Prega transversa proximal"
Eminência hipotenar
Eminência tenar
"Prega distal do punho"
Tendão do músculo palmar longo
"Prega proximal do punho"
Tendão do músculo flexor radial do carpo

Anatomia de superfície (vista palmar)*

*N.R.C.: Na realidade, essas pregas e sulcos nas regiões das articulações se evidenciam, principalmente, durante o movimento de flexão.

Bainha sinovial
Ligamento metacarpal transverso profundo
Bainha fibrosa dos dedos da mão
Tendão do músculo flexor profundo dos dedos
Tendão do músculo flexor superficial dos dedos
Ligamento palmar
Parte cruciforme da bainha fibrosa
Primeiro músculo lumbrical
Parte anular da bainha fibrosa
Bainha comum dos tendões dos músculos flexores dos dedos
Bainha do tendão do músculo flexor longo do polegar
Músculo flexor do dedo mínimo
Músculo adutor do polegar (cabeça transversa)
Músculo oponente do dedo mínimo
Músculo adutor do polegar (cabeça oblíqua)
Músculo abdutor do dedo mínimo
Músculo flexor curto do polegar
Retináculo dos músculos flexores
Músculo abdutor curto do polegar
Bainha comum dos tendões dos músculos flexores dos dedos
Tendão do músculo abdutor longo do polegar
Tendão do músculo flexor ulnar do carpo
Tendões do músculo flexor superficial dos dedos
Tendão do músculo flexor radial do carpo
Tendão do músculo flexor profundo dos dedos
Tendão do músculo flexor longo do polegar
Músculo pronador quadrado

Músculos superficiais da mão (vista palmar)

Bainha sinovial
Tendão do músculo flexor superficial dos dedos
A1
A2
C1
A3
C2
A4
C3
A5
Tendão do músculo flexor profundo dos dedos
Ligamento palmar
Ligamento colateral

Bainhas fibrosas e sinoviais dos dedos da mão
Parte anular da bainha fibrosa (A), parte cruciforme da bainha fibrosa (C)

Tendões do músculo flexor profundo dos dedos
Tendões do músculo flexor superficial dos dedos (seccionados)
Ligamento metacarpal transverso profundo
Inserção na expansão extensora ("capuz"), dorsalmente
Ligamento palmar
Terceiro e quarto músculos lumbricais (peniformes)
Tendão do músculo flexor longo do polegar
Hâmulo do osso hamato
Ligamento pisometacarpal
Ligamento piso-hamato
Primeiro e segundo músculos lumbricais (semipeniformes)
Retináculo dos músculos flexores
Tendão do músculo abdutor longo do polegar
Tendão do músculo flexor radial do carpo
Tendão do músculo flexor ulnar do carpo
Tendões do músculo flexor profundo dos dedos

Músculos lumbricais (vista palmar)

Músculos da eminência hipotenar
Tendões do músculo flexor superficial dos dedos
Tendões do músculo flexor profundo dos dedos
Osso metacarpal V
Osso metacarpal IV
Músculos da eminência tenar
Tendão do músculo flexor longo do polegar
Osso metacarpal I
Tendão do músculo extensor longo do polegar
Osso metacarpal II
Osso metacarpal III

Imagem da parte proximal da mão.
Imagem de RM ponderada em T1, no plano transversal (axial)

Eminência tenar

Eminência hipotenar

Tendão do músculo flexor profundo dos dedos (seccionado)

Tendão do músculo flexor superficial dos dedos (seccionado)

Ligamento palmar

Músculos lumbricais (seccionados)

Segundo músculo interósseo dorsal

Segundo músculo interósseo palmar

Primeiro músculo interósseo dorsal

Quarto músculo interósseo palmar

Músculo adutor do polegar (cabeça transversa)

Músculo abdutor do dedo mínimo (seccionado)

Expansão extensora

Quarto músculo interósseo dorsal

Músculo flexor curto do polegar (seccionado)

Músculo abdutor curto do polegar (seccionado)

Músculo flexor do dedo mínimo

Músculo oponente do dedo mínimo

Músculo adutor do polegar (cabeça oblíqua)

Terceiro músculo interósseo palmar

Terceiro músculo interósseo dorsal

Músculo oponente do polegar

Músculo abdutor do dedo mínimo (seccionado)

Músculo flexor curto do polegar (seccionado)

Pisiforme

Músculo abdutor curto do polegar (seccionado)

Retináculo dos músculos flexores (seccionado)

Capitato

Ulna

Rádio

Músculos profundos da mão (vista palmar)

Osso metacarpal III
Terceiro músculo interósseo dorsal
Ligamento metacarpal transverso profundo
Terceiro músculo interósseo palmar
Músculo adutor do polegar (seccionado)
Músculo flexor do dedo mínimo (seccionado)
Músculo abdutor do dedo mínimo (seccionado)
Quarto músculo interósseo palmar
Quarto músculo interósseo dorsal
Músculo oponente do dedo mínimo
Músculo abdutor do dedo mínimo (seccionado)
Músculo flexor do dedo mínimo (seccionado)
Segundo músculo interósseo dorsal
Segundo músculo interósseo palmar
Músculo adutor do polegar (seccionado)
Músculo flexor curto do polegar (seccionado)
Músculo abdutor curto do polegar (seccionado)
Primeiro músculo interósseo palmar*
Primeiro músculo interósseo dorsal
Músculo oponente do polegar (seccionado)
Músculo flexor curto do polegar (seccionado)
Músculo abdutor curto do polegar (seccionado)
Capitato

Músculos profundos da mão (vista palmar)

Abdução
Abdução
Inserção na expansão extensora, dorsalmente
Inserção na base do osso metacarpal
4
3
2
1
Músculos interósseos dorsais (peniformes)

Adução
Adução
Inserção na expansão extensora, dorsalmente
4
3
2
*
1
Músculos interósseos palmares (semipeniformes)

(* Rudimentar: quando está presente, muitas vezes é considerado parte do músculo adutor do polegar ou parte do músculo flexor curto do polegar)

Músculos interósseos dorsais (vista palmar)

Músculos interósseos palmares (vista palmar)

Artérias e nervos digitais palmares próprios

Artéria radial do indicador

Ramos do nervo mediano para o primeiro e segundo músculos lumbricais

Artérias digitais palmares comuns

Músculo adutor do polegar

Artéria metacarpal palmar

Artérias e nervos digitais palmares próprios do polegar

Primeiro músculo interósseo dorsal

Arco palmar superficial

Artéria digital palmar comum

Nervo digital palmar comum

Músculo flexor curto do polegar

Bainha sinovial

Nervos digitais palmares comuns

Ramificação do ramo superficial do nervo ulnar para o músculo palmar curto (seccionado)

Músculo abdutor do dedo mínimo

Músculo abdutor curto do polegar

Retináculo dos músculos flexores

Ramo superficial do nervo ulnar

Ramo recorrente do nervo mediano

Ramos profundos da artéria e nervo ulnares

Ramo palmar do nervo mediano (seccionado)

Ramo superficial da artéria radial

Ramo palmar do nervo ulnar (seccionado)

Tendão do músculo abdutor longo do polegar

Nervo ulnar

Nervo mediano

Tendão do músculo palmar longo

Artéria ulnar

Artéria radial

Tendão do músculo flexor ulnar do carpo

Músculo flexor radial do carpo

Artérias e nervos superficiais da mão (vista palmar)

Artérias e nervos profundos da mão (vista palmar)

Artérias da mão (vista palmar)

Nervos digitais palmares próprios (do nervo mediano)

Ambos os músculos lumbricais mediais são inervados pelo nervo ulnar

Ambos os músculos lumbricais laterais são inervados pelo nervo mediano

Nervos digitais palmares próprios (do nervo ulnar)

Músculos intrínsecos da mão inervados pelo nervo ulnar, exceto os músculos da eminência tenar e os dois lumbricais laterais

Nervos digitais palmares comuns (do nervo mediano)

Nervo digital palmar comum

Músculos da eminência hipotenar inervados pelo nervo ulnar

Músculos da eminência tenar inervados pelo nervo mediano

Ramo recorrente do nervo mediano

Músculo palmar curto (seccionado)

Ramo profundo do nervo ulnar

Ramo superficial do nervo ulnar

Ramo palmar do nervo mediano

Ramo palmar do nervo ulnar

Nervo mediano

Nervo ulnar

Rádio

Ulna

Inervação da mão, nervos mediano e ulnar (vista palmar)

Inervação cutânea do nervo mediano na mão

Inervação cutânea do ramo palmar do nervo mediano

Vista palmar

Inervação cutânea do ramo dorsal do nervo ulnar

Vista dorsal

Inervação cutânea do ramo superficial do nervo ulnar na mão

Inervação cutânea do ramo palmar do nervo ulnar

Vista palmar

Inervação cutânea do nervo mediano na mão

Vista dorsal

Tendões do músculo extensor dos dedos

Eminência hipotenar

Tendão do músculo extensor longo do polegar

Processo estilóide da ulna

Anatomia de superfície (vista dorsal)

Tendões dos músculos extensores no antebraço atravessando a articulação radiocarpal e passando no dorso da mão.
Imagem de RM ponderada em T1, no plano frontal (coronal)

Capitato

Osso metacarpal III

Osso metacarpal IV

Conexões intertendíneas

Expansões extensoras

Músculo adutor do polegar e primeiro músculo interósseo palmar* se inserem na expansão extensora

Músculo abdutor do dedo mínimo

Segundo, terceiro e quarto músculos interósseos dorsais

Primeiro músculo interósseo dorsal

Tendões do músculo extensor dos dedos

Tendão do músculo extensor do indicador

Tendão do músculo abdutor longo do polegar

Tendão do músculo extensor do dedo mínimo

Bainhas sinoviais

Tendão do músculo extensor longo do polegar

Retináculo dos músculos extensores

Tendão do músculo extensor radial longo do carpo

Tendão do músculo extensor radial curto do carpo

Ulna

Rádio

Músculo extensor ulnar do carpo

Músculo extensor curto do polegar

Músculo extensor dos dedos

Estruturas superficiais da mão (vista dorsal)
(* pág. 413)

Inserção do músculo extensor dos dedos na base da falange distal
Inserção do músculo extensor dos dedos na base da falange média
Segundo, terceiro e quarto músculos interósseos dorsais
Primeiro músculo interósseo dorsal*
Tendões do músculo extensor dos dedos
Tendão do músculo extensor do indicador
Primeiro músculo interósseo palmar
Músculo abdutor do dedo mínimo
Tendão do músculo extensor radial longo do carpo
Tendão do músculo extensor radial curto do carpo
Tendão do músculo extensor ulnar do carpo
Músculo extensor longo do polegar
Tendão do músculo extensor do dedo mínimo
Tendão do músculo abdutor longo do polegar
Músculo extensor curto do polegar
Músculo extensor dos dedos

Tendões dos músculos extensores (vista dorsal)
(* pág. 413)

Falange distal
Articulação interfalângica distal
"Aponeurose triangular"
Articulação interfalângica proximal
Faixa (feixe) lateral
Feixe do tendão do músculo lumbrical
Faixa (feixe) central
Feixe do tendão do músculo interósseo
Expansão extensora ("capuz")
Músculo lumbrical
Ligamentos metacarpais transversos profundos
Segundo músculo interósseo dorsal
Terceiro músculo interósseo dorsal
Osso metacarpal III
Osso metacarpal IV
Osso metacarpal II
Tendão do músculo extensor dos dedos

Vista dorsal (dedo III)

Inserção na falange proximal
Expansão extensora
Tendão do músculo extensor dos dedos
Inserção do tendão do músculo extensor dos dedos na base da falange média
Feixe do tendão do músculo interósseo
Segundo músculo interósseo dorsal
Faixa (feixe) lateral
Osso metacarpal III
Inserção do tendão do músculo extensor dos dedos na base da falange distal
Feixe do tendão do músculo lumbrical
Falange distal
Ligamento colateral
Ligamento palmar
Vínculo longo
Ligamento metacarpal transverso profundo
Vínculos curtos
Segundo músculo lumbrical
Tendão do músculo flexor profundo dos dedos
Tendão do músculo flexor superficial dos dedos
Tendão do músculo flexor profundo dos dedos
Inserção na expansão extensora

Vista lateral (dedo III)

Ramos dorsais das artérias digitais palmares próprias

Artérias digitais dorsais

Músculos interósseos dorsais

Artérias da mão (vista dorsal)

Tendões do músculo extensor dos dedos (seccionados)

Artérias metacarpais dorsais

Tendão do músculo extensor radial longo do carpo

"Arco" carpal dorsal

Artéria radial na "tabaqueira" anatômica

Ramo carpal dorsal da artéria ulnar

Tendão do músculo extensor radial curto do carpo

Primeiro músculo interósseo dorsal

Retináculo dos músculos extensores

Músculo extensor longo do polegar

Músculo abdutor longo do polegar

Músculo extensor curto do polegar

"Arco" carpal dorsal

Rede carpal dorsal

Artéria radial

Ramo carpal dorsal da artéria ulnar

Artéria interóssea posterior

Artéria digital dorsal para o dedo vizinho

Articulação metacarpofalângica

Ramos dorsais das artérias digitais palmares próprias

Artéria digital dorsal

Artéria metacarpal dorsal

Artéria digital palmar própria

Artéria metacarpal palmar

Artérias do dedo

Artéria digital palmar própria para o dedo vizinho

Artéria digital palmar comum

Ramos dorsais do nervo digital palmar próprio do nervo mediano
Nervo digital dorsal
Nervo digital dorsal para o dedo vizinho
Nervo digital palmar comum
Articulação metacarpofalângica

Nervos do dedo

Nervos digitais dorsais do ramo superficial do nervo mediano
Ramos dorsais dos nervos digitais palmares próprios do nervo ulnar
Nervos digitais dorsais do ramo superficial do nervo radial
Ramos dorsais dos nervos digitais palmares próprios do nervo mediano
"Tabaqueira" anatômica
Ramo dorsal do nervo mediano
Ramo superficial do nervo radial
Nervo cutâneo posterior do antebraço (ramo do nervo radial)
Nervo cutâneo medial do antebraço
Nervo cutâneo lateral do antebraço (parte final do nervo musculocutâneo)

Nervos da mão (vista dorsal)

Inervação cutânea do ramo superficial do nervo radial

Vista dorsal

Inervação cutânea do ramo superficial do nervo radial

Vista palmar

Inervação cutânea do ramo superficial do nervo mediano

Vista dorsal

Inervação cutânea do ramo dorsal do nervo ulnar

Vista dorsal

Tendão do músculo extensor longo do polegar
"Tabaqueira" anatômica
Tendão do músculo abdutor longo do polegar
Tendão do músculo extensor curto do polegar

Anatomia de superfície

Nervo digital palmar próprio (do nervo mediano)
Artéria radial do indicador
Artérias digitais dorsais
Nervos digitais dorsais do ramo superficial do nervo radial
Músculo oponente do polegar
Músculo abdutor curto do polegar
Osso metacarpal I
Escafóide
Artéria radial
Tendão do músculo extensor curto do polegar
Ramo palmar superficial da artéria radial
Tendão do músculo abdutor longo do polegar
Ramo superficial do nervo radial
Artéria radial
Músculo abdutor longo do polegar
Músculo extensor curto do polegar
Fáscia do antebraço (seccionada)
Artéria digital dorsal
Pele e tecido subcutâneo (seccionados)
Primeiro músculo lumbrical
Nervos digitais dorsais do ramo superficial do nervo radial
Primeiro músculo interósseo dorsal
Tendões do músculo extensor dos dedos
Osso metacarpal II
Artéria metacarpal dorsal
Veia metacarpal dorsal
Tendão do músculo extensor longo do polegar
Tendão do músculo extensor radial curto do carpo
Ramo carpal dorsal da artéria radial
Tendão do músculo extensor radial longo do carpo
Processo estilóide do rádio
Retináculo dos músculos extensores
Músculo extensor radial curto do carpo
Músculo extensor longo do polegar
Nervo cutâneo posterior do antebraço (ramo do nervo radial)
Rede venosa dorsal da mão
Veia cefálica
Ramo superficial do nervo radial
Fáscia do antebraço

"Tabaqueira" anatômica (vista lateral)

Veia cefálica
Veia basílica
Linfonodos cubitais (supratrocleares)
Veia cefálica acessória
"Veia intermédia basílica"
Veia intermédia do cotovelo
Veia intermédia do antebraço
Veia cefálica do antebraço
Veia basílica do antebraço
Veias perfurantes
Vasos linfáticos passando pelo dorso da mão
Veias metacarpais dorsais
Veias digitais palmares

Veias superficiais e vasos linfáticos do antebraço e da mão (vista palmar)

Veia cefálica acessória
Veia cefálica do antebraço
Veias perfurantes
Veia basílica do antebraço
Rede venosa dorsal da mão
Veias metacarpais dorsais
Veias digitais dorsais
Veias digitais dorsais

Veias superficiais do antebraço e da mão (vista dorsal)

Nervos cutâneos do antebraço e da mão

Áreas de inervação cutânea do antebraço e da mão

Dermátomos do antebraço e da mão

C5
T2
T1
C6
C8
C7

Dermátomos do membro superior

Nervo cutâneo lateral superior do braço (C5,6)
Nervo cutâneo posterior do braço (C5,6,7,8)
Nervo cutâneo lateral inferior do braço (C5,6)
Nervo intercostobraquial (T2)
Nervo cutâneo medial do braço (C8,T1)
Nervo cutâneo posterior do antebraço (C5,6,7,8)
Nervo cutâneo medial do antebraço (C8,T1)
Nervo cutâneo lateral do antebraço (C5,6)
Ramo superficial do nervo radial (C6,7,8)
Nervo ulnar (C8,T1)
Nervo mediano (C6,7,8)

Áreas de inervação cutânea do membro superior

Nervo cutâneo posterior do braço (C5,6,7,8)
Nervo intercostobraquial (T2)
Nervo cutâneo lateral inferior do braço (C5,6)
Nervo cutâneo medial do braço (C8,T1)
Nervo cutâneo posterior do antebraço (C5,6,7,8)
Nervo cutâneo medial do antebraço (C8,T1)
Nervo cutâneo lateral do antebraço (C5,6)
Ramo superficial do nervo radial (C6,7,8)
Ramo dorsal do nervo ulnar (C8,T1)
Nervo mediano (C6,7,8)

Nervos cutâneos do membro superior

8

CABEÇA E PESCOÇO

CONTEÚDO

Osso frontal
Násio
Margem supra-orbital
Sutura frontozigomática
Margem infra-orbital
Maxila
Osso zigomático
Mandíbula

Vista anterior

Osso frontal
Ptério
Vértice
Osso parietal
Glabela
Arco zigomático
Ângulo da mandíbula
Protuberância occipital externa
Processo mastóide

Vista lateral

Osso parietal
Osso occipital
Linha nucal superior
Osso temporal
Protuberância occipital externa
Processo mastóide
Linha nucal inferior
Processo espinhoso de CII
Vértebra proeminente (processo espinhoso de CVII)
Processo espinhoso de TI

Vista posterior

Vista anterior do crânio

Seio frontal
Asa menor do esfenóide
Células etmoidais
Seio maxilar
Ângulo da mandíbula

Vista anterior do crânio.
Radiografia, incidência AP

Sutura coronal
Incisura/forame supra-orbital
Fissura orbital superior
Forame infra-orbital
Ângulo da mandíbula
Forame mentual

Vista anterior do crânio.
Vista anterior usando tomografia computadorizada de multidetectores e reconstrução 3D

Sutura coronal
Soalho da fossa anterior do crânio
Seio frontal
Seio maxilar
Palato duro
Ângulo da mandíbula
Fossa hipofisial (na sela turca)
Processo clinóide posterior
Meato acústico externo
Arco posterior do atlas (CI)
Processo espinhoso do áxis (CII)

Vista lateral do crânio.
Radiografia, incidência lateral

Sutura coronal
Arco zigomático
Forame mentual
Sutura escamosa
Sutura lambdóidea
Meato acústico externo
Processo mastóide
Ângulo da mandíbula

Vista lateral do crânio.
Vista lateral usando tomografia computadorizada de multidetectores e reconstrução 3D

Sutura sagital

Forame parietal (inconsistente e variável na posição) – para veia emissária

Osso parietal

Osso parietal

Osso sutural

Osso sutural (inconsistente e variável em número e posição)

Sutura lambdóidea

Escama occipital

Linha nucal superior

Protuberância occipital externa

Sutura occipitomastóidea

Incisura mastóidea

Ínio

Processo mastóide

Linha nucal inferior

Crista occipital externa

Osso parietal

Vista posterior do crânio

Osso temporal

Osso occipital

Maxila

Espinha nasal posterior
Cóano (abertura nasal posterior)
Arco alveolar
Hâmulo pterigóideo
Processo piramidal do osso palatino
Fossa pterigóidea
Asa maior do esfenóide
Abertura do canal pterigóideo
Tubérculo articular
Fossa mandibular
Sulco da tuba auditiva
Processo estilóide
Processo mastóide
Incisura mastóidea
Forame jugular
Canal do nervo hipoglosso
Côndilo occipital
Linha nucal inferior
Linha nucal superior
Protuberância occipital externa

Fossa incisiva
Palato ósseo (processo palatino da maxila)
Palato ósseo (lâmina horizontal do osso palatino)
Forame palatino maior
Forame palatino menor
Vômer
Lâmina medial do processo pterigóide
Corpo do esfenóide
Lâmina lateral do processo pterigóide
Fossa escafóidea
Forame lacerado
Forame oval
Forame espinhoso
Parte basilar do osso occipital
Canal carótico
Tubérculo faríngeo
Forame estilomastóideo
Forame magno
Crista occipital externa

Vista inferior do crânio

Processo palatino da maxila
Lâmina horizontal do osso palatino
Osso zigomático
Vômer
Osso esfenóide
Osso temporal
Osso occipital

Crista frontal
Crista etmoidal
Parte orbital do osso frontal
Lâmina cribriforme
Processo clinóide médio
Processo clinóide anterior
Asa menor do esfenóide
Asa maior do esfenóide
Fossa hipofisial
Dorso da sela
Abertura interna do canal carótico
Impressão trigeminal
Sulco do nervo petroso menor e hiato do canal do nervo petroso menor
Sulco do nervo petroso maior e hiato do canal do nervo petroso maior
Sulco do seio petroso inferior
Sulco do seio sigmóideo
Canal do nervo hipoglosso
Clivo
Forame magno
Protuberância occipital interna
Forame cego
Forames da lâmina cribriforme
Sulco pré-quiasmático
Tubérculo da sela
Canal óptico
Fissura orbital superior
Forame redondo
Processo clinóide posterior
Forame lacerado
Forame espinhoso
Forame oval
Eminência arqueada
Tegme timpânico
Meato acústico interno
Forame jugular
Tubérculo jugular
Sulco do seio transverso
Crista occipital interna

Fossa anterior do crânio
Fossa média do crânio
Fossa posterior do crânio

Osso frontal
Osso etmóide
Osso esfenóide
Osso temporal
Osso parietal
Osso occipital

Base interna do crânio (“soalho”)

Lâmina perpendicular
Crista etmoidal
Asa da crista etmoidal
"Fenda para prega da dura-máter"
"Sulco etmoidal anterior"
Células etmoidais
Lâmina cribriforme
"Sulco etmoidal posterior"

Osso etmóide (vista superior)

Crista etmoidal
Asa da crista etmoidal
Lâmina perpendicular
Concha nasal média

Osso etmóide (vista posterior)

Asa da crista etmoidal
Crista etmoidal
Células etmoidais anteriores
Lâmina orbital
Concha nasal média
Lâmina perpendicular
Processo uncinado

Osso etmóide (vista lateral)

Articulação com o osso lacrimal
Articulação com o osso etmóide
Articulação com a maxila
Articulação com o osso palatino
A
Margem inferior (livre)
Processo lacrimal
Articulação com a maxila
Processo etmoidal
Articulação com o osso palatino
B
Processo maxilar
Margem inferior (livre)

Concha nasal inferior direita
A. Vista medial B. Vista lateral

Articulação com o osso frontal
"Face orbital"
Sulco lacrimal (para o saco lacrimal)
Articulação com o osso etmóide
Crista lacrimal posterior
Articulação com a maxila
"Face nasal"
Hámulo lacrimal
A
B
"Processo descendente" para a concha nasal inferior

Osso lacrimal direito
A. Vista lateral B. Vista medial

Articulação com o osso etmóide
Articulação com o osso esfenóide
Articulação com a cartilagem do septo nasal
Asa do vômer
Articulação com a maxila e com os ossos palatinos

Vômer (vista lateral)

"Face orbital"
Processo orbital
Incisura esfenopalatina
Lâmina perpendicular
Crista conchal
Espinha nasal posterior
Lâmina horizontal

Osso palatino esquerdo (vista anterior)

Articulação com o osso frontal
Sulco lacrimal
Articulação com o osso etmóide
Face orbital
Sulco infra-orbital
Processo frontal
Forame infra-orbital
Processo zigomático (articulação com o osso zigomático)
Forames alveolares
Incisura nasal
Espinha nasal anterior
Eminência alveolar
Túber da maxila

Maxila esquerda (vista lateral)

Processo esfenoidal
Incisura esfenopalatina
Processo orbital
Face maxilar
Sulco palatino maior
Processo piramidal

Osso palatino esquerdo (vista lateral)

Processo esfenoidal
Incisura esfenopalatina
Processo orbital
Crista etmoidal
Processo maxilar
Crista conchal
Lâmina horizontal
Processo piramidal

Osso palatino esquerdo (vista medial)

Articulação com o osso frontal
Hiato maxilar
Sulco lacrimal
Crista etmoidal
Articulação com a lâmina perpendicular do osso palatino
Meato nasal médio
Crista conchal
Sulco palatino maior
Meato nasal inferior
Espinha nasal anterior
Articulação com a lâmina perpendicular do osso palatino
Processo palatino

Maxila esquerda (vista medial)

Processo orbital
"Face orbital"
Parede junto ao seio esfenoidal
Incisura esfenopalatina
Face articular
Processo esfenoidal
Lâmina perpendicular
Crista conchal
Lâmina horizontal
Articulação com a lâmina lateral do processo pterigóide
Articulação com a lâmina medial do processo pterigóide
Processo piramidal

Osso palatino esquerdo (vista posterior)

Músculo reto medial
Músculo prócero
Músculo corrugador do supercílio
Músculo oblíquo superior
Músculo levantador da pálpebra superior
Parte orbital superior
Parte palpebral
Parte profunda (lacrimal)
Parte orbital inferior
Músculo orbicular do olho
Músculo reto superior
Músculo reto lateral
Músculo temporal
Músculo reto inferior
Músculo oblíquo inferior
Músculo levantador do lábio superior e da asa do nariz
Músculo levantador do lábio superior
Músculo zigomático maior
Músculo zigomático menor
Músculo levantador do ângulo da boca
Músculo masseter
Músculo esternocleidomastóideo
Músculo nasal: parte transversa
Músculo estilofaríngeo
Músculo estiloglosso
Músculo nasal: parte alar
Músculo temporal
Músculo masseter
Músculo abaixador do septo nasal
Músculo bucinador
Músculo abaixador do ângulo da boca
Músculo platisma
Músculo mentual
Músculo abaixador do lábio inferior

Vista anterior

Inserções proximais
Inserções distais

Músculo temporal
Músculo pterigóideo lateral
Músculo masseter
Músculo zigomático maior
Músculo auricular posterior
Músculo zigomático menor
Ventre occipital do m. occipitofrontal
Músculo corrugador do supercílio
Músculo orbicular do olho
Músculo prócero
Músculo esplênio da cabeça
Músculo oblíquo inferior
Músculo trapézio
Músculo levantador do lábio superior e da asa do nariz
Músculo semiespinal da cabeça
Músculo levantador do lábio superior
Músculo reto posterior menor da cabeça
Músculo levantador do ângulo da boca
Músculo oblíquo superior da cabeça
Parte transversa do músculo nasal
Músculo longuíssimo da cabeça
Parte alar do músculo nasal
Músculo reto posterior maior da cabeça
Músculo esternocleidomastóideo
Músculo abaixador do septo nasal
Músculo reto anterior da cabeça
Músculo estilofaríngeo
Músculo bucinador
Músculo estilo-hióideo
Músculo estiloglosso
Músculo mentual
Músculo masseter
Músculo abaixador do lábio inferior
Músculo temporal
Músculo abaixador do ângulo da boca
Músculo platisma

Vista lateral

Músculo pterigóideo medial
Músculo pterigóideo lateral
Músculo constritor superior da faringe
Músculo temporal
Músculo constritor superior da faringe
Músculo pterigóideo medial
Músculo genioglosso
Músculo genio-hióideo
Músculo milo-hióideo

Vista medial

Músculo da úvula
Músculo tensor do véu palatino (aponeurose palatina)
Músculo masseter
Músculo constritor superior da faringe
Músculo pterigóideo medial
Músculo pterigóideo lateral
Músculo pterigóideo medial
Músculo longo da cabeça
Músculo tensor do véu palatino
Músculo reto anterior da cabeça
Músculo tensor do tímpano
Músculo estiloglosso
Músculo levantador do véu palatino
Músculo estilo-hióideo
Músculo temporal
Músculo estilofaríngeo
Músculo reto lateral da cabeça
Ventre posterior do músculo digástrico
Músculo longuíssimo da cabeça
Músculo esternocleidomastóideo
Músculo oblíquo superior da cabeça
Músculo esplênio da cabeça
Músculo reto posterior maior da cabeça
Ventre occipital do músculo occipitofrontal
Músculo reto posterior menor da cabeça
Músculo semiespinal da cabeça
Músculo trapézio

Vista inferior

Seio sagital superior
Veia emissária
Lacuna venosa
Sutura sagital
Veia diplóica
Granulações aracnóideas
P Pele
C Tecido conectivo denso
A Camada aponeurótica
CF Tecido conectivo frouxo
P Pericrânio
Artéria meníngea
Crânio (díploe)
Espaço subdural (espaço potencial)
Aracnóide-máter
Espaço subaracnóideo
Pia-máter
Córtex cerebral
Artéria cerebral
Veia cerebral
Foice do cérebro (prega da dura-máter)
Camada endosteal
Camada meníngea
Dura-máter, parte encefálica

Couro cabeludo e meninges, parte encefálica

Camada meníngea (interna) da dura-máter
Camada endosteal (externa) da dura-máter
Forame magno
Aracnóide-máter
Crânio
Periósteo (pericrânio)
Espaço extradural espinal
Dura-máter, parte espinal
Vértebra CI
Periósteo

Continuação da parte encefálica das meninges com a parte espinal das meninges

Espaço subdural (espaço potencial)
Espaço extradural (espaço potencial)
Veia diplóica
Crânio
Lâmina externa
Díploe
Lâmina interna
Dura-máter, parte encefálica
Camada endosteal
Camada meníngea
Espaço subaracnóideo (espaço real)
Aracnóide-máter
Pia-máter
Artéria cerebral
Córtex cerebral

Arranjo das meninges e espaços

Foice do cérebro
Tentório do cerebelo
Foice do cerebelo
Canal do nervo hipoglosso

Reflexões da dura-máter (secção sagital)

Foice do cérebro (seccionada)
Perfurações na dura-máter levando aos forames da lâmina cribriforme
Canal óptico
Hipófise
Posição do forame redondo
Processo clinóide posterior
Posição do forame lacerado
Posição do forame oval
Parte fixada do tentório do cerebelo
Posição do forame espinhoso
Margem livre do tentório do cerebelo
Posição do forame jugular
Forame magno
Posição do canal do nervo hipoglosso
Tentório do cerebelo
Foice do cérebro (seccionada)

Cavidade do crânio (vista superior)

Ramo meníngeo recorrente da artéria oftálmica
Artéria meníngea média
Ramo meníngeo anterior (ramo da artéria etmoidal anterior)
Artéria meníngea média
Artéria maxilar
Artéria meníngea posterior (ramo da artéria faríngea ascendente)
Ramo meníngeo (da artéria faríngea ascendente)
Ramo meníngeo (da artéria occipital)
Ramos meníngeos (da artéria vertebral)
Artéria faríngea ascendente
Artéria occipital
Artéria carótida externa

Suprimento arterial da dura-máter (vista medial)

Ramo meníngeo anterior do nervo etmoidal posterior
Ramo meníngeo do nervo maxilar (V2)
Ramo meníngeo do nervo mandibular (V3)
Ramo recorrente meníngeo do nervo oftálmico (V1)
Tentório do cerebelo
Nervo etmoidal anterior (V1)
Hipófise
Diafragma da sela
Fibras de C2,C3
Fibras de C2,C3 acompanhando NC XII
Fibras de C2 acompanhando NC X
Forame magno

Inervação da dura-máter (vista superior)

Seios da dura-máter (venosos) (vista medial)

Vista superior

Sulco central
Giro pré-central
Giro pós-central
Sulco pré-central
Sulco pós-central
Giro frontal superior
Giro frontal médio
Lobo frontal
Lobo parietal
Lobo temporal
Lobo occipital
Sulco intraparietal
Giro angular
Giro supramarginal
Giro frontal inferior:
Parte opercular
Parte triangular
Parte orbital
Sulco lateral
Giros temporais
Incisura pré-occipital
Cerebelo (metencéfalo)
Sulco temporal superior
Ponte (metencéfalo)
Bulbo (mielencéfalo)

Vista lateral do encéfalo

Sulco central da ínsula
Opérculo parietal
Opérculo frontal
Sulco circular da ínsula
Giros curtos da ínsula
Giros longos da ínsula
Opérculo temporal

Lobo insular exposto pela retração opercular

Hemisférios cerebrais (telencéfalo)
Lobo frontal
Lobo parietal
Lobo occipital

Vista superior

Fissura longitudinal do cérebro
Pólo frontal
Sulcos orbitais
Bulbo olfatório
Trato olfatório
Pólo temporal
Giros orbitais
Únco
Nervo óptico (seccionado)
Hipófise
Giro temporal inferior
Corpo mamilar
Giro parahipocampal
Giro occipitotemporal lateral
Mesencéfalo
Sulco colateral
Sulco calcarino
Istmo do giro do cíngulo
Giro lingual*
Pólo occipital

Vista inferior (tronco encefálico removido)

*N.R.C.: Alguns autores utilizam como sinônimos os termos "giro occipitotemporal medial/giro lingual" e "giro occipitotemporal lateral/giro fusiforme".

Lóbulo paracentral
Corpo caloso (tronco)
Fórnice
Sulco central
Ramo marginal do sulco do cíngulo
Giro frontal superior
Aderência intertalâmica
Giro do cíngulo
Tálamo
Sulco do cíngulo
Pré-cúneo
Sulco parietoccipital
Plexo corióideo
Septo pelúcido
Comissura posterior
Corpo caloso (joelho)
Corpo caloso (esplênio)
Corpo caloso (rostro)
Cúneo
Comissura anterior
Sulco calcarino
Diencéfalo
Lobo frontal
Lobo parietal
Quiasma óptico
Giro occipitotemporal medial (lingual)
Glândula pineal
Colículo superior
Hipófise
Colículo inferior
Cerebelo
Hipotálamo
Lobo occipital
Únco
Véu medular superior
Sulco hipotalâmico
Ponte
Quarto ventrículo
Lobo temporal
Bulbo
Véu medular inferior

Secção sagital do encéfalo (vista medial)

Tronco encefálico

Tálamo
Corpo caloso (tronco)
Corpo caloso (esplênio)
Fórnice
Sulco parietoccipital
Glândula pineal
Corpo caloso (joelho)
. Tentório do cerebelo
Lobo occipital
Hipotálamo
Colículo superior
Quiasma óptico
Colículo inferior
Corpo mamilar
Quarto ventrículo
Tonsila do cerebelo
Ponte
Bulbo
Medula espinal

Vista medial do encéfalo com as principais estruturas indicadas.
Imagem de RM ponderada em T1, no plano sagital

A

Lobo frontal
Núcleo caudado (cabeça)
Ventrículo lateral (corno frontal)
Ramo anterior da cápsula interna
Putame
Joelho da cápsula interna
Globo pálido
Ramo posterior da cápsula interna
Corpo caloso (esplênio)
Tálamo
Ventrículo lateral (átrio)
Lobo occipital

B

Lente
Nervo óptico
Lobo temporal
Quiasma óptico
Artéria cerebral média
Trato óptico
Pedúnculo cerebral
Mesencéfalo
Colículo inferior
Aqueduto do mesencéfalo
Cerebelo
Lobo occipital

Secções transversais através do encéfalo com as principais estruturas indicadas.
A. Secção mostrando estruturas relacionadas à cápsula interna.
B. Secção mostrando estruturas relacionadas ao mesencéfalo.
Imagens de RM ponderadas em T1, no plano transversal (axial)

A

Seio sagital superior
Lobo frontal
Corpo caloso (tronco)
Ventrículo lateral (corno frontal)
Núcleo caudado (cabeça)
Cápsula interna (ramo anterior)
Putame
Artéria cerebral anterior
Artéria cerebral média
Quiasma óptico
Lobo temporal
Artéria carótida interna

B

Seio sagital superior
Corpo caloso
Ventrículo lateral
Núcleo caudado
Cápsula interna
Fórnice
Putame
Sulco lateral
Globo pálido
Lobo insular
Tálamo
Terceiro ventrículo
Hipotálamo
Lobo temporal
Ponte

Secções frontais através do encéfalo com as principais estruturas indicadas.
A. Secção mostrando estruturas relacionadas com o quiasma óptico
B. Secção mostrando estruturas relacionadas ao terceiro ventrículo
Imagem de RM ponderada em T1, no plano frontal (coronal)

Bulbo olfatório
Nervo olfatório [I]
Nervo óptico [II]
Nervo oftálmico [V1]
Nervo oculomotor [III]
Nervo maxilar [V2]
Nervo mandibular [V3]
Gânglio trigeminal
Nervo abducente [VI]
Nervo troclear [IV]
Raiz motora do nervo trigêmeo
"Raiz motora"
Nervo intermédio ("raiz sensitiva")
Nervo facial [VII]
Nervo trigêmeo [V]
Nervo vestibulococlear [VIII]
Nervo acessório [XI]
Nervo glossofaríngeo [IX]
Nervo vago [X]
Medula espinal
Nervo hipoglosso [XII]
Tentório do cerebelo
Tentório do cerebelo (margem seccionada)

Quiasma óptico
Diafragma da sela
Nervo oculomotor [III]
Hipófise
Nervo troclear [IV]
Artéria carótida interna
Nervo abducente [VI]
Seio cavernoso
Nervo oftálmico do nervo trigêmeo [V1]
Dura-máter
Nervo maxilar do nervo trigêmeo [V2]
Seio esfenoidal
Parte nasal da faringe

Bulbo olfatório
Trato olfatório
Nervo óptico [II]
Quiasma óptico
Infundíbulo (haste da glândula hipófise)
Corpo mamilar
Nervo troclear [IV]
Mesencéfalo
Ponte
Nervo facial [VII]
"Raiz motora"
Nervo intermédio ("raiz sensitiva")
Nervo vestibulococlear [VIII]
Nervo hipoglosso [XII]
Oliva
Pirâmide
Decussação das pirâmides
Cerebelo
Nervo oculomotor [III]
Nervo oftálmico [V1]
Nervo maxilar [V2]
Nervo mandibular [V3]
Gânglio trigeminal
Nervo trigêmeo [V], raiz sensitiva
Nervo trigêmeo [V], raiz motora
Nervo abducente [VI]
Nervo glossofaríngeo [IX]
Nervo vago [X]
Raiz craniana (parte vagal) do nervo acessório
Nervo acessório [XI] (raiz espinal)
Nervo C1

Nervos cranianos na base do crânio

Colículos superior e inferior
Glândula pineal
Artéria cerebral posterior
Tálamo
Artéria cerebelar superior
Nervo troclear [IV]
Sulco mediano do quarto ventrículo
Pedúnculos cerebelares
Nervo trigêmeo [V]
"Raiz motora" do nervo facial [VII]
Seio transverso
"Raiz sensitiva" do nervo facial [VII] (nervo intermédio)
Nervo glossofaríngeo [IX]
Nervo vago [X] com a raiz craniana (parte vagal) do nervo acessório
Nervo vestibulococlear [VIII]
Nervo hipoglosso [XII]
Nervo acessório [XI] (raiz espinal)
Artéria cerebelar inferior posterior
Articulação atlantoccipital
Artéria espinal posterior
C1
Ramo anterior
Ramo posterior
Processo transverso do atlas
Artéria vertebral
Gânglio sensitivo do nervo espinal C2
C2
Ramo anterior
Ramo posterior
Dura-máter

Nervos cranianos (vista posterior)

Artéria cerebral anterior
Artéria comunicante anterior
Artéria cerebral média
Artéria comunicante posterior
Artéria cerebral posterior
Artéria basilar
Forame magno
Seio cavernoso
Artéria maxilar
Artéria temporal superficial
Artérias vertebrais
Atlas (CI)
Artéria facial
Artéria occipital
Artéria lingual
Artéria tireóidea superior
Artéria carótida interna
Artéria carótida externa
Seio carótico
Processo transverso de CVI
Artéria vertebral esquerda
Artéria carótida comum esquerda
Artéria subclávia esquerda

Artérias para o encéfalo (vista lateral)

Artéria comunicante anterior
Artéria cerebral anterior
Artéria cerebral média
Artéria oftálmica
Artéria comunicante posterior
Artéria cerebral posterior
Artéria basilar
Artéria carótida interna direita
Artéria carótida interna esquerda
Artéria carótida externa esquerda
Artéria carótida comum direita
Artéria vertebral direita
Artéria vertebral esquerda
Artéria subclávia direita
Artéria subclávia esquerda
Tronco braquiocefálico
Artéria carótida comum esquerda
Arco da aorta

Diagrama mostrando o suprimento arterial para o encéfalo

Artéria comunicante anterior
Artérias centrais ântero-mediais
Artéria cerebral anterior
Artéria cerebral média
Artéria comunicante posterior
Artérias centrais póstero-laterais
Artéria cerebelar superior
Ponte
Artérias da ponte
Artéria basilar
Artéria do labirinto
Artéria cerebelar inferior anterior
Artéria vertebral
Artéria cerebral anterior
Artéria estriada distal medial
Quiasma óptico
Artérias hipofisárias
Artéria cerebral média
Artérias centrais ântero-laterais
Artéria corióidea anterior
Artérias centrais póstero-mediais
Artéria cerebral posterior
Plexo corióideo do ventrículo lateral
Ramos corióideos posteriores laterais
Ventrículo lateral

Círculo arterial do cérebro (de Willis)

Artéria cerebral posterior
Artéria cerebral anterior
Artéria cerebral média
Artéria basilar
Artéria temporal superficial
Artéria maxilar
Artéria vertebral esquerda
Artéria vertebral direita
Artéria carótida interna esquerda
Artéria carótida externa esquerda
Artéria vertebral esquerda
Artéria carótida comum esquerda
Artéria facial
Artéria lingual
Artéria tireóidea superior
Artéria tireóidea superior
Artéria carótida comum esquerda
Artéria tireóidea inferior esquerda
Artéria subclávia direita
Artéria subclávia esquerda
Artéria torácica interna
Artéria carótida comum direita
Artéria carótida comum esquerda

Vista anterior do sistema arterial carótico e vertebral.
Vista anterior usando tomografia computadorizada de multidetectores e reconstrução 3D

Artéria cerebral anterior
Artéria cerebral média
Artéria cerebral posterior
Artéria cerebelar superior
Artéria basilar
Artéria vertebral direita
Artéria vertebral esquerda

Vista posterior do circulo arterial do cérebro.
Vista posterior usando tomografia computadorizada de multidetectores e reconstrução 3D

Lobo frontal
Artéria cerebral anterior
Artéria comunicante anterior
Artéria cerebral média
Artéria frontobasilar lateral
Artéria carótida interna
Artéria comunicante posterior
Lobo insular
Artéria cerebral posterior
Lobo temporal (seccionado)
Artéria cerebelar superior
Artéria cerebral posterior
Artéria cerebelar inferior anterior
Cerebelo
Artéria espinal anterior
Artéria cerebelar inferior posterior
Artéria vertebral
Artéria espinal posterior esquerda

Artérias do encéfalo (vista inferior)

Artéria do sulco central
Artéria do sulco pré-central
Artéria do sulco pós-central
Artéria pré-frontal
Ramo do giro angular
Artéria cerebral média
Ramo temporal posterior
Ramo temporal médio
Ramo temporal anterior

Artéria calosomarginal
Artéria pericalosa
Ramo parietoccipital
Artéria polar frontal
Artéria frontobasilar medial
Artéria cerebral anterior
Ramo calcarino
Ramos temporais
Artéria cerebral posterior

Vista lateral

Suprimento arterial para os hemisférios cerebrais.
Artéria cerebral anterior (rosa), artéria cerebral média (azul), artéria cerebral posterior (verde)

Vista medial

Ramo zigomaticotemporal do nervo zigomático
Nervo supra-orbital
Nervo supratroclear
Nervo lacrimal
Nervo infratroclear
Ramo nasal externo
Nervo infra-orbital
Nervo bucal
Nervo mentual
Nervo oftálmico [V1]
Nervo maxilar [V2]
Nervo mandibular [V3]
Gânglio trigeminal
Nervo trigêmeo [V]
Nervo auriculotemporal
Nervo mandibular [V3]
Ramo zigomaticofacial do nervo zigomático

Vista superior

Nervo trigêmeo [V]: trajeto no crânio

Nervo oftálmico [V1]
Nervo maxilar [V2]
Nervo mandibular [V3]
Ramo zigomaticotemporal
Nervo supra-orbital
Nervo supratroclear
Nervo lacrimal
Nervo infratroclear
Ramo nasal externo
Ramo zigomaticofacial
Nervo infra-orbital
Nervo bucal
Nervo mentual
Nervo auriculotemporal

Distribuição cutânea do nervo trigêmeo [V]

Aponeurose epicrânica
Ventre frontal do músculo occipitofrontal
Ventre frontal do músculo occipitofrontal (seccionado)
Músculo prócero
Músculo corrugador do supercílio
Músculo temporal
Tendão do músculo levantador da pálpebra superior
Músculo orbicular do olho
Parte orbital
Parte palpebral
Ligamento palpebral medial
Septo orbital
Músculo levantador do lábio superior e da asa do nariz (seccionado)
Músculo zigomático menor (seccionado)
Músculo levantador do lábio superior e da asa do nariz
Músculo zigomático maior (seccionado)
Músculo levantador do lábio superior
Músculo levantador do lábio superior
Músculo nasal
Músculo zigomático menor
Músculo levantador do ângulo da boca
Glândula parótida
Músculo zigomático maior
Ducto parotídeo
Músculo masseter
Músculo risório
Músculo bucinador
Músculo orbicular da boca
Músculo platisma
Músculo abaixador do ângulo da boca
Músculo platisma (seccionado)
Músculo abaixador do lábio inferior
Músculo mentual
Músculo abaixador do lábio inferior (seccionado)
Músculo abaixador do ângulo da boca (seccionado)

Vista anterior

Músculo prócero
Músculo nasal (parte transversa)
Músculo nasal (parte alar)
Músculo abaixador do septo nasal

Grupo nasal dos músculos da face

Aponeurose epicrânica
Ventre occipital do músculo occipitofrontal
Músculo esternocleidomastóideo
Músculo trapézio

Vista posterior

Aponeurose epicrânica
Fáscia temporal
Músculo auricular anterior
Músculo auricular superior
Ventre frontal do músculo occipitofrontal
Músculo prócero
Músculo orbicular do olho
Músculo nasal
Músculo levantador do lábio superior e da asa do nariz
Ventre occipital do músculo occipitofrontal
Músculo auricular posterior
Músculo levantador do lábio superior
Músculo zigomático menor
Músculo zigomático maior
Músculo orbicular da boca
Músculo abaixador do lábio inferior
Músculo mentual
Músculo abaixador do ângulo da boca
Músculo risório
Músculo bucinador
Músculo masseter
Músculo platisma
Glândula parótida

Vista lateral

Músculo levantador do lábio superior e da asa do nariz (seccionado)
Músculo levantador do lábio superior (seccionado)
Músculo zigomático menor (seccionado)
Músculo zigomático maior (seccionado)
Músculo nasal
Músculo levantador do ângulo da boca (seccionado)
Músculo orbicular da boca
Ducto parotídeo (seccionado)
Músculo bucinador
Músculo mentual
Rafe pterigomandibular
Músculo constritor superior da faringe

Músculo bucinador

Vascularização, nervo facial [VII] e linfonodos da face

Artéria infra-orbital
Artéria maxilar
Artéria facial transversa
Artéria temporal superficial
Artéria meníngea média
Artéria auricular posterior
Artéria occipital
Artéria carótida externa
Artéria lingual
Artéria alveolar inferior
Artéria facial
Artéria bucal
Ramo mentual

Veias oftálmicas
Seio cavernoso
Veia facial transversa
Veia temporal superficial
Veia infra-orbital
Veia occipital
Veia jugular interna
Veia facial
Veia maxilar
Veia retromandibular
Plexo pterigóideo

Vascularização profunda da região parotídea

Veia e artéria temporais superficiais
Veia e artéria faciais transversas
Ramos temporais
"Ramo temporofacial"
Processo estilóide
Tronco principal do nervo facial [VII]
Nervo auricular posterior
Ramos zigomáticos
Músculo pterigóideo medial
Ramo da mandíbula
Músculo masseter
Ducto parotídeo
Processo mastóide
Ramos bucais
"Ramo cervicofacial"
Ramos marginais da mandíbula
Artéria carótida externa
Veia retromandibular
Ramos cervicais

Glândula parótida e nervo facial [VII]

Mandíbula
Músculo masseter
Glândula parótida
Músculo pterigóideo medial
Processo estilóide
Veia retromandibular
Artéria carótida externa direita
Dente do áxis
Atlas
Artéria carótida interna direita
Veia jugular interna direita

Secção transversal através da glândula parótida mostrando suas relações com as estruturas circundantes
Imagem de TC, no plano transversal (axial)

Comissura medial das pálpebras
Pálpebra superior
Pupila
Comissura lateral das pálpebras
Esclera
Íris
Pálpebra inferior
Lago lacrimal
Osso frontal
Margem da órbita
Asa maior do esfenóide
Osso zigomático
Fissura orbital inferior
Maxila
Forame infra-orbital

Anatomia de superfície

Asa menor do esfenóide
Canal óptico
Fissura orbital superior
Asa maior do esfenóide
Fissura orbital inferior
Osso zigomático
Sulco infra-orbital
Incisura/forame supra-orbital
Osso frontal
Forame etmoidal posterior
Forame etmoidal anterior
Osso etmóide
Osso lacrimal
Osso palatino
Fossa do saco lacrimal
Maxila
Lateral
Medial

Ossos da órbita direita

Tendão do músculo levantador da pálpebra superior
Periósteo
Músculo orbicular do olho
Septo orbital
Músculo tarsal superior (músculo liso)
Fórnice superior da conjuntiva
Tarso superior
Túnica conjuntiva
Glândulas tarsais
Aberturas das glândulas tarsais
Cílios
Glândulas tarsais
Saco da conjuntiva
Tarso inferior
Músculo orbicular do olho
Ligamento suspensor do bulbo
Periórbita
Tendão do músculo oblíquo superior
Músculo levantador da pálpebra superior
Músculo reto superior
Nervo óptico
Bainha externa do nervo óptico
Músculo reto inferior
Músculo oblíquo inferior

Secção sagital através da órbita e do bulbo do olho

Ligamento suspensor do bulbo
Córnea
Lente
Íris
Ligamento suspensor do bulbo
Periósteo
Saco lacrimal
"Ligamento de contenção medial do olho"
"Ligamento de contenção lateral do olho"
Retina
Corióide
Esclera
Bainha do bulbo
Periórbita
Músculo reto medial
Músculo lateral
Nervo óptico

Secção transversal através da órbita e do bulbo do olho

Artéria, veia e nervo infratrocleares
Artéria, veia e nervo supratrocleares
Artéria, veia e nervo supra-orbitais
Tendão do músculo levantador da pálpebra superior
Tarso superior
Nervo lacrimal
Artéria lacrimal
Ligamento palpebral lateral
Artéria e veia temporais superficiais
Septo orbital
Tarso inferior
Artéria facial transversa
Artéria e nervo infra-orbitais
Artéria e veia angulares

Vascularização e nervos das pálpebras

Ligamento palpebral medial
Saco lacrimal
Dúctulos excretores da glândula lacrimal
Parte orbital da glândula lacrimal
Parte palpebral da glândula lacrimal
Canalículos lacrimais
Ducto lacrimonasal
Concha nasal média
Abertura do ducto lacrimonasal
Meato nasal inferior
Concha nasal inferior (seccionada)
Cavidade nasal

Aparelho lacrimal

Periósteo
Medial
Crista lacrimal anterior
Ligamento palpebral medial
Saco lacrimal
Lateral
Medial
Lateral
Parte profunda (lacrimal) da parte palpebral do músculo orbicular do olho
Septo orbital
Crista lacrimal posterior

Saco lacrimal (secção transversal)

Carúncula lacrimal
Prega semilunar da conjuntiva
Rima das pálpebras
Papila lacrimal
Ponto lacrimal

Papila lacrimal e ponto lacrimal do olho esquerdo

Nervo e vasos lacrimais
Parte orbital da glândula lacrimal
Septo orbital
Tendão do músculo levantador da pálpebra superior
Parte palpebral da glândula lacrimal
Ductúlos excretores da glândula lacrimal

Glândula lacrimal e músculo levantador da pálpebra superior (secção sagital paramediana)

Nervo supra-orbital
Glândula lacrimal
Nervo lacrimal
Ramo comunicante com o nervo zigomático
Ramo zigomaticotemporal do nervo zigomático
Nervo oftálmico [V1]
Nervo maxilar [V2]
Nervo trigêmeo [V]
Nervo mandibular [V3]
Nervo facial [VII]
Nervo zigomático
Gânglio pterigopalatino
Nervo do canal pterigóideo (vidiano)
Nervo petroso maior
Plexo carótico interno (simpático)
Artéria carótida interna
Nervo petroso profundo
Fibras pré-ganglionares parassimpáticas
Fibras pós-ganglionares parassimpáticas
Fibras pós-ganglionares simpáticas

Inervação motora visceral da glândula lacrimal

Músculo reto medial
Glândula lacrimal
Bulbo do olho
Músculo reto inferior
Glândula lacrimal
Bulbo do olho
Cavidade oral
Língua

Secção frontal (coronal) através da órbita mostrando a glândula lacrimal e suas relações com as estruturas circundantes.
Imagem de RM ponderada em T1, no plano frontal (coronal)

Tróclea
Fossa do saco lacrimal
Músculo oblíquo superior
Músculo oblíquo superior (seccionado)
Músculo levantador da pálpebra superior (seccionado)
Músculo reto medial
Músculo reto superior (seccionado)
Músculo levantador da pálpebra superior
Glândula lacrimal
Músculo reto medial
Bulbo do olho
Músculo reto superior
Músculo reto inferior
Músculo reto lateral
Osso frontal
Músculo reto lateral
Asa menor do esfenóide
Músculo oblíquo superior (seccionado)
Anel tendíneo comum
Músculo reto superior (seccionado)
Nervo óptico
Músculo levantador da pálpebra superior (seccionado)
Asa maior do esfenóide
Anel tendíneo comum

Vista superior

Músculo reto superior
Músculo levantador da pálpebra superior
Músculo oblíquo superior
Músculo reto medial
Músculo reto lateral
Músculo oblíquo inferior
Músculo reto inferior
Fissura orbital inferior
Anel tendíneo comum
Fissura orbital superior

Vista lateral

Tendão do músculo oblíquo superior
Músculo levantador da pálpebra superior
Tróclea
Músculo reto superior
Músculo reto medial
Tarso superior
Músculo reto lateral
Túnica conjuntiva (recobrindo a esclera)
Músculo oblíquo inferior
Ligamento palpebral medial
Músculo reto inferior
Tarso inferior

Vista anterior

Músculo levantador da pálpebra superior
Canal óptico
Músculo reto superior
Fissura orbital superior
Músculo oblíquo superior
Músculo reto lateral
Músculo reto medial
Anel tendíneo comum
Osso etmóide
Músculo reto inferior
Osso palatino
Fissura orbital inferior
Osso lacrimal

Inserções (ponto fixo) dos músculos extrínsecos do bulbo do olho

Nervo supratroclear
Músculo oblíquo superior
Nervo infratroclear
Nervo etmoidal anterior
Nervo etmoidal posterior
Nervo supra-orbital
Músculo levantador da pálpebra superior
Músculo reto superior
Glândula lacrimal
Nervos ciliares longos
Glândula lacrimal
Nervos ciliares curtos
Músculo reto medial
Nervo lacrimal (de [V1])
Gânglio ciliar
Músculo reto lateral
Nervo abducente [VI]
Nervo frontal (de [V1])
Ramo inferior do nervo oculomotor [III]
Nervo abducente [VI]
Nervo nasociliar (de [V1])
Nervo troclear [IV]
Nervo oftálmico [V1]
Ramo superior do nervo oculomotor [III] (seccionado)
III
IV
VI
V

Vista superior

Nervo lacrimal (de [V1])
Nervos ciliares longos
Nervo nasociliar (de [V1])
Nervo troclear [IV]
Músculo reto superior
Nervo frontal (de [V1])
Músculo levantador da pálpebra superior
Músculo oblíquo superior
Músculo reto medial
Músculo reto lateral
Gânglio ciliar
Músculo oblíquo inferior
Músculo reto inferior
Ramo inferior do nervo oculomotor [III]

Vista lateral

Nervo troclear [IV]
Nervo frontal (ramo do nervo oftálmico [V1])
Nervo lacrimal (ramo do nervo oftálmico [V1])
Nervo óptico [II]
Ramo meníngeo recorrente da artéria oftálmica
Artéria oftálmica
Veia oftálmica superior
Ramo superior do nervo oculomotor [III]
Nervo nasociliar (ramo do nervo oftálmico [V1])
Nervo abducente [VI]
Anel tendíneo comum
Ramo inferior do nervo oculomotor [III]
Veia oftálmica inferior

Vista anterior

Elevação
Músculo oblíquo inferior
Músculo reto superior
Abdução
Músculo reto lateral
Músculo reto medial
Adução
Músculo oblíquo superior
Músculo reto inferior
Abaixamento

Ações isoladas dos músculos individuais

Olho direito
Lateral *Medial*

Músculo reto superior
Músculo reto inferior
Músculo reto lateral
Músculo reto medial
Músculo oblíquo inferior
Músculo oblíquo superior

Olho esquerdo
Medial *Lateral*

Músculo oblíquo inferior
Músculo oblíquo superior
Músculo reto medial
Músculo reto lateral
Músculo reto superior
Músculo reto inferior

Movimentos dos olhos quando se testa um músculo específico (teste clínico).

Para testar algum músculo, é solicitado ao paciente que mova primeiro os olhos em uma direção (seta pequena) onde o músculo indicado pode ser testado melhor. A seta grande indica a direção que o paciente é então solicitado a mover os olhos para testar o referido músculo.

Lente (cristalino)
Cápsula da lente
Córnea
Músculo esfincter da pupila
Câmara anterior
Músculo dilatador da pupila
Íris
Seio venoso da esclera
Câmara posterior
Corpo ciliar
Processo ciliar
Músculo ciliar
Ângulo iridocorneal
Túnica conjuntiva
Fibras zonulares (da zônula ciliar)
Tendão do músculo reto medial
Ora serrata
Artéria ciliar anterior
Canal hialóideo
Retina
Disco do nervo óptico
Corióide
Esclera
Espaço episcleral
Bainha do bulbo do olho
Câmara postrema (vítrea)
Artéria ciliar posterior longa
Fóvea central
Artérias ciliares posteriores curtas
Artéria e veia centrais da retina
Nervo óptico

Bulbo do olho (secção transversal)

Arteríola e vênula nasais superiores da retina
Arteríola e vênula temporais superiores da retina
Arteríolas e vênulas maculares inferiores e superiores
Artéria central da retina
Nasal
Disco do nervo óptico
Veia central da retina
Temporal
Mácula lútea com fóvea central
Arteríola e vênula nasais inferiores da retina
Arteríola e vênula temporais inferiores da retina

Vista oftalmoscópica da retina esquerda mostrando o disco do nervo óptico, a mácula lútea e a vascularização da retina.

Nervos ciliares curtos
Nervos ciliares longos
Nervo oculomotor [III]
Nervo nasociliar
Nervo oftálmico [V1]
Nervo maxilar [V2]
Nervo trigêmeo [V]
Raiz sensitiva (nasociliar) do gânglio ciliar
Gânglio ciliar
Raiz parassimpática (oculomotora) do gânglio ciliar
Nervo mandibular [V3]
Plexo carótico interno (simpático)
Artéria carótida interna
Fibras pré-ganglionares parassimpáticas
Fibras pós-ganglionares parassimpáticas
Fibras pós-ganglionares simpáticas

Inervação motora visceral do bulbo do olho (íris e corpo ciliar)

A

Músculo oblíquo superior
Músculo reto superior
Nervo óptico
Músculo reto lateral
Músculo reto inferior
Músculo reto medial
Células etmoidais

Músculo oblíquo superior
Músculo reto superior
Nervo óptico
Músculo reto lateral
Músculo reto medial
Músculo reto inferior
Seio maxilar
Cavidade nasal

B

Músculo oblíquo superior
Músculo reto superior
Nervo óptico
Músculo reto lateral
Músculo reto inferior
Músculo reto medial
Células etmoidais

Músculo oblíquo superior
Músculo reto superior
Nervo óptico
Músculo reto lateral
Músculo reto medial
Músculo reto inferior
Seio maxilar
Cavidade nasal

A até D – Secções frontais (coronais) que passam através da órbita, de posterior para anterior, mostrando os músculos extrínsecos do bulbo do olho e suas relações entre si e com as outras estruturas.
Imagens de RM ponderadas em T1, no plano frontal (coronal)

Meato acústico externo
Ramos da antélice
Trago
Hélice
Antélice
Concha da orelha
Antítrago
Lóbulo
Incisura intertrágica

Orelha externa

Nervo occipital menor (C2)
Nervo auriculotemporal, ramo do nervo mandibular [V3]
Nervo facial [VII]
Nervo vago [X]
Nervo auricular magno (C2,C3)
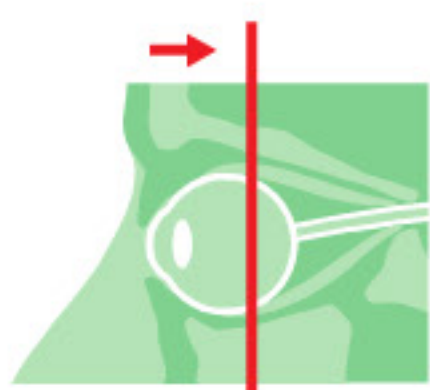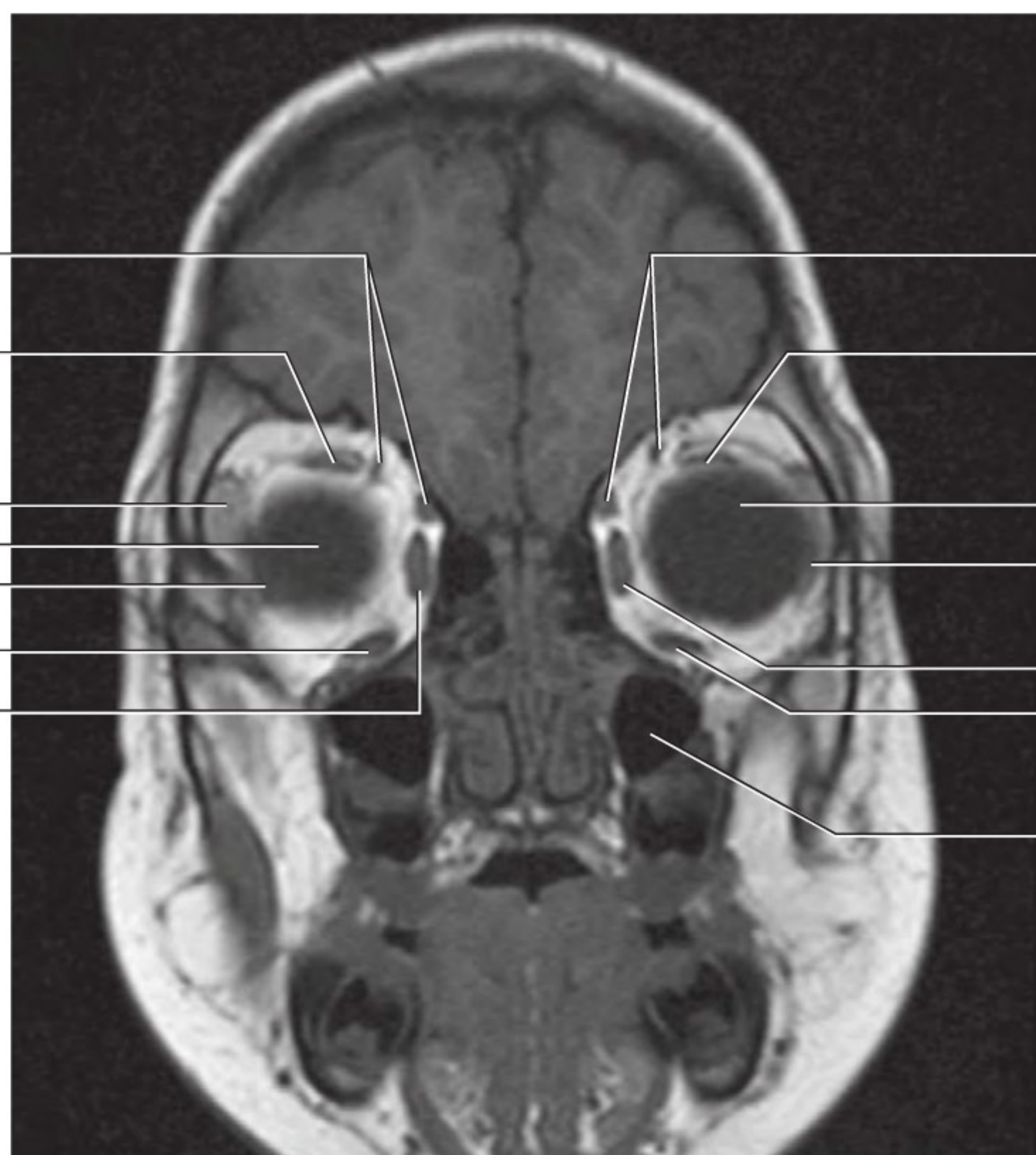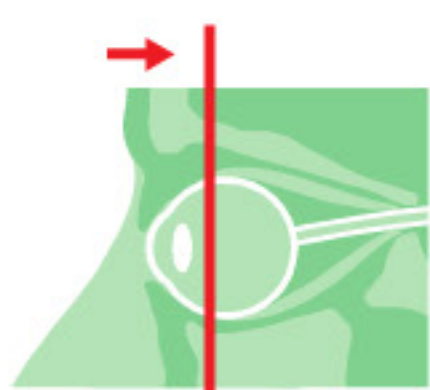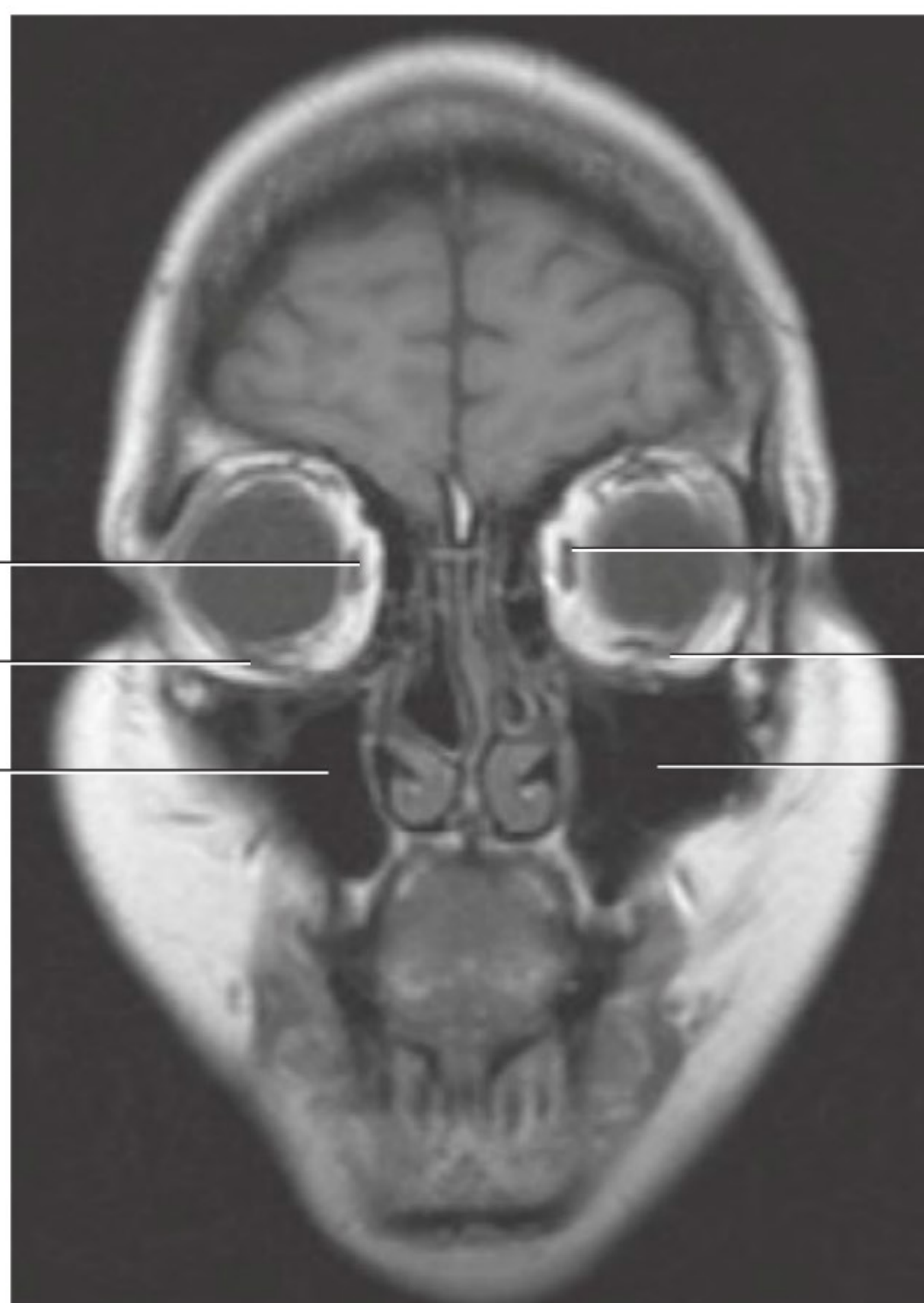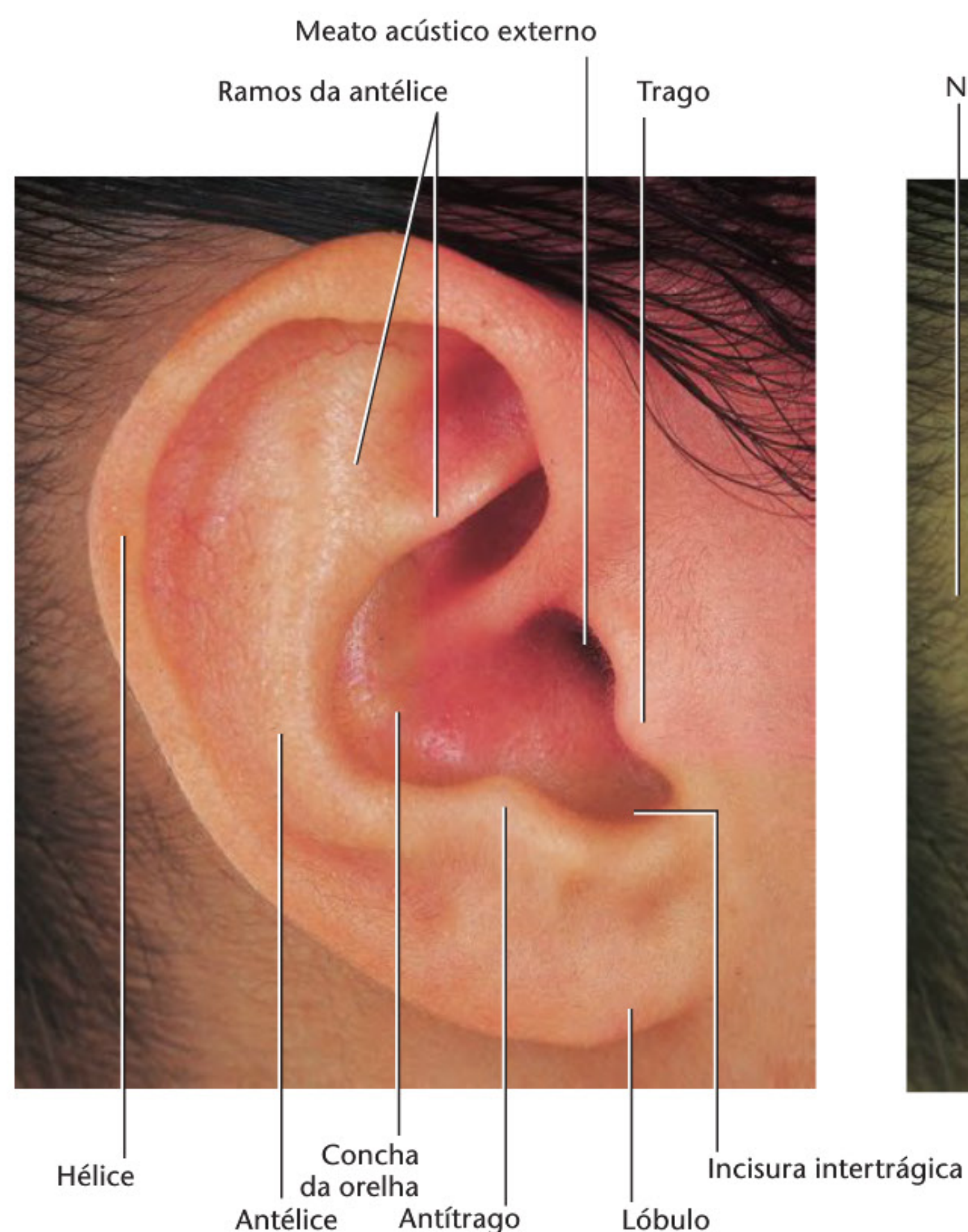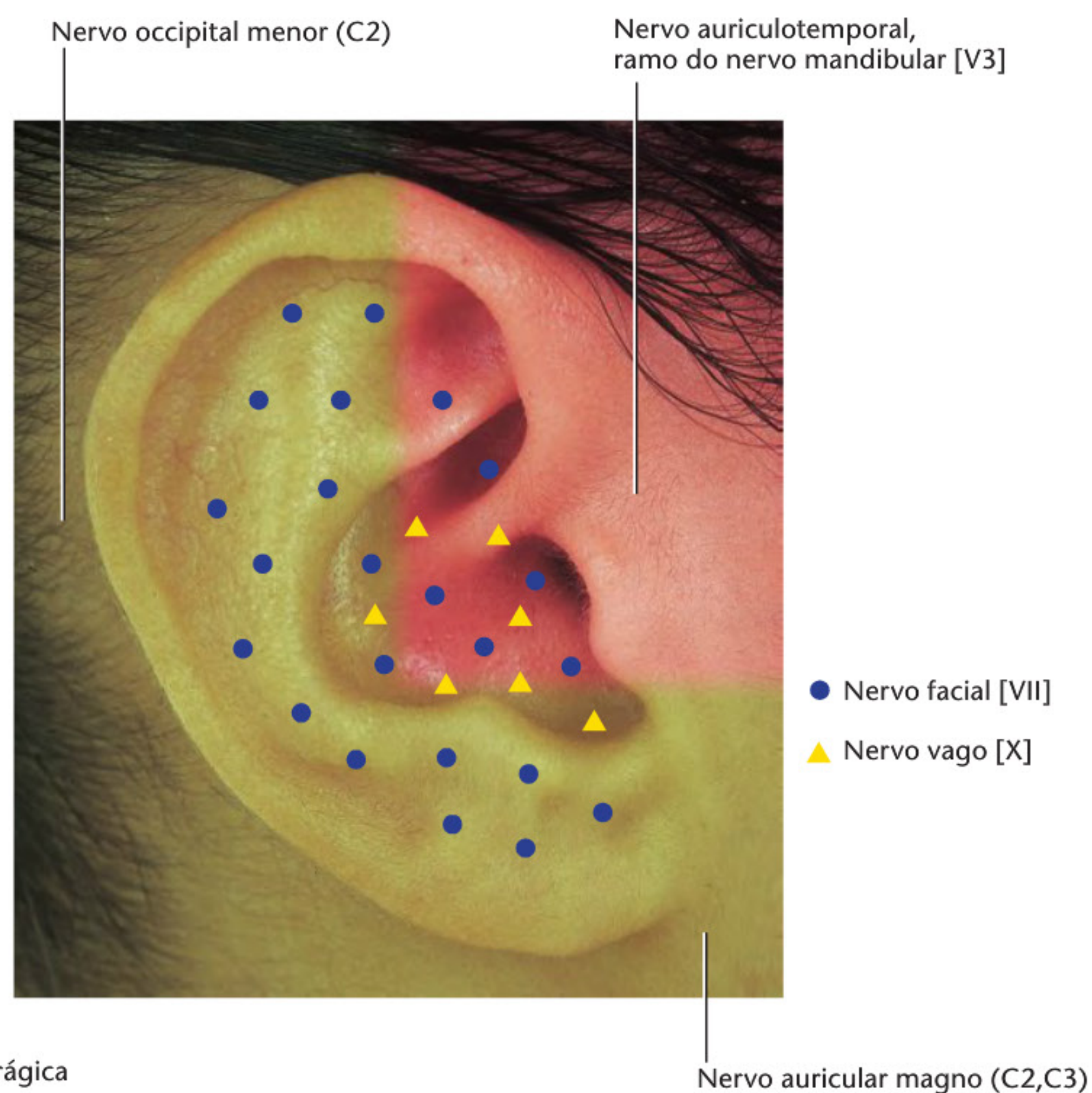
Inervação sensitiva da orelha

Nervo petroso maior [VII]
Gânglio geniculado (no joelho do nervo facial)
Nervo vestibular
Nervo intermédio (raiz sensitiva do VII)
Nervo facial [VII]
Nervo vestibulococlear [VIII]
Nervo coclear
Forame oval
Sulco e hiato do canal do nervo petroso maior
Sulco e hiato do canal do nervo petroso menor
Cóclea
Canal semicircular anterior
Canal semicircular lateral
Canal semicircular posterior
Abertura externa do canalículo do vestíbulo
Meato acústico interno

Projeção superior (por transparência) da orelha interna no osso temporal

Orelha externa
Recesso epitimpânico
Canal semicircular lateral
Canal semicircular anterior
Canal semicircular posterior
Janela do vestíbulo (oval)
Nervo facial [VII]
Orelha interna
Estribo
Bigorna
Martelo
Nervo vestibular
Nervo coclear
Nervo facial [VII]
Nervo intermédio (raiz sensitiva do VII)
Nervo vestibulococlear [VIII]
Meato acústico interno
Tuba auditiva
Meato acústico externo
Cartilagem da orelha
Membrana timpânica
Veia jugular interna
Orelha média
Janela da cóclea (redonda)
Parte nasal da faringe

Parte flácida
Prega malear posterior
Processo lateral do martelo
Prega malear anterior
Cabo (manúbrio) do martelo
Umbigo da membrana timpânica
"Cone de luz"

Membrana timpânica direita

Ligamento lateral do martelo
Processo lateral do martelo
Ramo longo da bigorna
Corda do tímpano
Estribo
Eminência piramidal
Tendão do músculo tensor do tímpano
Tendão do músculo estapédio
Cabo do martelo
Janela da cóclea
Margem seccionada da membrana timpânica
Promontório

Vista lateral da cavidade timpânica direita (membrana timpânica removida)

Parede medial da orelha média direita

Martelo direito (vista lateral)

Bigorna direita (vista lateral)

Ossículos da audição direitos articulados (vista medial)

Estribo direito (vista súpero-lateral)
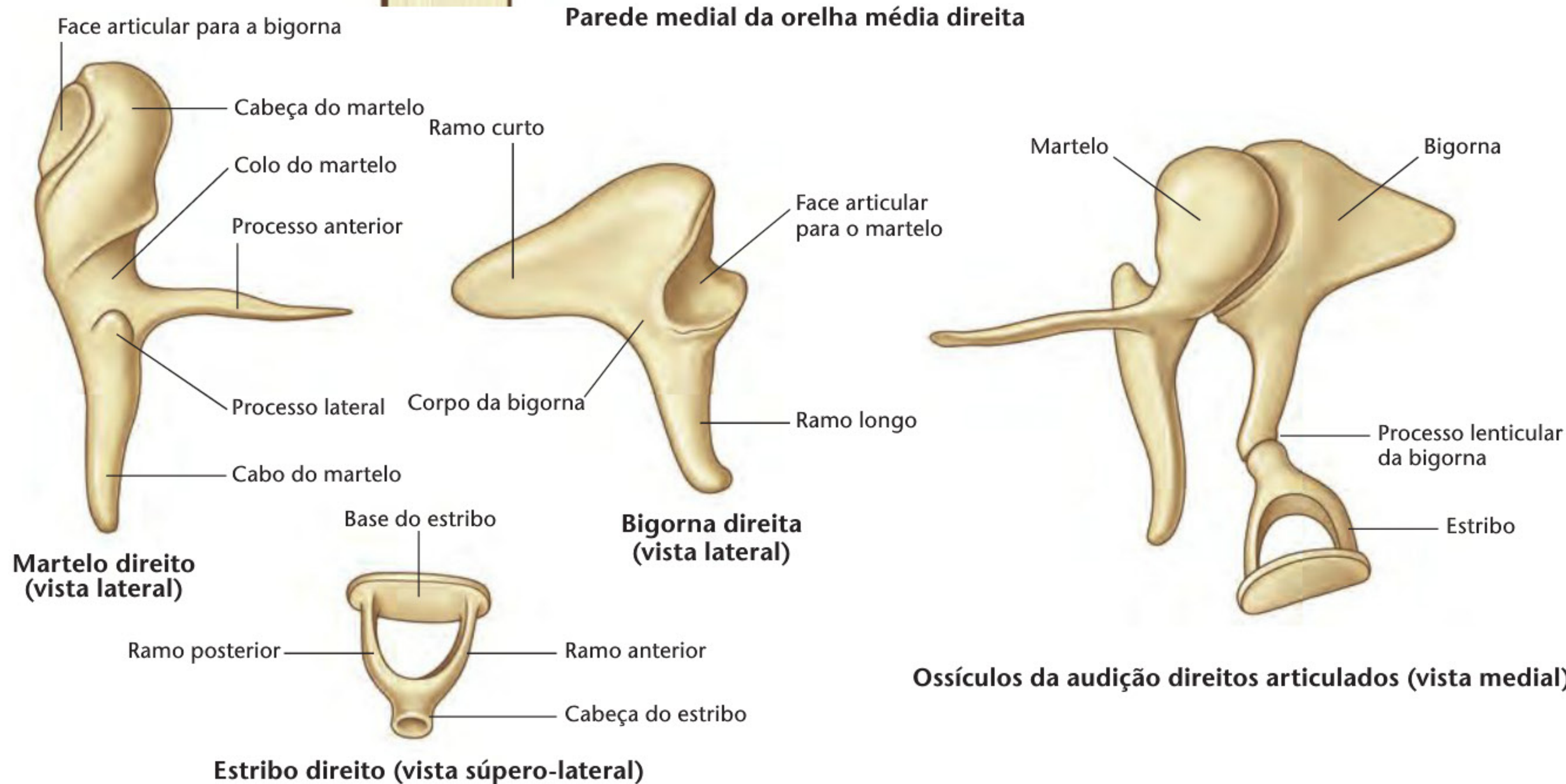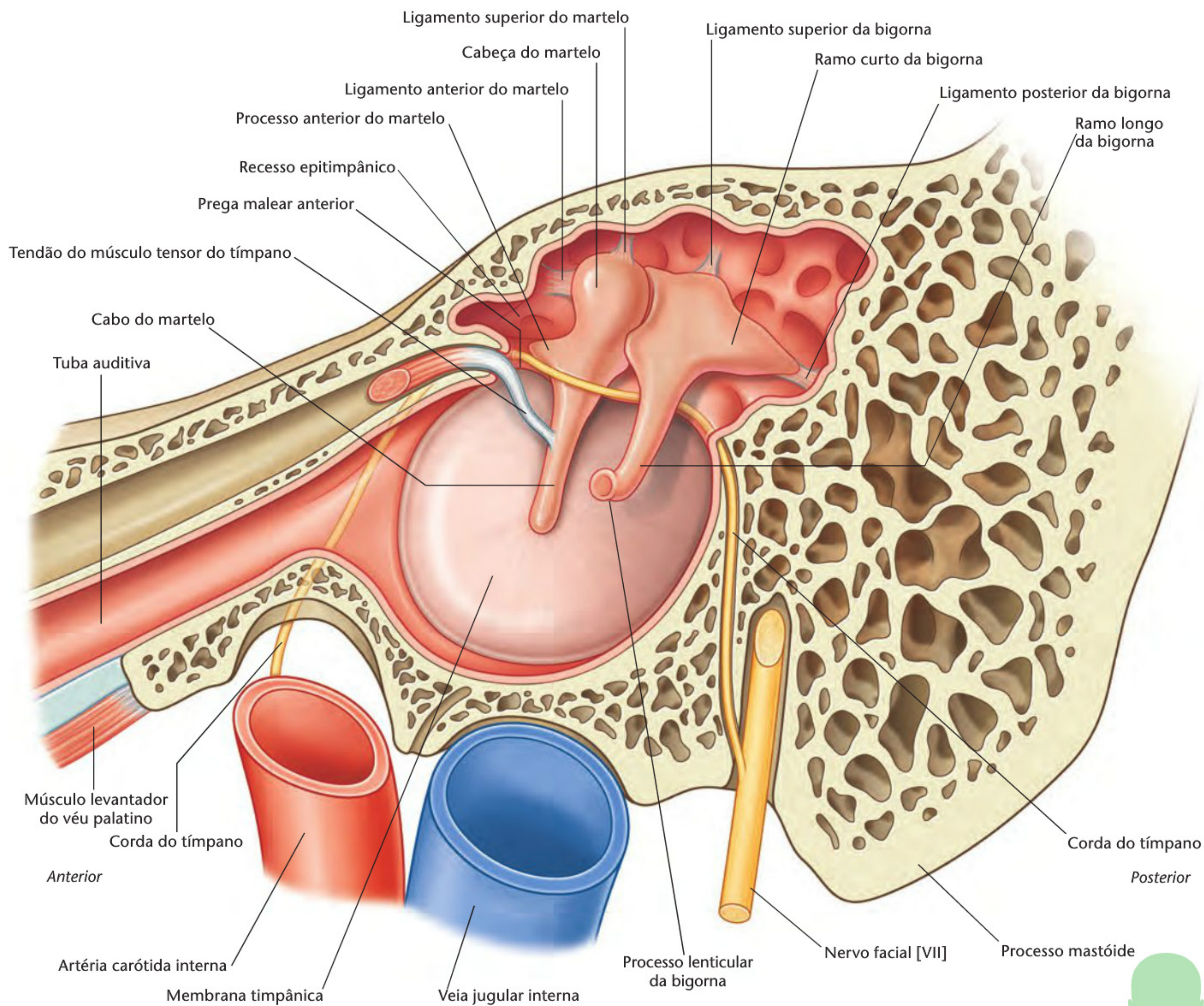
Parede lateral da orelha média direita
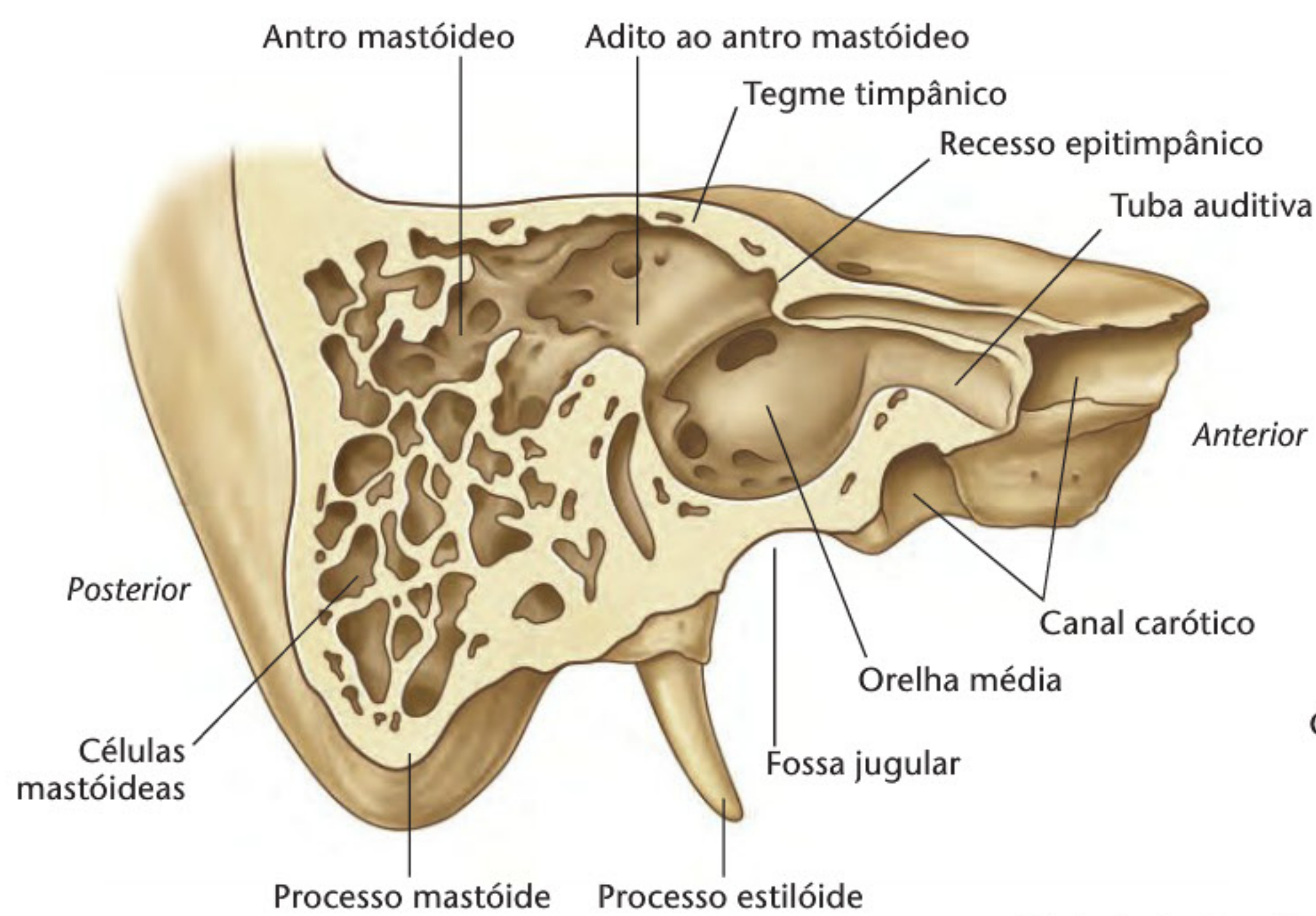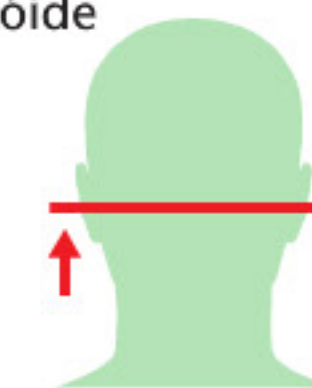
Antro mastóideo direito e estruturas circundantes
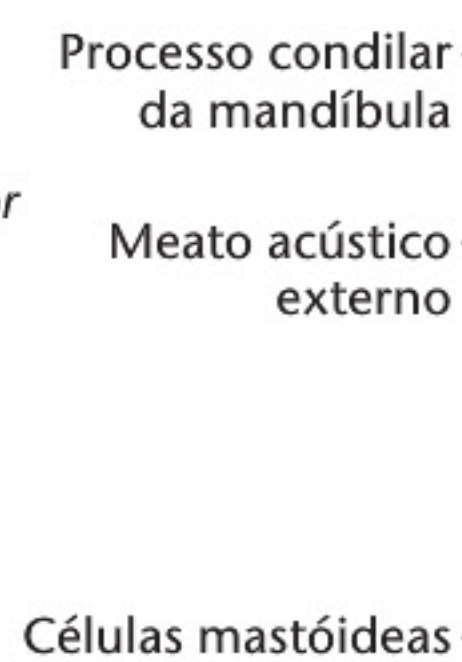
Vista inferior da área mastóidea do lado direito do crânio.
Imagem de TC no plano transversal (axial)

Ducto semicircular lateral
Ampola membranácea lateral
Ducto semicircular anterior
Saco endolinfático
Ducto semicircular posterior
Dura-máter
Nervo vestibular
Nervo coclear
Meato acústico interno
Utrículo
Nervo facial [VII]
Nervo facial [VII]
Nervo intermédio (raiz sensitiva do VII)
Estribo na janela do vestíbulo
Nervo vestibulococlear [VIII]
Helicotrema
Vestíbulo
Cóclea
Ducto utriculosacular
Membrana timpânica
Janela da cóclea
Sáculo

Estruturas da orelha interna (direita)

Rampa do vestíbulo
Ducto coclear
Rampa do tímpano
Rampa do vestíbulo
Parede (membrana) vestibular
Membrana tectória
Ducto coclear
Lâmina espiral óssea
Fibras nervosas
Ligamento espiral
Órgão espiral
Modíolo da cóclea
Gânglio espiral da cóclea
Células ciliadas externas
Células pilares
Lâmina basilar
Nervo coclear
Rampa do tímpano
Células ciliadas internas
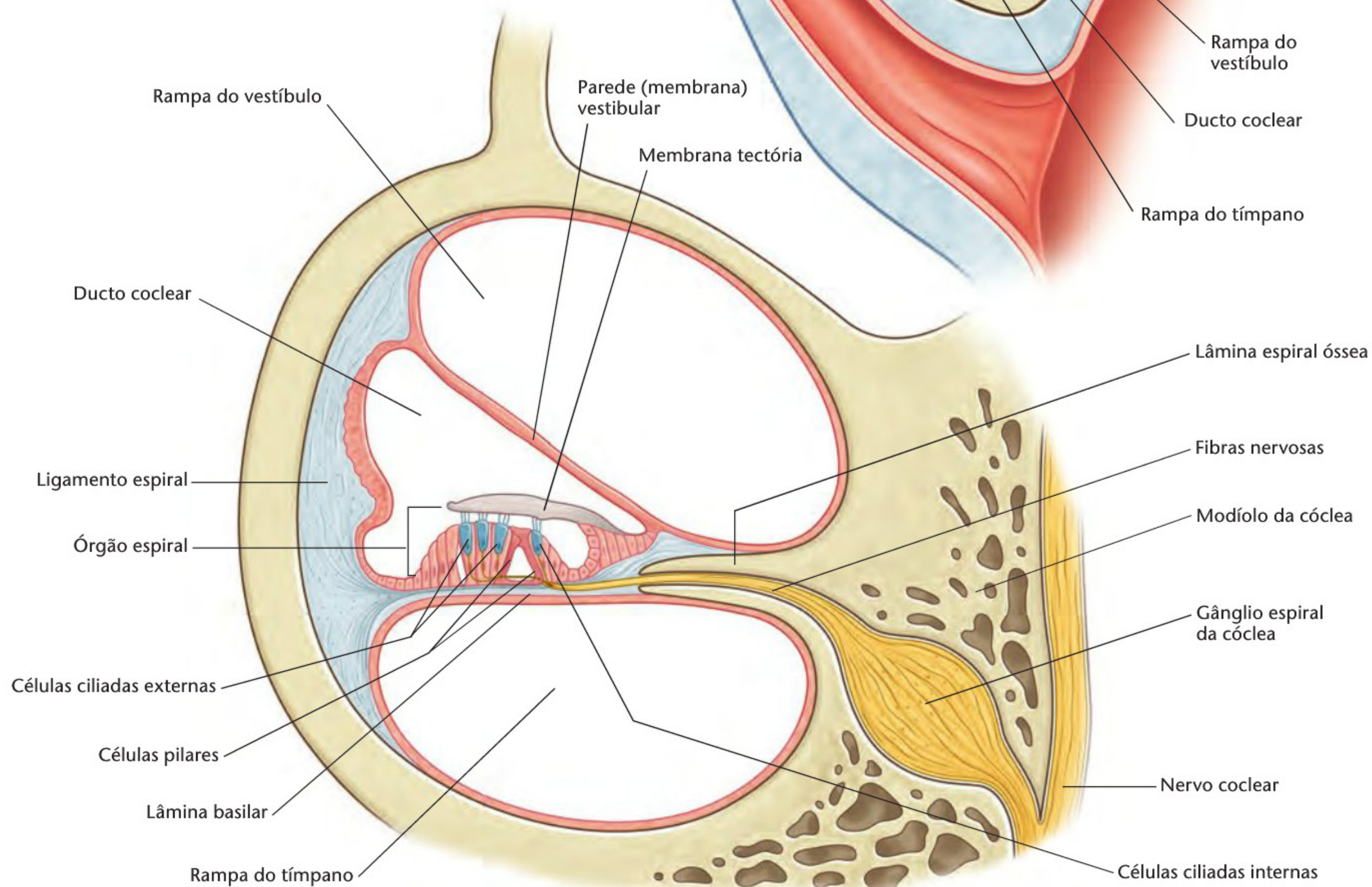
Secção transversal através da cóclea

A

Cóclea
Martelo
Fossa média do crânio
Meato acústico externo
Fossa posterior do crânio
Células mastóideas
Base da cóclea
Orelha média
Promontório

B

Cóclea
Bigorna
Fossa média do crânio
Martelo
Fossa posterior do crânio
Células mastóideas
Meato acústico interno
Utrículo

C

Fossa média do crânio
Utrículo
Meato acústico interno
Canal e ducto semicirculares laterais
Fossa posterior do crânio
Células mastóideas

A até C – Secções transversais que passam através da orelha esquerda, de inferior para superior, mostrando várias estruturas e suas relações com as estruturas circundantes.
Imagens de TC no plano transversal (axial)

Linha temporal superior

Linha temporal inferior

Músculo temporal

Processo zigomático do osso frontal

Processo frontal do osso zigomático

Arco zigomático

Crista supramastóidea do osso temporal

Músculo masseter

Fossa temporal

Fossa infratemporal

Osso frontal
Osso esfenóide
Osso zigomático
Maxila
Osso temporal
Arco zigomático
Mandíbula

Forame espinhoso
Osso temporal
Forame oval
Tubérculo articular
Fossa mandibular
Crista infratemporal
Fissura petrotimpânica
Sulco da artéria temporal média
Osso frontal
Meato acústico externo
Asa maior do osso esfenóide
Fissura timpanomastóidea
Processo frontal do osso zigomático
Fossa pterigopalatina
Face infratemporal da maxila
Cabeça e colo da mandíbula (seccionado)
Osso zigomático (seccionado)
Forame alveolar
Lâmina lateral do processo pterigóide (esfenóide)
Processo mastóide
Osso palatino
Bainha do processo estilóide (na parte timpânica do osso temporal)
Espinha do osso esfenóide
Túber da maxila
Processo esfenóide
Fissura pterigomaxilar (levando à fossa pterigopalatina)
Forame mentual
Hâmulo pterigóideo
Ramo da mandíbula (seccionado)

Ossos das fossas temporal e infratemporal

Fáscia temporal (seccionada)
Músculo temporal
Linha temporal superior
Linha temporal inferior
Arco zigomático
Parte profunda
Parte superficial
Músculo masseter

Músculos temporal e masseter

Músculo temporal
Músculo pterigóideo lateral
Nervo massetérico
Artéria massetérica
Processo coronóide da mandíbula

Crista infratemporal
Músculo pterigóideo lateral
Músculo temporal (seccionado)
Cabeça superior
Cabeça inferior
Cápsula da articulação temporomandibular
Ligamento lateral
Colo da mandíbula (seccionado)
Processo estilóide
Ligamento esfenomandibular
Ligamento estilomandibular
Músculo constritor superior da faringe
Músculo masseter (seccionado)
Músculo constritor médio da faringe
Artéria alveolar inferior no canal da mandíbula
Músculo bucinador
Músculo pterigóideo medial ("parte superficial")
Músculo pterigóideo medial ("parte profunda")

Músculos da fossa infratemporal

Cavidade nasal
Concha nasal inferior
Seio maxilar
Músculo temporal
Músculo masseter
Músculo pterigóideo lateral
Nervo lingual
Mandíbula
Artéria maxilar
Veia e artéria temporais superficiais
Glândula parótida
Nervo alveolar inferior
Processo estilóide
Músculo pterigóideo medial
Veia jugular interna
Artéria carótida interna
Músculo tensor do véu palatino
Músculo levantador do véu palatino
Parte nasal da faringe

Secção transversal através da fossa infratemporal (vista inferior)

Músculos da fossa infratemporal

Cabeça superior do músculo pterigóideo lateral (seccionada)
Cabeça inferior do músculo pterigóideo lateral (seccionada)
Lâmina lateral do processo pterigóide (osso esfenóide)
Hâmulo pterigóideo
Rafe pterigomandibular
Forame oval
Músculo tensor do véu palatino
Músculo levantador do véu palatino
Espinha do osso esfenóide
Ligamento esfenomandibular
Processo estilóide
Músculo constritor superior da faringe
Músculo estiloglosso
"Parte profunda" do músculo pterigóideo medial
Canal da mandíbula (com artéria alveolar inferior, seccionada)
"Parte superficial" do músculo pterigóideo medial
Inserção do músculo pterigóideo medial na superfície medial da mandíbula

Ligamento lateral
Cápsula articular
Processo estilóide
Ligamento estilomandibular

Articulação temporomandibular (vista lateral)

Língula da mandíbula
Sulco milo-hióideo
Processo estilóide
Espinha do osso esfenóide
Ligamento estilomandibular
Ligamento esfenomandibular

Articulação temporomandibular (vista medial)

Compartimento superior da cavidade articular
Tubérculo articular
Disco articular
Cápsula articular
Fossa mandibular
Cápsula articular
Compartimento inferior da cavidade articular
Músculo pterigóideo lateral
Fibrocartilagem na face articular*

Secção sagital paramediana através da articulação temporomandibular

* N.R.C.: Geralmente o que reveste as faces articulares da articulação temporomandibular é tecido conectivo denso.

A

Tubérculo articular
Disco articular
Músculo pterigóideo lateral
Fossa mandibular

Protrusão
- músculo pterigóideo lateral auxiliado pelo músculo pterigóideo medial

Retração
- fibras posteriores do músculo temporal, parte profunda do músculo masseter, músculos genio-hióideo e digástrico

Elevação
- músculos temporal, masseter e pterigóideo medial

Abaixamento*
- gravidade
- músculos digástrico, genio-hióideo e milo-hióideo

B

Músculo pterigóideo lateral
Movimento para frente (translação) do disco articular e da mandíbula no compartimento superior da ATM
Movimento de dobradiça (rotação) no compartimento inferior da ATM

Movimentos da articulação temporomandibular.
A. Elevação (boca fechada). B. Abaixamento (boca aberta)

A

Processo coronóide
Tubérculo articular
Osso zigomático
Meato acústico externo
Corpo da mandíbula
Osso hióide
Ramo da mandíbula
Cabeça da mandíbula
Ângulo da mandíbula

B

Processo coronóide
Tubérculo articular
Osso zigomático
Meato acústico externo
Corpo da mandíbula
Ramo da mandíbula
Cabeça da mandíbula
Ângulo da mandíbula
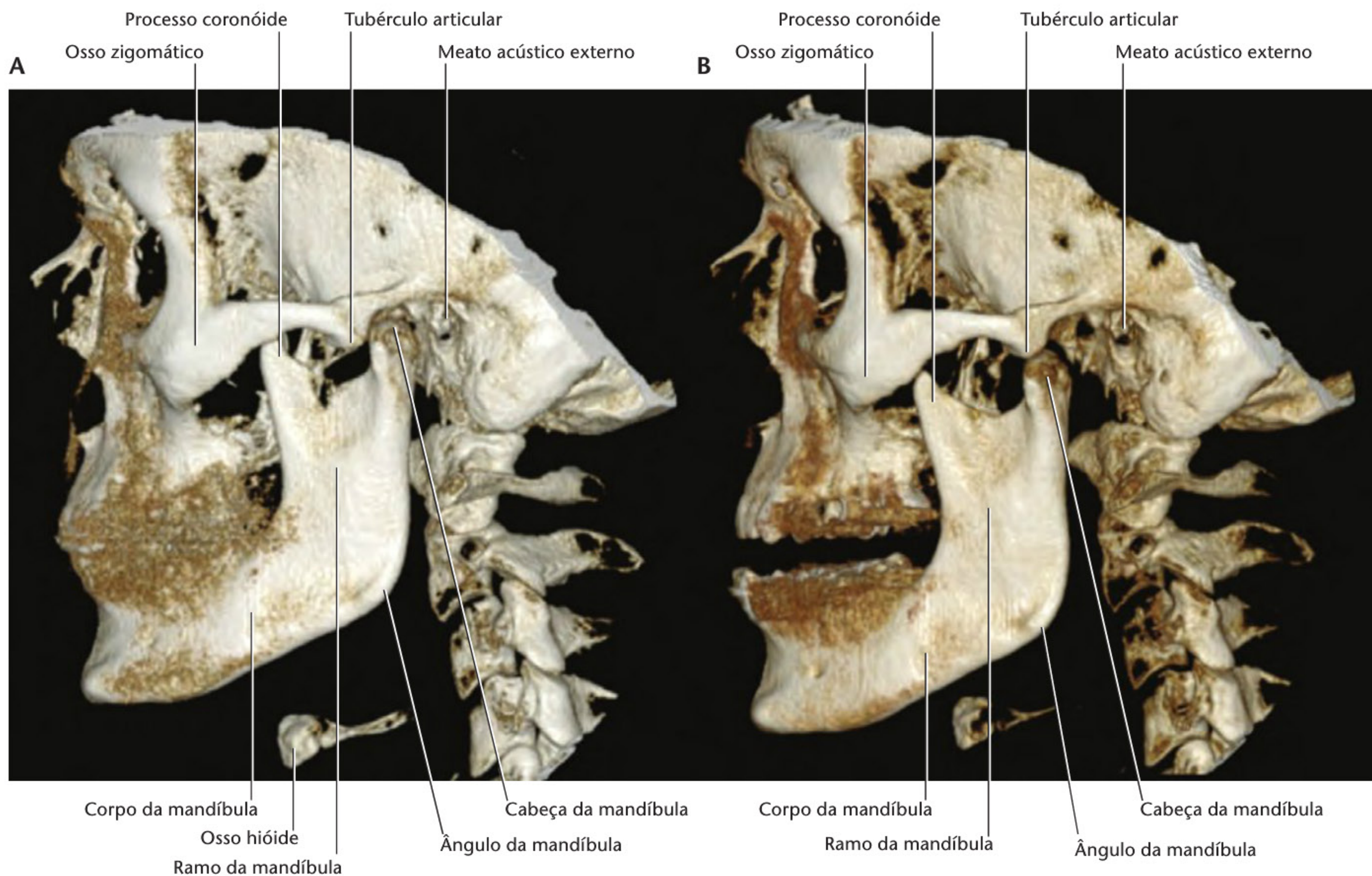
Vista lateral da articulação temporomandibular esquerda
A. Mandíbula elevada (boca fechada)
B. Mandíbula abaixada (boca aberta)
Imagem de tomografia computadorizada por meio do método CBCT (Cone Beam Computerized Tomography); tecnologia vista de modo radiográfico

* N.R.C.: A cabeça inferior do músculo pterigóideo lateral participa ativamente no abaixamento da mandíbula, ao passo que sua cabeça superior exerce ação durante uma elevação da mandíbula contra resistência. Além disso, o músculo pterigóideo lateral é responsável pelo movimento lateral da mandíbula.

Nervos e vasos da fossa infratemporal

Nervos das fossas temporal e infratemporal

Nervos temporais profundos
"Tronco anterior" do nervo mandibular [V3]
Cabeça superior do músculo pterigóideo lateral (seccionada)
Ramo meníngeo
Forame espinhoso
Nervo para o músculo tensor do tímpano
Fissura petrotimpânica
Cabeça inferior do músculo pterigóideo lateral (seccionada)
Nervo para o músculo tensor do véu palatino
Nervo pterigóideo medial
Corda do tímpano (ramo do VII par)
Língua
Músculo pterigóideo medial
Nervo lingual
Glândula sublingual
Gânglio submandibular
Músculo milo-hióideo
Glândula submandibular

Nervos da fossa infratemporal

Nervo trigêmeo [V]
Nervo facial [VII]
Nervo oftálmico [V1]
Plexo timpânico
Nervo glossofaríngeo [IX], gânglio superior seccionado
Nervo maxilar [V2]
Fibras pré-ganglionares parassimpáticas
Fibras pós-ganglionares parassimpáticas
Nervo mandibular [V3]
Nervo petroso menor
Gânglio ótico
Nervo timpânico
Gânglio inferior do nervo glossofaríngeo
Nervo auriculotemporal*
Nervo lingual
Corda do tímpano
Nervo auriculotemporal
Gânglio submandibular
Glândula parótida
Glândula sublingual
Glândula submandibular

Inervação parassimpática das glândulas salivares parótida, submandibular e sublingual

*Nota da Revisão Científica: O nervo auriculotemporal faz um trajeto típico ao "abraçar" a artéria meníngea média.

Artéria esfenopalatina
Fossa pterigopalatina
Artéria infra-orbital
Cabeça superior do músculo pterigóideo lateral (seccionada)
Cabeça inferior do músculo pterigóideo lateral (seccionada)
Artéria massetérica
Artéria bucal
Forame mentual
Artéria mentual
Músculo milo-hióideo
Ramos da artéria meníngea média na cavidade do crânio (por transparência)
Artérias temporais profundas anterior e posterior
Artéria temporal média
Artéria temporal superficial
Forame espinhoso
Artéria meníngea média
Nervo auriculotemporal
Artéria maxilar
Ramo pterigóideo da a. maxilar
Músculo pterigóideo medial
Artéria alveolar inferior
Ramo milo-hióideo da artéria alveolar inferior
Artéria carótida externa

Artérias das fossas temporal e infratemporal

Veia emissária
Veia oftálmica inferior
Cabeça superior do músculo pterigóideo lateral (seccionada)
Cabeça inferior do músculo pterigóideo lateral (seccionada)
Plexo pterigóideo
Veia facial profunda
Veia facial
Forame mentual
Veia mentual
Veias temporais profundas
Veias emissárias (comunicam-se com o seio cavernoso)
Veia temporal superficial
Veia maxilar
Músculo pterigóideo medial
Veia alveolar inferior
Veia auricular posterior
Veia retromandibular
Veia jugular externa
Veia jugular interna

Veias das fossas temporal e infratemporal

Ramos orbitais do nervo maxilar
Artéria esfenopalatina
Nervo zigomático
Nervo nasopalatino e ramos nasais
Forame esfenopalatino
Ramos para o gânglio pterigopalatino
Nervo oftálmico [V1]
Ramo meníngeo do nervo maxilar
Nervo maxilar [V2] atravessando o forame redondo
Gânglio trigeminal
Nervo trigêmeo [V]
Nervo mandibular [V3]
Artéria maxilar na fossa infratemporal
Artéria e nervo do canal pterigóideo
Gânglio pterigopalatino
Artéria e nervo faríngeos entrando no sulco palatovaginal
Artéria e nervo palatinos maiores no sulco palatino maior
Artéria e nervo palatinos menores
Artéria e nervo palatinos maiores
Artéria alveolar superior posterior e ramo alveolar superior posterior do nervo alveolar superior
Plexo dental superior
Nervo supra-orbital
Nervo lacrimal
Ramo comunicante com o nervo zigomático
Ramo zigomaticotemporal do nervo zigomático
Ramo zigomaticofacial do nervo zigomático
Artéria alveolar superior anterior e ramo alveolar superior anterior do nervo alveolar superior
Ramos palpebrais inferiores do nervo infra-orbital
Artéria e nervo infra-orbitais
Ramo nasal externo do nervo etmoidal anterior
Ramo alveolar superior médio do nervo alveolar superior
Ramo labial superior do nervo infra-orbital
Seio maxilar

Nervos e artérias da fossa pterigopalatina

Nervo supra-orbital
Ramo comunicante com o nervo zigomático
Nervo lacrimal
Ramo zigomaticotemporal do nervo zigomático
Nervo oftálmico [V1]
Nervo trigêmeo [V]
Nervo petroso maior
Nervo mandibular [V3]
Nervo facial [VII]
Gânglio geniculado
Plexo carótico interno (simpático)
Nervo carótico interno
Gânglio cervical superior
Tronco simpático
Nervo zigomático
Nevo maxilar [V2]
Ramos orbitais
Nervos nasais
Nervo infra-orbital
Nervo alveolar superior posterior
Nervo do canal pterigóideo
Nervo petroso profundo
Cartilagem preenchendo o forame lacerado
Artéria carótida interna
Gânglio pterigopalatino
Nervos palatinos
Nervo faríngeo no sulco palatovaginal
Fibras pré-ganglionares parassimpáticas
Fibras pós-ganglionares parassimpáticas
Fibras pré-ganglionares simpáticas
Fibras pós-ganglionares simpáticas

Vias motoras viscerais através da fossa pterigopalatina

Margem inferior da mandíbula
Linha mediana do pescoço
Margem anterior do músculo esternocleidomastóideo
Incisura tireóidea superior
Proeminência laríngea
Posição do ligamento cricotireóideo mediano
Arco da cartilagem cricóidea
Istmo da glândula tireóide
Clavícula

Região (trígono) cervical anterior
Relacionada com estruturas que fazem o trajeto entre a cabeça e o tórax

Vista anterior

Margem posterior do músculo esternocleidomastóideo
Margem anterior do músculo trapézio
Incisura tireóidea superior
Proeminência laríngea
Posição do ligamento cricotireóideo mediano
Arco da cartilagem cricóidea
Clavícula

Região cervical posterior
Relacionada com estruturas que fazem o trajeto entre o pescoço, o tórax e o membro superior

Vista lateral

Ventre posterior do músculo digástrico
Músculo esternocleidomastóideo
Músculo estilo-hióideo
Trígono carótico
Região cervical posterior
Ventre inferior do músculo omo-hióideo
Músculo trapézio
Trígono submandibular
Ventre anterior do músculo digástrico
Trígono submentual
Osso hióide
Trígono muscular
Ventre superior do músculo omo-hióideo
Clavícula

Limites e subdivisões da região (trígono) cervical anterior e limites da região cervical posterior

Forame jugular
Parte basilar do osso occipital
Tubérculo faríngeo
Canal carótico
Canal do nervo hipoglosso
Côndilo occipital
Forame magno
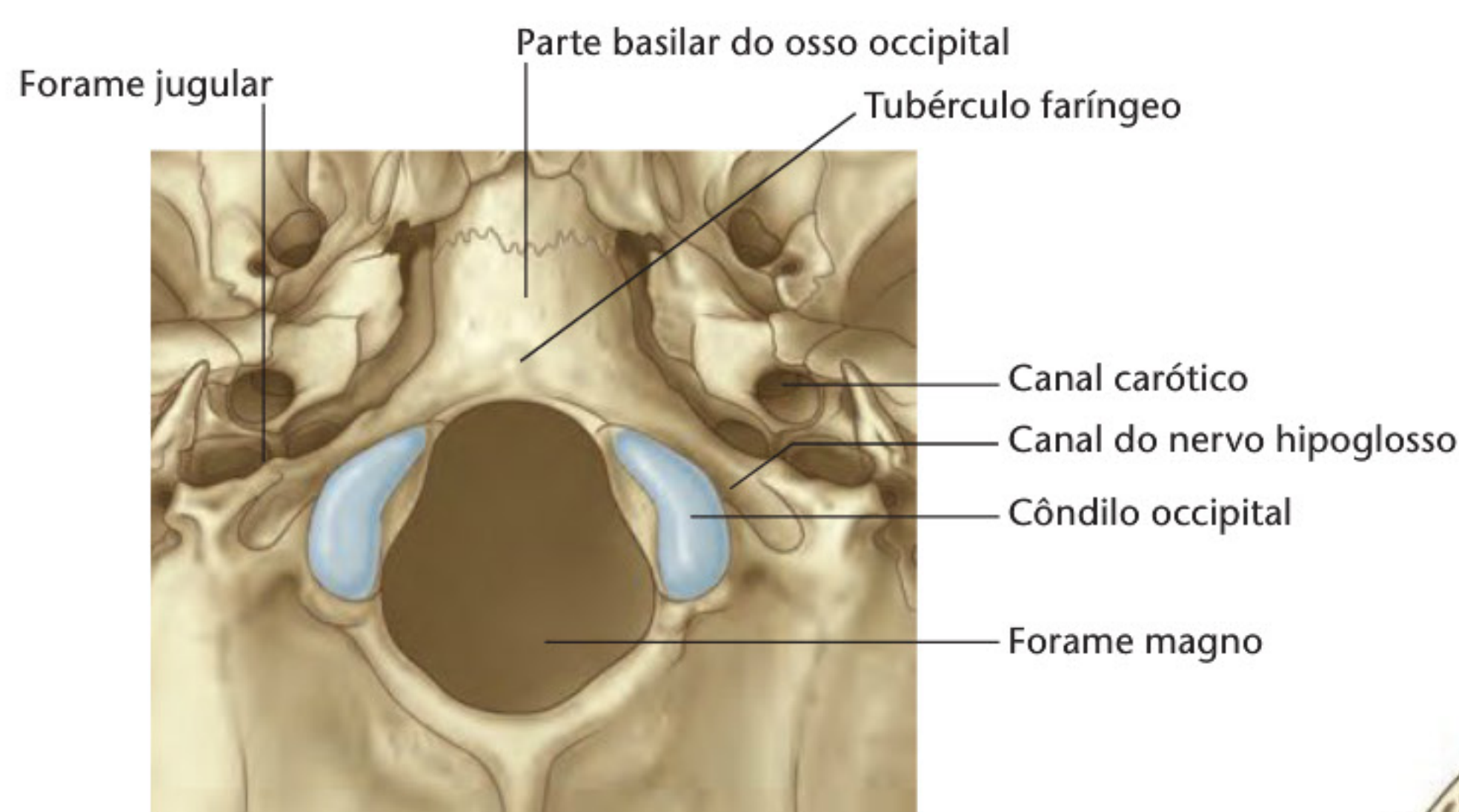
Côndilos occipitais (vista inferior)

Corno maior
Corno menor
Corpo

Osso hióide (vista superior)

Tubérculo anterior
Face articular anterior
Fóvea do dente
Dente do áxis
Arco anterior do atlas
Ligamento transverso do atlas
Face articular superior
Massa lateral do atlas
Forame transversário
Processo transverso
Sulco da artéria vertebral
Forame vertebral
Arco posterior do atlas
Tubérculo posterior

Atlas e áxis (vista superior)

Ligamentos alares
Osso occipital
Fascículo longitudinal superior do ligamento cruciforme do atlas
Ligamento do ápice do dente
Forame magno
Ligamento transverso do atlas
Côndilo occipital
Atlas
Fascículo longitudinal inferior do ligamento cruciforme do atlas
Áxis
Sulco da artéria vertebral
Tubérculo posterior do atlas
Processo espinhoso do áxis

Articulação atlantoccipital (vista posterior)

Atlas (CI)
Processo estilóide
Áxis (CII)
Processo articular superior
Parte interarticular
Processo articular inferior
Processo espinhoso
Ligamento estilo-hióideo
Corpo do osso hióide (seccionado)
Corno menor
Corno maior
CIII
CIV
CV
CVI
CVII
TI
Primeira costela
Manúbrio do esterno
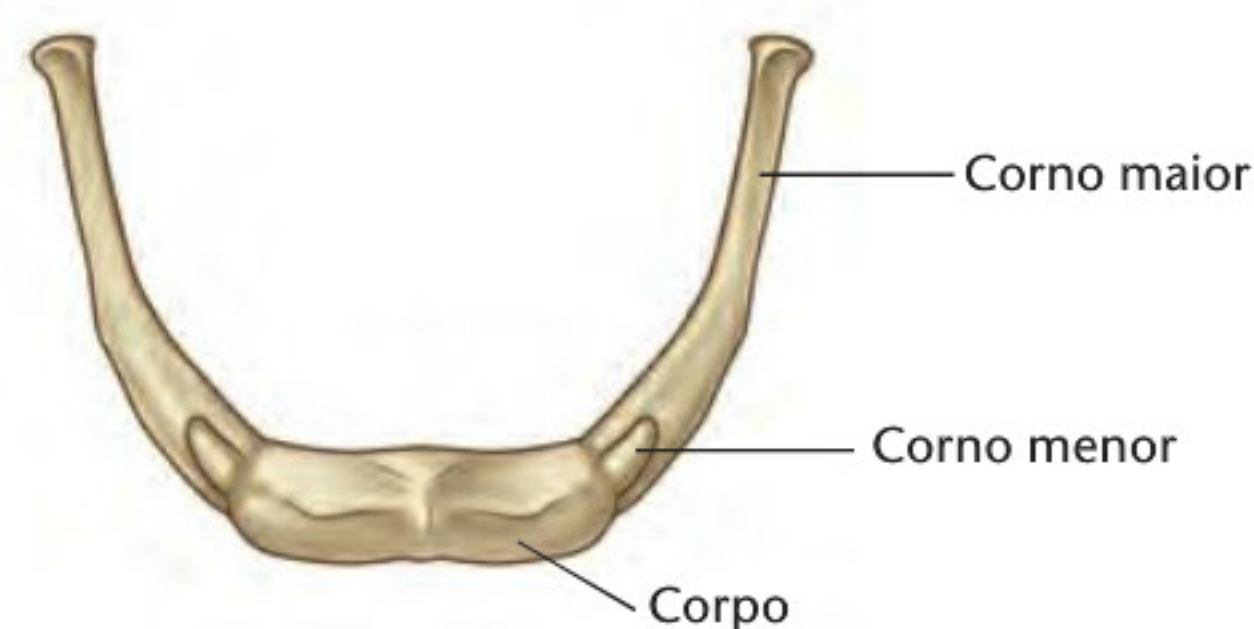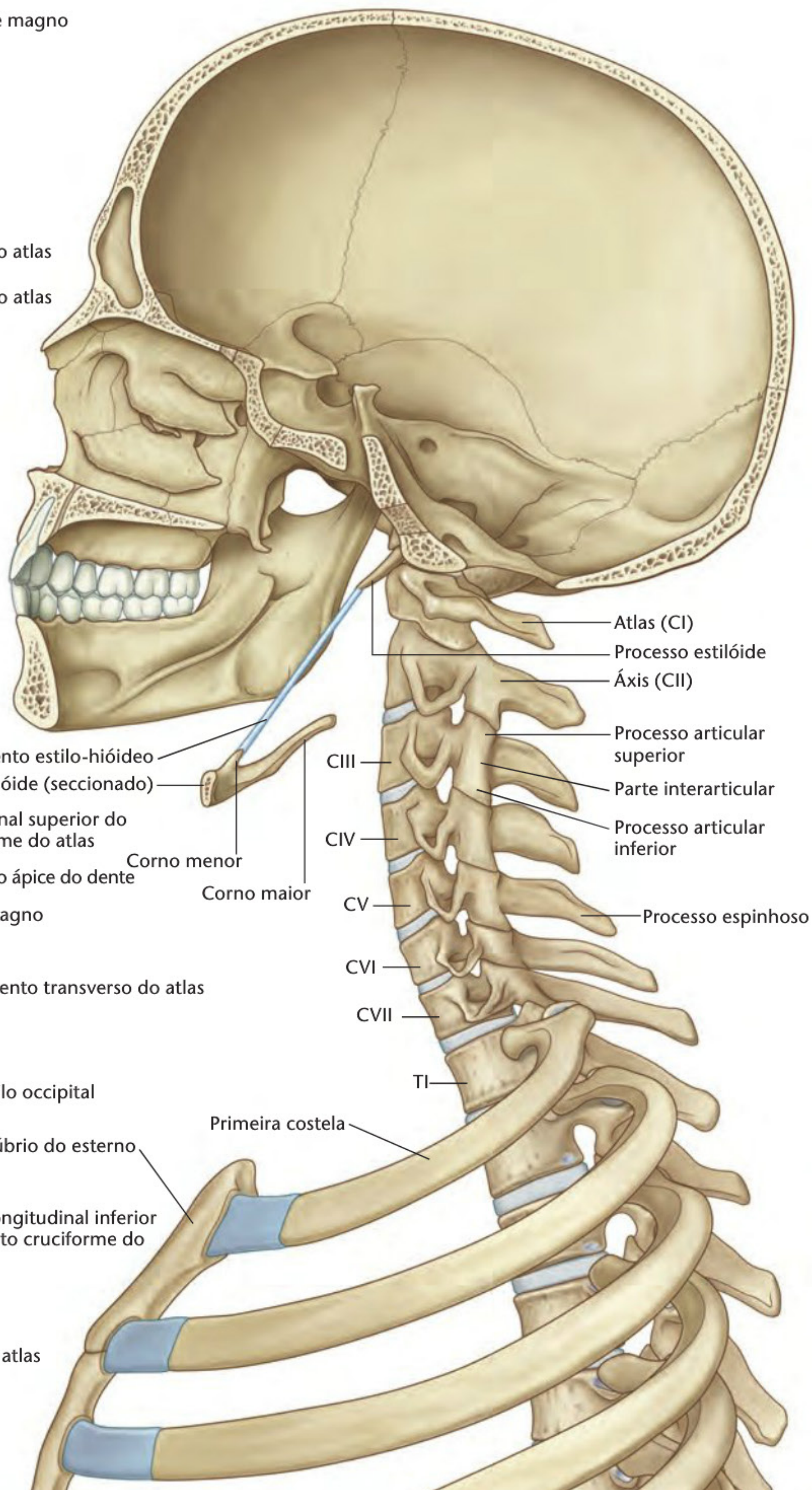
Ossos da região cervical (vista lateral)

Músculos infra-hióideos
Traquéia
Veia jugular anterior
Músculo esternocleido-mastóideo
Glândula tireóide
Lâmina pré-traqueal
Esôfago
Artéria carótida comum
Veia jugular interna
Bainha carótica
Veia jugular externa
Nervo vago [X]
Músculos escalenos
Músculo trapézio
Lâmina pré-vertebral
Fáscia bucofaríngea
Lâmina superficial
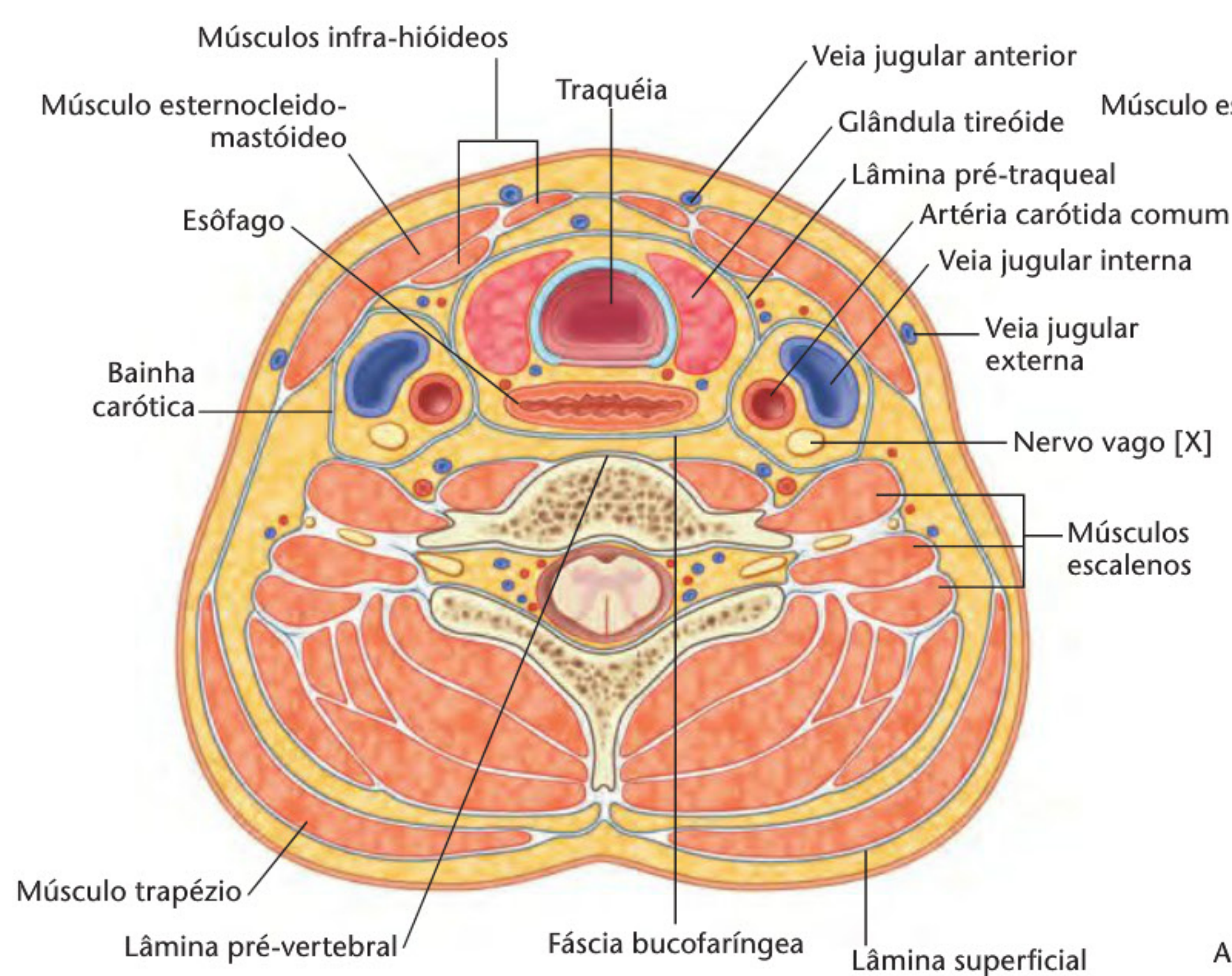
Fáscia cervical (secção transversal)

Esôfago
Músculos infra-hióideos
Glândula tireóide
Músculo esternocleidomastóideo
Traquéia
Veia jugular interna
Artéria carótida comum
Artéria vertebral
Vértebra CVII
Músculo trapézio

Compartimento visceral
Compartimento vascular
Compartimento vertebral

Compartimentos do pescoço e fáscia cervical.
Imagem de TC com contraste, no plano transversal (axial)

Fáscia bucofaríngea (parte posterior da lâmina pré-traqueal)
Lâmina superficial da fáscia da nuca
Lâmina superficial
Lâmina pré-vertebral
Traquéia
Glândula tireóide
Músculos infra-hióideos
"Espaço pré-traqueal"
Espaço supra-esternal
Lâmina pré-traqueal
Manúbrio do esterno
Aorta
Espaço retrofaríngeo
Esôfago
Espaço fascial no interior da lâmina pré-vertebral

Fáscias do pescoço e da nuca (com suas lâminas)

Veia facial
Veias jugulares anteriores
Veia jugular externa
Veia jugular externa
Músculo esternocleidomastóideo

Veias palpáveis no pescoço (ou visíveis)

Veia maxilar
Veia temporal superficial
Veia facial
Veia submentual
Veia facial
Veia jugular externa
Veia jugular interna
Veia jugular anterior
Artéria carótida comum
Músculo esternocleidomastóideo
Veia comunicante
Músculo trapézio
Veia retromandibular
Veia auricular posterior
Veia occipital
Músculo esternocleidomastóideo (seccionado)
Veia comunicante
Veia jugular externa
Veia jugular interna
Artéria subclávia esquerda
Veia subclávia esquerda
Músculo esternocleidomastóideo (seccionado)

Veias superficiais do pescoço

Fáscia parotídea
Fáscia massetérica
Músculo risório
Músculo abaixador do ângulo da boca
Lâmina superficial da fáscia cervical
Músculo platisma
Clavícula
Fáscia do músculo peitoral maior
Fáscia deltóidea

Músculos do pescoço e fáscia cervical (vista lateral)

Ramo da mandíbula
Músculo masseter
Músculo constritor médio da faringe
Músculo estilo-hióideo
Corpo da mandíbula
Músculo milo-hióideo
Alça fibrosa e o tendão intermédio do músculo digástrico
Ventre anterior do músculo digástrico
Osso hióide
Músculo constritor inferior da faringe
Músculo tireo-hióideo
Ventre superior do músculo omo-hióideo
Músculo esterno-hióideo
Músculo esterno-cleidomastóideo
"Parte clavicular"
"Parte esternal"
Clavícula
Músculo peitoral maior
Ventre occipital do músculo occipitofrontal
Processo mastóide
Processo estilóide
Ventre posterior do músculo digástrico
Músculo longo da cabeça
Músculo esplênio da cabeça
Músculo esternocleidomastóideo
Músculo levantador da escápula
Músculo escaleno médio
Músculo escaleno posterior
Músculo escaleno anterior
Ventre inferior do músculo omo-hióideo
Músculo trapézio
Acrômio
Músculo deltóide
Região (trígono) cervical anterior
Região cervical posterior

Ventre anterior do músculo digástrico
Músculo milo-hióideo
Ventre posterior do músculo digástrico
Músculo estilo-hióideo
Músculo esternocleidomastóideo
Osso hióide
Músculo tireo-hióideo
Músculo esterno-hióideo
Músculo esterno-hióideo (seccionado)
Ventre superior do músculo omo-hióideo
Artéria carótida comum
Cartilagem tireóidea
Veia jugular interna
Ligamento cricotireóideo mediano
Músculo cricotireóideo
Cartilagem cricóidea
Músculo escaleno médio
Glândula tireóide
Músculo esternotireóideo
Músculo escaleno posterior
Músculo escaleno anterior
Músculo trapézio
Músculo escaleno posterior
Ventre inferior do músculo omo-hióideo
Músculo esterno-hióideo (seccionado)
Traquéia
Artéria subclávia direita
Artéria subclávia esquerda
Veia subclávia direita
Veia jugular externa
Veia subclávia esquerda
Músculo esternocleidomastóideo "Parte clavicular" "Parte esternal"

Músculos superficiais do pescoço

Parte basilar do osso occipital
Processo mastóide
Músculo reto lateral da cabeça
Atlas
Músculo longo da cabeça
Músculo reto anterior da cabeça
Feixes musculares acessórios inseridos em CI para o músculo escaleno médio (algumas vezes ausentes)
Parte superior do músculo longo do pescoço
Músculo levantador da escápula
Músculo levantador da escápula
Músculo escaleno médio
Corpo vertebral de CVI
Músculo longo do pescoço
Músculo escaleno anterior
Músculo escaleno posterior
Músculo escaleno posterior
Primeira costela
Escápula
Segunda costela

Músculos profundos do pescoço

Nervo acessório e ramos do plexo cervical

Nervo acessório [XI]
Nervo occipital menor (C2)
Nervo auricular magno (C2,C3)
Nervo cervical transverso (C2,C3)
Nervo acessório [XI]
Nervos supraclaviculares (mediais, intermédios, laterais) (C3,C4)
Músculo trapézio
Músculo esternocleidomastóideo
Nervos supraclaviculares

Nervos espinais cervicais, alça cervical e nervo hipoglosso [XII]

Processo estilóide
Artéria occipital
Músculo digástrico (seccionado)
Artéria facial
Músculo digástrico (seccionado)
Músculo estilo-hióideo
Veia jugular interna
Nervo espinal C1
Nervo hipoglosso [XII]
Nervo espinal C2
Nervo espinal C3
Artéria carótida interna
Músculo milo-hióideo
Músculo hioglosso
Nervo hipoglosso [XII]
Fibras de C1 acompanhando o nervo hipoglosso, para o músculo genio-hióideo
Nervo espinal C4
Nervo espinal C5
Raiz inferior da alça cervical
Músculo tireo-hióideo
Artéria carótida externa
Músculo omo-hióideo (ventre superior)
Nervo espinal C6
Músculo esterno-hióideo
Nervo espinal C7
Nervo espinal C8
Raiz superior da alça cervical
Nervo frênico (C3,4,5)
Músculo esternotireóideo
Músculo omo-hióideo (ventre inferior)

Ramos dos nervos glossofaríngeo [IX] e vago [X] no pescoço

C1 (ramo anterior)
Nervo occipital menor (C2)
C2 (ramo anterior)
Nervo auricular magno (C2,C3)
Raiz superior
C3 (ramo anterior)
Nervo cervical transverso (C2,C3)
C2, ramo para o nervo cervical transverso
Alça cervical
C4 (ramo anterior)
Raiz inferior
Para C5 (ramo anterior)
Nervos supraclaviculares (C3,C4)
Nervo frênico (C3,C4,C5)

Plexo cervical

Artéria carótida interna
Nervo carótico interno
Nervo hipoglosso [XII]
Veia jugular interna
Gânglio superior do nervo vago direito [X]
Nervo glossofaríngeo [IX]
Nervo acessório [X]
Músculo reto anterior da cabeça
Músculo reto lateral da cabeça
Músculo longo da cabeça
C1
Gânglio cervical superior
C2
C3
Músculo levantador da escápula
Tronco simpático
C4
Nervo supraclavicular
C5
Músculo longo do pescoço
Gânglio cervical médio
Nervo frênico
Nervo frênico
Gânglio cervical inferior
Posterior
Médio
Anterior
Músculos escalenos
Artéria subclávia direita
Veia subclávia direita
Artéria subclávia esquerda
Plexo braquial
Nervo vago esquerdo
Veia braquiocefálica esquerda (seccionada)

Componentes da parte simpática da divisão autônoma do sistema nervoso, na raiz do pescoço

Nervo carótico interno
Gânglio cervical superior
C1
C2
Ramos comunicantes cinzentos
C3
C4
C5
Ramo comunicante cinzento
C6
C7
C8
Artéria subclávia direita
Alça subclávia
Para o plexo carótico interno
Artéria carótida interna
Para o seio e glomo caróticos
Para o plexo carótico externo
Nervo cardíaco cervical superior
Artéria carótida comum
Gânglio cervical médio
Gânglio cervical inferior
Nervos cardíacos cervicais médio e inferior
Artéria vertebral

Parte cervical do tronco simpático

Nevo hipoglosso [XII]
Artéria carótida interna
Para o músculo genio-hióideo
Para o músculo tireo-hióideo
Veia jugular interna
Gânglio superior do nervo vago direito
Nervo acessório [XI]
Ramo comunicante com o nervo vago
Raiz superior da alça cervical
Nervo auricular magno
Nervo occipital menor
Ramos comunicantes com o nervo acessório
Raiz inferior da alça cervical
Para os músculos escalenos e levantador da escápula
Nervos supraclaviculares
Tronco superior do plexo braquial
Nervo frênico
Tronco médio do plexo braquial
Nervo torácico longo
Tronco inferior do plexo braquial
Artéria subclávia direita
Segunda costela
C1
C2
C3
C4
C5
C6
C7
C8
T1
CI
CII
CIII
CIV
CV
CVI
CVII
TI
TII

Ramos do plexo cervical (primeira costela removida)

Artéria facial
Artéria maxilar
Artéria temporal superficial
Artéria occipital
Artéria vertebral

Artéria facial
Artéria lingual
Artéria tireóidea superior
Artéria carótida comum
Artéria carótida externa
Artéria carótida interna

Vista lateral dos ramos da artéria carótida externa
Imagem angiográfica com contraste utilizando tomografia computadorizada de multidetectores e reconstrução 3D

Feixes musculares acessórios inseridos em CI para o músculo escaleno médio (algumas vezes ausentes)
Músculo longo da cabeça
Artéria vertebral
Músculo levantador da escápula
Músculo longo do pescoço
Corpo vertebral de CVI
Músculo escaleno médio
Esôfago
Artéria tireóidea inferior
Músculo escaleno anterior
Ápice do pulmão direito e cúpula da pleura
Músculo escaleno posterior
Tronco tireocervical
Artéria subclávia direita
Artéria cervical ascendente
Artéria cervical profunda
Artéria intercostal suprema
Músculo escaleno posterior
Artéria cervical transversa
Artéria supra-escapular
Artéria dorsal da escápula (presente em 2/3 dos indivíduos)
Artéria subclávia esquerda
Primeira costela
Traquéia
Tronco costocervical
Artéria torácica interna
Artéria carótida comum esquerda

Vista anterior

Artéria vertebral
Artéria tireóidea inferior
Artéria carótida comum direita
Artéria cervical transversa (presente em 1/3 dos indivíduos)
Artéria supra-escapular
Artéria subclávia direita

Vista posterior

Artéria vertebral
Artéria cervical ascendente
Artéria tireóidea inferior
Artéria carótida comum esquerda
Tronco tireocervical
Artéria torácica interna
Primeira costela
Artéria torácica interna
Artéria cervical profunda
Artéria cervical transversa
Artéria intercostal suprema
Tronco costocervical
Artéria subclávia esquerda
Artéria supra-escapular
Arco da aorta

Vista lateral

Artéria vertebral direita
Artéria carótida comum direita
Glândula tireóide
Tronco tireocervical
Tronco costocervical
Artéria subclávia direita
Artéria torácica interna direita
Corpo vertebral de CIV
Artéria vertebral esquerda
Artéria tireóidea inferior
Tronco tireocervical
Artéria carótida comum esquerda
Artéria subclávia esquerda

Vista anterior da "raiz" do pescoço mostrando os ramos das artérias subclávias.
Imagem angiográfica com contraste utilizando tomografia computadorizada de multidetectores e reconstrução 3D

Linfonodos parotídeos profundos, pré-auriculares
Linfonodos da face
Linfonodo mandibular
Linfonodos submentuais
Músculo esternocleidomastóideo (seccionado)
Linfonodos occipitais
Linfonodos mastóideos
Linfonodo parotídeo profundo, infra-auricular
Linfonodos cervicais laterais superficiais
Linfonodos cervicais laterais profundos (posteriores)
Músculo esternocleidomastóideo
Veia jugular externa
Músculo trapézio
Linfonodos cervicais transversos
Linfonodos submandibulares

Sistema linfático no pescoço

Linfonodo jugulodigástrico
Veia jugular interna
Linfonodos cervicais laterais profundos superiores
Músculo omo-hióideo
Linfonodo jugulo-omo-hióideo
Veia jugular externa (seccionada)
Linfonodos supraclaviculares
Linfonodos cervicais anteriores superficiais

Linfonodos cervicais profundos

Área drenada pelo ducto linfático direito
Área drenada pelo ducto torácico

Áreas de drenagem linfática

Linfonodos submentuais
Linfonodos submandibulares
Linfonodos pré-laríngeos
Linfonodos cervicais profundos
Linfonodos pré-traqueais
Linfonodos paratraqueais

Drenagem linfática da glândula tireóide, da laringe e da traquéia

Linfonodos submentuais
Linfonodos submandibulares
Ventre anterior do músculo digástrico
Músculo estilo-hióideo
Ventre posterior do músculo digástrico
Linfonodo jugulodigástrico
Osso hióide
Veia jugular externa
Músculo tireo-hióideo
Cartilagem tireóidea
Músculo esternocleidomastóideo
Linfonodos pré-laríngeos
Linfonodos cervicais profundos
Glândula tireóide
Linfonodo jugulo-omo-hióideo
Veia jugular interna (seccionada)
Linfonodos paratraqueais
Tronco jugular
Tronco jugular
Tronco subclávio
Tronco subclávio
Artéria subclávia esquerda
Veia subclávia esquerda
Linfonodos pré-traqueais
Ducto torácico
Veia jugular externa (seccionada)
Veia subclávia direita
Tronco broncomediastinal direito
Tronco broncomediastinal esquerdo

Sistema linfático no pescoço

Palato mole
Glândulas palatinas
Seio esfenoidal
Toro tubário
Palato duro
Óstio faríngeo da tuba auditiva
Seio frontal
Toro do levantador (prega sobre o músculo levantador do véu palatino)
Tonsila faríngea
Cavidade nasal
Recesso faríngeo
CI
Cavidade oral
CII
Prega salpingofaríngea
Língua
Úvula palatina
Forame cego
Tonsila palatina
Músculos constritores da faringe
Músculo genioglosso
Arco palatoglosso
Arco palatofaríngeo
Tonsila lingual
Epiglote
Mandíbula
Ádito da laringe
Músculo genio-hióideo
Prega vocal
Osso hióide
Músculo aritenóideo transverso
Ligamento hioepiglótico
Cartilagem cricóidea
Valécula epiglótica
Cartilagem tireóidea
Esôfago
Parte nasal da faringe
Traquéia
Parte oral da faringe
Istmo da glândula tireóide
Parte laríngea da faringe

Características da faringe

Cóanos
Tonsila faríngea
Processo estilóide
Recesso faríngeo
Septo nasal
Toro do levantador
Valécula epiglótica
Tonsila palatina
Arco palatofaríngeo
Toro tubário
Óstio faríngeo da tuba auditiva
Prega salpingofaríngea
Palato mole
Úvula palatina
Proeminência causada pelo corno maior do osso hióide
Raiz da língua (com a tonsila lingual)
Ádito da laringe
Proeminência causada pelo corno superior da cartilagem tireóidea
Prega ariepiglótica
Recesso piriforme
Tubérculo cuneiforme
Prega do nervo laríngeo superior
Tubérculo corniculado
Incisura inter-aritenóidea
Proeminência da lâmina da cartilagem cricóidea
Esôfago
Traquéia
Parte nasal da faringe
Parte oral da faringe
Parte laríngea da faringe

Características da faringe (vista posterior com a parede da faringe seccionada e aberta)

Seio frontal
Cavidade nasal
Palato duro
Palato mole
Mandíbula
Células etmoidais
Seio esfenoidal
Parte nasal da faringe
CI
CII
Parte oral da faringe
Epiglote
Parte laríngea da faringe

Regiões da faringe (boca fechada, dentes juntos).
Imagem de Tomografia computadorizada sagital utilizando a tecnologia CBCT (Cone Beam Computerized Tomography) vista no modo radiográfico

Músculo fáscia faringobasilar
Músculo tensor do véu palatino
Músculo levantador do véu palatino
Músculo bucinador (seccionado)
Rafe pterigomandibular
Hâmulo pterigóideo
Processo estilóide
Músculo estilofaríngeo
Músculo constritor superior da faringe
Músculo constritor médio da faringe
Ligamento estilo-hióideo
Membrana tireo-hióidea
Corno menor do osso hióide
Músculo constritor inferior da faringe
Cartilagem tireóidea
Músculo cricotireóideo
Arco tendíneo
Cartilagem cricóidea
Esôfago
Traquéia

Músculos da faringe (vista lateral)

Músculo levantador do véu palatino
Músculo tensor do véu palatino
Lâmina medial do processo pterigóide
Aponeurose palatina e tendão do músculo tensor do véu palatino
Músculo bucinador
Palato ósseo
Parte cartilagínea da tuba auditiva
Fáscia faringobasilar
Tubérculo faríngeo
Músculo salpingofaríngeo
Processo estilóide
Músculo estilofaríngeo
Músculo palatofaríngeo
Músculo constritor superior da faringe
Músculo constritor médio da faringe
Ligamento estilo-hióideo
Músculo hioglosso (seccionado)
Membrana tireo-hióidea
Rafe pterigo-mandibular
Músculo estilofaríngeo
Músculo constritor superior da faringe
Osso hióide
Músculo estiloglosso (seccionado)
Fáscia bucofaríngea
Cartilagem tireóidea
Músculo constritor inferior da faringe
Cartilagem cricóidea
Camada circular da túnica muscular do esôfago
Traquéia
Camada longitudinal da túnica muscular do esôfago

Secção sagital através da faringe

Tubérculo faríngeo
Fáscia faringobasilar
Processo estilóide
Músculo estilofaríngeo
Ligamento estilo-hióideo
Músculo constritor médio da faringe
Osso hióide (corno maior)
Rafe da faringe
Músculo constritor inferior da faringe
Camada circular da túnica muscular do esôfago
Camada longitudinal da túnica muscular do esôfago
Traquéia

Vista posterior

Septo nasal
Parte cartilagínea da tuba auditiva
Processo estilóide
Concha nasal média
Fáscia faringobasilar
Músculo salpingofaríngeo
Ligamento estilo-hióideo
Concha nasal inferior
Músculo estilofaríngeo
Músculo constritor superior da faringe
Músculo levantador do véu palatino
Músculo constritor médio da faringe
Músculo palatofaríngeo
Músculo da úvula
Papila circunvalada
Úvula palatina
Tonsila palatina
Epiglote
Raiz da língua (com a tonsila lingual)
"Prega faringoepiglótica"
Prega ariepiglótica
Incisura inter-aritenóidea
Músculo aritenóideo transverso
Músculo aritenóideo oblíquo
Músculo constritor inferior da faringe
Músculo cricoaritenóideo posterior
Camada circular da túnica muscular do esôfago
Camada longitudinal da túnica muscular do esôfago
Traquéia

Músculos da parede posterior da faringe

Parte nasal da faringe – sensitivo [V2]
Parte oral da faringe – sensitivo [IX]
Parte laríngea da faringe – sensitivo [X]

Fossa pterigopalatina
Nervo maxilar [V2]
Nervo faríngeo de [V2] (no sulco palatovaginal)
Músculo constritor superior da faringe
Nervo glossofaríngeo [IX]
Gânglio inferior do nervo vago [X]
Ramo faríngeo do nervo vago
Nervo laríngeo superior
Ramo faríngeo do nervo glossofaríngeo
Músculo constritor médio da faringe
Ramo interno do nervo laríngeo superior
Ramo externo do nervo laríngeo superior
Músculo constritor inferior da faringe
Nervo vago [X]

Inervação da faringe (vista lateral)

Forame jugular
Nervo glossofaríngeo [IX]
Músculo constritor superior da faringe
Veia jugular interna
Artéria carótida interna
Gânglio inferior do nervo vago [X]
Ramo faríngeo do nervo vago
Músculo estilofaríngeo
Artéria carótida externa
Ramo faríngeo do nervo glossofaríngeo
Nervo laríngeo superior
Músculo constritor médio da faringe
Músculo constritor inferior da faringe
Glândula tireóide
Nervo vago [X]
Artéria carótida comum
Nervo laríngeo recorrente direito
Nervo laríngeo recorrente esquerdo

Vista posterior

Ramo faríngeo da artéria maxilar (por transparência, suprindo a região superior da parte nasal da faringe)
Artéria e veia temporais superficiais
Artéria maxilar
Músculo constritor superior da faringe
Artéria palatina ascendente
Ramo tonsilar
Artéria facial
Veia jugular interna
Artéria carótida interna
Artéria faríngea ascendente
Artéria lingual
Artéria carótida externa
Artéria e veia laríngeas superiores
Músculo constritor inferior da faringe
Músculo constritor médio da faringe
Artéria laríngea inferior
Ramo faríngeo da artéria tireóidea inferior
Artéria tireóidea inferior
Artéria subclávia esquerda
Artéria carótida comum
Tronco tireocervical
Veia subclávia esquerda

Suprimento arterial da faringe

Plexo pterigóideo
Veia facial profunda
Veia maxilar
Veia temporal superficial
Veia jugular externa
Artéria e veia faciais
Artéria e veia alveolares inferiores
Veia retromandibular
Veia jugular interna

Drenagem venosa da faringe

Osso hióide
Membrana tireo-hióidea
Cartilagem tireóidea
Posição da linha oblíqua na cartilagem tireóidea
Traquéia
Incisura tireóidea superior
Proeminência laríngea
Ligamento cricotireóideo mediano
Arco da cartilagem cricóidea

Anatomia de superfície da laringe

Ligamento tireo-hióideo lateral
Cartilagem tritícea
Ligamento hioepiglótico
Osso hióide
Cartilagem epiglótica
Ligamento tireo-hióideo lateral
Abertura para o ramo interno do nervo laríngeo superior e artéria associada
Corno superior da cartilagem tireóidea
Membrana tireo-hióidea
Ligamento tireo-hióideo mediano
Tubérculo tireóideo superior
Linha oblíqua
Cartilagem tireóidea
Tubérculo tireóideo inferior
Corno inferior da cartilagem tireóidea
Ligamento cricotireóideo mediano
Articulação cricotireóidea
Cartilagem cricóidea
Ligamento cricotireóideo lateral
Traquéia
Ligamento cricotraqueal

Características externas da laringe (vista ântero-lateral)

Osso hióide
Ligamento hioepiglótico
Cartilagem epiglótica
Membrana quadrangular (esquerda)
Cartilagem cuneiforme
Cartilagem corniculada
Cartilagem aritenóidea
Ligamento vestibular (seccionado)
Ligamento vocal
Cartilagem tireóidea (seccionada)
Face articular tireóidea (para o corno inferior da cartilagem tireóidea)
Cartilagem cricóidea
Ligamento cricotireóideo mediano
Cone elástico

Membrana quadrangular (vista ântero-lateral)

Face posterior da cartilagem epiglótica
Tubérculo epiglótico

Cartilagem epiglótica (vista posterior)

Medial
Face articular para a cartilagem corniculada
Processo vocal
Face articular para a cartilagem cricóidea
Colículo
Ápice da cartilagem aritenóidea
Fóvea triangular (para fixação do ligamento vestibular)
Processo vocal
Fóvea oblonga (para fixação do músculo vocal)
Lateral
Processo muscular

Cartilagens aritenóideas

Cartilagem epiglótica
Cartilagens cuneiformes
Cartilagens corniculadas
Cartilagens aritenóideas
Ligamento tireoepiglótico
Cartilagem tireóidea (seccionada)
Cartilagem cricóidea
Face articular tireóidea (para o corno inferior da cartilagem tireóidea)

Cartilagens da laringe (vista ântero-lateral)

Incisura tireóidea
Cartilagem epiglótica
Ligamento vocal
Cone elástico
Corno inferior
Corno superior
Membrana quadrangular
Cartilagem tireóidea
Ligamento vestibular
Processo vocal da cartilagem aritenóidea
Cartilagem cuneiforme
Cartilagem corniculada
Processo muscular da cartilagem aritenóidea

Membrana fibroelástica da laringe (vista superior)

Osso hióide
Epiglote (com a cartilagem, por transparência)
Membrana tireo-hióidea
Prega ariepiglótica
Margem seccionada da túnica mucosa
Ádito da laringe
Tubérculo cuneiforme (com a cartilagem, por transparência)
Margem seccionada da lâmina direita da cartilagem tireóidea
Tubérculo corniculado
Sáculo da laringe
Ventrículo da laringe
Cavidade infraglótica
Processo muscular da cartilagem aritenóidea
Incisura inter-aritenóidea
Cartilagem cricóidea

Vista póstero-lateral

Epiglote
Prega ariepiglótica
Sáculo da laringe (por transparência)
Prega vestibular (túnica mucosa recobrindo o ligamento vestibular)
Ventrículo da laringe
Cavidade infraglótica
Prega vocal (túnica mucosa recobrindo o ligamento vocal)
Arco da cartilagem cricóidea
Traquéia

Vista posterior (seccionada)

Epiglote
Prega vocal
Prega vestibular
Prega ariepiglótica
Tubérculo cuneiforme
Rima da glote
Rima do vestíbulo
Prega inter-aritenóidea
Tubérculo corniculado

Anterior

Língua
Epiglote
Prega ariepiglótica
Tubérculo cuneiforme
Tubérculo corniculado
Prega vestibular
Prega vocal
Rima da glote (abertura entre as pregas vocais)

Posterior

Vestíbulo da laringe
Ádito da laringe
Recesso piriforme

Vistas superiores através do ádito da laringe

Osso hióide
Cartilagem epiglótica
Membrana tireo-hióidea
Prega ariepiglótica
Corno superior da cartilagem tireóidea
Ádito da laringe
Ligamento hioepiglótico
Tubérculo cuneiforme
Tubérculo corniculado
Prega vestibular
Ventrículo da laringe
Prega vocal
Lâmina da cartilagem cricóidea
Cavidade infraglótica
Traquéia

Secção sagital expondo a cavidade da laringe

Cartilagem epiglótica
Osso hióide
Membrana tireo-hióidea
Corno superior
Ligamento tireo-hióideo lateral
Cartilagem tireóidea
Músculo aritenóideo transverso
Músculo cricoaritenóideo posterior
Cartilagem cricóidea
Traquéia
Músculo cricotireóideo
Parte reta
Parte oblíqua

Vista lateral

Osso hióide
Epiglote
Margem seccionada da túnica mucosa
Tubérculo cuneiforme
Tubérculo corniculado
Músculo aritenóideo transverso
Músculo aritenóideo oblíquo
Parte ariepiglótica do músculo aritenóideo oblíquo
Sáculo da laringe
Parte tireoepiglótica do músculo tireoaritenóideo
Músculo cricoaritenóideo posterior
Músculo tireoaritenóideo
Músculo cricoaritenóideo lateral

Vista póstero-lateral

Músculo tireoaritenóideo
Ligamento vocal
Músculo cricotireóideo
Parte reta
Parte oblíqua
Cone elástico
Músculo cricoaritenóideo lateral
Músculo aritenóideo transverso
Músculo aritenóideo oblíquo
Cartilagem tireóidea
Músculo vocal
Parte ariepiglótica do músculo aritenóideo oblíquo
Processo vocal da cartilagem aritenóidea
Corno superior
Processo muscular da cartilagem aritenóidea
Músculo cricoaritenóideo posterior

Vista superior

Anatomia de superfície da glândula tireóide

Vista anterior

Vista posterior

Artéria carótida externa esquerda
Veia jugular interna esquerda
Veia tireóidea superior
Osso hióide
Artéria carótida interna esquerda
Membrana tireo-hióidea
Veia tireóidea superior
Músculo tireo-hióideo
Artéria tireóidea superior
Artéria tireóidea superior
Cartilagem tireóidea
Nervo vago direito
Músculo cricotireóideo
Ligamento cricotireóideo mediano
Lobo direito da glândula tireóide
Lobo esquerdo da glândula tireóide
Veia tireóidea média
Veia tireóidea média
Traquéia
Artéria tireóidea inferior
Artéria cervical transversa
Nervo laríngeo recorrente esquerdo
Artéria supra-escapular
Nervo laríngeo recorrente direito
Tronco tireocervical
Artéria subclávia direita
Artéria subclávia esquerda
Veias tireóideas inferiores
Nervo vago esquerdo
Veia braquiocefálica direita
Veia braquiocefálica esquerda
Arco da aorta
Veia cava superior
Nervo laríngeo recorrente esquerdo

Vista anterior

Artéria carótida externa esquerda
Artéria carótida interna esquerda
Nervo vago esquerdo
Artéria tireóidea superior esquerda
Artéria carótida comum esquerda
Parte cricofaríngea do m. constritor inferior da faringe
Glândula paratireóide superior
Veia jugular interna esquerda
Lobo esquerdo da glândula tireóide
Artéria laríngea inferior
Glândula paratireóide inferior
Tronco tireocervical
Artéria subclávia esquerda
Traquéia
Nervo laríngeo recorrente esquerdo
Arco da aorta
Parte torácica da aorta

Artéria carótida externa direita
Músculo constritor médio da faringe
Nervo vago direito
Corno maior do osso hióide
Artéria carótida interna direita
Rafe da faringe
Músculo constritor inferior da faringe
Veia jugular interna direita
Artéria carótida comum direita
Esôfago, parte cervical
Lobo direito da glândula tireóide
Artéria laríngea inferior
Artéria tireóidea inferior direita
Artéria cervical transversa
Artéria supra-escapular
Artéria subclávia direita
Nervo laríngeo recorrente direito
Veia subclávia direita
Veia braquiocefálica direita
Veia cava superior
Parte ascendente da aorta

Vista posterior

Osso frontal
Processo frontal da maxila
Osso nasal
Processo lateral da cartilagem do septo nasal
Margem superior da cartilagem do septo nasal
Cartilagem nasal acessória
Cartilagem alar maior
Espinha nasal anterior
Cartilagens alares menores
Tecido fibroadiposo

Nariz (estrutura externa)

Ramo lateral da cartilagem alar maior
Ramo medial da cartilagem alar maior
Cartilagem do septo nasal
Espinha nasal anterior

Vista inferior

Células etmoidais
Seios frontais
Seios maxilares

Seios paranasais (vista anterior)

Seio esfenoidal
Células etmoidais
Seio frontal
Raiz do nariz
Dorso do nariz
Asa do nariz
Ápice do nariz
Narinas
Septo nasal
Seio maxilar

Anatomia de superfície do nariz e dos seios paranasais (vista lateral)

Concha nasal superior
Crista etmoidal
Cavidade do crânio
Seio frontal
Órbita
Células etmoidais
Bolha etmoidal
Concha nasal média
Processo uncinado do osso etmóide
Cavidades nasais
Seio maxilar
Concha nasal inferior
Vômer
Processo palatino da maxila
Cavidade oral

Secção frontal (coronal) através das cavidades nasais (vista posterior)

Processo frontal da maxila
Osso frontal
Osso lacrimal
Lâmina cribriforme
Seio frontal
Concha nasal superior
Recesso esfenoetmoidal
Osso nasal
Concha nasal média
Parte basilar do osso occipital
Forame esfenopalatino
Lâminas medial e lateral do processo pterigóide
Hâmulo pterigóideo (osso esfenóide)
Lâmina perpendicular do osso palatino
Processo uncinado do osso etmóide
Canal incisivo
Cartilagem alar menor
Concha nasal inferior
Processo lateral da cartilagem do septo nasal
Processo palatino da maxila
Cartilagem alar maior

Ossos da parede lateral

Espinha nasal do osso frontal
Crista etmoidal
Osso frontal
Lâmina perpendicular do osso etmóide
Seio esfenoidal
Fossa hipofisial
Osso nasal
Vômer
Crista nasal do osso palatino
Forame palatino menor
Forame palatino maior
Lâmina horizontal do osso palatino
Crista nasal da maxila
"Crista incisiva" da maxila
Cartilagem do septo nasal

Ossos da parede medial

Infundíbulo etmoidal (com abertura inferior do ducto frontonasal)
Bolha etmoidal
Abertura das células etmoidais médias
Concha nasal superior (seccionada)
Abertura das células etmoidais posteriores
Abertura do seio esfenoidal
Forame esfenopalatino
Abertura superior do ducto frontonasal
Processo uncinado do osso etmóide
Abertura do ducto lacrimonasal
Concha nasal inferior (seccionada)
Concha nasal média (seccionada)
Forame palatino menor
Forame palatino maior
Processo etmoidal da concha nasal inferior
Hiato semilunar
Abertura entre a bolha etmoidal e o processo uncinado do osso etmóide (abertura do seio maxilar)

Conchas nasais seccionadas

Processo vaginal (osso esfenóide)
Asa do vômer
Vômer
Lâmina medial do processo pterigóide do osso esfenóide
Sulco/canal palatovaginal
Processo esfenoidal do osso palatino
Processo piramidal do osso palatino
Cóanos
Hâmulo pterigóideo (osso esfenóide)
Lâmina horizontal do osso palatino
Lâmina lateral do processo pterigóide do osso esfenóide

Vista posterior

Concha nasal média
Meato nasal médio
Concha nasal superior
Meato nasal superior
Recesso esfenoetmoidal
Seio frontal
Limiar do nariz
Tonsila faríngea
Vestíbulo do nariz
Processo palatino da maxila
Meato nasal inferior
Concha nasal inferior
Lâmina horizontal do osso palatino
Óstio faríngeo da tuba auditiva

Parede lateral da cavidade nasal

Seio frontal
Crista etmoidal
Septo nasal
Seio esfenoidal
Cóanos
Recesso faríngeo na parte nasal da faringe
Palato mole
Espinha nasal anterior (maxila)
Toro tubário

Parede medial da cavidade nasal

Concha nasal média (seccionada)
Concha nasal superior (seccionada)
Abertura das células etmoidais posteriores na parede lateral do meato nasal superior
Abertura do seio esfenoidal no recesso esfenoetmoidal
Seio frontal
Seio esfenoidal
Infundíbulo etmoidal (com abertura do ducto frontonasal que drena o seio frontal e as células etmoidais anteriores)
Abertura das células etmoidais médias
Hiato semilunar
Concha nasal inferior (seccionada)
Abertura do ducto lacrimonasal
Abertura do seio maxilar no soalho do hiato semilunar

Parede lateral da cavidade nasal, conchas nasais seccionadas

A

Veia nasal no forame cego

Artéria e veia etmoidais anteriores

Artéria e veia etmoidais posteriores

Forame esfenopalatino

Artéria e veia esfenopalatinas

Ramo nasal anterior lateral da artéria etmoidal anterior

Artéria maxilar

Artérias e veias nasais posteriores laterais, ramos da artéria e veia esfenopalatinas

Artéria e veia palatinas maiores

Ramos alares dos ramos nasais laterais da artéria e veia faciais

B

Ramos septais anteriores da artéria e veia etmoidais anteriores

Ramos septais da artéria e veia etmoidais posteriores

Ramos septais posteriores da artéria e veia esfenopalatinas

Parte terminal da artéria e veia palatinas maiores

Ramos do septo nasal da artéria e veia labiais superiores

Vascularização das cavidades nasais
A. Parede lateral da cavidade nasal direita. B. Parede medial da cavidade nasal direita

A

Nervo etmoidal anterior

Bulbo olfatório

Filamentos do nervo olfatório [I]

Forame esfenopalatino

Ramo nasal externo do nervo etmoidal anterior

Ramos nasais posteriores súpero-laterais do nervo maxilar [V2]

Ramos nasais póstero-inferiores do nervo palatino maior [V2]

Ramo nasal interno do nervo infra-orbital

Ramo nasal do ramo alveolar superior anterior

B

Ramo nasal interno do nervo etmoidal anterior

Nervo olfatório [I] (filamentos)

Nervo nasopalatino

Inervação das cavidades nasais
A. Parede lateral da cavidade nasal direita. B. Parede medial da cavidade nasal direita

Lâmina cribriforme
Cavidade do crânio
Órbita
Células etmoidais
Seio maxilar
Cavidade oral
Cavidades nasais

Vista anterior do seio maxilar e das células etmoidais.
Imagem de tomografia computadorizada, no plano frontal (coronal)

Seio maxilar
Concha nasal superior
Células etmoidais
Cavidade do crânio
Meato nasal superior
Meato nasal médio
Meato nasal inferior
Cavidade oral
Concha nasal média
Concha nasal inferior
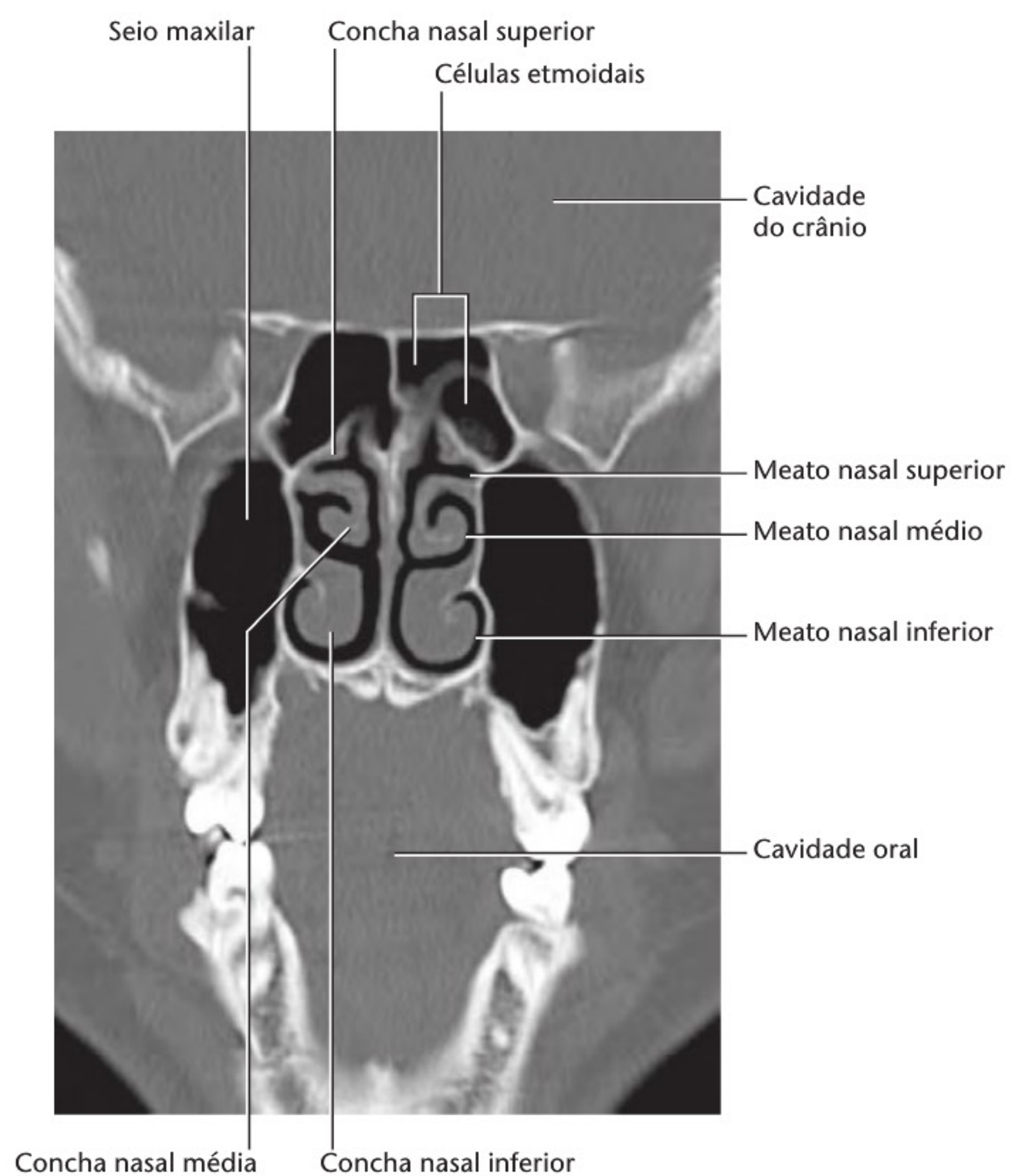
Vista anterior das cavidades nasais mostrando as relações das várias estruturas.
Imagem de tomografia computadorizada, no plano frontal (coronal)

Cavidade do crânio
Seio frontal
Cavidades nasais
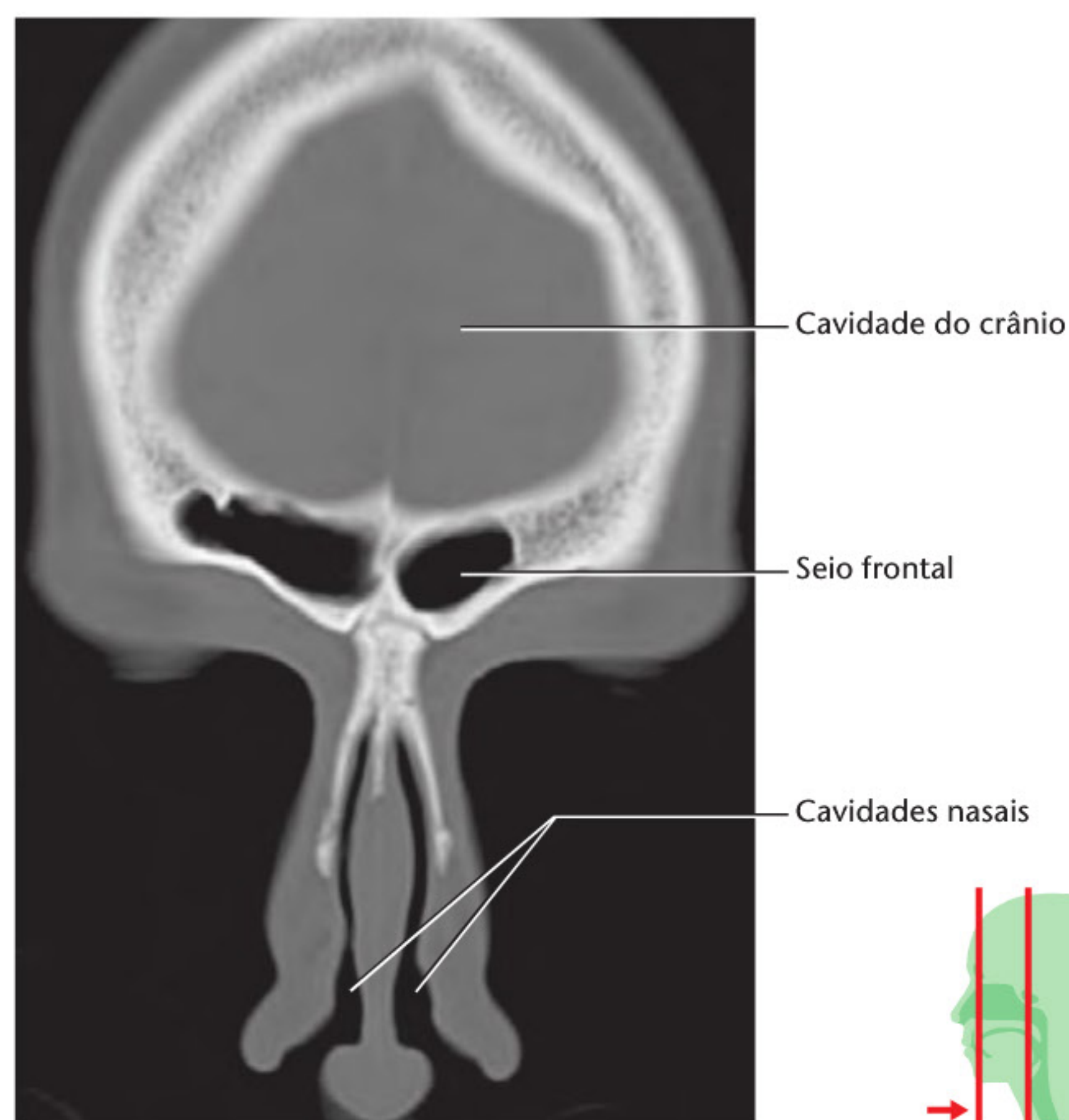
Vista anterior dos seios frontais.
Imagem de tomografia computadorizada, no plano frontal (coronal)

Cavidade do crânio
Seios esfenoidais
Cavidades nasais
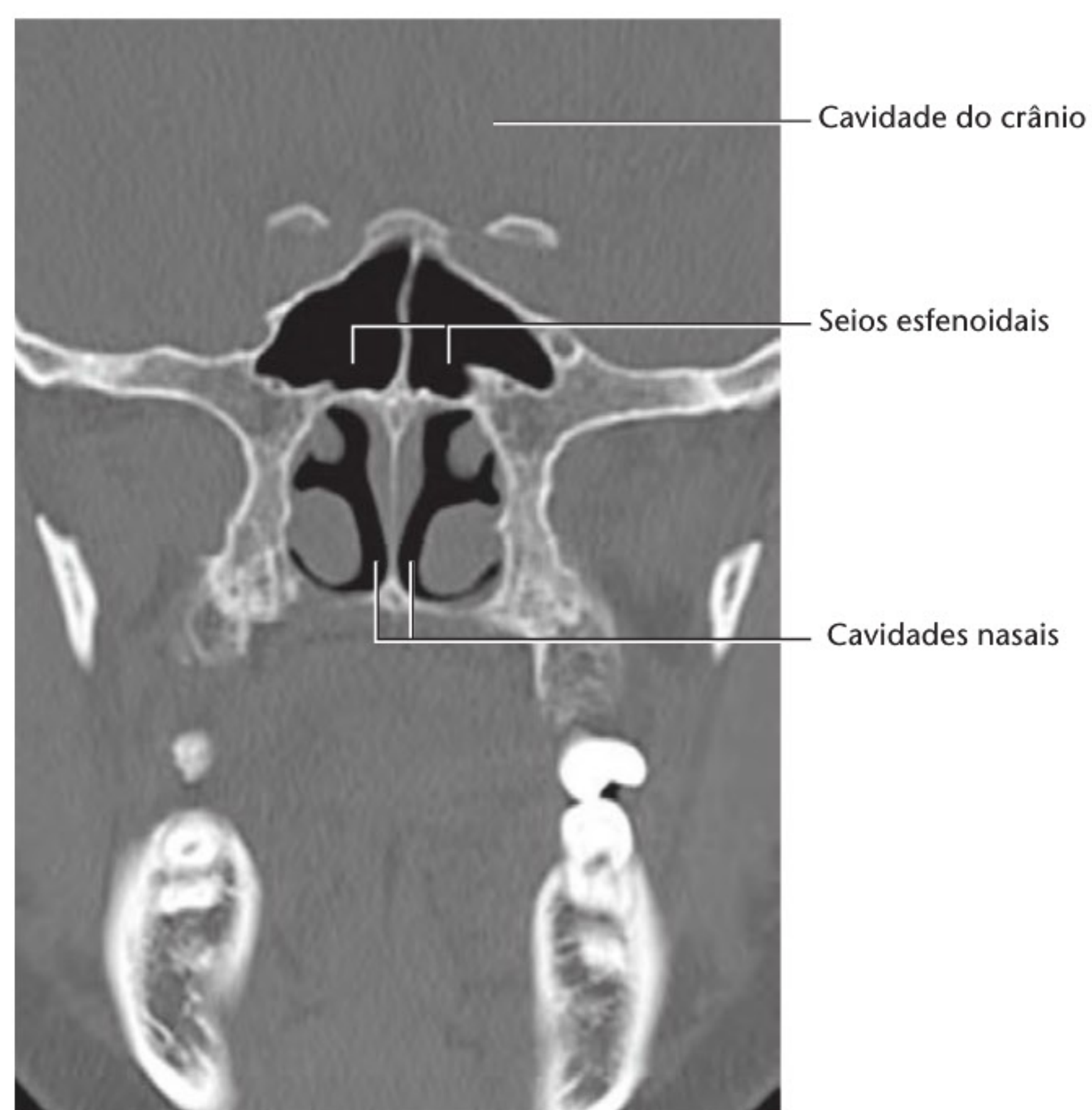
Vista anterior dos seios esfenoidais mostrando suas relações com as cavidades nasais.
Imagem de tomografia computadorizada, no plano frontal (coronal)

Cavidades nasais
Seio maxilar
Seio maxilar
Parte nasal da faringe

Secção transversal mostrando as relações entre as cavidades nasais, parte nasal da faringe e seios maxilares.
Imagem de tomografia computadorizada, no plano transversal (axial)

Cavidades nasais
Órbita
Células etmoidais
Fissura orbital superior
Seio esfenoidal
Cavidade do crânio
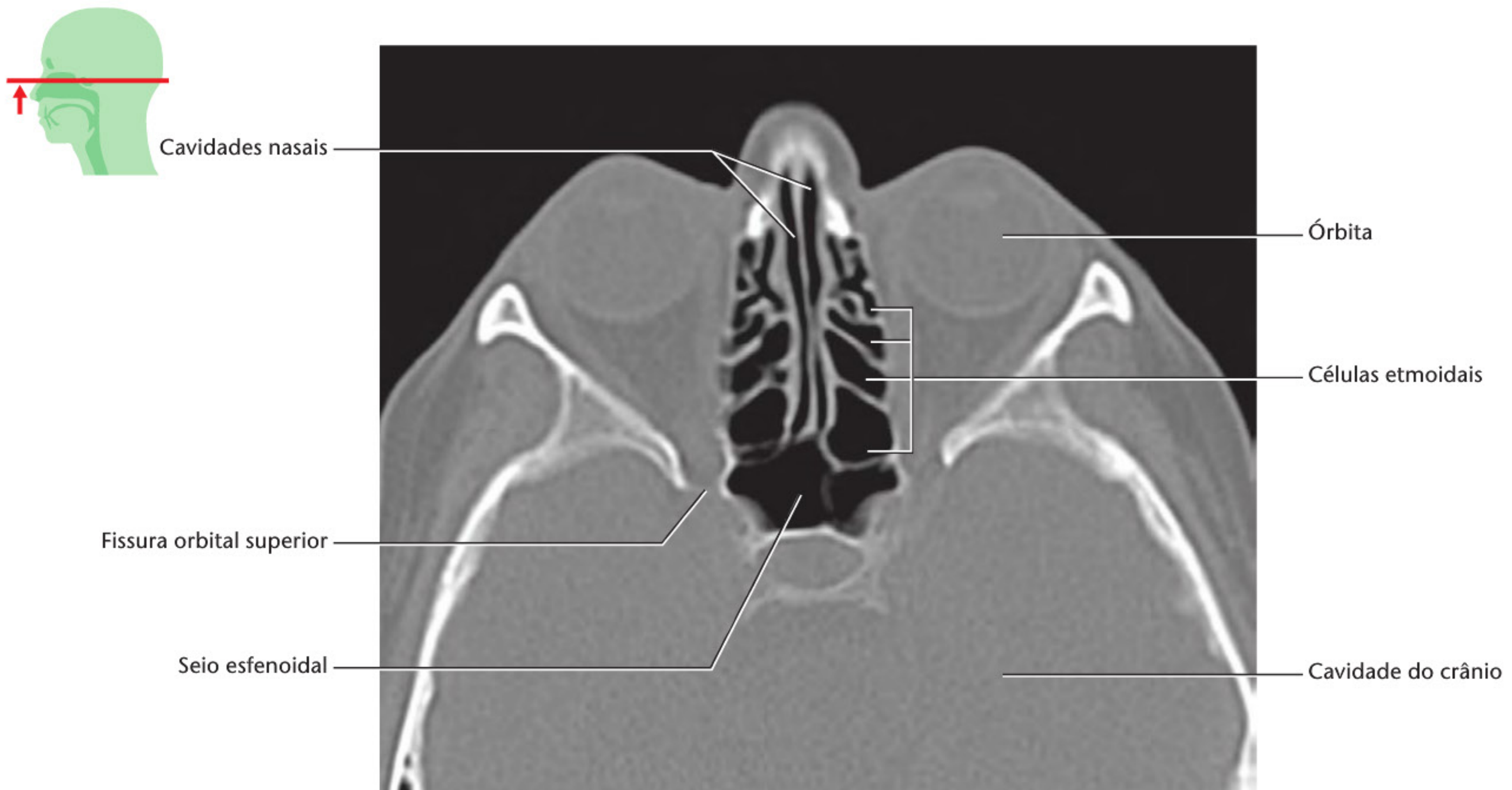
Secção transversal mostrando as células etmoidais e o seio esfenoidal, e a relação destas estruturas com a órbita.
Imagem de tomografia computadorizada, no plano transveral (axial)
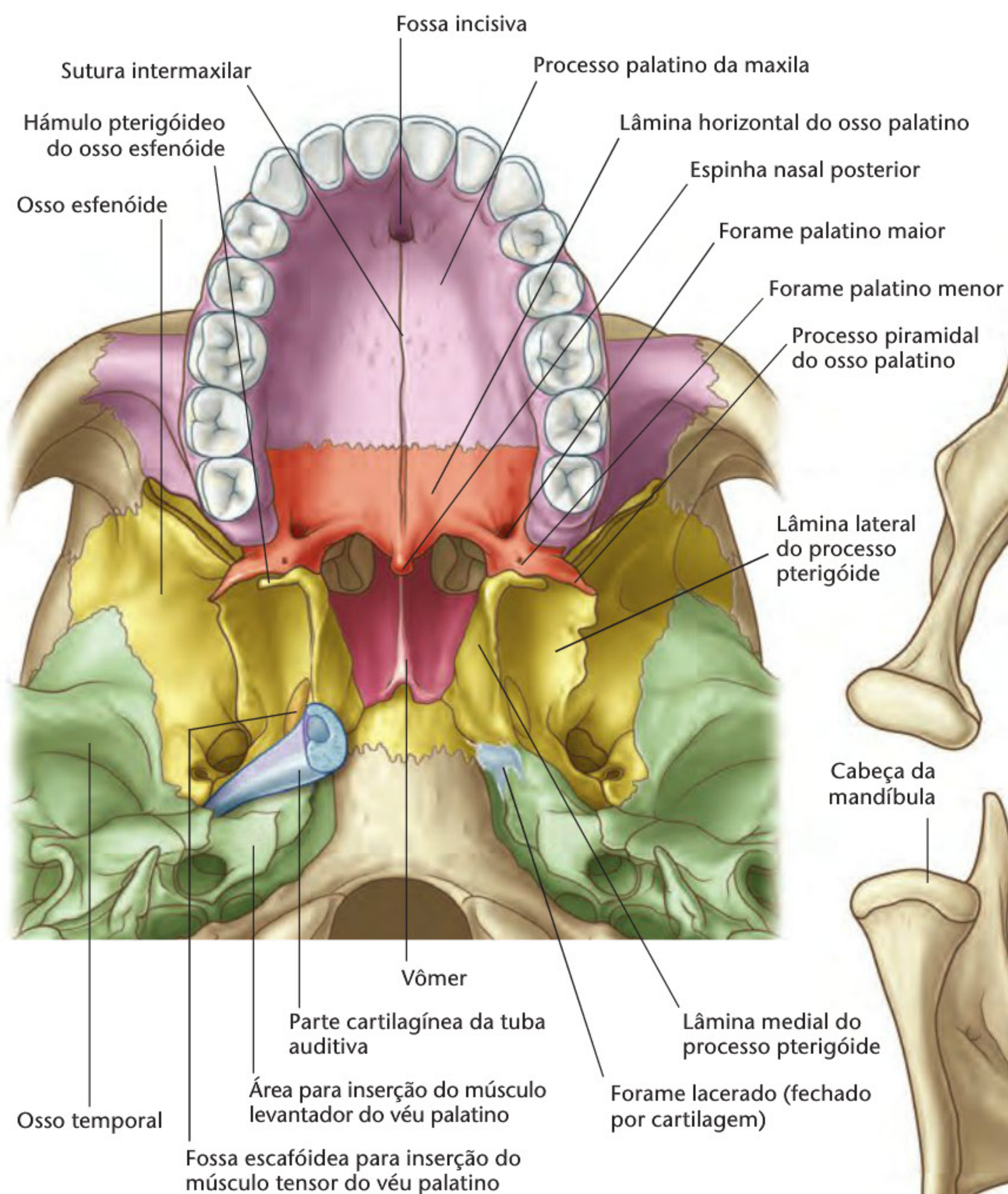
Vista inferior do crânio
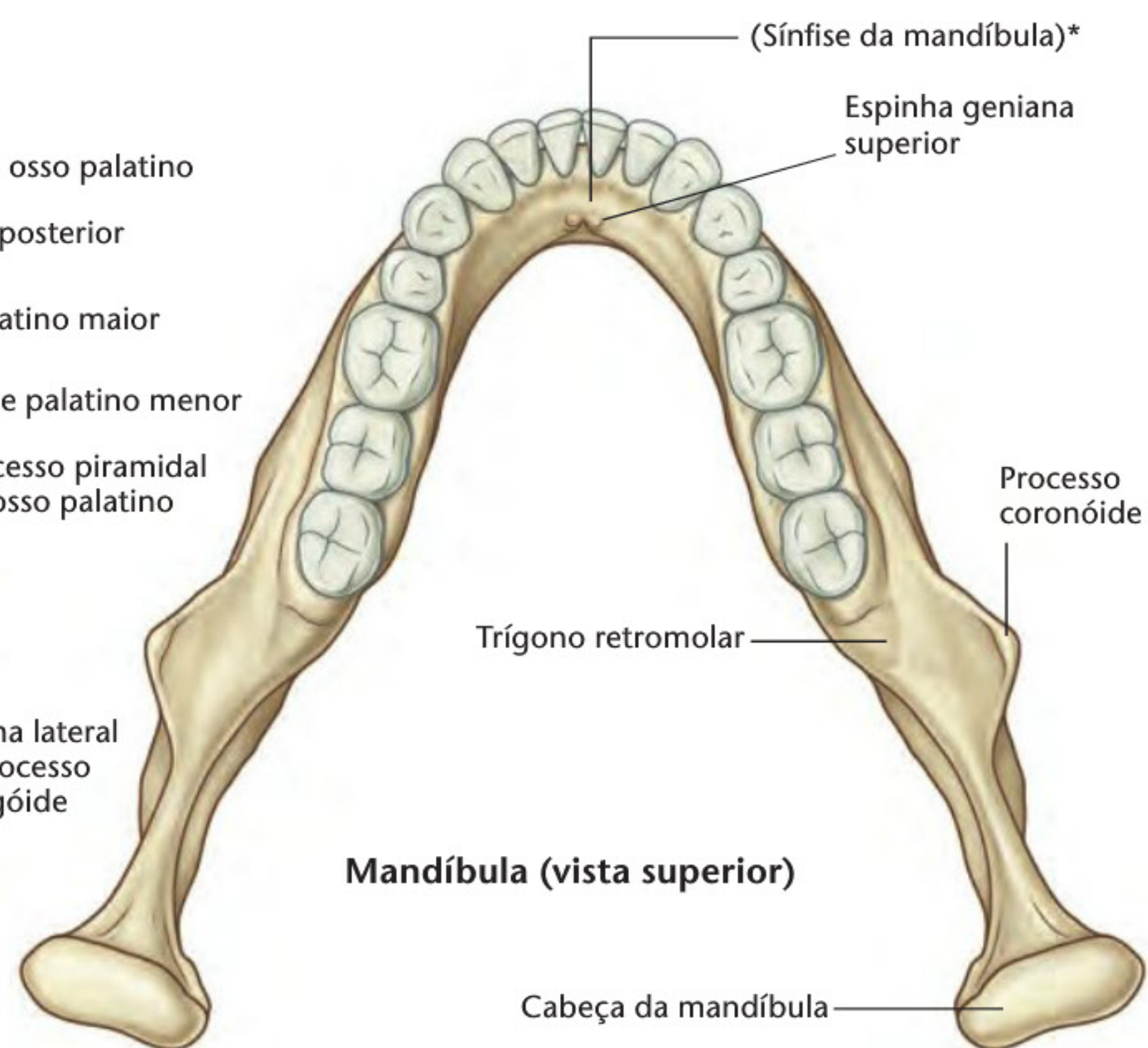
Mandíbula (vista superior)
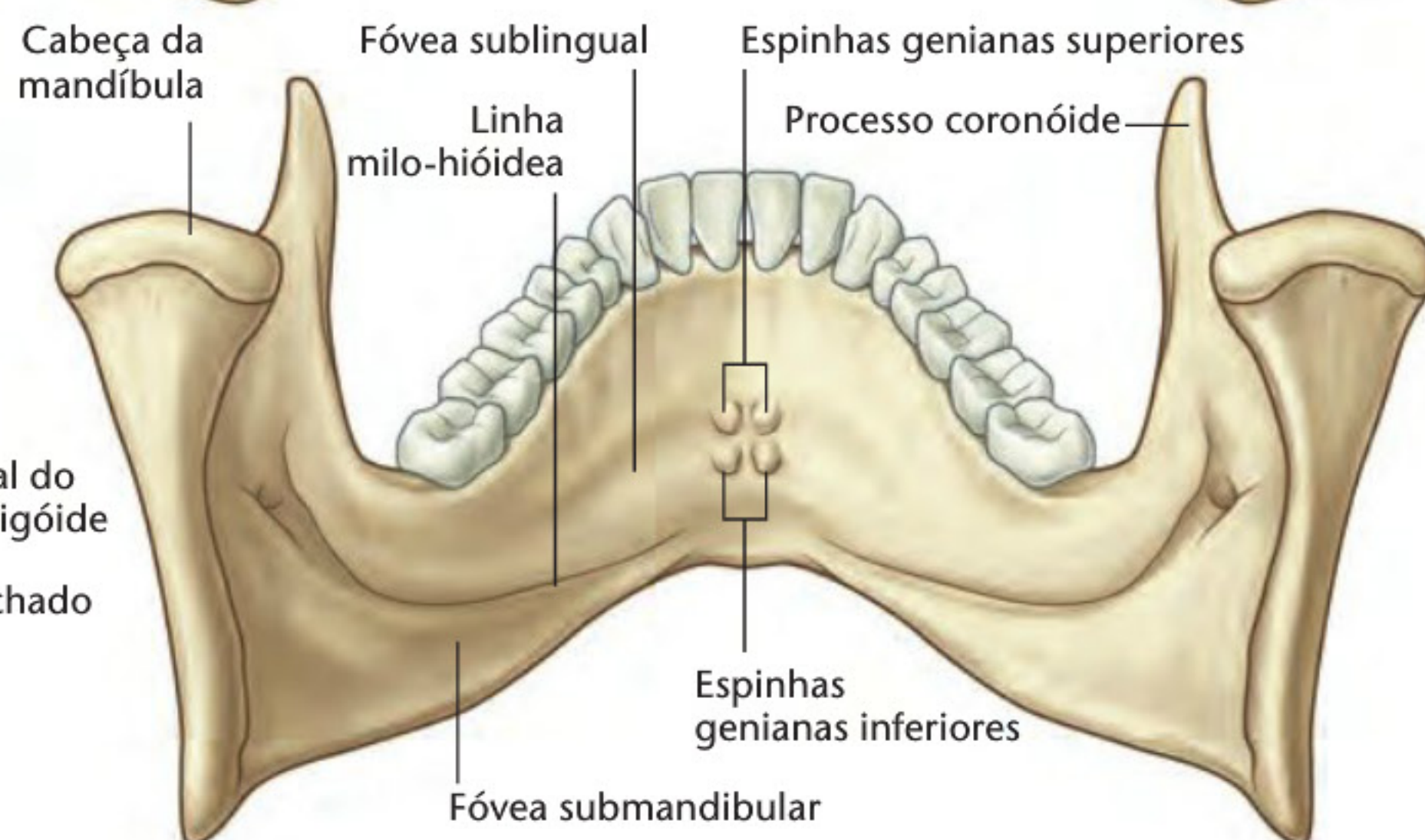
Mandíbula (vista posterior)
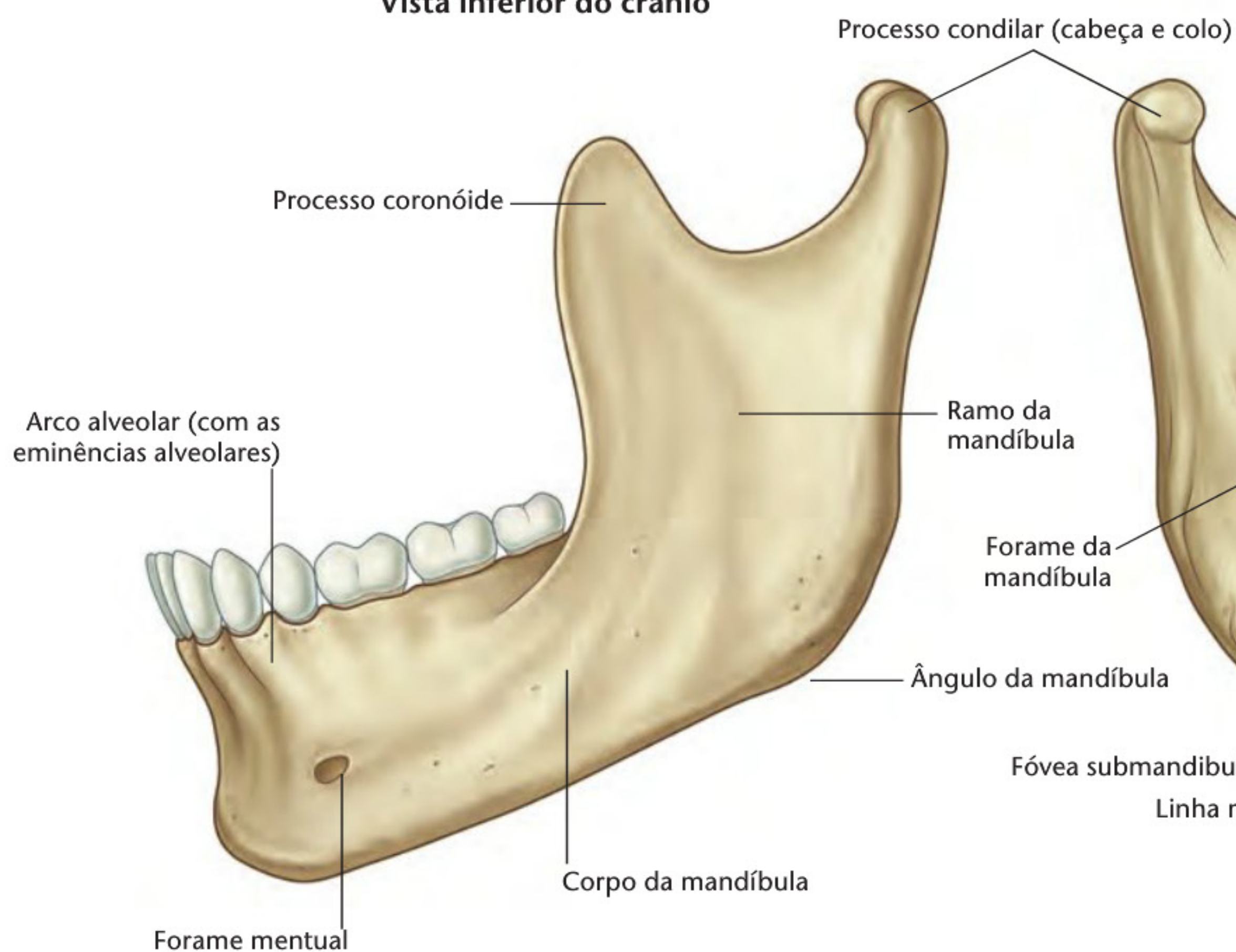
Mandíbula (vista lateral)
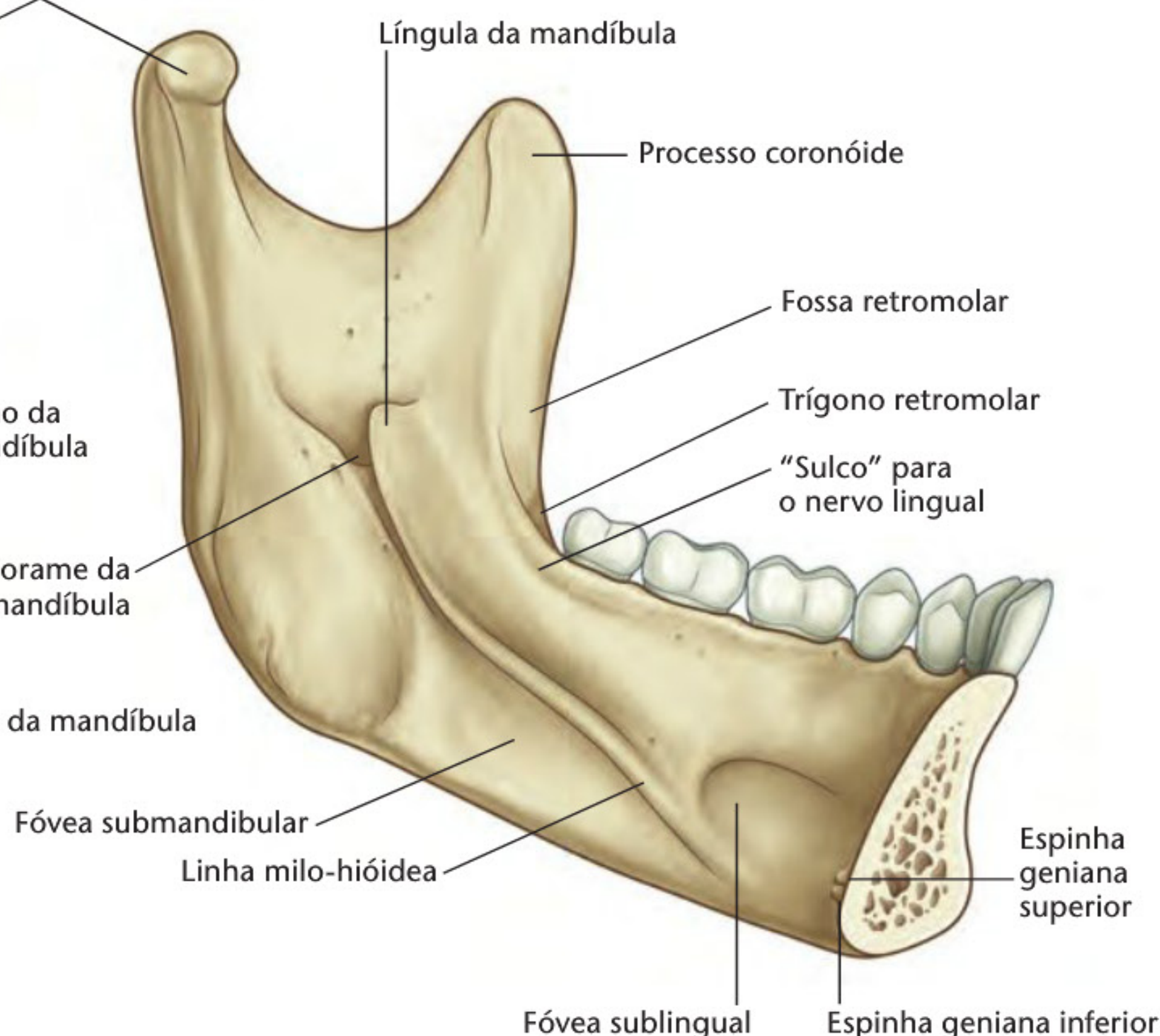
Mandíbula (vista medial)

*N.R.C.: Em realidade, a sínfise da mandíbula é uma articulação cartilagínea que está presente durante o desenvolvimento da mandíbula até, geralmente, o segundo ano de vida. Após esse período sofre sinostose e desaparece, tornando a mandíbula um osso único.
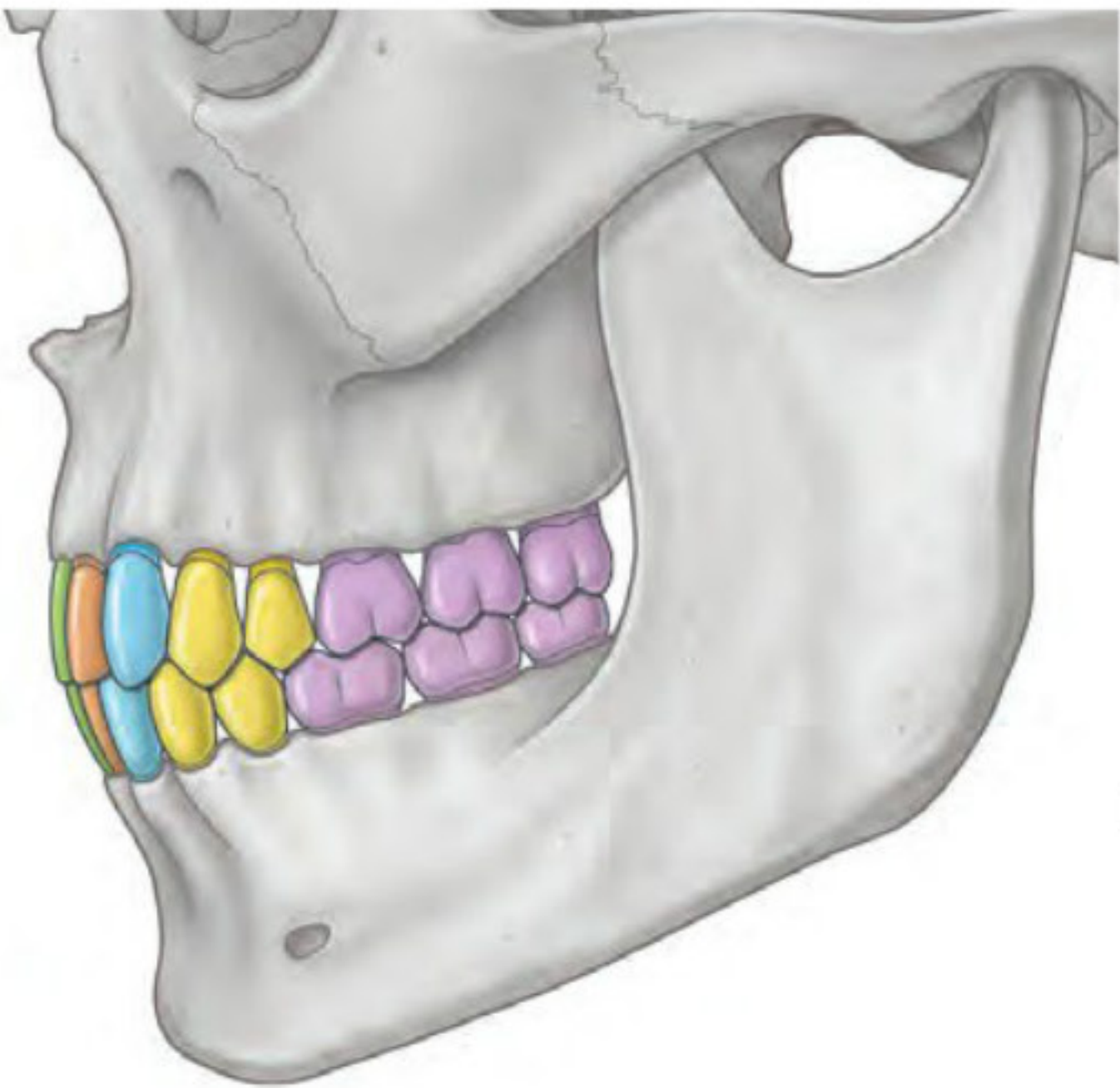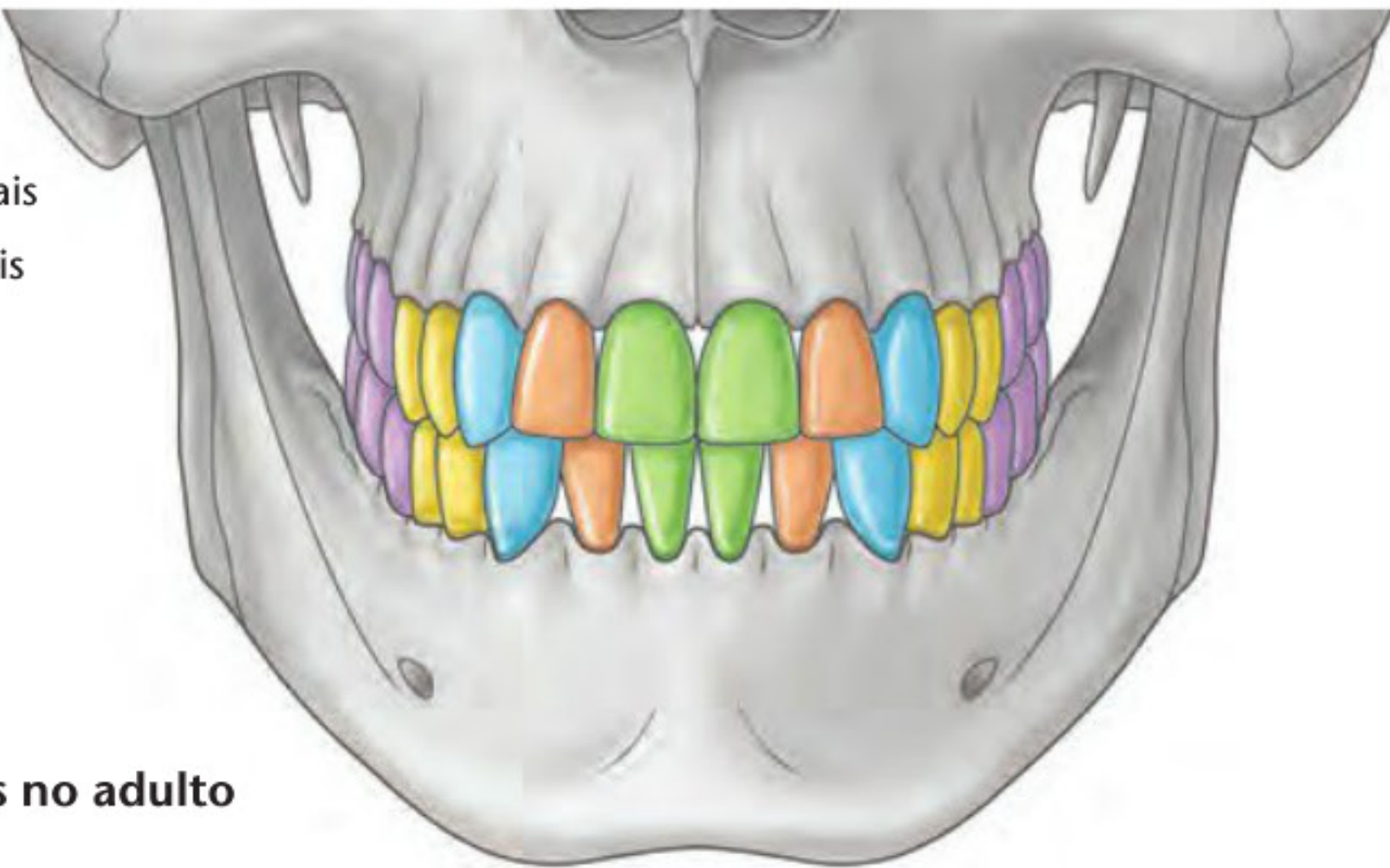
Dentes permanentes no adulto
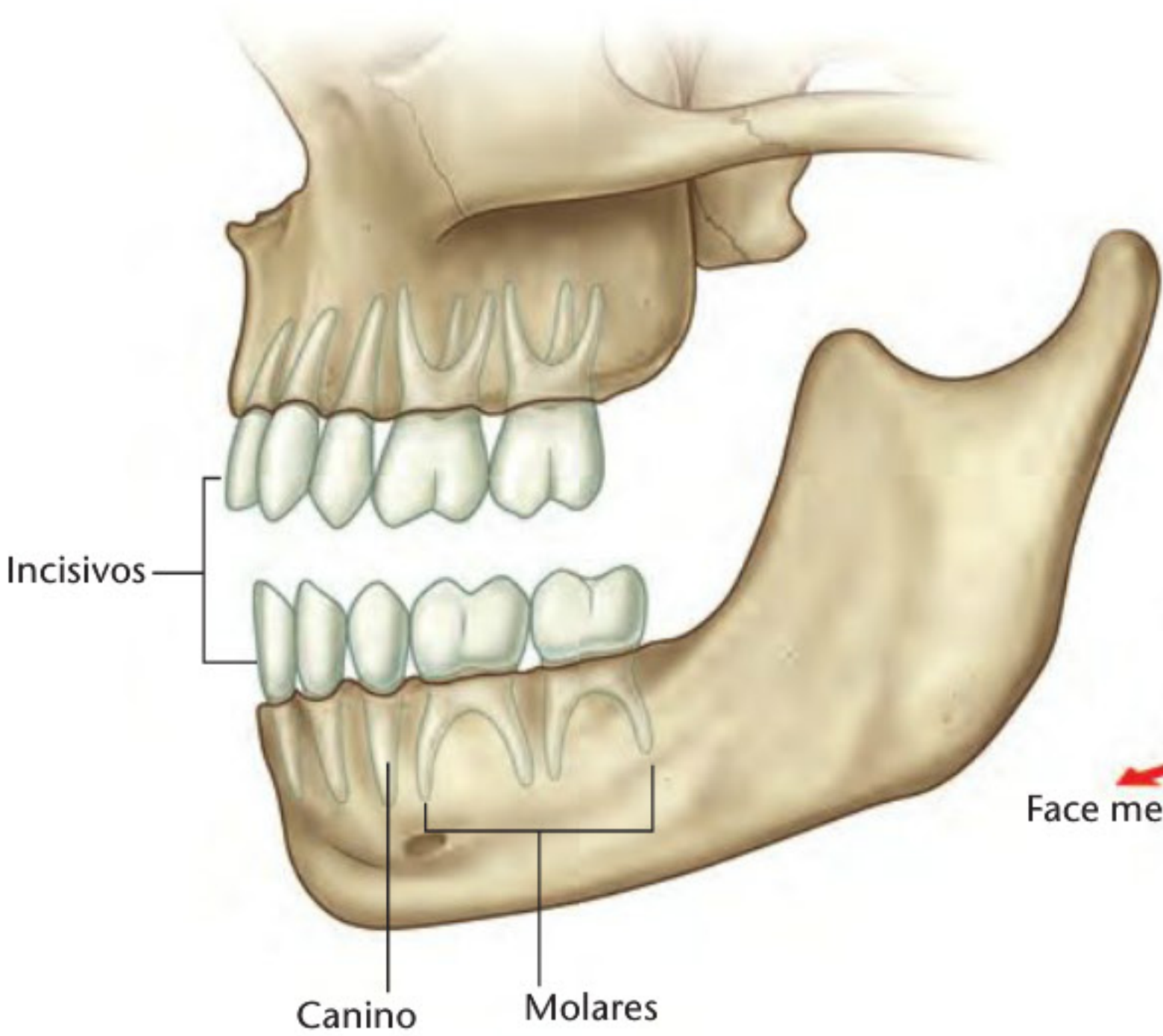
Dentes decíduos
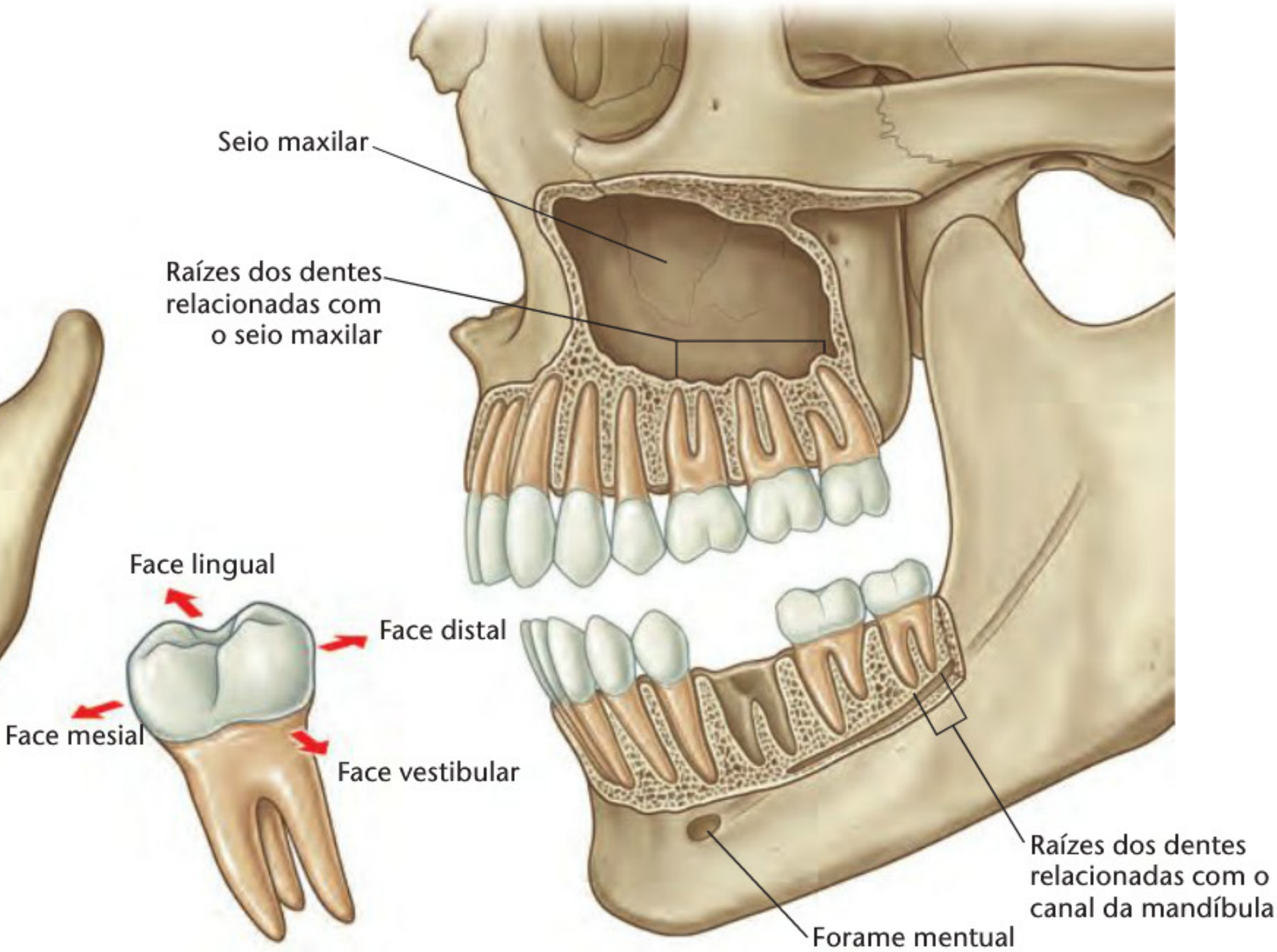
Dentes permanentes do adulto com raízes expostas, primeiro molar extraído
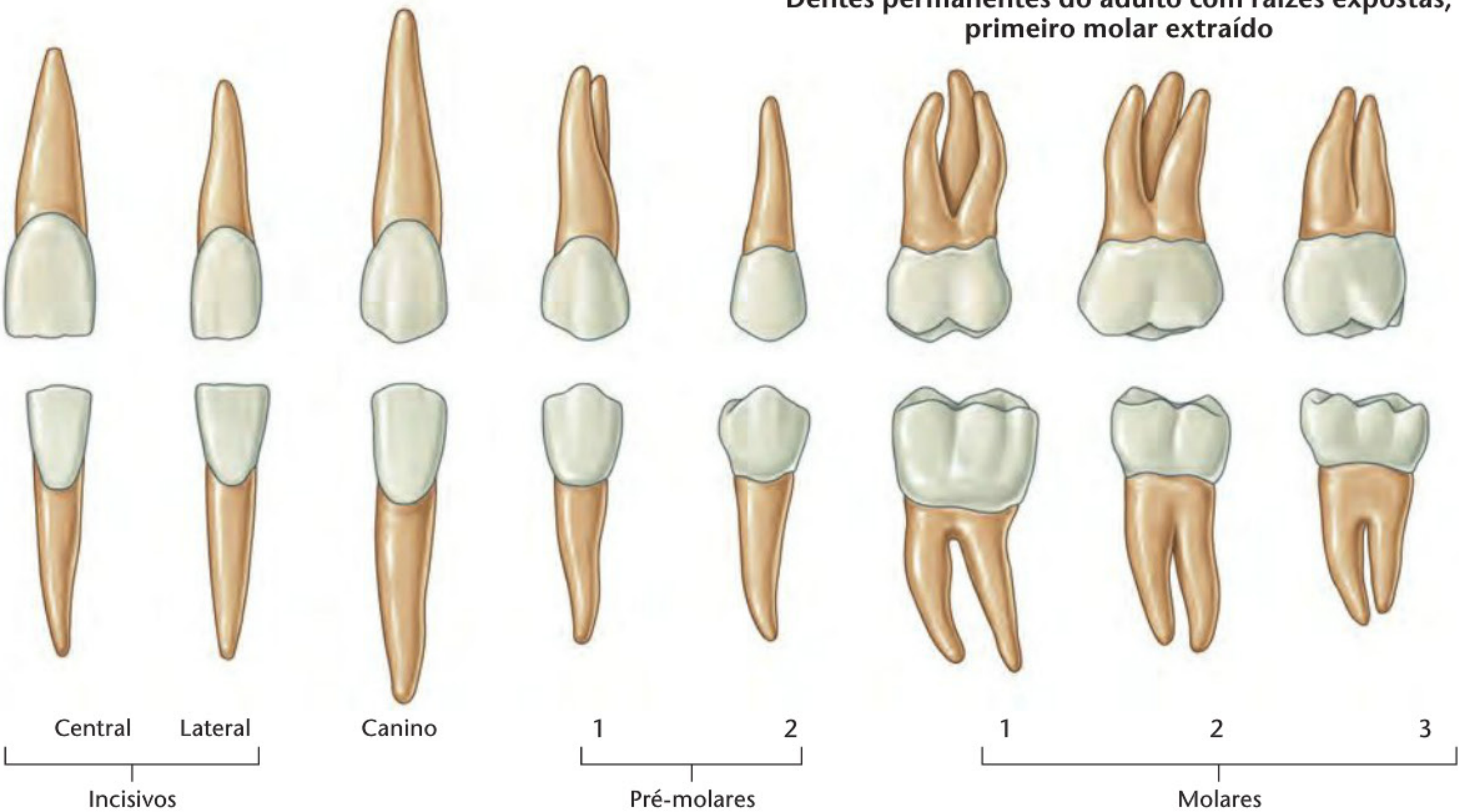
Dentes permanentes maxilares (superiores) e mandibulares (inferiores) no adulto (vista vestibular)

Osso zigomático
Processo zigomático do osso temporal
Maxila
CI
Corpo da mandíbula
Osso hióide
CIV

Vista do lado esquerdo da face mostrando as estruturas craniofaciais, incluindo os dentes.
Imagem de tomografia computadorizada utilizando a tecnologia CBCT (Cone Beam Computerized Tomography) vista no modo MIP (Maximum Intensity Projection), que combina uma vista radiográfica com uma vista das estruturas superficiais.

Osso zigomático
CI
Maxila
CIV
Osso hióide
Corpo da mandíbula
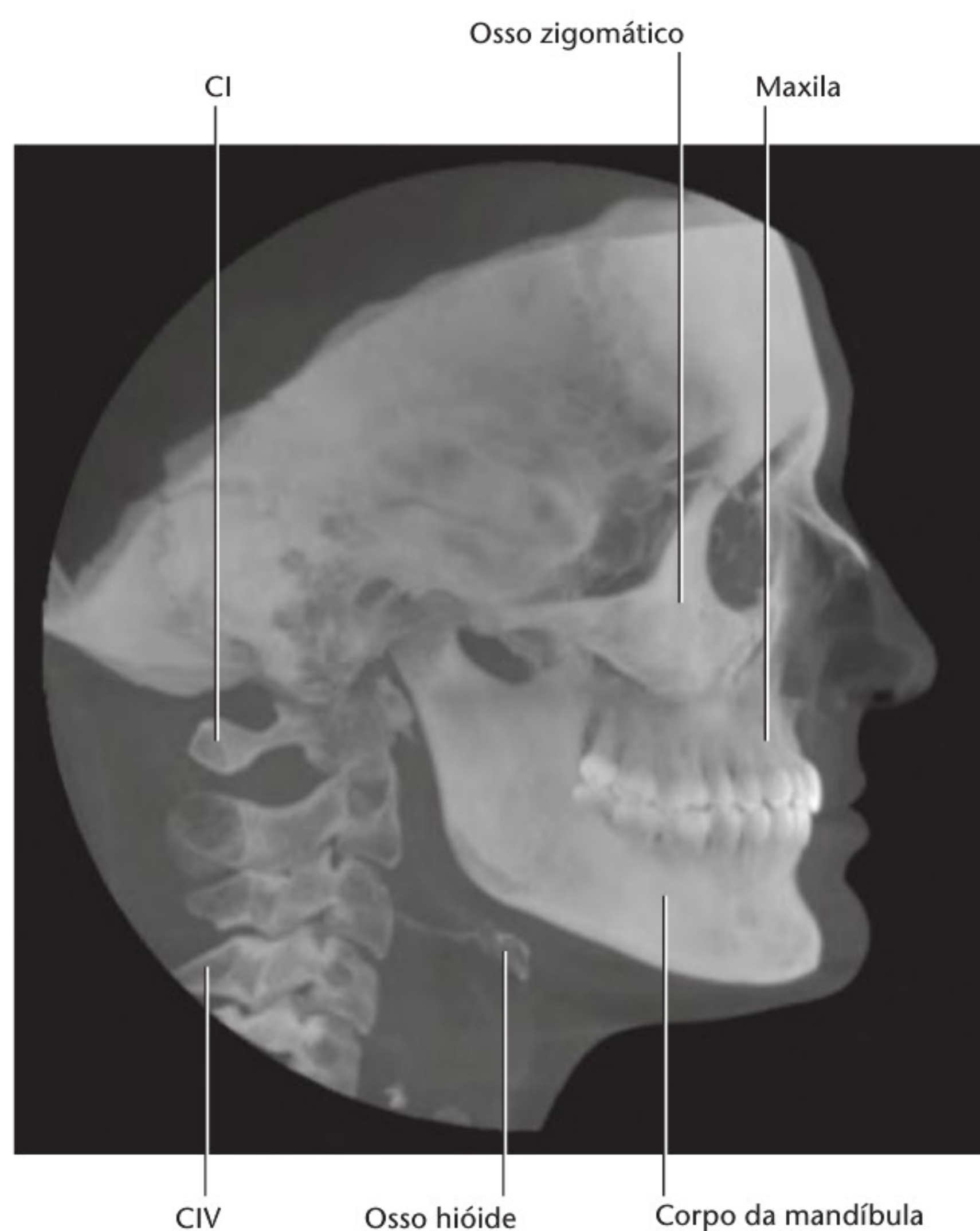
Vista do lado direito da face mostrando as estruturas craniofaciais, incluindo os dentes.
Imagem de tomografia computadorizada utilizando a tecnologia CBCT (Cone Beam Computerized Tomography) vista no modo MIP (Maximum Intensity Projection), que combina uma vista radiográfica com uma vista das estruturas superficiais.

Seio maxilar
Meato acústico externo
Processo condilar
Processo coronóide
Incisivos
Pré-molares
Molares
Canino
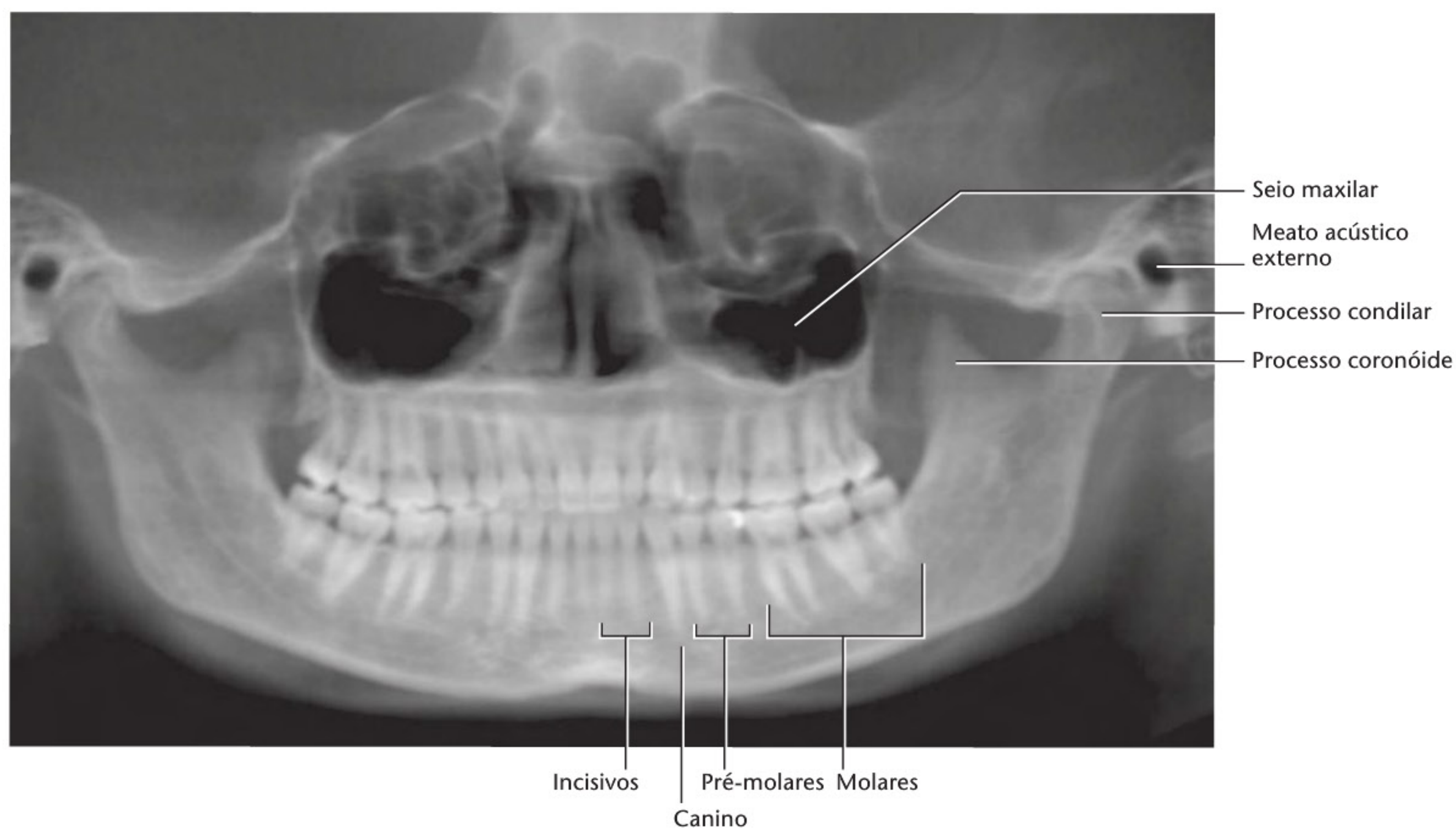
Vista panorâmica dos dentes (dentição), a qual também mostra os seios maxilares e os processos condilares da mandíbula.
Imagem utilizando a tecnologia CBCT (Cone Beam Computerized Tomography)

Papila gengival
Espaço interproximal
Coroa
Colo
Raiz
Esmalte
Dentina
Polpa do dente
Gengiva
Canal da raiz do dente contendo vasos e nervo
Osso do alvéolo dental
Periodonto
Cemento
Forame do ápice do dente
Mandíbula
Vasos e nervo alveolares inferiores

Anatomia do dente

PM1
PM2
M1
M2
Canal da mandíbula
Canal contendo os ramos dentais inferiores do nervo alveolar inferior
Ápice da raiz
Mandíbula

Vista interna sagital do lado direito do processo alveolar da maxila e da parte alveolar da mandíbula em oclusão (dentes aproximados).
Imagem utilizando a tecnologia CBCT (Cone Beam Computerized Tomography) vista no modo superficial.

Seio cavernoso na cavidade do crânio
Veias emissárias
Forame infra-orbital
Artéria e veia infra-orbitais
Artéria e veia alveolares superiores anteriores
Artéria e veia alveolares superiores posteriores
Ramos dentais (incisivos) da artéria e veia alveolares inferiores
Ramo mentual da artéria e veia alveolares inferiores
Forame mentual
Veia facial
Ramos dentais da artéria e veia alveolares inferiores
Artéria e veia temporais superficiais
Artéria maxilar
Veia maxilar
Plexo pterigóideo
Posição do forame da mandíbula
Artéria e veia alveolares inferiores no canal da mandíbula
Veia retromandibular
Veia jugular externa
Artéria carótida externa
Veia jugular interna

Artérias e veias que suprem os dentes

Fossa pterigopalatina
Ramo alveolar superior posterior do nervo alveolar superior
Nervo maxilar [V2]
Forame infra-orbital
Nervo infra-orbital
Ramo alveolar superior anterior do nervo alveolar superior
Ramo alveolar superior médio do nervo alveolar superior
Plexo dental superior
"Nervo incisivo"
Nervo mentual
Nervo trigêmeo [V]
Gânglio trigeminal
Nervo mandibular [V3] na fossa infratemporal
Nervo lingual
Forame alveolar
Posição do forame da mandíbula
Nervo alveolar inferior no canal da mandíbula
Ramos dentais inferiores do nervo alveolar inferior
Forame mentual

Inervação dos dentes

Dentes

Gengiva

Ramos alveolares superiores anteriores (de [V2])

Nervo nasopalatino (de [V2])

Ramos alveolares superiores anteriores (de [V2])

Ramo alveolar superior médio (de [V2])

Ramo alveolar superior médio (de [V2])

Ramos alveolares superiores posteriores (de [V2])

Ramos alveolares superiores posteriores (de [V2])

Nervo palatino maior (de [V2])

Dentes maxilares (superiores) e gengiva

Ramos alveolares superiores anteriores

Ramo alveolar superior médio

Ramos alveolares superiores posteriores

Nervo alveolar inferior

Nervo lingual

Nervo bucal

"Nervo incisivo"

Nervo mentual

Nervo lingual (de [V3])

Nervo alveolar inferior (de [V3])

Nervo bucal (de [V3])

Nervo mentual (de [V3])

"Nervo incisivo" do nervo alveolar inferior (de [V3])*

Dentes mandibulares (inferiores) e gengiva

*N.R.C.: O nervo alveolar inferior constitui o plexo dental inferior, do qual partem os ramos dentais inferiores.

Espinhas genianas superiores
Inserção do músculo genio-hióideo na espinha geniana inferior
Fóvea sublingual
Linha milo-hióidea
Músculo genio-hióideo
Margem posterior livre do músculo milo-hióideo
Músculo milo-hióideo
Corno maior do osso hióide
Corpo do osso hióide
Músculo genio-hióideo
Hióide
Músculo milo-hióideo

Músculos milo-hióideo e genio-hióideo

Músculo milo-hióideo
Inserção do músculo genioglosso na espinha geniana superior
Músculo hioglosso (seccionado)
Músculo genioglosso (seccionado)
Corno maior do osso hióide
Corpo do osso hióide
Músculo palatoglosso
Espinha geniana superior
Espinha geniana inferior
Músculo genioglosso
Músculo genio-hióideo
Hióide
Músculo milo-hióideo

Músculos genioglosso e hioglosso

Glândula sublingual
Ducto submandibular
Parte profunda
Parte superficial
Glândula submandibular
Músculo milo-hióideo
Músculo hioglosso
Músculo genioglosso
Músculo estiloglosso
Músculo estilofaríngeo
Músculo constritor superior da faringe
Ducto submandibular
Ductos sublinguais
Processo estilóide
Ligamento estilo-hióideo
Músculo constritor médio da faringe
Músculo hioglosso
Glândula sublingual
Parte profunda
Músculo genioglosso
Parte superficial
Músculo milo-hióideo
Glândula submandibular

Vista posterior **Glândulas submandibular e sublingual** **Vista lateral**

Nervo lingual (de [V3])
Músculo estiloglosso
Nervo lingual (de [V3])
Gânglio submandibular
Corda do tímpano (do nervo craniano VII)
Músculo constritor superior da faringe
Músculo estilofaríngeo
Nervo glossofaríngeo [IX]
Nervo hipoglosso [XII]
Nervo espinal C1
Músculo genioglosso
Ramo esternocleidomastóideo da artéria occipital
Artéria occipital
Artéria lingual
Músculo milo-hióideo (seccionado)
Músculo genio-hióideo
Ramo do nervo espinal C1 para o músculo genio-hióideo
Músculo hioglosso
Veia profunda da língua
Veia dorsal da língua
Raiz superior da alça cervical
Veia jugular interna
Artéria carótida comum

Artérias, veias e nervos da língua

Sensitivo

Dois terços anteriores (oral)
• sensibilidade geral
Nervo mandibular [V3] via nervo lingual
• sensibilidade especial (gosto)
Nervo facial [VII] via corda do tímpano

Terço posterior (faríngeo)
• sensibilidade geral e especial (gosto)
Nervo glossofaríngeo [IX]

Vista superior

Motor

Músculo palatoglosso – nervo vago [X]
Músculo estiloglosso – nervo hipoglosso [XII]
Nervo hipoglosso [XII]: Músculos intrínsecos; Músculo genioglosso
Músculo hioglosso – nervo hipoglosso [XII]

Vista lateral

Inervação da língua

Ápice da língua
Lábio inferior
Incisivo central
Músculo orbicular da boca
Vestíbulo da boca
Artéria e veia faciais
Papilas filiformes
Sulco mediano da língua
Músculo bucinador
Papilas fungiformes (dispersas no dorso da língua)
Papilas folhadas (na margem da língua)
Fáscia bucofaríngea
Terceiro molar
Sulco terminal da língua
Rafe pterigomandibular
Papilas circunvaladas
Forame cego
Arco palatoglosso
Músculo palatoglosso
Tonsila lingual
Músculo constritor superior da faringe
Prega glossepiglótica mediana
Prega glossoepiglótica lateral
Tonsila palatina
Músculo palatofaríngeo
Valécula epiglótica
Epiglote

Secção transversal (horizontal) mostrando uma vista superior da língua

Músculos vertical e transverso da língua
Músculo longitudinal superior
Músculo orbicular da boca
Forame cego da língua
Tonsila lingual
Valécula epiglótica
Epiglote
Ligamento hioepiglótico
Hióide
Mandíbula
Músculo genio-hióideo
Músculo genioglosso
Músculo milo-hióideo

Secção sagital mediana através da língua

Músculo longitudinal superior*
Músculo genioglosso
Músculos transverso e vertical da língua*
Músculo longitudinal inferior*
Músculo hioglosso
Músculo estiloglosso
Músculo bucinador
Vestíbulo da boca
Mandíbula
Glândula sublingual
Nervo lingual
Canal da mandíbula
Ducto submandibular
Músculo milo-hióideo
Platisma
Linfonodo submandibular
Artéria e veia faciais
Glândula submandibular
Nervo para o músculo milo-hióideo
Nervo hipoglosso
Ventre anterior do músculo digástrico
Artéria lingual
Músculo genio-hióideo
Septo da língua

Secção frontal (coronal) através da língua (vista posterior)

*N.R.C.: Estes músculos são considerados os músculos intrínsecos da língua e estão posicionados junto ao seu dorso.

Papila incisiva recobrindo a fossa incisiva
Fossa incisiva
Nervo nasopalatino
Pregas palatinas transversas
Palato duro
Artéria palatina maior
Nervo palatino maior
Forame palatino maior
Forame palatino menor
Palato mole
Nervo palatino menor
Artéria palatina menor
Ramo da artéria palatina ascendente (ramo da artéria facial) e ramo palatino da artéria faríngea ascendente
Úvula palatina

Artérias e nervos dos palatos (superfície oral)

Rafe pterigomandibular
Aponeurose palatina e tendão do músculo tensor do véu palatino
Palato duro
Músculo tensor do véu palatino
Parte cartilagínea da tuba auditiva
Fáscia faringobasilar
Músculo salpingofaríngeo
Músculo levantador do véu palatino
Músculo palatoglosso
Músculo constritor superior da faringe
Músculo palatofaríngeo
Músculo constritor médio da faringe
Músculo genioglosso
Músculo estilofaríngeo
Epiglote

Parte cartilagínea da tuba auditiva
Septo nasal
Músculo da úvula
Úvula palatina
Tonsila palatina
"Prega faringoepiglótica"
Músculo constritor inferior da faringe

Músculos do palato mole (secção sagital)

Músculos do palato mole (vista posterior)

Glândulas palatinas (salivares menores)
Nervo palatino maior
Artéria palatina maior
Aponeurose palatina
Artéria e nervo palatinos menores
Músculo palatofaríngeo
Músculo bucinador
Rafe pterigomandibular
Músculo palatoglosso
Tonsila palatina
Músculo constritor superior da faringe
Úvula palatina
Tonsila palatina
Arco palatoglosso
Arco palatofaríngeo

Fauces

Palato mole
Arco palatoglosso
Margem anterior que limita o istmo das fauces*
Arco palatofaríngeo
Úvula palatina
Tonsila palatina
Parede posterior da parte oral da faringe

Mandíbula abaixada (boca aberta) mostrando o palato mole

Face inferior da língua
Frênulo da língua
Glândulas linguais (salivares menores)
Veia profunda da língua
Artéria profunda da língua
Nervo lingual
Glândula sublingual
Ducto submandibular
Carúncula sublingual
Abertura do ducto submandibular esquerdo
Prega sublingual

Face inferior da língua e soalho da cavidade oral

Frênulo da língua
Abertura do ducto submandibular esquerdo
Veia profunda da língua
Carúnculas sublinguais
Prega sublingual recobrindo a glândula sublingual

Glândulas sublinguais (vista ântero-superior)

*N.R.C.: O istmo das fauces é a abertura que comunica amplamente a cavidade própria da boca com a parte oral da faringe.

Nervo oftálmico [V1]
Nervo trigêmeo [V]
Nervo mandibular [V3]
Fossa pterigopalatina
Nervo maxilar [V2]
Nervo facial [VII]
Gânglio geniculado
Nervo nasopalatino
Gânglio pterigopalatino
Nervo petroso maior
Nervo petroso menor
Todas as glândulas salivares acima do nível da rima da boca são inervadas pelo nervo petroso maior ramo do nervo facial [VII], via nervo intermédio
Nervo do canal pterigóideo (vidiano)
Nervo petroso profundo
Plexo timpânico
Plexo carótico interno
Gânglio superior do nervo glosso-faríngeo [IX]
Nervo timpânico
Nervos palatinos
Gânglio inferior do nervo glossofaríngeo (IX)
Nervo palatino maior
Gânglio ótico
Nervo palatino menor
Glândulas palatinas
Nervo auriculo-temporal
Úvula palatina
Glândulas linguais
Corda do tímpano
Nervo lingual
Artéria carótida interna
Glândula parótida inervada pelo nervo petroso menor, ramo do nervo glosso-faríngeo [IX]
Nervo carótico interno
Gânglio submandibular
Glândula sublingual
Artéria carótida externa
Glândula submandibular
Artéria facial
Gânglio cervical superior
Tronco simpático
Todas as glândulas salivares abaixo do nível da rima da boca são inervadas pela corda do tímpano, ramo do nervo facial [VII], via nervo intermédio

Fibras pré-ganglionares parassimpáticas
Fibras pós-ganglionares parassimpáticas
Fibras pré-ganglionares simpáticas
Fibras pós-ganglionares simpáticas

Inervação motora visceral (SNA) das glândulas salivares relacionadas à cavidade oral

Nervo olfatório [I]

Sensitivo especial – olfato

Nervo óptico [II]

Sensitivo especial – visão

Nervo oculomotor [III]

Motor somático – cinco músculos extrínsecos do bulbo do olho (reto superior, reto medial, oblíquo inferior, reto inferior e levantador da pálpebra superior)
Motor visceral – Músculos ciliar e esfincter da pupila (parassimpático)

Nervo troclear [IV]

Motor somático – um músculo extrínseco do bulbo do olho (oblíquo superior)

Nervo abducente [VI]

Motor somático – um músculo extrínseco do bulbo do olho (reto lateral)

Nervo trigêmeo [V] raiz sensitiva

Sensitivo somático – olhos, conteúdo da órbita, face, seios paranasais, dentes, cavidades nasais, cavidade oral, parte nasal da faringe, dura-máter, parte anterior da orelha e parte do meato acústico externo

Nervo trigêmeo [V] raiz motora

Motor branquial – os quatro músculos da mastigação (pterigóideo medial, pterigóideo lateral, masseter, temporal) e os músculos milo-hióideo, ventre anterior do digástrico, tensor do tímpano e tensor do véu palatino

Revisão dos nervos cranianos

Nervo facial [VII]

Motor branquial – todos os músculos da face e os músculos estapédio, estilo-hióideo e ventre posterior do digástrico

Nervo facial [VII] (nervo intermédio)

Sensitivo especial – gosto (2/3 anteriores da língua)
Sensitivo somático – parte do meato acústico externo e partes profundas da orelha
Motor visceral (parassimpático) – motor na secreção de todas as glândulas salivares, exceto da glândula parótida; todas as glândulas mucosas associadas com a cavidade oral e cavidade nasal; glândula lacrimal

Nervo vestibulococlear [VIII]

Sensitivo especial – audição e equilíbrio

Nervo glossofaríngeo [IX]

Sensitivo especial – gosto (terço posterior da língua)
Sensitivo somático – terço posterior da língua, parte oral da faringe, tonsila palatina, orelha média e tuba auditiva
Motor branquial – músculo estilofaríngeo
Motor visceral – (parassimpático) – motor na secreção da glândula parótida
Sensitivo visceral – para o glomo carótico e seio carótico

Nervo vago [X]

Sensitivo somático – laringe, parte laríngea da faringe, partes profundas da orelha e parte do meato acústico externo
Sensitivo especial – gosto na região da epiglote e da faringe
Motor branquial – todos os músculos da faringe, exceto para o estilofaríngeo; todos os músculos do palato mole, exceto para o tensor do véu palatino; todos os músculos intrínsecos da laringe
Motor visceral – (parassimpático) – vísceras torácicas e vísceras abdominais até o intestino grosso
Sensitivo visceral – Visceras torácicas e vísceras abdominais até o intestino grosso; quimioceptores e baroceptores (e em alguns casos o glomo carótico)

Nervo hipoglosso [XII]

Motor somático – todos os músculos da língua, exceto o palatoglosso

Nervo acessório [XI]

Motor branquial – músculos esternocleidomastóideo e trapézio

Nervo supra-orbital
Nervos ciliares curtos
Nervos ciliares longos
Gânglio ciliar
Nervo lacrimal
Glândula lacrimal
Ramo comunicante
Ramo zigomaticotemporal do nervo zigomático
Nervo oculomotor [III]
Nervo oftálmico [V1]
Nervo maxilar [V2]
Nervo trigêmeo [V]
Nervo mandibular [V3]
Nervo petroso maior
Nervo facial [VII]
Nervo nasociliar
Nervo petroso menor
Plexo timpânico
Nervo zigomático
Gânglio superior do nervo glossofaríngeo [IX]
Nervo infra-orbital
Nervo petroso maior
Gânglio pterigopalatino
Nervo do canal pterigóideo
Nervo timpânico
Glândulas na cavidade nasal, palatos e seios paranasais
Nervo petroso profundo
Nervos palatinos
Gânglio ótico
Gânglio inferior do nervo glossofaríngeo [IX]
Nervo auriculotemporal
Nervo auriculo-temporal
Nervo lingual
Corda do tímpano
Artéria carótida interna
Nervo carótico interno
Glândula parótida
Gânglio submandibular
Glândula sublingual
Artéria carótida externa
Glândula submandibular
Artéria facial
Gânglio cervical superior
Tronco simpático

Fibras pré-ganglionares parassimpáticas
Fibras pós-ganglionares parassimpáticas
Fibras pré-ganglionares simpáticas
Fibras pós-ganglionares simpáticas

Resumo das vias motoras viscerais (autônomas) na cabeça

ÍNDICE